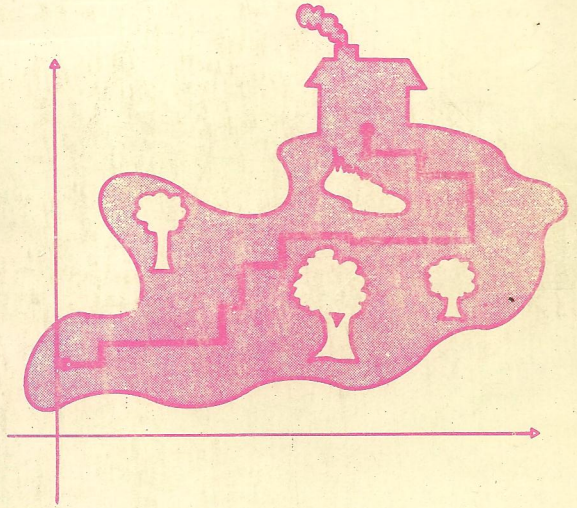




دانشگاه ملی ایران

«شماره انتشارات ۱۷۰»

# آنالیز مختلط



ترجمه: دکتر ابراهیم اسرافیلیان

«عضو هیئت علمی دانشگاه علم و صنعت ایران»

مؤلف: یان استوارت - دیوید نال

بِسْمِ اللّٰهِ الرَّحْمٰنِ الرَّحِیْمِ

# آنالیز مختلط

ترجمه: دکتر ابراهیم اسرافیلیان

«عضو هیئت علمی دانشگاه علم و صنعت ایران»

مؤلف: یان استوارت - دیوید تال

# فهرست مطالب

عنوان

صفحه

مقدمه مترجم

مقدمه مؤلف

## فصل ۰

۲	مبدأ آنالیز مختلط و نقطه نظرهای جدید
۲	مبدأ اعداد مختلط
۷	مبدأ آنالیز مختلط
۱۰	معما
۱۱	دیدگاه جدید
۱۵	مبادی آنالیز مختلط و دیدگاهی تازه

## فصل اول - جبر صفحه

۲۹	جبر صفحه مختلط
۳۰	ساختمان اعداد مختلط
۳۲	نماد $x + iy$
۳۴	تعبیر هندسی
۳۵	جزءهای حقیقی و موهومی
۳۷	مزدوج مختلط
۳۹	مختصات قطبی
۴۰	اعداد مختلط را نمی توان مرتب کرد

## فصل دوم

توپولوژی صفحه مختلط

۴۷

مجموعه های باز و بسته

۴۹

حدود تابع ها

۵۲

پیوستگی

۵۷

مسیرها

۶۳

لم فرش کردن

۶۹

تمرین های ۲

۸۱

## فصل سوم

سریهای توانی

۸۵

دنباله ها

۸۶

سری ها

۹۱

سری های توانی

۹۷

دستکاری سری های توانی

۱۰۲

ضمیمه

۱۰۴

تمرین های ۳

۱۰۷

## تمرین چهارم

مشتق گیری

۱۱۳

مجموعه های همبند و مشتق پذیر

۱۲۴

تابع های هیبرید

۱۲۵

سری های توانی

۱۲۷

نگاهی به آینده

۱۳۲

تمرین های ۴

۱۳۷

## فصل پنجم

- ۱۴۳ تابع توانی  
۱۴۴ ۱- تابع توانی  
۱۴۶ توانهای حقیقی و لگاریتمها  
۱۴۷ تابع های مثلثاتی  
۱۴۹ تعریف تحلیلی  $\pi$   
۱۵۰ رفتار تابع های مثلثاتی حقیقی  
تابع های توانی مختلط و تابع های مثلثاتی  
۱۵۴ تناوبی هستند  
۱۵۶ سایر تابعهای مثلثاتی  
۱۵۷ تابع های هیپر بولیک (هذلولی)  
۱۵۹ تمرین های ۵

## فصل ششم

- ۱۶۵ انتگرالگیری  
۱۶۶ حالت حقیقی  
۱۶۸ انتگرالگیری مختلط در طول یک مسیر هموار  
۱۷۳ طول یک مسیر هموار  
۱۸۱ انتگرالگیری مسیری  
۱۸۵ قضیه اساسی انتگرال مسیری  
۱۸۹ لم برآورد  
۱۹۲ نتایج قضیه اساسی  
۱۹۸ تمرینهای ۶  
۲۰۱ انتگرال گیری جزء به جزء

## فصل هفتم

- ۲۰۳ زاویه ها، لگاریتمها و عدد پیچش  
۲۰۴ اندازه زاویه ها بر حسب رادیان

۲۰۵	آرگومان یک عدد مختلط
۲۰۹	لگاریتم مختلط
۲۱۱	عدد پیچش
۲۱۷	عدد پیچش به عنوان یک انتگرال
۲۱۸	عدد پیچش حول یک نقطه دلخواه
۲۱۹	مؤلفه های متمم یک مسیر
۲۲۰	محاسبه عدد پیچش با کمک چشم
۲۲۶	تمرینهای فصل ۷

## فصل هشتم

۲۳۳	قضیه کوشی
۲۳۶	قضیه کوشی در مورد یک مثلث
۲۴۰	وجود یک ضد مشتق در یک دامنه ستاره ای
۲۴۳	یک مثال لگاریتم
۲۴۴	وجود موضعی یک ضد مشتق
۲۴۵	قضیه کوشی
۲۵۰	موارد استعمال قضیه کوشی
۲۵۵	دامنه های همبند ساده
۲۵۶	تمرینهای ۸

## فصل نهم

۲۵۹	انواع هموتوپی از قضیه کوشی
۲۶۰	انتگرالگیری در طول مسیرهای دلخواه
۲۶۲	قضیه کوشی برای یک مرز
۲۶۷	هموتوپی
۲۶۹	هموتوپی نقطه پایانی ثابت
۲۷۱	هموتوپی مسیر بسته
۲۷۵	مقایسه قضیه های کوشی

۲۷۸

تمرین های ۹

۲۸۰

گروه اساسی

## فصل دهم

۲۸۳

سری تیلور

۲۸۴

فرمول انتگرال کوشی

۲۹۱

قضیه موررا

۲۹۲

برآورد کوشی

۲۹۵

صفرها

۲۹۸

تابعهای توسیعی

۲۹۹

ماکسیمم و می نیمم موضعی

۳۰۱

قضیه مدول ماکسیمم

۳۰۳

تمرینهای ۱۰

## فصل یازدهم

۳۰۹

سری های توانی سریهای توانی

۳۱۷

نقطه های منفرد مجزا

۳۱۹

رفتار در حوالی یک نقطه منفرد مجزا

۳۲۴

صفحه مختلط وسعت یافته، یا کره ریمان

۳۲۶

رفتار یک تابع مشتق پذیر در  $\infty$

۳۲۷

تابعهای مرمورفیک

۳۳۰

تمرینهای ۱۱

## فصل دوازدهم

۳۳۵

مانده ها

۳۳۵

قضیه مانده کوشی

۳۴۰

محاسبه مانده

۳۴۲

محاسبه انتگرالهای معین

	قطب‌بهایی که بر محور حقیقی واقعند
۳۵۱	راه‌های کوتاه
۳۵۶	جمع بندی سری‌ها
۳۵۷	شمارش صفرها
۳۶۱	تمرینهای ۱۲
۳۶۶	

### فصل سیزدهم

	تبدیلات همدیس
۳۷۳	اعداد حقیقی به هنگ $2\pi$
۳۷۴	تبدیلات همدیس
۳۷۹	نگاشتهای مویوس
۳۸۵	نظریه پتانسیل
۳۹۰	تمرینهای فصل ۱۳
۳۹۴	

### فصل چهاردهم

	توسیع تحلیلی
۴۰۳	مقایسه سریها
۴۰۷	ادامه تحلیلی
۴۰۹	توابع چند شکلی
۴۱۴	رویه ریمان
۴۱۷	توانهای مختلط
۴۲۳	نگاشت همدیس توابع چند شکلی
۴۲۶	انتگرال مسیری از توابع چند شکلی
۴۲۸	حکایت همچنان باقی است
۴۳۶	تمرینهای فصل ۱۴
۴۳۹	فهرست موضوعی
۴۴۶	لغت نامه
۴۵۸	



## مقدمه مترجم

### بسم الله الرحمن الرحيم

طی چند سال اخیر که به تدریس دروس نظیر هندسه منیفلدها، توپولوژی دیفرانسیل و جبر و گروه‌های لی در دوره فوق لیسانس اشتغال داشتم مرتب کمبود مقدماتی از سایر دروس ریاضی خصوصاً در زمینه آنالیز حقیقی و آنالیز مختلط احساس می‌شد، چه تدریس هندسه منیفلدهای حقیقی محتاج به اطلاعاتی در مورد آنالیز توابعی از  $R^n$  به  $R^m$  می‌باشد که این قسمت در برنامه دوره لیسانس تحت عنوان آنالیز III قرار دارد که بعلت اختیاری بودن این درس دانشجویان عموماً از انتخاب آن سر باز می‌زنند. علاوه بر این کتابی هم به فارسی در این زمینه موجود نیست لذا در اینمورد مبادرت به ترجمه کتاب

$\int$   
Calculus on Manifolds

تالیف آقای Spivak نمودم.

در زمینه آنالیز مختلط، که جهت بررسی منیفلدهای مختلط مورد نیاز است اقدام به ترجمه کتاب حاضر نمودم. این کتاب علاوه بر برآوردن نیازهای ذکر شده می‌تواند برای تدریس درس آنالیز مختلط در دوره‌های لیسانس ریاضی و مهندسی و همچنین دوره فوق لیسانس مورد استفاده قرار گیرد.

این کتاب علاوه بر جامعیت از لحاظ مطالب و دقت وافر که در بیان و اثبات قضایا در آن بکار رفته دارای این مزیت است که مؤلف آن مبادرت به استفاده

از روشی جدید نموده که کار را بسیار آسان و ملموس نموده و آن استفاده از روش هندسی است .

این روش که در کتابهای مشابه کمتر به چشم می خورد، کتاب را در حد یک خودآموز ساده کرده است .

در اینجا لازم میدانم از کلیه خوانندگان خصوصاً اساتید محترم از جهت لغزشها و اشتباهاتی که در ترجمه این کتاب رخ داده پوزش طلبم . به امید اینکه از پیشنهادات اصلاحی و راهنمایی های خود دریغ نفرمائید تا در در چاپهای بعدی اعمال شود .

در پایان لازم است از کارکنان چاپخانه دانشگاه که در چاپ این کتاب زحمت کشیده اند خصوصاً خانم دقتی که زحمت تایپ آنرا بخود هموار کرده اند تشکر کنم .

ابراهیم اسرافیلیان

## مقدمه

دانشجویانی که با درس آنالیز مختلط روبرو می‌شوند اکثراً آن را مشکل می‌یابند. البته صحیح است که اثبات بعضی از قضایای اصلی و مهم آن احتیاج به تکنیکهای متنوع و مخصوص دارد ولی در واقع در بسیاری از موارد مفهوم آن ساده‌تر از آنالیز حقیقی است، متنها همیشه بدین صورت تدریس نشده است.

این کتاب برای سالهای دوم و سوم دانشکده در نظر گرفته شده و براساس جمع‌آوری دروس مربوط به دهه گذشته پایه‌گذاری شده است. برای نشان دادن سادگی طبیعی آنالیز مختلط مطالب را حول دو محور اصلی قرار می‌دهیم.

۱) تعمیم آنالیز حقیقی (۲) هنگامی که با مطلب جدید روبرو شدیم، برای تفهیم آن از هندسه صفحه به طور موثر استفاده خواهیم کرد. هدف در طول این درس تشویق یک تفکر هندسی است که دارای پشتوانه محکم تحلیلی باشد.

برای شروع، کار را براساس روند تاریخی بررسی می‌نماییم. تاریخ خود اشاره ایست به بعد و محرکی جزئی به حساب می‌آید. ما احساس می‌کنیم که تغییرات فرهنگی باعث تغییر مفاهیم در مسائل می‌گردند، زیرا مثلاً آنچه که زمانی مشکل مهمی به نظر می‌رسید - اگر بعد از وقوع واقعه به آن بنگریم - مطلبی ساده جلوه می‌کند. البته منظور این نیست که دانشجوی امروز را به مشکلات دیروز بکشانیم؛ این مطلب را که قسمت مهمی از بحث ماست در زیر به طور گسترده مورد بحث قرار خواهیم داد.

## مبداء آنالیز مختلط و نقطه نظرهای جدید

اگر طبق اظهار کرانکر (kronecker) که گفته است «اعداد صحیح را خداوند خلق کرده و بقیه کار بشر است» باید بگوئیم که اعداد مختلط قطعاً یکی از پیچیده‌ترین آثار ریاضی است که بشر به آن دست یافته است. قرن‌ها این اعداد باعث تحیر ریاضی‌دانها و فلاسفه بوده است و از ظهور اولیة آنها که در Cardaos Ars Magna آمده است تا نشر تعریف رسمی آن که در بردارنده دقت عصر حاضر نیز می باشد تقریباً ۳۰۰ سال می گذرد. ساختاری بر چنین اساسی می تواند خواننده ناوارد را، از اینکه درک او از آنالیز مختلط باید حتماً تئوری بسیار مشکلی باشد معاف می کند. ولی معمای تاریخی اینجاست که با وجود گذشتن سه قرن از دستیابی به یک طرز عمل در آنالیز مختلط فقط یک دهم این زمان لازم بود که به تکمیل قسمت اعظم آن دسترسی پیدا کنیم. البته واضح است که باید اول اعداد پیدا شوند و گرنه چیزی نخواهیم داشت که با آن تحلیلی انجام دهیم، ولی فاصله زمانی آن تعجب آورست. شاید توضیح آن باشد که بنیان گذاری دقیق در مسائل عمیق از نوع فلسفی بسیار وقت گیر است ولی وقتی گره گشوده شد توسعه بیشتر آن کاری آسان خواهد بود. تاریخ پیشنهادی غیر از این دارد.

### ۱. مبداء اعداد مختلط

آری مگنای مشهور به جیرلامر کاردانو در سال ۱۵۴۵ دستگاه دو معادله دو مجهولی

$$\begin{cases} x + y = 10 \\ xy = 40 \end{cases}$$

را پاسخ و جوابهای  $x = 5 + \sqrt{-15}, y = 5 - \sqrt{-15}$  که به صورت جدید نوشته ایم ارائه می دهند.

اما کاردانو هیچ گونه توضیحی درباره ریشه منفی یک عدد نمی دهد و فقط با این فرض که چنین مقادیری تابع قوانین جبری هستند و در معادلات صدق می کنند، بسنده کرده است. البته نظر او در این امر مردود است چه این پیشرفت

در حساب به همان اندازه که ظریف است بی مصرف نیز می باشد. در همان کتاب او ملاحظه می کنید که کاربرد فرمول تارتاگلیا برای حل معادله، درجه سوم  $x^3 = 15x + 4$  منتهی به عبارت،

$$X = \sqrt[3]{2 + \sqrt{-121}} + \sqrt[3]{2 - \sqrt{-121}}$$

می گردد که بسیار از جواب ساده  $x = 4$  به دور است.

رافائل بومبلی (۱۵۲۶-۷۳) با به کارگیری استادانه این ریشه های «غیر ممکن» به طوری که انگار آنها اعداد معمولی هستند راهی را پیشنهاد می کند که این دو راه حل را با هم وفق می دهد. یعنی چون

$$(2 \pm \sqrt{-1})^3 = \pm \sqrt{-121}$$

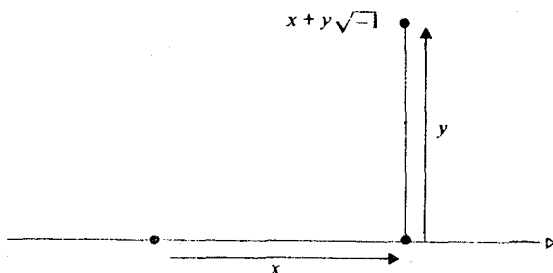
عبارت کار دانو تبدیل به

$$X = (2 + \sqrt{-1}) + (2 - \sqrt{-1}) = 4$$

می گردد. ریشه «غیر ممکن» همان ریشه آشناست منتها به صورتی دیگر. کار بومبلی اولین اشاره ای بود که اهمیت توانایی اعداد مختلط را در حل مسائل حقیقی ریاضی جلوه گر ساخت.

در «La Geometric» رنه دکارت بین اعداد حقیقی و موهومی تمایزی قائل شد و چنین تفسیر نمود که به میان آمدن اعداد مختلط در مساله علامت غیر قابل حل بودن آن است، نظریه ای که بعدها مورد قبول نیوتن قرار نگرفت.

جان والیس (John wallis) در کتاب جبر (۱۶۷۳) خود به طور هندسی یک عدد مختلط را به نمایش گذاشت، یعنی روی یک خط راست قسمت حقیقی عدد را در جهت علامتش و قسمت موهومی آن را روی خط قائم بر آن اندازه گیری نموده است. (شکل ۱-۰)



بعدها ظاهراً بنا به دلایلی این پیشنهاد مورد توجه واقع نشد.  
 در سال ۱۷۰۲ جان برنولی (John Bernoulli) مشغول محاسبه انتگرالی  
 به شکل

$$\int \frac{dx}{ax^2 + bx + c}$$

توسط کسرهای جزئی شد و با فلسفه این که اعداد مختلط را نیز مانند اعداد  
 حقیقی می توان به کار گرفت تابع زیر انتگرال را به صورت

$$\frac{1}{ax^2 + bx + c} = \frac{A}{x - \alpha} + \frac{B}{x - \beta}$$

درآورد که در آن  $\alpha, \beta$  ریشه های معادله درجه دوم مخرج در نظر گرفت و  
 انتگرال را به صورت

$$A \log(x - \alpha) + B \log(x - \beta)$$

محاسبه نمود.

این تعمیم جسورانه یعنی به کار بردن همان روش درباره معادلات درجه دومی که  
 ریشه حقیقی نداشتند به پیدایش لگاریتم اعداد مختلط منتهی شد. اما اینها چه  
 بودند؟ هم جان برنولی و هم لایبنز (Leibniz) این روش را به کار بردند ولی در  
 سال ۱۷۱۲ کارشان به مرافعه کشید. لایبنز اظهار می کرد که لگاریتم یک عدد

منفی مختلط است. در حالی که برنولی اصرار داشت که حقیقی است. برنولی می گفت که چون

$$\frac{d - (x)}{-x} = \frac{dx}{x}$$

بنابراین توسط انتگرال گیری

$$\log(-x) = \log(x)$$

است حال آنکه برنولی اصرار داشت که این انتگرال فقط در موقعی که  $x$  مثبت است صحیح می باشد.

لئوناردو آلر (Leonard Euler) این مرافعه را در سال ۱۷۴۹ به نفع لایبنز چنین خاتمه داد که انتگرال مورد نظر یک عدد ثابت را اقتضا می کند یعنی:

$$\log(-x) = \log(x) + c$$

نکته ای که برنولی متوجه آن نشده بود.

بازیر و رو کردن و به کار گرفتن عباراتی که شامل اعداد مختلط بودند آلر به گروهی از روابط تئوریک از جمله فرمول معروف (۱۷۴۸) خود یعنی:

$$e^{i\theta} = \cos\theta + i\sin\theta$$

دست یافت.

(برای تاکید بر اینکه هیچ چیز در دنیا تازگی ندارد باید توجه کرد که نظیر این فرمول توسط راجر کوتس (Roger cotes) در سال ۱۷۱۴ شناخته شده بود) با قرار دادن  $\theta = \pi$  به معادله  $e^{i\pi} = -1$  بر می خوریم که در این رابطه بی نظیر سه علامت ریاضی  $\pi, i, e$  به هم مربوط می شوند، توسعه تئوری لگاریتم مختلط با تعریف

$$e^w = z \quad \text{اگر و فقط اگر} \quad \log z = w$$

به نتایج پیچیده تری دست می یابیم و با به کار گرفتن فرمولها نتیجه می گیریم:

$$e^{\log z + m\pi i} = e^{\log z} (e^{\pi i})^m = z \cdot (-1)^m$$

و به ازاء عدد صحیح زوج  $m = 2n$  این رابطه تبدیل به

$$e^{\log z + 2n\pi i} = z$$

می شود، که می رساند،  $\log z + 2n\pi i$  و خود لگاریتمی از  $z$  است. لگاریتم مختلط چند مقدره است و برای یک عدد صحیح فرد  $m = 2n + 1$  خواهیم داشت:

$$e^{\log z + (2n+1)\pi i} = -z$$

$$\log(-z) = \log z + (2n+1)\pi i \quad \text{و بنابراین}$$

این خود جوابگوی مباحثه برنولی - لایبنز نیز می باشد یعنی برای عدد حقیقی و مثبت  $x$ ،  $\log(-x)$  باید مختلط باشد.

تئوری اعداد مختلط روز به روز جذاب تر و اسرار آمیزتر می شد و کمبود آن فقط تفسیر واقعی و محکمی بود که جوهر مطلب را روشن می نماید.

در سال ۱۷۹۷ کاسپار وسل (Caspar wessel) در مقاله ای به زبان دانمارکی یک عدد مختلط را به یک نقطه در صفحه تشبیه کرد، مطلبی که تقریباً بدون توجه باقی ماند تا اینکه ترجمه فرانسوی آن یک صد سال بعد به نشر درآمد. در این مدت این نظریه به ژان روبرت آرگاند (Jean Robert Argand) منسوب شده بود که خود مستقلاً در سال ۱۸۰۶ به این توجیه دست یافته بود و از آن زمان تفسیر هندسی اعداد مختلط به **دیاگرام آرگاند** موسوم شده بود.

یکی دیگر از پیشقدمان تئوری اعداد مختلط کارل فردریک گوس است، او در تز دکتریش در سال ۱۷۹۹ مسأله ای را پیش کشید که از اوایل قرن ۱۸ مورد علاقه بسیاری از ریاضی دانان بود. در آغاز باوربراین بود که همانطور که معادلات درجه دوم حقیقی منتهی به دسترسی به اعداد جدید مختلط می شوند، معادلات با



ضرایب مختلط به انواع بیشتری از این اعداد جدید مختلط باید دست یابند. ژان دالامبر (۱۷۱۷-۸۳) تخمین زد که اعداد مختلط خود برای این امر کافی می باشند و گوس در کتاب اصل تئوری جبر خود این مطلب را تأیید می کند، به این عنوان که هر معادله چند جمله ای دارای یک ریشه مختلط است. او ابتدا این مطلب را کاملاً در شکل حقیقی یعنی اینکه، هر چند جمله ای حقیقی به فاکتورهای خطی و درجه دوم تجزیه می شوند اثبات و از استفاده صریح اعداد مختلط اجتناب می نماید و بعدها تعمیم آن را نیز به کار می برد (سال ۱۸۱۱).

منظور او از یک عدد مختلط، نقطه ای از صفحه می باشد و عیناً این نظر را در نامه ای به بسل Bessel اظهار می کند و در سال ۱۸۳۱ یک تعبیر هندسی با جزئیات از اعداد مختلط ارائه می دهد، این در زمانی است که به اعداد مختلط تا آن موقع اهمیت بسیاری می دادند.

در سال ۱۸۳۷ یعنی تقریباً سیصد سال بعد از استفاده کاردانوا از اعداد مختلط ویلیام روآن هامیلتون (William Rowan Hamilton) تعریف اعداد مختلط را منتشر نمود و آنها را به صورت زوجهای مرتب از اعداد حقیقی که تابع قوانین صریح عملیاتی بودند معرفی نمود. (در همین سال گوس در نامه ای به ولف گانگ بولی ای Wolfgang Bolyia) خاطر نشان کرد که او خود به پرورش همین نظریه در سال ۱۸۳۱ پرداخته است) و بالاخره اعداد مختلط بر پایه مستحکم جبری قرار می گیرند.

## ۲. مبدا آنالیز مختلط

برخلاف ظهور تدریجی مفهوم اعداد مختلط، به نظر می رسد که توسعه آنالیز مختلط نتیجه مستقیم علاقه ریاضی دانان به تعمیم گرائی بوده، که عمداً در مقایسه با آنالیز حقیقی جستجو شده است. همانطور که در فوق ملاحظه شد آثار اولیه ای از عملیات تحلیلی در توابع مختلط در کار برنولی، لایبنز و آلرو معاصرانشان دیده می شود.

گوس در سال ۱۸۱۱ در نامه ای به بسل نشان می دهد که او از تئوری اصلی انتگرال گیری مختلط که بعداً آنالیز مختلط بر محور آن پایه ریزی شد، آگاه

بوده است. در آنالیز حقیقی وقتی انتگرال یک تابع را بین دو حد  $a$  و  $b$

$$\int_a^b f(x) dx$$

محاسبه می‌کنیم این حدود، کاملاً انتگرال را مشخص می‌نماید اما در حالت مختلط  $a$  و  $b$  که معرف دو نقطه در صفحه هستند لازم است که منحنی ای از  $a$  به  $b$  در نظر گرفته شود و محاسبه انتگرال در طول این منحنی انجام گیرد؛ سؤال اینجاست که تا چه حد مقدار این انتگرال بستگی به منحنی انتخاب شده خواهد داشت؟

گوس چنین می‌گوید «من حال تصدیق می‌کنم انتگرال  $\int f(x) dx$ ، فقط دارای یک مقدار است حتی اگر روی مسیرهای مختلف گرفته شده باشد، البته به شرط آنکه  $f(x)$  در فضای بین دو مسیر بی‌نهایت نگردد و این قضیه ای بسیار زیبا است که اثبات آن را در موقعی مناسب تر خواهم داد.» به نظر می‌رسد که هیچ وقت چنین موقعیتی نصیب او نگردید و مراحل حساس این اثبات در ۱۸۲۵ توسط شخصی که در آن زمان یعنی در زمان شکوفایی آنالیز مختلط در صدر بوده است به چاپ می‌رسد. او آگوستین لوئیس کوشی بود و بعد از آن این قضیه به نام **قضیه کوشی** معروف شد. به دست کوشی مفاهیم اصلی آنالیز مختلط به سرعت ظاهر می‌شدند. یک تابع مختلط برای اینکه مشتق پذیر باشد، می‌باید از طبیعت خاصی برخوردار باشد و قسمت حقیقی و مختلط آن باید در شرطی صدق کند، شرطی که به نام معادلات کوشی - ریمنان معروف است. انتگرالهای کاتوری توابع مشتق پذیر این خواص را دارا بودند و به طور خصوصی توسط گوس ملاحظه شده بودند.

کوشی همچنین نشان می‌دهد که محاسبه یک انتگرال که در طول مسیرش به دور نقطه ای که تابع را بی‌نهایت می‌نماید بپیچد توسط قضیه رزیدو (باقیمانده) قابل محاسبه است که البته این خود احتیاج به محاسبه عدد ثابتی موسوم به رزیدو که در نقاط استثنایی وجود دارد و آگاهی به اینکه مسیر در هر نقطه استثنایی چند بار به دور این نقاط خواهد پیچید، می‌باشد. راه دقیق مسیر در حقیقت مطرح نبوده است. اهمیت سریهای توانی در این قضیه به ثبوت رسید و علاقمندان

دیگر، این ایده را توسعه دادند.

پیر آلفانس لوران Pierre Alphanse Laurent سری لوران را که شامل توانهای منفی بود، در سال ۱۸۴۳ معرفی نمود. در این فرمول در نزدیکی یک نقطه استثنایی  $z$  تابعی مشتق پذیر بیان می شود، که از نوع حاصل جمع دو سری

$$F(z) = [a_0 + a_1(z-z_0) + \dots + a_n(z-z_0)^n + \dots] \\ + [b_1(z-z_0)^{-1} + \dots + b_n(z-z_0)^{-n}]$$

است و رزیدوی تابع در  $z$  در حقیقت همان ضریب  $b_1$  می باشد. استفاده از قضیه رزیدوها محاسبات انتگرال مختلط را بیش از حد تصور ساده نمود.

تعاریف کوشی در مورد مفاهیم تحلیلی مانند پیوستگی حد و مشتق، شبیه آن نیستند که ما امروز از آنها استفاده می کنیم. او این مطالب را بر روی مفاهیم بی نهایت کوچکها «infinitesimal» پایه ریزی می کند که بعدها از اعتبار می افتند، این تعاریف به طور مستحکمی توسط کارل وایرستراس Karl weierstrass (۹۷-۱۸۱۵) توسعه می یابد که تا این زمان هنوز به عنوان مفاهیم اساسی مورد نظرند. (ناگفته نماند که پیشرفتهای جدید در آنالیز غیر استاندارد که مفهوم بی نهایت کوچکها «infinitesimal» را موجه می نماید به ما می گوید که شاید درباره عقاید کوشی عجولانه قضاوت کرده ایم). وایرستراس تمام کارهایش را روی سریهای توان پایه گذاری می نماید، ولی در این کارها آنچه که کمبودش (اقلاً از دیدگاه آنچه که به چاپ رسیده است) ملاحظه می شود دیدگاه هندسی است. این کمبود توسط عقاید دوروس برنارد ریمن Bernard Riemann (۶۶-۱۸۲۶) تصحیح می گردد، علی الخصوص نظریه سطح ریمن که به سال ۱۸۵۱ برمی گردد و بر روی بسیاری از توابع چند متغیره کار می کند که صفحه مختلط در آن به لایه های مختلف که در هر کدام از آنها تابع یک متغیره می باشد. روش توپولوژیکی ای که این لایه ها به هم وصل می شوند از قاطعیتی مهم برخوردار است.

از اواسط قرن نوزدهم به این طرف ترقی آنالیز مختلط بسیار پیوسته و

قوی بوده و توسعه های دوروس را در برداشته است. اکنون مقادیر اصلی کوشی خالص تر و مجهزتر به زبان توپولوژی جدید باقی می ماند. اختراع شکل اعداد مختلط که زمانی توسط پیشقدمان ریاضی محال و بی مصرف تلقی می شد امروز به تئوری بسیار زیبا و قانع کننده ای که در کاربرد اُردینامیک و مکانیک سیالات و بسیاری از رشته های دیگر نقش بزرگی دارد، تبدیل شده است.

### ۳. معما

حال برگردیم به معمای تاریخی خود که «چرا اعداد مختلط چنین با زحمت و معطلی توسعه پیدا کرد، در حالی که توسعه آنالیز مختلط انفجاری بود». ما یک جواب محتمل درین امر ارائه می دهیم (که البته چون یک عقیده شخصی است درباره آن باب بحث گشوده است) و پاسخی که ارائه می دهیم کمی با آنچه که در فوق بیان شد فرق دارد.

آنچه که از تاریخ اولیه اعداد مختلط برمی آید آن است که ریاضی دانان بی شماری از نسلهای مختلف سر خود را به دیواری آجری می زدند و به دنبال چه؟ به دنبال یک پوچی. تعریف اعداد مختلط به صورت زوجهای مرتب  $(x, y)$  یا نقاطی از صفحه بارها به دست آمده بود و حتی در کار برنولی صریحاً بیان شده است و در کار والیس Wallis این تعریف بر همه روشن است و همینطور در کار وسل آرگانه و گوس دوباره این تعریف ظاهر می شود.

موریس کلاین Morris Kline یک بار چنین اظهار می کند که بسیاری از ریاضی دانان چون Cotes، Demoivre، آلر و Vander monde اعداد مختلط را با نقاطی از صفحه مشخص کرده بودند چون همه آنها در حل معادله  $X^n - 1 = 0$  جوابها را رؤوس یک چند ضلعی منظم در نظر گرفته اند.

اگر جواب مسأله اینقدر آسان است، چرا قبلاً این مطلب شناخته نشده است؟ ریاضی دانان قدیم زیاد، به دنبال یک تفسیر و تعبیر از اعداد مختلط و اینکه از دیدگاه فلسفی اعداد مختلط چه مفهومی دارد، نبودند.

به هر حال توسعه آنالیز مختلط نشان داد که مفهوم عدد مختلط آنقدر مفید است که هیچ ریاضی دان دارای عقل سلیم نمی تواند بدان بی اعتنا باشد و این سؤال که حال با یک عدد مختلط چه می توان کرد، مطرح شد و وقتی که به این

سؤال جواب قانع کننده داده شد، سؤال فلسفی اولیه از بین رفت. جواب برنده ای که هامیلتن Hamilton به این مساله ی اساسی ۳۰۰ ساله داد خوشحالی زیادی ایجاد نکرد، چه این مساله ای قدیمی بود و از زمانی که ریاضی دانان نظریه اعداد مختلط را به صورت یک تئوری منسجم و نیرومند درآورده بودند ترس از وجود اعداد مختلط کمتر شده و علاقه ریاضی دانان از بین رفته بود.

با گذشت زمان دید فرهنگی تغییر می نماید و آنچه را که یک نسل به عنوان یک مساله یا جواب آن می بیند توسط نسل دیگر به آن شکل تفسیر نمی گردد و این مطلب را باید در پیشرفت تاریخی ریاضیات کاملاً مد نظر داشت. دیدگاه تاریخی را نمی توان از نظرگاه نسل حاضر ملاحظه کرد زیرا کج روی و تفسیرهای غلطی را پشت سر گذاشته است.

#### ۴. دیدگاه جدید

برای کسانی که برای اولین بار به مطالعه آنالیز مختلط می پردازند نتیجه ای که در فوق گرفته شد قابل توجه است. با وجودی که بعضی اوقات مفید است که توسعه یک تئوری را در مضمون تاریخی آن بنگریم ولی همیشه لازم نیست که منازعات تاریخی را دوباره شروع کنیم. البته احترام کافی به پیشقدمانی که راه خود را به درون سرزمین بکر ریاضی گشودند لازم است. ولی پیشرفتهای جدید به ما اجازه می دهد که این تئوری را از دیدگاهی تازه بنگریم. آنالیز مختلط حتماً به گوش امروزی ها اسم حامل صداهایی گمراه کننده است. خود کلمه مختلط، معنی اشکال و پیچیدگی را می نمایاند و شاید معنی قدیمی آن که مرکب Composite نامیده می شد، مناسب تر باشد، زیرا قسمت حقیقی یک عدد مختلط معنی کاملاً متفاوتی با قسمت مختلط آن دارد. امروزه یک عدد مختلط، عددی کامل و تمام محسوب می شود. در نظر گرفتن آنالیز مختلط به عنوان دو کپی از آنالیز حقیقی تاکید نابه جایی بر جبر به پشتوانه هندسه است، که در دراز مدت، خود بسیاری مؤثرتر است. در حقیقت اعداد مختلط از اعداد حقیقی مشکل تر نیستند و در مواردی آسانتر نیز می باشند چه چند جمله ایها همیشه ریشه خواهند داشت. همینطور آنالیز مختلط اکثراً از آنالیز حقیقی ساده تر است زیرا مثلاً هر

تابع مشتق پذیر به دفعات دلخواه مشتق پذیر، و دارای بسط سری های توانی است.

برای آمادگی جهت دستیابی به موضوع، به انتخاب دو اصل تنظیم کننده می پردازیم، نخست، تعمیم مستقیم آنالیز حقیقی است. تعاریف حد و اتصال، مشتق، انتگرال که توسیع طبیعی این مفاهیم از حقیقی است به شرط آنکه آنها را به نحو مقتضی در نظر بگیریم. چون در حال حاضر برای دانشجویانی که درس آنالیز مختلط را دنبال می کنند، فرض بر این است که به اندازه کافی با آنالیز حقیقی آشنایی دارند بنابراین بیشتر مسائل خود به خود حل می شود و می توانیم دانشجویان را به اطلاعات جمع آوری شده توسط خودشان ارجاع دهیم (که باعث صرفه جویی در وقت می گردد) و فقط با تغییر معانی بعضی از مفاهیم با جملاتی مناسب تر برای استفاده بهتر آشنا کنیم که این خود صرفه جویی در وقت و انرژی می باشد و به ما اجازه می دهد که به کثه مطلب یعنی در حایی که فرقه های جالب اتفاق می افتد پردازیم. بی تردید این فرق پدید می آید زیرا صفحه هندسه غنی تری از خط دارد و این مطلب ما را به اصل تنظیم کننده دوم رهنمون می شود، یعنی با ارزش بودن دید هندسی و اینکه باید آن را پرورش داد. البته این دید را باید به مباحث محکم و رسمی تبدیل کرد که این نیز خود با به کار بردن مفاهیم جدید توپولوژی امکان پذیر است.

با استفاده از این دو اصل دسترسی مستقیم به آنالیز مختلط حاصل می شود. اول اینکه اعداد مختلط را رسماً به صورت زوجهای مرتب از اعداد حقیقی تعریف می نماییم و آنها را نقاطی از یک صفحه تفسیر می کنیم. بنابراین توپولوژی اعداد مختلط بر حسب توپولوژی صفحه به دست می آید. با تکیه بر سری های توانی که در مراحل بعدی نقش محوری را خواهند داشت می توان در یک پیگیری سریع، تعمیمی مختلط از مفاهیم پیوستگی حد و مشتق ارائه داد. در مطالعه تابع توانی مختلط به صورت سریهای توانی معمولی، آشکار می شود که چه رابطه نزدیکی بین این تابع و توابع مثلثاتی (که خود سریهای توانی محسوب می شوند) وجود دارد. بعد از تعمیم مفهوم انتگرال لگاریتم را می توان یا به عنوان تابع معکوس یک تابع توانی یا به صورت انتگرال

$$\log z = \int \frac{1}{z} dz$$

در نظر گرفت.

این تعبیر رابطه نزدیکی بین درك هندسی و تحلیل رسمی ارائه می دهد. در این مرحله قضیه کوشی به صورتهای مختلف معرفی می گردد و مباحث انتگرال منتهی به اثبات آن می شود که هر تابع مشتق پذیر را می توان به عنوان یک سری توانی بیان نمود، عموماً در سریهای لوران (با توانهای مثبت و منفی) توجه به نقاط منفرد (یعنی نقاطی که توابع در آنها بی نهایت می گردند) را برطرف می نماید و این خود منتهی به قضیه نیرومند باقی مانده ها (residues) می شود که در محاسبه انتگرالهای مختلط به کار می روند.

در بازگشت به مفاهیم هندسی باید بگوییم که آنالیز مختلط برای تئوری پتانسیل دو بعدی گرانبهاست و بالاخره مفاهیم هندسی ریمان را می توان بر حسب توپولوژی جدید مورد امعان نظر قرار داد که به ما دیدی در توابع چند متغیره می دهد (مانند لگاریتم) و افقهای جدیدی جهت پیشرفت به روی ما می گشاید.

## مبادی آنالیز مختلط و دیدگاهی تازه

اگر، آن طور که کرونکر<sup>۱</sup> اظهار داشت، اعداد صحیح آفریده خداوند است و بقیه هر چه هست کار بشر؛ پس با اطمینان می توان گفت که اعداد مختلط یکی از شگفت آورترین ساخته های بشر است. اعداد مختلط قرنهای مایه حیرت ریاضی دانان و فلاسفه بوده است. از نخستین بازی که اعداد مختلط در Ars Magna اثر کاردان<sup>۲</sup> مطرح شدند تا انتشار یک تعریف رسمی، که جوابگوی استانداردهای جدید در میزان دقت باشد، حدود سیصد سال طول کشید. بر این اساس، اگر خواننده تازه کار آنالیز مختلط را نظریه ای پیچیده بپندارد سزاوار بخشش است. البته با معمایی تاریخی هم روبرو می شویم و آن اینکه گرچه نزدیک به سیصد سال طول کشید تا یک بررسی رضایت بخش از اعداد مختلط به عمل آید، برای تکمیل قسمتی عمده از آنالیز مختلط فقط کمتر از یکدهم آن مدت وقت صرف شد.

بدیهی است که اعداد باید به طور مقدم مطرح شوند و گرنه آنالیز چیزی ندارد که با آن به کار پردازد، اما سلسله رویدادها شگفت انگیز است. شرحی بر این سخن آن است که با بنیاد اصول بر پایه بسیاری مسائل عمیق فلسفی، زمانی طولانی برای درک و تسلط بر این مسائل صرف شد. اما آن زمان که «غلبه» روی داد، در مقام مقایسه، پیشرفتهای بیشتر آسان بود. تاریخ، سخن از در دیگر می گوید.

---

1. Kronecker

2. Cardano



## ۱. مبادی اعداد مختلط

در کتاب مشهور Ars Magna تألیف گیرولاما کاردانو به سال ۱۵۴۵، دستگاه دو معادله دو مجهولی

$$x + y = 10$$

و

$$xy = 40$$

مورد بررسی قرار گرفته با نمادهای جدید، جوابی به صورت:

$$x = 5 + \sqrt{-15}, \quad y = 5 - \sqrt{-15}$$

به دست آمده است. کاردان تعبیری برای ریشه دوم یک عدد منفی به دست نداد. اما ملاحظه کرد که با فرض آنکه این مقادیر از قوانین معمولی جبری پیروی کنند، در معادلات مفروض صدق می کنند. او توجه چندانی به این کشف نمود. «علم حساب با دقت بسیار پیش می رود، بدان سان که در انتها... آنچنان مهذب refined می شود که بی فایده می نماید.»

او در همان کتاب متذکر شد که به کار گرفتن فرمول تارتاکلیا<sup>3</sup> برای حل

معادله درجه سوم:

$$x^2 = 15x + 4$$

منجر به عبارت:

$$x = \sqrt[3]{2 + \sqrt{-121}} + \sqrt[3]{2 - \sqrt{-121}}$$

می شود، در حالی که جواب  $x = 4$  واضح است.

رافائل بامبلی<sup>4</sup> (۱۵۲۶-۷۳) برای تلفیق هر دو جواب راهی ارائه داد؛ به

---

3. Tartaglia

4. Raphael Bombelli

این ترتیب که ریشه های «غیر ممکن» را همچون ریشه های عادی پنداشت، مانند:

$$(2 \pm \sqrt{-1})^2 = 2 \pm \sqrt{-121}$$

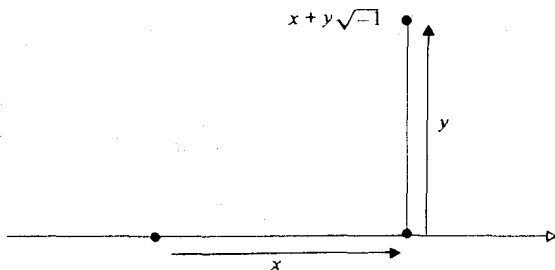
بنابراین عبارت کاردان می شود:

$$x = (2 + \sqrt{-1}) + (2 - \sqrt{-1}) = 4$$

این ریشه «غیر ممکن» درست همان ریشه معمولی اما با ظاهر متفاوت یعنی به صورت مختلط است.

رنه دکارت<sup>5</sup> در کتاب هندسه (۱۶۳۷)، بین اعداد «حقیقی» و «موهومی» (انگاری) تفاوت قائل شد؛ به این ترتیب که پیش آمدن اعداد موهومی را دلیلی بر لاینحل بودن مساله مورد نظر دانست. این عقیده ای بود که بعدها نیوتون هم در آن سهمی داشت.

جان والیس<sup>6</sup> در کتاب جبر خود (۱۶۷۳) اعداد مختلط را به طریق هندسی نمایش داد. به این ترتیب که روی یک خط ثابت قسمت حقیقی عدد مختلط را جدا می کردند (در جهتی که به وسیله علامت قسمت حقیقی مشخص می شود)، سپس قسمت موهومی به زاویه قائمه جدا می شد (شکل ۱-۰).



شکل (۱-۰)

5. Rene Descartes

6. John Wallis

چنین طرحی، بنا به دلائلی، متوالیاً مورد بی توجهی قرار گرفت. در ۱۷۰۲ جان برنولی<sup>۷</sup> مشغول محاسبه انتگرالهایی به صورت:

$$\int \frac{dx}{ax^2 + bx + c}$$

با کمک کسرهای جزئی بود. با این فلسفه که با اعداد مختلط می توان مثل اعداد گویا عمل کرد، انتگران را به این صورت نوشت:

$$\frac{1}{ax^2 + bx + c} = \frac{A}{x - \alpha} + \frac{B}{x - \beta}$$

(ما نمادهای جدید را به کار برده ایم) که در آن  $\alpha$  و  $\beta$  ریشه های عبارت درجه دوم مخرج هستند و به این ترتیب انتگرال را به شکل:

$$A \log(x - \alpha) + B \log(x - \beta)$$

به دست آورد. تصمیم جسورانه او در به کار بردن روش مشابه برای عبارت درجه دوم، چه ریشه حقیقی داشته و چه نداشته باشد، منجر به لگاریتم اعداد مختلط شد. اما لگاریتم عدد مختلط چیست؟ برنولی و لیب نیتز<sup>۸</sup> هر دو همین روش را به کار بردند اما تا سال ۱۷۱۲ درگیر مباحثه بودند؛ لیب نیتز اظهار می داشت که لگاریتم عدد منفی مختلط است در حالی که برنولی تاکید بر حقیقی بودن آن داشت.

برنولی چنین استدلال می کرد که، چون:

$$\frac{d(-x)}{-x} = \frac{dx}{x}$$

7. John Bernoulli

8. Leibniz

پس با انتگرالگیری نتیجه می شود:

$$\log(-x) = \log(x)$$

از طرف دیگر، لیب نیتز اصرار داشت که لگاریتم فقط برای  $x$  مثبت درست است.

لئونارد اویلر<sup>9</sup> مباحثه را به سود لیب نیتز در سال ۱۷۴۹ پایان داد، وی خاطر نشان ساخت که این انتگرالگیری نیاز به یک ثابت دلخواه دارد؛ (نکته ای که برنولی از آن غافل بود).

$$\log(-x) = \log(x) + c$$

اوایلر؛ با تبدیلات ماهرانه و رسمی روی عبارات، شامل اعداد مختلط گروهی از روابط نظری به دست آورد که از جمله شامل رابطه مشهور:

$$e^{i\theta} = \cos\theta + i\sin\theta$$

در سال ۱۷۴۸ بود. (با تاکید بر اینکه در این جهان هیچ چیز تازه نیست، باید متذکر شد که فرمولی معادل فرمول فوق در سال ۱۷۱۴ بر دو جر کاوتس<sup>10</sup> معلوم شده بود). با قرار دادن  $\theta = \pi$  می رسیم به:

$$e^{i\pi} = -1$$

رابطه ای که عجیب و غریب که سه سمبل ریاضی،  $e$ ،  $i$  و  $\pi$  را در یک معادله شگفت انگیز گرد آورده است.

---

9. Leonhard Euler

10. Roger Cotes

با بسط نظریه لگاریتم به اعداد مختلط با این تعریف که :

$$\log z = w$$

اگر و فقط اگر  $e^w = z$  باشد، نتایج شگفت انگیز دیگری به دست خواهد آمد. همین فرمول با کمی تغییر نتیجه می دهد:

$$e^{\log z + m\pi i} = e^{\log z} (e^{\pi i})^m$$

به ازاء یک عدد زوج  $m = 2n$ ، از رابطه فوق نتیجه می شود:

$$e^{\log z + 2n\pi i} = z,$$

و بنابراین  $\log z + 2n\pi i$  نیز یک لگاریتم  $z$  است. حاصل آنکه لگاریتم یک عدد مختلط چند ارزشی است. به ازاء یک عدد فرد  $m = 2n + 1$ ، داریم:

$$e^{\log z + (2n+1)\pi i} = -z,$$

و در نتیجه :

$$\log(-z) = \log z + (2n+1)\pi i$$

این تحلیلی بر مباحثه لیب نیتز - برنولی است: به ازاء  $x$  مثبت حقیقی،  $\log(-x)$  می بایست که مختلط باشد.

نظریه اعداد مختلط با دلفریبی هر چه بیشتر در حال رشد بود و کمبود آن تعبیری قوی بود تا بتواند دقیقاً بیان کند که این اقلام چه هستند.

در سال ۱۷۹۴ کاسپار وِسل<sup>۱۱</sup> مقاله ای به زبان دانمارکی منتشر کرد که در

11.Caspar Wessel

آن به شرح نمایش یک عدد مختلط به عنوان یک نقطه در صفحه پرداخته بود. این موضوع کلاً به فراموشی سپرده شد، تا این که صد سال بعد یک ترجمه فرانسوی از این مقاله انتشار یافت. در این احوال این نظریه را به جین-روبرت آرگاند<sup>12</sup> نسبت دادند که مستقلاً در سال ۱۸۰۶ به تفصیل در این باره مطلب نوشت. از آن زمان به بعد تعبیر هندسی اعداد مختلط به نام نمودار آرگاند شناخته شده است.

پیشتر دیگر در تئوری اعداد مختلط کارل فریدریش گاوس<sup>13</sup> بود. او در رساله دکتری خود در سال ۱۷۹۹ به مساله ای پرداخت که از همان ابتدای قرن هیجدهم مورد توجه ریاضی دانان بود. در ابتدا به طور گسترده ای باور بر این بود که، همانطور که ریشه های معادلات درجه دوم با ضرایب حقیقی می توانند اعدادی تازه «مختلط» باشند، ریشه های معادلات درجه دوم با ضرایب مختلط نیز، منجر به انواع تازه ای از اعداد می شوند. جین دالامبر<sup>14</sup> (۱۷۱۷-۸۳) حدس زد که اعداد مختلط به تنهایی کافی است. گاوس در «قضیه اساسی جبر» این حدس را تأیید کرد که هر معادله کثیر الجمله یک ریشه مختلط دارد. او ابتدا قضیه را صرفاً برای صورت «حقیقی» ثابت کرد بدین مفهوم که: هر کثیر الجمله با ضرایب حقیقی به عاملهای خطی (درجه اول) و درجه دوم (با ضرایب حقیقی) تجزیه می شود و به این ترتیب از کاربرد صریح اعداد موهوم پرهیز کرد؛ وی بعدها به حالت کلی پرداخت. تا سال ۱۸۱۱ او اعداد مختلط را به عنوان نقاطی از صفحه در نظر می گرفت و در نامه اش به بسل<sup>15</sup> همین را گفته بود. در سال ۱۸۳۱ نمایش اعداد مختلط را با تفصیل تمام انتشار داد که برایش موجب کسب احترام شد.

در سال ۱۸۳۷، تقریباً سه قرن پس از استفاده کاردان از «اعداد موهومی» ویلیام رووان هامیلتون<sup>16</sup> تعریف اعداد مختلط را به صورت زوجهای مرتب که قوانین مشخصی برای اعمال بر آنها وضع شده بود، منتشر ساخت. (در همان

12. Jean-Robert Argand

13. Carl Friedrich Gauss

14. Jean D'Alembert

15. Bessel

16. William Rowan Hamilton

سال گاوس به ولف گانگ بولیایی<sup>17</sup> نوشت که همان نظریه را در سال ۱۸۳۱ پرورانده است). بالاخره این کار، اعداد مختلط را بر پایه قوانین جبری استواری قرار داد.

## ۲. مبادی آنالیز مختلط

علی رغم پیدایش تدریجی مفهوم عدد مختلط، به نظر می رسد که توسعه آنالیز مختلط نتیجه ابهام ریاضی دانان در تعمیم است. این گفته، در مقام مقایسه با آنالیز حقیقی، براساس اندیشه و تامل است.

همانطور که متذکر شدیم، آثار اولیه ای از اعمال تحلیلی روی توابع مختلط در نوشته های برنولی، لایب نیتز، اویلر و معاصرین آنها دیده می شود.

گاوس، در نامه ۱۸۱۱ خود به بسل، نشان می دهد که از قضیه بنیادی مربوط به انتگرالگیری مختلط مطلع است و همین قضیه موجب شد که بعدها آنالیز مختلط بنیان نهاده شود. در آنالیز حقیقی، وقتی که می خواهیم از تابع  $f$  بین حدود  $a$  و  $b$  انتگرال بگیریم،

$$\int_a^b f(x) dx$$

خود این، حدود انتگرال را مشخص می کند. اما در حالت مختلط هم که  $a$  و  $b$  به عنوان نقاطی از صفحه داده می شوند، لازم است منحنی مشخصی را از  $a$  تا  $b$  معرفی کنیم و از این قرار «در طول منحنی انتگرال بگیریم». سوال این است که تا چه اندازه مقدار انتگرال بستگی به منحنی انتخاب شده دارد؟

گاوس چنین می گوید: من اکنون با قطعیت می گویم که  $\int f(x) dx$  فقط یک مقدار دارد. حتی اگر روی مسیرهای متفاوت اختیار شود، به شرط آنکه  $f(x)$  ... در فضای محصور بین این مسیر نامتناهی نشود. این قضیه ای بسیار زیباست که برهان آن را ... در موقعیتی مناسب بیان خواهم کرد.»

به نظر می آید که این موقعیت هرگز پیش نیامد. گام مؤثر در انتشار برهانی بر این حکم در سال ۱۸۲۵ به وسیله مردی برداشته شد که مقدر بود تا در اولین

مرحله از شکوفایی آنالیز مختلط مسند نشین باشد: آگوستین لویس کوشی<sup>18</sup>. پس از او این قضیه را «قضیه کوشی» نامیدند. نظریه های اساسی آنالیز مختلط به سرعت از میان دستهای کوشی پدیدار می شدند. برای اینکه یک تابع مختلط دیفرانسیل پذیر باشد طبیعتاً باید ویژگیهای بسیار داشته، قسمتهای حقیقی و موهومی آن خاصیتهای معینی را دارا باشد که معادلات کوشی-ریمان نامیده می شود. بررسی نشان داد که انتگرالهای کانتور<sup>19</sup> از توابع دیفرانسیل پذیر دارای خاصیتی هستند که منحصرأ به وسیله گاوس بیان شد. بعلاوه، اگر منظور محاسبه انتگرالی در طول یک مسیر باشد و این مسیر نقاطی را دور بزند که در آن نقاط تابع نامتناهی شود، کوشی نشان داد که چگونه این انتگرال را با کمک «تئوری مانده ها» می توان محاسبه کرد. مطلب اخیر نیاز به محاسبه یک ثابت دارد که «مانده» تابع در هر نقطه استثنایی نامیده می شود؛ نیز اطلاع از اینکه مسیر مورد نظر چند بار دور آن نقطه می چرخد مورد نیاز است. محل دقیق مسیر در عمل اصلاً اهمیتی ندارد.

در این نظریه سریهای توانی از اهمیت برخوردارند و دیگر کسانی که روی این نظریه کار می کردند به بسط این نظریات پرداختند. پی-یر-آلفونس لوران<sup>20</sup> در سال ۱۸۴۳ و سریهای لوران، را معرفی کرد که شامل توانهای منفی است. در این فرمول بندی، که در نزدیکی یک نقطه استثنایی  $z$  صورت می گیرد، یک تابع دیفرانسیل پذیر به صورت مجموعی از دو سری بیان می شود:

$$f(z) = [a_0 + a_1(z-z_0) + \dots + a_n(z-z_0)^n + \dots]$$

$$+ [b_1(z-z_0)^{-1} + \dots + b_n(z-z_0)^{-n} \dots]$$

در این صورت مانده تابع در  $z_0$  همان  $b_1$  است. با به کار بردن نظریه مانده ها غالباً دیده می شود که محاسبه انتگرالهای مختلط خیلی آسانتر از آن چیزی است که به

18. Augustin - Louis Cauchy

19. Contour

20. Pierre-Alphonse Laurent



تعاریف کوشی از نظریات تحلیلی همچون پیوستگی، حدود، مشتقات و غیره درست آن چیزی نیست که ما امروز به کار می‌بریم. کوشی این نظریات را بر اساس مفاهیم اینفینی تزیمال بیان کرد که کم کم مورد بی‌اعتنایی قرار گرفت. پس از او کارل وایر شتراس<sup>21</sup> (۹۷-۱۸۱۵) بحث دقیق در این زمینه را، با تعاریفی که هنوز اساسی محسوب می‌شوند، گسترش داد (گرچه پیشرفتهای اخیر در «آنالیز غیر استاندارد» که اینفینی تزیمالها را توجیه می‌کند، به ما نشان می‌دهد که در قضاوت نسبت به طرحهای کوشی خیلی عجول بوده ایم). وایر شتراس بنای کار خود را کلاً بر سریهای توانی نهاد. اما اثر او فاقد دیدگاه هندسی بود (دست کم آن طور که چاپ شده بود) این نقص به وسیله ایده‌های دور-رس برنهارد ریمان<sup>22</sup> (۶۶-۱۸۲۶) برطرف گردید. ریمان بخصوص با مفهومی به عنوان «رویه ریمان»، با آغاز از ۱۸۵۱، به بررسی تابعهای چند ارزشی می‌پردازد به این ترتیب که با چند لایه انگاشتن صفحه مختلط، تابع چند ارزشی مفروض بر هر یک از لایه‌ها، تابعی یک ارزشی باشد. در این مورد مطلب عمده روشی است توپولوژیک که در آن لایه‌ها به هم پیوند می‌شوند.

از نیمه قرن نوزدهم به بعد پیشرفت آنالیز مختلط سریع و پیوسته توام با گسترشهای دور-رس بوده است. آراء اساسی ریمان بر جای ماندند که اکنون تهذیب شده و به قالب زبان هر چه تازه تر توپولوژی درآمده اند. ابداع غامض اعداد مختلط، که زمانی گذشتگان ما آن را «ناممکن» و «بی مصرف» توصیف کرده بودند، هم اکنون به بخشی از یک نظریه مقنع زیبا با موارد استعمال عملی برجسته در آیرودینامیک، مکانیک سیالات و بسیاری زمینه‌های دیگر تبدیل شده است.

### ۳. معما

به «معمای تاریخی» خودمان بر می‌گردیم. چرا پیشرفت اعداد مختلط آنقدر پرزحمت و توام با تردید بود، در حالی که پیشرفت آنالیز ریاضی آنچنان

21. Karl Weierstrass

22. Bernhard Riemann

جواب قابل قبولی را بیان می‌کنیم (البته این یک نظر شخصی است، بنابراین در بحث باز است)، این جواب با توضیحاتی چون «شالوده و هجوم» که قبلاً بیان شد قدری تفاوت دارد.

چون به تاریخ گذشته اعداد مختلط بنگریم، به طور کلی چنین برمی‌آید که نسل‌های بی‌شماری از ریاضی دانان سر بر دیوار آجری می‌کوفتند، در جستجوی چه چیزی؟ چیزی بی‌مایه. تعریف اعداد مختلط به صورت زوج‌های مرتب  $(x, y)$ ، یا به صورت نقاطی در صفحه، بارها و بارها عنوان شد. این مطلب حتی در نوشته بامبلی مستتر است؛ آن را در نوشته والیس هم می‌توان دید، به وسیلهٔ وسل، آرگاند، گاوس باز هم مطرح شد. یک بار موریس کلاین<sup>23</sup> متذکر شد که: این که مردان بسیاری - کاتس، دوموآور<sup>24</sup>، اویلر، واندرموند<sup>25</sup> - اعداد مختلط را به صورت نقاطی در صفحه می‌نگریستند از این واقعیت سرچشمه می‌گیرد که در تلاش برای حل معادلهٔ  $x^n - 1 = 0$  جوابها را به عنوان رؤوس یک چند ضلعی منتظم می‌پنداشتند.

اگر این مسأله چنین جواب ساده‌ای داشت، چرا چنین چیزی زودتر شناخته نشد؟

ریاضیدانان گذشته چندان در پی یک ساختار برای اعداد مختلط به عنوان یک معنی نبودند، به مفهوم فلسفی این که «اعداد مختلط چه هستند؟». اما، پیشرفت آنالیز مختلط نشان داد که مفهوم عدد مختلط چنان مفید بود که هیچ ریاضیدانی با فکر درست نمی‌توانست از آن غفلت ورزد و زمانی که جوابی قانع کننده می‌یافت آن سوال فلسفی از خاطر محو می‌شد. خبر شادی بخش در جواب کنایه آمیز هامیلتون<sup>26</sup> به مسأله اساسی سیصد ساله مشاهده نمی‌شود که می‌گوید: «کلاه کهنه‌ای بود».

23. Morris Kline

24. de Moivre

25. Vandermonde

26. Hamilton

آن زمان که ریاضیدانان تصور خود را از اعداد مختلط به صورت یک نظریه منسجم درآوردند و اهمیت آنها که به وجود اعداد مختلط مربوط می شد از اهمیت افتاد و دیگر توجهی به این بیم نشد.

در تاریخ ریاضیات مواردی دیگر با چنین حالتی وجود دارد اما شاید هیچ یک به این صراحت نباشد.

با گذشت زمان، فرهنگ جهانی تغییر می کند. آنچه را که یک نسل به عنوان یک مسأله با یک راه حل می پندارد، نسل دیگر چنین تعبیری از آن ندارد. شایسته است به هنگام بررسی تاریخ ریاضیات، همواره این نکته را به خاطر داشته باشیم که تنها از دیدگاه نسل حاضر به تاریخ نگریستن، ممکن است به سردرگمی و سوء تعبیر بیانجامد.

#### ۴. دیدگاهی تازه

نتیجه ای را که هم اکنون بیان کردیم برای کسی که اولین بار به مطالعه آنالیز مختلط می پردازد اشارات ضمنی چندی را شامل است. گرچه بعضی اوقات بررسی پیشرفت این نظریه با توجه به زمنیه تاریخی آن مفید به نظر می رسد، اما لزومی ندارد که هر بار در صحنه نبردهای تاریخی بجنجیم. در این متن، هر جا که میسر باشد، به تجلیل از پیشتازانی می پردازیم که راه خود را به سوی خطه بکر ریاضیات گشودند اما پیشرفتهای اخیر به ما امکان می دهد که این نظریه را با دید تازه ای بنگریم. برای شنونده جدید همان نام آنالیز مختلط، آوای گمراه کننده ای به همراه دارد: همین نام، مختلط بودن را به مفهوم پیچیده بودن به ذهن متبادر می کند. لفظ پیشین، «مرکب» (به جای مختلط) شاید وقتی مناسب باشد که «جزء حقیقی» از یک عدد مختلط وضعی کاملاً متفاوت با «جزء موهومی» آن داشته باشد. ولی امروزه یک عدد مختلط یک کُل کامل است. اما آنالیز مختلط چیست؟ دو کپیه از آنالیز حقیقی - اگر بتوان چنین چیزی گفت - با تاکید زائد بر جبر به قیمت هندسه، طوری که سرانجام به مراتب تواناتر شود. در واقع اعداد مختلط غامض تر از اعداد حقیقی نیستند؛ از بعضی جهات ساده ترند. مثلاً، کثیر الجمله ها همیشه ریشه دارند. به طور مشابه آنالیز مختلط در بیشتر موارد ساده تر از آنالیز

حقیقی است: مثلاً، هر تابع دیفرانسیل پذیر هر چند بار بخوایم دیفرانسیل پذیر است و یک بسط به سری توانی دارد.

برای ورود به بحث دو اصل سازمان دهنده اساسی را می پذیریم: نخست تعمیم مستقیم آنالیز حقیقی به آنالیز مختلط است. تعاریف مربوط به حدود، پیوستگی، دیفرانسیل گیری و انتگرال گیری تعمیم طبیعی از مفاهیم حقیقی است، به شرط آنکه در بیشتر عبارتها دقیقاً به آنها توجه کنیم. در شرایط فعلی هر دانشجویی که درسی از آنالیز مختلط انتخاب می کند، می توان فرض کرد که مطالعه ای طولانی روی آنالیز حقیقی داشته است و در نتیجه در بسیاری از نبردها به پیروزی رسیده است: بدین مناسبت ما دانشجو را و می داریم که به اندوخته دانش خود رجوع کند، تنها درنگی خواهیم داشت برای آنکه آنها را، برای استفاده فعلی، به قالب مناسب درآورد. این کار از صرف دقت و انرژی ما می کاهد به ما اجازه می دهد که هر جا اختلافهای درخور توجه پیش آید تا عمق مطلب پیش برویم. این مورد همواره پیش می آید، زیرا صفحه، هندسه ای سرشارتر از خط دارد و همین موضوع باعث می شود که دومین اصل سازمان دهنده عمده خود را بیان کنیم: دید هندسی ارزنده است و باید پرورش داده شود. مسلماً، این دید هندسی باید به بحثهای رسمی جدی ترجمه شود و این کار را با به کار گرفتن مفاهیم توپولوژی جدید می توان انجام داد.

با به کار گرفتن این دو اصل راه ورود مستقیم به آنالیز مختلط به دست می آید. ابتدا اعداد مختلط را به طور رسمی به صورت زوجهای مرتب از اعداد حقیقی تعریف می کنیم، با این تعبیر که آنها را نقاطی از صفحه می دانیم. سپس توپولوژی اعداد مختلط را بر حسب توپولوژی صفحه بیان می کنیم. در پی آمدهای متوالی می توان تعمیم های مختلط از مفاهیم پیوستگی، حدود و دیفرانسیل گیری را با تاکید خاص بر سریهای توانی به انجام رسانید که نقشی در آینده خواهند داشت. مطالعه تابع توانی مختلط، که به صورت سری توانی معمولی داده می شود، بستگی نزدیک بین این تابع و تابعهای مثلثاتی را آشکار می سازد (که خود تابعهای مثلثاتی نیز به صورت سریهای توانی بیان می شوند). پس از عمومیت دادن مفهوم انتگرال گیری، لگاریتم را می توان به صورت

معکوس یک توان، یا به صورت یک انتگرال بیان کرد.  $\log z = \int \frac{1}{z} dz$  که به وجه مناسب تعبیر شده باشد. این تعبیر بستگیهای نزدیک بین شهود هندسی و آنالیز رسمی را نشان می دهد.

در این مرحله قضیه کوشی به صورتهای متفاوت و با به کار گرفتن بحث های انتگرال گیری منجر به برهانی می شود برای این قضیه که: هر تابع دیفرانسیل پذیر به صورت یک سری توانی بیان کرد. کلی تر آنکه، سری لوران (با به کار گرفتن توانهای مثبت و منفی) توجه به نقاط منفرد (تکین) دارد. که در آن نقاط تابعها نامتناهی می شوند و از آن به «نظریه مانده ها» هدایت می شویم که برای محاسبه انتگرالهای مختلط نظریه محکمی است.

با برگشت به نظریات هندسی، ملاحظه می شود که آنالیز مختلط در نظریه پتانسیل دو بعدی بس گرانبها است. نهایتاً عقاید هندسی ریمان را از دیدگاه توپولوژی جدید می توان بررسی کرد تا بصیرتی کامل در مود تابعهای «چند ارزشی» (مثل لگاریتم) حاصل آید و زمینه پیشرفتهای تازه فراهم شود.

## فصل اول

### جبر صفحه مختلط

«روح مقدس به آستانه ای رفیع در اعجاز آنالیز، در شگفتی دنیای ایده آل، در دوگانگی بین بودن و نبودن که ما آن را ریشه های موهومی واحد می نامیم، دست یافت.» این سخن گاتفرید لیب نیتز در ۱۷۰۲ است - هر چند سخنوریش را با خودش به همراه برده باشد.

دید فعلی راجع به  $\sqrt{-1}$  قدری ملال آور است، گرچه استفاده هایی که از آن شده لااقل به همان اندازه امید بخش است. وضع منطقی اعداد «مختلط»، که آن همه تشنت را در قرن هیجدهم سبب شد، در حال حاضر عمدتاً در تراز اعداد «حقیقی» است. آنچه که پیشینیان را سردرگم کرده بود تصنع آشکار و تجرید دستگاه اعداد مختلط در مقایسه با واقعی و طبیعی بودن دستگاه اعداد «حقیقی» بود؛ اما ریاضیدان امروزی اعداد حقیقی را هم دارای تصنع و تجرید مشابه می داند.

در این فصل به بحث در ساختمان دستگاهی از اعداد می پردازیم که شامل همان اعداد حقیقی متعارف است. اما امکان حل معادله  $x^2 = -1$  را هم فراهم

می آورد. این دستگاه را به عنوان (دستگاه) اعداد مختلط می شناسیم. خوانندگان بسیاری هستند که از پیش به محتوای این فصل واقفند: با این وصف مطالعه اجمالی همه آن توصیه می شود تا مطالبی چون نماد گذاری را بررسی کنند و سپس به فصل بعد پردازند.

همان طور که خط برای نمایش اعداد حقیقی به کار می رود، صفحه نیز وسیله ای طبیعی برای ارائه هندسی اعداد مختلط است. آزادی بیشتری که صفحه از آن برخوردار است به موضوع مورد بحث ما حالتی هندسی می دهد، که ما بر سر آنیم که در پرداختن به این نظریه همواره آن را مد نظر داشته باشیم.

### ۱. ساختمان اعداد مختلط

یک عدد مختلط را به صورت یک زوج مرتب  $(x, y)$  از اعداد حقیقی تعریف می کنیم. جمع و ضرب دو عدد مختلط چنین تعریف می شوند:

$$(x_1, y_1) + (x_2, y_2) = (x_1 + x_2, y_1 + y_2) \quad (1)$$

$$(x_1, y_1)(x_2, y_2) = (x_1x_2 - y_1y_2, x_1y_2 + y_1x_2) \quad (2)$$

مثلاً

$$(3.5)(2, 7) = (3.2 - 5.7, 3.7 + 5.2) = (-2.9, 3.1)$$

این تعریف محصول قرنها تلاش برای درك اعداد مختلط است، و نشان می دهد که یک نظریه ساده گاه تا چه حد می تواند گمراه کننده باشد. به هر حال، قبل از آنکه رابطه این زوجهای مرتب را با  $\sqrt{-1}$  بیان کنیم، به بیان چند خاصیت ساده می پردازیم.

**قضیه ۱.۱.** مجموعه اعداد مختلط، همراه اعمالی با تعریفهای فوق، یک میدان است. یعنی اکسیومهای زیر برقرارند: اگر  $z_1 = (x_1, y_1)$ ،  $z_2 = (x_2, y_2)$ ،  $z_3 = (x_3, y_3)$  اعدادی مختلط باشند، آنگاه

جمع و ضرب جابه جایی (تعویض پذیر) هستند:

$$\left. \begin{aligned} z_1 + z_2 &= z_2 + z_1 \\ z_1 z_2 &= z_2 z_1 \end{aligned} \right\} (3)$$

جمع و ضرب شرکت پذیر (انجمنی) هستند:

$$\left. \begin{aligned} (z_1 + z_2) + z_3 &= z_1 + (z_2 + z_3) \\ (z_1 z_2) z_3 &= z_1 (z_2 z_3) \end{aligned} \right\} (4)$$

یک عضوی اثر عمل جمع  $(0, 0)$  وجود دارد:

$$z_1 + (0, 0) = z_1 \quad (5)$$

یک عضوی اثر عمل ضرب  $(1, 0)$  وجود دارد:

$$z_1 (1, 0) = z_1 \quad (6)$$

هر عضوی یک معکوس جمعی دارد:

$$(x, y) + (-x, -y) = (0, 0). \quad (7)$$

هر عضوی غیر از صفر یک معکوس ضربی دارد:

$$(x, y) \left( \frac{x}{x^2 + y^2}, \frac{-y}{x^2 + y^2} \right) = (1, 0). \quad (8)$$

ضرب روی جمع توزیع پذیر (پخش پذیر یا پخشی) است:

$$z_1(z_2 + z_3) = z_1 z_2 + z_1 z_3 \quad (9)$$

برهان. همه گفتارهای (۸) - (۳) نتایج مستقیم (۱) و (۲) هستند (البته با استفاده



از خواص میدان اعداد حقیقی (R). مثلاً در (۹) داریم:

$$\begin{aligned} z_1(z_2 + z_3) &= (x_1, y_1)(x_2 + x_3, y_2 + y_3) \\ &= (x_1(x_2 + x_3) - y_1(y_2 + y_3), x_1(y_2 + y_3) + y_1(x_2 + x_3)) \\ &= (x_1x_2 + x_1x_3 - y_1y_2 - y_1y_3, x_1y_2 + x_1y_3 + y_1x_2 + y_1x_3). \end{aligned}$$

$$\begin{aligned} z_1z_2 + z_1z_3 &= (x_1, y_1)(x_2, y_2) + (x_1, y_1)(x_3, y_3) \\ &= (x_1x_2 - y_1y_2, x_1y_2 + y_1x_2) + (x_1x_3 - y_1y_3, x_1y_3 + y_1x_3) \\ &= (x_1x_2 - y_1y_2 + x_1x_3 - y_1y_3, x_1y_2 + y_1x_2 + x_1y_3 + y_1x_3) \end{aligned}$$

که، بنابر جبر حقیقی، همان زوج مرتب است.

بر خواننده است که دلایل مشابهی برای سایر گفتارها بیاورد.

نماد C برای میدان اعداد مختلط به کار می رود.

## ۲. نماد $x + iy$

نمادی که معمولاً برای یک عدد مختلط به کار می رود  $(x, y)$  نیست بلکه  $x + iy$  است. این موضوع به اوایلر برمی گردد، که  $i$  را به جای  $\sqrt{-1}$  در سال ۱۷۷۷ به کار برد؛ هر چند این نماد اولین بار به وسیله گاوس به کار گرفته شد. به منظور وفق این نماد، به ترتیب زیر عمل می کنیم. ابتدا توجه کنید که چون

$$(x_1, 0) + (x_2, 0) = (x_1 + x_2, 0),$$

$$(x_1, 0)(x_2, 0) = (x_1x_2, 0),$$

است، پس می توان عدد مختلط  $(x_1, 0)$  را به عنوان عدد حقیقی  $x_1$  تعریف کرد. با

تکیه بیشتر بر قواعد نظری، نگاشت

$$(x_1, 0) \rightarrow x_1$$

یک ایزومورفیسم بین مجموعه اعداد مختلط به صورت  $(x_1, 0)$  و میدان اعداد حقیقی  $R$  تعریف می کند. اکنون تعریف می کنیم:

$$i = (0, 1)$$

آنگاه

$$x + iy = (x, 0) + (0, 1)(y, 0)$$

$$= (x, y)$$

(طبق (۱)، (۲) فوق)

بالاخره، ملاحظه کنید که

$$i^2 = (0, 1)(0, 1)$$

$$= (0 \cdot 0 - 1 \cdot 1, 0 \cdot 1 + 1 \cdot 0)$$

$$= (-1, 0)$$

$$= -1.$$

به این معنی می توان گفت  $i = \sqrt{-1}$ .

نماد  $x + iy$  مناسب تر و محاسبات جبری با آن آسان است و ازین به بعد به کار برده می شود. همه دستورات جبری متعارف، البته همراه با دستور  $i^2 = -1$ ، در مورد آن به کار می رود. مثلاً برای ضرب کردن، اعمال را به طور کامل انجام می دهیم:

$$\begin{aligned} (x_1 + iy_1)(x_2 + iy_2) &= x_1x_2 + x_1iy_2 + iy_1x_2 + iy_1iy_2 \\ &= x_1x_2 + i(x_1y_2 + y_1x_2) + i^2y_1y_2. \end{aligned}$$

اما  $i^2 = -1$ ، پس حاصل چنین می شود:

$$x_1x_2 - y_1y_2 + i(x_1y_2 + y_1x_2)$$

ملاحظه می شود که این محاسبه، بیانگر فرمول ضرب (۲) است؛ فرمول (۱) نیز به همین طریق، اما ساده تر، حاصل می شود. از این قرار تعریف به وسیله (۱) و (۲) حاکی از تدبیر زیرکانه ای است.

فرمول (۸) که مربوط به معکوسها است به طریق زیر نیز به دست می آید:

$$\frac{1}{x+iy} = \frac{1}{x+iy} \cdot \frac{x-iy}{x-iy} = \frac{x-iy}{x^2+y^2}$$

مثال

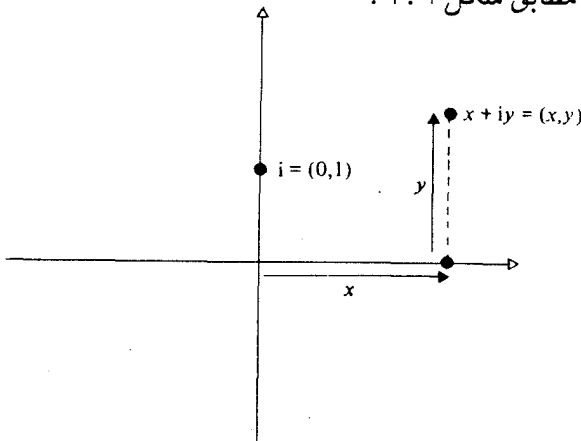
عبارت  $\frac{2+3i}{1+2i}$  را به صورت  $x+iy$  بنویسید.

داریم:

$$\frac{2+3i}{1+2i} = \frac{(2+3i)(1-2i)}{(1+2i)(1-2i)} = \frac{2-6+i(-4+3)}{5} = -\frac{4}{5} - \frac{i}{5}$$

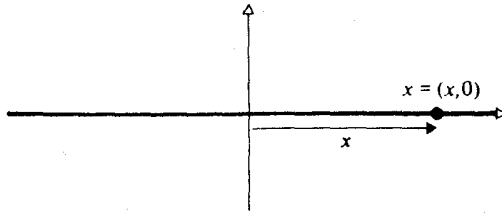
### ۳. تعبیری هندسی

چون زوجهای مرتب  $(x,y)$  بیانگر مختصات در صفحه  $R^2$  هستند پس می توان C را به عنوان یک صفحه در نظر گرفت، طوری که عدد  $x+iy$  نظیر نقطه  $(x,y)$  باشد، مطابق شکل ۱-۱.



شکل ۱-۱

از این قرار، تعیین هویت  $(x,0)$  به وسیله  $x$  منجر به ساختن محور حقیقی در همان صفحه به وسیله اعداد حقیقی می شود، مطابق شکل ۲-۱.



شکل ۲-۱

محور  $y$ ها، به زاویه قائم با محور حقیقی، محور موهومی نامیده می شود. این نمایش هندسی را غالباً دیاگرام آرگاند یا صفحه گاوس می نامند.

از آنجا که بسیاری از ریاضیدانهای دیگر ادعاهای مقبولی بر آن دارند، ما هم برای احتراز از دادن امتیاز ناروا به احدی از آنها فقط با لفظ صفحه مختلط ارجاع به آن خواهیم داشت. با اصطلاحات صرفاً هندسی باید گفت، که این همان صفحه حقیقی  $R^1$  است؛ اما وقتی که به عنوان  $C$  تعبیر شود دارای خاصیت اضافی ساختمان جبری یک میدان خواهد بود و همین خاصیت است که به صفحه مختلط ویژگیهای خاص می دهد.

#### ۴. جزءهای حقیقی و موهومی

عدد مختلط  $z = x + iy$  داده شده است.  $x$  را جزء حقیقی  $z$ ، و  $y$  را جزء

موهومی آن می نامیم. و نماد زیر را به کار می گیریم:

$$x = \text{re}(z)$$

$$y = \text{im}(z)$$

هر دو اینها اعداد حقیقی هستند: همان مختصات  $z$  در صفحه مختلط.

#### ۵. مدول

مدول، یا قدر مطلق، یک عدد حقیقی  $x$  چنین تعریف می شود:

$$|x| = \begin{cases} x & (x \geq 0) \\ -x & (x < 0) \end{cases} \begin{array}{l} \text{اگر} \\ \text{اگر} \end{array}$$

از این تعریف، تعمیم واضحی به منظور تعریف قدر مطلق یا مدول اعداد مختلط به دست نمی آید، زیرا (بخش ۸ پائین را ببینید) در  $C$  ترتیب مفیدی وجود ندارد. اما از نظر هندسی  $|x|$  را می توان فاصله  $x$  تا مبدا خط حقیقی تعبیر کرد. همین یعنی، در صفحه مختلط ما را به تعریف:

$$|z| = \sqrt{x^2 + y^2}$$

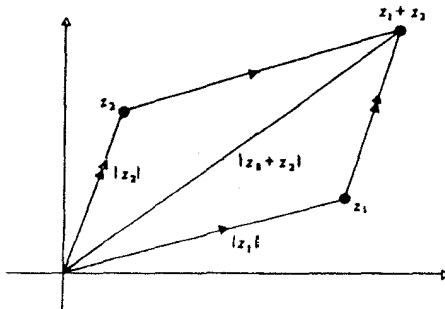
برای مدول عدد مختلط  $z = x + iy$  هدایت می کند. منظور ما اینجا ریشه دوم مثبت است: توجه کنید که  $x^2 + y^2$  یک عدد حقیقی مثبت است، پس فرمول مذکور معنی دار است.

این مدول دارای خواص زیر است:

$$|z_1 + z_2| \leq |z_1| + |z_2| \quad (10)$$

$$|z_1 z_2| = |z_1| |z_2| \quad (11)$$

خاصیت (۱۱) بی درنگ از تعریف نتیجه می شود. اثبات نامساوی مثلثی (۱۰) به طور مستقیم قدری مشکلتر است. گرچه تعبیر هندسی آن (شکل ۱-۳) واقعیت



شکل ۱-۳

آشکارا بزرگتر نبودن یک ضلع مثلثی از مجموع دو ضلع دیگر آن است.

برای اثبات (۱۰) با توجه به این که چون دو طرف آن مثبت است، پس معادل است  
با:

$$|z_1 + z_2|^2 \leq (|z_1| + |z_2|)^2$$

و به این صورت در می آید:

$$(x_1 + x_2)^2 + (y_1 + y_2)^2 \leq |z_1|^2 + 2|z_1||z_2| + |z_2|^2$$

که در آن  $z_1 = x_1 + iy_1$  و  $z_2 = x_2 + iy_2$  است. با ساده کردن، رابطه فوق فقط و فقط وقتی برقرار است که

$$x_1x_2 + y_1y_2 \leq |z_1||z_2|$$

باشد. چون سمت راست این رابطه مثبت است، پس نامساوی مطلوب از نامساوی زیر حاصل می شود:

$$(x_1x_2 + y_1y_2)^2 \leq |z_1|^2|z_2|^2$$

اما

$$\begin{aligned} |z_1|^2|z_2|^2 - (x_1x_2 + y_1y_2)^2 &= (x_1^2 + y_1^2)(x_2^2 + y_2^2) - (x_1x_2 + y_1y_2)^2 \\ &= (x_1y_2 - x_2y_1)^2 \end{aligned}$$

که مقداری مثبت است. این، برهان را کامل می کند.

### ۶. مزدوج مختلط

اگر  $z = x + iy$  باشد. آنگاه (بنا به تعریف) مزدوج مختلط آن عبارت است از:

$$\bar{z} = x - iy$$

از دیدگاه هندسی، مزدوج مختلط  $z$  عبارت است از: قرینه  $z$  نسبت به

محور xها (شکل ۱-۴). اثبات مستقیم روابط زیر آسان است:

$$\overline{z_1 + z_2} = \bar{z}_1 + \bar{z}_2 \quad (12)$$

$$\overline{z_1 z_2} = \bar{z}_1 \bar{z}_2 \quad (13)$$

$$\operatorname{re}(z) = \frac{1}{2}(z + \bar{z}) \quad (14)$$

$$\operatorname{im}(z) = \frac{1}{2j}(z - \bar{z}) \quad (15)$$

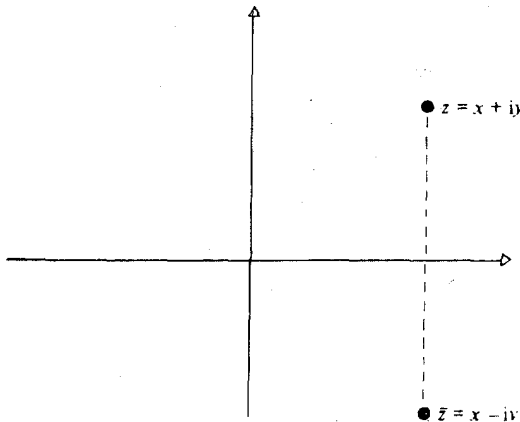
$$|z|^2 = |z\bar{z}| \quad (16)$$

$$z = \bar{z} \quad \text{اگر و فقط اگر } z \text{ حقیقی است} \quad (17)$$

خواص (۱۲) و (۱۳) متضمن این نکته مهم هستند که مزدوج مختلط هر عبارت چند جمله‌ای از عددهای مختلط  $z_1, z_2, \dots$  و چنین به دست می‌آید که یک خط تیره روی هر ضریب یا هر متغیر موجود در عبارت قرار دهیم. مثلاً،

$$\begin{aligned} \overline{\omega z_1 z_2 - z_2^2 + 2z_1} &= \bar{\omega} \bar{z}_1 \bar{z}_2 - \bar{z}_2^2 + 2\bar{z}_1 \\ &= \omega \bar{z}_1 \bar{z}_2 - z_2^2 + 2\bar{z}_1 \end{aligned}$$

چون  $\omega$  و  $2$  حقیقی هستند، پس  $\bar{\omega} = \omega, \bar{2} = 2$  می‌شود.



شکل ۱-۴

## ۷. مختصات قطبی

عبارت  $x + iy$  به عنوان یک عدد مختلط بستگی نزدیک با مختصات کارتزین  $(x, y)$  در صفحه دارد. به این نتیجه رسیده ایم که کار کردن با مختصات قطبی  $(r, \theta)$  غالباً مفید واقع می شود،  $(r, \theta)$  را به نقطه ای متناظر می کنیم که به فاصله  $r$  از مبدا است و شعاعی که این نقطه را به مبدا وصل می کند با جهت مثبت محور  $x$  ها زوایای برابر  $\theta$  می سازد که جهت آن عکس جهت حرکت عقربه های ساعت است (شکل ۱-۵). ناگفته نماند که ما  $\theta$  را با رادیان اندازه می گیریم. این دستگاه های مختصات با روابط زیر به هم مربوط هستند:

$$x = r \cos \theta \quad (18)$$

$$y = r \sin \theta$$

نتیجه می گیریم که:

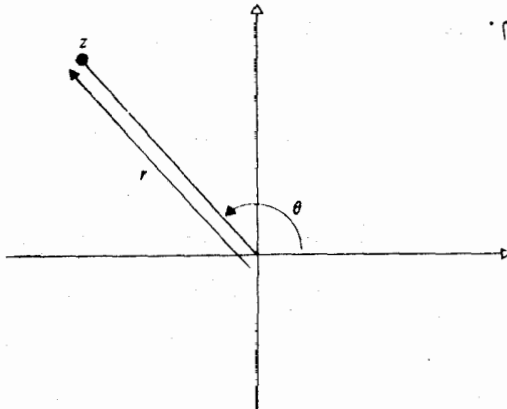
$$r = \sqrt{x^2 + y^2} = |Z|$$

که در آن  $z = x + iy$ .

هر مقدار از  $\theta$  که در روابط (۱۸) صدق کند یک آرگومان  $z$  نامیده می شود. حرف تعریف «یک» از آن جهت به کار گرفته می شود که  $\theta$  منحصر به فرد نیست: اگر  $\theta$  یک آرگومان باشد  $\theta + 2k\pi$  به ازاء هر عدد صحیح  $k$  نیز چنین است. با درك اینکه  $\theta$  فقط با مضربهای صحیح از  $2\pi$  منحصر به فرد است می توانیم نماد

$$\theta = \arg(Z)$$

را به کار بریم.



شکل ۱-۵



غالب اوقات با یک قرارداد می توان  $\theta$  را به صورت منحصر به فرد در آورد: مثلاً می توانیم شرط کنیم که  $\theta$  در فاصله  $[0, 2\pi)$  یا در  $[-\pi, \pi)$  انتخاب شده باشد. مقدار منحصر به فرد  $\theta$  در فاصله  $[-\pi, \pi)$  به عنوان مقدار اصلی آرگومان شناخته می شود. (ما همین فاصله را به خاطر رویه استاندارد می پذیریم. مزیت اصلی آن این است که در این صورت  $\theta$  در حوالی محور حقیقی، که برای آن  $\theta = 0$  است، رفتار خوبی دارد. باید گفت که این یک نکته فنی است که بعدها اهمیت پیدا می کند. منحصر به فرد نبودن  $\theta$  پدیده ای است با جنبه های متعدد در این نظریه، آنچنان که خواهیم دید.)

با توجه به  $z$  و  $\theta$  در تعریف فوق داریم:

$$z = x + iy = r(\cos \theta + i \sin \theta)$$

عبارت  $\cos \theta + i \sin \theta$  در آنالیز مختلط اهمیت قابل ملاحظه ای دارد. در فصل ۵ آن را به تابع توانی مختلط مربوط می کنیم.

### ۸. اعداد مختلط را نمی توان مرتب کرد

برای اعداد حقیقی می توان ترتیبی قائل شد (یک ترتیب معمول عبارت است از  $<$ ) که از جمله خواص آن عبارت است از:

$$(19) \quad \text{اگر } x \neq 0, \text{ آنگاه یا } x > 0 \text{ یا } x < 0, \text{ اما نه هر دو.}$$

$$(20) \quad \text{اگر } x > 0, y > 0, \text{ آنگاه } xy > 0, x + y > 0.$$

چنین ترتیبی را نمی توان بر اعداد مختلط تعریف کرد. فرض کنیم که بتوان چنین کاری کرد. آنگاه چون  $i \neq 0$  از (۱۹) نتیجه می شود که یا  $i > 0$  یا  $i < 0$ . آنگاه (۲۰) ایجاب می کند که  $i \cdot i > 0$  یا  $-1 = i \cdot i > 0$  یا  $(-i) \cdot (-i) > 0$  یا  $-1 = (-i) \cdot (-i) > 0$ . در همان حال،  $1 = (-1) \cdot (-1) > 0$  و به این ترتیب نتیجه می گیریم که  $1, -1$  هر دو بزرگتر از صفر هستند که متناقض با (۱۹) است.

بنابراین در مورد اعداد مختلط نامساویهایی شبیه آنچه در اعداد حقیقی معمول است نمی توان به کار گرفت. هر نامساوی ای که مطرح می شود، باید فقط شامل حقیقیها باشد (معمولاً مربوط به اعداد مختلط مفروض). مثلاً، اگر  $z \in \mathbb{C}$ ، آنگاه

$$z > 1$$

معنی ندارد؛ اما

$$|z| > 1$$

یا

$$\operatorname{re}(z) > 1$$

قابل قبول است. (این دو یک چیز نیستند!). بنا به قرارداد، اگر گزاره ای را به صورت

$$\varepsilon > 0$$

بنویسیم خود به خود مستلزم آن است که  $\varepsilon$  یک عدد حقیقی باشد.

## تمرین های ۱

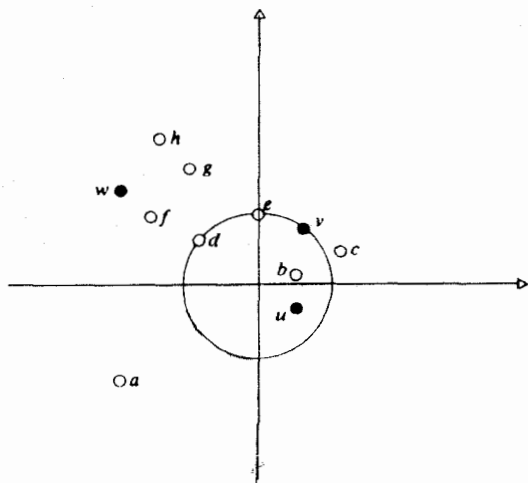
۱. با تفصیل تمام بررسی کنید که اعداد مختلط  $C$  تحت اعمال جمع و ضرب مذکور در فوق تشکیل یک میدان می دهند.

۲. اگر  $z_1, z_2 \in C$ ، ثابت کنید:

$$|z_1 + z_2| \leq |z_1| + |z_2| \quad (\text{الف})$$

$$\left| |z_1| - |z_2| \right| \leq |z_1 - z_2| \quad (\text{ب})$$

۳. در شکل ۱-۶ نقطه های سیاه معرف سه عدد مختلط هستند (همان طور که نشان داده شده اند). دایره ای که مشاهده می کنید دایره واحد  $|z| = 1$  است. نقطه های باز  $a, b, c, d, e, f, g, h$  (به ترتیبی) معرف  $u+v, u+w, u+v+w, uv, uw, vw, uvw$  هستند. کدام معرف کدام است.



شکل ۱-۶

۴. با نوشتن  $z$  به صورت  $z = a + bi$  همه جوابهای  $z$  را از معادلات زیر به دست آورید:

$$z^2 = -5 + 12i \quad (\text{الف})$$

$$z^2 = 2 + i \quad (\text{ب})$$

$$(7 + 24i)z = 375 \quad (\text{ج})$$

$$z^2 - (3 + i)z + (2 + 2i) = 0 \quad (\text{د})$$

$$z^2 - 3z + 1 + i = 0 \quad (\text{ه})$$

۵. اگر  $\lambda$  یک عدد حقیقی باشد، ثابت کنید که

$$\{z \in \mathbb{C} \mid |z| = \lambda|z - 1|\}$$

یک دایره است، مگر اینکه  $\lambda$  یک مقدار خاص اختیار کند (کدام مقدار؟).  
۶. این مجموعه از نقاط را رسم کنید.

$$\{z \in \mathbb{C} \mid \operatorname{re}(z+1) = |z-1|\}$$

به این ترتیب که  $z = x + iy$  قرار دهید و معادله مربوط به مقادیر حقیقی  $x$  و  $y$  را به دست آورید.

اما توجه کنید که  $\operatorname{re}(z+1)$  عبارت است از فاصله  $z$  تا خط  $y = -1$  و  $|z-1|$  عبارت است از فاصله بین  $z$  و  $1$ . مقایسه کنید با تعریف کلاسیک «کانون - خط هادی» برای یک سهمی: مکان هندسی نقطه ای متساوی الفاصله از یک خط ثابت (اینجا  $y = -1$ ) و یک نقطه ثابت (اینجا  $(1, 0)$ ).

۷. مجموعه همه  $z$  های متعلق به  $C$  را که در شرایط زیر صدق می کنند رسم کنید:

$$\operatorname{re}(z) > 2 \quad (\text{الف})$$

$$1 < \operatorname{im} z < 2 \quad (\text{ب})$$

$$1 < \operatorname{im}(z-i) < 2 \quad (\text{ج})$$

$$|z| < 2 \quad (\text{د})$$

$$|z| > 1 \quad (\text{ه})$$

$$1 < |z| < 2 \quad (\text{و})$$

$$|z-1| < 1 \quad (\text{ز})$$

$$|z-1| < |z+1| \quad (\text{ح})$$

عبارت های  $|z+1|, |z-1|$  را به عنوان فواصل بین نقاط تعبیر کنید و (ج) و (ه) را بر حسب فواصل  $z$  از  $1$  و  $-1$  بیان کنید.

۸. مجموعه همه  $z$  های متعلق به  $C$  را که در شرایط زیر صدق می کنند رسم کنید:

$$z\bar{z} = 1 \quad (\text{الف})$$

$$z + i\bar{z} + 1 + i = 0 \quad (\text{ب})$$

$$z + \bar{z} + 2 = 0 \quad (\text{ج})$$

$$z + \bar{z} + 2i = 0 \quad (\text{د})$$

۹. فرض می کنیم  $r, s, \theta, \phi$  حقیقی باشند. با فرض

$$z = r(\cos \theta + i \sin \theta)$$

$$w = s(\cos \phi + i \sin \phi)$$

حاصلضرب  $zw$  را تشکیل دهید و از فرمولهای  $\cos(\theta + \phi)$ ،  $\sin(\theta + \phi)$

استفاده و ثابت کنید:

$$\arg(zw) = \arg(z) + \arg(w)$$

با استقراء بر  $n$ ، قضیه دو موآور

$$(\cos \theta + i \sin \theta)^n = \cos n\theta + i \sin n\theta$$

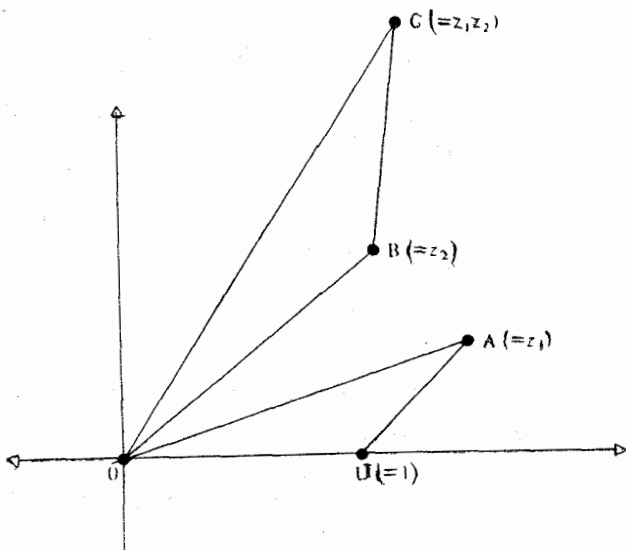
را به ازاء همه اعداد طبیعی  $n$  نتیجه بگیرید.

بخصوص حالت  $n=3$  را در نظر بگیرید و فرمولهای متعارف برای  $\cos^3\theta$  و  $\sin^3\theta$  بر حسب  $\cos\theta$  و  $\sin\theta$  را بازیابی کنید.

۱۰. قضیه دو موآور (تمرین ۹) و رابطه  $z = r(\cos\theta + i\sin\theta)$  را به کار ببرید و ثابت کنید که معادله  $z^3 = 1$  دارای سه ریشه متمایز است. آنها را بیابید.

ریشه های دوم  $1 + \sqrt{3}i$ ،  $1 - i$ ، و  $\sqrt{3} - i$  را حساب کنید؛ همچنین ریشه های سوم  $\sqrt{3} + i$ ،  $1 - i$ ، و  $1 - i$  را. این نقاط را در صفحه مختلط نقش کنید.

۱۱. در کتابهای درسی گذشته، حاصلضرب دو عدد مختلط غالباً چنین تعیین می شود. دو عدد مختلط  $z_1$ ،  $z_2$  مفروضند، آنها را در صفحه مختلط با  $A$  و  $B$  نمایش دهید و فرض کنید  $O$  و  $U$  به ترتیب نقاط  $z=0$  و  $z=1$  باشند (شکل ۱.۷ را ملاحظه کنید). مثلث  $OBC$  را متشابه مثلث  $OUA$  رسم کنید (که در آن  $\angle OBC = \angle OUA$ ،  $\angle BOC = \angle UOA$ ). در این صورت  $z_1 z_2$  به وسیله نقطه  $C$  که نتیجه این ترسیم است نمایش داده می شود. با استفاده از این واقعیت که  $|z_1 z_2| = |z_1| |z_2|$ ، و نتیجه تمرین ۶، نشان دهید که آنچه در این تمرین آمد با تعریف فرمولی (برای ضرب دو عدد مختلط) که در این متن ذکر شد، تطبیق می کند.



شکل ۱-۷

۱۲. ریشه دوم یک عدد مختلط  $z$  یعنی  $\sqrt{z}$  را عددی مختلط مانند  $w$  تعریف کنید به قسمی که  $w^2 = z$  باشد. ثابت کنید هر عدد مختلط دلخواه ناصفر دقیقاً دو ریشه مختلط دارد، و برای آنها فرمولهایی بر حسب  $\operatorname{Re} z$  و  $\operatorname{Im} z$  ارائه دهید. اگر  $a, b, c \in \mathbb{C}$ ،  $a \neq 0$ ، نشان دهید که جوابهای معادله درجه دوم

$$az^2 + bz + c = 0$$

دقیقاً عبارت است از:

$$z = \frac{-b \pm \sqrt{b^2 - 4ac}}{2a}$$

۱۳. قضیه دوموآور را برای محاسبه  $\cos \Delta\theta$  و  $\sin \Delta\theta$  بر حسب  $\cos \theta$  و  $\sin \theta$  به کار گیرید.

۱۴. ثابت کنید که قضیه دوموآور در حالتی که  $n$  عددی صحیح و منفی باشد برقرار است.

۱۵. ریشه  $k$ ام  $z$  یعنی  $\sqrt[k]{z}$  را  $w$  بنامید به قسمی که  $w^k = z$  شود و با استفاده از قضیه دوموآور عبارتی برای  $\sqrt{r}(\cos \theta + i \sin \theta)$  بیابید.

۱۶. فرض می‌کنیم  $\alpha, \beta, \gamma, \delta \in \mathbb{C}$  و  $\gamma \neq 0$ ، و  $\alpha\delta \neq \beta\gamma$  باشد. تابع  $\phi$  را چنین تعریف می‌کنیم:

$$\phi(z) = \frac{\alpha z + \beta}{\gamma z + \delta}$$

ثابت کنید که  $\phi$  یک بیژکسیون (تابع یک به یک) بین  $\mathbb{C} \setminus \{-\delta/\gamma\}$  و  $\mathbb{C} \setminus \{\alpha/\gamma\}$  تعریف می‌کند. نشان دهید که  $\phi$  دوایر را به دوایر می‌برد. راجع به دوایری که از  $-\delta/\delta$  می‌گذرند چه می‌توانید بگویید؟

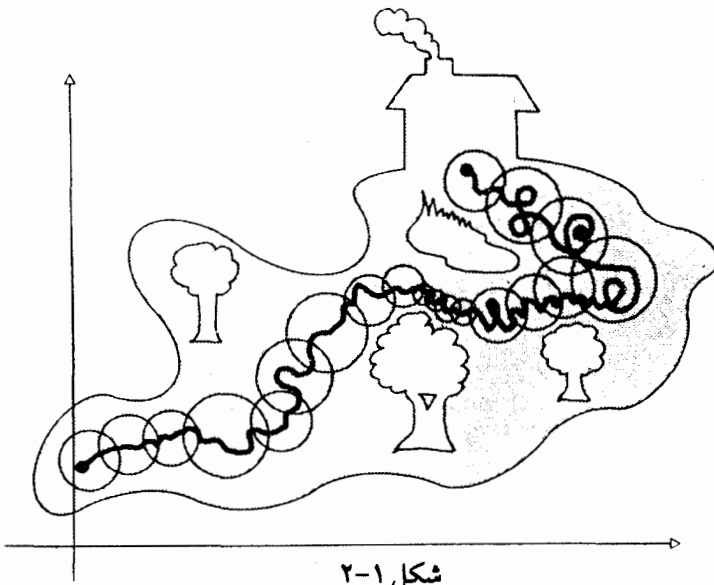
## فصل دوم

### توپولوژی صفحه مختلط

همه نظریات اساسی توپولوژیک را که مورد نیاز ما در مطالعه آنالیز مختلط است، در این فصل گرد آورده ایم. جزئیات این لیست چندان مورد نیاز نیست. بعضی اقلام آن برای بحث دقیق در دیفرانسیل گیری و بعضی برای انتگرال گیری مورد نیاز است. برای دیفرانسیل گیری طبیعتاً زمینه ای از حدود و پیوستگی لازم است که خود اینها را با کمک مجموعه های باز به بهترین وجه می توان بررسی کرد. از طرف دیگر، یک انتگرال از یک عدد مختلط تا عدد مختلط دیگر به وسیله مسیر مشخصی بین آن دو نقطه محاسبه می شود. مجموعه ای که هر دو نقطه دلخواه از آن را بتوان با یک مسیر به هم پیوست یک مجموعه همبند می نامند. برای اینکه بعدها بتوانیم به ساده ترین روش ممکن از عهده انتگرال گیری و دیفرانسیل گیری، هر دو برآیم خود را به تابعهای مختلطی محدود می کنیم که روی مجموعه های همبند تعریف شده باشند. در این حال چنین مجموعه هایی را یک دامنه می نامند.

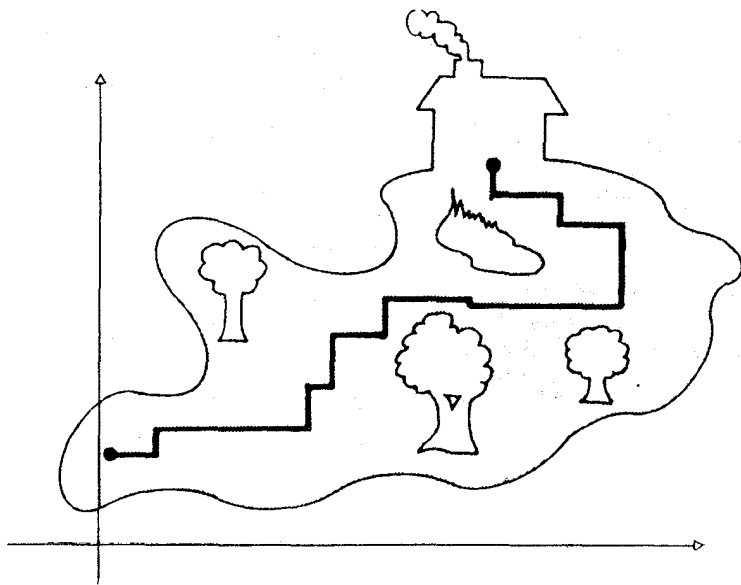
دامنه ها ممکن است شکلهای عجیب به خود بگیرند و مسیرها ممکن است بسیار پیچ در پیچ باشند. برای دستیابی به یک شهود هندسی، بدون آنکه ذهن خود را مجبور به کار بسیار در مورد پیچیدگیهایی از این قبیل کرده باشیم، تدبیری فنی که به دقت متصور شده است به نام *لم فرس کردن* را به کار می بریم. در این لم





شکل ۲-۱

نشان می دهیم که یک مسیر در یک مجموعه باز (بخصوص در یک دامنه) را می توان به تعدادی متناهی از قطعات کوچکتر تقسیم بندی کرد به طریقی که هر قطعه در درون یک قرص (گرده یا دیسک) مشمول در همان مجموعه باز جای گیرد (از این قرار مسیر را با قرص ها «فرش» کرده ایم (شکل ۲-۱). اما از نظر هندسی یک قرص چیز ساده ای است؛ مثلاً هر دو نقطه درون آن را می توان با یک خط راست به هم وصل کرد. حال اگر نقاط انتهایی قطعات حاصله از مسیر اولیه را در هر قرص به هم وصل کنیم، مسیر تازه ای که از قطعه خطهای مستقیم تشکیل یافته است، به دست می آوریم، که این مسیر تازه نیز در درون همان مجموعه باز است و دو انتهای مسیر اولیه را به هم وصل می کند. بدین ترتیب، ملاحظه می شود که هر مسیر بین دو نقطه، در درون یک مجموعه باز، هر قدر هم که پیچ و تاب داشته باشد با مسیر دیگری قابل تعویض است و این مسیر، که فقط از قطعات مستقیم به تعداد متناهی تشکیل یافته، بین همان دو نقطه و در همان مجموعه باز قرار دارد. حتی می توان بر این نکته تاکید کرد که قطعات مذکور با محورهای حقیقی و موهومی موازی اند، به این ترتیب که یک مسیر-پله ای در مجموعه باز مفروض ارائه دهیم (فقط با اختیار یک مسیر پله ای در هر قرص پوشنده). (شکل ۲-۲).



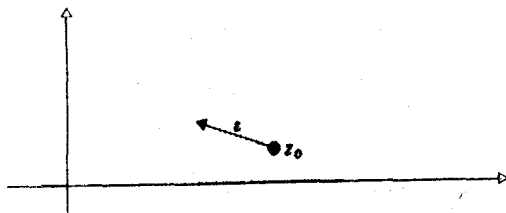
شکل ۲-۲

با تکنیکهایی از این نوع می توان لم فرش کردن را برای روشنگری در آنالیز مختلط به کار گرفت. که حاصل آن برهانهای دقیق تحلیلی در رابطه محکم با شهود هندسی است.

### ۱. مجموعه های باز و بسته

برای عدد مختلط  $z_0$  و عدد حقیقی مثبت  $\epsilon$ ،  $-\epsilon$  همسایگی  $z_0$  را چنین تعریف می کنیم (شکل ۳-۲ را ببینید)

$$N_\epsilon(z_0) = \{z \in \mathbb{C} \mid |z - z_0| < \epsilon\}$$

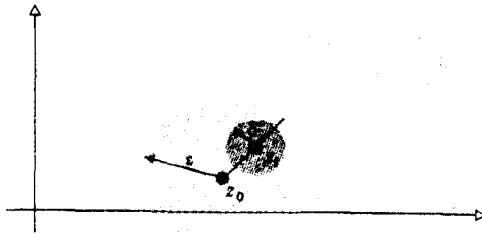


شکل ۳-۲

از نظر هندسی  $N_\varepsilon(z)$  درست همان قرص به مرکز  $z$  و شامل همه نقاطی است که فاصله آنها از  $z$  کوچکتر از  $\varepsilon$  است.

یک زیر مجموعه  $S \subseteq C$  را باز می نامند هر گاه به ازاء هر  $z \in S$  یک عدد حقیقی  $\varepsilon > 0$  وجود داشته باشد به قسمی که  $N_\varepsilon(z) \subseteq S$  باشد. بر این نکته تاکید می ورزیم که  $\varepsilon$  ممکن است به  $z$  وابسته باشد.

**مثال.** قرص  $N_\varepsilon(z)$  خود یک مجموعه باز است، زیرا اگر  $z_1 \in N_\varepsilon(z)$ ، آنگاه  $|z_1 - z| < \varepsilon$ . اکنون  $\delta > 0$  را چنان اختیار کنید که  $\delta \leq \varepsilon - |z_1 - z|$ ؛ در این حال  $N_\delta(z_1) \subseteq N_\varepsilon(z)$ . (شکل ۲-۴)



شکل ۲-۴

متمم یک زیر مجموعه  $S$  عبارت است از:

$$C \setminus S = \{z \in C : z \notin S\}$$

یک زیر مجموعه  $S$  را بسته گویند اگر  $C \setminus S$  باز باشد.

برای بیان خاصیت مشخصه مجموعه های بسته راه دیگری وجود دارد و آن به کار بردن مفهوم یک نقطه حدی یک زیر مجموعه  $S$  است. عدد مختلط  $z$  یک نقطه حدی است اگر هر همسایگی  $N_\varepsilon(z)$  شامل نقطه ای از  $S$  غیر از  $z$  باشد. در این تعریف  $z$  می تواند که به مجموعه  $S$  متعلق باشد یا نباشد. خاصیت اساسی نقطه حدی آن است که (هر همسایگی آن) شامل نقاطی است که به قدر دلخواه به آن نزدیک باشند. در واقع هر همسایگی  $N_\varepsilon(z)$  باید شامل تعداد نامتناهی نقاطی

از  $S$  باشد (زیرا اگر یک  $N_\varepsilon(z)$  فقط شامل تعدادی نامتناهی مانند  $z_1, z_2, \dots, z_n$  از اعضای  $S$  باشد که متمایز با  $z$  باشند، در این صورت با اختیار  $\varepsilon_1$  کوچکتر از هر یک از فواصل  $|z - z_r|$ ، دیگر  $N_\varepsilon(z)$  شامل هیچ نقطه‌ای از  $S$  نخواهد بود).

خاصیت مشخصه یک مجموعه بسته را، به صورت دیگر، می‌توان چنین

بیان کرد:

**گزاره ۱-۲.** مجموعه  $S$  بسته است اگر و فقط اگر شامل همه نقاط حدی خود باشد.

**برهان.** فرض می‌کنیم که  $S$  بسته و  $z$  یک نقطه حدی آن باشد. اگر  $z \in C \setminus S$ ، که  $C \setminus S$  مجموعه‌ای است باز، آنگاه  $N_\varepsilon(z) \subseteq C \setminus S$  به ازاء یک  $\varepsilon > 0$ ، و بنابراین  $N_\varepsilon(z)$  شامل نقطه‌ای از  $S$  نخواهد بود، و این با فرض نقطه حدی بودن  $z$  متناقض است. پس  $z \in S$ .

به عکس، فرض کنیم  $S$  شامل همه نقاط حدی خود باشد. در این صورت  $z \in C \setminus S$  یک نقطه حدی  $S$  نیست، بنابراین یک  $N_\varepsilon(z)$  وجود دارد که هیچ نقطه‌ای از  $S$  را شامل نیست و بنابراین  $N_\varepsilon(z) \subseteq C \setminus S$  می‌شود. پس  $C \setminus S$  باز است و بنابراین  $S$  بسته است.  $\square$

البته لزومی ندارد که هر نقطه از یک مجموعه بسته، یک نقطه حدی آن مجموعه باشد. مثلاً، اگر

$$T = \{z \in \mathbb{C} \mid z = 0 \text{ یا } z = 1/n \text{ به ازاء یک عدد صحیح و مثبت } n\},$$

آنگاه تنها نقطه حدی  $T$  عبارت است از  $0$ ، که در خود  $T$  است، پس  $T$  بسته است. نقاطی از  $S$  که نقطه حدی نیستند نقاط منفرد خوانده می‌شوند. بنابراین غیر از  $0$  همه نقاط دیگر  $T$  نقاط منفرد می‌باشند. یک نقطه منفرد  $z$  از  $S$  یک همسایگی  $N_\varepsilon(z)$  دارد که شامل هیچ نقطه دیگری از  $S$  نیست. مثلاً در مجموعه  $T$  که هم‌اکنون مطرح شد، اگر  $\varepsilon = 1/n - 1/(n+1)$  اختیار شود، آنگاه  $N_\varepsilon(1/n)$  شامل هیچ نقطه دیگری از  $T$  نیست. از طرف دیگر، با توجه به تعریفهایی که بیان شد، واضح است که، هر عضو از یک مجموعه باز یک نقطه حدی (آن مجموعه) است.

## ۲. حدود تابعها

مفهوم  $\lim_{z \rightarrow z_0} f(z)$  مشابه مورد حقیقی آن است و خواص آن با بحث های مشابه نتیجه می شود.

**تعریف.** اگر  $f: S \rightarrow \mathbb{C}$  یک تابع مختلط دلخواه و  $z_0$  یک نقطه حدی  $S$  باشد. آنگاه  $\lim_{z \rightarrow z_0} f(z) = l$  اگر به ازاء هر  $\varepsilon > 0$  داده شده، یک  $\delta > 0$  وجود داشته باشد به قسمی که

$$(1) \quad \text{به ازاء هر } z \in S, \text{ از شرط } |z - z_0| < \delta \cdot \text{ حاصل شود } |f(z) - l| < \varepsilon.$$

در مورد این تعریف دو نکته را باید تذکر داد:

(الف) لزومی ندارد که  $z_0$  نقطه ای از  $S$  باشد و بنابراین لزومی ندارد که  $f(z_0)$  تعریف شده باشد: حتی اگر  $z_0 \in S$ ، ممکن است داشته باشیم  $f(z_0) \neq l$ .

مثلاً، اگر

$$f(z) = \begin{cases} 0 & (z \neq 0) \\ 1 & (z = 0) \end{cases}$$

آنگاه  $\lim_{z \rightarrow 0} f(z) = 0 \neq f(0)$ .

(ب) ضرورت دارد که  $z_0$  یک نقطه حدی  $S$  باشد، در غیر این صورت  $\delta > 0$  وجود خواهد داشت به قسمی که  $\{z \mid |z - z_0| < \delta\}$  شامل هیچ نقطه از  $S$  نباشد. در این حال شرط (۱) به صورتی بی مایه به ازاء هر  $l \in \mathbb{C}$  درست خواهد بود.

باید به خاطر داشت که، مثل حالت حقیقی، اگر  $z_0$  یک نقطه حدی  $S$  و  $\lim_{z \rightarrow z_0} f(z) = l$ ، آنگاه این حد منحصر به فرد خواهد بود. زیرا اگر  $l' \neq l$  داوطلب دیگری برای این حد باشد،  $\varepsilon = \frac{1}{2}|l - l'|$  اختیار می کنیم تا  $\delta_1 > 0$  و  $\delta_2 > 0$  را چنان بیابیم که

از  $|f(x) - 1| < \varepsilon$  نتیجه شود  $0 < |z - z_0| < \delta_1$  ،  $z \in S$

از  $|f(x) - 1| < \varepsilon$  نتیجه شود  $0 < |z - z_0| < \delta_2$  ،  $z \in S$

چون  $z_0$  یک نقطهٔ حدی است ،  $z^* \in S$  وجود دارد به قسمی که  
 $0 < |z_0 - z^*| < \min\{\delta_1, \delta_2\}$  . آنگاه

$$\begin{aligned} |1 - 1'| &= |1 - f(z^*) + f(z^*) - 1'| \\ &\leq |1 - f(z^*)| + |f(z^*) - 1'| \\ &< \varepsilon + \varepsilon \\ &= 2\varepsilon \end{aligned}$$

که متناقض با انتخاب  $\varepsilon$  است .

خواص استاندارد حدود مختلط را با روشهایی مشابه حالت حقیقی می توان ثابت کرد:

**گزارهٔ ۲-۲** . اگر  $\lim_{z \rightarrow z_0} f(z) = l$  ،  $\lim_{z \rightarrow z_0} g(z) = k$  ، آنگاه

$$\lim_{z \rightarrow z_0} (f(z) + g(z)) = l + k, \quad \text{(الف)}$$

$$\lim_{z \rightarrow z_0} (f(z) - g(z)) = l - k, \quad \text{(ب)}$$

$$\lim_{z \rightarrow z_0} (f(z)g(z)) = lk, \quad \text{(ج)}$$

$$\lim_{z \rightarrow z_0} (f(z)/g(z)) = l/k \quad (k \neq 0) \quad \text{(د)}$$

**پرهان** . قسمت‌های (الف) ، (ب) سراسر هستند . (ج) نیز چنین ، ولی اندکی زیرکانه تر است . می نویسیم :

$$|f(z)g(z) - lk| = |f(z)g(z) - lg(z) + lg(z) - lk|$$

$$\leq |f(z) - l||g(z)| + |l||g(z) - k|.$$

چون  $\lim_{z \rightarrow z_0} g(z) = k$  ، پس به ازاء  $\varepsilon > 0$  داده شده ،  $\delta > 0$  وجود دارد به قسمی که

$$z \in S \text{ و } |z - z_0| < \delta, \text{ مستلزم } |g(z) - k| < \varepsilon.$$

و بنابراین  $|g(z)| < |k| + \varepsilon$  ، که به معنی آن است که  $|g|$  در حوالی  $z_0$  از بالا محدود است (با فرض  $M = |k| + \varepsilon$ ). چون  $f$  پیوسته است  $\delta_1 > 0$  وجود دارد به قسمی که

$$z \in S \text{ و } |z - z_0| < \delta_1, \text{ مستلزم } |f(z) - l| < \varepsilon/(2M).$$

فرض کنیم  $N$  عدد حقیقی دلخواهی بیشتر از  $1/l$  باشد (بخصوص،  $N > 0$ ) آنگاه چون  $g$  پیوسته است  $\delta_2 > 0$  وجود دارد به قسمی که

$$z \in S \text{ و } |z - z_0| < \delta_2, \text{ مستلزم } |g(z) - k| < \varepsilon/(2N).$$

به ازاء  $\{\delta, \delta_1, \delta_2\}$  ،  $\delta = \min$  خواهیم داشت:

$$z \in S \text{ و } |z - z_0| < \delta, \text{ مستلزم}$$

$$|f(z) - l| |g(z)| + |l| |g(z) - k| < \frac{\varepsilon}{2M} M + N \frac{\varepsilon}{2N} = \varepsilon.$$

نتیجه این که به شرط  $z \in S$  و  $|z - z_0| < \delta$  داریم  $|f(z)g(z) - lk| < \varepsilon$ .  
برای اثبات (د) فقط باید ثابت کنیم  $\lim_{z \rightarrow z_0} (1/g(z)) = 1/k$  ، زیرا در این صورت از (ج) به ازاء تابعهای  $f, 1/g$  استفاده می کنیم، نیروی کاملی به (د) خواهیم داد. چون  $g(z) \rightarrow k \neq 0$  ، بنابراین می دانیم که به ازاء یک  $\delta_1 > 0$  ،

$$z \in S \text{ و } |z - z_0| < \delta_1, \text{ مستلزم } |g(z) - k| < \frac{1}{4}|k|$$

$$|g(z)| > \frac{3}{4}|k|$$

پس

اکنون  $\delta_2 > 0$  را چنان می یابیم که

$$z \in S \text{ و } |z - z_0| < \delta_2, \text{ مستلزم } |g(z) - k| < \frac{1}{4}|k|^2 \varepsilon$$

آنگاه به ازاء  $\delta = \min\{\delta_1, \delta_2\}$ ،

$$0 < |z - z_0| < \delta \text{ و } z \in S$$

$$\left| \frac{1}{g(z)} - \frac{1}{k} \right| = \frac{|k - g(z)|}{|g(z)||k|} < \frac{1}{2}|k|^r \varepsilon / \left( \frac{1}{2}|k|^r \right) = \varepsilon.$$

جزء‌های حقیقی و موهومی یک تابع مختلط

$$f(z) = \operatorname{re}(f(z)) + i \operatorname{im}(f(z))$$

را می‌توان جداگانه در نظر گرفت. اگر

$$\lim_{z \rightarrow z_0} f(z) = l = \alpha + i\beta \quad (\alpha, \beta \in \mathbb{R}) \quad (2)$$

آنگاه، از جهت آنگاه

$$|\operatorname{re}(f(z)) - \alpha| = |\operatorname{re}(f(z) - l)| \leq |f(z) - l|,$$

از تعریف نتیجه می‌گیریم که

$$\lim_{z \rightarrow z_0} \operatorname{re}(f(z)) = \alpha \quad (3)$$

مشابهاً،

$$\lim_{z \rightarrow z_0} \operatorname{im}(f(z)) = \beta \quad (4)$$

به عکس، اگر (3) و (4) هر دو برقرار باشند، از گزاره (i) 2-2 می‌توان (2) را



نتیجه گرفت.

بحثی را که گذشت می توان در قالبی دیگر بیان کرد. ابتدا به یاد می آوریم که حد یک تابع حقیقی دو متغیره  $\phi: S \rightarrow \mathbb{R}$  یعنی حد  $\phi(x,y)$  به شرط  $(x,y) \in S \subseteq \mathbb{R}^2$  چنین تعریف می شود:

هر گاه  $(x,y) \rightarrow (a,b)$ ، آنگاه  $\phi(x,y) \rightarrow \lambda$  بشرط آنکه با  $\varepsilon > 0$  معلوم،  $\delta > 0$  وجود داشته باشد به قسمی که از هر  $(x,y) \in S$  با شرط  $\sqrt{(x-\alpha)^2 + (y-\beta)^2} < \delta$  نتیجه شود  $|\phi(x,y) - \lambda| < \varepsilon$ . اگر مانند فصل ۱،  $(x,y)$  را به صورت  $x+iy$  معرفی کنیم، به ازاء  $z = x+iy$ ،  $z = a+ib$ ، مطلب فوق را می توان چنین بیان کرد:

$$|\phi(x,y) - \lambda| < \varepsilon \text{ مستلزم } |z - z_0| < \delta, z \in S$$

اکنون اگر بنویسیم:

$$f(z) = u(x,y) + iv(x,y)$$

که در آن قسمتهای حقیقی و موهومی  $f$  به صورت تابعهای حقیقی  $u$  و  $v$  از دو متغیر حقیقی  $x$  و  $y$  در نظر گرفته شده اند، آنگاه ثابت کرده ایم که:

گزاره ۳-۲.  $\lim_{z \rightarrow z_0} f(z) = l = \alpha + i\beta$  اگر و فقط اگر

$$u(x,y) \rightarrow \alpha, v(x,y) \rightarrow \beta \text{ هر گاه } (x,y) \rightarrow (a,b)$$

$$\text{که در آن } z = a+ib, z = x+iy, f(z) = u(x,y) + iv(x,y)$$

به این ترتیب حدود تابعهای مختلط مساوی حدود تابعهای حقیقی از دو متغیر حقیقی است (اما نماد گذاری در حالت مختلط معمولاً خیلی ساده تر است).

### ۳. پیوستگی

تابع  $f: S \rightarrow C$  را در نقطه  $z \in S$  پیوسته گویند اگر، به ازاء  $\varepsilon > 0$  داده شده،  $\delta > 0$  وجود داشته باشد به قسمی که

به ازاء هر  $z \in S$  که در شرط  $|z - z_0| < \delta$  صدق کند حاصل شود

$$|f(z) - f(z_0)| < \varepsilon$$

اگر  $z_0$  یک نقطه حدی باشد، مطلب فوق معادل است با اینکه بگوییم  $\lim_{z \rightarrow z_0} f(z)$  وجود دارد و

$$\lim_{z \rightarrow z_0} f(z) = f(z_0)$$

اگر  $z_0$  یک نقطه منفرد باشد، آنگاه یک همسایگی  $N_\delta(z_0)$  وجود دارد که به استثنای  $z_0$  شامل نقطه دیگری از  $S$  نیست، بنابراین به ازاء هر  $z \in S$  که در شرط  $|z - z_0| < \delta$  صدق کند حاصل می شود  $z = z_0$  که به نوبه خود از آن حاصل می شود:

$$|f(z) - f(z_0)| = 0$$

بنابراین، بر حسب تعریف، یک تابع مختلط در یک نقطه منفرد همواره پیوسته به حساب می آید. در واقع، تبصره اخیر هرگز مشکلی برای ما ایجاد نمی کند، زیرا ما فقط توابعی را در نظر می گیریم که همه نقاط  $S$  نقاط حدی باشند بخصوص،  $S$  معمولاً مجموعه ای باز است. تبصره اخیر در مورد نقاط منفرد از آن جهت عنوان شد که یک جنبه سست را سامان ببخشد.

پیوستگی را با کمک قرصهای باز می توان در قالب دیگری تعریف کرد: در  $f: S \rightarrow C$  پیوسته است اگر،  $\varepsilon > 0$  داده شده،  $\delta > 0$  وجود داشته باشد به قسمی که

از  $z \in N_\delta(z_0)$ ، نتیجه می شود  $f(z) \in N_\varepsilon(f(z_0))$ ؛

یا مجمل تر

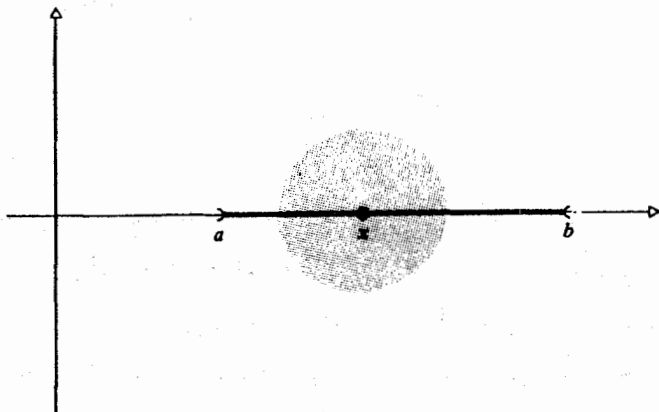
$$f(N_\delta(z_0) \cap S) \subseteq N_\varepsilon(f(z_0))$$

تابع  $f: S \rightarrow C$  را پیوسته گویند اگر در هر نقطه  $z$  متعلق به  $S$  پیوسته باشد. پیوستگی تابعها را با به کار گرفتن مجموعه های باز به صورت دیگری می توان تعریف کرد. ابتدا نیاز به یک تعمیم داریم: یک زیر مجموعه  $V \subseteq S$  را بطور نسبی باز در  $S$ ، یا به طور خلاصه، فقط باز در  $S$ ، می نامیم اگر هر  $z \in V$  یک  $\sigma > 0$  نظیر وجود داشته باشد به قسمی که  $N_\sigma(z) \cap S \subseteq V$ . یک مجموعه به طور نسبی باز لزومی ندارد که باز باشد.

مثال. فاصله  $(a, b) = \{x \in \mathbb{R} \mid a < x < b\}$  در  $\mathbb{R}$  باز است، اما در  $C$  باز نیست. با شرط  $x \in (a, b)$ ، فرض می کنیم  $\sigma = \min\{x - a, b - x\}$ ، آنگاه

$$N_\sigma(x) \cap \mathbb{R} = \{y \in \mathbb{R} \mid x - \sigma < y < x + \sigma\} \subseteq (a, b),$$

اما هیچ قرص باز  $N_\sigma(x)$  مشمول در بازه (فاصله) حقیقی  $(a, b)$  نیست، پس  $(a, b)$  در  $C$  باز نیست. (شکل ۲-۵)



شکل (۲-۵)

با به کارگیری نماد گذاری استاندارد در نظریه مجموعه ها

$$f^{-1}(U) = \{z \in S \mid f(z) \in U\}$$

وسیله دیگری برای بیان خاصیت مشخصه تابع پیوسته به دست می آوریم:

گزاره ۲-۴ تابع مختلط  $f: S \rightarrow C$  پیوسته است اگر، و فقط اگر، به ازاء هر مجموعه باز  $U$ ، تصویر معکوس  $f^{-1}(U)$  در  $S$  باز باشد. برهان. فرض می کنیم  $f$  پیوسته و  $U$  باز است. نیز فرض می کنیم  $z \in f^{-1}(U)$  باشد. در این صورت  $f(z) \in U$  و بنابراین  $\epsilon > 0$  وجود دارد به قسمی که  $N_\epsilon(f(z)) \subseteq U$  شود. با توجه به پیوستگی  $f$ ،  $\delta > 0$  وجود دارد به قسمی که

$$f(N_\delta(z) \cap S) \subseteq N_\epsilon(f(z)) \subseteq U,$$

پس

$$(N_\delta(z) \cap S) \subseteq f^{-1}(U)$$

و بنابراین  $f^{-1}(U)$  باز است.

بعکس، فرض می کنیم به ازاء هر مجموعه باز  $U$ ،  $f^{-1}(U)$  در  $S$  باز باشد. اگر  $z \in S$ ،  $\epsilon > 0$  داده شده باشند، مجموعه  $N_\epsilon(f(z))$  باز خواهد بود، پس  $f^{-1}(N_\epsilon(f(z)))$  نیز در  $S$  باز است و  $\delta > 0$  وجود دارد به قسمی که

$$N_\delta(z) \cap S \subseteq f^{-1}(N_\epsilon(f(z)))$$

نتیجه اینکه

$$f(N_\delta(z) \cap S) \subseteq N_\epsilon(f(z))$$

و بنابراین  $f$  پیوسته است.

گزاره ۲-۴. که تعریف پیوستگی را بر حسب مجموعه های باز ارائه می دهد مورد علاقه توپولوژیستها است این تعریف بخصوص موقعی مفید است که  $S$  خود یک مجموعه باز باشد. زیرا در این صورت، چنانچه  $V \subseteq S$  در  $S$  باز باشد و  $z \in V$ ، خواهیم داشت:

$$N_\epsilon(z) \subseteq S$$

(زیرا  $S$  باز است)

$$N_\delta(z) \cap S \subseteq V$$

(زیرا  $V$  در  $S$  باز است)

پس، با انتخاب  $\delta$  مساوی  $\epsilon$  یا  $\sigma$  هر کدام که کوچکتر باشند، نتیجه می گیریم که:

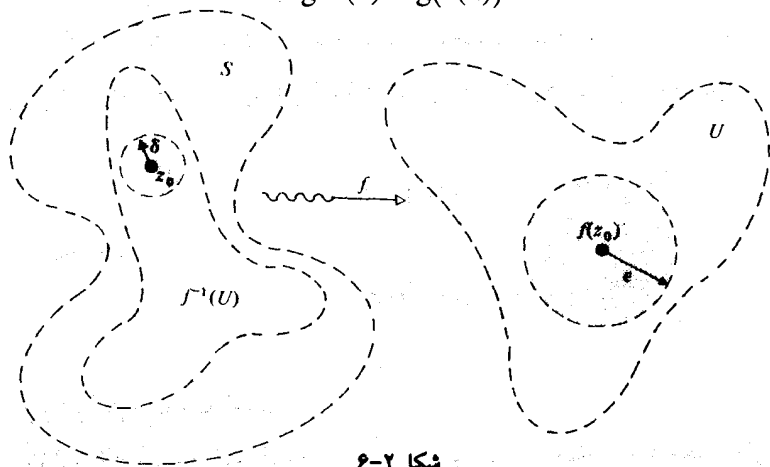
$$N_\delta(z) \subseteq V$$

و بنابراین خود  $V$  در اصل یک مجموعه باز است، بنابراین داریم:

فرع ۲-۵. اگر  $S$  یک مجموعه باز باشد، آنگاه  $f: S \rightarrow C$  پیوسته است اگر، و فقط اگر به ازاء هر مجموعه باز  $U$ ، تصویر معکوس  $f^{-1}(U)$  باز باشد. (شکل ۲-۶ گویای این مطلب است.)

ترکیب دو تابع به شیوه معمول تعریف می شود: اگر  $f: S \rightarrow C$ ،  $g: T \rightarrow C$  باشد طوری که  $f(S) \subseteq T$ ، آنگاه  $g \circ f: S \rightarrow C$  چنین مشخص می شود:

$$g \circ f(z) = g(f(z))$$



شکل ۲-۶

گزاره ۲-۶. اگر  $f$  در  $S$  پیوسته، نیز  $g$  در  $f(z)$  پیوسته باشد، آنگاه  $g \circ f$  در  $S$  پیوسته است.

برهان. تمرین ساده ای است.

تابعهای مختلط  $f_1: S \rightarrow C$ ،  $f_2: S \rightarrow C$  را، روی یک مجموعه مشخص  $S$ ، با هم جمع و نیز در هم ضرب می کنیم تا حاصل شود

$$(z \in S) \quad (f_1 + f_2)(z) = f_1(z) + f_2(z) \quad \text{که در آن } f_1 + f_2: S \rightarrow C$$

$$(z \in S) \quad (f_1 - f_2)(z) = f_1(z) - f_2(z) \quad \text{که در آن } f_1 - f_2: S \rightarrow C$$

$$(z \in S) \quad (f_1 \cdot f_2)(z) = f_1(z)f_2(z) \quad \text{که در آن} \quad f_1, f_2 : S \rightarrow C$$

$$(z \in S') \quad (f_1/f_2)(z) = f_1(z)/f_2(z) \quad \text{که در آن} \quad f_1/f_2 : S \rightarrow C$$

$$S' = \{z \in S \mid f_2(z) \neq 0\} \quad \text{اینجا}$$

گزاره ۲-۷. اگر  $f_1, f_2$  پیوسته باشند،  $f_1 + f_2$ ،  $f_1 - f_2$ ،  $f_1 \cdot f_2$ ،  $f_1/f_2$  نیز چنین اند.

برهان. این نتیجه گزاره ۲.۲ است.

این نتیجه به ما امکان می دهد که به آسانی ثابت کنیم که بعضی از توابع که با کمک توابع پیوسته تشکیل می شوند خودشان پیوسته هستند. مثلاً تابع ثابت  $k(z) = c$ ، و تابع همانی  $I(z) = z$ ، واضح است که پیوسته هستند. (برای اثبات این مطلب  $\epsilon > 0$  اختیار کنید. در مورد تابع ثابت  $\delta$  را به طور دلخواه بزرگتر از صفر اختیار کنید، و برای تابع همانی  $\delta = \epsilon$  بگیرید، تا حاصل شود:

$$|k(z) - k(z_0)| = 0 < \epsilon \quad \text{مستلزم} \quad |z - z_0| < \delta$$

$$|I(z) - I(z_0)| < \epsilon \quad \text{مستلزم} \quad |z - z_0| < \epsilon$$

بی درنگ گزاره ۲-۷ نشانی می دهد که  $\phi(z) = cz$  پیوسته است و با استقرار بر  $\phi_n(z) = a_n z^n$ ،  $n$  به ازای هر  $a_n \in C$  پیوسته است. بار دیگر، با استقرار بر  $n$ ، هر بسجمله  $p(z) = a_0 + \dots + a_n z^n$  پیوسته است؛ آنگاه نتیجه می گیریم که هر تابع گویای  $r(z) = p(z)/q(z)$  (که در آن  $p$  و  $q$  بسجمله هایی هستند)، هر جا که  $q(z) \neq 0$  پیوسته است.

با به کار بردن روشهایی نظیر اینها به ندرت لازم است که محاسبات پیچیده  $\epsilon - \delta$  را به کار ببریم.

مثال ۱. به ازاء هر  $z$ ،  $m(z) = |z|$  پیوسته است. به ازاء هر  $\epsilon > 0$  داده شده،  $\delta = \epsilon$  اختیار کنید، آنگاه با شرط  $|z - z_0| < \delta$ ،

$$|m(z) - m(z_0)| = ||z| - |z_0|| < |z - z_0| < \epsilon.$$

**مثال ۲.**  $f(z) = (|z|^2 + 17z^2 + 1066z)/(1+z)$  پیوسته است به شرط آنکه  $z \neq -1$ . می توانیم این مطلب را با محاسبات صریح (همان روش  $\delta - \epsilon$ ) انجام دهیم. اما برای تسریع کار باید توجه کنیم که چون  $|z|^2 = |z||z|$  حاصلضرب دو تابع پیوسته است، پس پیوسته است،  $17z^2 + 1066z$  یک بسجمله است. پس پیوسته است، از این قرار  $|z|^2 + 17z^2 + 1066z$  پیوسته است. بالاخره  $1+z$  پیوسته و با شرط  $z \neq -1$  ناصفر است، و بنابراین خارج قسمت یعنی  $f(z)$  به شرط  $z \neq -1$  پیوسته است.

چنانچه با شرط  $z = x + iy \in S$  بنویسیم  $f(z) = u(x,y) + iv(x,y)$  که در آن  $u$  و  $v$  تابعهای حقیقی از متغیرهای حقیقی  $x$  و  $y$  هستند، آنگاه گزاره ۲-۳ چنین نتیجه می شود:

**گزاره ۲-۸.**  $f(z) = u(x,y) + iv(x,y)$  در  $z = x + iy$  پیوسته است و اگر و فقط اگر  $u$  و  $v$  در  $(x,y)$  پیوسته باشند.

**مثال ۳.** اگر  $f(z) = z^2$ ، آنگاه  $f(z) = (x + iy)^2 = x^2 - y^2 + 2ixy$ . پس  $u(x,y) = x^2 - y^2$  و  $v(x,y) = 2xy$ . تابع  $f$  به ازاء هر  $z \in C$  پیوسته است، فقط به این دلیل که  $u$  و  $v$  تابعهای پیوسته از  $x$  و  $y$  به ازاء همه  $(x,y) \in R^2$  می باشند.

یک حالت جالب توجه وقتی پیش می آید که  $S$  فاصله (بازه) حقیقی

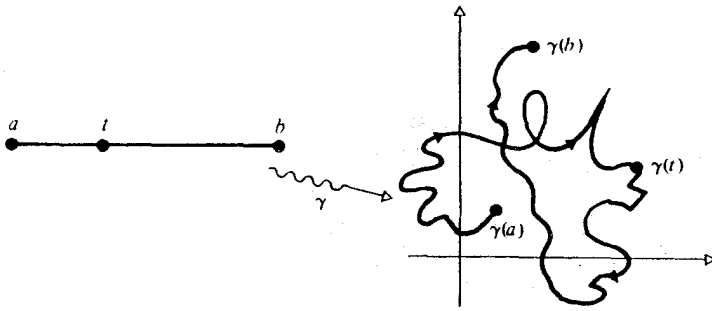
$$[a, b] = \{x \in R \mid a \leq x \leq b\}$$

به عنوان زیر مجموعه ای از  $C$  باشد. زیرا با شرط  $z \in [a, b]$  داریم  $z = x + io$ ، پس در این مورد می توانیم نماد نویسی خود را ساده کرده و بنویسیم  $f(z) = f(x) = u(x) + iv(x)$ . پس تابعی چون  $f: [a, b] \rightarrow C$  پیوسته است اگر و فقط اگر  $u$  و  $v$  پیوسته باشند.

**مثال ۴.**  $f: [0, 1] \rightarrow C$ ، که در آن  $f(x) = x^2 + ix^2$ ، پیوسته است، چون  $u(x) = x^2$  و  $v(x) = x^2$  هر دو پیوسته اند.

#### ۴. مسیرها

یک مسیر در صفحه مختلط یک تابع پیوسته  $\gamma: [a, b] \rightarrow C$  است. نقطه ابتدای آن  $\gamma(a)$  و نقطه انتهای  $\gamma(b)$  است. گاهی صحبت از یک «مسیر در  $C$  از  $z_1$  تا  $z_2$ » می‌کنیم به شرط آنکه  $z_1$  نقطه ابتدا و  $z_2$  نقطه انتها باشد. همچنین نقطه  $z = \gamma(t)$  را یک «نقطه روی مسیر  $\gamma$ » می‌نامیم. گرچه به بیان دقیق،  $z$  بر نگاره تابع  $\gamma$  قرار دارد. اگر  $t$  را به عنوان «زمان» فرض کنیم و  $t$  را از  $a$  تا  $b$  افزایشی فرض کنیم در این صورت نقطه  $\gamma(t)$  یک منحنی را در صفحه از  $\gamma(a)$  تا  $\gamma(b)$  طی می‌کند. در ترسیم یک نمودار جهت این حرکت را غالباً با یک پیکان نمایش می‌دهیم، اما تأکید می‌کنیم که این تدبیری است موقتی زیرا منحنی مزبور ممکن است خود را قطع کند و شکل کاملاً پیچیده شود (شکل ۷-۲).



شکل ۷-۲

در تئوری، این مسیر حتی ممکن است پیچیده تر شود: مثلاً ممکن است یک منحنی «فضا پرکن» شود. بنابراین باید از نمایش حالت کلی به وسیله یک شکل هندسی ساده بر حذر بود. حتی در حالات ساده ممکن است دو مسیر مختلف فقط یک منحنی نگاره داشته باشند. مثلاً:

$$\gamma_1(t) = 2(t + it) \quad \left(0 \leq t \leq \frac{1}{2}\right)$$

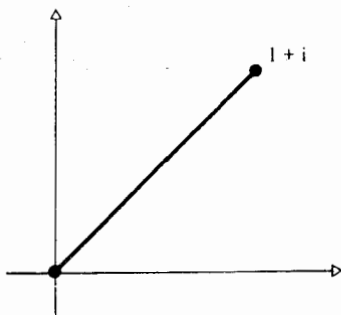
$$\gamma_2(t) = t^2 + it^2 \quad (0 \leq t \leq 1)$$



یک مجموعه از نقاط را می‌پیمایند که عبارت است از:

$$\{x + iy \in \mathbb{C} \mid x = y, 0 \leq x \leq 1\}$$

مطابق شکل ۸-۲.



شکل ۸-۲

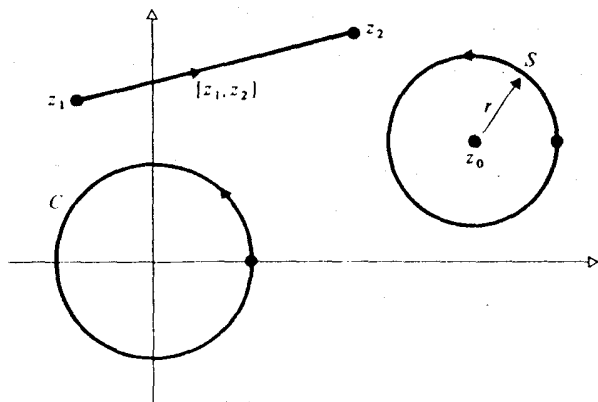
برای ساده کردن مطالب، هر گاه از پاره خطها و دایره‌ها، به عنوان مسیرها، صحبت به میان آید. فرض را بر این می‌گذاریم که به وسیله تابعهای استاندارد زیر مشخص شده باشند:

(الف) پاره خط  $L$  از  $z_1$  تا  $z_2$ :  $L(t) = z_1(1-t) + z_2t$  ( $0 \leq t \leq 1$ ). در این حالت  $L$  را با  $[z_1, z_2]$  را نشان می‌دهیم. هنگامی که  $z_1 = a$  و  $z_2 = b$  اعداد حقیقی هستند، نگاره مسیر  $[z_1, z_2]$  دقیقاً بازه بسته  $[a, b]$  است.

(ب) «دایره واحد»،  $C(t) = \cos t + i \sin t$  ( $0 \leq t \leq 2\pi$ ). کلی‌تر

(ج) دایره  $S$ ، با مرکز  $z$ ، شعاع  $r > 0$

$$S(t) = z + r(\cos t + i \sin t) \quad (0 \leq t \leq 2\pi).$$

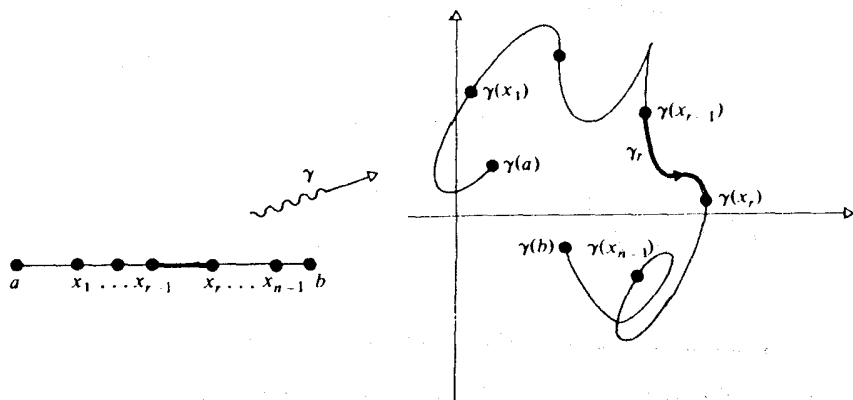


شکل (۲-۹)

در مورد یک مسیر دلخواه  $C$ ،  $\gamma: [a, b] \rightarrow C$ ، یک مسیر جزئی با مقید شدن به یک بازه جزئی  $[c, d]$ ، که  $a \leq c \leq d \leq b$ ، به دست می آید. اگر  $a = x_0 < x_1 < \dots < x_n = b$  مسیر جزئی باشد که با مقید کردن  $\gamma$  به  $[x_{r-1}, x_r]$  به دست می آید. آنگاه می توان نوشت:

$$\gamma = \gamma_1 + \dots + \gamma_n$$

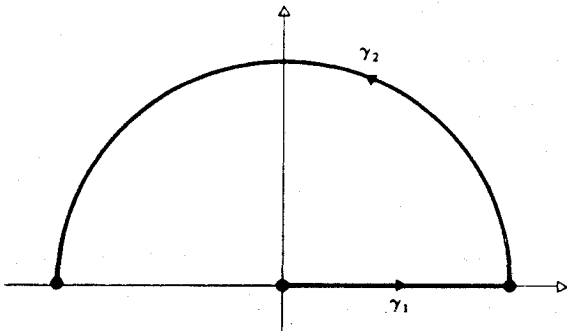
در انجام چنین کاری،  $\gamma$  را تشکیل یافته از مسیرها جزئی  $\gamma_1, \gamma_2, \dots, \gamma_n$  با همین ترتیب تلقی می کنیم (شکل ۲-۱۰).



شکل (۲-۱۰)

اگر نقطه انتهای مسیر چون  $\gamma_1$  بر نقطه ابتدای  $\gamma_2$  منطبق شود، در این صورت گاهی بهتر است که آنها را سر هم کنیم تا مسیری ترکیب یافته به دست آوریم که ابتدا با طی کردن  $\gamma_1$ ، و بعد با طی کردن  $\gamma_2$  حاصل می شود. یک نکته فنی جزئی اینجا هست، و آن اینکه ممکن است  $\gamma_1$  بر  $[a, b]$  تعریف شود و  $\gamma_2$  بر  $[c, d]$  اما  $b \neq c$  باشد.

**مثال.**  $\gamma_1(t) = t$  ( $0 \leq t \leq 1$ )،  $\gamma_2(t) = \cos t + i \sin t$  ( $0 \leq t \leq \pi$ ) . (شکل ۲-۱۱).



شکل (۲-۱۱)

در چنین حالتی نماد گذاری خود را قدری وسعت داده ترکیب  $\gamma_1 : [a, b] \rightarrow C$  با  $\gamma_2 : [c, d] \rightarrow C$  را (با شرط  $\gamma_1(b) = \gamma_2(c)$ ) به صورت  $\gamma = \gamma_1 + \gamma_2$  تعریف می کنیم طوری که  $\gamma : [a, b + d - c] \rightarrow C$  چنین داده می شود:

$$\gamma(t) = \begin{cases} \gamma_1(t) & (a \leq t \leq b) \\ \gamma_2(t + c - b) & (b \leq t \leq d + b - c) \end{cases}$$

در عمل، آنچه انجام داده ایم تحویل بازه پارامتری قسمت دوم از  $[c, d]$  به  $[b, d + b - c]$  بوده است، یعنی با افزودن  $b - c$  به همه نقاط واقع در  $[c, d]$  آن را در امتداد خود حرکت داده ایم.

در مثال بالا، به عنوان نمونه داریم:

$$\gamma(t) = \begin{cases} t & (0 \leq t \leq 1) \\ \cos(t-1) + i \sin(t-1) & (1 \leq t \leq 1 + \pi), \end{cases}$$

طوری که  $\gamma$  شامل پاره خط  $\gamma_1$  و به دنبال آن نیمدایره  $\gamma_2$  است.

مسیر  $\gamma_1 + \gamma_2$  فقط وقتی تعریف می شود که نقطه انتهای  $\gamma_1$  درست همان نقطه ابتدای  $\gamma_2$  باشد. و چنین تعریفی ممکن است بهترین استفاده از علامت «+» نباشد. با این وصف هر جا که نقطه های انتهایی مناسب منطبق شوند خواهیم داشت:

$$(\gamma_1 + \gamma_2) + \gamma_3 = \gamma_1 + (\gamma_2 + \gamma_3)$$

بنابراین در «جمع» به این صورت پراکنشها را حذف می کنیم و نماد عمومی تر یعنی  $\gamma = \gamma_1 + \dots + \gamma_n$  را به کار می بریم تا نشان دهیم که مسیر مورد نظر با پیمودن متوالی،  $\gamma_n, \dots, \gamma_1$  تشکیل می شود به شرط آنکه همه جا نقطه انتهای  $\gamma_{r-1}$  به نقطه ابتدای  $\gamma_r$  منطبق شود ( $1 \leq r \leq n$ ).

با در دست داشتن مسیر  $\gamma: [a, b] \rightarrow C$ ، یک مفهوم مفید دیگر مسیر

مخالف یعنی

$C \rightarrow [a, b]: -\gamma$  است که چنین تعریف می شود:

$$(-\gamma)(t) = \gamma(a + b - t) \quad (a \leq t \leq b).$$

وقتی که  $t$  از  $a$  تا  $b$  افزایش می یابد  $-\gamma$  همان منحنی  $\gamma$  را طی می کند اما در جهت عکس. اگر  $\gamma$  یک مسیر از  $z_1$  تا  $z_2$  باشد،  $-\gamma$  مسیری از  $z_2$  تا  $z_1$  خواهد بود.

مثلاً، اگر  $L$  قطعه خط  $[z_1, z_2]$  با ضابطه

$$L(t) = z_1(1-t) + z_2 t \quad (0 \leq t \leq 1)$$

باشد، آنگاه  $L$  - با

$$(-L)(t) = z_1 t + z_2 (1-t) \quad (0 \leq t \leq 1)$$

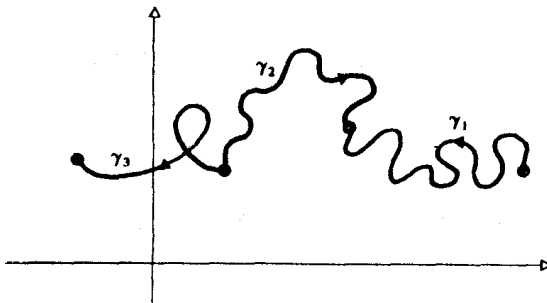
مشخص می شود که همان  $[z_1, z_2]$  است.  
اگر  $S$  دایره به مرکز  $z$ ، شعاع  $r > 0$  باشد، آنگاه

$$S(t) = z + r(\cos t + i \sin t) \quad (0 \leq t \leq 2\pi)$$

یک بار دایره مزبور را در جهت عکس حرکت عقربه های ساعت طی می کند، در حالی که مسیر مخالف

$$\begin{aligned} (-S)(t) &= z + r(\cos(2\pi - t) + i \sin(2\pi - t)) \\ &= z + r(\cos t - i \sin t) \quad (0 \leq t \leq 2\pi) \end{aligned}$$

همان دایره را یک بار، در جهت عقربه های ساعت، طی می کند.  
در مجموعی چون  $\gamma_1 + (\gamma_2) + \gamma_3$  پرائنرها را حذف می کنیم و می نویسیم  $\gamma_1 - \gamma_2 + \gamma_3$ . این درست مسیری است که ابتدا در طول  $\gamma_1$  به پیش می رود، و بعد مسیر مخالف  $\gamma_2$  را می پیماید، و بعد  $\gamma_3$  را (با شرط اینکه نقاط انتهایی متناظر با هم تطبیق داشته باشند). (شکل ۲-۱۲)



شکل (۲-۱۲)

مثلاً، اگر  $0 < \varepsilon < R$  و

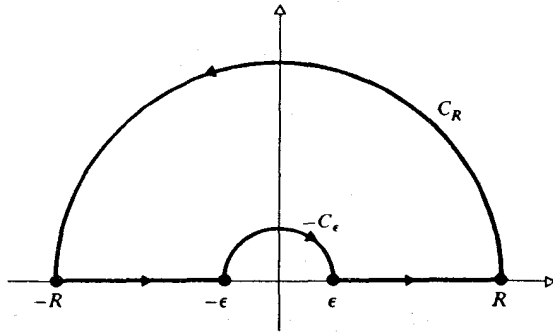
$$C_R = R(\cos t + i \sin t) \quad (0 \leq t \leq \pi),$$

$$C_\varepsilon = \varepsilon(\cos t + i \sin t) \quad (0 \leq t \leq \pi),$$

$$[-R, -\varepsilon](t) = t \quad (-R \leq t \leq -\varepsilon),$$

$$[\varepsilon, R](t) = t \quad (\varepsilon \leq t \leq R),$$

آنگاه  $C_R + [-R, -\varepsilon] - C_\varepsilon + [\varepsilon, R]$  عبارت است از مسیری که منحنی شکل ۲-۱۳ را یک بار، در جهت عکس حرکت عقربه‌های ساعت، طی می‌کند.



شکل (۲-۱۳)

### ۵. لم فرش کردن

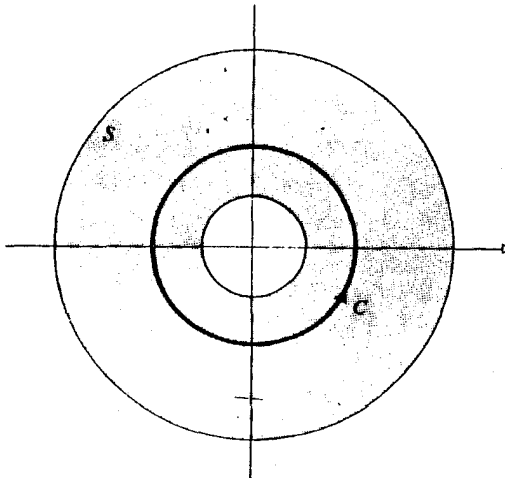
یک مسیر  $\gamma: [a, b] \rightarrow C$  را یک مسیر در  $S$  می‌نامند اگر

$$\{\gamma(t) \mid a \leq t \leq b\} \subseteq S.$$

این مطلب را با نماد  $\gamma: [a, b] \rightarrow S$  نشان می‌دهیم.

$$C(t) = \cos t + i \sin t \quad (0 \leq t \leq 2\pi)$$

یک مسیر در  $S = \left\{ z \in \mathbb{C} \mid \frac{1}{4} \leq |z| \leq 2 \right\}$  است. (شکل ۲-۱۴).



شکل (۲-۱۴)

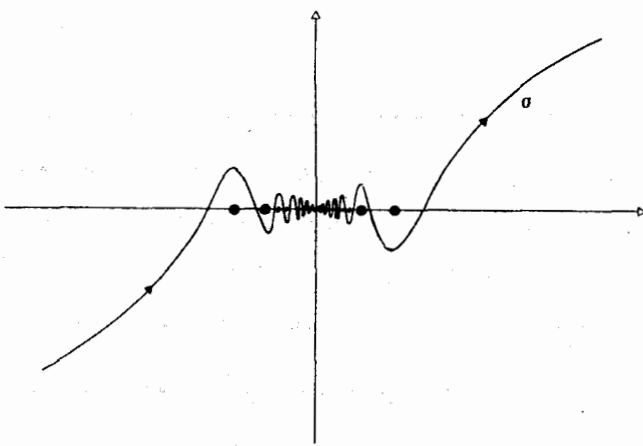
این یک مثال ساده است و نباید به آسایش خاطری غفلت آمیز بیانجامد. زیرا مسیرهای خیلی پیچیده هم وجود دارند.

مثال ۲. اگر

$$V = \{ z \in \mathbb{C} \mid z \neq 1/n \text{ و مخالف صفر و صحیح و مخالف صفر } n \}$$

$$\sigma(t) = t + it \cos(\pi/t) \quad (-1 \leq t \leq 1)$$

(که  $\sigma(0) = 0$ )، در این صورت  $\sigma$  یک مسیر در  $V$  است. (شکل ۲-۱۵). اینجا  $\sigma$  بین هر دو نقطه  $1/n$ ، که  $n$  عددی صحیح و ناصفر است، تاب می خورد، و محور  $x$  ها را هنگامی که  $t = 1/(n + \frac{1}{4})$  باشد قطع می کند ( $n$  صحیح و ناصفر است).



شکل (۲-۱۵)

درک این نکته که یک مجموعه باز  $S$  ممکن است خیلی پیچیده و یک مسیر  $\gamma$  در  $S$  می تواند به طرزی غامض در هم پیچیده باشد نیاز به قوه تصویری زیاد ندارد. به جای سعی در تصور همه پیچیدگیها، ما به طریق زیر از این موضوع اجتناب می ورزیم. اگر  $S$  یک مجموعه باز باشد، می توانیم  $\gamma$  را با تعدادی متناهی از قرصهای باز، واقع در درون  $S$ ، بپوشانیم به طریق زیر:

### لم فرض کردن (لم ۲-۹)

فرض کنیم که  $\gamma: [a, b] \rightarrow S$  یک مسیر در یک مجموعه باز  $S$  باشد. در این صورت یک تقسیم جزئی  $a = t_0 < t_1 < \dots < t_n = b$  وجود دارد به قسمی که هر مسیر جزئی  $\gamma_r$ ، که با تحدید  $\gamma$  به  $[t_{r-1}, t_r]$  داده شده است، در درون یک قرص  $D_r \subseteq S$  قرار گیرد.

**برهان.** چون  $S$  باز است،  $\varepsilon > 0$  وجود دارد به قسمی که  $N_\varepsilon(\gamma(a)) \subseteq S$ . آنگاه از پیوسته بودن  $\gamma$  نتیجه می شود که  $\delta > 0$  وجود دارد به قسمی که  $a \leq t < a + \delta$  مستلزم  $\gamma(t) \in N_\varepsilon(\gamma(a))$  باشد.

فرض کنیم  $t_1 = a + \frac{1}{4}\delta$ ،  $D_1 = N_\varepsilon(\gamma(a))$ ، در این صورت مسیر  $\gamma_1(t) = \gamma(t)$  در درون قرص  $D_1 \subseteq S$  قرار می گیرد.

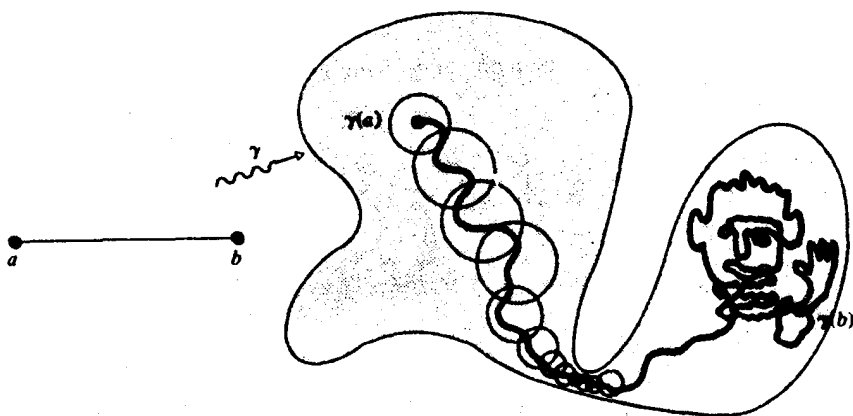
اکنون سعی می کنیم که در طول مسیر مورد نظر حرکت کرده، آن را با قرصها قطعه به قطعه بپوشانیم، آن طور که در شکل (۲-۱۶) مشاهده می شود تنها ترس ما این است که نتوانیم همه راه را طی کنیم؛ مثلاً ممکن است که قرصها از



لحاظ اندازه بسیار کوچک شوند و ممکن است که هرگز به انتها نرسیم. این ترس غیرموجه است. فرض کنیم  $\gamma$  که به  $[a, x]$  تحدید شده است، در صورتی که بتوان آن را به مسیرهای جزئی  $\gamma_1, \dots, \gamma_m$  تقسیم کرد طوری که هر  $\gamma_r$  در درون یک قرص  $D_r \subseteq S$  ( $1 \leq r \leq m$ ) جای گیرد، «بتواند فرش شود». فرض کنیم که  $C$  مجموعه  $x$  های متعلق به  $[a, b]$  باشد به قسمی که  $\gamma$  ی مقید به  $[a, x]$  بتواند فرش شود. در این صورت می دانیم که  $\left[ a, a + \frac{1}{4}\delta \right] \in C$ ، پس  $C$  تهی نیست؛ نیز  $C$  از بالا با  $b$  محدود است. این بدان معنی است که  $C$  یک کوچکترین کران بالای  $C$  دارد به قسمی که  $a + \frac{1}{4}\delta \leq c \leq b$ . چون  $S$  باز است، یک قرص باز  $N_\epsilon(\gamma(c)) \subseteq S$  وجود دارد، و بنابراین پیوستگی  $\gamma$ ، به ازاء یک  $K > 0$

$$\gamma(t) \in N_\epsilon(\gamma(c)) \text{ مستلزم } c - k < t < c + k \dots, t \in [a, b]$$

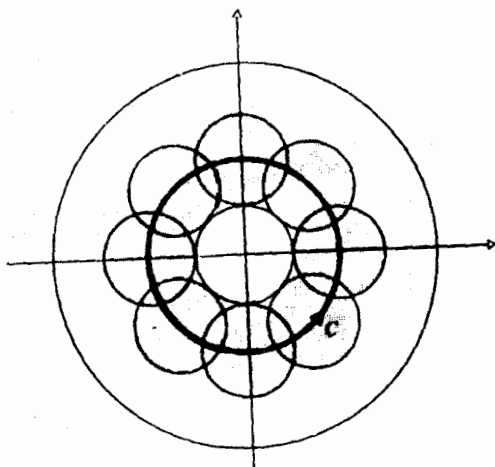
از خاصیت کوچکترین بند بالا نتیجه می شود  $x \in C$  که در آن  $c - k < x \leq c$ ، و با توجه به اینکه  $\gamma([x, c])$  به وسیله  $D_{m+1} = N_\epsilon(\gamma(c))$  پوشیده می شود، پس داریم  $c \in C$ .



شکل (۲-۱۶)

نمی‌توانیم  $c < b$  داشته باشیم، زیرا در این صورت می‌توانیم  $\gamma([c, d])$  را با  $D_{m+1} = N_1(\gamma(c))$  به ازاء  $d \in C$  که در شرط  $c < d < c+k$  صدق می‌کند پوشانیم که متناقض با کوچکترین بند بالا بودن  $C$  است. پس  $c=b$ ، و بنابراین  $b \in C$  و  $[a, b]$  به طور کامل به شیوه مورد نظر فرش می‌شود.

در مثال ۱ (صفحه ۷۰)، به ازاء هر نقطه  $z$  بر دایره واحد  $C$ ، داریم  $N_{1/2}(z) \subseteq S$ . واضح است که تعدادی متناهی از چنین دایره‌هایی  $C$  را در درون  $S$  فرش می‌کنند (شکل ۲-۱۷).



شکل (۲-۱۷)

مسیر  $\sigma$  در مثال ۲ را نمی‌توان با تعدادی متناهی از قرصها در  $V$  فرش کرد. هر قرصی که مبدا را پوشاند (که مبدا روی  $\sigma$  است) شامل نقاطی به صورت  $1/n$  خواهد بود که این نقاط خارج از  $V$  هستند. اما همین مطلب بدان معنی است که  $V$  باز نیست، بنابراین شرایط لازم برای لم فرش کردن برقرار نیست.

## ۶. همبندی

زیر مجموعه  $S \subseteq C$  را همبند مسیری (همبند گذاری، مرتبط مسیری، ...) می نامند اگر به ازاء  $z_1$  و  $z_2$  معلوم که به  $S$  متعلق باشند یک مسیر  $\gamma$  از  $z_1$  به  $z_2$  وجود داشته باشد.

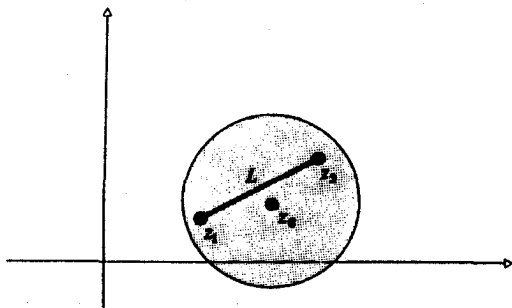
مثال ۱. هر قرص باز  $N_r(z_0)$  همبند مسیری است. زیرا با معلوم بودن  $z_1, z_2$  متعلق به  $N_r(z_0)$ ، فرض می کنیم:

$$L(t) = z_1(1-t) + z_2 t \quad (0 \leq t \leq 1);$$

در این صورت،

$$\begin{aligned} |L(t) - z_0| &= |\{z_1(1-t) - z_0(1-t)\} + \{z_2 t - z_0 t\}| \\ &\leq (1-t)|z_1 - z_0| + t|z_2 - z_0| \quad (0 \leq t \leq 1) \\ &< (1-t)r + tr \\ &= r, \end{aligned}$$

می شود. پس قطعه خط  $L$  درون  $N_r(z_0)$  قرار دارد (شکل (۲-۱۸)).



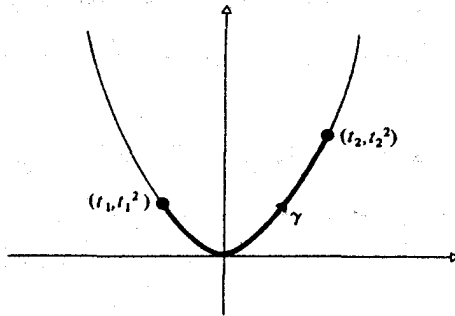
شکل (۲-۱۸)

مثال ۲. مجموعه  $S = \{z \in C \mid z = t + it^2, t \in R\}$  همبند مسیری است زیرا اگر  $t_1 + it_1^2, t_2 + it_2^2 \in S$

طوری که  $t_1 < t_2$  ، آنگاه

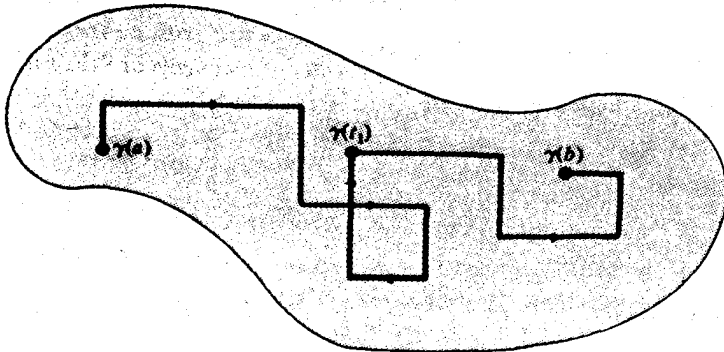
$$\gamma(t) = t + it^2 \quad (t_1 \leq t \leq t_2)$$

یک مسیر در  $S$  بین نقطه های داده شده است (شکل ۲-۱۹).



شکل (۲-۱۹)

گاهی خیلی مناسب تر است که نوع ساده تری از مسیر به کار بگیریم. یک مسیر پله ای در  $S$  عبارت است از: مسیری چون  $\gamma: [a, b] \rightarrow S$  همراه با یک تقسیم جزئی  $a = t_0 < t_1 < \dots < t_n = b$  به قسمی که در هر فاصله جزئی  $[t_{r-1}, t_r]$  از  $\gamma$  و  $\text{re } \gamma$  یکی مقداری ثابت باشد. این بدان معنی است که نگاره  $\gamma$  شامل تعدادی از قطعه خطهاست، که هر یک موازی با محور حقیقی یا محور موهومی است. (شکل ۲-۲۰).



شکل (۲-۲۰)

یک زیر مجموعه  $S \subseteq C$  همبند پله ای نامیده می شود اگر به ازاء هر  $z_1, z_2 \in S$  ،  
یک مسیر پله ای از  $z_1$  به  $z_2$  در  $S$  وجود داشته باشد.

واضح است که یک مسیر پله ای یک مسیر همبند است . اما عکس این  
مطلب در حالت کلی درست نیست ، چنانکه نمودار مربوط به مثال ۲ همبند  
مسیری است اما همبند پله ای نیست ؛ برای لم فرش کردن این اولین موفقیت است  
(موفقیتی جزئی).

ابتدا متذکر می شویم که یک قرص باز  $N_r(z)$  همبند پله ای است . این  
مطلب از نظر تصویری واضح است و به طور رسمی هم آن را چنین می توان  
ثابت کرد که نقطه دلخواه  $z_1 \in N_r(z)$  را پله پله به  $z$  پیوندیم (به این ترتیب  
مسیر پله ای دیگری ما را به نقطه دلخواه دیگری چون  $z_2 \in N_r(z)$  می برسد):

اگر  $z_1 = x_1 + iy_1$  ،  $z = x + iy$  ، فرض می کنیم  $w = x_1 + iy$  ،

آنگاه

$$|w - z_1| = \sqrt{\{(x_1 - x)^2 + (y_1 - y)^2\}} = |x_1 - x| \leq |z_1 - z| < r$$

و بنابراین  $w \in N_r(z)$  ، قطعه خطهای  $[z_1, w]$  ،  $[w, z]$  ، از این قرار ، یک  
همبندی پله ای از  $z_1$  تا  $z$  فراهم می کنند .

اکنون می توانیم ثابت کنیم :

**گزاره ۲-۱۰ .** یک مجموعه باز همبند مسیری ، همبند پله ای است .

برهان . با معلوم بودن  $z_1, z_2 \in S$  ، یک مسیر  $\gamma : [a, b] \rightarrow S$  از  $z_1$  به  $z_2$  وجود  
دارد . طبق قضیه فرش کردن یک تقسیم جزئی  $a = t_0, t_1, \dots, t_n = b$  و قرصهای  
باز  $D_1, \dots, D_n \subseteq S$  وجود دارند به قسمی که  $\gamma([t_{r-1}, t_r]) \subseteq D_r$  چون یک قرص  
باز همبند پله ای است ، پس یک همبندی پله ای  $\pi_r$  از  $\gamma(t_{r-1})$  به  $\gamma(t_r)$  در  $D_r$  و  
در نتیجه در  $S$  داریم . وقتی این همبندی های پله ای را قطعه قطعه به هم پیوندیم  
یک مسیر پله ای  $\pi = \pi_1 + \dots + \pi_n$  از  $z_1$  تا  $z_2$  در  $S$  به دست می آید . □

پله های دلخواه لزومی ندارد که همبند باشند . اما ، برای هر مجموعه دلخواه  $S$   
می توان رابطه

$$z_1 \approx z_2 (z_1, z_2 \in S)$$

را به معنی وجود یک مسیر از  $z_1$  به  $z_2$  اختیار کرد. به آسانی ثابت می شود که این یک رابطه هم ارزی است (تمرین ۷) و نیز ثابت می شود که کلاسهای هم ارزی حاصل شده همبند مسیری هستند. این کلاسهای هم ارزی را مولفه های همبند  $S$  می نامند. مثلاً مولفه های همبند  $S$  می نامند. مثلاً مولفه های همبند  $S$  می نامند.

$$A = \{z \in C \mid |z| \neq 1\}$$

به طور وضوح عبارتند از :

$$A = \{z \in C \mid |z| < 1\}, A_c = \{z \in C \mid |z| > 1\}.$$

اگر  $S$  باز باشد مولفه های همبند آن همگی باز هستند. (با معلوم بودن  $z$  در یک مولفه همبند  $S$  چون یک  $N_r(z), N_r(z) \subseteq S$  همبند است، پس باید داشته باشیم  $N_r(z) \subseteq S$ ، و در نتیجه  $S$  باز است).

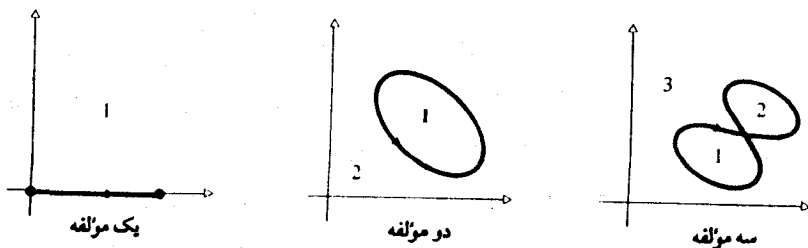
بخصوص یک حالت جالب مربوط به متمم یک مسیر  $\gamma: [a, b] \rightarrow C$  است و منظور ما از آن عبارت است از :

$$\{z \in C \mid z \neq \gamma(t), t \in [a, b]\}$$

متمم  $\gamma$  ممکن است همبند باشد، مثلاً.

$$\gamma(t) = t \quad (0 \leq t \leq 1)$$

از طرف دیگر  $\gamma$  ممکن است دو یا بیش از دو مولفه داشته باشد (شکل ۲-۲۱).



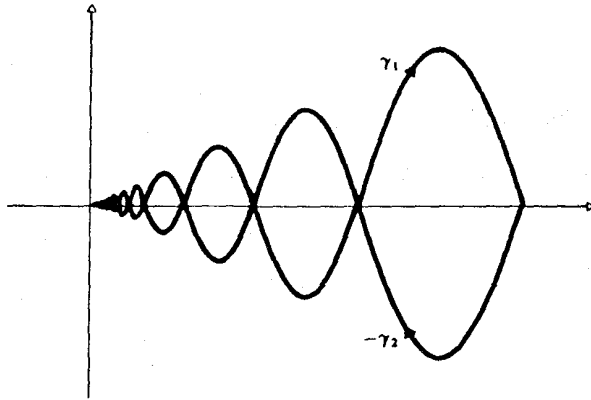
شکل (۲-۲۱)

متمم  $\gamma = \gamma_1 - \gamma_2$  که در آن

$$\gamma_1(\cdot) = \cdot, \gamma_1(t) = t + it \sin(\pi/t) \quad (0 < t \leq 1)$$

$$\gamma_2(\cdot) = \cdot, \gamma_2(t) = t - it \sin(\pi/t) \quad (0 < t \leq 1),$$

به تعداد نامتناهی مولفه دارد. (شکل ۲-۲۲).



شکل (۲۲-۲)

در مورد این که یک مسیر تا چه اندازه ممکن است پیچیده باشد، می توانیم

ثابت کنیم:

گزاره ۲-۱۱ الف. در صفحه مختلط نگاره یک مسیر بسته و کران دار است.

ب- متمم یک مسیر باز است و دقیقاً یک مولفه بی کران دارد.

**برهان الف.** فرض می کنیم  $\gamma : [a, b] \rightarrow C$  یک مسیر باشد. در این صورت

$m(t) = |\gamma(t)|$ ، که ترکیبی است از تابعهای پیرسته یک تابع پوسسته

$m : [a, b] \rightarrow R$  به دست می دهد. بنا بر آنالیز حقیقی، کران دار است،

مثلاً  $m(t) \leq K$ ، و در نتیجه  $|\gamma(t)| \leq K$  به ازاء هر  $t \in [a, b]$  و نگاره  $\gamma$  درون

قرصی که به مرکز مبدا و شعاع  $K$  است قرار می گیرد.

فقط کافی است ب را ثابت کنیم ، زیرا از این قسمت نتیجه می شود که نگاره مسیر مورد نظر باید بسته باشد . فرض کنیم که  $z_0$  در متمم  $\gamma$  واقع باشد . در این صورت ،

$$\mu(t) = |\gamma(t) - z_0|$$

یک عدد حقیقی مثبت به ازاء هر  $t \in [a, b]$  است . پس  $\mu$  پیوسته است و بنابراین کران دار ، و کرانهای خود را اختیار می کند :

$\mu(t) \geq k$  به ازاء هر  $t \in [a, b]$  ، که در آن  $(t_0 \in [a, b])$   $k = \mu(t_0)$  است .

بخصوص داریم  $k > 0$  ،  $N_k(z_0)$  شامل هیچ نقطه ای که روی  $\gamma$  باشد نیست ؛ از این قرار متمم  $\gamma$  باز است . بالاخره ، چون نگاره  $\gamma$  درون

$$A = \{z \in \mathbb{C} \mid |z| \leq K\}$$

قرار می گیرد چون

$$B = \{z \in \mathbb{C} \mid |z| > K\}$$

به طور وضوح همبند است ، پس تنها مولفه بیکران بایستی همان باشد که شامل B است ؛ سایر مولفه های کران دار در A هستند .

تبصره . یک مجموعه بسته و کران دار در  $\mathbb{R}^n$  ، بخصوص در صفحه مختلط (با فرض  $n=2$ ) را فشرده می نامند . فشردهگی خاصیتی بسیار مهم در توپولوژی مجموعه نقاط است (تعریف فوق به صورت کلی تر داده شده است) . در این متن به بیان همه خواص فشردهگی نیازی نداریم زیرا در موارد ساده ای که پیش می آید ، مثلاً در گزاره ۲-۱۱ ، دست خالی با به کار بردن آنالیز حقیقی می توان با آن درگیر شد .

اکنون می پردازیم به تعریف نوع خاصی از مجموعه که برای این نظریه در این متن ضرورت اساسی دارد . منظور از یک دامنه یک مجموعه است که در صفحه مختلط باز و ناتهی و همبند مسیری باشد . با به کار گرفتن گزاره ۲-۱۰ ملاحظه



می شود که یک دامنه همبند پله ای نیز هست و این خاصیت بعدها فوق العاده مفید خواهد بود. آنچه گفتیم بدان معنی است که در صحبت راجع به همبند بودن دامنه، بنا به مناسبت می توان آن را همبند مسیری یا همبند پله ای معنی کرد.

آن سان که آنالیز مختلط می نمایاند، خواننده به اهمیت فوق العاده این تعریف پی خواهد برد. تابعهای مختلط  $f$  به آنهایی محدود می شود که به صورت  $f: D \rightarrow C$  باشند که در آن  $D$  یک دامنه است. باز بودن  $D$  به ما این امکان را می دهد که با حدود، پیوستگی و دیفرانسیل پذیری بخوبی کار کنیم زیرا از  $z \in D$  نتیجه می شود  $N_\varepsilon(z) \subseteq D$  (به ازای  $\varepsilon$  مثبت) و بنابراین  $f(z)$  برای همه  $z$  های نزدیک به  $z$  تعریف شده است. همبندی  $D$  وجود یک مسیر (پله ای) را بین هر دو نقطه دلخواه از  $D$  تضمین می کند و همین مطلب به نوبه خود این امکان را به ما می دهد که انتگرال از یک نقطه به نقطه دیگر را در طول چنین مسیری تعریف کنیم.

اما، محدود کردن تابعها به آنها که روی دامنه ها تعریف می شوند نتایجی، به مراتب دقیقتر از آن دارد که صرفاً آماده سازی اولیه، برای بیان یک تعریف مناسب باشد. آنها که غوامض آنالیز مختلط را عمیقاً مطالعه کرده اند، در آن غناهایی ناگفته می یابند که با مورد حقیقی کاملاً بی شباهت است. مثلاً، اگر دو تابع مختلط دیفرانسیل پذیر روی یک دامنه  $D$  تعریف شوند و در یک قرص کوچک در  $D$  مساوی باشند، آنگاه این دو تابع در سراسر  $D$  مساوی خواهند بود! چنین نتیجه ای برای تابعهای دیفرانسیل پذیر کلی در حالت حقیقی برقرار نیست و این نتیجه فقط یکی از نتایج بسیاری است که در این کتاب خواهد آمد تا زیبایی و بسادگی آنالیز مختلط را نشان دهد. قبل از فصل ۱۰ به این نتایج نخواهیم رسید؛ اما اینجا متذکر می شویم که بر اهمیت بنیادی تاسیس مبانی توپولوژیک مورد نیاز برای این درس تاکید ورزیده شود.

## تمرینهای ۲

۱. فرض می‌کنیم  $a, b \in \mathbb{R}$  ،  $z \in \mathbb{C}$  ، دلخواه باشند. مجموعه همه نقاط  $z \in \mathbb{C}$  را که در شرایط زیر صدق کنند رسم کنید. در هر مورد بیان کنید که آیا مجموعه مفروض باز است یا، بسته، یا هیچ کدام؟

(الف)  $1 < |z| < 2$

(ب)  $\operatorname{Im} z \leq \operatorname{Re} z$  ،  $\operatorname{Re} z \geq 0$

(ج)  $1 < |z| < 2$  ،  $\operatorname{Im} z \geq 0$

(د)  $\operatorname{Re}(zz) > 0$

(ه)  $a < \arg(z - \bar{z}) < b$  (که در آن  $-\pi < a < b \leq \pi$ )

(و)  $|z - \bar{z}| = |\bar{z} - z|$

(ز)  $|z - \bar{z}| < |\bar{z} - z|$

(ح)  $|z - \bar{z}| \leq |\bar{z} - z|$

(ط)  $\operatorname{Re}(z^2) > 0$

(ی)  $\operatorname{Re}(z^2) \leq 0$

(ک)  $\operatorname{Re}(z^2) > 1$

(ل)  $\operatorname{Re}(z^2) \leq 1$

۲. گزاره ۲-۲ قسمتهای (a) و (b) را ثابت کنید.

۳. حدهای زیر را، در صورت وجود، تعیین کنید:

(الف)  $\lim_{z \rightarrow \infty} |z|/z$

(ب)  $\lim_{z \rightarrow \infty} |z|^2/z$

$$\lim_{z \rightarrow \cdot} z/|z|^2 \quad (\text{ج})$$

$$\lim_{z \rightarrow \cdot} (z - \text{rez})/\text{im}z \quad (\text{د})$$

۴. با کمک اصول اولیه، ثابت کنید که تابعهای زیر پیوسته هستند:

$$\text{rez} \quad (\text{الف})$$

$$\text{im}z \quad (\text{ب})$$

$$z + |z| \quad (\text{ج})$$

$$1/z (z \neq 0) \quad (\text{د})$$

$$|z|^2 \quad (\text{ه})$$

۵. گزاره ۲-۶ را ثابت کنید.

۶. برای هر یک از مجموعه های زیر و زوجهای نقاط، (در صورت امکان) تعریف کنید: (الف) یک مسیر در مجموعه را که آن دو نقطه را به هم وصل می کند، (ب) یک مسیر پله ای در مجموعه را که آن دو نقطه را به هم وصل می کند.

$$\text{الف) } |z| < 2, \quad 1+i, \quad 1-i.$$

$$\text{ب) } |z| = 1, \quad -i, \quad i.$$

$$\text{ج) } 1 \leq |z| < 2, \quad \sqrt{2}, \quad -\sqrt{2}.$$

$$\text{د) } |\text{rez}| > 5, \quad -9+37i, \quad 1.066+i(\pi+\sqrt{5})/17.$$

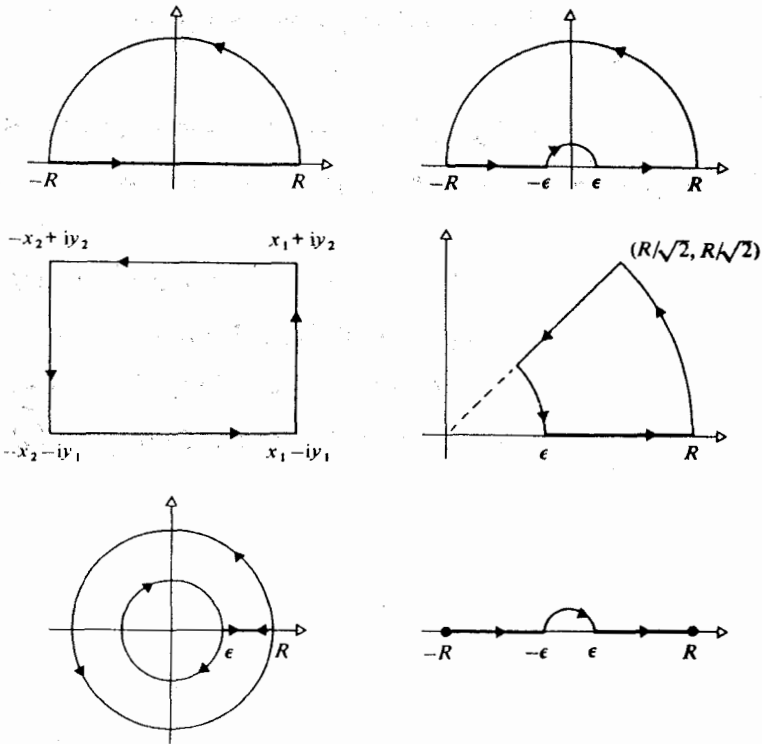
$$\text{ه) } ||1-z|| > \frac{1}{4}, \quad i/3, \quad 49(i+1).$$

۷. فرض می کنیم  $S$  زیر مجموعه ای از  $C$  باشد. اگر  $z, w \in S$  باشد، تعریف می کنیم  $w \approx z$  اگر و فقط اگر یک مسیر در  $S$  از  $z$  به  $w$  وجود داشته باشد. نشان دهید که  $\approx$  یک رابطه هم ارزی است. کلاسهای هم ارزی را مولفه های نامیم.

اگر  $S$  باز و ناتهی باشد، نشان دهید که هر مولفه از  $S$  یک دامنه است.

۸. فرض کنیم  $S$  یک زیر مجموعه همبند (مسیری) از  $C$ ،  $f: S \rightarrow C$  یک تابع پیوسته باشد. ثابت کنید که  $f(S)$  همبند است.

۹. تابعهایی صریح برای مسیرهایی که منحنی‌های شکل ۲-۲۳ را در جهت داده شده می‌پیمایند، ارائه دهید (همهٔ مسیره‌های فرعی قسمتهایی از دایره یا قطعه خط‌ها هستند؛  $0 < \epsilon < R$ ،  $x_1, x_2, y_1, y_2$  اعداد حقیقی مثبت هستند).



(شکل ۲-۲۳)

۱۰. فرض کنیم  $S$  زیر مجموعه‌ای از  $C$  باشد. یک نقطه  $z \in C$  را یک نقطه مرزی  $S$  می‌نامند اگر  $z$  یک نقطهٔ حدی  $S$  و نیز یک نقطهٔ حدی متمم  $S$  یعنی  $C \setminus S$  باشد. مرز  $\partial S$  از  $S$  عبارت است از مجموعهٔ نقاط مرزی  $S$ . در موارد زیر  $\partial S$  را توصیف و بیان کنید که آیا  $\partial S$  همبند (مسیری) است یا نه. در هر مورد شکلی رسم کنید.

(الف)  $S = \{z \in C \mid |z| < 2\}$

(ب)  $S = \{z \in C \mid z \neq 0\}$

$$S = \{ z \in \mathbb{C} \mid z = x + iy, x, y \text{ اعدادی گویا هستند} \} \quad (\text{ج})$$

$$S = \{ z \in \mathbb{C} \mid 0 \leq \operatorname{Re} z \leq 1, 0 \leq \operatorname{Im} z \leq 1 \} \quad (\text{د})$$

$$S = \text{مقطع مجموعه های در (ج) و (د)} \quad (\text{ه})$$

$$S = \{ z \in \mathbb{C} \mid z \neq iy, y \in \mathbb{R}, y \leq 0 \} \quad (\text{و})$$

$$S = \text{مقطع مجموعه های در (و) و (ب)} \quad (\text{ز})$$

۱۱. در موارد زیر مجموعه  $S$  (تمرین ۱۰) را می توان به عنوان نگاره یک مسیر معرفی کرد. شکل  $S$  را رسم و تابعی را که مسیر مربوطه را می دهد مشخص کنید.

$$S = \{ z \in \mathbb{C} \mid |z| \leq 1, \operatorname{Im} z \geq 0 \} \quad (\text{الف})$$

$$S = \{ z \in \mathbb{C} \mid 1 \leq |z| \leq 2, \operatorname{Im} z \geq 0 \} \quad (\text{ب})$$

$$S = \{ z \in \mathbb{C} \mid 0 \leq \operatorname{Re} z \leq 1, 0 \leq \operatorname{Im} z \leq 1 \} \quad (\text{ج})$$

$$S = \{ z \in \mathbb{C} \mid 1 \leq |z| \leq 2, 0 \leq \operatorname{Im} z \leq \operatorname{Re} z \} \quad (\text{د})$$

## فصل سوم

### سریهای توانی

بسیاری از توابع که از اهمیت بیشتری برخوردارند و در آنالیز حقیقی مورد مطالعه قرار می گیرند. مانند تابعهای توانی یا مثلثاتی، با به کار بردن سریهای توانی به مناسبترین وجهی تعریف می شوند. سریهای توانی برای سینوس و کسینوس که با آنها آشنا هستید. از لحاظ تاریخی حداقل به نیوتون در سال ۱۶۷۶ برمی گردد: این سریها مجدداً به وسیله دو موآور در سال ۱۶۹۸ به دست آمدند، همچنین به وسیله برنولی در ۱۷۰۲ و در سالهای ۱۷۳۰ اویلر آنها را به طور گسترده ای به کار گرفت.

سریهای توانی در مطالعه تابعهای مختلط از اهمیت بیشتری برخوردارند (اگر مهمتر از آن وجود داشته باشد).

در سالهای ۱۸۲۰، کوشی از سری توانی  $\sum_{n=0}^{\infty} z^n$ ، که بر حسب یک متغیر مختلط  $z$  است، استفاده شایانی نمود. بخصوص هر تابع حقیقی که یک بسط به سری توانی داشته باشد سبب به وجود آوردن یک تابع مختلط با سری توانی مختلط متناظر می شود و این امر روشی طبیعی برای تعمیم تابعها از حقیقی به مختلط فراهم می آورد. در سالهای ۱۸۴۰ نیز وایرستراس نشان داد که چگونه می توان تمامی نظریه آنالیز مختلط را با به کار بردن روشهای مربوط به سریهای توانی بنا نهاد.

در این فصل به بیان خواص مقدماتی دنباله‌ها و سریهای اعداد مختلط، غالباً با استفاده از شباهت مستقیم با موارد حقیقی می‌پردازیم و بعد خود را به مطالعه عمیقتر سریهای توانی محدود می‌کنیم.

### ۱. دنباله‌ها

دنباله‌ها، برای منظور ما، فقط به عنوان سنگ زیر پا برای رسیدن به سریها مورد نیازند. یک دنباله (مختلط) تابعی مانند:

$$f: \mathbb{N} \rightarrow \mathbb{C}$$

است که در آن  $\mathbb{N}$  دلالت بر اعداد طبیعی  $\{0, 1, 2, \dots\}$  دارد. معمول و مناسب آن است که بنویسیم:

$$z_n = f(n)$$

و اعداد  $z_n$  را، که جمله‌های دنباله نامیده می‌شوند، در یک خط مرتب کنیم:

$$z_0, z_1, z_2, \dots$$

نماد دیگر عبارت است از:

$$\{z_n\} (n \geq 0)$$

یا فقط

$$\{z_n\}$$

که معمولاً برای اختصار مفید هستند، نیز گاهی اوقات بهتر است که دنباله را با جمله یکم شروع کنیم نه با جمله شماره صفر؛ به این صورت:

$$z_1, z_2, z_3, \dots$$

چنانچه  $n$  به  $\infty$  میل کند می گوئیم حد  $\{z_n\}$  عدد  $z$  است اگر با معلوم بودن عدد حقیقی  $\varepsilon > 0$  یک عدد طبیعی  $V(\varepsilon)$  وجود داشته باشد به قسمی که از  $n > N(\varepsilon)$  نتیجه شود  $|z_n - z| < \varepsilon$ .

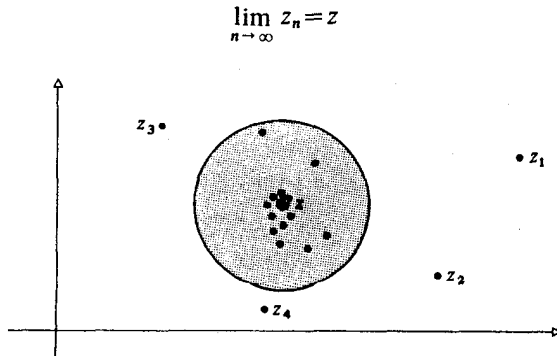
توجه داشته باشید که این تعریف با تعریف معمولی برای دنباله های حقیقی یکی است، جز آنکه  $z, z_n$  می توانند مختلط باشند و قدر مطلق  $|z_n - z|$  طبق ۱-۵ تعریف می شود.  
می نویسیم:

$$\lim_{n \rightarrow \infty} z_n = z$$

یا

$$z_n \rightarrow z \text{ هنگامی که } n \rightarrow \infty$$

محتوای هندسی این تعریف آن است که برای  $n$  های به اندازه کافی بزرگ، جمله های  $z_n$ ، همه درون یک دایره به دلخواه کوچک با مرکز  $z$  قرار می گیرند، مطابق شکل ۱-۳. خود این هم یادآور حالت حقیقی است. دنباله ای که به حدی میل کند همگرا (متقارب) نامیده می شود.



(شکل ۱-۳)



مسأله تعیین حدود دنباله‌ها مختلط را می‌توان مستقیماً به حالت حقیقی تبدیل کرد:

لم ۳-۱. فرض کنیم  $\{z_n\}$  یک دنباله باشد و فرض می‌کنیم  $z_n = x_n + iy_n$  است طوری که  $x_n, y_n \in \mathbb{R}$  باشد. نیز فرض می‌کنیم  $z = x + iy$  است طوری که  $x, y \in \mathbb{R}$  باشد. در این صورت

$$\lim_{n \rightarrow \infty} z_n = z$$

می‌شود اگر و فقط اگر

$$\lim_{n \rightarrow \infty} x_n = x$$

$$\lim_{n \rightarrow \infty} y_n = y$$

باشد.

برهان. فرض می‌کنیم  $\lim_{n \rightarrow \infty} z_n = z$ . نیز فرض می‌کنیم  $\varepsilon > 0$  است. در این صورت  $N \in \mathbb{N}$  وجود دارد به قسمی که  $|z_n - z| < \varepsilon$  به شرط آنکه  $n > N$  شود. به ازاء هر  $w = u + iv \in \mathbb{C}$  داریم:

$$|u| \leq \sqrt{u^2 + v^2} = |w|, \quad |v| \leq \sqrt{u^2 + v^2} = |w|,$$

بنابراین، با اختیار  $w = z_n - z$  با شرط  $n > N$  داریم:

$$|x_n - x| \leq |z_n - z| < \varepsilon,$$

$$|y_n - y| \leq |z_n - z| < \varepsilon,$$

بنابراین  $y_n \rightarrow y, x_n \rightarrow x$ .

بعکس، فرض می‌کنیم که  $y_n \rightarrow y, x_n \rightarrow x$ . با دادن  $\varepsilon > 0$  وجود دارند

$M, N \in \mathbb{N}$  به قسمی که

$$. M > m \text{ به ازاء هر } |x_m - x| < \varepsilon/2$$

$$. n > N \text{ به ازاء هر } |y_n - y| < \varepsilon/2$$

فرض می کنیم  $R = \max(M, N)$  ، اگر  $n > R$  ، آنگاه

$$|z_n - z| \leq |x_n - x| + |y_n - y| < \varepsilon/2 + \varepsilon/2 = \varepsilon$$

پس  $z_n \rightarrow z$

توجه داشته باشید که  $\{x_n\}, \{y_n\}$  دنباله هایی حقیقی هستند، و بنابراین حدود آنها را می توان با تکنیکهای آنالیز حقیقی پیدا کرد.

مثال. فرض می کنیم  $z_n = (n + in^2 + 1)^{-1}$  . آیا  $z_n$  متقارب است؟ اگر چنین است، به چه؟

جزءهای حقیقی و موهومی را جدا کنید، از این قرار با به کار بردن معادله (۸-۱) داریم:  $z_n = ((n+1) + in^2)^{-1} = (x+1)[(n+1)^2 + n^4]^{-1} - in^2[(n+1)^2 + n^4]^{-1}$  بعد ملاحظه می شود که:

$$n \rightarrow \infty \text{ وقتی که } x_n = \frac{n+1}{(n+1)^2 + n^4} \rightarrow 0$$

و

$$n \rightarrow \infty \text{ وقتی که } y_n = \frac{-n^2}{(n+1)^2 + n^4} \rightarrow 0$$

بنابراین

$$z_n \rightarrow 0 + i0 = 0$$

ایده مشابهی نوع مختلط مربوط به اصل کلی همگرایی را ارائه می دهد:

**قضیه ۳-۲.** دنباله  $\{z_n\}$  وقتی که  $n \rightarrow \infty$  به حد  $z$  میل می کند اگر و فقط اگر به ازاء هر  $\varepsilon > 0$  ،  $N(\varepsilon) \in \mathbb{N}$  وجود داشته باشد به قسمی که :

$$|z_n - z_m| < \varepsilon \quad m, n > N(\varepsilon) \quad (1)$$

**برهان.** ابتدا فرض می کنیم  $z_n \rightarrow z$  . پس  $N = N(\varepsilon)$  وجود دارد به قسمی که  $|z_n - z| < \varepsilon/2$  هر چه باشد  $n > N$  . در این صورت اگر  $m, n > N$  ، آنگاه

$$|z_m - z_n| \leq |z_m - z| + |z - z_n| < \varepsilon/2 + \varepsilon/2 = \varepsilon$$

پس (۱) برقرار است .

بعکس، فرض کنیم (۱) برقرار باشد. نیز فرض می کنیم  $y_n = \text{im}(z_n), x_n = \text{re}(z_n)$  . اگر  $m, n > N(\varepsilon)$  ، آنگاه

$$|x_m - x_n| \leq |z_m - z_n| < \varepsilon$$

$$|y_m - y_n| \leq |z_m - z_n| < \varepsilon$$

براساس اصل کلی همگرایی برای سریهای حقیقی (یعنی، این واقعیت که دنباله های کوشی همگرا هستند)، نتیجه می شود که  $x_n \rightarrow x, y_n \rightarrow y$  به ازاء  $x$  و  $y$  متعلق به  $\mathbb{R}$  . حال طبق لم ۳-۱ داریم :

$$z_n \rightarrow z = x + iy$$

**مثال.** اصل کلی همگرایی را به کار برده ثابت می کنیم دنباله با تعریف زیر همگرا است :

$$z_n = i\sqrt{2} + \left(\frac{3-4i}{6}\right)^n$$

به محاسبه می پردازیم:

$$\begin{aligned} |z_m - z_n| &= \left| \left( \frac{3-4i}{6} \right)^m - \left( \frac{3-4i}{6} \right)^n \right| \\ &\leq \left| \left( \frac{3-4i}{6} \right)^m \right| + \left| \left( \frac{3-4i}{6} \right)^n \right| \\ &= \left( \frac{5}{6} \right)^m + \left( \frac{5}{6} \right)^n \\ &\leq 2 \cdot \left( \frac{5}{6} \right)^r \end{aligned}$$

که در آن  $r = \min(m, n)$ . چون  $\frac{5}{6} < 1$  می توان  $2 \cdot \left( \frac{5}{6} \right)^r$  را از هر عدد دلخواه  $\varepsilon$  کوچکتر کرد به این ترتیب که  $r$  به اندازه کافی بزرگ بگیریم.

توجه کنید که برای پاسخ به این پرسش به کار بردن لم ۳-۱ موجب سهولت کار نخواهد شد (گرچه خواننده ای که بی باک است با تبدیل  $(3-4i)/6$  به مختصات قطبی شانس بهتری دارد). البته با کمک تعریف فوق می توان ثابت کرد که  $z_n \rightarrow i\sqrt{2}$

## ۲. سریها

با در دست داشتن دنباله  $\{z_n\}$  می توان دنباله دیگری از مجموعه های جزئی با تعریف،

$$s_n = \sum_{r=0}^n z_r = z_0 + z_1 + \dots + z_n$$

تشکیل داد. اگر  $s_n$  به یک حد  $s \in \mathbb{C}$  میل کند در آن صورت تعریف می کنیم.

$$\sum_{r=0}^{\infty} z_r = \lim_{n \rightarrow \infty} \sum_{r=0}^n z_r,$$

$$\sum_{r=0}^{\infty} z_r$$

همگرا به  $s$  است. وقتی که یک سری به عددی چون  $s$  می گراید می گویند همگرا است. نیز می توان نوشت:

$$s = z_0 + z_1 + \dots$$

که ساده و راحت است (اما توجه داشته باشید که این یک تعریف برای عبارت  $z_0 + z_1 + \dots$  است زیرا مجموعه‌های متناهی معنی خاصی ندارند مگر اینکه به آنها یک معنی بدهیم).

اگر یک سری همگرا نباشد آن را واگرا می نامند.

مطابق این تعریف، هر سوآلی درباره همگرایی یک سری را می توان به

سوآلی درباره دنباله  $\{s_n\}$  از مجموعه‌های جزئی برگرداند. مثلاً، چون قضیه ۳.۲ را در مورد  $\{s_n\}$  به کار بگیریم حاصل می شود:

لم ۳.۳. سری  $\sum_{r=0}^{\infty} z_r$  همگرا است اگر و فقط اگر، به ازاء هر  $\epsilon > 0$ ، یک  $N(\epsilon) \in \mathbb{N}$  وجود داشته باشد به قسمی که

$$m, n > N(\epsilon) \Rightarrow \left| \sum_{r=m+1}^n z_r \right| < \epsilon$$

(بدین معنی که از شرط  $m, n > N(\epsilon)$ ، حاصل شود  $\left| \sum_{r=m+1}^n z_r \right| < \epsilon$ ).

برهان. توجه کنید که  $\sum_{r=m+1}^n z_r = s_n - s_m$ . اکنون قضیه ۳.۲ را به کار بگیرید.

□

مثال. فرض می کنیم  $z_n = \left( \frac{3-4i}{6} \right)^n$  باشد. آیا  $\sum_{r=0}^{\infty} z_r$  همگرا است؟

داریم:

$$\left| \sum_{r=m}^n \left( \frac{3 - 4i}{6} \right)^r \right| \leq \sum_{r=m}^n \left| \left( \frac{3 - 4i}{6} \right)^r \right| \quad (\text{نامساوی مثلثی!})$$
$$= \sum_{r=m}^n \left( \frac{5}{6} \right)^r.$$

اما این یک سری تصاعد هندسی (متناهی) است و می دانیم که مجموع آن عبارت است:

$$\left[ \left( \frac{5}{6} \right)^m - \left( \frac{5}{6} \right)^{n+1} \right] \left( 1 - \frac{5}{6} \right)^{-1}$$

که به طور واضح می توان آن را از هر عدد مثبت  $\varepsilon$  کوچکتر کرد به شرط آنکه  $m$  و  $n$  به اندازه کافی بزرگ اختیار شوند، زیرا که  $1 < \frac{5}{6}$  است.

**اخطار.** لطیفه ای است قدیمی و احترام آمیز درباره دو روستایی که هر یک اسبی خریدند و می خواستند که اسبهایشان با هم اشتباه نشود. یکی از آنها دم اسبش را برید. روز بعد، مردی دم اسب دیگر را برید. این بار یکی از آنها گوش اسبش را برید. . . . و باز وضع قبلی پیش آمد. عاقبت با ناامیدی یکی از آنها به دیگری گفت: «به تو می گویم که چکار کنیم؛ تو سیاه را بردار و من سفید را»

به دلایلی چند، بسیاری از دانشجویان دنباله ها و سریها را با هم اشتباه می کنند، اما برای افتادن به این اشتباه دلایلی وجود ندارد، زیرا **سریها، آنهاهی هستند که با  $\sum_{r=0}^{\infty}$  شروع می شوند.**

این ملاحظه در عمل، همه راههای افتادن به اشتباه را برطرف نمی کند، اما شروع خوبی است.

همانند دنباله ها، گاهی ترجیح می دهیم که با ۱ شروع کنیم نه با ۰. این کار

$$\sum_{r=1}^{\infty} z_r$$

یا

$$z_1 + z_2 + \dots$$

در می آورد که تعریف دقیق آن را به عهده خواننده می گذاریم. تغییراتی، از قبیل

$$\sum_{r=2}^{\infty} z_r,$$

نیز پذیرفته می شوند. اما، باید توجه داشت که این چیزی نیست جز همان  $\sum_{r=1}^{\infty} z_r$

که در آن  $z_1 = z_2 = z_3 = \dots = 0$ . به قصد ساده مختصر نویسی غالباً به جای  $\sum_{r=0}^{\infty} z_r$  می نویسیم:

$$\sum z_r.$$

جمع کردن سریهای مختلط را، در صورت تمایل، می توان به جمع کردن سریهای حقیقی معادل تبدیل کرد. با به کار گرفتن لم ۳-۱ برای مجموعه های جزئی، بی درنگ برهانی به دست می آید برای:

لم ۳-۴. فرض می کنیم  $z_r = x_r + iy_r$  است که در آن  $x_r, y_r \in \mathbb{R}$ . در این صورت  $\sum z_r$  همگرا است اگر و فقط اگر سریهای حقیقی  $\sum x_r, \sum y_r$  همگرا باشند، که در این صورت:

$$\sum z_r = \sum x_r + i \sum y_r. \quad \square$$

مثال. فرض می کنیم  $z_n = (i)^n / n^2$ . آیا  $\sum z_r$  همگرا است؟  
داریم:

$$x_n = \operatorname{re}(z_n) = \begin{cases} \cdot & (\text{اگر } n \text{ فرد باشد}) \\ \frac{(-1)^{n/2}}{n^2} & (\text{اگر } n \text{ زوج باشد}) \end{cases}$$

اکنون ملاحظه می شود که  $\sum x_r$  یک سری متناوب است (با نادیده گرفتن جمله های صفر آن) که جمله  $n$  آن به صفر میل می کند، پس متقارب است. مشابهاً  $y_n = \operatorname{im}(z_n)$  منجر به یک سری همگرایی  $\sum y_r$  می شود. پس  $\sum z_r$  همگرا است.

به طریق مشابه، چه با در نظر گرفتن قسمت های حقیقی و موهومی و چه با تقلید مستقیم از برهان های مربوط به سری های حقیقی، حاصل می شود:

لم ۳-۵. فرض کنیم که  $\sum a_r, \sum b_r$  سری هایی متقارب باشند، نیز فرض می کنیم که  $c$  یک عدد مختلط باشد. در این صورت  $\sum (a_r + b_r)$ ،  $\sum (ca_r)$  همگرا هستند و مجموع های آنها عبارتند از: (چنین تعریف می شوند)

$$\begin{aligned} \sum (a_r + b_r) &= \sum a_r + \sum b_r \\ \sum (ca_r) &= c \sum a_r \end{aligned} \quad \square$$

هنگامی که در پی آن هستیم که ثابت کنیم یک سری مختلط همگرا است بدون آنکه مجموع واقعی آن را حساب کرده باشیم، غالباً بهتر است روی مدول آن تکیه کنیم تا روی قسمت های حقیقی و موهومی آن. دو مشابهت با مورد حقیقی، می گوئیم که سری  $\sum z_r$  همگرای مطلق (مطلقاً همگرا) است اگر و فقط اگر  $\sum |z_r|$  همگرا باشد.

قضیه ۳-۶. یک سری مطلقاً همگرا، همگرا است.

برهان. فرض می کنیم  $\sum z_r$  مطلقاً همگرا است و نیز فرض می کنیم



$z_r = x_r + iy_r$ . آنگاه  $|x_r| \leq |z_r|$ ،  $|y_r| \leq |z_r|$ ، اما  $\sum |z_r|$  همگرا است، بنابراین از آزمون مقایسه برای سریهای حقیقی نتیجه می شود که  $\sum |x_r|$  و  $\sum |y_r|$  همگرا هستند. نتیجه مطلوب به وسیله لم ۳-۴ حاصل می شود.

**مثال.**  $\sum z_n = \sum (i^n / n^2)$  همگرا است زیرا  $\sum 1/n^2$  همگرا است (این برهان را با برهان مثال قبلی مقایسه کنید).

قضیه ۳-۶ از این جهت مفید است که به ما امکان می دهد که همگرایی بسیاری از سریهای مختلط  $\sum z_r$  را با کمک سری حقیقی  $\sum |z_r|$  ثابت کنیم. چون جمله های  $\sum |z_r|$  مثبت هستند، توجه شما را به وجود نوع مختلطی از آزمون مقایسه جلب می کنیم:

آزمون مقایسه. فرض می کنیم  $\sum a_r$ ،  $\sum b_r$  سریهایی مختلط، و  $\sum a_r$  همگرای مطلق باشد. اگر به ازای  $k$  مثبت و  $N$  صحیح داشته باشیم:

$$|b_r| < K|a_r| \quad (r > N),$$

آنگاه  $\sum b_r$  هم همگرای مطلق است، و بنابراین همگرا است.

**برهان.**  $|\sum a_r|$  همگرا است و بنابراین، طبق آزمون مقایسه حقیقی،  $\sum |b_r|$  متقارب است و طبق قضیه ۳-۶،  $\sum b_r$  هم متقارب است. نوع مختلطی از آزمون نسبت وجود دارد.  $\square$

فرض می کنیم  $\sum a_r$  یک سری مختلط با جمله های ناصفر باشد به قسمی که

$$\lim_{r \rightarrow \infty} \frac{|a_r|}{|a_r - 1|} = \lambda$$

اگر  $\lambda < 1$  باشد، آنگاه سری  $\sum a_r$  همگرای مطلق است؛ اگر  $\lambda > 1$ ،  $\sum a_r$  واگرا است؛ و به ازای  $\lambda = 1$ ، ممکن است همگرا یا واگرا باشد.

برهان. برای  $\lambda < 1$ ، فرض می‌کنیم  $\rho = \frac{1}{\lambda}(\lambda + 1)$ ، در این صورت  $1 < P < \lambda$  و  $N$  وجود دارد به قسمی که

$$|a_r|/|a_{r-1}| < \rho \quad \text{برای } r > N$$

بنابراین

$$|a_r| < \rho |a_{r-1}| < \rho^2 |a_{r-2}| < \dots < \rho^{r-N} |a_N| \quad (r > N)$$

و  $\sum a_r$ ، در مقایسه با  $\sum \rho^r$  که در آن  $\rho < 1$  و حقیقی است، همگرا است. در حالت  $\lambda > 1$ ، ملاحظه می‌شود که برای  $N$

$$|a_r|/|a_{r-1}| > 1 \quad (r > N)$$

بنابراین

$$|a_r| > |a_{r-1}| > |a_{r-2}| \dots > |a_N| \quad (r > N)$$

و بنابراین  $\sum a_r$  نمی‌تواند همگرا باشد زیرا جمله‌های  $\{a_r\}$  به صفر میل نمی‌کنند.

با توجه به اینکه برای  $\sum 1/n$ ،  $\sum 1/n^2$  داریم  $\lambda = 1$ ، اما اولی واگرا و دومی همگرا است، برهان کامل می‌شود.

### ۳. سریهای توانی

فرض می‌کنیم  $z \in C$ . یک سری به فرم

$$\sum_{n=0}^{\infty} a_n (z - z_0)^n$$

با ضرایب  $a_n \in C$  یک سری توانی در حوالی  $z_0$  نامیده می‌شود. با تعویض متغیر

$z - z = 0$  می توانیم فقط حالت  $z = 0$  را در نظر بگیریم. اینجا، با کمک نتایج زیر همگرایی برقرار است:

لم ۳-۷. (الف) اگر یک سری توانی  $\sum a_n z^n$  با شرط  $z = z_1 \neq 0$  همگرا باشد، در این صورت به ازاء هر  $z$  با شرط  $|z| < |z_1|$  همگرایی مطلق خواهد بود. (ب) اگر  $\sum a_n z^n$  در  $z = z_1$  و اگر  $|z| > |z_1|$  صدق می کنند و اگر است.

برهان. (الف) اگر  $\sum a_n z_1^n$  همگرا باشد آنگاه  $|a_n z_1^n| \rightarrow 0$  وقتی که  $n \rightarrow \infty$ ، و این براساس اصل کلی همگرایی است. از این قرار  $K \in \mathbb{R}$  وجود دارد به قسمی که  $|a_n z_1^n| < K$  به ازاء هر  $n$ . حال اگر  $|z| < |z_1|$  آنگاه  $q = |z/z_1| < 1$ . اکنون داریم:

$$|a_n z^n| = |a_n z_1^n| |z/z_1|^n < K q^n$$

بنابراین، براساس آزمون مقایسه،  $\sum |a_n z^n|$  همگرا است.

(ب) اگر  $|z| > |z_1|$  و  $\sum a_n z_1^n$  همگرا باشد آنگاه بنابر (الف)،  $\sum a_n z_1^n$  نیز همگرا است، و این یک تناقض است. پس  $\sum a_n z^n$  واگرا است.

این نتایج به مفهوم مهمی می انجامد. اگر فرض کنیم

$$R = \sup\{|z| \mid \sum a_n z^n \text{ همگرا است}\}$$

(و چنانچه یک سوپرمم حقیقی وجود نداشته باشد  $R = \infty$  اختیار می کنیم) آنگاه بی درنگ نتیجه می شود:

به شرط  $|z| < R$  همگرا است

$$\sum a_n z^n$$

به شرط  $|z| > R$  واگرا است.

(هنوز نمی توانیم بگوییم که در حالت  $|z| = R$  چه روی می دهد). به  $R$  شعاع همگرایی این سری می گوئیم و مجموعه

$$\{z \in \mathbb{C} \mid |z| < R\}$$

قرص همگرایی این سری نامیده می شود. از نظر هندسی این درون یک دایره است (که ممکن است در حالت‌های مفرط فقط خود مبداء، یا همه C باشد).

**مثال.** سری  $1 + z + z^2 + \dots$  برای  $|z| < 1$  همگرا است، زیرا با همان شرط، همگرایی مطلق است؛ برای  $z = 1$  واگرا است و بنابراین به ازاء همه z هایی که در شرط  $|z| > 1$  صدق می کنند نیز چنین است. پس شعاع همگرایی آن 1 است.

وقتی که  $|a_r|/|a_{r-1}|$  باشد، به شرط آنکه  $r$  به بی نهایت میل کند، دارای حدی است، شعاع همگرایی را می توان به صورت زیر حساب کرد. فرض می کنیم:

$$\lim_{r \rightarrow \infty} |a_r|/|a_{r-1}| = 1$$

آنگاه

$$\lim_{r \rightarrow \infty} |a_r z^r|/|a_{r-1} z^{r-1}| = |z|.$$

حالا، براساس آزمون نسبت، به شرط  $|z| < 1$  سری مفروض همگرا و با شرط  $|z| > 1$  واگرا است. پس شعاع همگرایی عبارت است از  $1/1$ . به طریق دیگر، شعاع همگرایی  $\sum a_r z^r$  عبارت است از:

$$\lim_{r \rightarrow \infty} |a_{r-1}/a_r|,$$

به شرط این که این حد موجود باشد.

**مثال.** اگر  $\sum a_n z^n = \sum z^n / n$ ، آنگاه

$$\lim_{r \rightarrow \infty} |a_{r-1}/a_r| = 1,$$

پس شعاع همگرایی 1 است.

در حالت کلی ممکن است نسبت  $|a_{r-1}/a_r|$  به حدی میل نکند. گاهی ممکن است شعاع همگرایی را با کمک هوش ذاتی پیدا کنیم، اما وقتی که همه این موارد

کارایی خود را از دست دهند می توانیم از تکنیکی قوی که در همه حالات کارایی دارد استفاده کنیم:

قضیه ۳-۸. شعاع همگرایی  $\sum a_n z^n$  با دستور زیر داده می شود:

$$\sqrt[n]{R} = \limsup |a_n|^{1/n}. \quad (2)$$

اینجا بنا به قرارداد  $\sqrt[n]{0} = 0$  ،  $\sqrt[n]{\infty} = \infty$ .

برهان. R را با فرمول (۲) تعریف می کنیم.

ابتدا فرض می کنیم  $|z| < R$ . در این صورت می توانیم  $\rho$  را چنان انتخاب کنیم که  $\rho < R$  و  $|z| < \rho$  باشد. طبق تعریف  $\limsup$ ، داریم  $|a_n|^{1/n} < \rho$  و این به ازاء همه  $n$ هایی است که از  $N$  معینی بزرگتر باشند. پس  $|a_n| < \rho^n$ ، و بنابراین

$$|a_n z^n| = |a_n| \rho^n |z/\rho|^n < |z/\rho|^n.$$

اما  $|z/\rho| < 1$  پس  $\sum_{n=N}^{\infty} |z/\rho|^n$  همگرا است. بنابراین طبق آزمون مقایسه،  $\sum_{n=N}^{\infty} a_n z^n$  همگرا است، پس  $\sum_{n=N}^{\infty} a_n z^n$  نیز همگرا است.

حال فرض می کنیم  $P. |z| > R$  را چنان اختیار می کنیم که  $|z| > \rho > R$  بشود. از این قرار به ازاء همه  $n$ های بزرگتر از  $N$  داریم  $|a_n|^{1/n} < \rho$ . اکنون مطابق آنچه در فوق گفتیم در مقایسه با  $\sum |z/\rho|^n$  معلوم می شود که  $\sum a_n z^n$  واگرا است.

مثال. سری  $\sum \frac{z^n}{n!}$  شعاع همگرایی R دارد به قسمی که

$$\sqrt[n]{R} = \limsup (1/n!)^{1/n} = 0.$$

پس  $R = \infty$ ، بنابراین سری مذکور برای هر  $z$  همگرای مطلق است. مجموع این سری را به عنوان تابع توانی  $\exp(z)$  یا  $e^z$  تعریف می کنند.

سریهای  $\sum (-1)^n \frac{z^{2n}}{(2n)!}$  و  $\sum (-1)^n \frac{z^{2n+1}}{(2n+1)!}$  مشابهاً دارای  $R = \infty$  هستند. اینها تابعهای کسینوس و سینوس را تعریف می کنند (برای تفصیل بیشتر فصل ۵ را ملاحظه نمایید).

شعاع همگرایی برای سری  $\sum \frac{z^n}{n}$  چنین تعیین می شود:

$$1/R = \limsup \left(\frac{1}{n}\right)^{1/n} = 1$$

پس  $R=1$ . این سری به ازاء  $|z| < 1$  همگرا و به ازاء  $|z| > 1$  واگرا است. در حالت  $|z| = 1$ ، تحلیل بیشتری لازم است که برای این منظور هنوز تکنیک مورد نیاز را در دست نداریم.

در فصل بعد، برای تعریف تابعهای توانی مختلط و مثلثاتی، سریهای توانی را به کار خواهیم برد. به قصد حصول سریع بعضی از خواص اساسی آنها، از قضیه ای راجع به ضرب سریها استفاده خواهیم کرد، این قضیه، به طور غیر دقیق، می گوید که اگر جمله های دو سری را «جمله به جمله» در هم ضرب و جملات حاصل را با همان ترتیب گرد آوریم، یک سری به دست خواهیم آورد که همگرا به حاصلضرب مجموعهای آن دو سری است. دقیقتر آنکه:

**قضیه ۳-۹.** فرض کنیم که  $\sum a_n, \sum b_n$  همگرای مطلق باشند، و مجموعهای آنها به ترتیب  $a$  و  $b$  باشند، نیز فرض کنیم:

$$c_r = a_r b_r + a_1 b_{r-1} + a_2 b_{r-2} + \dots + a_r b_1$$

آنگاه  $\sum c_n$  همگرا و مجموع آن  $ab$  است.

پرهان. این بسط مستقیم حکم نظیر آن در آنالیز حقیقی است. برای دانش آموزانی که با این قضیه آشنا نیستند، در ضمیمه مربوط به این فصل، «بخش ۵» تفصیلی ارائه خواهیم داد.

قضیه ۳-۹ را فقط یک بار، آن هم در قسمت بعدی، توام با یک بحث ترکیبی برای اثبات رابطه زیر به کار خواهیم برد:

$$\exp(z + w) = \exp(z)\exp(w) .$$

استدلالی ظریفتر برای این رابطه به نتایج ثابت شده و به وسیله به کار بردن خود آن نباشد (یعنی با پرهیز از استدلال دوری) در ۵-۱ ارائه شده است.

#### ۴. دستکاری سریهای توانی

نتایجی که تاکنون به دست آورده ایم به ما امکان محاسبه با سریهای توانی را می دهد «سریهای توانی را به عنوان بسجمله ای های نامتناهی در نظر می گیریم» به شرط آنکه این سریها همگرای مطلق باشند. برای بررسی این مطلب، فرض می کنیم  $\sum a_n z^n, \sum b_n z^n$  دو سری توانی با شعاعهای همگرایی  $R_a, R_b$  باشند، نیز فرض می کنیم  $|z| < \min(R_a, R_b)$ . آنگاه طبق لم ۳-۵ داریم:

$$\sum a_n z^n + \sum b_n z^n = \sum (a_n + b_n) z^n .$$

نیز طبق قضیه ۳-۹،

$$\left( \sum a_n z^n \right) \left( \sum b_n z^n \right) = \sum (a_n b_n + a_1 b_{n-1} + \dots + a_n b) z^n .$$

توجه کنید که اگر مجموع تابعی نهایت برای  $\sum$  را با یک مجموع متناهی، مثلاً  $\sum_1^r$ ، عوض کنیم، فرمولهای فوق تبدیل به همان فرمولهای معمولی برای جمع و ضرب بسجمله ها می شوند.

همین جنبه سریهای توانی است که آنها را بسیار سودمند می سازد: محاسبه آنها (بالنسبه) آسان است از همین موضوع بهره می گیریم و بعضی جنبه های مهم تابعهای مثلثاتی و تابعهای توانی مختلط را نمایش می دهیم. این تابعها به وسیله

سریهای توانی چنین تعریف می شوند:

$$\exp(z) = \sum \frac{1}{n!} z^n$$

$$\cos(z) = \sum \frac{(-1)^n}{(2n)!} z^{2n}$$

$$\sin(z) = \sum \frac{(-1)^n}{(2n+1)!} z^{2n+1}$$

انگیزه برای تعریف این سریهای ویژه به صورت فوق همان مورد حقیقی آنها است. می دانیم که این سریها به ازای همه زهای متعلق به C همگرای مطلقند. (۳-۳)

با عبارت  $\cos \theta + i \sin \theta$  از ۱-۷ آغاز می کنیم. چون سریهای مربوطه را جمع کنیم خواهیم داشت:

$$\cos \theta + i \sin \theta = \sum c_r \theta^r$$

که در آن

$$c_r = \frac{(-1)^{r/2}}{r!}, \text{ به شرط زوج بودن } n,$$

$$c_r = \frac{i(-1)^{(r-1)/2}}{r!}, \text{ به شرط فرد بودن } n,$$

اما  $i^2 = -1$ ,  $i^3 = -i$ ,  $i^4 = 1$  پس داریم:

$$(-1)^{r/2} = i^r \quad (\text{زوج } r \text{ است})$$

$$i(-1)^{(r-1)/2} = i^r \quad (\text{فرد } r \text{ است})$$

به این ترتیب

$$\sum c_r \theta^r = \sum \frac{i^r \theta^r}{r!} = \sum \frac{(i\theta)^r}{r!} = \exp(i\theta).$$



می شود. بنابراین فرمول مهم زیر را داریم:

$$\cos \theta + i \sin \theta = \exp(i\theta).$$

پس فرم مختصات قطبی یعنی  $r(\cos \theta + i \sin \theta)$  برای یک عدد مختلط را می توان به صورت  $r \cdot \exp(i\theta)$ ، یا ساده تر،  $re^{i\theta}$  نوشت. اکنون فرمول حاصلضرب دو سری را برای محاسبه

$$\exp(z) \exp(w)$$

که در آن  $z, w \in \mathbb{C}$  باشد، به کار می بریم. ملاحظه می شود که

$$\begin{aligned} \exp(z) \exp(w) &= \left( \sum \frac{z^n}{n!} \right) \left( \sum \frac{w^n}{n!} \right) \\ &= \sum_{n=0}^{\infty} \left( \sum_{r=0}^n \frac{1}{r!} \frac{1}{(n-r)!} z^r w^{n-r} \right) \\ &= \sum_{n=0}^{\infty} \frac{1}{n!} \left( \sum_{r=0}^n \binom{n}{r} z^r w^{n-r} \right). \end{aligned}$$

طبق قضیه دو جمله ای عبارت فوق معادل است با:

$$\sum_{n=0}^{\infty} \frac{1}{n!} (z+w)^n = \exp(z+w).$$

بنابراین

$$\exp(z) \exp(w) = \exp(z+w)$$

### ۵. ضمیمه

طرحی می دهیم برای برهان:

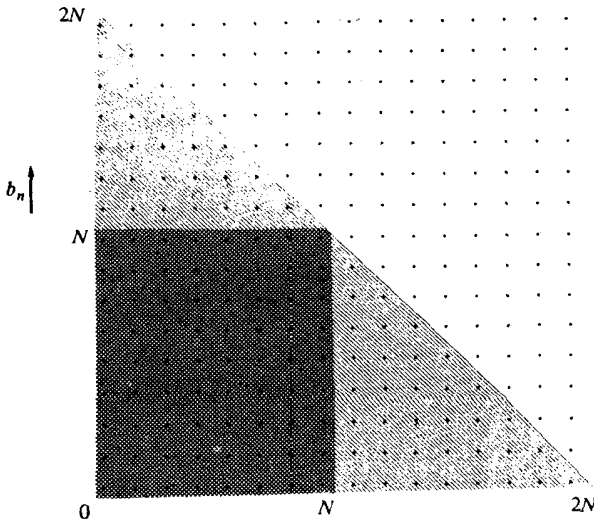
قضیه ۳-۹ فرض می کنیم  $\sum a_n, \sum b_n$  همگرای مطلق باشند، و مجموعه‌های

آنها به ترتیب  $a$  و  $b$  باشند. نیز فرض می کنیم

$$c_r = a_r b_r + a_r b_{r-1} + a_r b_{r-2} + \dots + a_r b.$$

در این صورت  $\sum c_n$  همگرا است، و مجموع آن  $ab$  است. برهان. دنبال کردن استدلال آسانتر خواهد بود اگر از شکل ۲-۳ استفاده کنیم، زیرا همه حالات ممکنه ضربهای متقاطع  $a_s b_t$  را در یک شبکه مربعی ارائه می دهد. نظریه ای که مطرح است این است که یک مجموع جزئی از  $\sum c_n$  عبارت است از مجموع جمله ها در یک ناحیه مثلثی قائم الزاویه؛ در همین حال مجموعهای جزئی از  $\sum a_n$ ،  $\sum b_n$ ، چون در هم ضرب شوند، نواحی مثلثی قائم الزاویه به دست می دهند. کار اصلی ما این است که در نواحی مثلثی به تخمین مجموع جمله ها با تقریب زدن به کمک مستطیلهای پیردازیم. تفصیل چنین است:

فرض می کنیم  $\sum |a_n| = A$ ،  $\sum |b_n| = B$  است. با دادن  $\varepsilon > 0$  عدد  $N$  را چنان بزرگ انتخاب می کنیم که همه شرایط زیر برقرار باشد. (برای انجام این کار، برای هر شرط یک  $N$  انتخاب کنید. سپس بیشینه هر سه  $N$  انتخاب شده را در نظر بگیرید.



(شکل ۲-۳)

$$\left| \sum_{n=0}^N a_n \sum_{n=0}^N b_n - ab \right| < \varepsilon / (A + B + 1) \quad (\text{الف})$$

$$\sum_{n=N+1}^{\infty} |a_n| < \varepsilon / (A + B + 1) \quad (\text{ب})$$

$$\sum_{n=N+1}^{\infty} |b_n| < \varepsilon / (A + B + 1) \quad (\text{ج})$$

در این صورت

$$\left| \sum_{n=0}^{\infty} c_n - ab \right| \leq \left| \sum_{n=0}^{\infty} c_n - \sum_{n=0}^N a_n \sum_{n=0}^N b_n \right| + \left| \sum_{n=0}^N a_n \sum_{n=0}^N b_n - ab \right|$$

که با توجه به شکل ۲-۳، کوچکتر یا مساوی است با؛

$$\sum_{n=N+1}^{\infty} |a_n| \sum_{n=0}^N |b_n| + \sum_{n=0}^N |a_n| \sum_{n=N+1}^{\infty} |b_n| + \varepsilon / (A + B + 1)$$

$$< \frac{\varepsilon B}{A + B + 1} + \frac{A \varepsilon}{A + B + 1} + \frac{\varepsilon}{A + B + 1}$$

$$= \varepsilon$$

پس  $\sum c_n$  همگرا به  $ab$  است.

## تمرین‌های ۳

۱. تعیین کنید که از دنباله‌های زیر کدام همگرا هستند، سپس حد هر یک را که همگرا هستند بیابید.

{ $(1+i)^n$ } (الف)

{ $(1+i)^n / n$ } (ب)

{ $(1+i)^n / n!$ } (ج)

{ $\sqrt[n]{(1+i)^n}$ } (د)

{ $n/(1+i)^n$ } (ه)

{ $n!/(1+i)^n$ } (و)

۲. به ازاء چه مقادیری از  $z \in \mathbb{C}$  هر یک از دنباله‌های زیر همگرا هستند؟

{ $z^n$ } (الف)

{ $z^n / n$ } (ب)

{ $n!z^n$ } (ج)

{ $z^n / n!$ } (د)

{ $z^n / n^k$ } (ه)  $k$  یک عدد صحیح مثبت است

{ $a(a-1)\dots(a-n+1)z^n / n!$ } (و)  $a$  (یک عدد ثابت مختلط است)

۳. فرض می‌کنیم  $a \in k$  دارای بسط اعشاری

$$a = a_0.a_1a_2\dots a_n\dots$$

است که در آن هر  $a_i$  یک عدد صحیح و  $0 \leq a_n \leq 9$  برای  $n \geq 1$  است. همه مقادیر  $a$  را که به ازاء آنها دنباله  $\{a_n\}$  همگرا است بیابید.

۴. فرض می‌کنیم  $z_n = \frac{1}{n}(i^n + (-i)^n)$ . چند جمله اول دنباله  $\{z_n\}$  را بنویسید. عبارات مشابهی برای جمله  $n$ ام هر یک از دنباله‌هایی که به طریق زیر شروع می‌شوند بیابید:

(الف)  $1, 0, 1, 0, 1, 0, \dots$

(ب)  $1, 0, -1, 0, 1, 0, -1, 0, \dots$

(ج)  $1, \frac{1}{2}, -\frac{1}{3}, \frac{1}{4}, -\frac{1}{5}, \dots$

(د)  $1, \frac{1}{4}, \frac{2}{3}, \frac{1}{4}, \frac{4}{5}, \frac{1}{6}, \dots$

۵. فرض می‌کنیم  $\{u_n\}$  یک دنباله همگرا در  $C$  باشد، نیز فرض می‌کنیم

$$V_n = \left( \sum_{r=1}^n u_r \right) / n$$

حالا می‌نویسیم:

$$v_n = v'_n + v''_n \text{ که در آن}$$

$$v''_n = \left( \sum_{\sqrt{n} < r \leq n} u_r \right) / n, \quad v'_n = \left( \sum_{r \leq \sqrt{n}} u_r \right) / n$$

ثابت کنید که  $\{v_n\}$  به همان حدی می‌گراید که  $\{v'_n\}$ .

۶. شعاع همگرایی هر یک از سریهای زیر را تعیین کنید:

(الف)  $\sum z^n / n$

$$\sum z^n / n! \quad (\text{ب})$$

$$\sum n! z^n \quad (\text{ج})$$

$$\sum n^k z^k \quad (\text{د}) \text{ (k عدد صحیح مثبتی است)}$$

$$\sum z^{n!} \quad (\text{ه})$$

۷. تابع مرتبه ۰ بسل  $J_0(z)$  با کمک سریهای توانی چنین تعریف می شود:

$$J_0(z) = \sum_{n=0}^{\infty} (-1)^n \frac{1}{(n!)^2} \frac{z^n}{2^n}$$

شعاع همگرایی آن را تعیین کنید.

۸. شعاعهای همگرایی را در موارد زیر تعیین کنید:

$$z - \frac{z^3}{3!} + \frac{z^5}{5!} - \frac{z^7}{7!} + \dots \quad (\text{الف})$$

$$1 - \frac{z^2}{2!} + \frac{z^4}{4!} - \frac{z^6}{6!} + \dots \quad (\text{ب})$$

$$z - \frac{z^2}{2} + \frac{z^3}{3} - \frac{z^4}{4} + \dots \quad (\text{ج})$$

$$1 + az + \frac{a(a-1)}{2!} z^2 + \dots + \frac{a(a-1)\dots(a-n+1)}{n!} z^n + \dots \quad (\text{د}) \text{ (به ازاء } a \in \mathbb{C} \text{)}$$

(تبصره: در قسمت (د)، شعاع همگرایی برای مقادیر خاصی از  $a$  متفاوت است.)

۹. نشان دهید که  $\sum_{n=1}^{\infty} z^{n!}$  همگرا به ازاء همه  $|z| < 1$  است، اما به ازاء  $z$ های بی شمار که در شرط  $|z| = 1$  صدق می کنند واگرا است.

۱۰. فرض کنیم که  $\sum a_n z^n$  دارای شعاع همگرایی  $R$  باشد و نیز فرض می کنیم که  $C$  معرف دایره  $\{z \in \mathbb{C} \mid |z| = R\}$  باشد. آنچه را که در زیر می آید اثبات یا رد کنید

(که ممکن است درست باشد یا نباشد).

(الف) اگر  $\sum a_n z^n$  در نقطه‌ای روی  $C$  همگرا باشد، در همه نقاط  $C$  همگرا خواهد بود.

(ب) اگر  $\sum a_n z^n$  در نقطه‌ای روی  $C$  همگرای مطلق باشد، در همه نقاط  $C$  همگرای مطلق خواهد بود.

(ج) اگر  $\sum a_n z^n$  در هر نقطه روی  $C$  همگرا باشد، به استثنای شاید یک نقطه، در این صورت در همه نقاط  $C$  همگرا خواهد بود.

(راهنمایی: سری  $\sum z^n/n$  در این سوال می‌تواند مفید باشد.)

۱۱. اگر  $\sum a_n z^n$  شعاع همگرایی  $R$  داشته باشد، فرمول  $1/R = \limsup \{ |a_n|^{1/n} \}$  را برای یافتن شعاع همگرایی هر یک از سریهایی زیر به کار بگیرید.

$$\sum n^r a_n z^n \quad (\text{الف})$$

$$\sum a_n z^{rn} \quad (\text{ب})$$

$$\sum a_n^r z^n. \quad (\text{ج})$$

۱۲. ثابت کنید که اگر هر یک از سریهای  $\sum a_n z^n$ ،  $\sum b_n z^n$  و  $\sum a_n b_n z^n$  دارای شعاع همگرایی مساوی  $1$  باشند، آنگاه سریهای  $\sum a_n^r b_n z^n$  و  $\sum a_n b_n^r z^n$  نیز چنین اند.

۱۳. با شرط  $|a_n| \leq 1$ ، ثابت کنید که به ازاء هر  $z$  که در شرط  $|z| \leq 1$  صدق کند سری  $\sum a_n z^n = f(z)$  همگرای مطلق است. اگر  $\sum a_n z^n = f(z)$  و  $|a_n| \leq 1$ ،  $|z| < 1$ ، ثابت کنید که

$$|f(z)| \leq 1/(1-|z|).$$

۱۴. ثابت کنید که با شرط  $z \neq 1$  ،

$$\sum_{n=1}^k z^n / n = \frac{z}{1-z} \left( \sum_{n=1}^{k-1} 1/(n(n+1)) \right) - \sum_{n=1}^{k-1} z^n / (n(n+1)) + \frac{1-z^k}{k}$$

نشان دهید که سربهای  $\sum_{n=1}^{\infty} z^n / (n(n+1))$ ،  $\sum_{n=1}^{\infty} z^n / n$  دارای شعاع همگرایی ۱ هستند؛ اما سری اخیر همه جا بر  $|z|=1$  همگرا است در حالی که سری قبلی همه جا بر  $|z|=1$  همگرا است به استثنای  $z=1$  .

۱۵. فرض می‌کنیم که سری توانی  $\sum_{n=0}^{\infty} a_n z^n$  دارای یک دنباله از ضرایب متناوب باشد، یعنی مثلاً به ازاء هر  $n$ ،  $a_n = a_{n+k}$  ، که در آن  $k$  عدد صحیح مثبت و ثابتی است. ثابت کنید که با شرط  $|z| < 1$  این سری به یک تابع گویای  $p(z)/q(z)$  ، که در آن  $p$  و  $q$  بسجمله‌هایی هستند. همگرا است و همه ریشه‌های  $q$  روی دایره واحد است. اگر به جای رابطه فوق رابطه  $a_{n+k} = a_{n/k}$  برقرار باشد چه روی می‌دهد؟



## فصل چهارم

### مشتق گیری

مشتق توابع حقیقی با کمک روشهای حدگیری تعریف می شود و از آنجا که ما مفاهیم مورد نیاز دربارهٔ حدود را بیان و توسعه داده ایم، می توان بدون برخورد با مشکلی خاص، مشتق گیری را برای توابع مختلط تعمیم داد. نکات اعجاب آور در این فصل کم است و نتایج مربوط به مشتق گیری از مجموعها، حاصلضربها، ترکیبهای توابع و سریهای توانی با همان حالت حقیقی مشابه است، حتی برهانها به طور اساسی بدون تغییر باقی می ماند. یک مطلب جزیی و عجیب آن است که شرط مربوط به مشتق پذیری، رابطه های خاصی را بین قسمت حقیقی و موهومی یک تابع مختلط موجب می شود، و این رابطه ها را معادلات کوشی-ریمان می نامند. بی درنگ از این شرایط استفاده و ثابت می کنیم که اگر تابعی با دامنهٔ همبند مشتقی برابر صفر داشته باشد، این تابع مقداری ثابت است. گرچه این نتیجه شبیه حالت حقیقی است. اما اثبات آن چنین نیست. نظریهٔ مربوط به مشتق گیری را می توان به تابعهای همبند از  $R \rightarrow C$  یا  $C \rightarrow R$  توسعه داد، مطلب تعجب انگیزی هم ندارد.

بر خلاف این تصور که نتایج مربوط به آنالیز حقیقی بدون تغییر در آنالیز مختلط ادامه می یابد. بخش آخر این فصل حکایت از اختلافی فاحش بین این دو نظریه دارد: از هر تابع مختلط مشتق پذیری به دفعات دلخواه می توان مشتق گرفت.

## ۱. نتایج اساسی

اگر  $f$  تابعی مختلط تعریف شده بر مجموعه  $S$  باشد. مشابه با مورد حقیقی،  $f$  را در نقطه  $z \in S$  مشتق پذیر با مشتق  $f'(z) \in C$  می گویند اگر

$$\lim_{z \rightarrow z_0} \frac{f(z) - f(z_0)}{z - z_0} = f'(z_0) \text{ باشد.}$$

اگر  $f$  در هر نقطه از  $S$  مشتق پذیر باشد می گویند که  $f$  در  $S$  یک تابع مشتق پذیر است. در این حال خود مشتق را نیز به عنوان تابعی چون  $f' : S \rightarrow C$  می توان در نظر گرفت. اگر

$$\lim_{z \rightarrow z_0} \frac{f'(z) - f'(z_0)}{z - z_0}$$

وجود داشته باشد این حد را  $f''(z_0)$  تعریف می کنیم و با تکرار این رویه همان مشتقهای معمولی از مراتب بالاتر  $f''(z_0), f'''(z_0), \dots, f^{(n)}(z_0)$  حاصل می شوند که  $f^{(n)}(z_0)$  دلالت بر مشتق  $n$ ام تابع  $f$  در  $z_0$  دارد.

**مثال**  $f(z) = z^2$ .

$$\lim_{z \rightarrow z_0} \frac{f(z) - f(z_0)}{z - z_0} = \lim_{z \rightarrow z_0} \frac{z^2 - z_0^2}{z - z_0} = 2z_0.$$

پس  $f'(z) = 2z$  به ازاء هر  $z \in C$ . مشابهاً  $f''(z) = 2$ ،  $f^{(n)}(z) = 0$  به ازاء  $n \geq 3$ .

نمادهای گوناگونی برای نمایش مشتق گیری به کار می رود، که بیش از همه آنها دو نماد  $Df(z)$ ،  $df(z)/dz$  به جای  $f'(z)$  به کار می رود. لذا مشتقهای ثانی را به ترتیب با  $D^2f(z)$ ،  $d^2f(z)/dz^2$  نمایش می دهیم. گاهی  $f(z)$  را  $w$  نامیده مشتق آن را با  $dw/dz$  نشان می دهیم. در این کتاب نمادهایی که بیشتر به کار گرفته می شوند،  $f'(z)$ ،  $Df(z)$  خواهند بود؛ از آن جهت که وقتی مشتق را به عنوان یک تابع در نظر می گیریم آن را با  $f'$  یا  $Df$  نشان می دهیم.

در بسیاری موارد نتایج مربوط به مشتق گیری از توابع مختلط، به طور مشابه از موارد حقیقی نتیجه می شود:

گزاره ۴-۱. اگر  $f$  در  $Z$  مشتق پذیر باشد،  $f$  در  $Z$  پیوسته است.

برهان.

$$\begin{aligned} \lim_{z \rightarrow z_0} (f(z) - f(z_0)) &= \lim_{z \rightarrow z_0} \frac{f(z) - f(z_0)}{z - z_0} (z - z_0) \\ &= f'(z_0) \cdot 0 \\ &= 0. \end{aligned}$$

پس مشتق پذیری در  $Z$  موجب (مستلزم)

$$\lim_{z \rightarrow z_0} f(z) = f(z_0)$$

است.

یادآوری می کنیم که (از فصل ۲ بخش ۴) مجموع  $f + g$ ، تفاضل  $f - g$ ، حاصلضرب  $f \cdot g$ ، در خارج قسمت  $f/g$  از دو تابع  $f: S \rightarrow C$  و  $g: S \rightarrow C$  به طریق معمول چنین تعریف می شوند:

$$(f + g)(z) = f(z) + g(z) \quad z \in S$$

$$(f - g)(z) = f(z) - g(z) \quad z \in S$$

$$(f \cdot g)(z) = f(z) \cdot g(z) \quad z \in S$$

$$(f/g)(z) = f(z)/g(z) \quad z \in S, g(z) \neq 0$$

در مشتق گیری همان نتایج مورد نظر حاصل می شود:

گزاره ۲-۴. اگر  $f$  و  $g$  در  $Z$  مشتق پذیر باشند،  $f + g, f - g, f \cdot g, f/g$  نیز چنینند

در حالت اخیر باید  $g(z) \neq 0$  باشد و مشتقات عبارتند از:

$$(f + g)' = f' + g'$$

$$(f - g)' = f' - g'$$

$$(f \cdot g)' = f' \cdot g + g' \cdot f$$

$$(f/g)' = (g f' - f g')/g^2$$

برهان. عملیات محاسباتی شبیه حالت حقیقی است. مثلاً،

$$(f \cdot g)'(z) = \lim_{z \rightarrow z_0} \frac{f(z) \cdot g(z) - f(z_0) \cdot g(z_0)}{z - z_0}$$

$$= \lim_{z \rightarrow z_0} \frac{f(z)g(z) - f(z)g(z_0) + f(z)g(z_0) - f(z_0)g(z_0)}{z - z_0}$$

$$= \lim_{z \rightarrow z_0} f(z) \lim_{z \rightarrow z_0} \frac{g(z) - g(z_0)}{z - z_0} + g(z_0) \lim_{z \rightarrow z_0} \frac{f(z) - f(z_0)}{z - z_0}$$

(با به کار گرفتن جبر مربوط به حدود)

$$= f(z_0)g'(z_0) + g(z_0)f'(z_0)$$

(زیرا که طبق قضیه پیش مشتق پذیری  $f$  مستلزم پیوسته بودن  $f$  است.)

حالت‌های دیگر به همین طریق نتیجه می‌رسد.

اگر حسب معمول ترکیب تابع‌های  $C: S \rightarrow C, f: T \rightarrow C$ ، به شرط

$$f(S) \subseteq T, \text{ را با } g \circ f$$

$$(g \circ f)(z) = g(f(z)),$$

نشان دهیم نتیجه می‌شود...

گزاره ۳-۳. (قاعده زنجیری) اگر  $f$  در  $z$  مشتق پذیر، و  $g$  در  $f(z)$  مشتق پذیر باشد، آنگاه  $g \circ f$  در  $z$  مشتق پذیر است و

$$(g \circ f)'(z) = g'(f(z)) \cdot f'(z)$$

برهان. یک روش معمول برای اثبات قاعده زنجیری این است که بنویسیم:

$$\frac{g(f(z)) - g(f(z_0))}{z - z_0} = \frac{g(f(z)) - g(f(z_0))}{f(z) - f(z_0)} \cdot \frac{f(z) - f(z_0)}{z - z_0} \dots \quad (1)$$

(به شرط آنکه  $f(z) \neq f(z_0)$ ). چون  $f$  در  $z_0$  مشتق پذیر است، پس در  $z_0$  پیوسته است (طبق گزاره ۳-۱)، پس از  $z \rightarrow z_0$  نتیجه می شود  $f(z) \rightarrow f(z_0)$  و از این هم نتیجه می شود:

$$\lim_{z \rightarrow z_0} \frac{g(f(z)) - g(f(z_0))}{f(z) - f(z_0)} = g'(f(z_0))$$

حال اگر در (۱)،  $z \rightarrow z_0$  از آن نتیجه می شود:  $(g \circ f)'(z_0) = g'(f(z_0)) \cdot f'(z_0)$ . متأسفانه، در این استدلال نقصی عمده وجود دارد؛ زیرا ممکن است  $f(z) - f(z_0)$  مساوی صفر باشد. اگر از پیش بدانیم که  $f(z) - f(z_0)$  در همسایگی ای از  $z_0$ ، به شرط  $z \neq z_0$ ، مخالف صفر است، در این همسایگی استدلال فوق معتبر است. قضیه ۱۰-۱۱ که در آیه عنوان می شود نشان می دهد که در مورد مختلط همواره چنین همسایگی ای وجود دارد. این مثالی جالب با سادگی بسیار در آنالیز مختلط است، زیرا در آنالیز حقیقی چنین گزاره ای وجود ندارد. اما، در آنالیز حقیقی استدلالی که معمولاً برای رفع نقص مذکور به کار می رود در مورد مختلط هم به کار می آید و خیلی ابتدایی تر از قضیه ۱۰-۱۱ است. این استدلال چنین است:

فرض می کنیم  $u = f(z_0)$ . تعریف می کنیم:

$$h(w) = \frac{g(w) - g(u)}{w - u} - g'(u) \quad (w \neq u \text{ با شرط})$$

$$h(u) = 0$$

واضح است که  $h$  در نزدیکی  $u$  معین و پیوسته است. همچنین هنگامی که  $z \rightarrow z$  ملاحظه می شود که  $h(f(z)) = h(u) = 0$  اما با اختیار  $w = f(z)$ ، تعریف  $h$  را می توان به این شکل نوشت:

$$g(f(z)) - g(u) = (h(f(z)) + g'(u))(f(z) - u)$$

به شرط آنکه  $f(z) \neq u$  باشد. واضح است که این رابطه در حالت  $f(z) = u$  نیز درست است. فرض کنیم  $z \neq z$ . دو طرف را بر  $z - z$  تقسیم می کنیم. فرض می کنیم  $z \rightarrow z$ ، . . . .

## ۲. معادلات کوشی - ریمن

اگر تابع مختلط  $f$  را بر حسب دو تابع حقیقی  $u$  و  $v$  از دو متغیر  $x$  و  $y$  به صورت

$$f(z) = u(x, y) + iv(x, y)$$

بنویسیم که در آن  $z = x + iy$ ، در این صورت مشتق پذیری  $f$  موجب تحمیل شرایطی به مشتقات نسبی  $u$  و  $v$  می شود. نمادهای

$$\frac{\partial u}{\partial x}(x, y) = \lim_{h \rightarrow 0} \frac{u(x+h, y) - u(x, y)}{h}$$

$$\frac{\partial u}{\partial x}(x, y) = \lim_{k \rightarrow 0} \frac{u(x, y+k) - u(x, y)}{k}$$

را به کار می گیریم و آنها را به صورت اختصاری  $\partial u / \partial x$  و  $\partial v / \partial y$ ، می نویسیم

که ابهامی هم ندارد. آنگاه داریم:

گزاره ۴-۴. اگر  $f$  در  $z = x + iy$  مشتق پذیر باشد، در این صورت  $\frac{\partial u}{\partial x}$ ،  $\frac{\partial v}{\partial x}$ ،  $\frac{\partial u}{\partial y}$ ،  $\frac{\partial v}{\partial y}$  همه در  $(x, y)$  وجود دارند و روابط زیر برقرارند

$$\frac{\partial u}{\partial x} = \frac{\partial v}{\partial y}, \quad \frac{\partial v}{\partial x} = -\frac{\partial u}{\partial y}$$

برهان. به دو طریق مختلف به محاسبه  $f'(z)$  می پردازیم. ابتدا نقطه ای نزدیک به  $z$  را به صورت  $z + h = (x + h) + iy$  که در آن  $h$  حقیقی است در نظر می گیریم و چنین عمل می کنیم:

$$\begin{aligned} f'(z) &= \lim_{h \rightarrow 0} \frac{f(z+h) - f(z)}{h} \\ &= \lim_{h \rightarrow 0} \frac{u(x+h, y) + iv(x+h, y) - u(x, y) - iv(x, y)}{h} \\ &= \lim_{h \rightarrow 0} \frac{u(x+h, y) - u(x, y)}{h} + \lim_{h \rightarrow 0} \frac{i(v(x+h, y) - v(x, y))}{h} \\ &= \frac{\partial u}{\partial x} + i \frac{\partial v}{\partial x} \end{aligned}$$

سپس نقطه ای به صورت  $z + ik = x + i(y+k)$  که در آن  $k$  حقیقی است در نظر می گیریم: چون این نقطه به  $z$  میل کند،  $k$  به صفر میل می کند، به طوری که

$$\begin{aligned} f'(z) &= \lim_{k \rightarrow 0} \frac{u(x, y+k) + iv(x, y+k) - u(x, y) - iv(x, y)}{ik} \\ &= \frac{\partial v}{\partial y} - i \frac{\partial u}{\partial y} \end{aligned}$$

حال اگر قسمتهای حقیقی را بایکدیگر و قسمتهای موهومی را باهم مساوی قرار

دهیم برهان کامل می شود.

معادلات

$$\frac{\partial u}{\partial x} = \frac{\partial v}{\partial y}, \quad \frac{\partial v}{\partial x} = -\frac{\partial u}{\partial y}$$

را بعد از کوشی (۱۸۵۲-۱۷۸۹) و ریمان (۶۶-۱۸۲۶) معادلات کوشی-ریمان می نامند. دالامبر به این معادلات آگاهی داشته است زیرا در ۱۷۵۲ به آنها اشاره کرده است.

از مثال زیر برمی آید که عکس گزاره ۴-۴ نادرست است.

فرض می کنیم:

به شرط آنکه از  $y, x$  یکی یا هر دو مساوی صفر باشند  $f(x + iy) = 0$   
اگر  $y, x$  هیچ یک صفر نباشد.  $f(x + iy) = 1$

در مورد این تابع مشتقهای نسبی از  $v, u$  در مبداء همه وجود دارد و همه صفر است. پس معادلات کوشی-ریمان مسلماً برقرار است. اما  $f$  در مبداء حتی پیوسته نیست و این بدان معنی است که  $f$  در مبداء مشتق پذیر نیست.

بار دیگر ملاحظه می شود که دخالت آنالیز حقیقی منجر به پیچیدگیهایی می شود. اما در این حالت پیوند مطالب نسبتاً ساده است. این کار تا حدی شبیه آن است که در یک روز برفی اتومبیلی را که خوب تنظیم شده است راه بیندازیم، تا زمانی که در حال حرکت است، بنر می پیش می رود. بر ما مدلل می شود که آنالیز مختلط همچون دستگاهی است که خوب روغنکاری شده است. اما انتخاب آنالیز حقیقی به عنوان نقطه عزیمت، نیاز به شرایط کافی برای حرکت دارد. در این قسمت از ریاضی، شرایط مناسب عبارتند از پیوسته بودن مشتقات نسبی. وقتی که این شرایط برقرار شد، این دستگاه خوب کار می کند. اما برای اثبات این مطلب باید به اصول کار توجه بسیار دقیق داشته باشیم. کارمان را با یک لم تکنیکی شروع می کنیم.



لم ۴-۵. اگر  $\frac{\partial u}{\partial y}, \frac{\partial u}{\partial x}$  در  $(x, y)$  وجود داشته باشند و  $\frac{\partial u}{\partial x}$  در  $(x, y)$  پیوسته باشد، آنگاه

$$u(x+h, y+k) - u(x, y) = h \left( \frac{\partial u}{\partial x}(x, y) + \varepsilon(h, k) \right) + k \left( \frac{\partial u}{\partial y}(x, y) + \eta(h, k) \right)$$

که در آن با شرط  $h, k \rightarrow 0$  خواهیم داشت  $\varepsilon, \eta \rightarrow 0$ .  
**برهان.**  $u(x+h, y+k) - u(x, y)$  را چنین می نویسیم:

$$u(x+h, y+k) - u(x, y+k) + u(x, y+k) - u(x, y)$$

اگر قضیه مقدار متوسط برای یک متغیر حقیقی را برای تابع  $\phi(t) = u(x+t, y+k)$  به کار بگیریم یک  $\theta$  با شرط  $0 < \theta < 1$  وجود خواهد داشت به قسمی که

$$u(x+h, y+k) - u(x, y+k) = h \frac{\partial u}{\partial x}(x+\theta h, y+k) \quad (1)$$

چون  $\frac{\partial u}{\partial x}$  پیوسته است،

$$\frac{\partial u}{\partial x}(x+\theta h, y+k) - \frac{\partial u}{\partial x}(x, y) = \varepsilon(h, k)$$

که در آن  $\varepsilon(h, k) \rightarrow 0$  هنگامی که  $h, k \rightarrow 0$ . بنابراین

$$u(x+h, y+k) - u(x, y+k) = h \left( \frac{\partial u}{\partial x}(x, y) + \varepsilon(h, k) \right) \quad (2)$$

استفاده از این واقعیت که از  $k \rightarrow 0$  نتیجه می شود:

$$\frac{u(x, y+k) - u(x, y)}{k} \rightarrow \frac{\partial u}{\partial y}(x, y)$$

کار را آسانتر می کند و از آن نتیجه می گیریم که اگر،

$$\eta(h, k) = \frac{u(x, y+k) - u(x, y)}{k} - \frac{\partial u}{\partial y}(x, y)$$

باشد، آنگاه

$$u(x, y+k) - u(x, y) = k \left( \frac{\partial u}{\partial y} + \eta(h, k) \right) \quad (3)$$

می شود. که در آن  $\eta(h, k) \rightarrow 0$  هنگامی که  $(h, k) \rightarrow 0$ . (در واقع  $\eta$  فقط به  $k$  بستگی دارد.)

از جمع (۲) و (۳) نتیجه مطلوب حاصل می شود.  
**قضیه ۴-۶.** اگر  $f(z) = u(x, y) + iv(x, y)$  که در آن  $f$  تابعی است مختلط که بر مجموعه باز  $S$  تعریف شده و در نقطه ای چون  $z = x + iy \in S$  همه مشتقات نسبی  $\frac{\partial u}{\partial x}, \frac{\partial u}{\partial y}, \frac{\partial v}{\partial x}, \frac{\partial v}{\partial y}$  همه وجود دارند، و همه پیوسته هستند و در معادلات کوشی-ریمان یعنی

$$\frac{\partial u}{\partial x} = \frac{\partial v}{\partial y}, \quad \frac{\partial v}{\partial x} = -\frac{\partial u}{\partial y}$$

صدق می کنند در این صورت  $f$  در  $Z$  مشتق پذیر است.

**برهان.** بابه کار گرفتن لم ۴-۵ می توان نوشت:

$$f(z) - f(z_0) = u(x_0 + h, y_0 + k) + iv(x_0 + h, y_0 + k) - u(x_0, y_0) - iv(x_0, y_0)$$

$$= h \left( \frac{\partial u}{\partial x} + \varepsilon_1 \right) + k \left( \frac{\partial u}{\partial y} + \eta_1 \right) + ih \left( \frac{\partial v}{\partial x} + \varepsilon_2 \right) + ik \left( \frac{\partial v}{\partial y} + \eta_2 \right)$$

که در آن  $\varepsilon_1, \varepsilon_2, \eta_1, \eta_2 \rightarrow 0$  هنگامی که  $h, k \rightarrow 0$ .

با به کار گرفتن معادلات کوشی-ریمان داریم:

$$\begin{aligned} f(z) - f(z_0) &= (h + ik) \left( \frac{\partial u}{\partial y} + i \frac{\partial v}{\partial x} \right) + h\varepsilon_1 + k\eta_1 + h\varepsilon_r + k\eta_r \\ &= (z - z_0) \left( \frac{\partial u}{\partial x} + i \frac{\partial v}{\partial x} \right) + \rho \end{aligned}$$

که در آن  $\rho = h\varepsilon_1 + k\eta_1 + h\varepsilon_r + k\eta_r$  و بنابراین

$$\frac{f(z) - f(z_0)}{z - z_0} = \frac{\partial u}{\partial x} + i \frac{\partial v}{\partial x} + \rho / (z - z_0)$$

اما

$$\begin{aligned} \left| \frac{\rho}{z - z_0} \right| &= \frac{\rho}{\sqrt{h^2 + k^2}} \leq \frac{|h|\varepsilon_1 + |k|\eta_1 + |h|\varepsilon_r + |k|\eta_r|}{\sqrt{h^2 + k^2}} \\ &\leq |\varepsilon_1| + |\eta_1| + |\varepsilon_r| + |\eta_r| \end{aligned}$$

فرض کنیم  $h, k \rightarrow 0$ ، در این صورت  $|\rho / (z - z_0)| \rightarrow 0$  و بنابراین

$$\lim_{z \rightarrow z_0} \frac{f(z) - f(z_0)}{z - z_0} = \frac{\partial u}{\partial x} + i \frac{\partial v}{\partial x}$$

مثال. تابع  $f(z) = |z|^2$  فقط در مبداء دیفرانسیل پذیر است، زیرا

$$u(x, y) = x^2 + y^2, \quad v(x, y) = 0$$

بنابراین  $\partial u / \partial x = 2x$ ،  $\partial u / \partial y = 2y$ ،  $\partial v / \partial x = 0$ ،  $\partial v / \partial y = 0$  و معادلات کوشی-ریمان فقط در  $x=y=0$  برقرارند که در همین نقطه مشتقات نسبی همه پیوسته اند.

### ۳. مجموعه های همبند و مشتق پذیری

اگر  $f(z) = \text{مقدار ثابت باشد}$ ، آنگاه  $f'(z) = 0$  می شود. اما در مورد عکس این مطلب چه می توان گفت؟ آیا اگر مشتق تابعی صفر باشد، از آن نتیجه می شود که خود تابع مقدراری است ثابت؟ جواب به شرطی مثبت است که تابع  $f$  بر مجموعه ای همبند تعریف شده باشد. یادآوری می کنیم که یک مجموعه باز و همبند را یک دامنه می نامیم و اکنون ثابت می کنیم که

**قضیه ۴-۷.** اگر  $f$  در دامنه  $D$  مشتق پذیر و در سراسر  $D$  داشته باشیم  $f'(z) = 0$ ، در این صورت  $f$  بر  $D$  تابعی ثابت است.

**برهان.**  $f'(z) = \partial u / \partial x + i \partial v / \partial x = \partial v / \partial y - i \partial u / \partial y$ ، و بنابراین از  $f'(z) = 0$  نتیجه می شود که همه مشتقات نسبی  $u$  و  $v$  صفر هستند.

از آنالیز حقیقی به یاد داریم که اگر بر بازه بسته  $[a, b]$  داشته باشیم  $\phi' = 0$ ، آنگاه  $\phi$  بر  $[a, b]$  ثابت است. اگر  $L = \{t + iy \mid a \leq t \leq b\}$  قطعه خطی در  $D$  باشد، فرض می کنیم  $\phi(t) = u(t, y)$ ، در این صورت  $\partial u / \partial x = \phi' = 0$  و بنابراین  $u$  بر  $L$  ثابت است. با بحثی مشابه نتیجه می شود که  $v$  هر دو بر هر قطعه خط دلخواه افقی یا قائم در  $D$  ثابت هستند. پس  $f(z) = u(x, y) + iv(x, y)$  بر هر مسیر پله ای در  $D$  ثابتند. اما هر دو نقطه دلخواه از یک مجموعه همبند را می توان با یک مسیر

پله ای به هم پیوست، پس  $f$  در سراسر  $D$  ثابت است.  $\square$

با همین تکنیک ثابت می شود که

**گزاره ۴-۸.** اگر  $f$  در دامنه  $D$  مشتق پذیر و از  $\text{ref}$ ،  $\text{imf}$ ، یا  $|f|$  یکی به دلخواه ثابت باشد، در این صورت  $f$  ثابت است.

**برهان.** اگر  $\text{ref} = u$ ،  $f = u + iv$  داریم: در این صورت داریم:

$\partial u / \partial x = \partial v / \partial y = 0$  و طبق بحثی که در برهان پیشین داشتیم،  $f = u + iv$  در دامنه  $D$  ثابت است. حالتی که در آن  $\text{imf}$  مقدراری است ثابت، مشابه همین حالت است.

اگر  $|f|$  ثابت باشد، خواهیم داشت  $u^2 + v^2 = c$ . به ازاء  $c = 0$  داریم  $f = 0$ ، پس می توانیم فرض کنیم  $c \neq 0$ . با مشتق گیری داریم:

$$2u \frac{\partial u}{\partial x} + 2v \frac{\partial v}{\partial x} = 0$$

$$2u \frac{\partial u}{\partial y} + 2v \frac{\partial v}{\partial y} = 0$$

و با کمک معادلات کوشی-ریمان حاصل می شود:

$$u \frac{\partial u}{\partial x} - v \frac{\partial v}{\partial x} = 0$$

$$u \frac{\partial u}{\partial y} + v \frac{\partial v}{\partial y} = 0$$

با افزودن  $u$  برابر معادله اول به  $v$  برابر معادله دوم خواهیم داشت:

$$(u^2 + v^2) \frac{\partial u}{\partial x} = 0$$

و چون  $u^2 + v^2 = c \neq 0$  است پس حاصل می شود:  $\partial u / \partial x = 0$ . مشابه سایر مشتقات نسبی  $u$  و  $v$  مساوی صفرند و نتیجه این است که  $f = u + iv$  در دامنه  $D$  ثابت است.

#### ۴. تابعهای هیبرید

در این مرحله به صحبت کوتاهی درباره تابعهای هیبرید می پردازیم، که منظور از آنها تابعهایی با مقادیر حقیقی از متغیرهای مختلط یا تابعهای با مقادیر مختلط از متغیرهای حقیقی است. در هر دو مورد مفاهیم روشنی برای مشتق گیری وجود دارد. مثلاً تابعی با مقدار حقیقی از یک متغیر مختلط به صورت  $F: D \rightarrow \mathbb{R}$  را که در آن  $D$  را که در آن  $D$  زیر مجموعه ای باز از صفحه مختلط است می توان به عنوان یک تابع مختلط که جزء موهومی آن صفر است محسوب داشت. یک تابع هیبرید از این نوع مثل یک موجود کم خاصیت است، زیرا اگر دیفرانسیل پذیر باشد، از ثابت بودن قسمت موهومی آن نتیجه می شود که خود تابع باید ثابت باشد (بنابر قضیه ۴-۸).

ما معمولاً تابعهای مختلط یک متغیره قدری بهتر کنار می‌آییم. جالب‌ترین حالت آن  $f: [a, b] \rightarrow C$  است، که (در حالت پیوسته بودن) معرف یک مسیر در صفحه مختلط است. چون مشتق آن را در  $t \in [a, b]$  به صورت متعارف

$$\lim_{t \rightarrow t_0} \frac{f(t) - f(t_0)}{t - t_0}$$

تعریف می‌کنیم (و در  $a$  و  $b$  مشتقات مناسب یک طرفه را در نظر بگیریم) همان تعمیم‌های مورد انتظار از خواص مشتق‌گیری حاصل می‌شود:  
**گزاره ۴-۹.** اگر  $f: [a, b] \rightarrow C$ ،  $g: [a, b] \rightarrow C$  در  $t \in [a, b]$  مشتق‌پذیر باشند، آنگاه

$$(f \pm g)'(t) = f'(t) \pm g'(t)$$

$$(f \cdot g)'(t) = f'(t) \cdot g(t) + g(t) \cdot f'(t)$$

$$(f/g)'(t) = (g(t)f'(t) - f(t)g'(t)) / (g'(t))^2 \quad (g(t) \neq 0)$$

قاعده زنجیری که شامل تابعی مختلط چون  $f$  از یک متغیر حقیقی باشد با دو چهره مختلف مطرح می‌شود. ممکن است قبل از  $f$  تابعی حقیقی چون  $h$  بیاوریم، یا به دنبال آن تابعی مختلط چون  $g$ ، تا،  
**گزاره ۴-۱۰.** اگر  $h: [c, d] \rightarrow [a, b]$ ،  $f: [a, b] \rightarrow D$ ،  $g: D \rightarrow C$ ، آنگاه

$$(f \circ h)'(s) = f'(h(s))h'(s)$$

$$(g \circ f)'(t) = g'(f(t))f'(t)$$

حاصل شود، به شرط آنکه مشتقات واقع در سمت راست معادلات فوق تعریف شده باشند (معین باشند).

برهانهای مربوط به ۴-۹ و ۴-۱۰ از همان الگوهای مربوط به حالت حقیقی یا مختلط پیروی می‌کنند. در آینده که ما مسیرهایی در دامنه یک تابع

مختلط در نظر می گیریم و ترکیبی از تابع هیبرید (همان مسیر) و خود تابع مختلط به عمل می آوریم ارزش بسیار نتایج فوق آشکار خواهد شد.

### ۵. سری های توانی

سریهای توانی ساخته هایی جالبترند، زیرا در آینده بر ما مدلل می شود که آنها پایه و اساس همه توابع مختلط دیفرانسیل پذیر هستند. می دانیم که مشتق کثیر الجمله ای چون،

$$\rho(z) = a_0 + a_1z + \dots + a_nz^n$$

عبارت است از :

$$\rho'(z) = a_1 + 2a_2z + \dots + na_nz^{n-1}$$

این مطلب چنین القاء می کند که در مورد سری توانی

$$f(z) = \sum a_n z^n$$

باید داشته باشیم :

$$f'(z) = \sum na_n z^{n-1}$$

در چنین موردی است که می گویند می توان از  $f(z)$  جمله به جمله مشتق گیری کرد. اما چنین حالتی چه دقت پیش می آید؟ مسلماً باید  $f(z)$  همگرا باشد. دو حکم دیگر که در زیر بیان می شود حاکی از آن است که این شرط تقریباً کافی است؛ در واقع مشتق گیری جمله به جمله در درون قرص همگرایی  $f(z)$  همواره ممکن است.

لم ۴-۱۱. فرض می کنیم  $f(z) = \sum a_n z^n$  به ازاء  $|z| < R$  همگرای مطلق باشد؛  
 آنگاه

$$g(z) = \sum na_n z^{n-1}$$

با شرط  $|z| < R$  همگرا است.

برهان. با شرط  $|z| < R$ ، عدد  $r$  را چنان انتخاب می‌کنیم که  $|z| < r < R$  گردد. در این صورت  $\sum a_n r^n$  همگرایی مطلق است. پس، همانطور که در لم ۳-۷ دیدیم  $K \in R$  وجود دارد به قسمی که به ازاء هر  $n$ ،

$$|a_n r^n| < K$$

اما  $g = |z|/r$  از  $1$  کوچکتر است، بنابراین

$$\begin{aligned} |n a_n z^{n-1}| &= n |a_n| |z/r|^{n-1} r^{n-1} \\ &< \frac{nk}{r} g^{n-1} \end{aligned}$$

اما به ازاء  $0 \leq q \leq 1$  سری حقیقی

$$\sum nkq^{n-1}$$

به  $k(1-g)^{-2}$  همگرا است. بنابر آزمون مقایسه  $\sum |n a_n z^{n-1}|$  همگرا است. پس (طبق قضیه ۳-۶) سری  $\sum n a_n z^{n-1}$  همگرا است. قضیه ۴-۱۲. سری توانی  $f(z) = \sum a_n z^n$  را در درون قرص همگرایی می‌توان جمله به جمله مشتق‌گیری کرد، طوری که

$$f'(z) = \sum n a_n z^{n-1}$$

برهان. لم ۴-۱۱ بیان می‌کند که

$$g(z) = \sum n a_n z^{n-1}$$



برای  $|z| < R$  همگرایی مطلق است. باید نشان دهیم که با  $|z| < R$ ،

$$f'(z) = \lim_{z \rightarrow z_0} \left\{ \frac{f(z) - f(z_0)}{z - z_0} \right\} = g(z_0)$$

یا، معادل با آن

$$\lim_{z \rightarrow z_0} \left\{ \frac{f(z) - f(z_0)}{z - z_0} - g(z_0) \right\} = 0$$

به محاسبه می پردازیم:

$$\frac{f(z) - f(z_0)}{z - z_0} - g(z_0) = \sum_{n=1}^{\infty} \left( a_n \frac{z^n - z_0^n}{z - z_0} - n a_n z_0^{n-1} \right)$$

زیرا، طبق لیم ۳-۵، سریهای توانی را می توان جمله به جمله به هم افزود یا از هم کم کرد

$$= \sum_{n=1}^{\infty} a_n \{ z^{n-1} + z z^{n-2} + \dots + z_0^{n-1} - n z_0^{n-1} \}$$

$$= \sum_{n=1}^N a_n \{ z^{n-1} + z z^{n-2} + \dots + z_0^{n-1} - n z_0^{n-1} \}$$

$$+ \sum_{n=N+1}^{\infty} \{ z^{n-1} + z z^{n-2} + \dots + z_0^{n-1} - n z_0^{n-1} \}$$

$$= \sum_1 + \sum_2, \text{ (مثلا)}$$

بایک  $\varepsilon > 0$ ، ابتدا  $r$  دلخواهی با شرط  $|z| < r < R$  انتخاب می کنیم. از این قرار  $\sum_{n=N+1}^{\infty} n a_n r^{n-1}$  همگرا است و (بنا بر لیم ۳-۳) باید  $N = N(\varepsilon)$  وجود داشته باشد به قسمی که

$$\sum_{n=N+1}^{\infty} |n a_n r^{n-1}| < \varepsilon/4$$

چون داریم  $|z| < r$ ، پس اگر  $z$  به اندازه کافی به  $z$  نزدیک باشد طوری که شرط  $|z| < r$  هم تامین شود، آنگاه

$$\left| \sum_{n=N+1}^{\infty} n|a_n|r^{n-1} \right| < \varepsilon/2 \quad (4)$$

علاوه بر این،  $\sum$  کثیر الجمله ای است بر حسب  $z$  و بنابراین  $\sum \rightarrow 0$  چنانچه  $z \rightarrow z_0$ . پس می توانیم  $\delta > 0$  را چنان تعیین کنیم که

$$\left| \sum \right| < \varepsilon/2 \quad \text{از } |z - z_0| < \delta \quad \text{نتیجه می شود} \quad (5)$$

اکنون اطمینان داریم که  $z$  به اندازه کافی به  $z_0$  نزدیک است طوری که (4) و (5) هر دو برقرار باشند، و بنابراین

$$\left| \frac{f(z) - f(z_0)}{z - z_0} - g(z_0) \right| = \left| \sum_1 + \sum_2 \right| \leq \left| \sum_1 \right| + \left| \sum_2 \right| < \frac{\varepsilon}{2} + \frac{\varepsilon}{2} = \varepsilon$$

بدین لحاظ  $f'(z_0) = g(z_0)$  می شود و ادعای ما همین بود.

**قضیه ۴-۱۲.** فوق العاده مهم است، زیرا نه تنها درباره اولین مشتقات آگاهی می دهد، بلکه در مورد مشتقات مراتب بالاتر نیز چنین است؛ هم اکنون به دفعات لازم آن را به کار می بریم تا حاصل شود:

**فرع ۴-۱۳.** همه مشتقات مراتب بالا  $f', f'', \dots, f^{(n)}, \dots$  از یک سری توانی  $f(z) = \sum a_n z^n$  همگی وجود دارند به شرط آنکه  $z$  درون قرص همگرایی باشد و در این حال داریم:

$$\begin{aligned} f^{(k)}(z) &= \sum_{n=k}^{\infty} n(n-1)\dots(n-k+1)a_n z^{n-k} \\ &= \sum_{n=k}^{\infty} \frac{n!}{(n-k)!} a_n z^{n-k} \end{aligned}$$

برهان. استقراء بر  $k$  را به کار بگیرید.

چون در فرع ۴-۱۳،  $z$  را با  $z - z_0$  تعویض کنیم، درمی یابیم که اگر سری توانی  $f(z) = \sum a_n (z - z_0)^n$  دارای قرص همگرایی  $|z - z_0| < R$  باشد، در درون این قرص همگرایی، همه مشتقات نسبی  $f$  از هر مرتبه وجود دارد و

$$f^{(k)}(z) = \sum_{n=k}^{\infty} \frac{n!}{(n-k)!} a_n (z - z_0)^{n-k}$$

چون در این سری  $z = z_0$  قرار دهیم، خواهیم داشت:

$$f^{(k)}(z_0) = k! a_k$$

که از آن فرع مهم دیگری نتیجه می شود:

فرع ۴-۱۴. اگر  $f(z) = \sum a_n (z - z_0)^n$  با شرط  $|z - z_0| < R$ ، آنگاه

$$a_k = f^{(k)}(z_0) / k!$$

و می توانیم  $f$  را به عنوان یک سری تیلور چنین بیان کنیم:

$$f(z) = \sum \frac{f^{(n)}(z_0)}{n!} (z - z_0)^n \quad (|z - z_0| < R) \quad \square$$

مثال. به ازاء  $|z| < 1$ ،

$$f(z) = 1/(1-z) = 1 + z + z^2 + \dots + z^n + \dots$$

از این قرار ما می دانیم که

$$f'(z) = 1/(1-z)^2 = 1 + 2z + \dots + nz^{n-1} + \dots$$

$$f''(z) = 2/(1-z)^3 = 2 + 6z + \dots + n(n-1)z^{n-2} + \dots$$

هستند و بر همین قیاس نیز داریم

$$f(z) = \sum f^{(n)}(\cdot) z^n / n! , f^{(n)}(\cdot) = n!$$

### ۶. نگاهی به آینده

در آنالیز حقیقی توابعی وجود دارند که تا  $n$  بار مشتق پذیرند اما نه  $n+1$  بار. مثال ساده ای که در آن  $n=1$  چنین است:

$$\phi(x) = \begin{cases} 0 & x \leq 0 \\ x^2 & x \geq 0 \end{cases}$$

واضح است که

$$\phi'(x) = \begin{cases} 0 & x < 0 \\ 2x & x > 0 \end{cases}$$

و محاسبه ای ساده نشان می دهد که

$$\phi'(\cdot) = \lim_{x \rightarrow \cdot} \frac{\phi(x) - \phi(\cdot)}{x} = 0$$

پس  $\phi'$  وجود دارد و حتی در  $\cdot$  پیوسته است. اما  $\phi''(\cdot)$  وجود ندارد زیرا

$$\frac{\phi'(x) - \phi'(\cdot)}{x} = \begin{cases} 0 & x < 0 \\ 2 & x > 0 \end{cases}$$

به ازاء

به ازاء

است.

کلی تر آنکه، تابع  $\phi(x) = x^{n+1}$  با شرط  $\phi(z) = 0, x \geq 0$  با شرط

$x \leq 0$  در همه جا  $n$  بار مشتق پذیر است، اما در مبداء  $n+1$  بار مشتق پذیر نیست.

بعدها خواهیم دید که در حالت مختلط راهی برای به هم پیوستن تابعها که به این نوع رفتار منجر شود وجود ندارد. در یک تابع حقیقی برای اینکه متغیر به یک نقطه

حدی  $x$  میل کند فقط دوراه وجود دارد. از چپ و از راست. خوشبختانه باید گفت که این امکان را داریم که تابعهایی حقیقی را به هم پیوندیم با این خاصیت که به هر وسعت که بخواهیم مشتقهای چپ و راست آنها یکسان باشند. در فوق دیدیم که تابع صفر را از طرف چپ به تابع  $z^{n+1}$  از طرف راست پیوند زدیم و از پیوند آنها تابعی به دست آوردیم که از آن می توان  $n$  بار مشتق گرفت، درست به همین گونه می توان تابعی چون  $F(x) = 0$  با شرط  $x \leq 0$  و تابعی چون  $F(x) = e^{-1/x}$  با شرط  $x > 0$  یافت که همه مشتقهای چپ و راست آنها در مبداء مساویند (و همه این مشتقات در آن نقطه صفرند: تمرین ۱۶ را ببینید). این مخلوق شبه فرنگشتاین بخوبی سر هم شده است، اما راجع به آن یک چیز غیرعادی است:

زیرا همه مشتقات آن صفرند، سری تیلور آن در مبداء چنین است:

$$\sum_{n=0}^{\infty} F^{(n)}(0) x^n / n! = 0 + 0 \cdot x + \dots + 0 \cdot x^n \dots = 0$$

که به طور وضوح به ازاء هر  $x$  همگرا است. اما این سری تیلور مساوی  $F(x)$  نیست، زیرا برای  $x$  های مثبت  $F(x)$  مخالف صفر است. در حالت حقیقی می توانیم تابعهایی بیابیم که سری تیلور آنها وجود دارد اما با خود تابع مساوی نیست (چیز اسرارآمیزی در این مورد وجود ندارد؛ معنی مطلب به طور ساده این است که عبارت باقیمانده یعنی  $R_n(x)$  در

$$F(x) = a_0 + a_1 x + \dots + a_n x^n + R_n(x)$$

به صفر میل نمی کند. در موردی که هم اکنون متذکر شدیم، همواره داریم  $R_n(x) = F(x)$ .

آنالیز حقیقی حتی مناطق تیره بیشتری دارد، که محل سکونت تابعی است که همه جا پیوسته اند اما هیچ جا مشتق پذیر نیستند. فرض کنید  $G(x)$  به معنی فاصله عدد حقیقی  $x$  از نزدیکترین عدد درست باشد.  $G(x)$  نموداری مثل دندانه های اره دارد.  $G(x) = x$  با شرط  $0 \leq x \leq \frac{1}{p}$ ،  $G(x) = 1 - x$  با شرط  $\frac{1}{p} \leq x \leq 1$  به

ازاء هر  $n$  درست تناوبی است یعنی  $G(n+x) = G(x)$ . این تابع به ازاء هیچ  $n$  درستی در  $x = \frac{1}{p}n$  مشتق پذیر نیست، و به ازاء هر  $x$  حقیقی داریم:

$0 \leq G(x) \leq \frac{1}{p}$ . تابع  $G_n(x) = \left(\frac{1}{p}\right)^n G(px)$  در  $x = \frac{1}{p}\left(\frac{1}{p}\right)^n m$  به ازاء هیچ  $m$  درستی مشتق پذیر نیست و در  $x = \frac{1}{p}\left(\frac{1}{p}\right)^n$  صدق می کند. اگر مجموع

$$b(x) = \sum_{n=0}^{\infty} G_n(x)$$

را بسازیم در واقع تابع خیلی بدی به دست می آوریم. ملاحظه می شود که

$$0 \leq b(x) \leq \sum_{n=0}^{\infty} \frac{1}{p} \left(\frac{1}{p}\right)^n = \frac{\frac{1}{p}}{1 - \frac{1}{p}} = \frac{1}{p-1}$$

و می توان ثابت کرد که  $b$  همه جا پیوسته است (این کار نسبتاً ساده است) اما هیچ جا مشتق پذیر نیست (از حالت های متعارف پیچیده تر است). طرحی برای مشتق پذیر نبودن در هیچ جا، چنین است: اگر  $\gamma(x) = (b(x) - b(\alpha)) / (x - \alpha)$ ، آنگاه برای مشتق پذیر بودن  $b$  در  $\alpha$  باید وقتی که  $x$  به  $\alpha$  میل می کند  $\gamma(x)$  به مشتق میل کند. دنباله ای از  $\alpha_n$  ها که به  $\alpha$  میل کند می سازیم به قسمی که  $\gamma(\alpha_n)$  نتواند به هیچ حدی میل کند. برای انجام این کار توجه کنید که زیر هر قطعه خط راست (یک نیم - دندانه) دو دندان مساوی هم از  $G_{n-1}$  به طول  $\left(\frac{1}{p}\right)^n$  وجود دارد؛ پس می توان  $\alpha_n = \alpha \pm \left(\frac{1}{p}\right)^n$  را چنان یافت که:

$$G_m(\alpha_n) = G_m(\alpha) \quad (m \geq n+1)$$

اما گرایان قطعه مستقیم از دندانه  $G_n$  و دندانه های بزرگتر عبارت است از:

$$\frac{G_m(\alpha_n) - G_m(\alpha)}{\alpha_n - \alpha} = 1 \quad (m \leq n)$$

$$\gamma(\alpha_n) = \frac{b(\alpha_n) - b(\alpha)}{\alpha_n - \alpha} = \sum_{m=1}^{\infty} \frac{G_m(\alpha_n) - G_m(\alpha)}{\alpha_n - \alpha}$$

عبارت است از حاصل جمع  $n+1$  جمله، که هر جمله مساوی است با  $1$  یا  $-1$ . بنابراین چنانچه  $n$  زوج باشد  $\gamma(\alpha_n)$  یک عدد صحیح فرد و چنانچه  $n$  فرد باشد  $\gamma(\alpha_n)$  یک عدد صحیح زوج است هنگامی که  $n$  به بی نهایت میل کند  $\gamma(\alpha_n)$  نمی تواند به حدی متناهی میل کند.

حال که تابع  $b$  را به وجود آورده ایم، ملاحظه کنیم که ضد مشتق آن

$$b_1(x) = \int b(t) dt$$

یک بار و آن هم در همه جا مشتق پذیر است (با مشتق  $b$ )، اما دوبار در هیچ جا مشتق پذیر نیست. با استقرار بر  $n$ ، ملاحظه می شود که تابع  $b_n$  با ضابطه  $b_n(x) = \int b_{n-1}(t) dt$  دقیقاً  $n$  بار در همه جا مشتق پذیر است، اما هیچ جا  $n+1$  بار مشتق پذیر نیست.

آنالیز حقیقی واقعاً موضوع پر حاشیه ای است. اما چنین تابعهای نامانوسی در آنالیز مختلط چه جایگاهی دارند؟ جواب این است که: هیچ هر چه که باشند. آنها را فقط یک بار متذکر شده ایم که بعداً به کناری بنهیم. خواهیم دید که امثال اینها در آنالیز مختلط وجود ندارد؛ همان طور که در فصل ۵ گفتیم (در مقایسه با آنالیز حقیقی) آنالیز مختلط ساده است. در آنالیز مختلط تابعهای بسیار ساده ای هستند که همه جا پیوسته اند، اما هیچ جا مشتق پذیر نیستند. یکی از مثالها  $f(z) = i|z|$  است، که اثبات پیوستگی آن آسان است و اثبات مشتق ناپذیری آن با در نظر گرفتن معادلات کوشی-ریمان میسر است. نیز تابعهایی وجود دارند که تنها در نقاط منفرد مشتق پذیرند، مثلاً تابع  $f(z) = z'$  در مبداء و بنابراین دو بار مشتق پذیر نیستند. اما این دیگر آخر خط است. اگر یک تابع مختلط در دامنه ای مشتق پذیر باشد، در این صورت، آنچنان که در یکی از فصلهای بعدی ثابت خواهیم کرد، تا هر مرتبه ای مشتق پذیر خواهد بود، یک سری تیلور خواهد

داشت، و با سری تیلور خودش مساوی خواهد بود.

در محاسبه مشتق

$$f'(z_0) = \lim_{z \rightarrow z_0} \frac{f(z) - f(z_0)}{z - z_0}$$

متغیر  $z$  با هر جهت دلخواهی می تواند به  $z_0$  نزدیک شود. وجود چنین حدی، شرطی چنان قوی است که هر نوع امکان پیوند کردن تابعها را، طوری که در آنالیز حقیقی معمول است، از ما می گیرد.

کلید همه این نظریه این واقعیت است که می توان نشان داد که هر تابع مختلط مشتق پذیر یک بسط به سری توانی دارد، که طبق فرع ۴-۱۴ با سری توانی خودش مساوی است. این مطلب را در فصل ۱۰ با روش چرخشی به اثبات می رسانیم اما اینجا ارزش آن را دارد که به خاطر آن لحظه ای درنگ کنیم، و این به دلیل تاکید بیشتر ما روی سریهای توانی است. سریهای توانی مثالهای خوبی از توابع مشتق پذیر نیستند؛ به معنی بسیار اصیل ثابت می شود که مثالها فقط همین ها هستند.



## تمرین ۴

۱. با کمک اصول اولیه مشتق بگیرید:

$$f(z) = z^2 + 2z \quad (\text{الف})$$

$$f(z) = 1/z \quad (z \neq 0) \quad (\text{ب})$$

$$f(z) = z^2 + z^2 \quad (\text{ج})$$

۲. نشان دهید  $f(z) = |z|$  پیوسته در همه جا و مشتق پذیر در هیچ جا است. ثابت کنید که  $f(z) = |z|^2$  در مبداء مشتق پذیر است اما نه در جای دیگر.

۳. مشتق بگیرید

$$(z^2 + 3)/(4z^2 + 5)^2 \quad (\text{الف})$$

$$(z^2 + 3)^5 (z^2 + 26z)^{1/2} \quad (\text{ب})$$

۴. فرض می کنیم  $C_\pi = \{z \in \mathbb{C} \mid z \neq x, x \in \mathbb{R}, x \leq 0\}$  یعنی از صفحه مختلط محور حقیقی منفی را حذف می کنیم. آن را «صفحه بریده» می نامند. حال

$r: C_\pi \rightarrow \mathbb{C}$  را چنین تعریف می کنیم.

$$(r(z))^2 = z \quad (\text{الف})$$

$$\operatorname{re}(r(z)) > 0 \quad (\text{ب})$$

ثابت کنید که  $r$  در  $C_\pi$  پیوسته است و بنابراین با کمک اصول اولیه ثابت

$$\text{کنید: } r'(z) = \frac{1}{\sqrt{z}} / r(z)$$

۵. فرض می‌کنیم  $f(z)$  کثیرالجزئه ای باشد بر حسب  $z \in C$  باشد. ثابت کنید که تابع با ضابطه  $g(z) = \overline{f(\bar{z})}$  همه جا مشتق پذیر است، اما  $h(z) = \overline{f(z)}$  در  $0$  مشتق پذیر است اگر و فقط اگر  $f'(0) = 0$

۶. در موارد زیر که  $f$  بر دامنه  $D$  تعریف شده است فرمولهای صریحی برای  $u(x,y), v(x,y)$  بیابید در حالی که می‌دانیم  $f(z) = u(x,y) + iv(x,y)$  و  $z = x + iy$  و  $u, v, x, y$  همه حقیقی هستند.

$$f(z) = 1/z, D = \{z \in C | z \neq 0\} \quad (\text{الف})$$

$$f(z) = |z|, D = C, \quad (\text{ب})$$

$$f(z) = \bar{z}, D = C, \quad (\text{ج})$$

ثابت کنید که  $u$  و  $v$  در (الف) همه جا در معادلات کوشی-ریمان صدق می‌کنند اما در (ب) و (ج) در هیچ جا.

۷. در دامنه تعیین شده برقراری معادلات کوشی-ریمان را برای تابعهای  $u(x,y), v(x,y)$  ثابت کنید

$$u(x,y) = x^2 - 3xy^2, v(x,y) = 3x^2y - y^3 \quad (\text{الف})$$

$$u(x,y) = \sin x \cosh y, v(x,y) = \cos x \sinh y, \quad (\text{ب})$$

$$u(x,y) = x/(x^2 + y^2), v(x,y) = -y/(x^2 + y^2) \quad (x^2 + y^2 \neq 0) \quad (\text{ج})$$

$$u(x,y) = \frac{1}{\sqrt{y}} \log(x^2 + y^2), v(x,y) = \sin^{-1} \left( y/(x^2 + y^2)^{1/2} \right) \quad (x > 0) \quad (\text{د})$$

در هر حالت ثابت کنید که  $u(x,y), v(x,y)$  قسمت‌های حقیقی و موهومی از یک تابع مختلط مشتق پذیرند.

۸. اگر  $z = x + iy$  باشد، فرض می‌کنیم

$$f(z) = \frac{x^2(1+i) - y(1-i)}{x^2 + y^2} \quad (z \neq 0), f(0) = 0$$

ثابت کنید  $f$  در مبداء پیوسته است و معادلات کوشی-ریمان در مبداء برقرارند، با این وصف  $f'(0)$  وجود ندارد. چرا این مطلب با قضیه ۶-۴ در تناقض نیست؟

۹. فرض کنیم  $f(z) = \sqrt{|xy|}$  که در آن  $z = x + iy$ . ثابت کنید که معادلات کوشی-ریمان در مبداء برقرارند، با این وصف  $f'(0)$  وجود ندارد.

۱۰. فرض می‌کنیم  $f(z) = \frac{xy^r(x+iy)}{x^r+y^r}$ ،  $f(0) = 0$ ،  $(z = x + iy \neq 0)$ .

ثابت کنید که اگر در طول خط راست  $z = (a + ib)t$ ،  $t \in \mathbb{R}$ ،  $z \rightarrow 0$ ، آنگاه  $\lim_{z \rightarrow 0} (f(z) - f(0))/z = 0$ . این مطلب به اثبات  $f'(0) = 0$  نمی‌انجامد، شما هم با در نظر گرفتن  $z \rightarrow 0$  در طول  $z(t) = t + it$ ، ثابت کنید  $f$  در  $0$  مشتق پذیر است. (این نشان می‌دهد که در محاسبه  $f'$ ، گرفتن حد در طول یک مسیر معین کافی نیست.)

۱۱. در هر یک از موارد زیر، مطلوب است محاسبه  $(f\gamma)'(t)$ ،  $\gamma'(t)$ ،  $f'(\gamma(t))$  و ثابت کنید که

$$(f\gamma)'(t) = f'(\gamma(t))\gamma'(t)$$

$$f(z) = z^r, \gamma(t) = t^r + it^r \quad (z \in \mathbb{C}, t \in [0, 1]), \quad (\text{الف})$$

$$f(z) = 1/z, \gamma(t) = \cos t + i \sin t \quad (z \neq 0, t \in [0, 2\pi]), \quad (\text{ب})$$

$$f(z) = 1 + z + z^2 + z^3 + \dots + z^n + \dots, \gamma(t) = t + it^2 \quad (|z| < 1, t \in [0, \frac{1}{2}]) \quad (\text{ج})$$

۱۲. فرض کنیم که  $f(z) = \sum_{n=0}^{\infty} a_n z^n$  به ازاء هر  $z \in \mathbb{C}$  همگرا است و در شرایط  $f' = f$  و  $f(0) = 1$  صدق می‌کند. مطلوب است تعیین  $a_n$  به ازاء هر  $n \geq 0$ . مشتق تابع  $g$  را با توجه به رابطه

$$g(z) = f(c-z)f(z)$$

و  $c \in \mathbb{C}$  در نظر بگیرید و نتیجه بگیرید که

$$f(a+b) = f(a)f(b)$$

هر چه باشد  $a, b \in C$ . مطلوب است محاسبه  $f(1)$  تا پنج رقم اعشار. (می توان یک ماشین حساب به کاربرد، اما لزومی ندارد!)  
۱۳. ثابت کنید که سری توانی

$$f_{\alpha}(z) = 1 + \sum_{n=1}^{\infty} \frac{\alpha(\alpha-1)\dots(\alpha-n+1)}{n!} z^n$$

(هر چه باشد  $\alpha$ ) با  $|z| < 1$  همگرا است و مشتق آن در این دامنه عبارت است از:

$$\alpha f_{\alpha}(z) / (1+z)$$

آیا برای همه  $\alpha$  های متعلق به  $C$  شعاع همگرایی برابر ۱ است؟  
با مشتق گیری از  $f_{\alpha}(z)f_{\beta}(z) / f_{\alpha+\beta}(z)$ ، یا به طریق دیگر، نشان دهید که:

$$f_{\alpha+\beta}(z) = f_{\alpha}(z)f_{\beta}(z)$$

و بنابراین نتیجه بگیرید که با شرط  $|z| < 1$ ، به ازاء هر عدد صحیح (چه مثبت و چه منفی) داریم:

$$f_n(z) = (1+z)^n$$

و به ازاء هر عدد صحیح و مثبت  $n$  داریم:

$$(f_{1/n}(z))^n = 1+z$$

(این سری توانی برای  $f_{\alpha}(z)$  را می توان به عنوان تعریف  $(1+z)^n$  به کاربرد که در آن  $\alpha$  مختلط است و  $z$  به دامنه  $|z| < 1$  تعلق دارد.)

۱۴. فرض می کنیم که دو سری توانی  $s(z) = \sum_{n=0}^{\infty} a_n z^n$  و  $c(z) = \sum_{n=0}^{\infty} b_n z^n$  به ازاء همه  $z$  های مختلط همگرا باشند، و در روابط  $c'(z) = -s(z)$ ,  $s'(z) = c(z)$

صدق کنند. اتحادهای زیر را نتیجه بگیرید:

$$a_n = -a_{n-1}/(n(n-1)), b_n = -b_{n-1}/(n(n-1))$$

با فرض  $c(0) = 1, s(0) = 0$  تعیین  $c(z), s(z)$  به طور کامل مطلوب است. با مشتق گیری، یا به طریق دیگر، ثابت کنید که:

$$(s(z))^2 + (c(z))^2 = 1$$

۱۵. با مثبت و صحیح بودن عدد  $n$  تابع بسط از مرتبه  $n$  چنین تعریف می شود:

$$J_n(z) = \sum_{r=0}^{\infty} \frac{(-1)^r \left(\frac{1}{2}z\right)^{n+r}}{r!(n+r)!}$$

ثابت کنید که به ازاء همه  $z$ های مختلط این سری همگرا است و در معادله دیفرانسیل زیر صدق می کند:

$$z^2 \frac{d^2 y}{dz^2} + z \frac{dy}{dz} + (z^2 - n^2)y = 0$$

موارد آتی را ثابت کنید:

$$J_{n-1}(z) + J_{n+1}(z) = \frac{2n}{z} J_n(z), \quad (\text{الف})$$

$$J_n'(z) = \frac{n}{z} J_n(z) - J_{n+1}(z), \quad (\text{ب})$$

$$J_n'(z) = \frac{1}{2} (J_{n-1}'(z) - J_{n+1}'(z)), \quad (\text{ج})$$

$$J_n(z) = J_{n-1}(z) - \frac{n}{z} J_n(z), \quad (\text{د})$$

$$\frac{d}{dz} (z^n J_n(z)) = z^n J_{n-1}(z), \quad (\text{ه})$$

$$J_{-1/2}(z) - J_{1/2}(z) = 2J_{-3/2}(z). \quad (\text{و})$$

۱۶. (غول فرنکشتاین) تابع  $f: \mathbb{R} \rightarrow \mathbb{R}$  را چنین تعریف می‌کنیم:

$$f(x) = 0 \quad (x \leq 0)$$

$$f(x) = e^{-1/x} \quad (x > 0).$$

ثابت کنید که  $f$  به دفعات دلخواه مشتق پذیر است و به ازاء هر  $n$ ،  $f^{(n)}(0) = 0$  می‌شود.

# فصل پنجم

## تابع توانی

مطالعه نظریه مجرد تابعها شاید از نظر فعالیتهای ذهنی، جاذبه داشته باشد، اما موارد استعمال محسوس نظریه تابعها ارزش بیشتری به آن می دهد و به همین جهت به مطالعه بعضی توابع «ویژه» که از ارزشهای خاصی برخوردارند می پردازیم. قدم اولی که در این راه بر می داریم مطالعه نوع مختلط تابعهای توانی و مثلثاتی یعنی  $\sin, \exp$  و  $\cos$  است (همواره با انواع ساده دیگر آنها مثل  $\tan, \operatorname{cosec}$ ) و آنها را به صورت سریهای توانی تعریف می کنیم. سپس با کمک همین تعریف بعضی از خواص این تابع ها را که اساسی تر هستند توسعه می دهیم.

فرمول مشهور اویلر

$$e^{i\theta} = \cos\theta + i\sin\theta$$

بی درنگ از این تعریفها نتیجه می شود که در این مورد تابع  $\exp$  تابع اساسی است: به این معنی که سایر توابع مذکور را می توان بر حسب آن بیان کرد. اکثر مطالب تعمیم مستقیم همان موارد حقیقی است و به صورتی فشرده بیان خواهند شد. علاوه بر استخراج فرمولهای استاندارد، تاکید بر آن داریم که خواننده را قانع کنیم که سریهای توانی در واقع بیان کننده همان تابعهای معمولی هستند و بخصوص تعبیرهای هندسی  $\sin, \cos$  بخوبی محفوظ می ماند.

نوع مختلط لگاریتم نیاز به تحلیل عمیق تری دارد، و در فصل ۷ بررسی خواهد شد.

## ۱. تابع توانی

قبلاً تابع توانی را به وسیله سری توانی

$$\exp(z) = \sum_{n=0}^{\infty} \frac{z^n}{n!} \quad (1)$$

که برای هر  $z \in \mathbb{C}$  همگرای مطلق است تعریف کرده ایم. پس می توانیم جمله به جمله از آن مشتق بگیریم: نتیجه مشتق گیری با خود سری مفروض یکی است و به همین دلیل داریم:

$$\frac{d}{dz} \exp(z) = \exp(z) \quad (2)$$

با مختصر ذکاوتی می توانیم (۲) را به کار برده فرمول

$$\exp(z_1 + z_2) = \exp(z_1) \exp(z_2) \quad (3)$$

را که در فصل ۳ به سختی به دست آوردیم ثابت کنیم. رابطه

$$f(z) = \exp(z) \exp(c - z)$$

را که در آن  $c \in \mathbb{C}$  در نظر و از آن مشتق می گیریم، حاصل می شود:

$$f'(z) = \exp'(z) \exp(c - z) + \exp(z) \exp'(c - z) \cdot (-1) = 0$$

بنابر قضیه ۴-۷ از مطلب فوق نتیجه می شود که  $f(z)$  ثابت است: این ثابت برابر است با  $f(0) = \exp(c)$ . از این قرار:

$$\exp(z) \exp(c - z) = \exp(c)$$

با قرار دادن  $z = z_1$ ،  $c = z_1 + z_2$ ، (۳) را به دست می آوریم.



معمولاً علاقه مندیم که نماد متعارف  $e^z$  را به جای  $\exp(z)$  به کار بگیریم. برای پرهیز از ابهام باید نشان دهیم که به ازاء عدد گویای  $z$  رابطه (۳) با همان رابطه توانی حقیقی  $e^{m/n} = \sqrt[n]{e^m}$  تطبیق می کند. این کار را به طریق زیر انجام می دهیم. عدد حقیقی  $e$  را چنین تعریف می کنیم:

$$e = \exp(1) = 2.7182818... \quad (4)$$

با به کار بردن (۳) و استقراء بر  $n$  درمی یابیم که به ازاء هر عدد صحیح  $n$  داریم:

$$\exp(nz) = (\exp(z))^n$$

بنابراین

$$\exp(n) = (\exp(1))^n = e^n$$

واضح است که

$$\exp(0) = 1$$

پس

$$\exp(n)\exp(-n) = \exp(n-n) = \exp(0) = 1$$

بنابراین

$$\exp(-n) = (\exp(n))^{-1}$$

اما، در مورد عدد گویای  $m/n$  ( $n > 0$ ) داریم:

$$(\exp(m/n))^n = \exp(nm/n) = \exp(m) = e^m$$

از این قرار

$$(\exp(m/n)) = (e^m)^{1/n} = e^{m/n}$$

می شود. بنابراین نماد

$$e^z = \exp(z)$$

با همان نماد استاندارد که برای توانهای  $e$  به کار می‌بریم مغایرتی ندارد. لذا می‌توانیم از این به بعد آن را به کار ببریم (و به کار هم می‌بریم). توجه کنید که اکنون (۳) را می‌توان چنین نوشت:

$$e^{z_1+z_2} = e^{z_1} e^{z_2} \quad (5)$$

اگر  $z = x + iy$  اختیار کنیم نتیجه می‌شود:

$$e^z = e^x e^{iy}$$

اما  $e^x$  درست همان تابع توانی حقیقی است؛ پس اگر مفهوم  $e^x$ ، و تابع مختلط  $e^{iy}$ ، بر ما معلوم باشد، رفتار  $e^z$  بر ما معلوم می‌شود. این دو را در دو بخش بعدی بررسی می‌کنیم.

## ۲. توانهای حقیقی و لگاریتمها

به اختصار خواص استاندارد  $e^x$  را یادآوری می‌نماییم.

واضح است که برای  $x > 0$  داریم  $e^x > 1 + x$  که با شرط  $x \geq 0$  از آن نتیجه می‌شود  $e^x > 0$  و  $e^x \rightarrow \infty$  اگر  $x \rightarrow \infty$ . نیز  $e^{-x} = 1/e^x$ ، پس به ازاء هر  $x$  حقیقی،  $e^x > 0$ ، و  $e^x \rightarrow 0$  هنگامی که  $x \rightarrow -\infty$ . مشتق  $e^x$  عبارت است از  $e^x$ . پس  $e^x$  یک تابع یکنوای صعودی (افزایشی) است.

طبق قضیه مقدار متوسط  $e^x$  تابعی است اکیداً یکنوا و پیوسته از  $\mathbb{R}$  بر  $\mathbb{R}^+ = \{x \in \mathbb{R} | x > 0\}$ . بنابراین تابع معکوسی دارد که اکیداً یکنوا و پیوسته است که آن را لگاریتم طبیعی می‌نامند.

$$\log : \mathbb{R}^+ \rightarrow \mathbb{R}$$

با این خاصیت که

$$y = \log x \Leftrightarrow x = e^y \quad (x > 0)$$

از (۵) نتیجه می‌گیریم:

$$\log(x_1 x_2) = \log x_1 + \log x_2 \quad (x_1, x_2 > 0) \quad (6)$$

فرض می‌کنیم  $y = \log x$ ،  $y = \log x$ ،  $(x, x \in \mathbb{R}^+)$  چون  $\log$  پیوسته است،

$$\lim_{x \rightarrow x_0} \frac{\log x - \log x_0}{x - x_0} = \lim_{y \rightarrow y_0} \frac{y - y_0}{e^y - e^{y_0}} = 1/e^{y_0} = 1/x_0.$$

بنابراین

$$\frac{d}{dx} \log x = \frac{1}{x}$$

### ۳. تابعهای مثلثاتی

در گذشته تابعهای سینوس ( $\sin z$ ) و کسینوس ( $\cos z$ ) را برای عددهای مختلط به وسیله سریهای توانی زیر تعریف کردیم:

$$\cos z = \sum_{n=0}^{\infty} (-1)^n \frac{z^{2n}}{(2n)!} \quad (7)$$

$$\sin z = \sum_{n=0}^{\infty} (-1)^n \frac{z^{2n+1}}{(2n+1)!} \quad (8)$$

و می‌دانیم که اینها به ازاء هر  $z \in \mathbb{C}$  همگرایی مطلق هستند. با قرار دادن  $-z$  به جای  $z$  در (7) و (8) ملاحظه می‌شود که  $\cos$  تابعی است زوج و  $\sin$  تابعی است فرد، یعنی

$$\cos(-z) = \cos z$$

$$\sin(-z) = -\sin z$$

$$\cos 0 = 1$$

$$\sin 0 = 0$$

با مشتق گیری جمله به جمله ،

$$\frac{d}{dz} \cos z = -\sin z \quad (9)$$

$$\frac{d}{dz} \sin z = \cos z \quad (10)$$

با جمع جمله به جمله ما مطابق آنچه در فصل ۳ دیدیم ، فرمول اویلر را خواهیم داشت :

$$e^{iz} = \cos z + i \sin z \quad (11)$$

چون به ازاء هر عدد صحیح  $n$  ،  $(e^{iz})^n = e^{inz}$  ، از (۱۱) فرمول دوم آور نتیجه می شود :

$$(\cos z + i \sin z)^n = \cos nz + i \sin nz \quad (12)$$

از این فرمول می توان استفاده کرده سریعاً فرمولهایی برای  $\sin n\theta$  ،  $\cos n\theta$  بر حسب  $\sin \theta$  ،  $\cos \theta$  ، هنگامی که  $\theta \in \mathbb{R}$  باشد ، به دست آورد . این کار را با مساوی قرار دادن قسمت‌های حقیقی ، و نیز مساوی قرار دادن قسمت‌های موهومی دو طرف تساوی می توان انجام داد (تمرین ۶) .

چون در (۱۱) ،  $z$  را با  $-z$  عوض کنیم حاصل می شود :

$$e^{-iz} = \cos(-z) + i \sin(-z) = \cos z - i \sin z \quad (13)$$

با کمک (۱۱) و (۱۳) حاصل می شود:

$$\cos z = \frac{1}{2}(e^{iz} + e^{-iz}) \quad (14)$$

$$\sin z = \frac{1}{2i}(e^{iz} - e^{-iz}) \quad (15)$$

از فرمول های (۱۴)، (۱۵)، و (۵) همان فرمولهای معمولی جمع برای  $\sin$  و  $\cos$  به دست می آید که هم اکنون برای همه اعداد مختلط  $z_1, z_2$  معتبرند.

$$\sin(z_1 + z_2) = \sin z_1 \cos z_2 + \cos z_1 \sin z_2 \quad (16)$$

$$\sin(z_1 - z_2) = \sin z_1 \cos z_2 - \cos z_1 \sin z_2 \quad (17)$$

$$\cos(z_1 + z_2) = \cos z_1 \cos z_2 - \sin z_1 \sin z_2 \quad (18)$$

$$\cos(z_1 - z_2) = \cos z_1 \cos z_2 + \sin z_1 \sin z_2 \quad (19)$$

با قرار دادن  $z_1 = z_2 = z$  در (۱۹) حاصل می شود:

$$\cos^2 z + \sin^2 z = 1 \quad (20)$$

#### ۴. تعریف تحلیلی $\pi$

از نظر تاریخی عدد حقیقی  $\pi$  به عنوان نسبت محیط دایره به قطر آن تعریف شده است و بعد از آن بود که اهمیت عدد  $\pi$  در تابعهای مثلثاتی آشکار شد. ما بعکس این روند عمل می کنیم، یعنی  $\pi$  را به طریق تحلیلی تعریف می کنیم و نشان می دهیم (۷-۱) که تعریف ما با همان تعریف هندسی تطبیق می کند.

هدف این است که  $\pi/2$  را به عنوان اولین ریشه مثبت معادله  $\cos x = 0$

تعریف کنیم؛ ابتدا باید مساله وجود چنین چیزی را حل کنیم.

می دانیم که  $\cos$  و  $\sin$  تابعهای پیوسته ای هستند. نیز،

$$\begin{aligned} \cos(x) &= 1 - \frac{x^2}{2!} + \frac{x^4}{4!} - \dots - \frac{x^{2n-2}}{(2n-2)!} + \frac{x^{2n}}{(2n)!} - \dots \\ &= 1 - x^2 + \frac{x^4}{3} - \dots - \frac{x^{2n-2}}{(2n)!} [2n(2n-1) - 4] - \dots \\ &< 1 - x^2 + \frac{x^4}{3} \\ &< 0 \end{aligned}$$

اما  $\cos 0 = 1$  می شود. پس بنا بر قضیه مقدار متوسط،  $t$  ی وجود دارد به قسمی که  $\cos t = 0, t \in (0, 2)$ . فرض می کنیم که  $k$  بزرگترین کران پایین برای  $\{t \in \mathbb{R} | t > 0, \cos t = 0\}$  باشد. از پیوستگی نتیجه می شود که:

$$\cos k = 0$$

بنا به تعریف  $k$ ، اگر  $0 \leq x < k$ ، آنگاه  $\cos x < 0$ .  
حال تعریف می کنیم

$$\pi = 2k$$

پس  $\pi$  را با این خاصیتها تعریف کرده ایم که  $\cos(\pi/2) = 0$ ، و از  $0 \leq x < \pi/2$  نتیجه می شود  $\cos x > 0$ . چون  $\cos(x) < 0$  پس نتیجه می شود که  $0 < \pi < 4$ . این یک تقریب خام (تقریب با دقت کم) از عدد  $\pi$  است: در تمرینهای ۱۷، ۱۸ به اصلاح آن می پردازیم.

### ۵. رفتار تابع های مثلثاتی حقیقی

می دانیم که  $\cos x$ ، به شرط  $0 \leq x \leq \pi/2$ ، مثبت است. چون  $D \sin x = \cos x$ ، نتیجه می گیریم که  $\sin$  تابعی اکیداً صعودی در  $[0, \pi/2]$

صعودی است . چون

$$\sin^2 \frac{\pi}{2} + \cos^2 \frac{\pi}{2} = 1$$

و  $\cos \pi/2 = 0$  ، پس باید داشته باشیم  $\sin \pi/2 = \pm 1$  ؛ اما چون  $\sin$  از  $0$  به بعد در  $[\pi/2, \pi]$  صعودی است نتیجه می شود :

$$\sin \frac{\pi}{2} = 1$$

حال با کمک (۱۷) حاصل می شود :

$$\sin\left(\frac{\pi}{2} - x\right) = \cos x \quad (21)$$

پس  $\cos$  در  $[\pi/2, \pi]$  یکنوای نزولی از  $1$  تا  $0$  است .

وقتی (۱۶) و (۱۸) را به دفعات به کار بگیریم ، رفتار  $\sin$  و  $\cos$  در

بازه های  $[\pi/2, \pi]$  ،  $[\pi, 3\pi/2]$  ،  $[3\pi/2, 2\pi]$  بر ما معلوم می شود . داریم :

$$\cos\left(\frac{\pi}{2} + x\right) = -\sin x$$

$$\sin\left(\frac{\pi}{2} + x\right) = \cos x$$

$$\sin(\pi + x) = -\sin x$$

و بر همین قیاس ، می توانیم نتایج را در جدولی گرد آوریم . قرار می گذاریم که  $\nearrow a$  به معنی «یکنوای صعودی از  $a$  تا  $b$ » ،  $\searrow a$  به معنی «یکنوای نزولی از  $a$  تا  $b$ » باشد

interval	cos	sin
$\left[0, \frac{\pi}{2}\right]$		
$\left[\frac{\pi}{2}, \pi\right]$		
$\left[\pi, \frac{3\pi}{2}\right]$		
$\left[\frac{3\pi}{2}, 2\pi\right]$		

با ملاحظه جدول داریم:

$$\sin 2\pi = 0$$

$$\cos 2\pi = 1$$

بنابراین

$$\cos(x + 2\pi) = \cos x \cos 2\pi - \sin x \sin 2\pi = \cos x$$

$$\sin(x + 2\pi) = \sin x \cos 2\pi + \cos x \sin 2\pi = \sin x$$

و از این هم نتیجه می شود که به ازاء هر عدد صحیح  $n$

$$\cos(x + 2n\pi) = \cos x$$

$$\sin(x + 2n\pi) = \sin x$$

پس رفتاری را که در جدول نشان داده ایم در بازه  $[2n\pi, (2n+2)\pi]$  تکرار می شود.

به این ترتیب بررسی های کاملاً رسمی نشان می دهد که  $\cos x, \sin x$  حداقل در محدوده رؤوس مطالب، وقتی که  $x$  حقیقی باشد، همان خواص هندسی



متعارف را دارند. محاسبات دقیق تری از مقادیر این تابعها تا هر درجه از دقت آن می توان به عمل آورد. به تفتیش می توان دید که وقتی  $x$  حقیقی است (مثبت یا منفی) سریهای توانی مربوط به  $\cos x, \sin x$  همواره دارای جمله هایی هستند که از نظر علامت متناوبند. با کمک نظریه استاندارد مربوط به سریهای متناوب، می دانیم که حاصل جمع  $n$  جمله از این سری متناوباً تقریبهای اضافی تقریبهای نقصانی از حد این سری را به دست می دهد و همین مطالب است که به ما امکان می دهد که تقریبهای دقیق از توابع مثلثاتی به دست دهیم.

مثال

$$\begin{aligned}
 e^i &= \cos 1 + i \sin 1 \\
 &= (1 - 1/2! + 1/4! - 1/6! + \dots) \\
 &\quad + i(1/1! - 1/3! + 1/5! - 1/7! + \dots)
 \end{aligned}$$

با در نظر گرفتن مجموعهای جزئی نتیجه می شود:

$$\begin{aligned}
 \cos 1 &< 1 \\
 \cos 1 &> 1 - 1/2! &= 0/5\dots \\
 \cos 1 &< 1 - 1/2! + 1/4! &= 0/54166\dots \\
 \cos 1 &> 1 - 1/2! + 1/4! - 1/6! &= 0/54027\dots \\
 \cos 1 &< 1 - 1/2! + 1/4! - 1/6! + 1/8! &= 0/54030\dots
 \end{aligned}$$

و بنابراین

$$\cos 1 = 0/5403 \quad (\text{تا } 4 \text{ رقم اعشار})$$

اعمال مشابهی نشان می دهد که

$$\sin 1 = 0/8415 \quad (\text{تا } 4 \text{ رقم اعشار})$$

و بنابراین

$$e^i = 0/5403 + 0/8415i$$

## ۶. تابعهای توانی مختلط و تابعهای مثلثاتی تناوبی هستند

می گویند تابع مختلط  $f: S \rightarrow C$  دارای تناوب (دوره تناوب)  $\rho$  است اگر به ازاء

$$f(z+\rho) = f(z), \quad z \in S \text{ هر}$$

(لازمه این شرط آن است که هر جا  $z \in S$ ، داشته باشیم  $z+\rho \in S$ ). واضح است که اگر  $\rho$  یک دوره تناوب  $f$  باشد  $n\rho$  نیز به ازاء هر  $n$  صحیح مثبت، یک دوره تناوب است. (علاوه بر این، اگر از  $z \in S$  نتیجه شود  $z-\rho \in S$ ، آنگاه  $n\rho$  به ازاء هر عدد صحیح  $n$  یک دوره تناوب است.) در مورد توانی مختلط، ملاحظه می شود که

$$e^{2\pi i} = \cos 2\pi + i \sin 2\pi = 1$$

بنابراین

$$e^{z+2\pi i} = e^z e^{2\pi i} = e^z \cdot 1 = e^z$$

پس  $2\pi i$  برای  $\exp$  یک دوره تناوب است. و لذا  $2n\pi i$  هم به ازاء هر عدد صحیح  $n$  یک دوره تناوب است.

گزاره ۱.۵. عدد مختلط  $\rho$  یک دوره تناوب برای  $\exp$  است اگر و فقط اگر  $(n \in Z)\rho = 2n\pi i$ .

برهان. اگر  $\rho$  یک دوره تناوب باشد، آنگاه  $1 = e^\rho = e^{z+\rho} / e^z$ . پس اگر  $\rho = u + iv$ ، داریم:

$$1 = e^{u+iv} = e^u (\cos v + i \sin v)$$

با مدول گرفتن از دو طرف

$$1 = |e^u| |\cos v + i \sin v| = e^u$$

اما بنا بر خواص تابع توانی حقیقی که در بخش ۲ به اثبات رسید از رابطه اخیر نتیجه می شود  $u=0$ . پس اکنون داریم:

$$\cos v + i \sin v = 1$$

با مقایسه قسمت‌های حقیقی و موهومی،  $\cos v = 1, \sin v = 0$  و لذا بنا بر جدول بخش ۵، از اینها نتیجه می‌شود  $v = 2n\pi$  ( $n \in \mathbb{Z}$ ).

اکنون تناوبی بودن  $\cos, \sin$  را بررسی می‌کنیم. مسلماً  $2n\pi$  یک دوره تناوب هم برای  $\sin$  است و هم برای  $\cos$ : محاسبات مربوط به انتهای بخش ۵، چنانچه به جای  $x$  عدد مختلط دلخواه  $z$  را قرار دهیم، کارسازی خود را از دست نخواهد داد.

**گزاره ۵-۲.** عدد مختلط  $\rho$  یک دوره تناوب برای  $\sin$  یا  $\cos$  خواهد بود اگر و فقط اگر  $\rho = 2n\pi$  ( $n \in \mathbb{Z}$ )

**برهان.** چون، بنا بر (۱۶)،  $\sin(\pi/2 + z) = \cos z$  پس نتیجه می‌گیریم که  $\rho$  یک دوره تناوب  $\sin$  است اگر و فقط اگر  $\rho$  یک دوره تناوب  $\cos$  باشد. پس به ازاء همه  $z$  های مختلط

$$\cos(z + \rho) = \cos z$$

$$\sin(z + \rho) = \sin z$$

اما در این صورت داریم:

$$e^{i(z+\rho)} = \cos(z+\rho) + i\sin(z+\rho) = \cos z + i\sin z = e^{iz}$$

به طوری که

$$e^{w+\rho} = e^{i(-iw+\rho)} = e^{i(-iw)} = e^w$$

بنابراین  $i\rho$  یک دوره تناوب برای  $\exp$  است. اما طبق گزاره ۵-۱،  $-i\rho = 2n\pi$ ، پس  $\rho = 2n\pi i$ . به آسانی می‌توانیم صفرهای توابع  $\cos, \sin$  را تعیین کنیم. **گزاره ۵-۳.** فرض می‌کنیم  $z \in \mathbb{C}$ . در این صورت

$$\cos z = 0 \quad \text{اگر و فقط اگر} \quad z = \left(n + \frac{1}{2}\right)\pi$$

$$\sin z = 0 \quad \text{اگر و فقط اگر} \quad z = n\pi$$

که در آن  $n \in \mathbb{Z}$ .

برهان. چون  $\cos z = \sin(\pi/2 + z)$  پس رابطه دوم در فوق رابطه اول را ایجاب می کند. اما  $\sin z = 0$  اگر و فقط اگر  $(e^{iz} - e^{-iz})/(2i) = 0$ . چون در  $2ie^{iz}$  (که ناصفر است) ضرب کنیم در می یابیم که این رابطه برقرار است اگر و فقط اگر  $e^{iz} = 1$ ، پس  $iz = 2n\pi i$ . بنابراین  $z = n\pi$  که ادعای ما بود.

### ۷. سایر تابع های مثلثاتی

اگر  $z \neq (n + \frac{1}{4})\pi$ ، خواهیم داشت  $\cos z \neq 0$ ، لذا می توان تعریف کرد:

$$\tan z = \frac{\sin z}{\cos z}$$

اگر  $S = \left\{ z \in \mathbb{C} \mid z \neq (n + \frac{1}{4})\pi, n \in \mathbb{Z} \right\}$ ، در این صورت  $S$  یک دامنه است، و

$$\tan : S \rightarrow \mathbb{C}$$

یک تابع مشتق پذیر است. مشتق آن عبارت است از:

$$\begin{aligned} D \tan z &= \frac{\cos z D \sin z - \sin z D \cos z}{\cos^2 z} \\ &= \frac{\cos^2 z + \sin^2 z}{\cos^2 z} \\ &= 1 + \tan^2 z \end{aligned}$$

مشابه تعریف می کنیم:

$$\cot z = \frac{\cos z}{\sin z} \quad (z \neq n\pi) \quad (22)$$

$$\sec z = \frac{1}{\cos z} \quad (z \neq (n + \frac{1}{2})\pi) \quad (23)$$

$$\operatorname{cosec} z = \frac{1}{\sin z} \quad (z \neq n\pi) \quad (24)$$

همه اینها تابعهای مشتق پذیرند (با دامنه های مشخص) که مشتقهای آنها را به همان طرق معمولی می توان حساب کرد. همه فرمولهای استاندارد را که مربوط به تابعهای مثلثاتی هستند می توان از خواص  $\sin$ ،  $\cos$  استخراج کرد و بنابراین برای مقادیر متغیر مختلط هم همین نتایج حاصل می شود. مثلاً با استفاده از (۱۶) و (۱۸) خواهیم داشت:

$$\tan(z_1 + z_2) = \frac{\tan z_1 + \tan z_2}{1 - \tan z_1 \tan z_2}$$

(به شرط آنکه  $z_1, z_2, z_1 + z_2 \in S$ ). از این رابطه نتیجه می شود که  $\tan(z + \pi) = \tan z$ ، پس  $\pi$  دوره تناوب برای  $\tan$  است. بسادگی معلوم می شود که دوره های تناوب  $\tan$  فقط اعدادی به صورت  $n\pi$  هستند  $n \in \mathbb{Z}$ . به خواننده توصیه می شود که همه فرمولهای مثلثاتی مورد توجه خود را برای تابعهای مثلثاتی مختلط توسعه دهد، و خواص اساسی  $\sec$ ،  $\operatorname{cat}$ ، و  $\operatorname{cosec}$  را به کار بگیرد.

## ۸. تابع های هیپربولیک (هذلولوی)

مشابه با حالت حقیقی، برای  $z \in \mathbb{C}$  تعریف می کنیم:

$$\sinh z = \frac{1}{2}(e^z - e^{-z})$$

$$\cosh z = \frac{1}{2}(e^z + e^{-z})$$

با مشتق‌گیری حاصل می‌شود:

$$D \sinh z = \cosh z$$

$$D \cosh z = \sinh z$$

خواص توابع هیپربولیک، مشابه خواص توابع مثلثاتی (مثل فرمول جمع برای  $\sinh(z_1 + z_2)$ ) با محاسبه مستقیم یا با استفاده از اتحادهای

$$\sin iz = i \sinh z$$

$$\cos iz = \cosh z$$

به دست می‌آیند. مثلاً

$$\begin{aligned} \cosh^2 z - \sinh^2 z &= \cos^2 iz - (-i \sin iz)^2 \\ &= \cos^2 iz + \sin^2 iz \\ &= 1 \end{aligned}$$

تابعهای  $\tanh$ ،  $\coth$ ،  $\operatorname{sech}$ ،  $\operatorname{cosech}$  به وضوح و مشابه آنچه تاکنون دیده‌اید تعریف می‌شوند: این کار را به عهده خواننده می‌گذاریم و انتظار داریم که خواص آنها، بخصوص صفرهایشان و دوره تناوب هایشان را کشف کند.

تابعهای هیپربولیک در عبارات مربوط به قسمتهای حقیقی و موهومی  $\cos z, \sin z$  ظاهر می‌شوند. زیرا اگر فرض کنیم  $z = x + iy$ ، آنگاه

$$\begin{aligned} \sin z = \sin(x + iy) &= \sin x \cos iy + \cos x \sin iy & (25) \\ &= \sin x \cosh y + i \cos x \sinh y \end{aligned}$$

مشابهاً

$$\cos z = \cos x \cosh y - i \sin x \sinh y \quad (26)$$

## تمرینهای ۵

۱. عبارات زیر را به صورت  $a + ib$  بنویسید که در آن  $a$  و  $b$  حقیقی هستند.

(الف)  $\exp(i)$

(ب)  $e^{2+i\pi}$

(ج)  $\sqrt{\exp(2 + i\pi)}$

۲. عبارات زیر را به صورت  $a + ib$  بنویسید که در آن  $a$  و  $b$  حقیقی هستند.

(الف)  $\sin i$

(ب)  $\cos i$

(ج)  $\sinh i$

(د)  $\cosh i$

(ه)  $\cos(\pi/4 - i)$

(و)  $\tan(1 + i)$

۳. از تابعهای با فرمولهای زیر مشتق بگیرید:

(الف)  $\exp(z^2 + 2z)$

(ب)  $\sqrt{\exp(z)}$

(ج)  $\exp(z^2) / \exp(z + 1)$

۴. از تابعهای با فرمولهای زیر مشتق بگیرید:

(الف)  $\tan(z^2)$

(ب)  $\sinh(z + 2) / \exp(z^2)$

(ج)  $\sin z \cosh z \exp z$

۵. اتحاد  $e^{i\theta} e^{i\phi} = e^{i(\theta+\phi)}$  را به کار گرفته فرمولهای متعارف برای  $\cos(\theta + \phi), \sin(\theta + \phi)$  را به دست آورید. با روشی مشابه ثابت کنید:

$$1/(\cos \theta + i \sin \theta) = \cos \theta - i \sin \theta$$

۶. با استفاده از  $e^{i\theta} = \cos \theta + i \sin \theta$  فرمولهایی برای  $\cos 3\theta, \sin 3\theta$  بر حسب  $\cos \theta, \sin \theta$  به دست آورید. فرمولهای مشابهی برای  $\cos 4\theta, \sin 4\theta, \cos 5\theta, \sin 5\theta$  بدست آورید.

۷. مسیرهای زیر را رسم کنید.

$$z(t) = e^{-it} \quad (0 \leq t \leq \pi) \quad \text{(الف)}$$

$$z(t) = 1 + i + 2e^{it} \quad (0 \leq t \leq 2\pi) \quad \text{(ب)}$$

$$z(t) = z_0 + re^{it} \quad (0 \leq t \leq 2\pi) \quad (r > 0, z_0 \in \mathbb{C}) \quad \text{(ج) (که در آن)}$$

$$z(t) = t + i \cos t \quad (-1 \leq t \leq 1) \quad \text{(د)}$$

$$z(t) = \cos t + i \sin t \quad (-1 \leq t \leq 1) \quad \text{(ه)}$$

۸. «قانون اُسبِرِن» می گوید هر فرمول شامل  $\cos, \sin$  فرمول مشابهی دارد شامل  $\cosh, \sinh$  که از هر جهت همان فرمول (شامل  $\cos, \sin$ ) است فقط با این استثناء که حاصلضرب دو  $\sin$  باید با منهای حاصلضرب  $\sinh$  های متناظر آنها عوض شوند. در مورد هر یک از فرمولهای زیر، فرمول نظیر آن را با به کار گرفتن قانون اُسبِرِن بنویسید و بعد این فرمولها را با کمک اصول اولیه ثابت کنید:

$$\sin^2 A + \cos^2 A = 1 \quad \text{(الف)}$$

$$\sin(A - B) = \sin A \cos B - \cos A \sin B \quad \text{(ب)}$$

$$\cos(A + B) = \cos A \cos B - \sin A \sin B \quad \text{(ج)}$$

با توجه به فرمولهای

$$\cos iz = \cosh z, \quad \sin z = i \sinh z$$

درباره پایه و اساس قانون اُسبِرِن اظهار نظر کنید.



۹. ثابت کنید که مزدوج مختلط  $\cos z$  عبارت است از  $\cos \bar{z}$  و برای  $\sin z$  عبارت است از  $\sin \bar{z}$ . رابطه های زیر را ثابت کنید:

$$|\sin z|^2 = \frac{1}{4}(\cosh^2 y - \cos^2 x) = \sinh^2 x + \sin^2 x = \cosh^2 y - \cos^2 x$$

$$|\cos z|^2 = \frac{1}{4}(\cosh^2 y - \cos^2 x) = \sinh^2 y + \cos^2 x = \cosh^2 y - \sin^2 x$$

۱۰. نشان دهید که  $|\cos z|^2 + |\sin z|^2 = 1$  اگر و فقط اگر  $z$  حقیقی باشد؛ نیز ثابت کنید  $\cos z$  بر  $C$  نامحدود (بیکران) است (یعنی  $k$  ای وجود ندارد به قسمی که  $|\cos z| < k$ ).

۱۱. فرمولهایی برای قسمت‌های حقیقی و موهومی مربوط به موارد زیر استخراج کنید و نشان دهید که در معادلات کوشی-ریمان صدق می کنند:

$\sin z$  (الف)

$\cos z$  (ب)

$\exp z$  (ج)

$\sinh z$  (د)

$\cosh z$  (ه)

۱۲. فرمولهایی که برای قسمت‌های حقیقی و موهومی مربوط به موارد زیر استخراج و دامنه ای را که بر آن معین هستند مشخص کنید و نشان دهید که در معادلات کوشی-ریمان صدق می کنند.

$\tan z$  (الف)

$\tanh z$  (ب)

$\operatorname{cosec} z$  (ج)

$\operatorname{cosech} z$  (د)

$\cot z$  (ه)

$\operatorname{coth} z$  (و)

۱۳. عبارت  $\tanh(x + iy)$  را به صورت قسمت حقیقی و موهومی بنویسید و نشان دهید که اگر  $\tanh(x + iy)$  حقیقی باشد. خواهیم داشت  $y = n\pi/2$ .
۱۴. مطلوب است تعیین مجموعه های نقاطی که بر آنها تابعهای  $\cos, \exp, \tanh, \sinh, \cosh, \tan, \sin$

(الف) مقادیر حقیقی هستند

(ب) فقط مقادیر موهومی هستند.

۱۵. قسمتهای حقیقی و موهومی از

$$1 + z + z^2 + \dots + z^n = (1 - z^{n+1}) / (1 - z)$$

را در نظر گرفته سپس مجموعها زیر را بیابید:

$$1 + \cos x + \cos 2x + \dots + \cos nx, \quad (\text{الف})$$

$$\sin x + \sin 2x + \dots + \sin nx, \quad (\text{ب})$$

$$\cos x + \cos 3x + \dots + \cos(2n - 1)x, \quad (\text{ج})$$

$$\sin x + \sin 3x + \dots + \sin(2n - 1)x, \quad (\text{د})$$

$$\sin x - \sin 2x + \dots + (-1)^{n-1} \sin nx, \quad (\text{ه})$$

$$\cos \theta + \cos(\theta + \phi) + \dots + \cos(\theta + n\phi), \quad (\text{و})$$

$$\sin \theta + \sin(\theta + \phi) + \dots + \sin(\theta + n\phi), \quad (\text{ز})$$

۱۶. اگر  $z(t) = x(t) + iy(t)$  یک جواب معادله

$$\frac{d^2 z}{dt^2} + \lambda z = k e^{i\omega t} \quad (\lambda, k, \omega \in \mathbb{R}) \quad (1)$$

باشد، ثابت کنید که در این صورت  $x = x(t) = \text{re}(z(t))$  یک جواب معادله

$$\frac{d^2 x}{dt^2} + \lambda x = k \cdot \cos t \quad (2)$$

است.

با در نظر گرفتن جوابهای معادله (۱) به صورت  $z = ke^{i\omega t}$ ، جوابی از (۲) را تعیین کنید.

اگر  $k$  مختلط باشد، مثلاً  $k = k_1 e^{i\varepsilon}$ ،  $(k_1, \varepsilon \in \mathbb{R})$ ، و  $\omega, \lambda$  حقیقی باشند، قسمت حقیقی معادله (۱) را بنویسید تا حاصل شود:

$$\frac{d^2 x}{dt^2} + \lambda x = k_1 \cos(\omega t + \lambda). \quad (3)$$

ثابت کنید که جوابی از معادله (۳) را می توان اختیار کرد که به صورت زیر باشد:

$$x(t) = k_1 \cos(\omega t + \varepsilon) / (\lambda - \omega^2).$$

۱۷. با در نظر گرفتن حاصل جمع تصاعد هندسی

$$1 + z + z^2 + \dots + z^n = (1 - z^{n+1}) / (1 - z),$$

مطلوب است تعیین  $A_n(x)$  به قسمی که

$$1/(1+x^2) = 1 - x^2 + x^4 - \dots + (-1)^n x^{2n} + A_n(x)$$

ثابت کنید که مشتق  $\tan^{-1} x$  عبارت است از  $1/(1+x^2)$  که

$\tan^{-1}: \mathbb{R} \rightarrow (-\pi/2, \pi/2)$  عبارت است از تابع معکوس تابع

$\tan: (-\pi/2, \pi/2) \rightarrow \mathbb{R}$ . به این ترتیب نتیجه بگیرید که

$$\tan^{-1} t = \int_0^t 1/(1+x^2) dx = t - t^3/3 + t^5/5 - \dots + \int_0^t A_n(x) dx$$

با تقریب زدن اندازه آخرین انتگرال، نشان دهید که سری توانی

$$t - t^3/3 + t^5/5 - \dots$$

با شرط  $|t| \leq 1$  به  $\tan^{-1} t$  همگرا است.

و بالاخره سری گری گوری را نتیجه بگیرید:

$$\frac{\pi}{4} = 1 - \frac{1}{3} + \frac{1}{5} - \frac{1}{7} + \dots$$

۱۸. همگرایی سری گری گوری بسیار بطئی است. روشهای بهتر برای محاسبه  $\pi$  را شاید بتوان به وسیله اتحادهای زیر ارائه داد:

$$\frac{\pi}{4} = \tan^{-1} \frac{1}{2} + \tan^{-1} \frac{1}{3}, \quad (1)$$

$$\frac{\pi}{4} = 4 \tan^{-1} \frac{1}{5} + \tan^{-1} \frac{1}{239}, \quad (2)$$

با به کار بردن فرمول جمع برای  $\tan$  اتحادهای (۱)، (۲) را ثابت کنید. اتحاد (۲) را برای محاسبه  $\pi$  تا ۵ رقم اعشار به کار بگیرید. (برای این کار لازم است که یک جمله از بسط  $\tan^{-1}(1/239)$  و پنج جمله از بسط  $\tan^{-1}(1/5)$  محاسبه شود.)

## فصل ششم

### انتگرال گیری

قسمت بعدی از طرح مفصل ما تعریف انتگرالگیری به صورتی مشابه حالت حقیقی، و برقراری رابطه معکوس بین مشتق گیری و انتگرالگیری است.

تابع مختلطی چون  $f: D \rightarrow C$  با دامنه  $D$  در نظر گرفته فرض می کنیم  $z, z_1 \in D$ . انتگرال حقیقی  $\int_a^b f(t) dt$  را نمی توان بی درنگ به انتگرال مختلط

$\int_{z_1}^{z_2} f(z) dz$  تعمیم داد زیرا باید مشخص کنیم که چگونه از  $z_1$  به  $z_2$  می رویم. برای این کار به انتخاب مسیری چون  $\gamma$  بین  $z_1$  و  $z_2$  می پردازیم. از این قرار نمادی مناسب برای انتگرال  $f$  در طول  $\gamma$  عبارت است از  $\int_{\gamma} f(z) dz$ ، یا به صورتی خلاصه  $\int_{\gamma} f$ .

برای تعریف  $\int_{\gamma} f$  دو راه وجود دارد. راه نخست بنا نهادن نظریه حاصل جمعهای مختلط ریمان با تقلید از حالت حقیقی است؛ این کار را در بخش ۱ و ۲ انجام خواهیم داد و از آن به نتیجه زیر می رسیم:

$$\int_{\gamma} f = \int_a^b f(\gamma(t)) \gamma'(t) dt \quad (1)$$

به شرط آنکه  $\gamma: [a, b] \rightarrow D$  یک مشتق پیوسته  $\gamma'$  داشته باشد. در بخش ۳ طول  $L$  چنین مسیری به وسیله زیر محاسبه می شود:

$$L = \int_a^b |\gamma'(t)| dt \quad (2)$$

همین معادلات ما را به دومین راه ممکنه هدایت می کنند، در این حال فرض بر این است که خواننده با انتگرال گیری در حالت حقیقی آشنا است. چرا (۱) و (۲) را برای تعریف  $L = \int_{\gamma} f$  به کار نبریم؟ ممکن است انتگرال  $f(\gamma(t))\gamma'(t)$  در (۱) مختلط باشد، در این حال اگر آن را به صورت  $U(t) + iV(t)$  بنویسیم آنگاه  $\int_{\gamma} f$  را می توان از دو انتگرال حقیقی به دست آورد:

$$\int_{\gamma} f = \int_a^b U(t) dt + i \int_a^b V(t) dt$$

این روش را در بخش ۴ به عنوان یکی از حالتها می پذیریم، و به این ترتیب می توان بخش ۳-۱ را حذف کرد. راههای میان بری از این قبیل، در جای خود ارزشمند است، بدین معنی که در همین فصل دو برهان به شیوه ای که جنبه ی تکنیکی آن قدری بیشتر از جنبه شهودی آن باشد، باید ارائه گردد. اما چنین بهائی چندان گزاف نیست زیرا به خواننده امکان انتخابی موثق می دهد: به طور کامل با نظریه انتگرال گیری مختلط ریمان کار کند و مشابهت کامل آن را با حالت حقیقی دریابد، یا سه بخش بعدی را فرعی محسوب داشته از بخش ۴ شروع کند.

### ۱. حالت حقیقی

برای خواننده ای که می خواهد کارش را بر مقایسه بین انتگرال مختلط و حقیقی بنا نهد، به یارآوری حالت حقیقی می پردازیم. انتگرال ریمان  $\int_a^b \phi(t) dt$  از تابع حقیقی  $\phi: [a, b] \rightarrow \mathbb{R}$  در چند مرحله تعریف می شود. ابتدا افرازی چون  $P$  از  $[a, b]$ ، که با  $a = t_0 < t_1 < \dots < t_n = b$  مشخص می شود، اختیار می کنیم و در هر زیر بازه، نقاط  $s_r$  را چنان انتخاب می کنیم که  $t_{r-1} \leq s_r \leq t_r$  بشود. آنگاه حاصل جمع زیر را می سازیم

$$S(P, \phi) = \sum_{r=1}^n \phi(s_r)(t_r - t_{r-1})$$

نقاط  $t, \dots, t_m$  را نقاط تقسیم  $P$  می نامند و افراز دیگری چون  $Q$  را ظریف تر از  $P$  می نامند به شرط آنکه همه نقاط تقسیم  $P$  در  $Q$  باشند. نتیجه زیر در آنالیز حقیقی مشهود است؛ آن را بدون استدلال بیان می کنیم.

لم ۶-۱. فرض می کنیم  $\phi: [a, b] \rightarrow \mathbb{R}$  پیوسته باشد. در این صورت یک عدد حقیقی  $A$  موجود است به قسمی که به ازاء هر  $\varepsilon > 0$  یک افراز  $P_\varepsilon$  از  $[a, b]$  وجود دارد به قسمی که به ازاء هر افراز  $P$  که از  $P_\varepsilon$  ظریفتر است داریم:

$$|S(P, \phi) - A| < \varepsilon.$$

عدد حقیقی  $A$  را به صورت  $\int_a^b \phi(t) dt$  نشان می دهند.

محاسبه عملی  $\int_a^b \phi(t) dt$  معمولاً با ضد مشتق گیری انجام می شود، آنهم با به کار گرفتن:

لم ۶-۲. (قضیه اساسی حساب دیفرانسیل و انتگرال)  
 (الف) اگر  $\phi$  بر  $[a, b]$  پیوسته باشد و  $F' = \phi$ ، آنگاه

$$\int_a^b \phi(t) dt = F(b) - F(a)$$

(ب) اگر  $I(x) = \int_a^x \phi(t) dt$ ،  $(a \leq x \leq b)$ ، آنگاه  $I'(x) = \phi$

(فراموش نشود که در قسمت (ب) پیوسته بودن  $\phi$  بر  $[a, b]$  لازم است.)

مثال. برای محاسبه  $\int_a^b t^5 dt$ ، نیازی نداریم که حاصل جمعهای  $S(P, \phi)$  را، که در آنها  $\phi(t) = t^5$ ، حساب کنیم. چون  $F(t) = \frac{1}{6} t^6$  در  $F' = \phi$  صدق می کند. از لم ۶-۲ قسمت (i) بی درنگ نتیجه می شود

$$\int_a^b t^5 dt = \frac{1}{6} b^6 - \frac{1}{6} a^6$$

عموماً برای محاسبه  $\int_a^b \phi(t) dt$  به دنبال ضد مشتق  $F$  از  $\phi$  می گردیم و پس از یافتن آن از لم (i) ۶-۲ استفاده می کنیم.

قبل از پرداختن به حالت مختلط، در نظر گرفتن یک تعمیم جزئی مفید خواهد بود: منظور ما انتگرال ریمان - استیلیس  $\int_a^b \phi(t) d\theta$  است. که در آن  $\theta$  یک تابع حقیقی است ( $\phi$ ) اولین و  $\theta$  دومین تابع حقیقی در این بحث است). اینجا، مطابق مطالب مذکور در فوق، با معلوم بودن یک افراز  $P$  از  $[a, b]$ ، مجموع زیر را می سازیم:

$$S(P, \phi, \theta) = \sum_{r=1}^n \phi(s_r)(\theta(t_r) - \theta(t_{r-1}))$$

تعمیمی هم برای لم ۶-۱ در آنالیز حقیقی داریم:

لم ۶-۳. فرض کنیم  $\phi$ ،  $\theta$  تابعهایی حقیقی تعریف شده (معین شده) بر  $[a, b]$  باشند به قسمی که  $\phi$  پیوسته و  $\theta$  دارای مشتق پیوسته  $\theta'$  باشد. در این صورت

عدد حقیقی  $B = \int_a^b \phi(t) \theta'(t) dt$  در شرط زیر صدق می کند:

با  $\varepsilon > 0$  معلوم، یک افراز  $P_\varepsilon$  وجود دارد به قسمی که برای هر افراز  $P$  که ظریفتر از  $P_\varepsilon$  است داریم:

$$|S(P, \phi, \theta - B| < \varepsilon \quad \square$$

در لم ۶-۳ حد حاصل جمع  $s(p, \phi, \theta)$  نیز با  $\int_a^b \phi(t) d\theta$  نشان داده می شود. آنچه که لم ۶-۳ به ما می گوید این است که (برای  $\theta$  ی مشتق پذیر) انتگرال ریمان - استیلیس  $\int_a^b \phi(t) d\theta$  مساوی است با انتگرال ریمان  $\int_a^b \phi(t) \theta'(t) dt$ .

شرایط این لم وجود و پیوستگی انتگرال  $\phi(t) \theta'(t)$  را تضمین می کند. البته انتگرال ریمان - استیلیس (و انتگرال ریمان) تحت شرایط خیلی کلی تر از آنچه برای  $\phi$  و  $\theta$  ذکر کردیم وجود دارند، اما آنچه در لم ۶-۳ ذکر شد همه آنچه را که برای تعمیم مورد نظر ما به حالت مختلط لازم است بیان می کند.

## ۲. انتگرالگیری مختلط در طول یک مسیر هموار

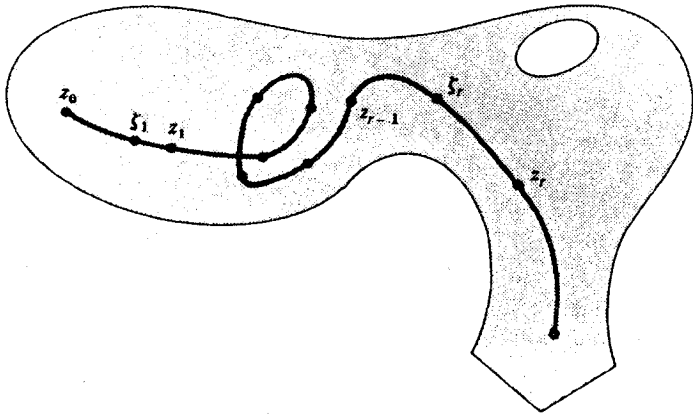
انتگرال ریمان تابع مختلط  $f$  در مقام مقایسه و مشابهت با حد حاصل جمع

$\sum \phi(s_r)(t_r - t_{r-1})$  می شود. به طور ساده  $\sum f(\xi_r)(z_r - z_{r-1})$  را که در آن



$z_R, \xi_R$  مختلط هستند در نظر می گیریم.  $z_R, \xi_R$  را در طول یک مسیر  $\gamma$  واقع در دامنه  $f$  مطابق شکل ۱-۶ در نظر می گیریم. با توجه به این منظورها فرض می کنیم که (الف)  $f : D \rightarrow C$  پیوسته است،

(ب)  $\gamma : [a, b] \rightarrow D$  یک مسیر است به قسمی که  $\gamma'$  وجود دارد و در سراسر  $[a, b]$  پیوسته است. (این بدان معنی است که اگر  $\gamma(t) = x(t) + iy(t)$ ، آنگاه  $y', x'$  در  $[a, b]$ ، به انضمام نقاط انتهایی، پیوسته اند.)



(شکل ۱-۶)

مسیری که در شرط (ب) صدق کند هموار نامیده می شود. به ازاء هر افراز  $P$  که با  $a = t_0 < t_1 < \dots < t_n = b$  و  $t_{r-1} \leq s_r \leq t_r$  مشخص می شود حاصل جمع

$$S(P, f, \gamma) = \sum_{r=1}^n f(\gamma(s_r)) (\gamma(t_r) - \gamma(t_{r-1}))$$

را تشکیل می دهیم. با فرض  $z_r = \gamma(t_r)$ ،  $\xi_r = \gamma(s_r)$ ، حاصل جمع ریمان - استیلیس چنین می شود:

$$S(P, f, \gamma) = \sum_{r=1}^n f(\xi_r) (z_r - z_{r-1})$$

که شباهت مستقیم با حالت حقیقی را نشان می دهد.  
 انتگرال  $f$  در طول  $\gamma$  را عدد مختلط  $K$  تعریف می کنیم به طوری که  $K$  در شرط زیر  
 صدق کند:

با معلوم بودن  $\varepsilon > 0$ ، یک افراز  $P_\varepsilon$  وجود دارد به قسمی که به ازاء هر افراز ظریفتر  
 $P$

$$|S(P, f, \gamma) - K| < \varepsilon$$

اینک تعریف می کنیم

$$\int_{\gamma} f(z) dz = K$$

و آن را به صورت اختصاری  $\int_{\gamma} f$  می نویسیم.  
 درست مثل حالت حقیقی، به ندرت به محاسبه انتگرال با این روش جمع بندی  
 می پردازیم. یک روش این است که آن را به دو انتگرال حقیقی تبدیل کنیم به این  
 ترتیب که تابع مختلط مفروض با یک متغیر حقیقی را که مثلاً به صورت  
 $C \rightarrow [a, b]$  است چنین بنویسیم:

$$\psi(t) = U(t) + iV(t) \quad (a \leq t \leq b)$$

که بر این اساس می توانیم چنین تعریف کنیم:

$$\int_a^b \psi(t) dt = \int_a^b U(t) dt + i \int_a^b V(t) dt$$

با چنین قراردادی نوع مختلطی از لم ۶-۳ به دست می آوریم:  
 قضیه ۶-۴. اگر  $f$  تابع مختلط پیوسته ای باشد که بر دامنه  $D$  و مسیر هموار  
 $D \rightarrow [a, b]$  تعریف شده باشد. آنگاه

$$\int_{\gamma} f = \int_a^b f(\gamma(t)) \gamma'(t) dt$$

برهان. فرض کنیم  $a \leq t \leq b$ ،  $\gamma(t) = x(t) + iy(t)$  و  $f(z) = u(x, y) + iv(x, y)$ ،  
 $(z = x + iy \in D)$ . اگر  $(u(x(t), y(t)), v(x(t), y(t)))$ ،  $y'(t), x'(t)$  را به

اختصار با  $u, v, x', y'$  نشان می‌دهیم، در این صورت از قرار داد ما در مورد انتگرالهای مختلط حاصل می‌شود:

$$\begin{aligned} \int_a^b f(\gamma(t))\gamma'(t)dt &= \int_a^b (u + iv)(x' + iy')dt \\ &= \int_a^b (ux' - vy' + i(ux' + vy'))dt \\ &= \int_a^b ux'dt - \int_a^b vy'dt + i \int_a^b ux'dt + i \int_a^b vy'dt \end{aligned}$$

اگر  $f(\gamma(s_r))$  را به صورت  $u_r + iv_r$ ،  $\gamma(t_r)$  را به صورت  $x_r + iy_r$  بنویسیم، آنگاه

$$\begin{aligned} S(P, f, \gamma) &= \sum_{r=1}^n (u_r + iv_r) [(x_r + iy_r) - (x_{r-1} + iy_{r-1})] \\ &= \sum v_r (x_r - x_{r-1}) - \sum v_r (y_r - y_{r-1}) + i \sum u_r (x_r - x_{r-1}) \\ &\quad + i \sum v_r (y_r - y_{r-1}) \end{aligned}$$

اکنون آن چهار انتگرال را با این چهار مجموع دو به دو مقایسه کرده و لم ۵-۳ را به کار می‌گیریم. به عنوان مثال،

$$\sum u_r (x_r - x_{r-1}) = \sum_{r=1}^n u(x(s_r), y(s_r))(x(t_r) - x(t_{r-1}))$$

که در آن  $\phi(t) = u(x(t), y(t))$ ،  $x'(t)$  هر دو بر  $[a, b]$  پیوسته‌اند. از این قرار با  $\varepsilon > 0$  معلوم، یک افراز  $P(\varepsilon)$  وجود دارد به قسمی که از هر افراز  $P$  که ظریفتر از  $P(\varepsilon)$  باشد نتیجه می‌شود:

$$\left| \sum u_r (x_r - x_{r-1}) - \int_a^b ux'dt \right| < \varepsilon/4$$

به این ترتیب افرازهای  $P_1(\epsilon), P_2(\epsilon), P_3(\epsilon), P_4(\epsilon)$  را به دست می آوریم به قسمی که از افرازهای ظریفتر از آنها نامساویهایی که نظیر زوجهای متناظر از انتگرالها و مجموعها هستند حاصل می شود. چنانچه  $P_\epsilon$  افرازی باشد که همه نقاط تقسیم  $P_1(\epsilon), P_2(\epsilon), P_3(\epsilon), P_4(\epsilon)$  را دارا باشد، و  $P$  ظریفتر از  $P_\epsilon$  فرض شود، در این حال هر چهار نامساوی برقرارند و خواهیم داشت:

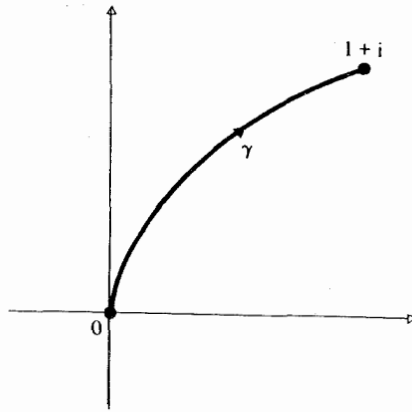
$$\left| S(P, f, \gamma) - \int_a^b f(\gamma(t)) \gamma'(t) dt \right| < \frac{1}{4}\epsilon + \frac{1}{4}\epsilon + \frac{1}{4}\epsilon + \frac{1}{4}\epsilon < \epsilon$$

نتیجه این که

$$\int_\gamma f = \int_a^b f(\gamma(t)) \gamma'(t) dt$$

مثال.  $f(z) = z^2, \gamma(t) = t^2 + it, (0 \leq t \leq 1)$ . (شکل ۶-۲)

$$\begin{aligned} \int_\gamma f &= \int_0^1 (\gamma(t)) \gamma'(t) dt \\ &= \int_0^1 (t^2 + it)^2 (2t + i) dt \\ &= \int_0^1 (t^4 + 2it^3 - t^2)(2t + i) dt \\ &= \int_0^1 (2t^5 + 4t^3) dt + i \int_0^1 (2t^4 - t^2) dt \\ &= \left[ \frac{2}{6} t^6 - t^4 \right]_0^1 + i \left[ \frac{2}{5} t^5 - \frac{1}{3} t^3 \right]_0^1 \\ &= -\frac{2}{3} + \frac{2}{5} i \end{aligned}$$



شکل ۶-۲

### ۳. طول یک مسیر هموار

در مورد مسیر دلخواه  $\gamma: [a, b] \rightarrow C$ ، می توان یک تقسیم بندی  $P$  از  $[a, b]$  را که با  $a = t_0 < t_1 < \dots < t_n = b$  مشخص می شود اختیار کنیم و به محاسبه طول

$$L(\pi) = \sum_{r=1}^n |\gamma(t_r) - \gamma(t_{r-1})|$$

از چند ضلعی  $\pi$  که تقریب زننده (برآورد کننده) طول  $\gamma$  است می پردازیم. رؤوس این چند ضلعی عبارتند از  $\gamma(t_0), \dots, \gamma(t_{r-1}), \gamma(t_r), \dots, \gamma(t_n)$ . (شکل ۶-۳) طول  $L(\gamma)$  از  $\gamma$  به عنوان سوپریمم (کوچکترین کران بالا) از طولهای  $L(\pi)$  از همه چند ضلعی های تقریب کننده تعریف می کنیم. طول یک مسیر دلخواه لزومی ندارد که متناهی باشد.



(شکل ۶-۳)

مثال ۱:  $\gamma(t)$  را چنین تعریف می کنیم که  $m_n$  وسط

$[\frac{1}{n}, \frac{1}{n+1}]$  باشد (و بنابراین

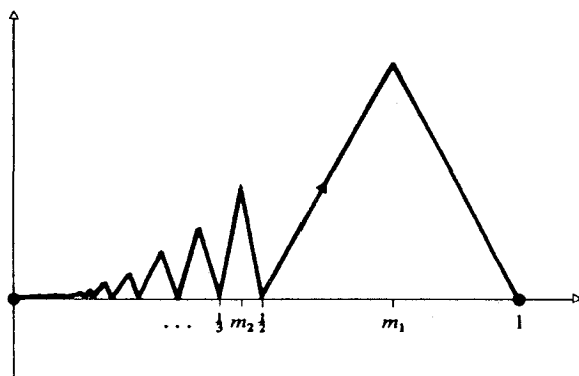
$$m_n = \frac{1}{2} \left( \frac{1}{n+1} + \frac{1}{n} \right) = \frac{(n+1)}{2n(n+1)}$$

و نمودار  $y = \lambda(t)$  را در بازه  $[\frac{1}{n}, \frac{1}{n+1}]$  رسم می کنیم که به صورت دو قطعه خط راست از  $(\frac{1}{n+1}, 0)$  تا  $(m_n, \frac{1}{n})$  و سپس به سوی پایین تا  $(\frac{1}{n}, 0)$  تعریف می کنیم:

$$\gamma(t) = \begin{cases} t + i\lambda(t) & (0 < t \leq 1) \\ \cdot & (t = 0) \end{cases}$$

نمودار  $\gamma$  در شکل ۴-۶ ترسیم شده است. طول این نمودار از  $t = \frac{1}{n+1}$  تا  $t = \frac{1}{n}$  بالغ بر  $\frac{2}{n}$  است. فرض کنیم که  $P$  افراز  $1 > m_1 > \frac{1}{2} > \dots > \frac{1}{n} > m_n > \frac{1}{n+1} > 0$  باشد، آنگاه طول این مسیر چند ضلعی بالغ است بر:

$$\left(\frac{2}{n}\right) + \left(\frac{2}{n-1}\right) + \dots + \left(\frac{2}{1}\right) = 2\left(1 + \frac{1}{2} + \dots + \frac{1}{n}\right)$$



(شکل ۴-۶)

چون سمت راست تساوی فوق دو برابر سری هارمونیک است، با افزایش  $n$  بدون حد متناهی افزایش می یابد، و بنابراین  $L(\gamma)$  نامتناهی است.

مثال ۲. یک «مسیر نسبتاً هموار» آنچنان که در شکل ۵-۶ مشاهده می شود عبارت است از:

$$\gamma(t) = \begin{cases} t + it \sin(\pi/t) & (0 < t \leq 1) \\ 0 & (t = 0) \end{cases}$$

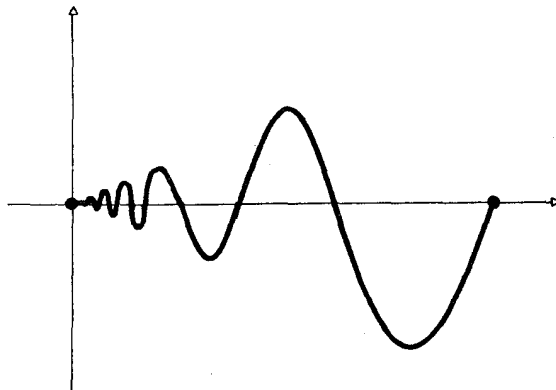
محاسبه نشان می دهد که گرچه

$$\gamma'(t) = 1 + i(\sin(\pi/t) + t \cos(\pi/t)(-\pi/t^2))$$

در  $0 < t \leq 1$  پیوسته است، اما حد

$$\frac{\gamma(t) - \gamma(0)}{t} = 1 + i \sin(\pi/t)$$

هنگامی که  $t$  به  $0$  میل کند وجود ندارد پس  $\gamma'$  در  $[0, 1]$  پیوسته نیست و بنابراین در  $[0, 1]$  هموار نیست (گرچه در هر زیر بازه  $[k, 1]$ ،  $0 < k < 1$ ، هموار است).



شکل ۵-۶

فرض کنیم که  $P_n$  افراز

$$0 < 1/n < 1/\left(n - \frac{1}{2}\right) < 1/(n-1) < \dots < 1/2 < 1/\frac{1}{2} < 1$$

باشد. چون

$$\gamma(1/n) = 1/n + (i/n) \sin \pi n = 1/n$$

و

$$\begin{aligned} \gamma\left(1/\left(n - \frac{1}{2}\right)\right) &= 1/\left(n - \frac{1}{2}\right) + i \frac{\sin\left(n - \frac{1}{2}\right)\pi}{n - \frac{1}{2}} \\ &= 1/\left(n - \frac{1}{2}\right) + i(-1)^{n-1}/\left(n - \frac{1}{2}\right), \end{aligned}$$

فاصله  $\gamma(1/n)$  تا  $\gamma\left(1/\left(n - \frac{1}{2}\right)\right)$  متجاوز از  $1/(n - \frac{1}{2})$  است که آن هم متجاوز از  $1/n$  است.

فقط به محاسبه طولهای قطعات متناوب از چند ضلعی تقریب زنده  $\gamma_n$  که به وسیله  $P_n$  معین می شود نیاز داریم تا معلوم شود که

$$L(\gamma_n) > 1/n + 1/(n-1) + \dots + 1$$

که باز بدون حد افزایش می یابد.

اگر مسیری هموار باشد، طول آن متناهی خواهد بود و با کمک یک انتگرال قابل محاسبه است:

**گزاره ۶-۵.** طول یک مسیر هموار  $\gamma: [a, b] \rightarrow C$  از دستور زیر محاسبه می شود:

$$L(\gamma) = \int_a^b |\gamma'(t)| dt$$



قبل از اینکه این نتیجه را ثابت کنیم، ابتدا متذکر می شویم که انتگرال  $|\gamma'(t)|$  بر  $[a, b]$  پیوسته است، بنابراین انتگرال حقیقی

$$L = \int_a^b |\gamma'(t)| dt$$

مطمئناً وجود دارد. باید ثابت کنیم که  $L$  سوپریم طولهای  $L(\pi)$  از چند ضلعی های  $\pi$  تقریب زنده هستند. اما  $L$  را می توان به وسیله حاصل جمعهای

$$S(P, \phi) = \sum_{r=1}^n |\gamma'(s_r)| (t_r - t_{r-1})$$

به دقت تقریب زد (برآورد کرد)، طوری که  $P$  افراز  $a = t_0 < t_1 < \dots < t_n = b$  است،  $t_{r-1} \leq s_r \leq t_r$ ، و  $\phi(t) = |\gamma'(t)|$ ، برهان گزاره ۵-۶. به وسیله لم زیر بسیار آسان می شود.

لم ۶-۶. با نمادهای پیشین و معلوم بودن  $\varepsilon > 0$ ، یک افراز  $Q_\varepsilon$  وجود دارد؛ به قسمی که به ازاء هر افراز  $P$  که از  $Q_\varepsilon$  ظریفتر باشد، طول  $L(\pi)$  مربوط به چند ضلعی  $\pi$  تقریب زنده که نظیر افراز  $P$  است در

$$|S(P, \phi) - L(\pi)| < \varepsilon$$

صدق می کند.

برهان. طبق تعریف،

$$S(P, \phi) = \sum_{r=1}^n |\gamma'(s_r)| (t_r - t_{r-1})$$

و

$$L(\pi) = \sum_{r=1}^n |\gamma(t_r) - \gamma(t_{r-1})|$$

با نوشتن  $\gamma(t) = x(t) + iy(t)$ ، و استفاده از قضیه مقدار میانگین در آنالیز حقیقی

به ازاء  $\sigma_r$  ی در  $t_r < \sigma_r < t_{r-1}$  داریم

$$x(t_r) - x(t_{r-1}) = x'(\sigma_r)(t_r - t_{r-1})$$

به ازاء  $\tau_r$  ی در  $t_r < \tau_r < t_{r-1}$  داریم

$$y(t_r) - y(t_{r-1}) = y'(\tau_r)(t_r - t_{r-1})$$

بنابراین

$$\gamma(t_r) - \gamma(t_{r-1}) = (x'(\sigma_r) + iy'(\tau_r))(t_r - t_{r-1})$$

اما  $y', x'$  بر  $[a, b]$  پیوسته اند و (با توجه به آنالیز حقیقی) می دانیم که پیوسته یکنواخت هستند، به این معنی که به ازاء هر  $\varepsilon > 0$ ، یک  $\delta > 0$  وجود دارد به قسمی که

از  $s, t \in [a, b]$  و  $|s - t| < \delta$  نتیجه می شود:

$$|y'(s) - y'(t)| < \varepsilon/2(b-a), \quad |x'(s) - x'(t)| < \varepsilon/2(b-a)$$

اگر  $Q_\varepsilon$  را افزاز دلخواهی اختیار کنیم با این خاصیت که هر زیر بازه  $[t_{r-1}, t_r]$  طولی کوچکتر از  $\delta$  داشته باشد، آنگاه هر افزاز  $P$  ظریفتر از  $Q_\varepsilon$  نیز همین خاصیت را دارد. از آن جهت که  $s_r, \sigma_r, \tau_r \in [t_{r-1}, t_r]$ ، پس هر یک از آنها به فاصله ای کوچکتر از  $\delta$  از دیگری است، بنابراین

$$\begin{aligned} & \left\| \gamma'(s_r)(t_r - t_{r-1}) - [\gamma(t_r) - \gamma(t_{r-1})] \right\| \\ &= \left\| \gamma'(s_r) - [x'(\sigma_r) + iy'(\tau_r)] \right\| (t_r - t_{r-1}) \\ &\leq \left\| (x'(s_r) + iy'(s_r)) - (x'(\sigma_r) + iy'(\tau_r)) \right\| (t_r - t_{r-1}) \end{aligned}$$

(از  $\|w\| - \|z\| \leq \|w - z\|$  استفاده کردیم)

$$\begin{aligned} &\leq |x'(s_r) - x'(\sigma_r)| + |y'(s_r) - y'(\tau_r)|(t_r - t_{r-1}) \\ &< (\varepsilon/2(b-a) + \varepsilon/2(b-a))(t_r - t_{r-1}) \\ &= \varepsilon(t_r - t_{r-1})/(b-a) \end{aligned}$$

حاصل آن که

$$\begin{aligned} |S(P, \phi) - L(\pi)| &\leq \sum_{r=1}^n \left| \gamma'(s_r)(t_r - t_{r-1}) - (\gamma(t_r) - \gamma(t_{r-1})) \right| \\ &< \sum_{r=1}^n \frac{\varepsilon}{(b-a)} (t_r - t_{r-1}) \\ &< \varepsilon \end{aligned}$$

بدان گونه که می خواستیم

اکنون آماده ایم برای

**برهان قضیه ۵-۶.** طبق تعریف  $L = \int_a^b \phi(t) dt$  که در آن  $\phi = |\gamma'|$ ، یک افراز  $P_\varepsilon$  وجود دارد به طوری که به ازاء هر افراز دلخواه  $P$  که ظریفتر از  $P_\varepsilon$  است.

$$|S(p, \phi) - L| < \varepsilon \quad (۳)$$

حال با افزودن نقاط تقسیم بیشتر به  $P_\varepsilon$  (آنقدر که لازم باشد) افراز ظریفتر چون  $Q_\varepsilon$  که طول هر زیر بازه آن از  $\delta$  کوچکتر باشد به دست می آوریم، آنگاه در مورد افراز  $P$  که ظریفتر از  $Q_\varepsilon$  است، با کمک لم ۶-۶ می توان نوشت

$$|S(P, \phi) - L(\pi)| < \varepsilon \quad (۴)$$

از مقایسه این رابطه با (۱) حاصل می شود:

$$L - 2\varepsilon < L(\pi) < L + 2\varepsilon \quad (۵)$$

پس به ازاء هر  $k$  مثبت یک چند ضلعی تقریب زنده  $\pi$  می توان یافت به قسمی که

$$L - k < L(\pi) \quad (6)$$

اگر افراز دلخواهی مانند  $Q$  از  $[a, b]$  با چند ضلعی تقریب زنده  $k$  در دست باشد، افزودن رأس های اضافی به  $K$  نقطه طول آن را افزایش می دهد؛ چنانچه  $P$  از  $Q$  ظریفتر باشد، مطابق آنچه گفتیم داریم  $L(k) \leq L(\pi)$ . افراز  $P$  را ظریفتر از  $Q_\varepsilon$  اختیار می کنیم تا (5) برقرار باشد، در این صورت

$$L(K) \leq L(\pi) < L + 2\varepsilon$$

و بنابراین

$$L(K) < L + 2\varepsilon$$

اما  $\varepsilon$  عدد مثبت دلخواهی است، پس برای هر چند ضلعی تقریب زنده  $k$  داریم:

$$L(K) \leq L \quad (7)$$

نامساویهای (6) و (7) نشان می دهند که  $L$  سوپریم طولهای چند ضلعی های تقریب زنده است، و به این ترتیب برهان کامل می شود.

مثال ۱. مسیر استاندارد به صورت خط راست  $\gamma = [z_1, z_2]$

$$\gamma(t) = z_1(1-t) + z_2t \quad (0 \leq t \leq 1)$$

به طول

$$L(\gamma) = \int_0^1 |\gamma'(t)| dt = \int_0^1 |z_2 - z_1| dt = |z_2 - z_1|$$

است و این همان است که انتظار می رفت.

مثال ۲. دایره

$$S(t) = z_0 + re^{it} \quad (0 \leq t \leq 2\pi)$$

با مرکز  $z$ ، شعاع  $r > 0$ ، به طول

$$L(S) = \int_0^{2\pi} |re^{it}| dt = \int_0^{2\pi} r dt = 2\pi r$$

است.

#### ۴. انتگرال گیری مسیری

در این مرحله بعضی از خوانندگان سه بخش قبلی را خوانده و بعضی نخوانده اند. برای آنها که نخوانده اند مسیر  $\gamma: [a, b] \rightarrow C$  را یک مسیر هموار تعریف می کنیم به شرط آنکه  $\gamma'$  وجود داشته باشد و در بازه بسته  $[a, b]$  پیوسته باشد. انتگرال تابع پیوسته  $f: D \rightarrow C$  در طول مسیر هموار  $\gamma$  در دامنه  $D$  چنین تعریف می شود:

$$\int_{\gamma} f = \int_a^b f(\gamma(t))\gamma'(t) dt$$

نیز طول  $\gamma$  چنین تعریف می شود:

$$L(\gamma) = \int_a^b |\gamma'(t)| dt$$

توجه کنید که انتگرالهای  $f(\gamma(t))\gamma'(t)$ ،  $|\gamma'(t)|$  هر دو پیوسته اند. دومی حقیقی است؛ اولی را می توان به صورت قسمتهای حقیقی و موهومی  $U(t) + iV(t)$  نوشت و  $\int_{\gamma} f$  با استفاده از دو انتگرال حقیقی محاسبه می شود:

$$\int_{\gamma} f = \int_a^b U(t) dt + i \int_a^b V(t) dt$$

چون همه انتگرالهایی که در کار هستند پیوسته اند، پس انتگرالهای حقیقی مورد نظر همگی وجود دارند.

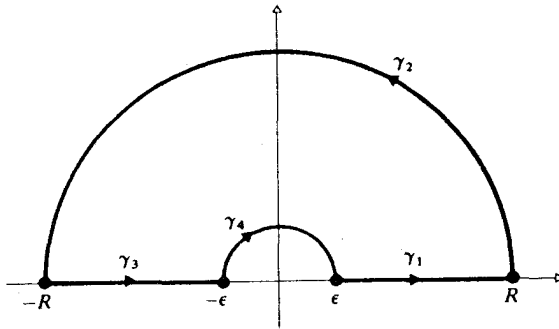
اکنون برای همه خوانندگان به تعمیم همین انتگرالها بر مسیرهای متشکل

از تعدادی متناهی از قطعات همواری می‌پردازیم.  
 با به کار گرفتن علامت گذاری ۴-۲، یک کانتور (تراز) را چنین تعریف  
 می‌کنیم:

$$\gamma = \gamma_1 + \dots + \gamma_n$$

که در آن مسیره‌های همواری هستند به صورتی که نقطه پایانی  $\gamma_r$  به نقطه  
 آغازی  $\gamma_{r+1}$  منطبق است و  $r = 1, \dots, n-1$ .

**مثال:** اگر  $\gamma_1(t) = t$  ( $\epsilon \leq t \leq R$ )،  $\gamma_2(t) = \cos t + i \sin t$  ( $0 \leq t \leq \pi$ )،  
 $\gamma_3(t) = -\cos t + i \sin t$  ( $0 \leq t \leq \pi$ )،  $\gamma_4(t) = t + (-R \leq t \leq -\epsilon)$ ،  
 آن‌گاه  $\gamma = \gamma_1 + \gamma_2 + \gamma_3 + \gamma_4$  همان کانتور (بسته) در شکل ۶-۶ است.



شکل ۶-۶

با در دست داشتن تابع پیوسته  $f : D \rightarrow C$  و یک کانتور  $\gamma = \gamma_1 + \dots + \gamma_n$   
 در دامنه  $D$ ، تعریف می‌کنیم:

$$\int_{\gamma} f = \int_{\gamma_1} f + \dots + \int_{\gamma_n} f,$$

و

$$L(\gamma) = L(\gamma_1) + \dots + L(\gamma_n)$$

واضح است که اگر مسیر هموار  $\sigma$  به صورت  $\sigma = \sigma_1 + \sigma_2$  تقسیم بندی شود، خواهیم داشت:

$$\int_{\sigma} f = \int_{\sigma_1} f + \int_{\sigma_2} f,$$

و بنابراین تقسیم بندی بیشتر کانتورهای  $\sigma_1, \dots, \sigma_n$  در تعریفهای فوق در مقدار انتگرالها تأثیری ندارد. بنابراین انتگرالهای کانتور خوش تعریف هستند. مشابه حالت حقیقی خواص استاندارد زیر برقرارند:

$$\int_{\gamma_1 + \gamma_2} f = \int_{\gamma_1} f + \int_{\gamma_2} f \quad (8)$$

$$\int_{\gamma} (f_1 + f_2) = \int_{\gamma} f_1 + \int_{\gamma} f_2 \quad (9)$$

$$\int_{\gamma} cf = c \int_{\gamma} f \quad (c \in \mathbb{C} \text{ به ازاء } c) \quad (10)$$

شماره (8) به سادگی از تعریفها نتیجه می شود. استدلالهای مربوط به (9) و (10) بستگی دارد به اینکه خواننده بخشهای 3-1 را خوانده باشد یا نه. از بخش 2 داریم:

$$S(P, f_1 + f_2, \gamma) = S(P, f_1, \gamma) + S(P, f_2, \gamma),$$

$$S(P, cf, \gamma) = cS(P, f, \gamma)$$

هر چه باشد افزاز  $P$ ، که با کمک آنها (9) و (10) به آسانی نتیجه می شوند. خواننده ای که بخش مذکور را نادیده بگیرد می تواند استدلال خود را بر مبنای خواص شناخته شده ای از آنالیز حقیقی به ترتیب زیر قرار دهد. بدو توجه کنید که کافی است روابط فوق را در مورد یک مسیر هموار ثابت کنیم. در مورد فرمول (9) می توان نوشت:

$$\int_{\gamma} (f_1 + f_2) = \int_a^b (f_1(\gamma(t)) + f_2(\gamma(t))) \gamma'(t) dt$$

$$= \int_a^b f_1(\gamma(t))\gamma'(t)dt + \int_a^b f_2(\gamma(t))\gamma'(t)dt$$

(جمع پذیری انتگرالهای حقیقی را در مورد قسمت‌های حقیقی و موهومی به کار گرفته ایم) بنابراین

$$\int_{\gamma} (f_1 + f_2) = \int_{\gamma} f_1 + \int_{\gamma} f_2$$

اثبات فرمول (۱۰) قدری طولانی تر است (به جریمه خواندن بسته گریخته بخشهای ۱-۳) فرض کنیم  $c = \alpha + i\beta$ ،  $f(\gamma(t))\gamma'(t) = U(t) + iV(t)$ ،  $c = \alpha + i\beta$ ، آنگاه

$$\begin{aligned} & \int_a^b (\alpha + i\beta)(U(t) + iV(t))dt \\ &= \int_a^b ([\alpha U(t) - \beta V(t)] + i[\alpha V(t) + \beta U(t)])dt \\ &= \int_a^b ([\alpha U(t) - \beta V(t)]dt + i \int_a^b [\alpha V(t) + \beta U(t)]dt) \\ &= \alpha \int_a^b U(t)dt - \beta \int_a^b V(t)dt + i\alpha \int_a^b V(t)dt + i\beta \int_a^b U(t)dt \\ & \text{(با به کار گرفتن خاصیت متناظر در انتگرالهای حقیقی)} \\ &= (\alpha + i\beta) \int_a^b (U(t) + iV(t))dt, \end{aligned}$$

که مطلوب ما بود.

در پایان به این نکته توجه کنید که اگر  $\gamma : [a, b] \rightarrow D$  یک کانتور باشد، آنگاه مسیر مخالف  $-\gamma : [a, b] \rightarrow D$ ، که چنین تعریف می شود:

$$(-\gamma)(t) = \gamma(a + b - t) \quad (a \leq t \leq b),$$

نیز یک کانتور است. می پردازیم به محاسبه انتگرال  $f$  در طول  $-\gamma$ ،



$$\int_{-\gamma} f = \int_a^b f(\gamma(a+b-t)) \frac{d}{dt} \gamma(a+b-t) dt$$

$$= - \int_a^b f(\gamma(a+b-t)) \gamma'(a+b-t) dt$$

این رابطه با قرار دادن  $s = a + b - t$  چنین می شود:

$$- \int_a^b f(\gamma(s)) \gamma'(s) (-ds)$$

$$= - \int_a^b f(\gamma(s)) \gamma'(s) ds$$

$$= - \int_{\gamma} f$$

در نتیجه داریم:

$$\int_{-\gamma} f = - \int_{\gamma} f$$

### ۵. قضیه اساسی انتگرال مسیری

برای محاسبه انتگرالهای مختلط فقط در بعضی موارد آنها را به قسمتهای حقیقی و موهومی تفکیک می کنیم و مانند بخش اخیر به محاسبه دو انتگرال حاصل شده می پردازیم. انجام چنین کاری بعضاً لازم است، اما روشی بسیار کارآمدتر برای محاسبه  $\int_{\gamma} f$  وجود دارد به شرط آنکه بتوانیم یک ضد مشتق  $f$  از  $C \rightarrow D$  به دست آوریم، که منظور ما از  $F$  تابع  $F: D \rightarrow C$  است به قسمی که  $F' = f$  شود. ضد مشتق، در صورتی که وجود داشته باشد، منحصر به فرد است و فقط اختلاف در افزودن یک مقدار ثابت است، زیرا اگر در دامنه ای چون  $D$ ،  $F' = G' = f$ ، آنگاه  $(F - G)' = F' - G' = 0$  و بنابراین  $F - G$ ، طبق قضیه ۴-۷، مقداری است ثابت. چنانچه بتوان یک ضد مشتق را پیدا کرد، انتگرال مورد نظر بی درنگ با به کار گرفتن قضیه زیر محاسبه می شود:

**قضیه ۶-۷.** (قضیه اساسی انتگرال گیری کانتور)

اگر  $f: D \rightarrow C$  پیوسته،  $F: D \rightarrow C$  در  $F' = f$  صدق کند و  $\gamma$  یک کانتور در  $D$  از  $z_1$  تا  $z_2$  باشد، آنگاه

$$\int_{\gamma} f = F(z_1) - F(z_2)$$

برهان . اگر  $w(t) = U(t) + iV(t)$  ،  $w(t) = u(t) + iv(t)$  ،  $a \leq t \leq b$  ، و

$W' = w$  ،  $U' = u$  ،  $V' = v$  و

$$\int_a^b w(t)dt = \int_a^b u(t)dt + i \int_a^b v(t)dt$$

$$= U(b) - U(a) + iV(b) - iV(a)$$

$$= W(b) - W(a)$$

چون داریم  $F' = f$  ، اگر فرض کنیم  $w(t) = f(\gamma(t))\gamma'(t)$  ، آنگاه

$$w(t) = F'(\gamma(t))\gamma'(t) = W'(t)$$

که  $w(t) = F(\gamma(t))$  نتیجه این که

$$\int_{\gamma} f = \int_a^b w(t)dt = W(b) - W(a)$$

$$= F(\gamma(b)) - F(\gamma(a))$$

$$= F(z_1) - F(z_2)$$

که چنین انتظار می رفت .

مثال ۱ . اگر  $f(z) = z^2$  و  $\gamma$  کانتور دلخواهی از  $z = 0$  تا  $z = 1+i$  ، آنگاه

$F(z) = \frac{1}{3}z^3$  یک ضد مشتق برای  $f$  است و

$$\int_{\gamma} z^2 dz = \frac{1}{3}z_1^3 - \frac{1}{3}z_2^3$$

$$= \frac{1}{3}(1+i)^3$$

$$= -\frac{2}{3} + \frac{2}{3}i$$

واضح است که محاسبه این مثال آسانتر از مثالی است که در انتهای بخش ۲ برای کانتور بخصوص

$$\gamma(t) = t^2 + it \quad (0 \leq t \leq 1)$$

انجام شد.

اما، رضایت خاطری که از این پدیده به ما دست می دهد باید منطبق با واقعیت باشد، منظور این است که بر خلاف حالت حقیقی که در آن هر تابع پیوسته همواره یک ضد مشتق دارد (لم (الف) ۶-۲)، در حالت مختلط توابعی وجود دارند که هر چه باشند برای آنها ضد مشتق وجود ندارد.

در آینده (فصل ۱۰) ثابت خواهیم کرد که اگر تابعی در دامنه ای یک بار مشتق پذیر باشد به دفعات نامتناهی مشتق پذیر خواهد بود. با دانسته فرض کردن این موضوع، ملاحظه می شود که یک ضد مشتق مثل  $F$ ، با یک بار مشتق پذیر بودن باید برای بار دوم مشتق پذیر باشد. یعنی مشتق آن  $F' = f$  هم باید مشتق پذیر باشد. پس اگر تابع مشتق ناپذیری چون  $f$  داشته باشیم. جستجوی ضد مشتق برای آن بیهوده است، زیرا چنین چیزی وجود ندارد.

مثال ۲. تابع  $f(z) = |z|^2$  فقط در مبداء مشتق پذیر است، پس جستجوی ضد مشتق برای محاسبه  $\int_{\gamma} |z|^2 dz$  در طول  $\gamma(t) = t^2 + it$  ( $0 < t < 1$ )، بی فایده است. در این حالت به همان فرمول اساسی بر می گردیم

$$\begin{aligned} \int_{\gamma} |z|^2 dz &= \int_0^1 (t^4 + t^2)(2t + i) dt \\ &= \int_0^1 (2t^5 + t^2) dt + i \int_0^1 (t^4 + t^2) dt \\ &= \left[ \frac{1}{2} t^6 + \frac{1}{3} t^3 \right]_0^1 + i \left[ \frac{1}{5} t^5 + \frac{1}{3} t^3 \right]_0^1 \\ &= \frac{5}{6} + \frac{8}{15} i \end{aligned}$$

خوشبختانه، بسیاری تابعهایی که دارای ضد مشتق هستند. مثلاً یک بسجمله  
 $p(z) = a_0 + a_1 z + \dots + a_n z^n$  به طور وضوح دارای ضد مشتق

$$P(z) = a_0 z + \frac{1}{2} a_1 z^2 + \dots + a_n z^n / (n+1)$$

است. کلی تر آنکه، هر سری توانی همه جا در درون قرص همگرایی یک ضد مشتق دارد.

**قضیه ۶-۸.** اگر  $f(z) = \sum_{n=0}^{\infty} a_n (z-z_0)^n$  برای  $|z-z_0| < R$  همگرا باشد، آنگاه

$$F(z) = \sum_{n=0}^{\infty} \frac{a_n}{n+1} (z-z_0)^{n+1}$$

نیز برای  $|z-z_0| < R$  همگرا است و  $F' = f$ .

**برهان.** کافی است ثابت کنیم که برای  $|z-z_0| < R$  همگرا است، زیرا در این صورت می توانیم از آن جمله به جمله مشتق بگیریم (قضیه ۴-۱۲) تا حاصل شود  $F' = f$ .

(طبق لم ۳-۷) سری توانی  $\sum a_n (z-z_0)^n$  برای  $|z-z_0| < R$  همگرای مطلق است و

$$\left| \frac{a_n (z-z_0)^{n+1} / (n+1)}{a_n (z-z_0)^n} \right| = |z-z_0| / (n+1)$$

به صفر میل خواهد کرد هنگامی که  $n \rightarrow \infty$ ، پس بنابر آزمون مقایسه،

$\sum a_n (z-z_0)^{n+1} / (n+1)$  همگرا است اگر  $f(z) = \sum a_n (z-z_0)^n$  دارای قرص

همگرایی  $D$  باشد، آنگاه به ازاء هر کانتور دلخواه  $\gamma$  در  $D$  از  $z_1$  تا  $z_2$ ،

$$\int_{\gamma} f = \sum a_n (z_2 - z_0)^{n+1} / (n+1) - \sum a_n (z_1 - z_0)^{n+1} / (n+1)$$

به خصوص، به ازاء هر کانتور دلخواه  $\gamma$  از  $z$  تا  $z$  در  $D$

$$\int_{\gamma} f = \sum a_n (z - z_0)^{n+1} / (n+1)$$

می شود.

## ۶. لم برآورد

بعضی از نتایج در ریاضی، در خدمت این نظریه هستند؛ به این معنی که به خودی خود از اهمیت ذاتی کمی برخوردارند، حتی شاید کمی هم مبهم باشند، اما در عین حال در همه اوقات در تصمیم های مهم کاملاً مؤثرند. «همیشه همراه عروس، اما نه خود عروس» اینجا به صورت «همیشه یک لم، نه یک قضیه» در می آید. هدف ما هم این است که هم اکنون چنین نتیجه ای را تحت عنوان یک لم به اثبات برسانیم. نظریه ای است ساده، به این معنی که یک کران به بالا برای اندازه انتگرال  $\left| \int_{\gamma} f \right|$  بر حسب یک کران بالای  $|f|$  و طول  $\gamma$  به دست می دهد، اما این لم بارها در این نظریه مطرح می شود و در نقاط بحرانی مربوط به استدلال قضیه های مهم تأثیری ظریف و بی سر و صدا دارد. اگر یک قضیه با پیکره عظیم به حساب نیاید، مطمئناً ارزش یک نام را دارد. این نامی است که بر آن می نهیم.

لم برآورد (لم ۶-۱۰). اگر  $f: D \rightarrow C$  پیوسته،  $\gamma$  یک کانتور در  $D$  به طول  $L$  و  $|f(z)| \leq M$  به ازاء هر  $z$  واقع بر  $\gamma$ ، آنگاه

$$\left| \int_{\gamma} f \right| \leq ML$$

برهان. بسته به آنکه خواننده بخشهای ۳-۱ را خوانده باشد یا نه بهتر است که دو نوع استدلال ارائه دهیم. نوع  $A$  طبیعی تر است، اما آگاهی از بخشهای ۳-۲ را لازم دارد. برای خوانندگانی که راه میان بر زده اند، نوع  $B$  را تدارک دیده ایم.

نوع  $A$ . کافی است حکم را در مورد یک مسیر هموار  $D \rightarrow [a, b]: \gamma$  ثابت شود. فرض کنیم که  $P$  همان افراز

$$a = t_0 < t_1 < \dots < t_n = b \text{ با شرط } t_{r-1} \leq s_r \leq t_r \text{ باشد. آنگاه}$$

$$\begin{aligned}
 |S(P, f, \gamma)| &= \left| \sum_{r=1}^n f(\gamma(s_r))(\gamma(t_r) - \gamma(t_{r-1})) \right| \\
 &\leq \sum_{r=1}^n |f(\gamma(s_r))| |\gamma(t_r) - \gamma(t_{r-1})| \\
 &\leq ML(\pi)
 \end{aligned}$$

که در آن  $\pi$  چند ضلعی برآورده کننده (تقریب زننده)  $\gamma$  با  
 P راسهای  $\gamma(t_n), \dots, \gamma(t_1), \gamma(t)$  است. اما  $L(\pi) \leq L(\gamma)$ ، بنابراین به ازاء هر افزایش  
 P

$$S(P, f, \gamma) \leq ML(\gamma) \quad (11)$$

با معلوم بودن  $\varepsilon > 0$ ، می توانیم افزایش  $P_\varepsilon$  را چنان بیابیم که

$$\left| S(P_\varepsilon, f, \gamma) - \int_\gamma f \right| < \varepsilon$$

بنابراین

$$\left| \int_\gamma f \right| < |S(P_\varepsilon, f, \gamma)| + \varepsilon$$

اکنون از (11) نتیجه می شود که به ازاء هر  $\varepsilon$  مثبت

$$\left| \int_\gamma f \right| < ML(\gamma) + \varepsilon$$

پس

$$\left| \int_\gamma f \right| \leq ML(\gamma)$$

نوع B. ابتدا ثابت می کنیم:

$$\left| \int_a^b (u(t) + iv(t)) dt \right| \leq \int_a^b |u(t) + iv(t)| dt \quad (12)$$

به شرط آنکه  $u, v$  تابعهای حقیقی پیوسته باشند.  
فرض می‌کنیم  $X = \int_a^b u(t) dt$  ،  $Y = \int_a^b v(t) dt$  . آنگاه

$$\int_a^b (u(t) + iv(t)) dt = X + iY$$

و

$$\begin{aligned} X^r + Y^r &= (x - iy)(x + iy) = \int_a^b (x - iy)(u(t) + iv(t)) dt \\ &= \int_a^b [Xu(t) + Yv(t)] dt + i \int_a^b [Xv(t) - Yu(t)] dt \end{aligned}$$

اما  $X^r + Y^r \in \mathbb{R}$  و به همین دلیل

$$\int_a^b [Xv(t) - Yu(t)] dt = 0$$

می‌شود و بنابراین

$$X^r + Y^r = \int_a^b [Xu(t) - Yv(t)] dt$$

که در آن انتگرال  $Xu(t) - Yv(t)$  همان قسمت حقیقی  $(x - iy)(u(t) + iv(t))$  است.  
پس

$$\begin{aligned} Xu(t) - Yv(t) &\leq |(X - iY)(u(t) + iv(t))| \\ &= \sqrt{(X^r + Y^r)} |u(t) + iv(t)| \end{aligned}$$

از آنالیز حقیقی داریم:

$$\int_a^b [Xu(t) - Yv(t)] dt \leq \int_a^b \sqrt{(X^r + Y^r)} |u(t) + iv(t)| dt$$

که از آن نتیجه می‌شود:

$$X^r + Y^r \leq \sqrt{(X^r + Y^r)} \int_a^b |u(t) + iv(t)| dt$$

و از این هم نتیجه می شود:

$$\sqrt{(X^r + Y^r)} \leq \int_a^b |u(t) + iv(t)| dt \quad (13)$$

اما

$$\sqrt{(X^r + Y^r)} = |X + iY| = \left| \int_a^b (u(t) + iv(t)) dt \right|$$

که، همراه با (۱۳)، رابطه (۱۲) را به دست می دهد، که مطلوب ما بودن. بنابراین داریم:

$$\begin{aligned} \left| \int_{\gamma} f \right| &= \left| \int_a^b f(\gamma(t)) \gamma'(t) dt \right| \\ &\leq \int_a^b |f(\gamma(t))| |\gamma'(t)| dt \quad (\text{طبق (۱۲)}) \\ &\leq \int_a^b M |\gamma'(t)| dt \quad (\text{بنابر آنالیز حقیقی}) \\ &= ML, \end{aligned}$$

و برهان تمام است.

این نتیجه به گونه های مختلف به کار می رود. مثلاً فرض می کنیم که  $\gamma$  یک کانتور ثابت باشد اما  $f$  تغییر کند. حال اگر مقدار بیشینه  $|f|$  روی  $\gamma$  به صفر میل کند، آنگاه  $\left| \int_{\gamma} f \right| \leq ML$  به صفر میل می کند. هنگامی که  $f$  به صفر میل کند ملاحظه می کنیم که  $\int_{\gamma} f \rightarrow 0$ . کلی تر آنکه، اگر  $f \rightarrow f_1$ ، آنگاه  $f - f_1 \rightarrow 0$  پس  $\int_{\gamma} (f - f_1) \rightarrow 0$  و  $\int_{\gamma} f \rightarrow \int_{\gamma} f_1$ .

از طرف دیگر، اگر  $|f|$  کراندار بماند و طول  $\gamma$  به صفر میل کند، در این صورت  $\int_{\gamma} f \rightarrow 0$ . بخصوص اگر  $f$  در  $z$  پیوسته باشد، در این صورت  $|f|$  در یک همسایگی  $z$  پیوسته است. از این قرار، اگر کانتور  $\gamma$  به  $z$  مجاله شود طوری که طول  $\gamma$  به صفر میل کند، آنگاه  $\int_{\gamma} f \rightarrow 0$ .

## ۷. نتایج قضیه اساسی

در حالتی که در دامنه  $D$  تابع  $f$  پیوسته و دارای یک ضد مشتق  $F$  باشد، در



بخش ۵ دیدیم که، به ازاء هر کانتور دلخواه در  $D$  از  $z_1$  تا  $z_0$ ،

$$\int_{\gamma} f = F(z_1) - F(z_0)$$

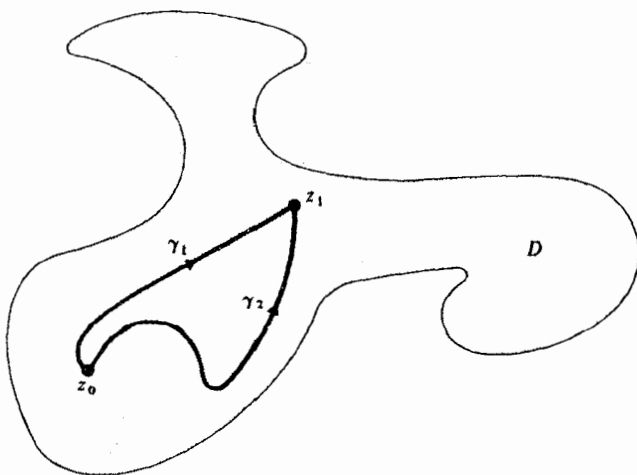
این رابطه نتایج جالبی دارد. مثلاً اگر  $\gamma$  یک کانتور بسته باشد، آنگاه  $z_1 = z_0$  و بنابراین  $\int_{\gamma} f = 0$ . از سوی دیگر، اگر برای  $z_1$  و  $z_0$  در  $D$  حالت خاصی قائل نشویم، اهمیتی نخواهد داشت که برای رسیدن از  $z_0$  به  $z_1$  کدام کانتور را به کار می گیریم: انتگرال به همان صورت باقی خواهد ماند. این خواص وجود یک ضد مشتق را هم مشخص می کنند:

**قضیه ۶-۱۱.** فرض کنیم که  $f$  یک تابع پیوسته تعریف شده بر دامنه  $D$  باشد. در این حال شرایط زیر معادلند:

(الف)  $f$  یک ضد مشتق  $F$  دارد.

(ب) به ازاء هر کانتور بسته  $\gamma$  در  $D$ ،  $\int_{\gamma} f = 0$

(ج)  $\int_{\gamma} f$  فقط به نقاط پایانی  $\gamma$  بستگی دارد، که کانتور دلخواهی است در  $D$ . **برهان.** قبلاً ثابت کرده ایم که از (الف) هم (ب) نتیجه می شود و هم (ج). برای اینکه نشان دهیم از شرط (ب) شرط (ج) نتیجه می شود، فرض می کنیم که  $\gamma_1$  و  $\gamma_2$  دو کانتور دلخواه در  $D$  از  $z_0$  به  $z_1$  باشند. (شکل ۶-۷)



(شکل ۶-۷)

در این حال  $\gamma_1 - \gamma_2$  یک کانتور بسته است، پس از (ب) نتیجه می شود  
 اما  $\int_{\gamma_1 - \gamma_2} f = 0$

$$\int_{\gamma_1 - \gamma_2} f = \int_{\gamma_1} f - \int_{\gamma_2} f$$

بنابراین

$$\int_{\gamma_1} f = \int_{\gamma_2} f$$

و این همان (ج) است.

بالاخره، برای اینکه ثابت کنیم که (ج) مستلزم (الف) است،  $z$  را در  $D$  ثابت نگه داشته و به ازاء هر  $z$  دلخواه در  $D$  یک کانتور در  $D$  از  $z_1$  به  $z_1$  انتخاب کرده و تعریف می کنیم:

$$F(z_1) = \int_{\gamma} f$$

چون  $D$  باز است به ازاء یک  $\varepsilon_1 > 0$ ، اگر  $|h| < \varepsilon_1$  آنگاه قطعه خط  
 $\lambda(t) = z_1 + h(t)$ ،  $(0 \leq t \leq 1)$ ، در  $D$  قرار دارد و

$$F(z_1 + h) = \int_{\gamma} f + \int_{\lambda} f$$

می شود از این قرار

$$\frac{F(z_1 + h) - F(z_1)}{h} = \frac{1}{h} \int_{\lambda} f$$

می گردد. اما می دانیم که به ازاء هر ثابت دلخواه  $C$  و کانتور  $\gamma$  از  $z_1$  به  $z_2$ ،

$$\int_{\gamma} cdz = c(z_2 - z_1),$$

بنابراین

$$\int_{\lambda} (f(z_1)/h) dz = f(z_1)$$

در نتیجه داریم:

$$\frac{F(z_1 + h) - F(z_1)}{h} - f(z_1) = \int_{\lambda} \frac{f(z) - f(z_1)}{h} dz$$

اکنون لم برآورد را به کار می گیریم. چون  $f$  پیوسته است، می دانیم که با شرط  $\varepsilon > 0$ ، یک  $\delta > 0$  وجود دارد (که می توانیم آن را کوچکتر از  $\varepsilon_1$  بگیریم) به قسمی که

$$\text{از } |z - z_1| < \delta \text{ نتیجه می شود } |f(z) - f(z_1)| < \varepsilon$$

آنچنان که، وقتی  $|h| < \delta$ ، به ازاء هر  $z$  واقع بر قطعه خط  $\lambda$  انتگرال مورد نظر در شرط زیر صدق می کند:

$$\left| \int_{\lambda} \frac{f(z) - f(z_1)}{h} dz \right|$$

طول  $\lambda$  برابر  $|h|$  است، پس، هر زمان که  $|h| < \delta$ ،

$$\left| \int_{\lambda} \frac{f(z) - f(z_1)}{h} dz \right| \leq \frac{\varepsilon}{|h|} |h|,$$

که از آن نتیجه می شود:

$$\left| \frac{F(z_1 + h) - F(z_1)}{h} - f(z_1) \right| \leq \varepsilon \quad (|h| \leq \delta)$$

اما  $\varepsilon$  دلخواه است، بنابراین

$$\lim_{h \rightarrow 0} \frac{F(z_1 + h) - F(z_1)}{h} = f(z_1)$$

و به ازاء  $z_1 \in D$  داریم  $F'(z_1) = f(z_1)$ ، همان گونه که می خواستیم.

مثال.  $f(z) = |z|$  مشتق پذیر نیست، پس  $\int_{\gamma} f$  بستگی به انتخاب کانتور  $\gamma$  دارد که بین نقاط انتخاب می شود. مثلاً  $\gamma$  را با

$$\gamma(t) = it \quad (0 \leq t \leq 1)$$

و  $\sigma$  از ۰ تا  $i$  را با

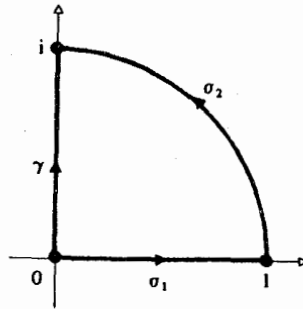
$$\sigma = \sigma_1 + \sigma_2$$

طوری که

$$\sigma_1(t) = t \quad (0 \leq t \leq 1)$$

$$\sigma_2(t) = e^{it} \quad (0 \leq t \leq \frac{1}{2}\pi)$$

شود مشخص می کنیم (شکل ۸-۶) آنگاه



شکل ۸-۶

$$\int_{\sigma} |z| dz = \int_0^1 |it| \cdot i dt$$

$$= [it^2 / 2]_0^1$$

$$= \frac{1}{2} i,$$

اما

$$\int_{\sigma} |z| dz = \int_0^1 |t| \cdot 1 dt + \int_0^{\pi/2} |e^{it}| \cdot (ie^{it}) dt$$

$$= [t^2 / 2]_0^1 + [e^{it}]_0^{\pi/2}$$

$$= \frac{1}{2} + i - 1$$

$$= i - \frac{1}{2}$$

اگر چه تابعهای مختلطی که صرفاً پیوسته هستند و از آنها می توان به کمک فرمول اصلی انتگرال گرفت، چندان جلب توجه نمی کنند، اما از هم اکنون به بعد تابعهای مشتق پذیر، و روشهای انتگرال گیری از آنها، کار اصلی ما خواهد بود. نظریه حاصل از انتگرال گیری، مشابهی طبیعی در حالت حقیقی ندارد، از آن جهت که روی خط حقیقی امکان انتخاب مسیر دلخواه بین نقاط وجود ندارد و در حالی که این انعطاف در انتخاب، در صفحه مختلط میسر است.

با استثناءهایی جزئی، در این فصل مشابعت طبیعی بین نظریه های مشتق گیری و انتگرال گیری در حالت حقیقی و مختلط کامل می شود، و از این به بعد راه به سوی امکانات تازه گشوده خواهد شد.

## تمرین های ۶

۱. کانتورهای  $\gamma = [0, t]$  ،  $\sigma = [0, 1] + [1, i]$  را رسم کنید. مطلوب است محاسبه

$$\int_{\gamma} \operatorname{rez} dz, \int_{\sigma} \operatorname{rez} dz$$

۲. کانتورهای  $\gamma = [-i, i]$  و  $\sigma$  را در نظر می گیریم که در آن

$$\sigma(t) = e^{it} \quad (-\pi/2 \leq t \leq \pi/2)$$

مطلوب است محاسبه  $\int_{\sigma} |z| dz, \int_{\gamma} |z| dz$ .

۳. مطلوب است محاسبه  $\int_{\gamma} z^2 dz$  که در آن

$$\gamma(t) = (1+i)t \quad (0 \leq t \leq 1)$$

با به کار گرفتن فرمول

$$\int_{\gamma} f(z) dz = \int_0^1 f(\gamma(t)) \gamma'(t) dt,$$

عمل ضرب را در سمت راست روی انتگرال به طور کامل انجام دهید و بعد از قسمتهای حقیقی و مختلط انتگرال بگیرید. اگر  $\gamma = [0, 1] + [1, 1+i]$  ، حاصل  $\int_{\gamma} f(z) dz$  چه خواهد بود؟

۴. فرض کنیم که  $n$  عدد مثبت دلخواهی باشد. اگر  $\gamma(t) = z_0 + re^{it} \quad (0 \leq t \leq 2\pi)$  ، کانتورهای  $\gamma, -\gamma$  را توصیف هندسی کنید.

مطلوب است محاسبه

$$\int_{-\gamma} 1/(z - z_0) dz, \int_{\gamma} 1/(z - z_0) dz$$

۵. اگر  $\gamma(t) = e^{it}$  ( $0 \leq t \leq \pi$ )، مطلوب است محاسبه  $\int_{\gamma} f$  برای هر یک از

تابع های زیر

(الف)  $\sqrt{z^2}$

(ب)  $\sqrt{z}$

(ج)  $\cos z$

(د)  $\sinh z$

(ه)  $\tan z$

(و)  $(\exp(z))^z$

۶. دو مسیر هموار  $C \rightarrow [a, b]$ ،  $\gamma$  و  $C \rightarrow [c, d]$ ،  $\sigma$  داده شده اند، گوییم  $\gamma$  را می توان از  $\sigma$  با یک تعویض مشتق پذیر در پارامتر به دست آورد به شرط آنکه یک تابع مشتق پذیر  $q: [a, b] \rightarrow [c, d]$  وجود داشته باشد به قسمی که  $\gamma = \sigma q$ . برای مقاصد این تعریف لزومی ندارد که معکوس داشته باشد. با توجه به این نکته معنی هندسی تعویض مشتق پذیر در پارامتر را شرح دهید. نشان دهید که اگر  $\sigma$  دامنه تابع پیوسته  $f$  قرار گیرد آنگاه

$$\int_{\gamma} f = \int_{\sigma} f$$

۷. ثابت کنید که طول  $L(\gamma)$  از کانتور  $\gamma$  در شوايط زیر صدق می کند:

(الف)  $L(-\gamma) = L(\gamma)$

(ب)  $L(\gamma + \sigma) = L(\gamma) + L(\sigma)$

۸. فرض کنیم که  $\gamma(t) = z + re^{it}$  ( $0 \leq t \leq \theta$ ) کمان به مرکز  $z$ ، شعاع  $r > 0$ ، و با پارامتر  $\theta$  باشد. ثابت کنید که

$$\theta = L(\gamma)/r,$$

که همان تعریف متعارف برای «اندازه زاویه بر حسب رادیان» است.

۹. نشان دهید که طول کمان سهمی به معادله

$\gamma(t) = at^2 + 2ait$  ( $0 \leq t \leq 1$ ) عبارت است از:

$$a(\sqrt{2} + \log(1 + \sqrt{2}))$$

۱۰. فرض کنیم  $\sigma: [-2, 2] \rightarrow C$  کانتور دلخواهی باشد. نیز  $\sigma, q$  ترکیب  $\gamma = \sigma q$  با ضابطه  $q(t) = t^2 - 3t$  داده شود و  $f$  تابع پیوسته دلخواهی است و  $\sigma$  در دامنه آن قرار دارد، اما  $L(\gamma) = 3L(\sigma)$  معنی هندسی این نتیجه را شرح دهید.

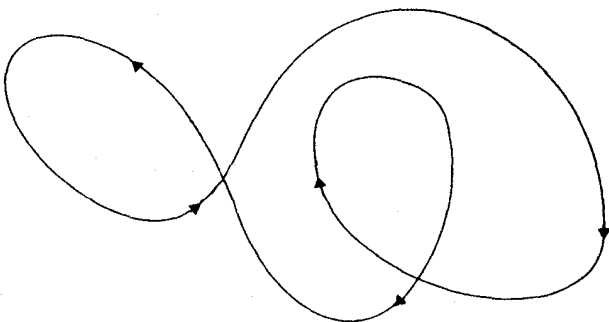
۱۱. اگر  $\gamma$  به وسیله یک تعویض مشتق پذیر در پارامتر از  $\sigma$  به دست آید (به صورتی که در تمرین ۶ تعریف کرده ایم)، شرایط کلی برای  $q$  چه خواهد بود تا از آن رابطه  $L(\gamma) = L(\sigma)$  شود. برای جواب خود دلیل بیاورید.

۱۲. اگر  $\gamma$  یک کانتور بسته در  $C$  باشد، مساحت علامت داری که به وسیله  $\gamma$  محصور شده باشد چنین تعریف می شود:

$$S = \frac{1}{2i} \int_{\gamma} \bar{z} dz$$

با نوشتن این انتگرال به صورت صریح

$\int_a^b (u - iv)(u' + iv') dt$ ، یا به صورتی دیگر، ثابت کنید  $S$  حقیقی است. ثابت کنید که مقدار  $S$  در مورد کانتورهای دایره ای یا مثلثی برابر  $\pm$  همان مساحت متعارف است و هر دو علامت می تواند روی دهد. معنی هندسی این علامت چیست؟ مساحت علامت دار در مورد کانتوری مثل شکل ۶-۹ ارائه دهنده چه چیز است؟



شکل ۶-۹



۱۳. ثابت کنید که مساحت علامت دار مذکور در تمرین ۱۲ را به صورتهای زیر می توان ارائه داد:

$$S = -\int_{\gamma} imzdz \quad (\text{الف})$$

$$S = \frac{1}{i} \int_{\gamma} rezdz \quad (\text{ب})$$

مقدار انتگرال  $\int_{\gamma} imzdz$  را در حالتی که  $\gamma$  مربع

$$\gamma = [0, 1] + [1, 1+i] + [1+i, i] + [i, 0]$$

باشد حساب کنید.

۱۴. انتگرالگیری جزء به جزء. فرض کنیم که  $f$  و  $g$  مشتقهای پیوسته ای در دامنه  $D$  داشته باشند و  $\gamma$  کانتوری در  $D$  از  $z_1$  تا  $z_2$  باشد. ثابت کنید که

$$\int_{\gamma} fg' = f(z_2)g(z_2) - f(z_1)g(z_1) - \int_{\gamma} f'g.$$

اگر  $\gamma(t) = e^{it}$  ( $0 \leq t \leq \pi/2$ )، مطلوب است محاسبه

$$\int_{\gamma} z \sin z dz \quad (\text{الف})$$

$$\int_{\gamma} z \cos z dz \quad (\text{ب})$$

$$\int_{\gamma} ze^{it} dz \quad (\text{ج})$$

$$\int_{\gamma} z^2 \sin z dz \quad (\text{د})$$

۱۵. فرض کنیم  $C_r(t) = z + re^{it}$  ( $0 \leq t \leq 2\pi$ ) دایره به مرکز  $z$ ، و شعاع  $r > 0$  باشد. اگر  $f$  در دامنه  $D$  پیوسته و  $z \in D$ ، لم برآورد را برای اثبات موارد زیر به کار نگیرید.

$$\lim_{r \rightarrow 0} \int_{C_r} f(z) dz = 0 \quad (\text{الف})$$

$$\lim_{r \rightarrow 0} \int_{C_r} f(z)/(z-z_0) dz = 2\pi i f(z_0) \quad (\text{ب})$$

۱۶. در مورد هر یک از تابعهای  $f: D \rightarrow C$  یا یک ضد مشتق  $F: D \rightarrow C$  ارائه دهید یا تصریح کنید که ضد مشتق نمی تواند وجود داشته باشد.

$$f(z) = z^z, D = C, \quad (\text{الف})$$

$$f(z) = \sqrt{z^z}, D = C \setminus \{0\}, \quad (\text{ب})$$

$$f(z) = \sqrt{z}, D = C \setminus \{0\}, \quad (\text{ج})$$

$$f(z) = z \sin z, D = C, \quad (\text{د})$$

$$f(z) = |z|^z, D = C, \quad (\text{ه})$$

$$f(z) = \bar{z}, D = C, \quad (\text{و})$$

## فصل هفتم

### زاویه ها، لگاریتم ها و عدد پیچش

اگر لگاریتم یک عدد مختلط را به عنوان نوعی از «معکوس» تابع توانی تعریف کنیم، با این واقعیت مواجه می شویم که تابع توانی دوسویی (بیژکسیون) نیست، پس به معنای تکنیکی دارای معکوس نیست. برخلاف حالت حقیقی، به منظور مقید کردن دامنه و هم دامنه تابع توانی به طوری که بتوانیم آن را دوسویی کنیم، راهی که خیلی طبیعی بنماید، به نظر نمی رسد - گرچه راههایی کم و بیش ساختگی وجود دارد (مثل «صفحه بریده»  $C\pi$  که در زیر به تعریف آن می پردازیم و در واقع مفید هم هستند).

با اصطلاحات کلاسیک، لگاریتم باید «چه مقداری» باشد. این که متعدد بودن مقدارها چگونه به هم مربوط می شوند کاملاً مشابه اندازه گیری یک زاویه با واحد رادیان است که نتیجه آن یک عدد حقیقی منحصر به فرد نمی شود، بلکه تعدادی نامتناهی از اعداد حاصل می شود که تفاوت آنها مضربهایی از  $2\pi$  است.

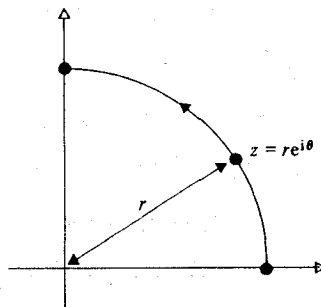
در زیر به بحث درباره این نظریه ها می پردازیم و آنها را در مورد یکی از پایاهای توپولوژیک که عدد پیچش یک منحنی نسبت به یک نقطه نام گرفته است به کار می بریم. به طور خلاصه آنکه کل زاویه ای که به وسیله نقطه ای روی منحنی پیموده می شود هنگامی که به طور پیوسته از یک نقطه به نقطه دیگر حرکت می کند اندازه گیری می شود: حاصل تقسیم آن بر  $2\pi$  نشان می دهد که منحنی چند بار گرد نقطه مورد بحث پیچیده است. این مفهوم در قسمتهای عمیق تر این نظریه، که در پی می آیند، بسیار مفید است.

## ۱. اندازه زاویه‌ها بر حسب رادیان

نخست تعریف «سری توانی» برای سینوس را با تعریف هندسی معمول آن مرتبط می‌سازیم، مشروط بر آنکه زاویه مورد نظر با رادیان اندازه‌گیری شود.

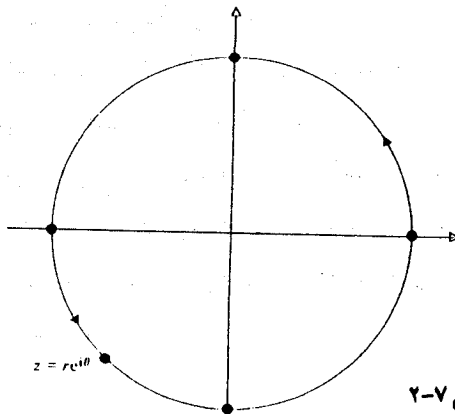
فرض کنیم  $z \in \mathbb{C}, z \neq 0$ ، را به صورت  $z = re^{i\theta}$ ،  $r > 0$ ، در مختصات قطبی می‌نویسیم. چون  $e^{i\theta} = \cos\theta + i\sin\theta$ ، از جدولی که در بخش ۵-۵ داریم نتیجه می‌شود که با ثابت ماندن  $r$ ، هنگامی که  $\theta$  از  $0$  تا  $\pi/2$  افزایش می‌یابد، قسمت حقیقی  $z$  از  $r$  تا  $0$  کاهش می‌یابد در حالی که قسمت موهومی از  $0$  تا  $r$  افزایش می‌یابد. چون  $r^2 \cos^2\theta + r^2 \sin^2\theta = r^2$ ، نتیجه می‌شود که، وقتی  $\theta$  از  $0$  تا  $\pi/2$  تغییر کند، نقطه  $z$  ربع اول از دایره به شعاع  $r$  را می‌پیماید.

(شکل ۱-۷)



شکل ۱-۷

به طور مشابهی، هنگامی که  $\theta$  از  $\pi/2$  تا  $\pi$  تغییر می‌کند، نقطه  $z$  ربع دوم از دایره را می‌پیماید؛ از  $\pi$  تا  $3\pi/2$  ربع سوم، از  $3\pi/2$  تا  $2\pi$  ربع چهارم از دایره طی می‌شود: از این به بعد  $z$  به پیمودن مکرر دایره ادامه می‌دهد. (شکل ۲-۷)

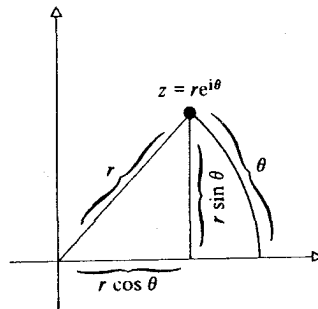


شکل ۲-۷

اکنون به محاسبه طول کمان از ۱ تا  $z$  در طول دایره می پردازیم. به ازای  $\theta \geq 0$ ، فرض می کنیم  $\gamma(t) = ze^{it}$  ( $0 \leq t \leq \theta$ ). آنگاه  $\gamma$  کانتوری است که کمان مربوط به خود را می پیماید. طول  $\gamma$  از دستور

$$L(\gamma) = \int_0^\theta |\gamma'(t)| dt = \int_0^\theta |rie^{it}| dt = \int_0^\theta r dt = r\theta$$

بدین سان  $\theta = L(\gamma)/r$  که همان تعریف استاندارد برای «زاویه اندازه گیری شده با رادیان است». به این ترتیب از شکل ۳-۷ بر می آید که تعریفهای هندسی برای  $\sin \theta, \cos \theta$  برای زاویه  $\theta$  رادیانی با تعریف تحلیلی، به وسیله سریهای توانی سازگار است.



شکل ۳-۷

تناوبی بودن  $\cos, \sin$ ، که به اثبات رسیده است، نشان می دهد که سازگاری مذکور در فوق به زاویه های بزرگتر از  $2\pi$  توسعه می یابد. همچنین به زاویه های منفی (که در طول دایره در جهت منفی اندازه گیری می شوند).

## ۲. آرگومان یک عدد مختلط

اکنون با تفصیل بیشتری به بیان عدد مختلط  $z$  به صورت  $re^{i\theta}$  می پردازیم. در این حال  $r = |z|$ ، و بنابراین  $r$  منحصر به فرد است. اما برای  $\theta$  مقادیر ممکنه به تعداد نامتناهی است، که تفاوت آنها فقط در مضرب صحیحی از  $2\pi$  است.

یادآوری می‌کنیم که مقدار منحصر به فرد  $\theta$  در  $-\pi < \theta \leq \pi$  را مقدار اصلی آرگومان  $z$  می‌نامیم و آن را با «argz» نشان می‌دهیم که این، تابعی به صورت

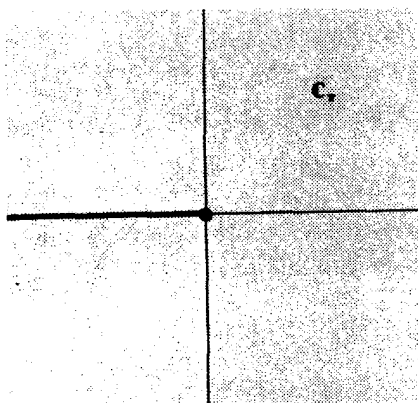
$$\arg : \mathbb{C} \setminus \{0\} \rightarrow \mathbb{R}$$

تعریف می‌کند، این تابع روی محور حقیقی منفی پیوسته نیست. همین دلیلی است بر این که  $\theta$  باید به طور منحصر به فرد انتخاب شود: بالای محور مذکور  $\theta$  به  $\pi$  نزدیک است و در زیر آن نزدیک به  $-\pi$ .

این مسأله را به کناری می‌نهیم و به تعریف صفحه بریده (شکل ۴-۷)

$$C_{\pi} = \mathbb{C} \setminus \{x + iy \in \mathbb{C} \mid y = 0, x \leq 0\}$$

می‌پردازیم.



شکل ۴-۷

بدین سان  $\arg$  در صفحه بریده پیوسته است. چنین کاری از نظر هندسی موجه می‌نماید اما استدلالی دقیق باید فراهم آید و یک شکل فنی نیز وجود دارد: رفتار بد تابعهای مثلثاتی معکوس. جانب احتیاط را رعایت می‌کنیم چند دامنه متقاطع، که در هر یک از آنها رفتار به قدر کافی خوب است، در نظر می‌گیریم. برهانی که هم اکنون می‌آوریم تحویل عاری از لطافتی است از خواص توابع حقیقی: برای دستیابی به برهانی ظریفتر به بخش ۴-۸ مراجعه کنید.

فرض کنیم

$$D_1 = \{x + iy \in \mathbb{C} \mid y > 0\}$$

$$D_r = \{x + iy \in \mathbb{C} \mid x > 0\}$$

$$D_r = \{x + iy \in \mathbb{C} \mid y < 0\}$$

آنگاه

$$C_\pi = D_1 \cup D_r \cup D_r$$

و در هر یک از این سه دامنه راه ساده‌ای برای تعیین مقدار مطلوب  $\arg z$  پیدا می‌کنیم. می‌نویسیم:

$$z = x + iy = re^{i\theta}$$

و می‌خواهیم معادله را برای یافتن  $r$ ،  $\theta$  حل کنیم، می‌بینیم که

$$r = \sqrt{x^2 + y^2} \text{، و لذا } r^2 = x^2 + y^2$$

$$\cos \theta = \frac{x}{\sqrt{x^2 + y^2}}$$

$$\sin \theta = \frac{y}{\sqrt{x^2 + y^2}}$$

و

از خواص  $\cos, \sin$  نتیجه می‌شود که در  $D_1$  یک جواب منحصر به فرد برای  $\theta$  وجود دارد طوری که  $0 < \theta < \pi$  می‌شود. در این محدوده،  $\cos$  اکیداً نزولی و پیوسته است؛ بنابراین یک تابع معکوس پیوسته دارد؛

$$\cos^{-1}: (-1, 1) \rightarrow (0, \pi)$$

اکنون به ازای  $z \in D_1$  داریم:

$$\arg z = \cos^{-1}(\operatorname{re}(z)/|z|)$$

که چون ترکیبی است از توابع پیوسته، پس پیوسته است.

به طور مشابه در  $D_2$  داریم  $-\pi/2 < \theta < \pi/2$  . در این محدوده  $\sin$  از  $-1$  تا  $1$  افزایش می یابد، و بنابراین یک معکوس پیوسته دارد:

$$\sin^{-1}: (-1, 1) \rightarrow \left(-\frac{\pi}{2}, \frac{\pi}{2}\right)$$

بدین سان

$$\arg z = \sin^{-1}(\operatorname{im}(z)/|z|)$$

در  $D_2$  پیوسته است .

بالاخره در  $D_3$  می توانیم

$$\cos^{-1}: (-1, 1) \rightarrow (-\pi, 0)$$

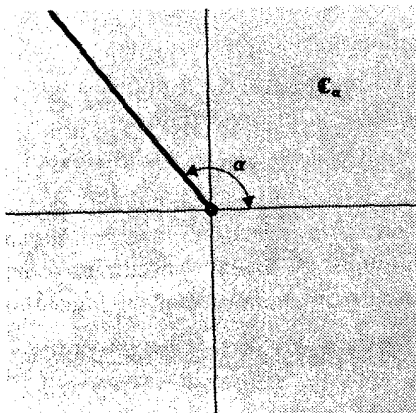
را به کار بگیریم . (این کسینوس معکوسی است متفاوت با آنچه در  $D_1$  به کار گرفته شد به دلیل آنکه اینجا معکوس  $\cos$  را در بازه دیگری به دست می آوریم، که باز هم  $\arg$  پیوسته است .

چون در  $D_1$ ،  $D_2$ ،  $D_3$  پیوسته است پس در اجتماع آنها، یعنی همان  $C_\pi$  نیز، پیوسته است . گاهی مناسب است که کلی تر عمل کنیم . فرض کنیم  $R_\alpha$  و  $\alpha \in \mathbb{R}$  معرف شعاع

$$R_\alpha = \{re^{i\alpha} \in \mathbb{C} \mid r \geq 0\}$$

باشد . نیز فرض کنیم:

$$C_\alpha = \mathbb{C} \setminus R_\alpha \quad (\text{شکل ۵-۷})$$



شکل ۵-۷



و  $\theta$  را به صورت

$$\theta = \arg_{\alpha} z (z \in C)$$

انتخاب می کنیم، مشروط بر آنکه

$$z = re^{i\theta}, r > 0, \alpha - 2\pi < \theta < \alpha$$

آنگاه، با روشی مشابه، می توانیم ثابت کنیم که  $\arg_{\alpha}$  در  $C_{\pi}$  پیوسته است.

### ۳. لگاریتم مختلط

با این عنوان مسائل مشابهی مطرح می شود، زیرا تابع توانی یک به یک

نیست.

ما می خواهیم  $\log z$  را، به ازای  $z \in C, z \neq 0$  با ضابطه

$$z = e^w \text{ تعریف می کنیم مشروط بر آنکه } w = \log z$$

فرض کنیم  $w = u + iv, z = re^{i\theta}$ ، (اختلاط مختصات قطبی و کارتزین

مسلّم است!). نیز  $r > 0$ ، و  $-\pi < \theta \leq \pi$  فرض می کنیم طوری که  $\theta = \arg z$ .

بدین سان  $z = e^w$  چنین می شود:

$$re^{i\theta} = e^{u+iv} \quad (1)$$

با گرفتن مدول از دو طرف خواهیم داشت:

$$r = e^u \quad (2)$$

چون  $r > 0$  و  $r, u \in R$ ، پس (۲) دارای جواب منحصر به فرد

$$u = \log r$$

است که در آن  $\log$  همان لگاریتم طبیعی حقیقی است. آنگاه از (۱) و (۲) نتیجه

می شود:

$$e^{i\theta} = e^{iv}$$

به طوری که

$$v = \theta + 2n\pi (n \in \mathbb{Z})$$

نتیجه این که

$$\log z = w = \log r + i(\theta + 2n\pi),$$

یا

$$\log z = \log|z| + i(\arg z + 2n\pi) \quad (۳)$$

بدین سان لگاریتم مختلط «چند ارزشی» است و به معنای نظریه مجموعه‌ها یک تابع نیست. برای به دست آوردن یک تابع اصیل (یک ارزشی) به تعریف مقدار اصلی لگاریتم مذکور به صورت،

$$\log z = \log|z| + i \arg z \quad (0 \neq z \in \mathbb{C})$$

(به «L» بزرگ برای مقدار اصلی توجه کنید.) این تابع روی محور حقیقی منفی نیست. با این وصف، به ازاء  $z \in \mathbb{C}_\pi$  قسمت‌های حقیقی و موهومی  $\text{Log}$  به طور واضح پیوسته هستند. پس  $\text{Log}$  در صفحه بریده پیوسته است. اکنون می‌توانیم مشتق این لگاریتم را حساب کنیم. داریم:

$$D\text{Log}z = \lim_{z \rightarrow z_0} \frac{\text{Log}z - \text{Log}z_0}{z - z_0}$$

$$= \lim_{w \rightarrow w_0} \frac{w - w_0}{e^w - e^{w_0}}$$

با قرار دادن  $z = e^w$ ،  $z_0 = e^{w_0}$  و به کار گرفتن پیوستگی  $\exp$ ،

$$= 1/e^{w_0}$$

$$= 1/z_0$$

پس به طور کلی

$$D\text{Log}z = 1/z \quad (z \in \mathbb{C}_\pi)$$

به همین طریق در صفحه بریده  $C_\alpha$ ، می توانیم تعریف کنیم:

$$\log_\alpha z = \text{Log}|z| + i \arg_\alpha z$$

و این پیوسته است؛ با مشتق

$$D \log_\alpha z = 1/z$$

هنگامی که لگاریتم تعریف شده باشد، توانهایی چون  $z^a$  را که در آن  $z, a \in \mathbb{C}$ ، می توان، در یک صفحه بریده، تعریف کرد. مقدار اصلی  $z^a$ ، که در آن  $z \neq 0$ ، عبارت است از:

$$z^a = \exp(a \log z)$$

تمرینهای آتی به شماره های ۹، ۱۰، ۱۱، ۱۲، ۱۳، ۱۴ به بررسی این تابع می پردازند. به منظور دستیابی به دیدگاهی فراگیرتر درباره  $z^a$  فصل ۱۴ را ببینید.

#### ۴. عدد پیچشی

فرض کنیم  $\gamma: [a, b] \rightarrow \mathbb{C} \setminus \{0\}$  یک مسیر بسته باشد. توجه کنید که هم دامنه طوری انتخاب شده است که این مسیر از مبدا نمی گذرد. اگر فرض کنیم که  $t$  (پارامتر)، معرف زمانی باشد که از  $a$  تا  $b$  افزایش می یابد، و آرگومان  $\theta(t)$  از  $\gamma(t)$  را چنان انتخاب کنیم که همراه  $t$  به طور پیوسته تغییر کند، آنگاه هنگامی که  $\gamma(t)$  به دور مسیر حرکت می کند، کل تغییر حاصل در آرگومان تعداد دفعاتی خواهد بود که  $\gamma$  به دور مرکز پیچیده است، ضربدر عدد  $2\pi$ . هدف ما این است که به این نظریه دقت و صراحت ببخشیم.

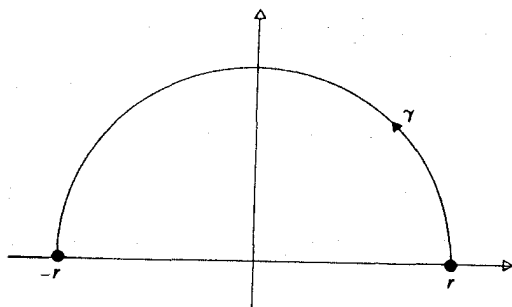
به این منظور، می پردازیم به تعریف انتخاب پیوسته آرگومان در طول مسیر  $\gamma: [a, b] \rightarrow \mathbb{C} \setminus \{0\}$  (که به قصد عمومیت کامل، می خواهیم که دیگر یک مسیر بسته نباشد) و آن نگاشتی پیوسته چون  $\theta: [a, b] \rightarrow \mathbb{R}$  است طوری که هر چه باشد  $t \in [a, b]$  شود.

$$e^{i\theta(t)} = \gamma(t)/|\gamma(t)| \quad (4)$$

شرط (۴) صرفاً بیان می‌کند که  $\theta(t)$  یکی از مقادیر ممکنه برای آرگومان مربوط به  $\gamma(t)$  است.

مثال ۱. فرض کنیم  $\gamma(t) = re^{it}$  ( $0 \leq t \leq \pi$ )، (شکل ۶-۷).

یک انتخاب پیوسته آرگومان  $\theta(t) = t$  است، زیرا در این حال  $re^{it}|re^{it}| = e^{it} = e^{i\theta(t)}$  این تنها انتخاب ممکن نیست:  $\theta(t) = t + 2\pi n$  درست همین کار را می‌کند؛ یا  $\theta(t) = t + 2n\pi$  به ازاء یک  $n$  ثابت.



شکل ۶-۷

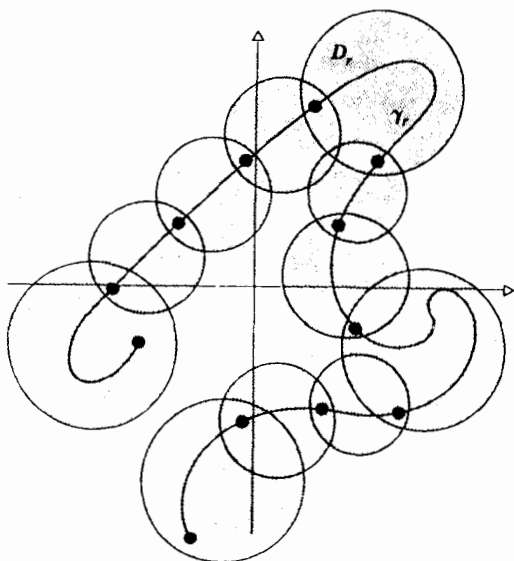
آنچه نمی‌توانید انجام دهیم «عوض کردن اسب‌ها میان رودخانه» است، مثلاً  $\theta(t)$  را به ازای  $0 \leq t \leq \pi/2$  می‌توان برابر  $t$  گرفت، ولی اگر به ازای  $\pi/2 < t \leq \pi$   $\theta(t) = t + 2\pi$  اختیار کنیم به ازاء این  $\theta$  برابری (۴) برقرار است. اما مسلم است که  $\theta$  پیوسته نیست.

مشکلی که در انتخابهای پیوسته آرگومان داریم (گرچه طولی نمی‌کشد که به آن خو می‌گیریم این است که برای انتخاب یک مقدار از آرگومان از یک دستورالعمل ساده، مثلاً فقط به کار گرفتن زاویه‌های بین  $0$ ،  $2\pi$ ، پیروی نمی‌کند. چنین انتخابی، در صورت سروکار داشتن با منحنی‌ای که نزدیک به یک دور در جهت عقربه‌های ساعت چرخیده باشد. ناپیوسته است، طوری که آرگومان به  $2\pi$  نزدیک می‌شود، و بعد سراسر محور حقیقی را در جهت عقربه‌های ساعت (مثل قبل) می‌پیماید، و پرشی در آرگومان به چیزی نزدیک به صفر را موجب می‌شود. در چنین حالتی است، که به قصد ابقای پیوستگی، لازم

است بپذیریم که آرگومان مقداری را که کمی بزرگتر از  $2\pi$  باشد اختیار کند. حاصل آنکه در نقطه شروع  $a$  می توانیم آرگومان را یک مقدار دلخواه از میان مقادیر ممکنه بیشمار انتخاب کنیم، ولی این انتخاب موجب می شود که بقیه آنچه که هست به طور منحصر به فرد تعیین شود - و لزومی هم ندارد که آنها را درون یک محدوده از پیش تعیین شده بمانند، این به طور شهودی واضح است، اما اثبات آن کمی حيله آمیز است: به این منظور لم فرش کردن به کار گرفته می شود.

**قضیه ۷-۱.** فرض کنیم  $\gamma: [a, b] \rightarrow C \setminus \{0\}$  مسیری باشد که از مبداء نمی گذرد. آنگاه یک انتخاب پیوسته آرگومان برای  $\gamma$  وجود دارد. هر انتخاب پیوسته آرگومان دیگر اختلافش با این مضرب صحیحی است از  $2\pi$ .

**برهان.** بنابر لم فرش کردن (لم ۲-۹) می توانیم  $\gamma$  را به مسیرهای جزئی بسیار، با تعداد متناهی، تقسیم بندی کنیم مثل  $\gamma_r (r = 1, \dots, n)$  طوری که هر  $\gamma_r$  درون یک قرص  $D_r$  در  $C \setminus \{0\}$  قرار گیرد. اگر مرکز  $D_r$  در  $\rho_r e^{i\theta_r}$  باشد، آنگاه با اختیار  $\alpha_r = \theta_r + \pi$ ، در می یابیم که  $D_r \subseteq C_{\alpha_r}$ ، بنابراین  $\arg_{\alpha_r}$  در  $D_r$  پیوسته است (شکل ۷-۷)



شکل ۷-۷

این یک انتخاب پیوسته آرگومان در طول  $\gamma_r$ ، به ازاء هر  $r$  است؛ ولی مسلم است که این انتخابها ممکن است با یکدیگر به طور پیوسته جفت نشوند. اما هر انتخاب آرگومان را می توان از انتخاب دیگری با افزودن مضرب صحیح مناسبی از  $2\pi$  به دست آورد. این  $\arg_{\alpha_r}$  ها را با افزودن مضربهای مناسب  $2n_r\pi$ ، به صورت زیر، می توانیم هماهنگ کنیم.

فرض کنیم  $\gamma_r$  در بازه پارامتری  $[t_{r-1}, t_r]$  معین باشد. عدد صحیحی چون  $n_r$  وجود دارد به طوری که

$$\arg_{\alpha_1}(t_1) = \arg_{\alpha_r}(t_1) + 2n_r\pi$$

آنگاه یک عدد  $n_r$  وجود دارد به طوری که

$$\arg_{\alpha_r}(t_r) + 2n_r\pi = \arg_{\alpha_r}(t_r) + 2n_r\pi$$

همین طور به استقراء معلوم می شود که  $n_{r+1}$  وجود دارد طوری که

$$\arg_{\alpha_r}(t_r) + 2n_r\pi = \arg_{\alpha_{r+1}}(t_r) + 2n_{r+1}\pi$$

آنگاه تعریف می کنیم:

$$t \in [t_{r-1}, t_r] \text{ آنکه } \theta(t) = \arg_{\alpha_r}(t) + 2n_r\pi$$

(که بنا بر قرارداد  $n_1$  برابر ۰ تعریف می شود)، و  $\theta$  پیوسته است. این نشان می دهد که انتخاب پیوسته آرگومان وجود دارد.

اینک، فرض کنیم  $\theta^*$  انتخاب پیوسته آرگومان دیگر باشد. آنگاه باید داشته

باشیم

$$\theta^*(t) = \theta(t) + 2n(t)\pi$$

که  $n(t)$  یک عدد صحیح است، محتملاً وابسته به  $t$ . ولی بدین سان  $n(t)$  تابعی پیوسته از  $t$  است (زیرا برابر با  $(\theta^*(t) - \theta(t))/2\pi$  است) که فقط مقادیر صحیح را اختیار می کند، پس  $n(t)$  یک ثابت است. این برهان را کامل می کند.

توجه کنید که یک انتخاب پیوسته آرگومان روی بازه پارامتری  $[a, b]$  تعریف می شود، نه روی نگاره  $\gamma$ . این بدان معنی است که اگر منحنی به همان نقطه  $\gamma(t_1) = \gamma(t_2)$ ، مشروط به  $t_1 \neq t_2$ ، برگردد، ممکن است آرگومانهای  $\theta(t_1), \theta(t_2)$  متفاوت باشند. (به طور شهودی واضح است که چنین چیزی هنگامی روی می دهد که مسیر مورد نظر میان  $t_2, t_1$  به دور مبداء می چرخد.)

**مثال ۲.** 
$$\gamma(t) = re^{i\pi t} \quad (0 \leq t \leq 1)$$

انتخاب پیوسته ای از آرگومان، به ازای یک  $n$  صحیح، به شرط  $t \in [0, 1]$ ، با  $\theta(t) = 4\pi t + 2n\pi$  داده می شود. گرچه تساوی  $\gamma(t) = \gamma(t + \frac{1}{4})$  به ازای  $t \in [0, \frac{1}{4}]$  برقرار است. انتخابهای آرگومان یعنی  $\theta(t)$  و  $\theta(t + \frac{1}{4})$  اختلافی برابر  $2\pi$  دارند، زیرا که این مسیر یک بار مبداء را بین  $t$  و  $t + \frac{1}{4}$  (عکس جهت حرکت عقربه های ساعت) دور زده است. قابل توجه تر آنکه  $\gamma(0) = \gamma(1)$ ، ولی اختلاف آرگومانها  $4\pi$  است، زیرا مسیر مورد نظر رویهم دو بار مبداء را دور زده است.

از این نظریه بهره گرفته عدد پیچش  $w(\gamma, 0)$  مربوط به مسیر  $\gamma: [a, b] \rightarrow C \setminus \{0\}$  به دور مبداء را 
$$[\theta(b) - \theta(a)] / 2\pi$$

که در آن  $\theta$  انتخاب پیوسته ای از آرگومان در طول  $\gamma$  است تعریف می کنیم. بنابراین قسمت دوم قضیه  $1-7$  عدد پیچش خوش تعریف است.  $w(\gamma, 0)$ ، برای مسیرهای دلخواهی چون  $\gamma$ ، یک عدد حقیقی است؛ برای مسیرهای بسته  $\gamma$  یک عدد صحیح است، زیرا  $\theta(b) - \theta(a)$  مضرب صحیحی است از  $2\pi$ . عدد پیچش جهت مسیر را مشخص می سازد، یعنی عدد پیچش، هنگامی که جهت چرخش مسیر عکس جهت حرکت عقربه های ساعت باشد، مثبت محسوب می شود، و در جهت حرکت عقربه های ساعت، منفی.

**مثال ۳.** 
$$\gamma(t) = e^{-it} \quad (0 \leq t \leq 6\pi)$$

یک انتخاب پیوسته آرگومان  $\theta(t) = -t$  است. آنگاه

$$w(\gamma, \circ) = [\theta(6\pi) - \theta(\circ)] / 2\pi = -3,$$

و  $\gamma$  سه بار به دور مبدا در جهت حرکت عقربه‌های ساعت می‌چرخد.

به معنایی که در زیر بیان می‌کنیم عدد پیچش جمعی است:

**قضیه ۷-۲.** فرض کنیم که  $\gamma_1, \gamma_2$  دو مسیر در  $C \setminus \{0\}$  باشند به طوری که نقطه پایانی  $\gamma_1$  نقطه آغازی  $\gamma_2$  باشد، آنگاه

$$w(\gamma_1 + \gamma_2, \circ) = w(\gamma_1, \circ) + w(\gamma_2, \circ)$$

**برهان.** می‌توانیم فرض کنیم که  $\gamma_1 + \gamma_2, \gamma_2, \gamma_1$  به ترتیب دارای بازه‌های پارامتری  $[a, c], [b, c], [a, b]$  هستند. نیز فرض می‌کنیم که  $\theta$  یک انتخاب پیوسته آرگومان روی  $\gamma_1 + \gamma_2$  باشد. آنگاه

$$w(\gamma_1 + \gamma_2, \circ) = [\theta(c) - \theta(a)] / 2\pi$$

$$w(\gamma_1, \circ) = [\theta(b) - \theta(a)] / 2\pi$$

$$w(\gamma_2, \circ) = [\theta(c) - \theta(b)] / 2\pi$$

و نتیجه مطلوب حاصل است.

این نتیجه فوق‌العاده مهم است، زیرا به ما امکان می‌دهد که عدد پیچش یک مسیر پیچیده را با تقسیم آن به مسیرهای ساده و جمع عددهای پیچش آنها به دست آوریم. بسط نتیجه فوق‌آسان است و می‌توان ثابت کرد

$$w(\gamma_1 + \dots + \gamma_r, \circ) = w(\gamma_1, \circ) + w(\gamma_2, \circ) + \dots + w(\gamma_r, \circ)$$

همچنین

$$w(-\gamma, \circ) = -w(\gamma, \circ)$$



## ۵. عدد پیچش به عنوان یک انتگرال

نخست فرض کنیم که  $\gamma$  یک کانتور بسته باشد. آنگاه  $w(\gamma, 0)$  چنین داده

می شود

$$w(\gamma, 0) = \frac{1}{2\pi i} \int_{\gamma} \frac{1}{z} dz$$

برای بررسی این مطلب  $\gamma$  را به مسیرهای فرعی  $\gamma_1, \gamma_2, \dots, \gamma_n$ ، مطابق با قضیه ۷-۱، تقسیم بندی می کنیم، و نمادهای آن قضیه را اینجا هم به کار می گیریم. هر  $\gamma_r$  در یک صفحه بریده  $C\alpha_r$  واقع است. اگر  $\gamma_r$  روی بازه  $[t_{r-1}, t_r]$  تعریف شود آنگاه

$$\begin{aligned} \int_{\gamma_r} \frac{1}{z} dz &= \log_{\alpha_r} \gamma(t_r) - \log_{\alpha_r} \gamma(t_{r-1}) \\ &= \log_{\alpha_r} |\gamma(t_r)| - \log_{\alpha_{r-1}} |\gamma(t_{r-1})| \\ &\quad + i(\arg_{\alpha_r} \gamma(t_r) - \arg_{\alpha_{r-1}} \gamma(t_{r-1})) \end{aligned}$$

می شود. مشابه قضیه ۷-۱ اطمینان حاصل می کنیم که  $\arg_{\alpha_r}(t_1) = \arg_{\alpha_{r+1}}(t_r)$ ، یعنی، هنگامی که مسیرهای فرعی به هم می پیوندند انتخابهای آرگومان با هم تطبیق می کنند. بدین سان با جمع بندی انتگرالها به ازای  $r = 1, \dots, n$ ، درمی یابیم که قسمتهای حقیقی حذف می شوند (از آن جهت که  $\gamma$  بسته است) و مجموع قسمتهای موهومی  $2\pi w(\gamma, 0)$  می شود، که خواسته ما نیز همین بود. اگر  $\gamma$  بسته نباشد، فرمول مشابهی برقرار است:

$$w(\gamma, 0) = \frac{1}{2\pi} \operatorname{im} \left[ \int_{\gamma} \frac{1}{z} dz \right]$$

اثبات به همان صورت است که مشاهده شد، با این استثناء که قسمتهای حقیقی حذف نمی شوند: قسمتهای حقیقی فقط وقتی حذف می شوند که قسمت موهومی انتگرال اختیار شود

## ۶. عدد پیچش حول یک نقطه دلخواه

مطلب فوق العاده ای دربارهٔ مبداء وجود ندارد. اگر  $\gamma: [a, b] \rightarrow C$  یک مسیر و اگر  $z \in C$  نقطه ای غیر واقع  $\gamma$  بر باشد، می توانیم عدد پیچش مربوط به  $\gamma$  را حول  $z$  تعریف کنیم. ساده ترین راه برای انجام این کار انتقال مبداء است، به این ترتیب که قرار می دهیم:

$$\Gamma(t) = \gamma(t) - z. \quad (t \in [a, b])$$

و تعریف می کنیم:

$$w(\gamma, z) = w(\Gamma, \cdot)$$

دقیقاً مطابق بالا، اگر  $\gamma$  بسته باشد آنگاه

$$w(\gamma, z) = \frac{1}{2\pi i} \int_{\gamma} \frac{1}{z - z} dz, \quad (۶)$$

این فرمولی است که با قرار دادن  $z = \gamma(t)$  و به کار گرفتن (۵) به طریق زیر به آسانی ثابت می شود:

$$\frac{1}{2\pi i} \int \frac{1}{z - z} dz = \frac{1}{2\pi i} \int_a^b \frac{\gamma'(t)}{\gamma(t) - z} dt$$

$$= \frac{1}{2\pi i} \int_a^b \frac{\Gamma'(t)}{\Gamma(t)} dt$$

$$= \frac{1}{2\pi i} \int_{\Gamma} \frac{1}{z} dz$$

$$= w(\Gamma, \cdot)$$

$$= w(\gamma, z)$$

## ۷. مولفه های متمم یک مسیر

می خواهیم بررسی کنیم که عدد پیچش  $w(\gamma, z)$  مربوط به یک مسیر بسته  $\gamma$ ، هنگامی که  $z$  تغییر می کند، به چه صورت تغییر خواهد کرد.

بنا به گزاره ۲-۱۱، متمم  $S$  از نگاره  $\gamma$  باز است، همچنین هر مولفه همبند از  $S$  باز است. به ازاء هر  $z \in S$  می توانیم  $w(\gamma, z)$  را معین کنیم، و به این ترتیب تابعی با مقادیر صحیح روی  $S$  به دست آوریم. از نظر هندسی واضح است که این تابع روی هر مولفه همبند از  $S$  ثابت است: این مطلب را به طریق تحلیلی به اثبات می رسانیم به این طریق که نشان می دهیم که  $w(\gamma, z)$  تابعی پیوسته از  $z$  است. بدین سان نتیجه مطلوب حاصل می شود، زیرا یک تابع پیوسته با مقدار صحیح روی یک مجموعه همبند ثابت است.

برهان پیوسته بودن  $w(\gamma, z)$  در  $z$  با تقریبی مستقیم نتیجه می شود.  $z \in S$  را ثابت می گیریم. چون  $S$  باز است،  $k > 0$  وجود دارد به طوری که از  $|z_1 - z| < k$  نتیجه می شود  $z_1 \in S$ . از این مطلب نتیجه می شود که اگر  $z$  بر نگاره  $\gamma$  واقع باشد آنگاه  $|z - z_1| \geq k$ ، پس اگر  $|z_1 - z| < k/2$ ، خواهیم داشت  $|z - z_1| > k/2$ .

ولی

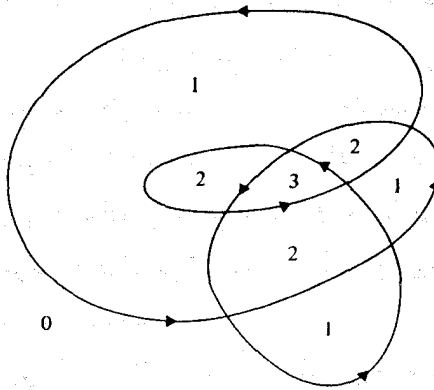
$$\begin{aligned} |w(\gamma, z) - w(\gamma, z_1)| &= \left| \int_{\gamma} \left[ \frac{1}{z-z} - \frac{1}{z-z_1} \right] dz \right| \\ &= \left| \int_{\gamma} \frac{z_1 - z}{(z-z)(z-z_1)} dz \right| \\ &\leq \frac{|z_1 - z|}{\frac{1}{2}k^2} L(\gamma) \end{aligned}$$

که قسمت اخیر با کمک لم برآورد (۶-۱۰) نوشته شد.

با معلوم بودن  $\varepsilon > 0$ ، قرار می دهیم  $\delta = \min(k/2, k^2\varepsilon/2L(\gamma))$ . آنگاه از

$|z_1 - z| < \delta$  نتیجه می شود  $|w(\gamma, z) - w(\gamma, z_1)| < \varepsilon$ . پس  $w(\gamma, z)$  در  $z$  پیوسته است.

مثلاً، مسیر شکل ۷-۸ دارای اعداد پیچش نشان داده شده حول نقطه های  $z$  در مولفه هایی است که این اعداد به آنها نسبت داده شده است.



شکل ۷-۸

$S$  به عنوان متمم فقط یک مولفه بیکران دارد (گزاره ۲-۱۱)، که ما آن را با  $U(\gamma)$  نشان می دهیم

بدانسان که شکل ۷-۸ نشان می دهد. اگر  $z \in U(\gamma)$  آنگاه  $w(\gamma, z)$  می بایست که صفر باشد. این را به آسانی با کمک فرمول انتگرال (۶) می توان، به صورت زیر، ثابت کرد. فرض کنیم  $z$  «دور از خط سیر  $\gamma$ » باشد، یعنی، فرض می کنیم به ازاء همه  $z$  های واقع بر خط سیر  $\gamma$ ،  $|z - z| \geq k$ . آنگاه از لم برآورد (۶-۱۰) نتیجه می شود که

$$w(\gamma, z) \leq L(\gamma) / 2\pi k$$

که وقتی  $k$  بزرگ است به صفر میل می کند. اما سمت چپ این نابرابری عددی است صحیح؛ پس وقتی که  $k$  بزرگ باشد برابر صفر است.

### ۸. محاسبه عدد پیچش با کمک چشم

تعریف نسبتاً پیچیده عدد پیچش ممکن است این تصور را به وجود آورد که محاسبه

آن پیچیده است. ولی، لااقل در مورد مسیرهایی که معمولاً با آنها برخورد می‌کنیم، چنین نیست. معمولاً در زمینه‌های هندسی واضح است که عدد چرخش چقدر است (انگشت خود را دور مسیر بچرخانید و تعداد چرخشها را حساب کنید). در این بخش می‌خواهیم نشان دهیم که همین رویه را می‌توان به برهانی دقیق تبدیل کرد (و بنابراین در عمل نیازی به برهان نیست: به این معنی که آنچه در این مورد «واضح» است درست هم هست!).

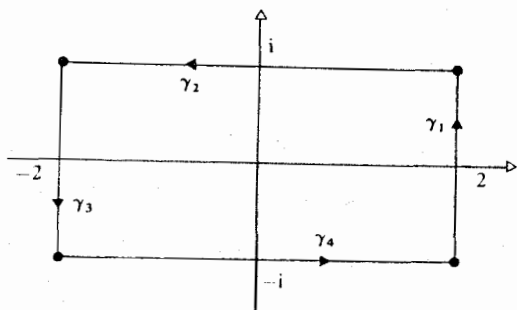
به عنوان مثالی ساده، حالتی را در نظر بگیرید که خط سیر  $\gamma$  مستطیلی با راسهای  $\pm 2 \pm i$  باشد. (شکل ۷-۹). اگر در جستجوی فرمولی هستید، ارائه یکی آسان است: مثلاً فرض کنیم  $t \in [0, 4]$  و قرار می‌دهیم

$$\gamma(t) = 2 - i + 2it \quad (0 \leq t \leq 1)$$

$$\gamma(t) = 2 + i - 4(t-1) \quad (1 \leq t \leq 2)$$

$$\gamma(t) = -2 + i - 2i(t-2) \quad (2 \leq t \leq 3)$$

$$\gamma(t) = -2 - i + 4(t-3) \quad (3 \leq t \leq 4)$$



شکل ۷-۹

اولین نکته اینجا این است که چه کنیم که به محاسبه نپردازیم.

به طبیعی‌ترین وجه،  $\gamma$  را به مسیرهای فرعی  $\gamma_1, \dots, \gamma_4$ ، که با  $\gamma_r = \gamma|_{[r-1, r]}$

معین می شوند، تقسیم بندی می کنیم. آنگاه فرمول انتگرال را به کار می گیریم:

$$w(\gamma, 0) = \frac{1}{2\pi i} \int_{\gamma} \frac{1}{z} dz = \frac{1}{2\pi i} \sum_{r=1}^r \int_{\gamma_r} \frac{1}{z} dz$$

اکنون (فقط با انتخاب یک مسیر فرعی)

$$\begin{aligned} \int_{\gamma_1} \frac{1}{z} dz &= \int_{\gamma_1} \frac{\gamma'(t)}{\gamma(t)} dt = \int_{\gamma_1} \frac{2i}{2-i+2it} dt \\ &= [\log(2-i+2it)] = \text{Log}(2+i) - \text{Log}(2-i) \end{aligned}$$

زیرا  $\gamma_1$  در  $C_\pi$  واقع است، بنابراین مقدار اصلی  $\log$  روی  $\gamma_1$  پیوسته است. آنگاه

$$\log(2 \pm i) = \log|2 \pm i| + i \arg(2 \pm i) \quad (7)$$

$$= \log \sqrt{5} \pm i \sin^{-1}(1/\sqrt{5})$$

بدین سان

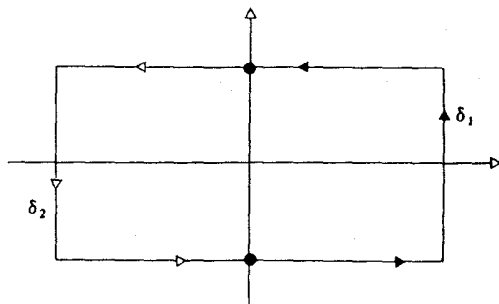
$$\int_{\gamma_1} \frac{1}{z} dz = 2i \sin^{-1}(1/\sqrt{5})$$

که سینوس معکوس بین  $-\pi/2, +\pi/2$  انتخاب شده است.

سه انتگرال مشابه دیگر داریم که حساب کنیم. همه را جمع کرده، بر  $2\pi i$  تقسیم می کنیم. و حسابرسی بسیار دقیقی روی دامنه های توابع معکوس مثلثاتی، که مطرح می شوند، به عمل می آوریم. این کار را می توان انجام داد؛ به صورتی که حتی مشکل هم نیست؛ اما به ندرت پیشنهاد می شود!

بہتر است (اما نه زیاد) که از تعریف «انتخاب پیوسته آرگومان» شروع کنیم: این کار از مرحله (7) بالا برای هر مسیر فرعی شروع می شود و در انتهای به همان موارد حسابرسی برمی خوریم.

اکنون روش پیشرفته تری ارائه می دهیم.  $\gamma$  را به مسیرهای فرعی  $\delta_1, \delta_2$  تقسیم بندی می کنیم. (شکل ۷-۱۰)



شکل ۷-۱۰

اما  $w(\gamma, 0) = w(\delta_1, 0) + w(\delta_2, 0)$ . چون  $\delta_1$  به طور کامل درون صفحه بریده قرار دارد،  $C_\pi$   $\arg$  یعنی مقدار اصلی روی  $\delta_1$  پیوسته است. بدین سان، با انجام همه کارهای جزئی،

$$\begin{aligned} w(\delta_1, 0) &= [\arg(i) - \arg(-i)] / 2\pi \\ &= [\pi/2 - (-\pi/2)] / 2\pi \\ &= 1/2 \end{aligned}$$

به طور مشابه  $\delta_2$  درون  $C_\pi$  قرار دارد، پس  $\arg$  روی  $\delta_2$  پیوسته است؛ بنابراین

$$\begin{aligned} w(\delta_2, 0) &= [\arg(-i) - \arg(i)] / 2\pi \\ &= [-\pi/2 - (\pi/2)] / 2\pi \\ &= 1/2 \end{aligned}$$

چون جمع کنیم، حاصل می شود  $w(\gamma, 0) = 1$ . واضح است که این رویه را می توان در هم فشرد: محاسبات مربوط به  $\arg$  صرفاً

مطلب واضحی را، به صورتی قابل پیش بینی، تایید می کند.

این روش را به ترتیب زیر به اختصار بیان می کنیم:

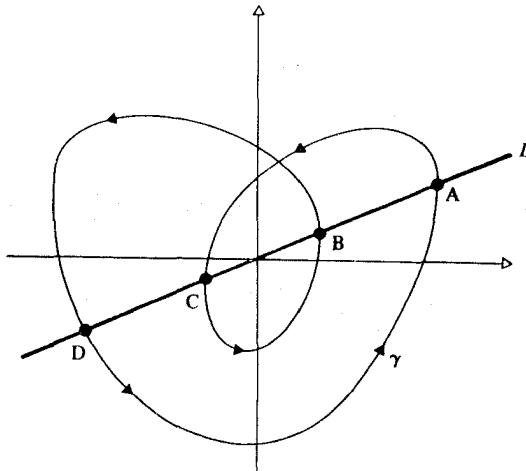
(۱)  $\gamma$  را به قطعات مناسب تقسیم بندی می کنیم، طوری که هر یک در یک صفحه بریده واقع شوند.

(۲) در مورد هر قطعه، سهمیه آن را از عدد پیچش به صورت تفاضل بین آرگومانهای دو انتهای آن حساب می کنیم (با به کار گرفتن  $\arg$  پیوسته مربوط به آن) - یا به طریق هندسی، زاویه ای را که تحت آن مسیر فرعی از مبداء دیده می شود، با علامت مناسب، تعیین می کنیم.

(۳) سهمیه ها را با هم جمع می کنیم.

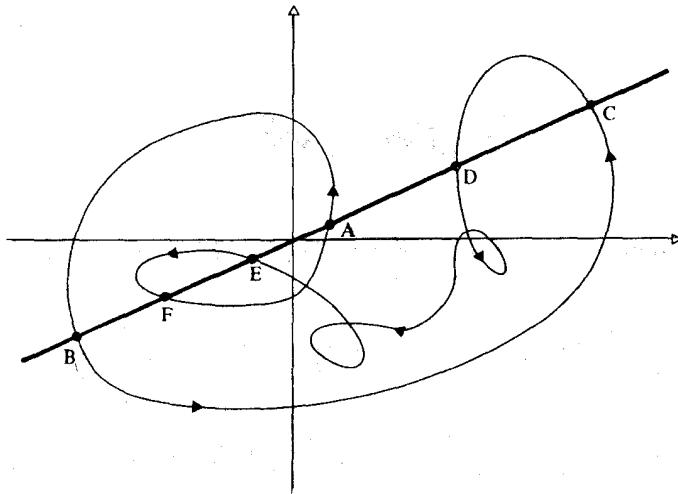
اگر تقسیم بندی  $\gamma$  به مسیرهای فرعی با رسم فقط یک خط مار بر مبداء صورت پذیرد مفید خواهد بود، زیرا در این حال سهمیه ها همواره ۰ یا  $\pm 1/2$  هستند. بدین سان، در مورد مسیر  $\gamma$  که خط  $L$  به چهار قطعه  $AB$ ،  $BC$ ،  $CD$ ،  $DA$  تقسیم می شود، داریم (شکل ۷-۱۱)

$$\begin{aligned} w(\gamma, \bullet) &= w(AB, \bullet) + w(BC, \bullet) + w(CD, \bullet) + w(DE, \bullet) + w(EF, \bullet) + w(FA, \bullet) \\ &= \frac{1}{2} + \frac{1}{2} + 0 + \left(-\frac{1}{2}\right) + 0 + \frac{1}{2} \\ &= 1 \end{aligned}$$



(شکل ۷-۱۱)





(شکل ۷-۱۲)

این روش در اساس همان معادل ریاضی است برای «انگشت خود را به دور منحنی بچرخانید و نیم دورها را حساب کنید.» آنچه برای اجرای کاملاً دقیق این کار لازم است مقدار یابهای پیچیده  $\arg$  ها نیست: بحران واقعی آنجا پیش می آید که می خواهیم نشان دهیم که مسیر مورد بحث خط انتخاب شده  $L$  را در نقاط  $A, B, C$ ، و غیره قطع می کند. که از همین نقاط به ترتیب مذکور می گذرد، که جهت هر مسیر فرعی (خواه همان جهت حرکت عقربه های ساعت باشد یا عکس آن) مطابق با نمودار باشد. اما هر جا که (مثلاً در خاتمه همین بحث)  $\gamma$  به صورتی سر راست مشخص شده است (مثلاً به وسیله یک فرمول ساده، یا به صورت یک چند ضلعی، یا ترکیبی از خط های راست و کمانهای دایره ای)، اجزاء متشکله مذکور در فوق به آسانی فراهم می شوند: بدین لحاظ هنگامی که عدد پیشش مقدار مشخصی را اختیار می کند، دیگر وارد بحث و جدل بیشتری نمی شویم.

مقایسه اولین روش «بد» با آخرین روش «خوب» که ارائه دادیم توجیه جالب توجهی از خطرات مربوط به آنالیز «جویدن فرمول» به طور کورکورانه است. آنالیز مختلط موضوعی بسیار هندسی است، و لذا هندسه نباید دست کم گرفته شود.

## تمرین های ۷

۱. مقدار اصلی آرگومانهای هر یک از اعداد مختلط زیر را حساب کنید:  $1+i$ ،

$$(1+i)^2 \left( (\sqrt{3}/2) + i \right)^2, \left( (\sqrt{3}/2) + i \right)^{2/3}, (1+i)^2, (\sqrt{3}/2) + i$$

۲. فرض کنیم  $\arg z$  دلالت بر مقدار اصلی آرگومان  $z \neq 0$  کند، یعنی  $-\pi < \arg z \leq \pi$ . به ازا  $x, y$  حقیقی طوری که  $x < 0$ ، نشان دهید:

$$\lim_{y \rightarrow \infty} \arg(x + iy) = \pi \quad (\text{الف})$$

$$\lim_{y \rightarrow \infty} \arg(x - iy) = -\pi \quad (\text{ب})$$

حدود متناظر برای موارد  $x > 0, x = 0$  را حساب کنید.

۳. لگاریتمهای اصلی برای موارد زیر را حساب کنید:

$$\log(x), z = 2e^{i\pi/2} \text{ که در آن } \log(z^1), \log(-1), \log(1+i), \log(2i), \log(2i)$$

به ازا  $x \neq 0$ .

۴. به ازا  $z_1 \neq 0, z_2 \neq 0$ ، نشان دهید که

$$\log(z_1 z_2) = \log(z_1) + \log(z_2) + 2n\pi i$$

که در آن  $n$  عدد صحیحی است که لزومی ندارد صفر باشد. مقادیری را که  $n$  می تواند اختیار کند مشخص کنید.

نشان دهید که یکی از لگاریتمهای  $z_1 z_2$  به صورت

$$\log(z_1) + \log(z_2)$$

است به شرط آنکه مقادیر مناسب برای لگاریتمها اختیار شود.  
 ۵. «پارادوکس برنولی» چنین است:

$$(-z)^2 = z^2,$$

بدین سان

$$2 \log(-z) = 2 \log(z)$$

و بنابراین

$$\log(-z) = \log(z)$$

مغالطه در چیست؟

۶. فرض می‌کنیم  $f: C \rightarrow C$  به ازای  $\theta$  ی ثابت حقیقی به صورت  $f(z) = e^{i\theta} z$  داده شود. ثابت کنید که  $f$  صفحه مختلط را تحت زاویه  $\theta$  دوران می‌دهد.

نشان دهید که تبدیل  $f(z) = iz$  صفحه مختلط را تحت زاویه قائمه دوران

می‌دهد و به توصیف  $f(z) = -z$  و  $f(z) = iz$  به عنوان دوران پردازید.

به ازاء هر عدد مختلط  $\lambda = re^{i\theta}$  تبدیل  $f(z) = \lambda z$  را بیان هندسی کنید.

۷. در هر یک از موارد زیر به ازاء  $z = re^{i\theta}$ ،  $z$  و  $1/z$  را رسم کنید:

(الف)  $3e^{i\pi/2}$

(ب)  $2e^{i\pi/4}$

(ج)  $\frac{1}{2}e^{i\pi/2}$

(د)  $3e^{-i\pi}$

تبدیل  $f(z) = 1/z$ ،  $z \neq 0$ ، را از لحاظ هندسی توصیف کنید.

۸. فرض کنیم  $n$  یک عدد صحیح مثبت باشد. عدد مختلط  $\omega$  را در ریشه  $n$ ام واحد می‌نامند اگر  $\omega^n = 1$ .

(الف) همه ریشه‌های  $n$ ام واحد را تعیین کرده و شکل رسم کنید

(ب) به ازاء  $n$  مساوی ۲، ۳، ۴، ریشه‌های  $n$ ام واحد را به صورت

$x + iy$  بنویسید.

(ج) اگر  $\omega_1, \omega_2$  ریشه های  $n$ ام واحد باشند، ثابت کنید که

$$\omega_1 / \omega_2, \omega_1 \omega_2, \omega_1^n$$

نیز چنین هستند.

(د) به ازاء  $\theta, r > 0, \tau \in \mathbb{R}$  تمام  $z$ های متعلق به  $C$  را بیابید به طوری که

$$z^n = re^{i\theta}$$

(ه) اگر  $z_1^n = z_2^n$ ، نشان دهید که  $z_1 = \omega z_2$  که در آن  $\omega$  ریشه  $n$ ام واحد

است.

۹. به ازای  $z, \beta \in C, z \neq 0$ ، مقدار اصلی  $z^\beta$  را به صورت

$$z^\beta = \exp(\beta \log z)$$

تعریف می کنیم. مقادیر اصلی توانهای زیر را محاسبه کنید:

$$1^{\sqrt{2}}, (-2)^{\sqrt{2}}, i^i, 2^i, 1^{-i}, (3-4i)^{1+i}, (3+4i)^\Delta$$

۱۰. با به کار گرفتن نمادگذاری تمرین ۹، به ازاء  $z \in C_\pi$ ، نشان دهید که

$$d(z^\beta)/dz = \beta z^{\beta-1} \cdot d(a^z)/dz, \quad a \in C_\pi \text{ ثابت و } d(a^z)/dz \text{ چه خواهد بود.}$$

۱۱. فرض کنیم  $\beta \in C, \alpha \in \mathbb{R}$ . به ازاء  $z \in C_\alpha$ ، تعریف می کنیم

$$(z^\beta)_\alpha = \exp(\beta \log_\alpha z)$$

همه مقادیر ممکنه  $(i^i)_\alpha, (2^i)_\alpha, ((3-4i)^{-i})_\alpha$  را به ازای مقادیر ممکنه  $\alpha$

حساب کنید.  $z$  را ثابت نگه می داریم، نشان دهید، که هنگامی که  $\alpha$  تغییر

می کند،  $(z^\beta)_\alpha$ ، مشروط به گویا بودن  $\beta$ ، فقط مقادیری به تعداد متناهی اختیار

می کند.

اگر  $\beta = m/n$  که در آن  $m$  و  $n$  اعداد صحیح هستند و، نشان دهید که

$$\left( (z^{m/n})_\alpha \right)^n = z^m$$

$\left( (z^n)^{m/n} \right)_\alpha$  چیست؟

۱۲. با به کار گرفتن نماد گذاری تمرین ۱۱، به ازاء  $z \in C_\alpha$ ، مطلوب است محاسبه  $d((z^\alpha)_\alpha)/dz, d((z^\beta)_\alpha)dz$  رابطه ای بین  $(z^\gamma)_\alpha, (z^\beta)_\alpha, (z^{\beta+\gamma})_\alpha$  بیان کنید.

۱۳. نگاره تابعهای  $f: C_\pi \rightarrow C$  را از نظر هندسی بیان کنید مشروط بر آنکه  $f(z)$  برابر باشد با مقدار اصلی

$$z^{\frac{1}{2}} \quad (\text{الف})$$

$$z^{\frac{1}{3}} \quad (\text{ب})$$

$$z^i \quad (\text{ج})$$

۱۴. گیریم  $z \in C_\pi, \beta \in C, \alpha \in R$  می نویسیم  $\beta = u + iv$ ، مطلوب است تعیین

$$|(z^\beta)_\alpha|, \arg((z^\beta)_\alpha)$$

نشان دهید که  $|(z^\beta)_\alpha|$  مستقل از  $\alpha$  است اگر و فقط اگر  $\beta$  حقیقی باشد. به ازاء عددهای صحیح و مثبت  $n, m$ ، فرض می کنیم  $f(z)$  مقدار اصلی  $z^{m/n}$  باشد. از نظر هندسی  $f: C_\pi \rightarrow C$  را توصیف کنید.

۱۵.  $\log(1+z)$  را به صورت یک سری توانی بر حسب  $z$  یعنی به صورت

$$\log(1+z) = \sum a_n z^n \quad |z| < R$$

بنویسید، طوری که ضرایب  $a_n$  و شعاع همگرایی  $R$  مشخص شود.  
۱۶. نشان دهید

$$\cos(-i \log(z + \sqrt{z^2 - 1})) = z \quad (\text{الف})$$

$$\sin(-i \log(i(z + \sqrt{z^2 - 1}))) = z \quad (\text{ب})$$

$$\tan((i/2) \log((1+z)/(1-z))) = z \quad (\text{ج})$$

این خواص را برای بیان  $\cos^{-1} z$ ،  $\sin^{-1} z$ ،  $\tan^{-1} z$  بر حسب لگاریتم به کار بگیرید.

۱۷. نشان دهید که همه مقادیر  $\cosh^{-1} z$  به صورت زیر داده می شوند:

$$\cosh^{-1} z = \log(z + \sqrt{z^2 - 1})$$

طوری که همه مقادیر ممکنه لگاریتم و ریشه دوم اختیار شده باشند. با همین معنی، نشان دهید:

$$\sinh^{-1} z = \log(z + \sqrt{z^2 + 1})$$

$$\tanh^{-1} z = \frac{1}{2} \log\left(\frac{1+z}{1-z}\right)$$

۱۸. فرض کنیم  $D = \{z \in \mathbb{C} \mid (i+z)/(i-z) \in \mathbb{C}_\pi\}$ . از نظر هندسی  $D$  را توصیف کنید. مقدار اصلی تانژانت معکوس  $\tan^{-1}: D \rightarrow \mathbb{C}$  به صورت

$$\tan^{-1}(z) = \frac{1}{2} i \log\left(\frac{i+z}{i-z}\right)$$

تعریف می کنیم (با اختیار مقدار اصلی  $\log$ ). نشان دهید که  $\tan^{-1}$  در  $D$  مشتق پذیر و مشتق آن  $1/(1+z^2)$  است.

۱۹. مسیره‌های زیر را رسم و همه انتخابهای پیوسته آرگومان در طول آنها را مشخص کنید.

$$\gamma(t) = 2e^{-it} \quad (0 \leq t \leq 4\pi) \quad (\text{الف})$$

$$\gamma(t) = t + i(1-t) \quad (0 \leq t \leq 1), \quad (\text{ب})$$

$$\gamma(t) = t - 1 + it^2 \quad (-1 \leq t \leq 1), \quad (\text{ج})$$

$$\gamma(t) = \begin{cases} t + i(1-t) & (0 \leq t \leq 1) \\ 1 + i(t-1) & (1 \leq t \leq 2) \end{cases} \quad (\text{د})$$

در هر حالت عدد پیچش مسیر را حول مبدا محاسبه کنید.

۲۰. عدد پیچش  $w(\gamma, z)$  را به ازاء هر یک از انتخابهای  $\gamma, z$  تعیین کنید:

(الف)  $\gamma(t) = 2e^{-it} \quad (0 \leq t \leq 2\pi), \quad z = 1, 2i,$

(ب)  $\gamma(t) = t + i(1-t) \quad (0 \leq t \leq 1), \quad z = 1+i, -i, 1 \cdot i$

۲۱. در هر یک از موارد زیر، نگاره مسیر را رسم کنید و روشی ملموس برای محاسبه  $\int_{\gamma} 1/(z-z_0) dz$  به کار بگیرید:

(الف)  $\gamma(t) = te^{it} \quad (\pi \leq t \leq 5\pi), z_0 = 0,$

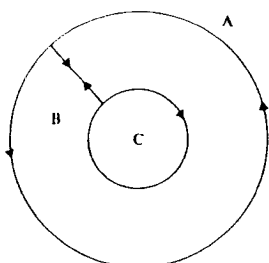
(ب)  $\gamma(t) = it \quad (0 \leq t \leq 1), z_0 = 1,$

(ج)  $\gamma(t) = it \quad (-1 \leq t \leq 1), z_0 = 1$

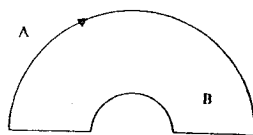
(د)  $\gamma = \sigma + [1, 2] + S + [-2, -1], \quad z_0 = 0,$

که در آن  $\sigma(t) = e^{i(\pi-t)}$  ( $0 \leq t \leq \pi$ ),  $S(t) = 2e^{it}$  ( $0 \leq t \leq \pi$ ),

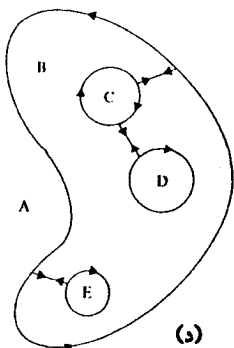
۲۲. (با کمک چشم) مطلوب است محاسبه عدد پیچش مسیرهای بسته داده شده حول یک نقطه در دامنه های A, B, C, ... (شکل ۷-۱۳)



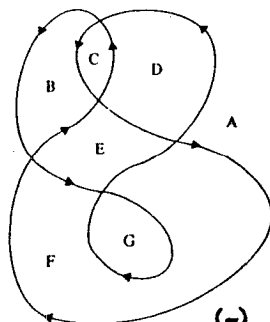
(ب)



(الف)



(د)



(ج)

شکل ۷-۱۳

## فصل هشتم

### قضیه کوشی

قضیه اساسی انتگرال گیری کانتور بیان می کند که اگر  $f$  در  $D$  یک ضد مشتق داشته باشد، آنگاه می توانیم مقدار انتگرال  $f$  را در طول مسیری در  $D$  از  $z_1$  تا  $z_2$  به وسیله فرمول

$$\int_{\gamma} f = F(z_2) - F(z_1)$$

تعیین کنیم. بخصوص، اگر  $\gamma$  بسته باشد، آنگاه

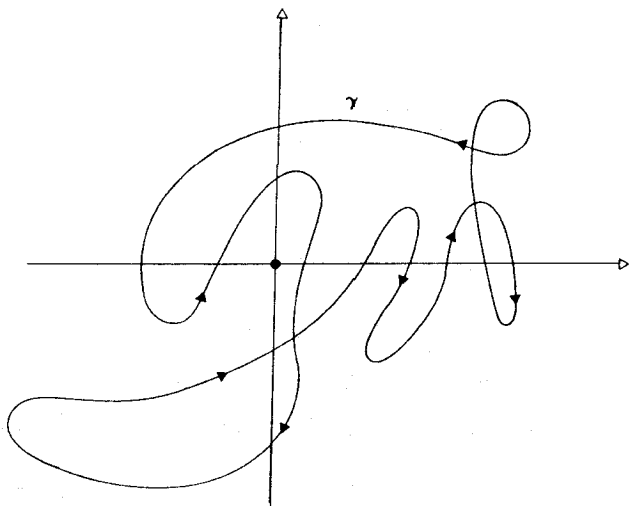
$$\int_{\gamma} f = 0$$

هنگامی که از آغاز دلیلی وجود ندارد که  $f$  ضد مشتق داشته باشد قضیه کوشی شرایطی را تقریر می کند که تحت آن  $\int_{\gamma} f = 0$ . گونه های مختلفی از قضیه کوشی عنوان می شود، یا، دقیقتر بگوییم، قضیه های گوناگونی از این نوع که منسوب به کوشی است وجود دارد، و او بود که برای اولین بار چنین نتیجه ای (حکمی) را منتشر کرد، به این ترتیب که در ۱۸۱۳ میلادی از آن خبر داد و در ۱۸۲۵ آن را به چاپ رساند. گاوس در ۱۸۱۱ از اصل این نظریه مطلع بود، اما این منصب از آن کوشی شد زیرا او بود که برای اولین بار آن را به اطلاع عموم رسانید.

گاوس و کوشی هر دو این واقعیت اساسی را می دانستند که اگر  $\gamma$  حول نقطه های



خارج از  $D$  بچرخد، آنگاه  $\int_{\gamma} f = 0$ . مثلاً،  $f(z) = 1/z$  خارج از دامنه اش  $D$  دارای نقطه منفرد  $0$  است، پس اگر کانتور بسته  $\gamma$  مبدا را دور نزند، خواهیم داشت  $\int_{\gamma} 1/z dz = 0$ . (شکل ۸-۱)



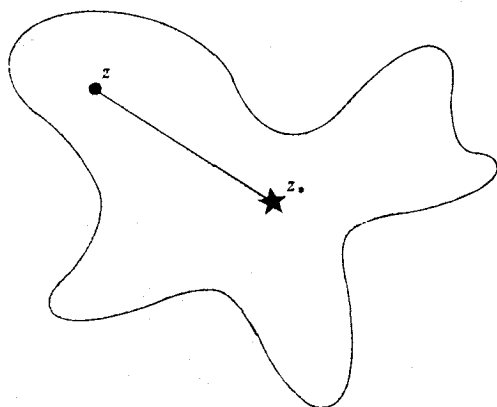
شکل ۸-۱

در این فصل هدف اصلی، اثبات قضیه کوشی است به صورتی که در زیر بیان می شود:

اگر  $f$  در  $D$  مشتق پذیر و به ازاء هر  $z$  خارج از  $D$ ،  $w(\gamma, z) = 0$ ، آنگاه

$$\int_{\gamma} f = 0$$

این نظریه را چنین آغاز می کنیم که به طور دوری به اثبات حالت خاصی که در آن کانتور مورد نظریک مثلث است می پردازیم. سپس به اثبات قضیه ای اقدام می کنیم که در آن لازم است به جای قیدی بر کانتور  $\gamma$  لازم است که قیدی بر دامنه  $D$  مقرر کنیم. می گوئیم  $D$  یک دامنه ستاره ای است به شرط آنکه نقطه ای چون  $z_*$  در آن باشد به طوری که به ازاء هر نقطه دیگر  $z \in D$  قطعه خط  $[z_*, z]$  در  $D$  قرار گیرد. (شکل ۸-۲) در این حال تعریف می کنیم  $F(z) = \int_{[z_*, z]} f$  و نوع مثلثی

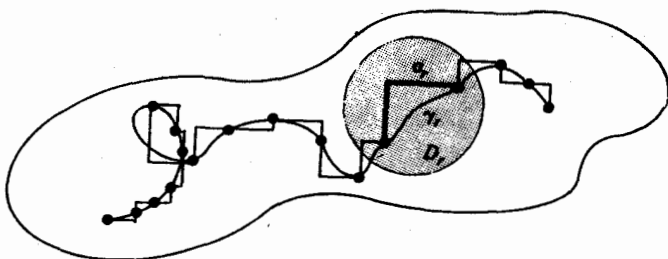


شکل ۸-۲

قضیه مذکور را برای اثبات اینکه  $F$  یک ضد مشتق  $f$  است به کار می گیریم. این بدان معنی است که در مورد هر کانتوریسته در یک دامنه ستاره ای داریم  $\int_{\gamma} f = 0$ . بخصوص یک قرص (دیسک) یک دامنه ستاره ای است و از این مطلب نتیجه ای بسیار مهم حاصل می شود. در مورد یک تابع دیفرانسیل پذیر  $f$  در دامنه ای کلی چون  $D$ ، ممکن است نتوانیم ضد مشتقی چون  $F: D \rightarrow C$  به دست آوریم. ولی اگر توجه خود را به قرص دلخواهی چون  $\Delta$  در  $D$  معطوف کنیم، آنگاه ضد مشتقی چون  $F: \Delta \rightarrow C$  وجود خواهد داشت. بدین سان ممکن یک ضد مشتق سراسری در همه  $D$  وجود نداشته، باشد اما به طور موضعی در هر همسایگی دلخواه  $N_r(z_0) \subseteq D$  به ازاء هر  $z_0 \in D$  وجود دارد.

با به کار گرفتن لمِ فرش کردن، هر کانتور دلخواه  $\gamma$  در دامنه دلخواهی چون  $D$  را می توان به صورت  $\gamma = \gamma_1 + \dots + \gamma_n$  نوشت که در آن هر کانتور فرعی  $\gamma_1$  در درون یک قرص  $D_r \subseteq D$  قرار دارد. در (دامنه ستاره ای)  $D_r$  می توانیم مسیری پله ای چون  $\sigma_r$  را با همان نقاط انتهایی  $\gamma_1$  انتخاب کنیم (بنابر وجود یک ضد مشتق در  $D_r$ )،  $\int_{\sigma_r} f = \int_{\gamma_1} f$ ، اگر  $\sigma = \sigma_1 + \dots + \sigma_n$  آنگاه  $\int_{\sigma} f = \int_{\gamma} f$ . (شکل ۸-۳)

به این ترتیب بررسی  $\int_{\gamma} f$  تحویل می شود به حالت مربوط به یک انتگرال در طول مسیری پله ای چون  $\sigma$ ، که با روشهایی مهم از هندسه می توان آن را مورد بررسی قرار داد.



(شکل ۸-۳)

### ۱. قضیه کوشی در مورد یک مثلث

در پایان قرن نوزدهم، از میان انواع گوناگونی از قضیه کوشی یکی از استادانه ترین برهانها برای یک کانتور مثلثی به وسیله ای. اچ. مور پرورانده شد. برهانهای پیشین به طور معمول تاکید بر آن داشتند که تابع  $f$  یک مشتق پیوسته  $f'$  داشته باشد. با محدود کردن کانتور مورد نظر به یک مثلث، برهان مور فقط نیاز به آن دارد که  $f'$  در تمامی  $D$  وجود داشته باشد. و بدین سان برای همه تابعهای دیفرانسیل پذیر در این نظریه پایه ای فراهم می شود.

با  $z_1, z_2, z_3 \in \mathbb{C}$ ، فرض کنیم  $T(z_1, z_2, z_3)$  مجموعه همه نقاط درون ورودی مثلثی با رئوسهای  $z_1, z_2, z_3$  باشد. (به طور رسمی  $T(z_1, z_2, z_3)$  عبارت است از مجموعه همه نقاط  $\lambda_1 z_1 + \lambda_2 z_2 + \lambda_3 z_3$  که در آن  $\lambda_1, \lambda_2, \lambda_3$  اعداد حقیقی و نامنفی اند که در شرط  $\lambda_1 + \lambda_2 + \lambda_3 = 1$  صدق می کنند). فرض کنیم  $\partial T(z_1, z_2, z_3)$  کانتور مرزی تشکیل یافته از سه قطعه خط  $[z_3, z_1], [z_1, z_2], [z_2, z_3]$  باشد. هر جا که بیم ابهام نرود ما این مثلث را با  $T$  و مرز آن را با  $\partial T$  نشان می دهیم.

قضیه ۸-۱ . (قضیه کوشی در مورد مثلث).

فرض کنیم  $f$  تابعی مشتق پذیر در دامنه ای چون  $D$  باشد . اگر مثلث  $T$  درون

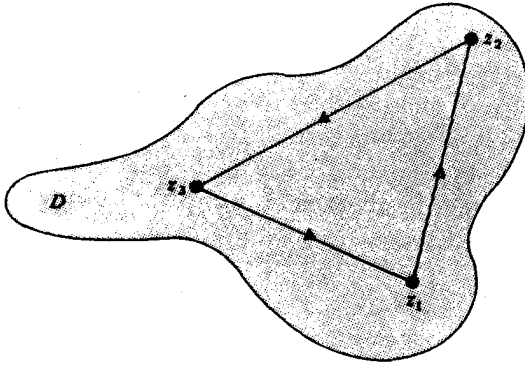
$D$  باشد، آنگاه  $\int_{\partial T} f = 0$  . (شکل ۸-۴)

برهان . فرض کنیم  $c = \left| \int_{\partial T} f \right| \geq 0$  .

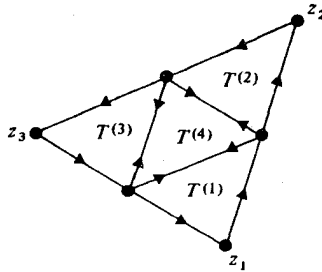
با بحثی غیر مستقیم ثابت می کنیم که  $c = 0$  . ابتدا با وصل کردن اوساط

اضلاع، مثلث  $T$  را به چهار قسمت  $T^{(1)}$ ،  $T^{(2)}$ ،  $T^{(3)}$ ،  $T^{(4)}$  تقسیم می کنیم .

(شکل ۸-۵)



(شکل ۸-۴)



(شکل ۸-۵)

آنگاه  $\int_{\partial T} f = \sum_{r=1}^4 \int_{\partial T^{(r)}} f$  ،

$$c = \left| \int_{\partial T} f \right| \leq \sum_{r=1}^4 \left| \int_{\partial T^{(r)}} f \right|$$

و باید بتوانیم  $r$  را چنان انتخاب کنیم که

$$\left| \int_{\partial T^{(r)}} f \right| \geq \frac{1}{4} c$$

(اگر بیش از یک  $r$  در این نامساوی صدق کند، کوچکترین را انتخاب کنید.)  
تعریف می کنیم  $T_1 = T^{(r)}$ ، آنگاه داریم:

$$L(\partial T_1) = \frac{1}{4} L(\partial T) , \quad \left| \int_{\partial T_1} f \right| \geq \frac{1}{4} c,$$

(که در آن، طبق معمول،  $L(\gamma)$  دلالت بر طول  $\gamma$  دارد).

به تکرار رویه تقسیم بندی برای به دست آوردن دنباله ای از مثلثهای

$$T \supseteq T_1 \supseteq T_2 \supseteq \dots \supseteq T_n \supseteq \dots$$

می پردازیم که در شرایط

$$L(\partial T_n) = \left(\frac{1}{4}\right)^n L(\partial T) , \quad \left| \int_{\partial T_n} f \right| \geq \left(\frac{1}{4}\right)^n c \quad (1)$$

صدق کنند.

بعد هم با به کار بردن این واقعیت که  $f$  مشتق پذیر است، تخمین دیگری برای

$$\left| \int_{\partial T_n} f \right| \text{ به دست آوریم.}$$

دنباله تو در توی  $T \supseteq T_1 \supseteq \dots \supseteq T_n \supseteq \dots$  شامل یک نقطه  $z$  است. اینجا  $f$

مشتق پذیر است. بنابراین، با معلوم بودن  $\varepsilon > 0$ ،  $\delta > 0$  وجود دارد به طوری که

$$\left| \frac{f(z) - f(z_0)}{z - z_0} - f'(z_0) \right| < \varepsilon \quad \text{دهد} \quad 0 < |z - z_0| < \varepsilon$$

پس

$$|z - z_0| < \delta \quad \text{نتیجه می دهد}$$

$$\left| f(z) - f(z_0) - f'(z_0)(z - z_0) \right| < \varepsilon |z - z_0|$$

به ازاء  $N$  صحیحی، هر چه باشد  $n \geq N$  هر نقطه در  $T_n$  درون همسایگی  $\varepsilon$  از  $z$  قرار می‌گیرد. بدین سان با شرط  $n \geq N$ ،  $z \in T_n$  داریم  
 $|f(z) - f(z_0) - f'(z_0)(z - z_0)| \leq \varepsilon|z - z_0|$  . به ازاء  $T_n$ ،  $z \in T_n$  به طور بدیهی داریم  
 $|z - z_0| \leq L(\partial T_n)$ ، و لذا از لیم تخمین نتیجه می‌شود:

$$\left| \int_{\partial T_n} \{f(z) - f(z_0) - f'(z_0)(z - z_0)\} dz \right| \leq \varepsilon L(\partial T_n) \cdot L(\partial T_n). \quad (2)$$

اما  $-f(z) - f'(z_0)(z - z_0)$  به فرم  $a + bz$  است که در آن  $a, b$  ثابت هستند. این  
 ضد مشتقی چون  $\frac{1}{4}bz + az$  دارد، پس  $\int_{\partial T_n} (a + bz) dz = 0$ ، و (2) تحویل  
 می‌شود به

$$\left| \int_{\partial T_n} f \right| \leq \varepsilon L(\partial T_n)^2$$

چون این را با تخمین قبلی در (1) مقایسه کنیم، حاصل می‌شود:

$$\left(\frac{1}{4}\right)^n c \leq \left| \int_{\partial T_n} f \right| \leq \varepsilon L(\partial T_n)^2 = \left(\frac{1}{4}\right)^n \varepsilon L(\partial T)^2$$

و از این حاصل می‌شود:

$$c \leq \varepsilon L(\partial T)^2$$

ولی  $\varepsilon$  دلخواه است و  $c \geq 0$ ، بنابراین باید داشته باشیم  $c = 0$ ، یعنی

$$\int_{\partial T} f = 0 \quad \square$$

این برهان در خور تفسیر است، زیرا ارائه تحلیلی آن نظریه اصلی را که بسیار ساده  
 و بسیار هندسی است محو می‌کند. این برهان دو واقعیت را به کار می‌گیرد. یکی  
 آنکه انتگرال  $f(z)$  روی کانتورها جمع می‌شود - یعنی، مجموع سهمیه‌های

کانتورهای فرعی حاصل شده از یک کانتور برابر با سهمیه همان کانتور اصلی است. دیگر آنکه یک تابع مشتق پذیر در حوالی یک نقطه معلوم تقریباً خطی (یعنی، به فرم  $a+bz$ ) است.

اگر امکان دقیقاً خطی بودن  $f$ ، به طور موضعی، فراهم می بود، آنگاه می توانستیم تقسیم فرعی ظریفی انتخاب کنیم که آن را در هر کانتور فرعی خطی کند؛ روی هر کانتور فرعی مقدار صفر را برای انتگرال مذکور به دست آورید و برای این منظور محاسبه ای صریح روی ضد مشتق یعنی  $az + \frac{1}{2}bz^2$  انجام دهید؛ سپس همه این صفرها را به هم بیفزایید تا برای انتگرال اصلی هم مقدار صفر به دست آید.

متأسفانه چنین چیزی روی نمی دهد و ما با جمع تعداد بیشتر و هر چه بیشتر سهمیه ها روبرو هستیم، که هر یک به صفر نزدیک و نزدیکتر می شوند. با تخمین نرخ رشد یا انقباض نشان می دهیم که خطاهای حاصل از فرض خطی بودن به طور تقریب با سرعت کافی به صفر می گرایند تا جبران تعداد زیاد کانتورهای فرعی را بنمایند.

تمرین جالبی خواهد بود اگر این برهان را چنان بازنویسی کنیم که این توصیف غیر رسمی به صورت یک بحث رسمی درآید به طوری که هندسه را پیش قراول داشته باشد.

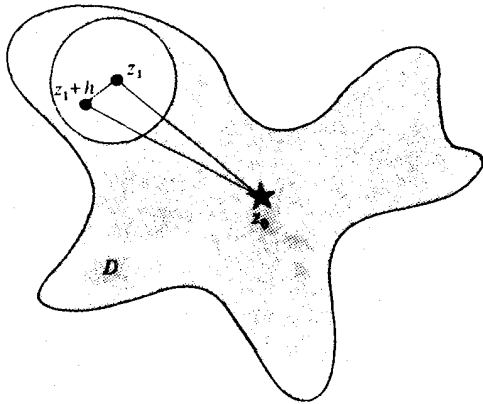
## ۲. وجود یک ضد مشتق در یک دامنه ستاره ای

یادآوری می کنیم که  $D$  یک دامنه ستاره ای است اگر یک  $z_* \in D$  (به نام مرکز ستاره ای) وجود داشته باشد به طوری که خط راست  $[z_*, z]$  به ازاء هر  $z \in D$  درون  $D$  واقع شود. در یک دامنه ستاره ای برای ضد مشتق تابعی چون  $f$  داوطلب مسلمی وجود دارد، یعنی

$$F(z) = \int_{[z_*, z]} f \quad \text{همان انتگرال}$$

**قضیه ۸-۲.** اگر  $f$  تابعی مشتق پذیر در دامنه ستاره ای  $D$  با مرکز ستاره ای  $z_*$  باشد، آنگاه  $F(z) = \int_{[z_*, z]} f$  ضد مشتقی برای  $f$  در  $D$  است.

برهان.  $D$  باز است. پس برای  $z_1 \in D$  یک  $\varepsilon_1 > 0$  وجود دارد به طوری که  
 $N_{\varepsilon_1}(z_1) \subseteq D$ . با شرط  $|h| < \varepsilon_1$ ، مثلی که راسهایش  $z_1, z_1+h$  است تماماً  
 در  $D$  واقع می شود. (شکل ۸-۶)



(شکل ۸-۶)

از قضیه ۸-۱ نتیجه می شود:

$$\int_{[z_1, z_1]} f + \int_{[z_1, z_1+h]} f + \int_{[z_1, z_1+h]} f = 0$$

این را می توان چنین نوشت:

$$F(z_1) + \int_{[z_1, z_1+h]} f - F(z_1+h) = 0$$

یا

$$\frac{F(z_1+h) - F(z_1)}{h} = \frac{1}{h} \int_{[z_1, z_1+h]} f$$

از اینجا به بعد برهان مثل قضیه ۵-۱۱ به پیش می رود.  
 به ازاء ثابت  $c \in C$

$$\int_{[z_1, z_1+h]} cdz = ch,$$



$$\frac{F(z_1+h) - F(z_1)}{h} - f(z_1) = \int_{[z_1, z_1+h]} \frac{f(z) - f(z_1)}{h} dz \quad (3)$$

از پیوسته بودن  $f$  نتیجه می شود که با معلوم بودن  $\varepsilon > 0$  یک  $\delta > 0$  وجود دارد به طوری که

$$|f(z) - f(z_1)| < \varepsilon \quad \text{دهد: } |z - z_1| < \delta$$

برای  $z$  واقع بر قطعه خط  $[z_1, z_1+h]$ ،

$$|f(z) - f(z_1)| < \varepsilon \quad \text{و بنابراین } |z - z_1| < \delta \quad \text{دهد } |h| < \delta$$

از لیم تخمین نتیجه می شود:

$$\left| \int_{[z_1, z_1+h]} \frac{f(z) - f(z_1)}{h} dz \right| \leq \frac{\varepsilon}{|h|} |h|,$$

و از (3)، با شرط  $|h| < \delta$ ، نتیجه می شود:

$$\left| \frac{F(z_1+h) - F(z_1)}{h} - f(z_1) \right| \leq \varepsilon$$

چون  $\varepsilon$  دلخواه است، داریم:

$$\lim_{h \rightarrow 0} \frac{F(z_1+h) - F(z_1)}{h} = f(z_1)$$

بنابراین  $F' = f$ ، و این همان است که می خواستیم.

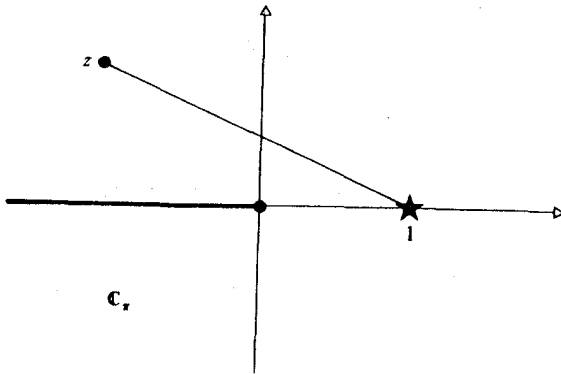
فرع ۸-۳. اگر تابعی مشتق پذیر در یک دامنه ستاره ای  $D$  باشد، آنگاه  $\int_{\gamma} f = 0$ ، که در آن  $\gamma$  کانتور بسته دلخواهی در  $D$  است. و انتگرال  $f$  بین هر دو نقطه دلخواه در  $D$  مستقل از کانتور انتخابی بین این دو نقطه است.

برهان. این استنتاجی سریع از قضایای ۸-۲ و ۶-۱۱ است.

### ۳. یک مثال - لگاریتم

تابع  $f(z) = 1/z$  در دامنه  $C \setminus \{0\}$  مشتق پذیر است.  $C \setminus \{0\}$  دامنه ستاره ای نیست، اما اگر خود را به دامنه ای ستاره ای چون  $D \subset C \setminus \{0\}$  محدود کنیم، آنگاه نتایج بخش اخیر در  $D$  به کار می رود.

صفحه بریده  $C_\pi = C \setminus N$  که در آن  $N = \{x + iy \in C \mid y = 0, x \leq 0\}$  یک دامنه ستاره ای همراه با ۱ به عنوان یک مرکز ستاره ای است. (شکل ۷-۸)

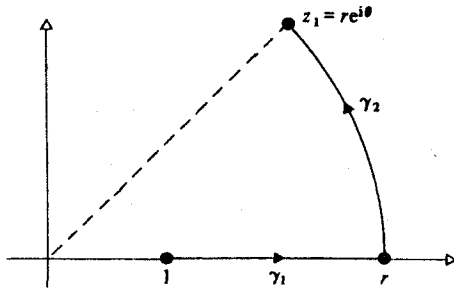


(شکل ۷-۸)

چون  $1/z$  در  $C_\pi$  مشتق پذیر است یک ضد مشتق دارد که آن را با  $\log$  نشان می دهیم و ضابطه اش چنین است:

$$\text{Log} z_1 = \int_{[1, z_1]} 1/z dz \quad (z_1 \in C_\pi)$$

تصریح می کنیم که این انتگرال مستقل از مسیر مذکور است و به همین دلیل انتگرال را در طول یک کانتور انتخاب شده بخصوص می گیریم. فرض کنیم که  $z_1 = re^{i\theta}$  که در آن  $r > 0$  و  $-\pi < \theta < \pi$ ، آنگاه تعریف می کنیم  $\gamma = \gamma_1 + \gamma_2$  که در آن  $\gamma_1$  قطعه خط  $[1, r]$  است و  $\gamma_2(t) = re^{it}$  ( $0 < t < \theta$ ) (چنانچه  $\theta < \pi$ ، آنگاه  $[1, r]$  قطعه خط جهت دار از ۱ به عقب برگشته به  $r$  است چنانچه  $\theta < 0$  باشد، چنین اختیار می کنیم  $\gamma_2(t) = re^{-it}$  ( $0 < t < \theta$ ) (شکل ۸-۸)



(شکل ۸-۸)

$$\begin{aligned} \text{Log} re^{i\theta} &= \int_{\gamma_1} \frac{1}{z} dz + \int_{\gamma_2} \frac{1}{z} dz && \text{آنگاه} \\ &= \int_1^r \frac{1}{t} dt + \int_0^\theta \frac{1}{re^{it}} ire^{it} dt \\ &= \log r + i\theta \end{aligned}$$

و این، چنانچه خواسته باشیم، معبر دیگری به لگاریتم مختلط است که بالاخص درباره پیوستگی آرگومان در صفحه بریده  $C_\pi$  برهانی بسی رضایت بخش تر از نوع کسل کننده آن در بخش  $\gamma_2$  به دست می دهد. چون تابع  $\log$  در  $C_\pi$  مشتق پذیر است، بنابراین پیوسته است. پس قسمت موهومی آن، آرگومان  $z$ ، هم در  $C_\pi$  پیوسته است.

#### ۴. وجود موضعی یک ضد مشتق

فرض کنیم  $f$  در دامنه دلخواهی چون  $D$  مشتق پذیر باشد. در این حال ممکن است  $f$  دارای ضد مشتقی که در سراسر  $D$  به کار آید نباشد. ولی  $D$  باز است. پس به ازاء هر  $z \in D$  یک قرص  $N_r(z) \subseteq D$  وجود دارد. تابعی چون  $F: N_r(z) \rightarrow C$  به طوری که به ازاء همه  $z$  های متعلق به  $N_r(z)$  رابطه

$F'(z) = f(z)$  برقرار باشد ضد مشتق موضعی آنامیده می شود. چون یک قرص یک دامنه ستاره ای است، قضیه ۸-۲ به ما می گوید که یک ضد مشتق موضعی  $f$  در هر قرص واقع در  $D$  وجود دارد.

این مطلب بی درنگ کار انتگرالگیری از تابعهای مشتق پذیر در طول یک کانتور دلخواه را آسان می کند زیرا به جای آن می توانیم در طول یک مسیر پله ای انتگرال بگیریم:

لم ۸-۴. اگر  $\gamma$  کانتوری در دامنه ای مانند  $D$  از  $z_1$  تا  $z_2$  باشد، آنگاه مسیری پله ای مانند  $\sigma$  در  $D$  از  $z_1$  به  $z_2$  وجود دارد به طوری که در مورد هر تابع مشتق پذیر در  $D$  داریم  $\int_{\gamma} f = \int_{\sigma} f$ .

پرهان بنابراین فرس کردن داریم  $\gamma = \gamma_1 + \dots + \gamma_r$  که در آن هر  $\gamma_r$  در یک قرص  $D_r \subseteq D$  قرار دارد. فرض کنیم  $\sigma_r$  یک مسیر پله ای در  $D_r$  از نقطه آغازی  $\gamma_r$  به نقطه پایانی آن باشد، آنگاه در دامنه ستاره ای  $D_r$ ،  $\int_{\gamma_r} f = \int_{\sigma_r} f$  (فرع ۸-۳). اگر  $\sigma = \sigma_1 + \dots + \sigma_n$  آنگاه  $\sigma$  یک مسیر پله ای از  $z_1$  تا  $z_2$  در  $D$ ، مطابق شکل ۸-۱۳ است و

$$\int_{\gamma} f = \sum_{r=1}^n \int_{\gamma_r} f = \sum_{r=1}^n \int_{\sigma_r} f = \int_{\sigma} f$$

### ۵. قضیه کوشی

مرحله به مرحله پیش می رویم تا به قضیه کوشی برسیم. ابتدا مستطیلی

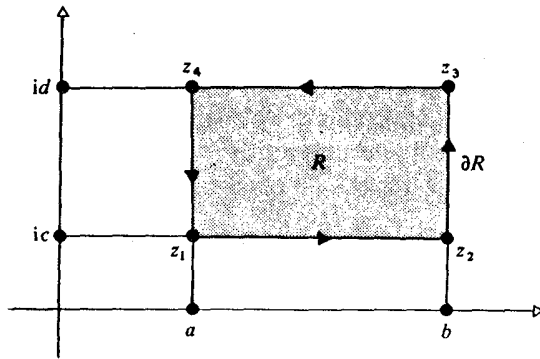
چون؛

$$R = \{x + iy \in \mathbb{C} \mid a \leq x \leq b, c \leq y \leq d\}$$

با کانتور مرزی

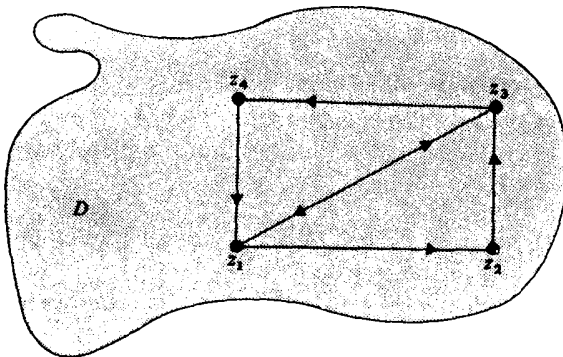
$$\partial R = [z_1, z_2] + [z_2, z_3] + [z_3, z_4] + [z_4, z_1]$$

که در آن  $z_1 = a + ic$ ،  $z_2 = b + ic$ ،  $z_3 = b + id$ ،  $z_4 = a + id$  باشد، در نظر



شکل ۸-۹

لم ۸-۶. اگر  $R \subseteq D$  و  $f$  در  $D$  مشتق پذیر باشد، آنگاه  $\int_{\partial R} f = 0$ .  
 پرهان. کانتورهای متقابل  $[z_1, z_2]$ ,  $[z_2, z_1]$  را درج کرده و قضیه 'کوشی را در  
 مورد یک مثلث دو بار به کار ببرید. (شکل ۸-۱۰)



(شکل ۸-۱۰)

حال یک مسیر پله ای بسته دلخواه  $\sigma$  اختیار می نمایم و به درج قطعه  
 خط های اضافی می پردازیم تا گردایه ای از مستطیلهای تشکیل دهیم. برای انجام این



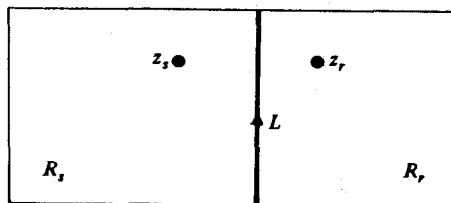
مثلاً در شکل ۸-۱۱،  $R_8, R_7, R_6, R_3$  را در نظر می‌گیریم؛ با حذف قطعه خطهای روبرو که برای  $R_8, R_6$  و برای  $R_8, R_7$  مشترك هستند، کا را به کانتور پله‌ای  $\sigma$  خاتمه می‌دهیم.

برای این که نشان دهیم که چنین کاری در مورد یک کانتور پله‌ای بسته دلخواه  $\sigma$  به کار می‌آید، جای آن دارد که نماد  $n\gamma$  را برای نمایش  $n$  کپی از  $\gamma$  به ازاء  $n \geq 0$ ؛ و  $-n$  کپی از  $\gamma$  به ازاء  $n < 0$  به کار بگیریم. پس از آن سر راست ترین رویه آن است که با مجموعه کانتورهای

$$A = \{v_1 \partial R_1, v_2 \partial R_2, \dots, v_k \partial R_k, -\sigma\}$$

آغاز به کار کرده نشان دهیم که حذف قطعه خط‌های متقابل  $L$  و  $-L$ ، هر جا که روی دهند، منجر به حذف همه آنها می‌شود.

فرض کنیم که در پایان  $q$  کپی از قطعه خطی چون  $L$  بر جای بماند. آنگاه  $L$  دست کم ضلع یک مستطیل متناهی مانند  $R_s$  است، و به هنگام لزوم با منفی گرفتن  $q$ ، می‌توانیم فرض کنیم که  $L$  در همان جهتی کشیده شده است که  $\partial R_s$ . همچنین فرض کنیم  $R_r$  مستطیلی باشد که در طرف دیگر  $L$  است (که  $R_r$  ممکن است متناهی یا نامتناهی باشد). (شکل ۸-۱۲)



(شکل ۸-۱۲)

آنگاه مجموعه کانتورهای بسته

$$B = AU\{-q \partial R_s\}$$

به آسانی نشان می دهد که هیچ کپی ای از  $L$  را شامل نیست. اگر اعداد پیچش برای کانتورهای  $B$  به دور  $z_s$  (درون  $R_s$ )،  $z_r$  (درون  $R_r$ ) را حساب کنیم، آنگاه نبودن  $L$  در مجموعه ساده شده کانتورها به ما می گوید که این دو عدد پیچش یکی هستند. اما عدد پیچش به دور  $z_s$  عبارت است از:

$$v_1 w(\partial R_1, z_r) + \dots + v_k w(\partial R_k, z_s) - w(\sigma, z_s) - q w(\partial R_s, z_s) = -q$$

و به دور  $z_r$  عبارت است از:

$$v_1 w(\partial R_1, z_r) + \dots + v_k w(\partial R_k, z_r) - w(\sigma, z_r) - q w(\partial R_s, z_s) = 0$$

بدین سان  $q = 0$  می شود و خواسته ما نیز همین بود. این تأیید آن است که  $\sigma$  را می توان با اختیار کپی های  $v_n$  از هر یک از کانتورهای مستطیلی مربوط و حذف قطعه خطهای متقابل، هر جا که روی دهند، به دست آورد.

**قضیه ۷-۸.** فرض کنیم  $\sigma$  یک مسیر پله ای بسته در دامنه  $D$  باشد به طوری که  $w(\sigma, z) = 0$  به ازاء هر  $z \in D$ .

آنگاه به ازاء هر تابع دیفرانسیل پذیر  $f$  در  $D$ ،  $\int_{\sigma} f = 0$

برهان.  $\sigma$  را بر حسب مستطیلهای مربوط بیان می داریم و نشان می دهیم که هر مستطیل مربوط  $R_n$  تماماً باید در درون  $D$  جای گیرد. مسلماً، هنگامی که  $z$  در درون  $R_n$  است،  $w(\sigma, z) = v_n \neq 0$  و بنابراین  $z$  باید که در  $D$  جای گیرد. از طرف دیگر، نقطه ای چون  $z$  واقع بر مرز  $\partial R_n$  یا بر  $\sigma$  واقع است (و بنابراین در  $D$  قرار دارد) و یا مثل نقاطی که در درون  $R_n$  قرار دارند بر همان مولفه از متمم  $\sigma$  قرار دارد، در نتیجه  $w(\sigma, z) = v_n \neq 0$  و باز هم،  $z \in D$ ، چون سهمیه های در طول کانتورهای متقابل را حذف کنیم،

$$\int_{\sigma} f = \sum_{n=1}^k v_n \int_{\partial R_n} f$$

انتگرالهای سمت راست را فقط هنگامی باید در نظر بگیریم که  $v_n \neq 0$ ؛ در این



حال مستطیل مربوط  $R_n$  تماماً در  $D$  قرار می گیرد: (بنابر لم ۷-۶)

$$\int_{\partial R_n} f = 0$$

بدین سان،  $\int_{\sigma} f = 0$ ، همان طور که می خواستیم.  
اینک به مطلب اساسی این فصل می رسیم:

### قضیه کوشی (قضیه ۸-۸)

فرض کنیم که  $f$  در دامنه ای چون  $D$  مشتق پذیر و  $\gamma$  یک کانتور بسته در  $D$  باشد که هیچ یک از نقاط خارج از  $D$  را دور نمی زند (به این معنی که به ازاء  $w(\gamma, z) = 0$ ،  $z \notin D$  آنگاه  $\int_{\sigma} f = 0$ ).

برهان. یک مسیر پله ای  $\sigma$  در  $D$  هست به طوری که  $\int_{\sigma} \phi = \int_{\gamma} \phi$  که در آن  $\phi$  تابعی است مشتق پذیر و دلخواه در  $D$  (با به کار گیری لم ۸-۴). بخصوص  $\int_{\sigma} f = \int_{\gamma} f$ .  
به ازاء  $z \notin D$ ، تابع  $\phi(z) = 1/(z-z_0)$  هم در  $D$  مشتق پذیر است، و

بنابراین

$$w(\sigma, z_0) = \frac{1}{2\pi i} \int_{\sigma} \phi = \frac{1}{2\pi i} \int_{\gamma} \phi = w(\gamma, z_0) = 0$$

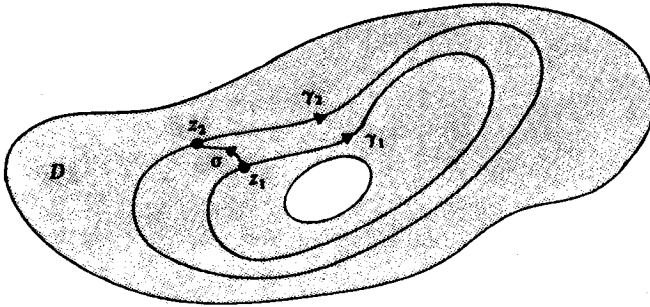
با توجه به لم ۷-۸ داریم  $\int_{\sigma} f = 0$ . بدین سان

$$\int_{\gamma} f = \int_{\sigma} f = 0$$

### ۶. موارد استعمال قضیه کوشی

قضیه کوشی که هم اکنون بیان کردیم نه تنها بسادگی نشان می دهد که انتگرال به دور بعضی کانتورهای بسته برابر صفر است بلکه موارد استعمالی بسیار وسیعتر از این دارد و به ما امکان می دهد که انتگرالهای ناصفر را هم حساب کنیم. مثلاً فرض کنیم  $\gamma_1, \gamma_2$  دارای عددهای پیچش یکسان به دور همه نقاط خارج از  $D$  باشند

یعنی به ازاء هر  $z \notin D$  ،  $w(\gamma_1, z) = w(\gamma_2, z)$  . فرض کنیم  $z_1$  نقطهٔ آغاز، نقطهٔ پایان  $\gamma_1$  ،  $z_2$  نقطهٔ آغاز و پایان  $\gamma_2$  باشند. کانتور دلخواهی چون  $\sigma$  از  $z_1$  به  $z_2$  در نظر بگیرید. (شکل ۸-۱۳)



(شکل ۸-۱۳)

آنگاه  $\gamma = \gamma_1 - \sigma - \gamma_2 + \sigma$  (به دور  $\gamma_1$  ، در طول  $\sigma$  ، به دور  $\gamma_2$  - و برگشت در طول  $\sigma$  -) یک کانتور بسته در  $D$  است و  $w(\gamma, z) = 0$  به ازاء  $z \notin D$  . با به کار گرفتن قضیهٔ کوشی ،  $\int_{\sigma} f = 0$  ، و در نتیجه

$$\int_{\gamma_1} f + \int_{\sigma} f - \int_{\gamma_2} f - \int_{\sigma} f = 0$$

ولذا

$$\int_{\gamma_1} f = \int_{\gamma_2} f$$

اگر به محاسبهٔ  $\int_{\gamma_1} f$  نائل شویم. بسا که بتوانیم، مثل بالا، کانتور دیگری مثل  $\gamma_2$  بیابیم، طوری که محاسبهٔ انتگرال  $\int_{\gamma_2} f$  آسانتر باشد. از این واقعیت با بیان نتیجهٔ آن بعدها در همین کتاب بهره برداری خواهیم کرد. تکنیک وارد کردن کانتورهای متقابل  $\sigma, \sigma$  - که سهمیه های آنها مآلاً حذف می شوند روش مفید دیگری است که به ما امکان می دهد قضیه ای بسیار تواناتر را به اثبات برسانیم.

قضیه ۸-۹. (نوع تعمیم یافته قضیه کوشی)

فرض کنیم  $\gamma_1, \dots, \gamma_n$  کانتورهای بسته در دامنه ای چون  $D$  باشند به طوری که به ازاء همه  $z$  هایی که به  $D$  متعلق نیستند

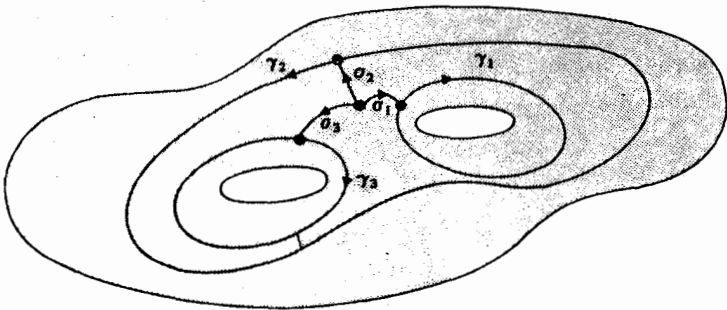
$$w(\gamma_1, z) + \dots + w(\gamma_n, z) = 0$$

آنگاه، در مورد تابع مشتق پذیر  $f$  در  $D$ ،

$$\int_{\gamma_1} f + \dots + \int_{\gamma_n} f = 0$$

برهان. فرض کنیم  $\gamma_r$  در  $z_r$  ( $1 \leq r \leq n$ ) آغاز می شود و پایان می یابد. نقطه دلخواهی چون  $z$  و کانتورهای  $\sigma_1, \dots, \sigma_n$  را در  $D$  انتخاب می کنیم که  $z$  را به ترتیب به  $z_1, \dots, z_n$  وصل می کنند. (شکل ۸-۱۴). آنگاه

$$\gamma = \sigma_1 + \gamma_1 - \sigma_1 + \dots + \sigma_n + \gamma_n - \sigma_n$$



شکل ۸-۱۴

کانتورهای بسته که آغاز و پایانش  $z$  است و

$$w(\gamma, z) = 0, \quad z \notin D$$

بنابر قضیه کوشی، و بنابراین

$$\sum_{r=1}^n \left( \int_{\sigma_r} f + \int_{\gamma_r} f - \int_{-\sigma_r} f \right) = 0$$

یعنی،

$$\sum_{r=1}^n \int_{\gamma_r} f = 0$$

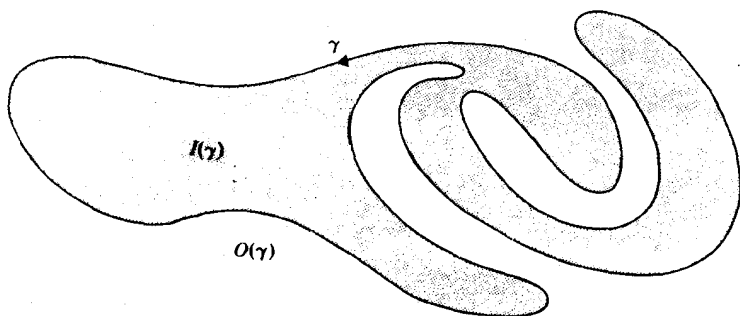
□

دو کانتور بسته  $\gamma_1$ ،  $\gamma_2$  و کانتوری چون  $\sigma$  در  $D$  که نقطه ای از  $\gamma_1$  را به نقطه ای از  $\gamma_2$  می پیوندد در نظر می گیریم (شکل ۸-۱۳)، آنگاه زوج کانتورهای  $\sigma$  و  $\sigma$  را یک قطع از  $\gamma_1$  به  $\gamma_2$  می نامند. برای این دلیلی تاریخی وجود دارد. انواع پیشین قضیه کوشی بدون تغییر در مورد کانتورهای جردن به اثبات رسید. یک کانتور بسته جردن کانتوری بسته چون  $\gamma: [a, b] \rightarrow C$  است که خودش را قطع نمی کند،

یعنی،

$$\gamma(t_1) \neq \gamma(t_2) \quad a < t_1 < t_2 \leq b$$

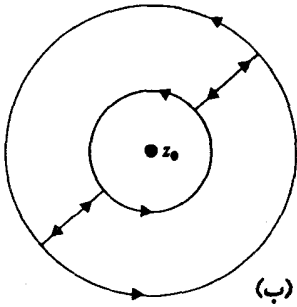
به طور شهودی واضح، ولی به طریق تحلیلی مشکل است که ثابت کنیم که هر کانتور بسته جردن صفحه را به دو مولفه جدا می کند، یعنی نقاط خارج  $\gamma$ ،  $O(\gamma)$  و یعنی نقاط داخل  $\gamma$ ،  $I(\gamma)$  که هر دو مجموعه هایی همبند هستند. (شکل ۸-۱۵)



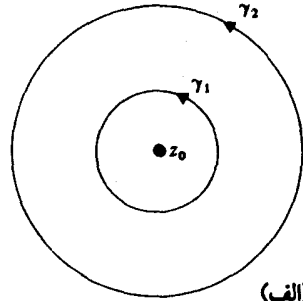
(شکل ۸-۱۵)

انواع پیشین قضیه کوشی بیان می کردند که اگر  $\gamma, I(\gamma)$  در  $D$  قرار داشته باشند، آنگاه  $\int_{\gamma} f = 0$ . در موارد استعمال لازم آمد که «قطع ها» را معرفی و وارد کنیم تا بتوانیم کانتورهای جردن را بسازیم. مثلاً، فرض کنیم  $f$  همه جا به استثنای  $z$  مشتق پذیر باشد و کانتورهای جردن  $\gamma_1, \gamma_2$  هر دو یک بار به دور  $z$ ، مطابق

شکل ۸-۱۶ا بگردند. در این شکل دو قطع ساخته شده تا دو کانتور جردن به دست بدهد به طوری که  $f$  درون هر یک از آنها مشتق پذیر باشد (شکل ۸-۱۶ب).  
 آنگاه معلوم است که انتگرال به دور هر یک از دو کانتور جردن صفر است و با حذف سهمیه های مربوط به قطعها نتیجه  $\int_{\gamma_1} f = \int_{\gamma_2} f$  به دست می آید. روشهایی از این قبیل معمولاً متکی بر شهود هندسی هستند، که گاهی با برهان تحلیلی حمایت نمی شوند. با معرفی عدد پیچش به منظور



(ب)



(الف)

(شکل ۸-۱۶)

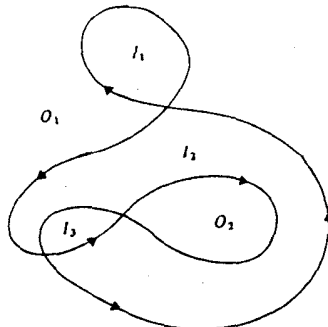
پیوند دادن آنالیز و شهود هندسی از چنین گودال های سرپوشیده ای شاید بتوان برحذر ماند، و با کمک آنها نیازی به محدود کردن این نظریه به کانتورهای جردن نیست. به جای این کار می توان درون کانتور بسته دلخواه  $\gamma$  را چنین تعریف کرد

$$I(\gamma) = \{z \in \mathbb{C} \mid w(\gamma, z) \neq 0\}$$

و بیرون  $\gamma$  را چنین

$$O(\gamma) = \{z \in \mathbb{C} \mid w(\gamma, z) = 0\}$$

به طور کلی لزومی ندارد که  $O(\gamma)$ ،  $I(\gamma)$  همبند باشند. (در شکل ۸-۱۷،  $O(\gamma)$  دارای دو مولفه  $O_1, O_2$  است، و در همین حال  $I(\gamma)$  سه مولفه دارد،  $I_1, I_2, I_3$ ).



(شکل ۸-۱۷)

قضیه کانتور جردن (که آن را اثبات نمی کنیم)، با توجه به مقدمات فوق می گوید که بیرون و درون یک کانتور بسته جردن هر دو همبند هستند.

در مورد کانتور بسته دلخواهی چون  $\gamma$  قضیه کوشی را به صورتی که در

قضیه ۸-۸ آمده تجدید عبارت می کنیم

قضیه ۸-۱۰. فرض کنیم  $f$  در دامنه ای چون  $D$  مشتق پذیر باشد. اگر کانتور بسته ای مانند  $\gamma$  و درون آن  $I(\gamma)$  در  $D$  واقع شوند، آنگاه  $\int_{\gamma} f = 0$ .

### ۷. دامنه های همبند ساده

این نکته را دریافته ایم (قضیه ۶-۱۱) که رابطه  $\int_{\gamma} f = 0$  به ازاء همه کانتورهای بسته واقع در دامنه  $D$  دقیقاً وقتی برقرار است که  $f$  یک ضد مشتق داشته باشد. اکنون می توانیم شرایط دقیقی را بیان کنیم که تحت آنها چنین وضعی در مورد همه تابعهای مشتق پذیر در دامنه معلومی چون  $D$  رخ می دهد. می گوئیم که دامنه ای چون  $D$  همبند ساده است اگر به ازاء هر کانتور بسته  $\gamma$  در  $D$  و  $z \notin D$  داشته باشیم  $w(\gamma, z) = 0$ . به طور هم ارز، اگر  $\gamma$  کانتوری بسته در  $D$  باشد، آنگاه  $I(\gamma)$  در  $D$  قرار دارد. و بنابراین داریم:

قضیه ۸-۱۱. با دامنه معلومی چون  $D$  به ازاء همه کانتورهای بسته  $\gamma$  در  $D$  و همه تابعهای مشتق پذیر  $f$  در  $D$  رابطه  $\int_{\gamma} f = 0$  برقرار است اگر و فقط اگر  $D$  همبند ساده باشد.

برهان. اگر  $D$  همبند ساده باشد، از قضیه کوشی برمی آید که به ازاء هر  $\gamma$  در  $D$  و هر  $f$  مشتق پذیر در  $D$  داریم  $\int_{\gamma} f = 0$ . بعکس اگر  $D$  همبند ساده نباشد، آنگاه یک کانتور بسته  $\gamma$  در  $D$  و  $z \notin D$  وجود دارد به طوری که  $w(\gamma, z) \neq 0$ . فرض کنیم  $\phi(z) = \sqrt{2\pi i}(z - z_0)$ ، آنگاه  $\phi$  در  $D$  مشتق پذیر است و  $\int_{\gamma} \phi = w(\gamma, z_0) \neq 0$ .

## تمرینهای ۸

۱. از موارد زیر کدام یک دامنه های ستاره ای هستند، برای آنها که چنینند مرکز ستاره ای مشخص کنید و در مورد آنها که چنین نیستند جواب خود را مدلل بسازید.

$$\{z \in \mathbb{C} \mid z \neq x + io, x \leq 1 \text{ یا } x \geq 1\} \quad (\text{الف})$$

$$\{z \in \mathbb{C} \mid |z| > 1\} \quad (\text{ب})$$

$$\{z \in \mathbb{C} \mid z \neq e^{it}, 0 \leq t \leq \pi\} \quad (\text{ج})$$

$$z \in \mathbb{C} \mid |z| > 1, \operatorname{rez} > 0 \text{ و یا } \operatorname{imz} > 0 \quad (\text{د})$$

۲. فرض کنیم  $D = \mathbb{C} \setminus \{0\}$ . به ازاء  $z \in D$  در مورد هر یک از تابعهای زیر یک ضد مشتق در یک همسایگی از  $z$  مشخص کنید:

$$1/z \quad (\text{الف})$$

$$1/z^2 \quad (\text{ب})$$

$$(z+1)/z^2 \quad (\text{ج})$$

$$(\cos z)/z \quad (\text{د})$$

$$(\sin z)/z \quad (\text{ه})$$

۳. فرض کنیم:

$$\gamma_1(t) = -1 + \frac{1}{\sqrt{2}} e^{it} \quad (0 \leq t \leq 2\pi)$$

$$\gamma_2(t) = 1 + \frac{1}{\sqrt{2}} e^{it} \quad (0 \leq t \leq 2\pi)$$

$$\gamma(t) = 2e^{-it} \quad (0 \leq t \leq 2\pi)$$

اگر  $f(z) = 1/(z^2 - 1)$ ، قضیه ۸-۹ را به کار گرفته نتیجه بگیرید:

$$\int_{\gamma} f = \int_{\gamma_1} f + \int_{\gamma_2} f$$

این گزاره را بر حسب عددهای پیچش  $\gamma, \gamma_1, \gamma_2$  به دور ۱، ۱- تعبير کنید.  
۴. ثابت کنید  $D = \{z \in \mathbb{C} | z \neq \pm 1\}$  همبند ساده نیست. فرض کنیم

$$L_1 = \{x + iy \in \mathbb{C} | y = 0, x \leq -1\}$$

$$L_2 = \{x + iy \in \mathbb{C} | y = 0, x \geq 1\}$$

$$D_1 = D \setminus (L_1 \cup L_2)$$

نشان دهید که  $D_1$  همبند ساده است. آیا یک دامنه ستاره ای است؟ آیا  $f(z) = 1/(z^2 - 1)$  در  $D_1$  یا  $D$  ضد مشتق دارد؟ در هر حالت، جواب خود را مدلل سازید.

۵. فرض کنیم  $D = \{z \in \mathbb{C} | z \neq \pm i\}$  و فرض کنیم  $\gamma$  یک کانتور بسته در  $D$  باشد. همه مقادیر ممکنه  $\int_{\gamma} 1/(z^2 + 1) dz$  را بیابید. اگر  $\sigma$  کانتوری از ۰ تا ۱ باشد. همه مقادیر ممکنه  $\int_{\gamma} 1/(z^2 + 1) dz$  را بیابید.

۶. فرض کنیم  $\gamma_1 = S_1 + L - S_2 - L$ ،  $\gamma_2 = S_1 + L - S_2 - L$  که در آن

$$S_1(t) = e^{it} \quad (0 \leq t \leq 2\pi),$$

$$S_2(t) = 2e^{it} \quad (0 \leq t \leq 2\pi),$$

$$L = [1, 2]$$

درون و بیرون  $\gamma_1, \gamma_2$  را توصیف کنید.

فرض کنیم  $f(z) = (\cos z)/z$ . با نوشتن  $\cos z$  به صورت یک سری توانی و قرار دادن  $f(z) = (1/z) + g(z)$ ، یا غیر آن، به محاسبه  $\int_{\gamma_2} f, \int_{\gamma_1} f$  پردازید. این محاسبات را با قضیه ۸-۱۰ مقایسه کنید.



۷. فرض کنیم  $D = \{z \in \mathbb{C} \mid z \neq z_1, z \neq z_2, \dots, z \neq z_k\}$  همچنین فرض می‌کنیم  $f$  در  $D$  مشتق پذیر است. نشان دهید که به ازاء هر کانتور بسته  $\gamma$  در  $D$

$$\int_{\gamma} f = \sum_{r=1}^k n_r \int_{S_r} f$$

که در آن  $S_r$  دایره به مرکز  $z_r$  است و  $n_r$  عددی است صحیح. اگر  $\lim_{z \rightarrow z_r} (z - z_r)f(z) = a_r \in \mathbb{C}$ ،  $r = 1, \dots, k$ ، نشان دهید که

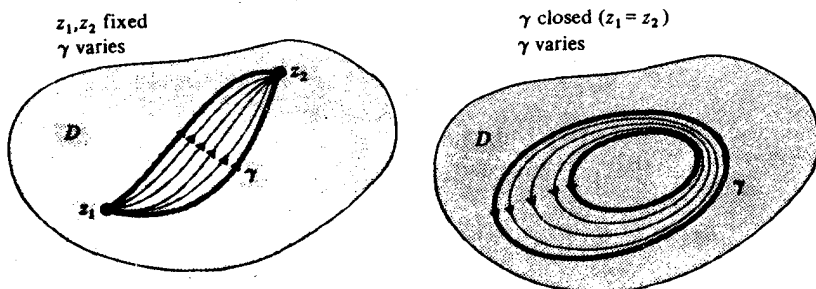
$$\int_{\gamma} f = \sum_{r=1}^k 2\pi i n_r a_r$$

## فصل نهم

### انواع هموتوپی از قضیه کوشی

در این فصل به این نکته می پردازیم که وقتی به  $\gamma$  امکان تغییر می دهیم برای  $\int_{\gamma} f$  چه پیش می آید. این مطلب برای هیچ یک از مطالب آتی در این متن ضرورت ندارد، و لذا همه این فصل را می توان نادیده گرفت. با این وصف، شرایط دقیقی که تحت آنها  $\gamma$  ممکن است به طور پیوسته تغییر کند ولی  $\int_{\gamma} f$  بدون تغییر باقی بماند در این فصل عنوان می شود. این کار به دو طریق انجام می شود. یکی آنکه نقاط انتهایی  $z_1, z_2$  را ثابت نگه داریم و در عوض کانتور مورد نظر از  $z_1$  تا  $z_2$  به طور پیوسته تغییر شکل بدهد. دیگر آن که به کانتوری بسته امکان بدهیم که به طور پیوسته تغییر شکل بدهد. در هر دو حالت تغییر شکلها باید در دامنه  $D$  که در آن  $f$  مشتق پذیر است صورت پذیرد (شکل ۹-۱)

این هر دو حالت های خاصی از تنها یک نتیجه هستند (قضیه کوشی در مورد یک مرز) که در بخش ۲ ثابت شده است. قبل از این، در بخش ۱، نشان می دهیم



شکل (۹-۱)

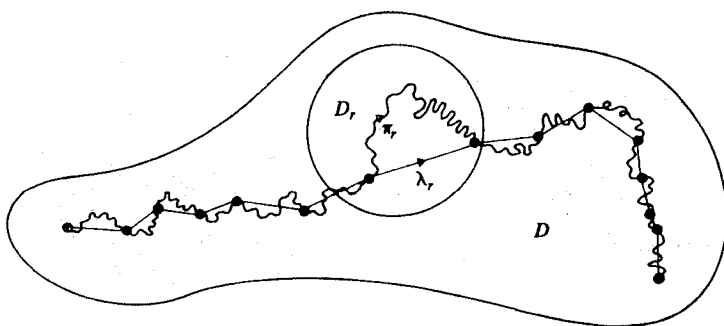
که وقتی  $f$  مشتق پذیر است برای تعریف  $\int_{\gamma} f$  در طول یک مسیر دلخواه چگونه می توان شرایط بر  $\gamma$  را تخفیف داد. این کار به ما امکان می دهد که  $\gamma$  را آزادانه در  $\int_{\gamma} f$  تغییر دهیم بدون آنکه نگران آن باشیم که تغییرات فیما بین همیشه کانتور هستند یا نه.

### ۱. انتگرالگیری در طول مسیرهای دلخواه

فرض کنیم که  $f$  در دامنه ای چون  $D$  مشتق پذیر باشد. تاکنون همواره تاکید کرده ایم که انتگرالگیری باید در طول کانتوری در  $D$  انجام پذیرد. ولی، در مورد یک تابع مشتق پذیر، مسیری که به دقت انتخاب شده باشد چندان اهمیت ندارد. این را در لم ۷-۴ دیدیم که به ما امکان می دهد که یک کانتور را با یک مسیر پله ای تعویض کرده و همان نتیجه را بگیریم. همین تکنیک را برای تعریف مفهوم یک انتگرال در طول یک مسیر دلخواه به کار می گیریم. فرض کنیم  $\pi: [a, b] \rightarrow D$  یک مسیر دلخواه در  $D$  باشد. آنگاه لم فرس کردن یک تقسیم جزئی  $a = t_0 < t_1 < \dots < t_n = b$  به دست می دهد به طوری که هر مسیر فرعی  $\pi_r$  تعریف شده بر  $[t_{r-1}, t_r]$  در درون یک قرص  $D_r \subseteq D$  واقع می شود. فرض کنیم  $\gamma$  چند ضلعی تقریب کننده به صورت  $\lambda = \lambda_1 + \dots + \lambda_n$  باشد که  $\lambda_r$  قطعه خطی است از  $\pi(t_{r-1})$  به  $\pi(t_r)$ . آنگاه  $\lambda$  کانتوری است در  $D$  و می توانیم  $\int_{\pi} f$  را چنین تعریف کنیم:

$$\int_{\pi} f = \int_{\lambda} f$$

(شکل ۹-۲ را ببینید)



شکل (۹-۲)

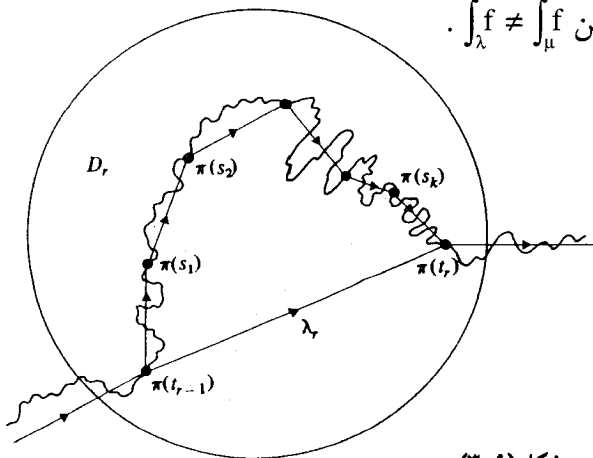
می توان ملاحظه کرد که این تعریف مستقل از انتخاب  $\lambda$  است، به شرط آنکه لم فرش کردن را به گونه ای که توصیف کرده ایم در آن به کار بگیریم. زیرا اگر نقاط تقسیم بیشتری بین  $t_r, t_{r-1}$  وارد کنیم:

$$t_{r-1} < s_1 < \dots < s_k < t_r,$$

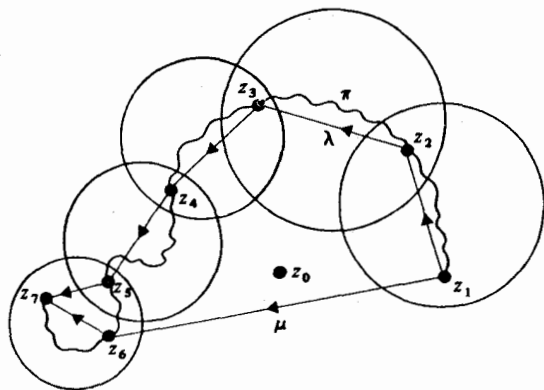
آنگاه  $\pi(s_1), \dots, \pi(s_k) \in D_r$ ، آنگاه انتگرال  $f$  در طول  $\lambda_r$  دارای همان مقداری است که در طول چند ضلعی با راسهای  $\pi(t_r), \pi(s_k), \dots, \pi(s_1), \pi(t_{r-1})$  (شکل ۳-۹).

بدین سان معلوم می شود که افزاز ظرفیتر انتگرال مورد نظر را تخمین نمی دهد. در چند ضلعی تقریبی  $\lambda$ ،  $\mu$  برای  $\pi$  را که با به کار گرفتنهای متفاوت لم فرش کردن به دست آمده اند در نظر می گیریم. فرض کنیم  $\nu$  چند ضلعی ای باشد که راسهایش با انتخاب همه راسهای  $\lambda, \mu$  حاصل شده اند. آنگاه  $\int_{\pi} f$  و تعریف  $\int_{\lambda} f = \int_{\nu} f = \int_{\mu} f$  ضلعی تقریبی است.

یک چند ضلعی تقریبی دلخواه برای  $\pi$  به کار نمی آید. در شکل ۴-۹ فرض می کنیم  $D = C \setminus \{z\}$ . چند ضلعی  $\lambda$  با راسهای  $z_1, z_2, z_3, z_4, z_5, z_7$  تقریبی است برای  $\pi$  که با به کار گرفتن لم فرش کردن به دست آمده است اما چند ضلعی  $\mu$  با راسهای  $z_1, z_2, z_3$  چنین نیست. اگر  $f = 1/(z - z_2)$   $\int_{\lambda} f - \int_{\mu} f = 2\pi i$  می شود، بنابراین  $\int_{\lambda} f \neq \int_{\mu} f$ .



شکل (۳-۹)



شکل (۹-۴)

بررسی اینکه آیا قضیه‌های فصل ۸ برای مسیرهای دلخواه باز هم برقرار است کاری است سراسر، هر اندازه هم که این مسیر وحشی باشد (حتی منحنی‌های «فضا پرکن»). مثلاً، اگر  $f$  در  $D$  مشتق پذیر باشد و  $\pi$  به دور نقاطی خارج از  $D$  نگردد، آنگاه  $\int_{\pi} f = 0$ . با چنین نتایجی که در اختیار داریم می‌توانیم دیدگاه‌های خود را گسترده‌تر کنیم و به معرفی مفاهیم کلی از توپولوژی بپردازیم.

## ۲. قضیه کوشی برای یک مرز

فرض کنیم  $R$  مستطیل

$$\{x + iy \in \mathbb{C} \mid a \leq x \leq b, c \leq y \leq d\}$$

با کانتور مرزی  $\partial R$  باشد، (شکل ۹-۵). فرض را بر این می‌گذاریم که

$\partial R : [0, p] \rightarrow \mathbb{C}$  با طول کمان پارامتری شده است و در آن

$$P = 2(b-a) + 2(d-c)$$

(شکل ۹-۶) محیط  $R$  است.

با در دست داشتن نگاهت پیوسته  $\phi : R \rightarrow \mathbb{C}$ ، مرز  $\phi$  را

$$\partial \phi : [0, p] \rightarrow \mathbb{C}$$

تعریف می‌کنیم که در آن

$$\partial \phi(t) = \phi(\partial R(t)) \quad (0 \leq t \leq P)$$

مثال ۱. فرض کنیم:

$$\phi(z + iy) = xe^{iy} \quad \{a \leq x \leq b, 0 \leq y \leq 1\}$$

آنگاه مطابق شکل ۷-۹،

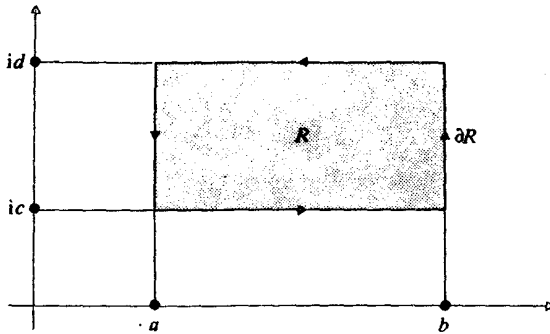
$$\partial \phi = \Gamma_1 + \Gamma_2 + \Gamma_3 + \Gamma_4$$

مثال ۲. فرض کنیم  $R = \{x + iy \mid 0 \leq x \leq 1, 0 \leq y \leq 1\}$  . به ازاء

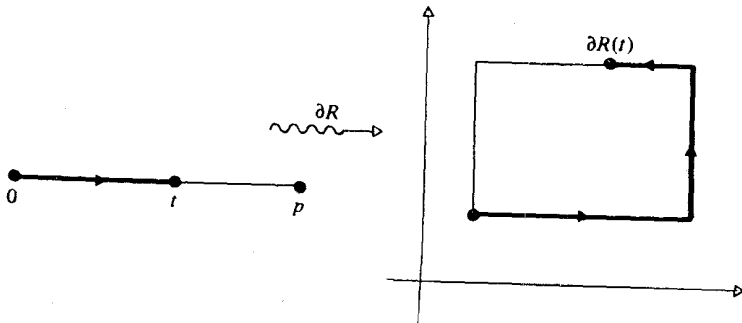
$x + iy \in R$  ،  $x + y \geq 1$  ، تعریف می کنیم

آنگاه  $\phi(x + iy) = x + iy$  ، و به ازاء  $x + iy \in R$  ،  $x + y \leq 1$  ،  $\phi(x + iy)$  را

انعکاس  $x + iy$  نسبت به خط  $x + y = 1$  تعریف می کنیم.

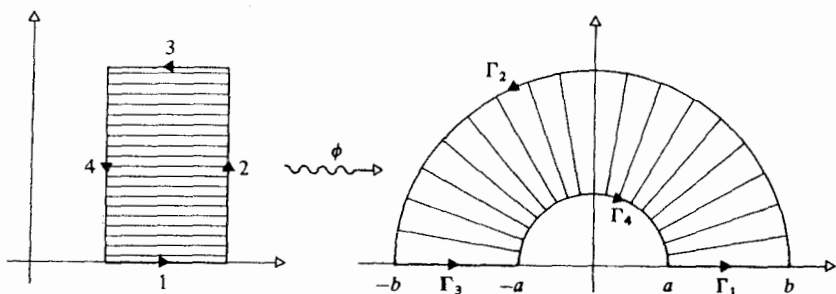


شکل (۵-۹)

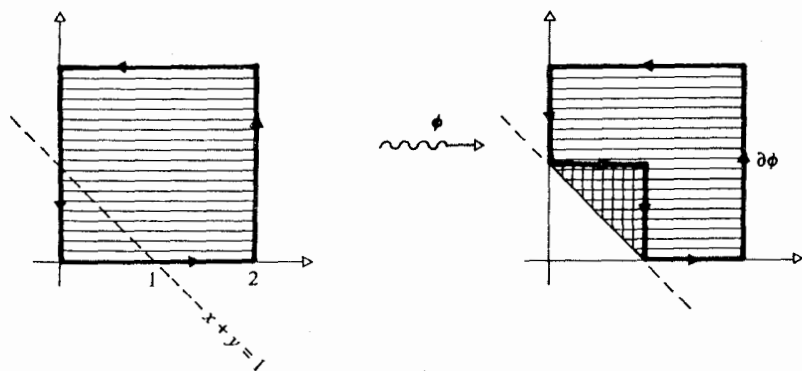


شکل (۶-۹)

آنگاه تاثیر  $\phi$  تا کردن گوشه دست چپ قاعده  $R$  است. (شکل ۹-۸) این مطلب را نشان می دهد که لزومی ندارد  $\partial\phi$  مرز تصویر یعنی مرز  $\phi(R)$  باشد. ولی شکل ۹-۸ این نکته را آشکار می سازد که همه نقاط داخل  $\partial\phi$  درون تصویر  $\phi(R)$  قرار می گیرند. اینک درست بودن این مطلب را ثابت می کنیم.



شکل (۷-۹)



شکل (۸-۹)

لم ۹-۱. اگر  $\phi: R \rightarrow C$  پیوسته باشد، آنگاه  $I(\partial\phi) \subseteq \phi(R)$  که در آن

$$I(\partial\phi) = \{z \in C \mid w(\partial\phi, z) \neq 0\}$$

برهان. خلاف این را فرض کنید، یعنی  $z \in I(\partial\phi), z \notin \phi(R)$  وجود دارد.

فرض کنیم  $D = C \setminus \{z\}$ ، آنگاه  $D$  یک دامنه است و  $\phi(R) \subseteq D$ . اگر

آنگاه  $f$  در  $D$  مشتق پذیر است و  $f(z) = \sqrt{2\pi i}(z - z_0)$

$$\int_{\partial\phi} f = w(\partial\phi, z_0)$$

عددی صحیح و ناصفر است.

مستطیل  $R$  را به چهار مستطیل مساوی  $R^{(1)}, R^{(2)}, R^{(3)}, R^{(4)}$  تقسیم کنید، و فرض کنید  $\phi^{(r)}$  تحدید  $\phi$  به  $R^{(r)}$  باشد. آنگاه به ازاء  $r = 1, 2, 3, 4$  مرزهای  $\partial\phi^{(r)}$  همگی مسیرهایی بسته در  $D$  هستند. چون

$$\int_{\partial\phi^{(r)}} f = w(\partial\phi^{(r)}, z_0), \quad \int_{\partial\phi} f = \sum_{r=1}^4 \int_{\partial\phi^{(r)}} f$$

اقلأ یکی از این چهار انتگرال عدد صحیح و ناصفر است. مستطیل نظیر آن  $R^{(r)}$  را با  $R_1$  و تحدید  $\phi$  به  $R_1$  را با  $\phi_1$  نشان دهید. با تقسیم  $R_1$  به چهار مستطیل مساوی و تکرار این رویه، دنباله تو در تویی از مستطیلهای

$$R \supseteq R_1 \supseteq \dots \supseteq R_n \supseteq \dots$$

به دست می آید به طوری که هر  $\int_{\partial\phi_n} f$  یک عدد صحیح ناصفر است. این دنباله از مستطیلهای شامل یک نقطه  $z_1 \in R$  است. به ازاء  $\varepsilon = |\phi(z_1) - z_0|$  داریم  $N_\varepsilon(\phi(z_1)) \subseteq D$ . بنابراین پیوسته بودن  $\phi$  یک  $\delta > 0$  وجود دارد به طوری که

$$\phi(N_\delta(z_1) \cap R) \subseteq N_\varepsilon(\phi(z_1))$$

به ازاء  $N$  به اندازه کافی بزرگ،  $R_N \subseteq N_\delta(z_1)$ ، بنابراین  $\partial\phi_N$  مسیری است بسته در قرص  $N_\varepsilon(\phi(z_1))$ . ولی  $f$  در  $N_\varepsilon(\phi(z_1))$  (که دامنه ای است ستاره ای) مشتق پذیر است. بنابراین  $\int_{\partial\phi_N} f = 0$  (فرع ۸-۳)، که متناقض با این واقعیت

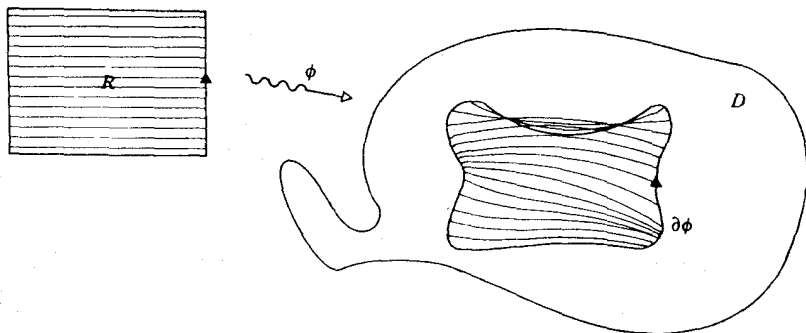
است که  $\int_{\partial\phi_N} f$  یک عدد صحیح ناصفر است.

قضیه ۹-۲. (قضیه کوشی برای یک مرز)



اگر  $\phi: R \rightarrow D$  نگاشتی پیوسته از مستطیل  $R$  بتوی دامنه  $D$  (شکل ۹-۹) و  $f$  در  $D$  مشتق پذیر باشد، آنگاه

$$\int_{\partial\phi} f = 0$$



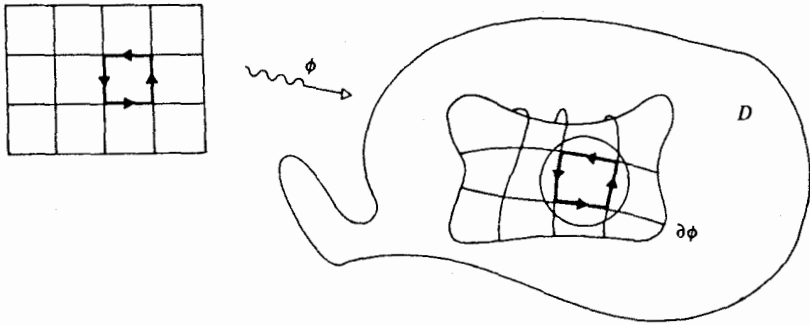
شکل (۹-۹)

برهان.  $R$  را به مستطیل‌های  $\{R_{pq}\}$  تقسیم کنید به طوری که  $\phi(R_{pq})$  در قرص  $D_{pq} \subset D$  قرار گیرد. (شکل ۹-۱۰). فرض کنیم  $\phi_{pq}$  تحدید  $\phi$  بر  $R_{pq}$  باشد، آنگاه مرز آن  $\partial\phi_{pq}$  مسیری است بسته در قرص  $D_{pq}$ ، بنابراین

$$\int_{\partial\phi_{pq}} f = 0$$

با جمع بستن همه انتگرال‌ها به ازا  $1 \leq p \leq n$ ،  $1 \leq q \leq m$  و حذف انتگرال‌هایی که در طول مسیرهای مخالف هستند، خواهیم داشت:

$$\int_{\partial\phi} f = 0 \quad \square$$



(شکل ۹-۱۰)

### ۳. هموتوپي

یک هموتوپي بين دو مسير  $\gamma, \gamma_1 : [a, b] \rightarrow D$ ، صرفنظر از جزئیات، عبارت است از: یک خانواده به طور پیوسته در حال تغییر از مسیرهای  $\gamma_s : [a, b] \rightarrow D$ ، که در آن  $s$  بازه  $[0, 1]$  را طی می کند. در آغاز  $\gamma_s = \gamma_1, s = 1$ ؛ در پایان  $\gamma_s = \gamma, s = 0$ .

این تعریف را به طور دقیق چگونه بیان کنیم؟ توجه کنید که تمام این خانواده به دو متغیر بستگی دارد: پارامتر  $s$ ، و متغیر اصلی  $t$  که موقعیت روی مسیر مربوطه را به دست می دهد. همه چیز را می توانیم در قالب یک تابع  $\gamma$  از  $(t, s)$  در آوریم به شرط آنکه قرار دهیم:

$$\gamma(t, s) = \gamma_s(t)$$

آنگاه طبیعی است که تاکید کنیم که  $\gamma$ ، به عنوان تابعی از دو متغیر حقیقی، پیوسته باشد. این تضمینی است بر آنکه هر  $\gamma_s$  فیما بین، مسیری پیوسته را معین می کند، و اینکه این مسیرها خود به طور پیوسته با  $s$  تغییر می کنند.

بدین سان به تعریف زیر هدایت می شویم. یک هموتوپي در  $D$  بين  $\gamma_1, \gamma$ ، مطابق فوق، نگاشتی است پیوسته مانند

$$\gamma : [a, b] \times [0, 1] \rightarrow D$$

به طوری که

$$\gamma(t, 0) = \gamma_*(t) \text{ به ازاء همه } t \text{ های متعلق به } [a, b]$$

$$\gamma(t, 1) = \gamma_*(t) \text{ به ازاء همه } t \text{ های متعلق به } [a, b]$$

این نظریه را در شکل ۹-۱۱ توضیح داده ایم.

با شناسایی  $(t, s)$  به صورت  $t+is$  مناسب دارد که  $[a, b] \times [0, 1]$  را به عنوان

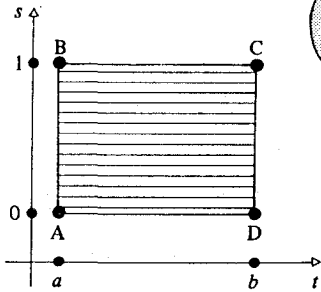
زیر مجموعه ای از  $D$  بدانیم.

شکل ۹-۱۱ به خوبی نمایانگر تغییر پیوسته در  $\gamma_s$  است، ولی در یک به

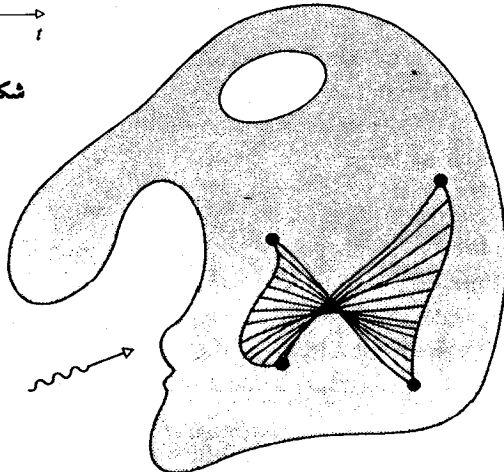
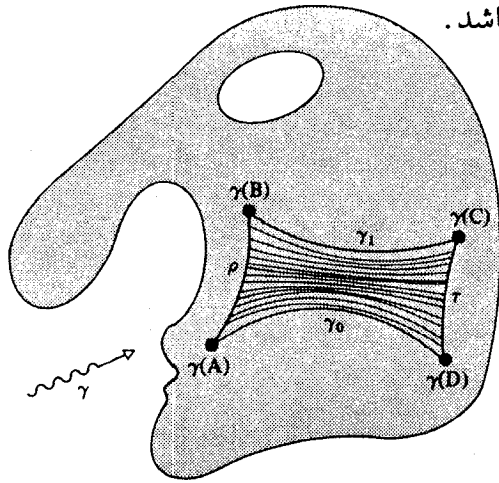
یک بودن  $\gamma$  به خوبی گمراه کننده است. برای یک به یک بودن  $\gamma$  از نظر کلی

دلیلی وجود ندارد، و یک هموتوپی کاملاً مناسب ممکن است به خوبی شبیه شکل

۹-۱۲ باشد.



شکل (۹-۱۱)



شکل (۹-۱۲)

البته از دیدگاه هندسی  $[0,1] \times [a,b]$  یک مستطیل است، و مرز آن مسیری است بسته (با گوشه‌ها!). اگر به طریقی، چهار ضلع این مستطیل را پارامتری کنیم، و سپس  $\gamma$  را برای نگاشتن نتیجه بتوی  $D$  به کار بگیریم، در  $D$  مسیرهایی را به دست می‌آوریم که به هم می‌پیوندند تا مسیری بسته، مانند مثال مربوط به شکل ۹-۱۲، فراهم شود.

هدف ما این است که قضیهٔ کوشی را برای مرزی از این مجموعه از مسیره‌ها به کار بگیریم. اما، مساله‌ای در پیش است: دو ضلعی که  $\gamma_1, \gamma_2$  را به دست می‌دهند آشکارا برای ما مفیدند، ولی دو ضلع دیگر (که در شکل ۹-۱۱، با  $\tau, \rho$  نشان شده‌اند) به نظر می‌آیند که مایهٔ دردسر باشند. ما هم، به همین جهت، شرایطی را ضمیمه می‌کنیم تا آنها را حذف کنیم. برای انجام این کار دو راه آشکار وجود دارد:

(الف) تاکید بر اینکه هر یک از  $\tau, \rho$  فقط به یک نقطه در  $D$  می‌انجامند.

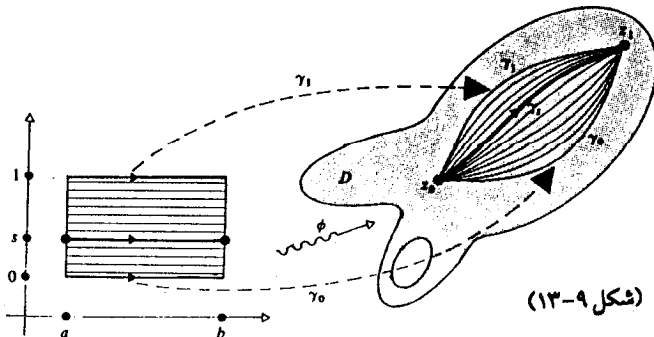
(ب) تاکید بر اینکه  $\tau, \rho$  هر یک دیگری را حذف می‌کند.

این دو شرط به دو نوع هموتوپیی مقیدتر منجر می‌شوند: هموتوپیی نقطهٔ پایانی ثابت، و هموتوپیی مسیر بسته. در دو بخش بعدی به توصیف تفصیلی این دو می‌پردازیم.

#### ۴. هموتوپیی نقطهٔ پایانی ثابت

فرض کنیم مستطیل  $R$  نمایشگر  $\{t + is \in \mathbb{C} \mid a \leq t \leq b, 0 \leq s \leq 1\}$  باشد.

دو مسیر  $\gamma : [a,b] \rightarrow D$ ،  $\gamma_1 : [a,b] \rightarrow D$  را هموتوپیک با انتهای ثابت در  $D$  می‌نامند اگر نگاشت پیوسته‌ای چون  $\phi : R \rightarrow D$  وجود داشته باشد به طوری که (شکل ۹-۱۳)



(شکل ۹-۱۳)

$$\phi(t, 0) = \gamma_0(t) \quad (a \leq t \leq b),$$

$$\phi(t, 1) = \gamma_1(t) \quad (a \leq t \leq b),$$

$$\phi(a, s) = z_0 \quad (0 \leq s \leq 1),$$

$$\phi(b, s) = z_1 \quad (0 \leq s \leq 1),$$

اگر فرض کنیم  $\gamma_s(t) = \phi(t, s)$  ( $a \leq t \leq b$ )، آنگاه  $\gamma_s$  مسیری است در  $D$  از  $z_0$  تا  $z_1$ ، و چون  $s$  از  $0$  تا  $1$  افزایش یافته است،  $\gamma_s$  در  $D$  از  $\gamma_0$  تا  $\gamma_1$  «به طور پیوسته» تغییر شکل داده است.

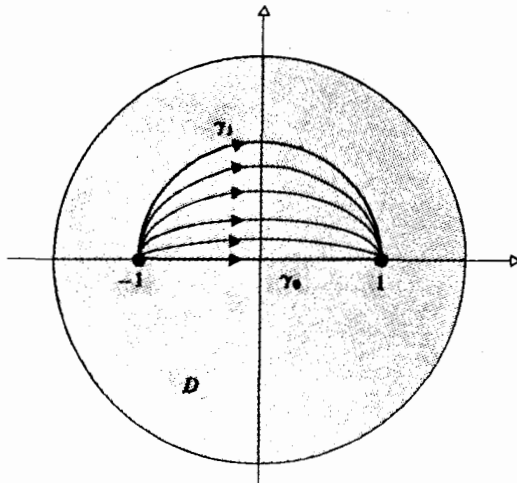
مثال. اگر

$$D = \{z \in \mathbb{C} \mid |z| < 2\}, \gamma_0(t) = t \quad (-1 \leq t \leq 1), \gamma_1(t) = e^{\frac{1}{2}\pi i(t-1)} \quad (-1 \leq t \leq 1)$$

آنگاه  $\gamma_0$  و  $\gamma_1$  در  $D$  با نقطه پایانی ثابت هموتوپیک هستند طوری که

$$\phi(t) = (1-s)\gamma_0(t) + s\gamma_1(t) \quad (-1 \leq t \leq 1, 0 \leq s \leq 1)$$

(شکل ۹-۱۴)



(شکل ۹-۱۴)

به عنوان فرعی بر قضیه ۹-۲، نتیجه می گیریم که:

قضیه ۹-۳. اگر  $f$  در دامنه  $D$  مشتق پذیر و  $\gamma_0$  نسبت به  $\gamma_1$  در  $D$  با نقطه پایانی ثابت

هموتوپیک باشد، آنگاه  $\int_{\gamma_0} f = \int_{\gamma_1} f$  می شود.

برهان. نگاشتی پیوسته چون  $\phi: R \rightarrow D$  داریم که در آن

$$\phi(t, \circ) = \gamma(t) \quad (a \leq t \leq b),$$

$$\phi(t, 1) = \gamma_1(t) \quad (a \leq t \leq b),$$

$$\phi(a, s) = z. \quad (0 \leq s \leq 1)$$

$$\phi(b, s) = z_1 \quad (0 \leq s \leq 1),$$

(مطابق شکل ۹-۱۳)

اگر  $D \rightarrow [0, 1]$  مسیر نقطه ای  $\rho_r(t) = z_r$ ، به ازاء  $r = \circ, 1$  باشد، آنگاه  $\int_{\rho_r} f = \circ$  و  $\partial \phi = \gamma + \rho_1 - \gamma_1 + \rho$ . بنابراین قضیه کوشی در مورد یک مرز،

$$\int_{\partial \phi} f = \int_{\gamma} f - \int_{\gamma_1} f = \circ$$

و بنابراین

$$\int_{\gamma} f = \int_{\gamma_1} f$$

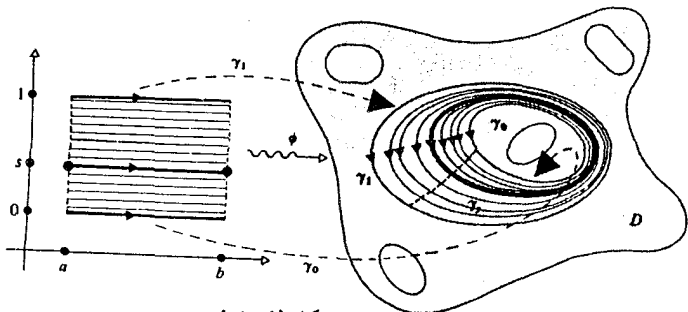
### ۵. هموتوپی مسیر بسته

یک بار دیگر مستطیل  $R$  را به صورت  $\{t + is \in C \mid a \leq t \leq b, 0 \leq s \leq 1\}$  در نظر می گیریم. در مسیر  $\gamma: [a, b] \rightarrow D$ ،  $\gamma_1: [a, b] \rightarrow D$  را هموتوپیک از طریق مسیرهای بسته در  $D$  می نامند اگر نگاشت پیوسته ای چون  $\phi: R \rightarrow D$  وجود داشته باشد به طوری که

$$\phi(t, \circ) = \gamma(t) \quad (a \leq t \leq b)$$

$$\phi(t, 1) = \gamma_1(t) \quad (a \leq t \leq b)$$

$$\phi(a, s) = \phi(b, s) \quad (0 \leq s \leq 1)$$



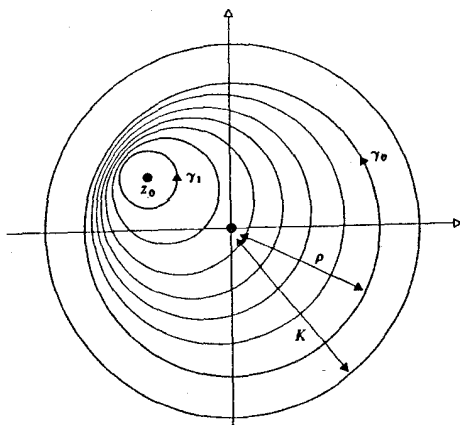
شکل (۹-۱۵)

چنانچه ، بار دیگر ، تعریف کنیم  $\gamma_s(t) = \phi(t,s)$  ( $a \leq t \leq b$ ) آنگاه  $\gamma_s$  مسیری بسته در  $D$  است و هنگامی که  $s$  از  $0$  تا  $1$  افزایش می یابد ،  $\gamma_s$  از  $\gamma_0$  تا  $\gamma_1$  (به طور پیوسته تغییر شکل می دهد).

مثال. به ازاء  $|z| < k$  ، فرض می کنیم  $D = \{z \in \mathbb{C} \mid |z| < K, z \neq z_0\}$  نیز به ازاء  $|z| < \rho < k$  ، فرض می کنیم  $\gamma_0(t) = pe^{it}$  ( $0 \leq t \leq 2\pi$ ) ، همچنین به ازاء  $0 < \varepsilon < k - |z_0|$  فرض می کنیم

$\gamma_1 = z_0 + \varepsilon e^{it}$  ( $0 \leq t \leq 2\pi$ ) (شکل ۹-۱۶). آنگاه  $\gamma$  نسبت به  $\gamma_1$  از طریق مسیره های بسته در  $D$  هموتوپیک است طوری که

$$\phi(t,s) = (1-s)\gamma_0(t) + s\gamma_1(t) \quad (0 \leq t \leq 2\pi, 0 \leq s \leq 1)$$



شکل (۹-۱۶)

قضیه ۹-۴. اگر  $f$  در  $D$  مشتق پذیر و  $\gamma_0$  و  $\gamma_1$  مسیره هایی باشند بسته که از طریق مسیره های بسته در  $D$  هموتوپیک هستند ، آنگاه  $\int_{\gamma_0} f = \int_{\gamma_1} f$  .  
برهان. نگاشت پیوسته ای چون  $\phi: \mathbb{R} \rightarrow D$  داریم به طوری که

$$\phi(t,0) = \gamma_0(t) \quad (a \leq t \leq b)$$

$$\phi(t,1) = \gamma_1(t) \quad (a \leq t \leq b)$$

$$\phi(a,s) = \phi(b,s) \quad (0 \leq s \leq 1)$$

فرض کنیم  $\sigma(t) = \phi(a, t)$  ( $0 \leq t \leq 1$ )، آنگاه  $\partial \phi = \gamma_+ + \sigma - \gamma_- - \sigma$  (و این بدان معنی است که، به معنای بخش  $\gamma - \gamma_+$ ،  $\sigma$  را فیما بین  $\gamma_+$  تا  $\gamma_-$  بریده ایم). بنابراین قضیه کوشی برای یک مرز،

$$\int_{\partial \phi} f = \int_{\gamma_+} f + \int_{\sigma} f - \int_{\gamma_-} f - \int_{\sigma} f = 0.$$

بنابراین

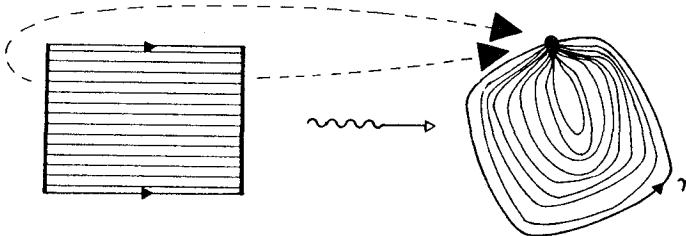
$$\int_{\gamma_+} f = \int_{\gamma_-} f$$

□

می‌گوییم مسیر  $\gamma$  در  $D$  با صفر هموتوپیک است به شرط آنکه از طریق مسیرهای بسته  $\beta: [a, b] \rightarrow D$  هموتوپیک باشد به طوری که  $\beta(t)$  به ازاء هر  $t \in [a, b]$  ثابت باشد (طوری که تصویر  $\beta$  در  $D$  یک نقطه تنها باشد). بی‌درنگ نتیجه می‌گیریم که:

فرض ۹-۵. فرض کنیم  $f$  در  $D$  مشتق‌پذیر و  $\gamma$  مسیری بسته در  $D$  باشد که با صفر هموتوپیک است. آنگاه  $\int_{\gamma} f = 0$  می‌شود.

معنی هندسی هموتوپیک بودن با صفر این است که  $\gamma$  می‌تواند به طور پیوسته تغییر شکل دهد به یک نقطه تبدیل شود (یا به جای آن، به مسیری که تصویرش تنها یک نقطه  $z_1 \in D$  است) مانند شکل ۹-۱۷.



(شکل ۹-۱۷)

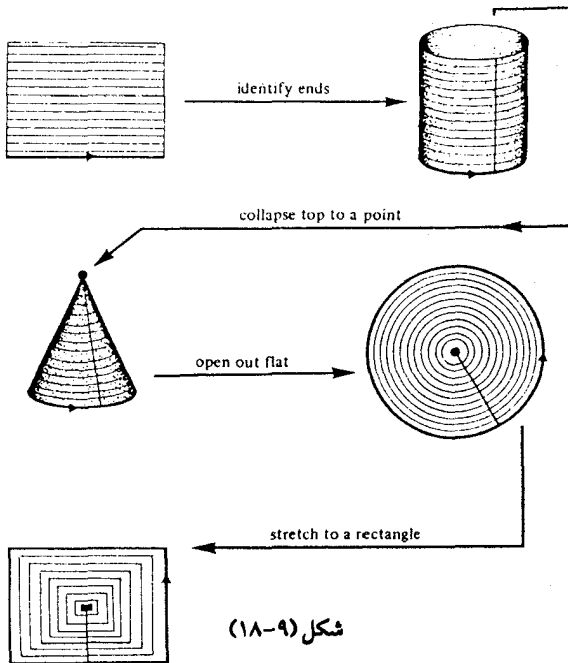
با قضیه کوشی برای یک مرز شروع کرده ابتدا پایانی هموتوپی برای انتگرال مورد نتیجه گرفته (به ازاء هموتوپی با نقطه پایانی ثابت یا هموتوپی مسیر بسته)،



بر اساس آن دریافته ایم که این انتگرال برای یک مسیر هموتوپیک با صفر برابر صفر است. در عین حال، می توانیم با فرع ۹-۵ شروع کرده و در صورت تمایل، با کمک گزاره زیر، به بحث در طریق دیگر بپردازیم.

**گزاره ۹-۶.** یک کانتور بسته  $\gamma$  در  $D$  مرزی چون  $\partial\phi$  است، که به پرمایش (پارامتری کردن) وابسته است، اگر و فقط اگر  $\gamma$  با صفر هموتوپیک باشد.

**برهان.** ابتدا توجه کنید که نیاز به تجدید پرمایش بازه ای که  $\gamma$  روی آن تعریف شده است ممکن است پیش بیاید و این مربوط است به چگونگی انتخاب یک پرمایش مشخص برای مرزی چون  $\partial\phi$ . به شرط آنکه تصویر  $\gamma$  و تصویر  $\partial\phi$  بر هم منطبق شوند می توان به تطبیق پارامتر پرداخت. این کار برهان ما را به یک بحث هندسی تحویل می کند. حال عصاره برهان را در یک رشته از تصاویر ارائه می دهیم، و تعریف های تحلیلی (متعارف) و بررسی های لازم برای دقیق ساختن برهان را به خواننده وامی گذاریم.



شکل (۹-۱۸)

نگاشتی چون  $H: R \rightarrow R$ ، که در آن  $R$  یک مستطیل است، به صورتی که در شکل ۹-۱۸ نشان داده ایم، تعریف می کنیم. تعریف مورد نظر ما به مراحل زیر

تقسیم می شود:

(۱) شناسایی اضلاع قائم روبروی هم، برای به دست آوردن یک استوانه.  
(۲) فشردن لبه فوقانی تا تبدیل به یک نقطه، برای به دست آوردن یک مخروط.

(۳) گسترش این مخروط در یک صفحه برای به دست آوردن یک قرص.

(۴) کش دادن این قرص برای به دست آوردن یک مربع.

فرض کنیم که  $\gamma$  یک مرز است، مثلاً  $\gamma = \partial \phi$ ، که در آن  $\phi: R \rightarrow D$ .  
آنگاه  $\phi: H: R \rightarrow D$  یک هموتوپی است. ضلع پایین  $R$ ، که با خط پر در اولین نمودار مشخص شده است، به (تصویر تحت  $\phi$  از)  $\partial \phi$  نگاشته می شود. ضلع بالایی به یک نقطه نگاشته می شود. بنابراین  $\gamma$  با صفر هموتوپیک است.

اکنون فرض کنید  $\gamma$  منحنی بسته ای هموتوپیک با صفر باشد. آنگاه می توانیم نگاشتی از مخروط مزبور به توی  $D$  چنان تعریف کنیم که دایره قاعده به (تصویر)  $\gamma$  برود. بنابراین (با برگردان دو مرحله اخیر در تعریف  $H$ ) می توانیم  $R$  را به توی  $D$  طوری بنگاریم که محیط آن به  $\gamma$  برود. نتیجه اینکه (در ارتباط با پرمایش)  
 $\gamma = \partial \phi$ .

## ۶. مقایسه قضیه های کوشی

یکی از موجبات عمومی نگرانی برای دانشجویان آنالیز مختلط رنج حاصل از قضیه های کوشی است که فرضهای متعدد متفاوت و انواع مشابهی از نتایج دارند، در حالی که هر یک از آنها را می توان از دیگری استخراج کرد. در چنین مواردی شاید مصلحت در این باشد که مایه تسلّی را جای دیگری غیر از ریاضیات جستجو کنیم (شاید میان شعرا). رودیارد کیپلینگ در «در عصر حجر» به طوری تحسین انگیز به این نکته پرداخته است:

«نه و شصت راه برای ساختن ترانه های ایلیاتی وجود دارد.  
و - یک - یک - آنها دلپذیرند.»

در مورد قضیه کوشی هم اغلب همین است: همه انواع مختلف آن اصولاً یکسانند.

در قلب هر یک از انواع قضیه کوشی وجود موضعی یک ضد مشتق مطرح است (بخش ۵-۸). هر یک از این قضایا خود، به عنوان مفروضات، شرایطی فراهم می آورند که این نتیجه موضعی به طریقی به سراسری شدن بیانجامد.

مثلاً، در فصل ۸ نتیجه موضعی به دست آمده منجر به قضیه کوشی مرکزی شد، به این معنی که اگر  $f$  در  $D$  مشتق پذیر باشد و کانتوری بسته چون  $\gamma$  به دور نقطه های خارج از  $D$  بچرخد، آنگاه  $\int_{\gamma} f = 0$ . این شرط «نچرخیدن» در واقع تضمین آن است که «قطعات موضعی» ضد مشتق در تراز سراسری به خوبی برازنده هم هستند. نوع تعمیم یافته، با چندین کانتور  $\gamma_1, \gamma_2, \dots, \gamma_n$ ، فرعی ساده بود که با زدن قطعهایی میان کانتورها به دست آمد.

در این فصل به مطالعه چگونگی رویدادها هنگامی که یک کانتور تغییر شکل می دهد پرداختیم. باز هم وجود موضعی یک ضد مشتق در کار است: که به ما امکان می دهد که انتگرال  $f$  را در طول یک مسیر دلخواه تعریف کنیم، و این همان نتیجه عمده فصل ۸ است، که انتگرال  $f$  در طول یک مرز برابر صفر است. این هم یک سراسری کردن است: همراه با یک مرز دلخواه نگاشتی از تمامی یک مستطیل وجود دارد، و همه ضد مشتقهای موضعی در سراسر تصویر این مستطیل دقیقاً برازنده یکدیگرند. بعلاوه، دیدیم که یک مسیر یک مرز است اگر و فقط اگر با صفر هموتوپیک باشد. چون هموتوپیی انتگرال مورد نظر را به دور یک کانتور بسته پایا نگه می دارد، همین دلیلی می شود که چرا آشکارا  $\int_{\gamma} f = 0$  است.

بدین سان دو نوع متفاوت از قضیه کوشی داریم: یکی برای منحنی هایی که به دور نقطه های خارج از  $D$  نمی چرخند و دیگری برای منحنی هایی که با صفر هموتوپیک هستند. ولی این دو مثل خانم گنل و جودی آرگرادی «زیر پوستهایشان خواهر هستند» (یک روح در دو بدن هستند).

واضح است که، اگر  $\gamma$  هموتوپیک با صفر باشد و  $z \notin D$ ، آنگاه

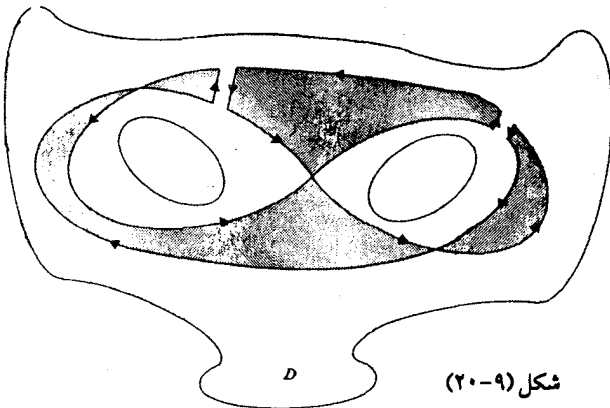
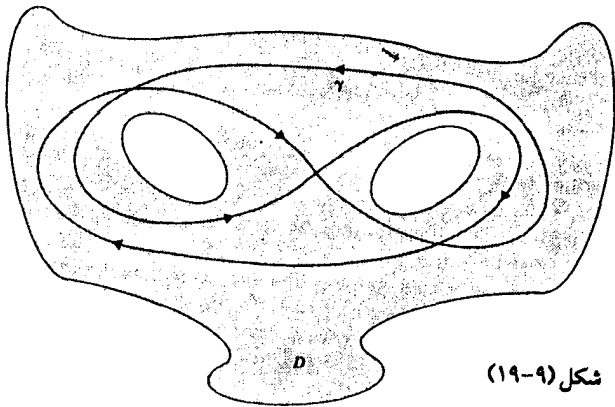
$$w(\gamma, z) = \frac{1}{2\pi i} \int_{\gamma} \frac{1}{z-z} dz = 0$$

زیرا که  $1/(z-z)$  در  $D$  مشتق پذیر است.

بنابراین نوع «نچرخیدن» قضیه کوشی بسادگی متضمن نوع «هموتوپیی» آن است. در واقع نوع «نچرخیدنی» قضیه کوشی به معنای زیر اکیداً قویتر است: منحنی شکل ۹-۱۹ به دور هیچ  $z \notin D$  نمی چرخد، اما آشکار است که

هموتوپیک با صفر نیست. (گرچه اثبات این مطلب مشکلتر از آن است که به نظر می‌رسد). بنابراین فرض «نچرخیدنی» ضعیفتر است، و به همین جهت در موارد بیشتری مستقیماً به کار می‌آید.

ولی این اختلاف سطحی، هنگامی که عمیقتر بنگریم، محو می‌شود زیرا هر منحنی را که به دور  $z \in D$  نمی‌چرخد به مسیری بسته (یا مجموعه‌ای از مسیرها) که با صفر هموتوپیک است می‌توان تبدیل کرد، و این کار با یک رشته از قطع‌ها، که سهم آنها در انتگرال مورد نظر حذف می‌شود، انجام پذیر است. مثلاً، شکل ۹-۱۹ به همین ترتیب به شکل ۹-۲۰ تبدیل شده است. اثبات این واقعیت هم کم‌بها نیست، اما نشان می‌دهد که نتایج عملی که از عمومیت اضافی حاصل می‌شوند غالباً نادرست هستند. (نتایج نظری خیل مهم‌ترند: شرط «نچرخیدنی» قسمتی از «نظریه همولوژی» است و آنچه ما اینجا داریم رابطه بین همولوژی و هموتوپی است. اما آن داستان دیگری است.)



## تمرینهای ۹

۱. فرض کنیم  $D = \{z \in \mathbb{C} | z \neq 0\}$  و به ازاء  $1, 2$  ،  $r$   $S_r(t) = re^{it}$  ( $0 \leq t \leq 2\pi$ ) .  
نگاشت پیوسته ای چون  $\phi: \mathbb{R} \rightarrow D$  ، که در آن  $R$  یک مستطیل است چنان تعریف کنید که به ازاء هر تابع دلخواه مشتق پذیر در  $D$

$$\int_{\partial\phi} f = \int_{S_1} f - \int_{S_r} f$$

و با استفاده از قضیه ۹-۲ نتیجه بگیرید که

$$\int_{S_1} f = \int_{S_r} f$$

یک هموتوپی از طریق مسیرهای بسته در  $D$  از  $S_1$  به  $S_r$  توصیف کنید.

۲. فرض کنیم  $\gamma_1, \gamma_2$  مسیرهایی بسته در  $D$  باشند که از طریق مسیرهای بسته در  $D$  هموتوپیکند. با ساختن یک قطع مناسب  $\sigma$  از  $\gamma_1$  به  $\gamma_2$  ، یک هموتوپی نقطه پایانی ثابت در  $D$  از  $\gamma_1$  به  $\sigma + \gamma_1 - \sigma$  توصیف کنید. شکلی برای توضیح تغییر شکل پیوسته رسم کنید.

۳. فرض کنید که مرز  $\partial\phi$  از یک نگاشت پیوسته  $\phi: \mathbb{R} \rightarrow D$  به دو مسیر فرعی  $\gamma_1 + \gamma_2 = \partial$  تقسیم بندی شود. یک هموتوپی نقطه پایانی ثابت از  $\gamma_1$  به  $\gamma_2 - \gamma_1$  در  $D$  توصیف کنید و با رسم یک شکل تغییر شکل از  $\gamma_1$  به  $\gamma_2$  را توضیح دهید.

۴. نیمدایره  $(-\frac{1}{4}\pi \leq t \leq \frac{1}{4}\pi)$  را در  $D = \mathbb{C} \setminus \{0\}$  رسم کنید. دو مسیر چند ضلعی صریح  $\gamma_1$  و  $\gamma_2$  را از  $-i$  به  $i$  در  $D$  چنان تعریف کنید که

$$\int_{\lambda} f = \int f$$

به ازاء همه  $f$  های مشتق پذیر در  $D$  هنگامی که  $\lambda = \lambda_1$  است درست و هنگامی که  $\lambda = \lambda_1$  است نادرست باشد.

۵. فرض کنیم  $C \rightarrow \gamma: [0, 1]$  با ضابطه  $\gamma(0) = \gamma(1) = 0$  و

$$\gamma(t) = \begin{cases} t + it \sin(\pi/t) & 0 \leq t \leq \frac{1}{2} \\ (1-t) - i(1-t) \sin(\pi/(1-t)) & \frac{1}{2} \leq t \leq 1 \end{cases}$$

داده شود. نشان دهید که  $\gamma$  مسیری است بسته اما یک کانتور نیست و نقشه ای هم از آن بکشید.

۶. از تابعهای زیر به دور  $\gamma$  انتگرال بگیرید: ( $\gamma$  در سوال ۵ معرفی شده است)

(الف)  $\cos^2(z^2)$

(ب)  $\sum_{n=1}^{\infty} z^n / n$

(ج)  $1/(z - \frac{1}{3}\sqrt{2})$

۷. فرض کنیم  $f$  تابعی مشتق پذیر در  $D$  باشد. به ازاء مسیر بسته ای چون  $\gamma$  در  $D$ ، که از  $z$  شروع و به خود آن ختم می شود، مقدار انتگرال  $I_\gamma$  عبارت است از عدد مختلط

$$I_\gamma = \int_\gamma f$$

نشان دهید که مجموعه این مقادیر انتگرال یک گروه جابجایی  $I(f, D)$  تحت عمل

$$I_\gamma + I_\delta = I_{\gamma+\delta}$$

تشکیل می دهد.

گروه مقادیر انتگرال را در هر یک از حالت های زیر تعیین کنید

$f(z) = 1/z, D = C \setminus \{0\}$  (الف)

$f(z) = \cos z, D = C \setminus \{0\}$  (ب)

$$f(z) = 2/(z-1) + 3/(z+1), D = C \setminus \{\pm 1\} \quad (\text{ج})$$

$$f(z) = 1/(z-1) + 2/(z+1), D = C \setminus \{\pm 1\} \quad (\text{د})$$

۸. گروه اساسی. فرض کنیم  $D$  یک دامنه باشد و  $z \in D$ . به ازاء مسیرهای بسته  $\gamma$ ،  $\delta$  در  $D$  که در  $z$  آغاز و به خود آن پایان می یابند. تعریف می کنیم  $\gamma = \delta$  به این معنی که  $\gamma$ ،  $\delta$  در  $D$  هموتوپیک با نقطه پایانی ثابت هستند. ثابت کنید که  $=$  یک رابطه هم ارزی است. فرض کنیم  $[\gamma]$  معرف کلاس هم ارزی شامل  $\gamma$  باشد و فرض می کنیم  $\pi(D, z)$  مجموعه کلاسهای هم ارزی باشد. عمل  $*$  را روی  $\pi(D, z)$  چنین تعریف می کنیم:

$$[\gamma] * [\delta] = [\gamma + \delta]$$

خوش تعریف بودن  $*$  را بررسی کنید و نشان دهید که  $\pi(D, z)$  تحت  $*$  یک گروه است، و عضوبی اثر و معکوس  $[\gamma]$  را مشخص کنید.

برای هر نقطه دلخواه دیگر  $z_1 \in C$  و هر مسیر دلخواه  $\sigma$  در  $D$  از  $z$  به  $z_1$  نگاشت  $g: \pi(D, z) \rightarrow \pi(D, z_1)$  را با ضابطه

$$g([\gamma]) = [-\sigma + \gamma + \sigma]$$

تعریف می کنیم. نشان دهید که  $g$  یک ایزومورفیسم گروهها است و بدین سبب نتیجه بگیرید که  $\pi(D, z)$  را معمولاً با  $\pi(D)$  نشان می دهند و آن را گروه اساسی از  $D$  می نامند.

۹. گروه اساسی دامنه های زیر را (بدون برهان رسمی) توصیف کنید.

$$C \quad (\text{الف})$$

$$|z| < 1 \quad (\text{ب})$$

$$1 < |z| < 2 \quad (\text{ج})$$

$$C \setminus \{0\} \quad (\text{د})$$

$$C \setminus \{\pm 1\} \quad (\text{ه})$$

۱۰. فرض کنیم  $f$  در دامنه  $D$  مشتق پذیر باشد، همچنین فرض کنیم  $\gamma$ ،  $\delta$  کانتورهایی بسته در  $D$  باشند که با  $z$  آغاز و به خود  $z$  پایان می یابند. ثابت کنید که اگر  $\gamma = \delta$  به معنای سوال ۸ باشد، آنگاه مقادیر انتگرال  $I_\delta, I_\gamma$  یکسان هستند. ثابت کنید که نگاشت  $h: \pi(D) \rightarrow I(f, D)$ ، که در آن  $h([\gamma]) = I_\gamma$ ، یک همومورفیسم گروه و خوش تعریف است. همومورفیسم  $h$  را برای هر  $f$  و  $D$ ، مفروض در سوال ۷، توصیف کنید.

۱۱. انتگرال ها در طول مسیرهای دلخواه، به ازاء  $z_2, z_1$  ثابت و متعلق به  $D$ ، فرض می کنیم که  $\gamma$  مسیری ثابت، و  $\gamma$  مسیری متغیر، در  $D$  از  $z_1$  به  $z_2$  اشد. نشان دهید که به ازاء  $\sigma$  ای متعلق به  $I(f, D)$

$$\int_\gamma f = \int_{\gamma'} f + I_\sigma$$

و اگر  $\gamma$  در یک هموتوپی از طریق مسیرهای بسته در  $D$  به طور پیوسته تغییر شکل دهد، آنگاه  $I_\sigma$  ثابت می ماند. به ازاء  $z_2 = i$  و  $z_1 = -i$ ، همه مقادیر ممکنه برای  $\int_\gamma f$  را به ازاء هر  $f$ ،  $D$  در سوال ۷ تعیین کنید.



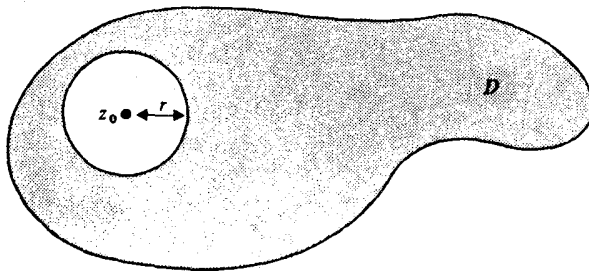
## فصل دهم

### سری تیلر

اکنون به مرحله ای از این نظریه رسیده ایم که می توانیم گامی بلند به جلو برداریم و، همان طور که بارها وعده کرده ایم، نشان دهیم که هر تابع مختلط مشتق پذیر دارای یک بسط به سری توانی موضعی است. با این فرض ضعیف که مشتق  $f$  در سراسر دامنه ای چون  $D$  وجود دارد. در می یابیم که نزدیک به هر نقطه  $z$  در  $D$  یک بسط به سری توانی به صورت

$$z_0 + h \in N_r(z_0) \subset D \quad \text{به ازاء} \quad f(z_0 + h) = \sum_{n=0}^{\infty} a_n h^n$$

داریم که در هر قرص  $N_r(z_0)$  در درون  $D$  برقرار است. (شکل ۱-۱۰)



(شکل ۱-۱۰)

این مطلب موجی از نتایج را به بار می آورد. مثلاً، می دانیم که از یک سری توانی می توانیم به دفعات دلخواه مشتق بگیریم و داریم

$$z + h \in N_r(z) \subseteq D \quad \text{به ازاء} \quad f(z + h) = \sum_{n=0}^{\infty} \frac{f^{(n)}(z)}{n!} h^n$$

بدین سان اگر تاکید کنیم که فقط مشتق اول یعنی  $f'$  در  $D$  وجود دارد، و نه بیشتر، نتیجه می شود که همه مشتقهای مراتب بالاتر وجود دارند و این تابع در درون  $N_r(z)$  با سری تیلور خودش مساوی است. نتایج دقیق و ظریف بیشتری در این فصل و فصول بعدی بیان خواهد شد. همین دنباله از نتایج است که به آنالیز مختلط حالتی خاص خود را می دهد.

### ۱. فرمول انتگرال کوشی

اثبات اینکه هر تابع مختلط مشتق پذیر را می توان به صورت یک سری توانی نوشت بستگی به نتیجه ای از کوشی دارد، که خود دارای ارزش ذاتی درخور توجهی است:

لم ۱۰-۱. (فرمول انتگرال کوشی در مورد یک دایره)

فرض کنیم  $f$  در قرص  $N_R(z) = \{z \in \mathbb{C} \mid |z - z_0| < R\}$  مشتق پذیر باشید. به ازاء  $0 < r < R$  فرض می کنیم  $C_r$  مسیر

$$C_r(t) = z_0 + re^{it} \quad (0 \leq t \leq 2\pi)$$

باشد، آنگاه به ازاء  $|w - z_0| < r$  داریم:

$$f(w) = \frac{1}{2\pi i} \int_{C_r} \frac{f(z)}{z - w} dz$$

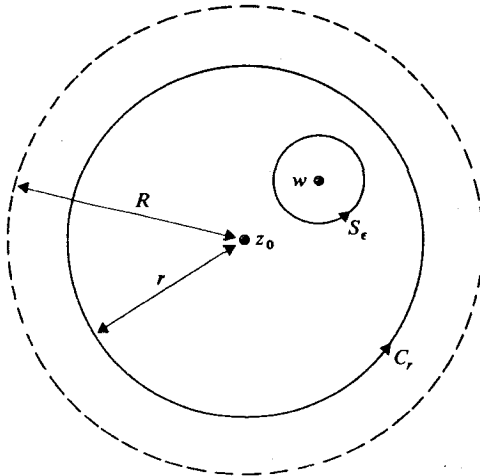
برهان.  $w$  را با شرط  $|w-z| < r$  ثابت نگه دارید. تابع  
 در دامنه  $F(z) = (f(z) - f(w))/(z-w)$

$$D = \{z \in \mathbb{C} \mid |z-z_0| < R, z \neq w\}$$

مشتق پذیر است. فرض کنیم  $0 < \varepsilon < r - |w-z_0|$ . آنگاه دایره  $S_\varepsilon$ ، به مرکز  $w$ ،  
 به شعاع  $\varepsilon$ ،

$$S_\varepsilon(t) = w + \varepsilon e^{it} \quad (0 \leq t \leq 2\pi)$$

درون  $D$  قرار می گیرد. نقاط درون  $C_r$  و خارج از  $S_\varepsilon$  نیز چنین هستند. (شکل  
 ۲-۱۰)



(شکل ۲-۱۰)

بنابر قضیه تعمیم یافته کوشی (قضیه ۸-۹)،

$$\int_{C_r} F(z) dz = \int_{S_\varepsilon} F(z) dz \quad (1)$$

ولی  $\lim_{z \rightarrow w} F(z) = f'(w)$ ، بنابراین به ازاء یک  $\delta > 0$ ،  $M \geq 0$ ، داریم:

$$0 < |z-w| < \delta \Rightarrow |F(z)| \leq M$$

بدین سان به ازاء  $\delta < \varepsilon$ ، بنابر لم تخمین (لم ۶-۱۰)، داریم:

$$\left| \int_{S_\varepsilon} F(z) dz \right| \leq M \cdot 2\pi \varepsilon$$

از (۱) داریم:

$$\left| \int_{C_r} F(z) dz \right| \leq 2 M \pi \varepsilon$$

و، چون  $\varepsilon$  دلخواه است، از این حاصل می شود:

$$\int_{C_r} F(z) dz = 0$$

بنابراین

$$\begin{aligned} \int_{C_r} \frac{f(z)}{z-w} dz &= \int_{C_r} \frac{f(w)}{z-w} dz \\ &= f(w) \int_{C_r} \frac{dz}{z-w} \\ &= f(w) \cdot 2\pi i \end{aligned}$$

به بیان دیگر،

$$f(w) = \frac{1}{2\pi i} \int \frac{f(z)}{z-w} dz$$

## ۲. سری تیلور

با به کار گرفتن فرمول انتگرال کوشی هم اکنون می توانیم  $f(z+h)$  به صورت یک بسط به سری توانی (بر حسب توانهای  $h$ ) بنویسیم طوری که ضرایب آن به صورت انتگرالها بیان شوند.

لم ۱۰-۲. فرض کنیم  $f$  در  $N_R(z)$  مشتق پذیر باشد. آنگاه

$$f(z+h) = \sum_{n=0}^{\infty} a_n h^n$$

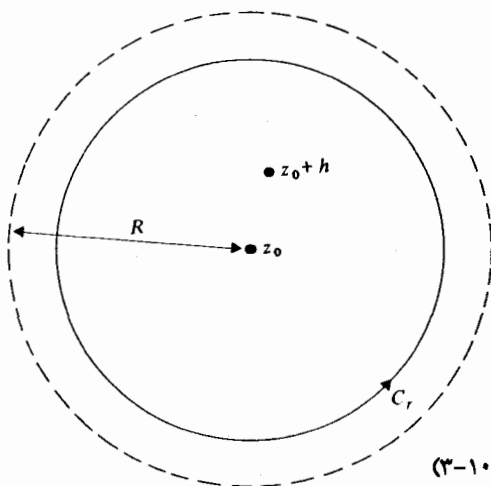
که این سری به ازاء  $|h| < R$  مطلقاً همگرا است. علاوه، اگر  $0 < r < R$ ،

$$C_r(t) = z_0 + re^{it} \quad (0 \leq t \leq 2\pi)$$

آنگاه

$$a_n = \frac{1}{2\pi i} \int_{C_r} \frac{f(z)}{(z - z_0)^{n+1}} dz$$

برهان.  $h$  را چنان ثابت نگه دارید که  $0 < |h| < R$  و بدو فرض کنید که  $r$  در شرط  $|h| < r < R$  صدق می کند. (شکل ۳-۱۰)



(شکل ۳-۱۰)

آنگاه از فرمول انتگرال کوشی حاصل می شود

$$\begin{aligned} f(z_0 + h) &= \frac{1}{2\pi i} \int_{C_r} f(z) \frac{f(x)}{(z_0 - z)^r} dx \\ &= \frac{1}{2\pi i} \int_{C_r} f(z) \left\{ \frac{1}{z - z_0} + \frac{h}{(z - z_0)^2} + \dots + \frac{h^m}{(z - z_0)^{m+1}} \right. \\ &\quad \left. + \frac{h^{m+1}}{(z - z_0)^{m+1}(z - z_0 - h)} \right\} dz \\ &= \sum_{n=0}^{\infty} a_n h^n + A_m \end{aligned}$$

$$a_n = \frac{1}{2\pi i} \int_{C_r} \frac{f(z)}{(z - z_0)^{n+1}} dz$$

و

$$A_m = \frac{1}{2\pi i} \int_{C_r} \frac{f(z)h^{m+1}}{(z - z_0)^{m+1}(z - z_0 - h)} dz$$

اکنون ثابت می‌کنیم که  $\lim_{m \rightarrow \infty} A_m = 0$ . ابتدا توجه می‌کنیم که  $f$  مشتق‌پذیر، و لذا پیوسته است، بنابراین  $\phi(t) = |f(C_r(t))|$  یک تابع پیوسته حقیقی بر  $[0, 2\pi]$  است. از آنالیز حقیقی به یاد داریم که  $\phi$  کراندار است، یعنی  $\phi(t) \leq M$ ، بنابراین

$$C_r \text{ بر } z \text{ اء } z \text{ به } |f(z)| \leq M$$

ولی  $|z - z_0| = r, |h| < r$  و

$$|z - z_0 - h| \geq |z - z_0| - |h| = r - |h|$$

بنابراین از لم برآورد به دست می‌آید:

$$|A_m| \leq \frac{1}{2\pi} \frac{M|h|^{m+1}}{r^{m+1}(r - |h|)} 2\pi r = \frac{M|h|}{r - |h|} \left(\frac{|h|}{r}\right)^m$$

و چون  $|h| < r$  اختیار کردیم، هنگامی که  $m$  به بی‌نهایت میل کند این عبارت به صفر میل خواهد کرد. بدین سان

$$\lim_{m \rightarrow \infty} \left( f(z_0 + h) - \sum_{n=0}^m a_n h^n \right) = 0$$

که به معنی آن است که

$$f(z_0 + h) = \sum_{n=0}^{\infty} a_n h^n$$

این بسط برای  $|h| < R$  برقرار است، و

$$a_n = \frac{1}{2\pi i} \int_{C_r} \frac{f(z)}{(z-z_0)^{n+1}} dz$$

و این به ازای  $|h| < R$  است. هم اکنون خواهیم دید که محدودیت اخیر غیر لازم است، زیرا که انتگرال مورد نظر به ازای  $0 < |z-z_0| < R$  مشتق پذیر است، و بنابراین انتگرال مذکور، به شرط آنکه  $r < R$  در محدوده  $0 < r < R$  تغییر کند، بدون تغییر خواهد ماند. این اثبات لم مورد نظر را کامل می کند.  $\square$

اکنون که می دانیم یک بسط به سری توانی وجود دارد، آگاهی خود را درباره سری توانی به کار می بریم تا حاصل شود:

**قضیه ۱۰-۳.** (سری تیلر)

اگر  $f$  در دامنه  $D$  مشتق پذیر باشد، آنگاه همه مشتق های بالاتر  $f$  در سراسر  $D$  وجود دارند و در هر قرص  $N_R(z_0) \subseteq D$  بسط سری تیلر

$$f(z_0 + h) = \sum_{n=0}^{\infty} \frac{f^{(n)}(z_0)}{n!} h^n$$

برقرار است. علاوه بر آن، اگر  $0 < r < R$  و  $C_r(t) = z_0 + re^{it}$  ( $0 \leq t \leq 2\pi$ ) باشد، آنگاه

$$f^{(n)}(z_0) = \frac{n!}{2\pi i} \int_{C_r} \frac{f(z)}{(z-z_0)^{n+1}} dz$$

برهان. از لم ۱۰-۲ داریم:

$$f(z_0 + h) = \sum_{n=0}^{\infty} a_n h^n \quad \text{به ازاء } |h| < R.$$

به بیان دیگر، با قرار دادن  $z = z_0 + h$ ،

$$|z - z_0| < R \quad \text{به ازاء} \quad f(z - z_0) = \sum_{n=0}^{\infty} a_n (z - z_0)^n$$

اما از یک سری توانی هر چند بار که بخواهیم می‌توانیم مشتق بگیریم، و بنابر فرع ۴-۱۴، داریم:

$$f^{(n)}(z_0) = n! a_n = \frac{n!}{2\pi i} \int_{C_r} \frac{f(z)}{(z - z_0)^{n+1}} dz$$

این همان عبارت انتگرال مطلوب برای  $f^{(n)}(z_0)$  است و با قرار دادن  $a_n = f^{(n)}(z_0)/n!$  در سری توانی مذکور بسط تیلر حاصل می‌شود.

**قضیه ۱۰-۳.** اولین بار به وسیله کوشی در ۱۸۳۱، به روشی که اینجا ارائه شد، به اثبات رسید. سری مذکور در فوق پس از بروک تیلر به نام او نامگذاری شد، و او بود که برای اولین بار این نظریه را که می‌توان یک تابع را به صورت یک سری توانی به صورت:

$$f(x+h) = \sum_{n=0}^{\infty} \frac{f^{(n)}(x)}{n!} h^n$$

نوشت در ۱۷۱۵ منتشر نمود. نظریه تیلر محدود به توابع حقیقی بود و برای خواننده جای تعجب نیست اگر بداند که قبل از نشریه تیلر دیگران بر آن آگاهی داشتند. بخصوص گریگوری که حدود ۴۵ سال پیش از آن تاریخ از آن با خبر بود، همچنین ایزاک نیوتون در ۱۶۹۱، در خلال قرن هیجدهم اقدامات گوناگونی به عمل آمد تا آنالیز حقیقی بر سری های توانی بنا گردد، که مشهورترین آنها از آن لاگرانژ در ۱۷۹۷ است. کوشی سری های توانی را به طور وسیعی در آنالیز مختلط به کار گرفت. این از چرخشهای سوال برانگیز تقدیر است که او مثال نقض  $f(x) = e^{-1/x^2}$  را در ۱۸۲۹ ارائه داد تا نشان دهد که همه تابعهای به صورت نامتناهی مشتق پذیر با بسط های تیلر خود مساوی نیستند، و ادامه داد تا



درست دو سال بعد ثابت کرد که همه تابعهای مختلط مشتق پذیر دارای بسط های به سری توانی هستند.

تابعی حقیقی چون  $f: D \rightarrow \mathbb{R}$  (که  $D \subseteq \mathbb{R}$ ) یا تابعی مختلط چون  $f: D \rightarrow \mathbb{C}$  (که  $D \subseteq \mathbb{C}$ ) را تحلیلی گویند اگر به ازاء هر  $\alpha \in D$  دارای یک بسط به سری توانی

$$f(\alpha + h) = \sum_{n=0}^{\infty} a_n h^n$$

برقرار در همسایگی از  $\alpha$  باشد. کوشی ثابت کرد که در حالت حقیقی تابعهای وجود دارند که نامتناهياً مشتق پذیرند اما تحلیلی نیستند. اما در حالت مختلط ثابت کرد که هر تابعی که یک بار در دامنه ای مشتق پذیر است لزوماً تابعی تحلیلی است. در یک حرکت او نشان داد که آنالیز مختلط آسانتر از آنالیز حقیقی است بدین سان که مطالعه کلی تابعهای مختلط مشتق پذیر را به محاسبات مخصوص با سری های توانی تبدیل کرد، و برای این کار دنباله ای از قضایا را که در چند بخش بعدی گشوده می شوند بیان داشت.

توجه کنید که تابع مختلط چون  $f$  مشتق پذیر است اگر و فقط اگر تحلیلی باشد. این دو کلمه فقط بر دیدگاههای متفاوت تاکید دارند، و لذا می توان هر یک را به جای دیگری به کار برد.

### ۳. قضیه موررا

ابتدا می پردازیم به یک عکس جزئی از قضیه کوشی، که منسوب به موررا (۱۸۸۹) است:

**قضیه ۱۰-۴.** اگر  $f$  در دامنه ای چون  $D$  پیوسته و  $\int_{\gamma} f = 0$  به ازاء همه کانتورهای بسته  $\gamma$  در  $D$ ، آنگاه  $f$  مشتق پذیر است.

برهان. از پیش می دانیم که (قضیه ۶-۱۱) اگر  $\int_{\gamma} f = 0$  به ازاء همه کانتورهای بسته  $\gamma$  در  $D$ ، آنگاه تابعی مشتق پذیر چون  $F$  در  $D$  وجود دارد به طوری که مشتق آن  $f$  است. ولی حال می دانیم که  $F$  به شکل نامتناهی مشتق پذیر است و  $F' = f$ ، و لذا  $f$  مشتق پذیر است.

قضیه فوق الذکر به شرح این نکته می پردازد که چرا در فصل ۶ به خواننده هشدار داده شد که تلاش برای یافتن ضد مشتقی چون  $F$  برای تابعی مشتق ناپذیر چون  $f$  بیهوده است. چنین تابعی نمی تواند یک ضد مشتق داشته باشد. گردایه ای از تابعها وجود دارد، از جمله  $f(z) = |z|$ ، که پیوسته اند ولی مشتق پذیر نیستند. در مورد چنین تابعهایی عمل انتگرالگیری را می توان با کمک فرمول

$$\int_{\gamma} f = \int_a^b f(\gamma(t))\gamma'(t)dt$$

به انجام رساند و قضیه اساسی انتگرالگیری کانتور هر چه که باشد به کار نمی آید زیرا  $f$  دارای ضد مشتق نیست (در تضادی آشکار با حالت حقیقی، که همه تابعهای پیوسته یک ضد مشتق دارند).

اطلاعات خود را درباره مشتق ها و ضد مشتق ها گردآوری و خلاصه کنیم داریم: اگر  $f$  در دامنه ای چون  $D$  مشتق پذیر باشد. آنگاه همه مشتقات مراتب بالاتر  $f$  وجود دارند. تابع  $f$  فقط هنگامی یک ضد مشتق می تواند داشته باشد که خود  $f$  مشتق پذیر، و حتی پس از آن، وجود ضد مشتق های موضعی تضمین شده باشند. منظور از شرط اخیر این است که اگر  $D_1 \subseteq D$  همبند ساده باشد، آنگاه  $f$  باید در  $D_1$  دارای یک ضد مشتق باشد (قضیه ۸-۱۱). بخصوص وجود یک ضد مشتق را برای یک تابع مشتق پذیر در هر قرص واقع در دامنه  $D$  آن تابع می توانیم تضمین کنیم.

#### ۴. برآورد کوشی

قضیه ۱۰-۳ متضمن تعمیمی از فرمول انتگرال کوشی است برای مشتقات مراتب بالاتر یک تابع مشتق پذیر:

$$f^{(n)}(z_0) = \frac{n!}{2\pi i} \int_{C_r} \frac{f(z)}{(z-z_0)^{n+1}} dz$$

که در آن  $D \subseteq N_R(z_0)$  و  $0 < r < R$  با قراردادهای استاندارد  $f^{(0)}(z) = f(z)$  و  $0! = 1$ ، این فرمول به ازاء هر  $n \geq 0$  درست است. با به کار گرفتن آن می توانیم

یک کران بالا برای  $|f^{(n)}(z.)|$  به دست آوریم.

لم ۱۰-۵. (برآورد کوشی)

اگر  $f$  به ازاء  $|z-z_0| < R$  ، مشتق پذیر باشد و به ازاء  $|z-z_0| = r$  ،  
 $|f(z)| \leq M$  ، آنگاه

$$|f^{(n)}(z.)| \leq \frac{Mn!}{r^n}$$

به ازاء هر عدد صحیح  $n \geq 0$ .

برهان.

$$f^{(n)}(z.) = \frac{n!}{2\pi i} \int_{C_r} \frac{f(z)}{(z-z_0)^{n+1}} dz$$

$$\leq \frac{n!}{2\pi} \frac{M}{r^{n+1}} \cdot 2\pi r$$

$$= \frac{Mn!}{r^n}$$

برآورد کوشی منجر به قضیه مهمی از لیوویل می شود، که موارد استعمال

غیر منتظره ای در مسائل صرفاً جبری دارد. ابتدا آن قضیه:

قضیه ۱۰-۶. (قضیه لیوویل)

اگر  $f$  در همه صفحه مختلط کراندار و مشتق پذیر باشد، آنگاه  $f$  یک ثابت

است.

برهان. فرض کنیم  $|f(z)| \leq M$ . آنگاه از برآورد کوشی برای مشتق حاصل

می شود:

$$|f'(z)| \leq \frac{M}{r}$$

چون  $f$  در  $C$  مشتق پذیر است، می توان فرض کرد که  $r \rightarrow \infty$  ، آنگاه  $M/r$  را

می توان به اندازه دلخواه کوچک اختیار کرد و، چون  $f'(z)$  مستقل از  $r$  است،

نتیجه می گیریم

$$|f'(z)| = 0$$

بدین سان در سراسر  $C$ ،  $f' = 0$  و بنابراین  $f$  ثابت است.

اکنون مورد استعمال:

**قضیه ۱۰-۷.** (قضیه اساسی جبر)

فرض کنیم  $P(z) = z^n + a_1 z^{n-1} + \dots + a_n$  یک چند جمله‌ای باشد که در آن  $n \geq 1$  و  $a_1, \dots, a_n$  متعلق به  $C$  هستند. آنگاه  $w \in C$  وجود دارد به طوری که  $P(w) = 0$ .

**برهان.** اگر به ازاء همه  $z$  های متعلق به  $C$ ،  $P(z) \neq 0$ ، آنگاه  $1/P(z)$  در سراسر  $C$  مشتق پذیر است. به ازاء  $z \neq 0$

$$P(z)/z^n = 1 + (a_1/z) + \dots + (a_n/z^n) \quad (|z| \rightarrow \infty)$$

بنابراین  $k > 0$  وجود دارد به طوری که

$$\left| \frac{P(z)}{z^n} \right| \geq \frac{1}{2} \quad \text{به ازاء } |z| > k.$$

بدین سان

$$\left| \frac{1}{P(z)} \right| \leq 2/|z^n| \leq 2/k^n \quad \text{به ازاء } |z| > k.$$

همین کران برای  $1/P(z)$  در سراسر صفحه مختلط به کار می‌آید. به ازاء  $|z| \leq k$  دایره‌ای چون  $C_R$ ، به مرکز  $z$ ، به شعاع  $R$ ، که چنان بزرگ است که به ازاء همه  $z$  های روی  $C_R$ ،  $|z| > k$ ، در نظر می‌گیریم، آنگاه

$$\left| 1/P(z) \right| \leq 2/k^n \quad \text{به ازاء همه } z \text{ های روی } C_R$$

و از برآورد کوشی نتیجه می‌شود:

$$\left| 1/P(z) \right| \leq 2/k^n$$

بنابر قضیه لیبوییل  $1/P(z)$  ثابت است؛ بنابراین  $p(z)$  ثابت است. اما این با

$n \geq 1$  تناقض دارد. در نتیجه به ازاء  $w$  ای متعلق به  $C$  داریم  $P(w) = 0$

چنین نتیجه می شود که هر بسجمله ای  $P(z)$  با ضرایب مختلط را به طریق معمول می توان به صورت حاصلضربی از عبارتهای درجه ۱ نوشت:

$$P(z) = (z - \alpha_1)(z - \alpha_2) \dots (z - \alpha_n)$$

## ۵. صفرها

اکنون دیدگاه خود را نسبت به بسجمله ها وسعت می بخشیم و به صفرهای تابعهای مشتق پذیر دلخواه نظری می افکنیم. یک صفر برای تابعی چون  $f: D \rightarrow C$  نقطه ای چون  $z \in D$  است که به ازاء آن  $f(z) = 0$ . چون  $f$  را حول  $z$  (که صفر  $f$  است) بسط تیلور بدهیم، داریم:

$$|z - z_0| < R \quad \text{به ازاء} \quad f(z) = \sum_{n=0}^{\infty} a_n (z - z_0)^n$$

طوری که  $N_R(z_0) \subseteq D$ . آنگاه  $a_n = f^{(n)}(z_0)$  برابر صفر است و دو چیز مشخصاً متمایز می تواند روی دهد؛ یا سایر  $a_i$  ها همه صفرند، که در چنین حالتی  $f(z) = 0$  در  $N_R(z_0)$  است، و یا  $m$  وجود دارد به طوری که

$$a_m \neq 0, \quad a_0 = a_1 = \dots = a_{m-1} = 0$$

در حالت اخیر می گوئیم  $z_0$  صفری از مرتبه (متناهی) است. به آسانی ملاحظه می شود که یک صفر از مرتبه  $m$  با شرایط زیر نیز مشخص می شود:

$$f(z_0) = f'(z_0) = \dots = f^{(m-1)}(z_0) = 0, \quad f^{(m)}(z_0) \neq 0$$

عبارت مفید دیگری برای چنین صفری این است که بنویسیم:

$$f(z) = (z - z_0)^m g(z) \quad (|z - z_0| < R)$$

که در آن  $g(z) = \sum_{n=0}^{\infty} a_{m+n}(z-z_0)^n$  به ازاء  $|z-z_0| < R$  مشتق پذیر است و  $g(z_0) = a_m \neq 0$ . این به یک ایده مهم اساسی منجر می شود. صفری از یک تابع مشتق پذیر  $f$  را منفرد نامند اگر قرصی به مرکز وجود داشته باشد که شامل قرصهای دیگری نباشد، یعنی  $\delta > 0$  وجود داشته باشد به طوری که

$$|z-z_0| < \delta \Rightarrow f(z) \neq 0$$

لم ۸-۱۰. صفری که مرتبه متناهی دارد منفرد است.

برهان. می نویسیم  $f(z) = g(z)(z-z_0)^m$  و این به ازاء  $|z-z_0| < R$  است و در آن  $g$  مشتق پذیر است و  $g(z_0) \neq 0$ . آنگاه مطمئناً  $g$  در  $z_0$  پیوسته است، بنابراین، با اختیار  $\varepsilon = \frac{1}{2}|g(z_0)|$ ، یک  $\delta > 0$  وجود دارد به طوری که

$$|z-z_0| < \varepsilon \Rightarrow |g(z) - g(z_0)| < \varepsilon$$

بنابراین هنگامی که  $|z-z_0| < \delta$ ، داریم:

$$g(z) \geq |g(z_0)| - |g(z_0) - g(z)| > 2\varepsilon - \varepsilon = \varepsilon$$

بخصوص داریم  $g(z) \neq 0$ . ولی اگر  $|z-z_0| < \delta$ ، آنگاه  $|z-z_0|^m \neq 0$ ، و لذا  $f(z) = g(z)(z-z_0)^m \neq 0$  که مطلوب ما بود.

فرض کنیم  $S$  یک مجموعه از صفرهای تابع مشتق پذیری چون  $f$  در  $D$  باشد، که یک نقطه حدی  $z_0 \in D$  دارد. آنگاه در هر قرص  $N_R(z_0) \subseteq D$ ، تابع  $f$  متحد با صفر است.

برهان. چون  $z_0$  یک نقطه حدی  $S$  است. می توانیم دنباله ای چون  $\{z_n\}_{n \geq 1}$  در  $S$  انتخاب کنیم که به  $z_0$  میل می کند. آنگاه  $f(z_0) = \lim_{n \rightarrow \infty} f(z_n) = 0$ . بنابراین  $z_0$  صفری از  $f$  است که منفرد نیست؛ و لذا دارای مرتبه متناهی نیست و

$$f(z_0 + h) = \sum_{n=0}^{\infty} a_n h^n$$

## ۵. صفرها

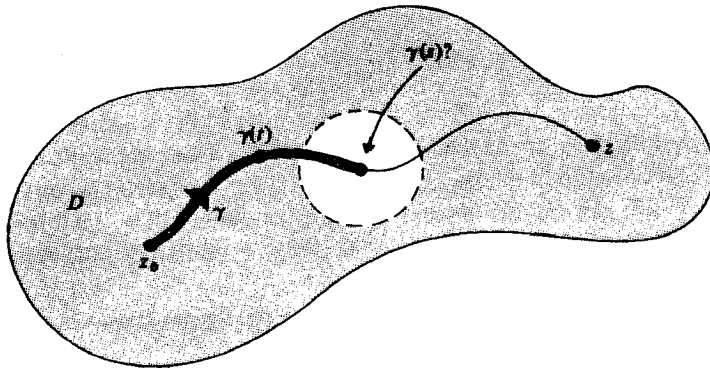
در هر قرص  $N_R(z) \subseteq D$  همراه با همه ضرایب  $a_n$  صفر هستند.

از این، نتیجه زیر حاصل می شود:

**گزاره ۱۰-۱۰.** اگر  $f$  در دامنه ای چون  $D$  مشتق پذیر و  $S$  مجموعه ای از صفرهای  $f$  بایک نقطه حدی  $z$  در  $D$  متحد با صفر است.

**برهان.** حاصل فرع ۱۰.۹،  $f(z) = 0$ ، به ازاء همه  $z$  های متعلق به قرص  $N_R(z) \subseteq D$  است.

به ازاء هر  $z \in D$  دیگری، مسیری چون  $\gamma: [a, b] \rightarrow D$  از  $z$  به  $z$  انتخاب می کنیم (شکل ۱۰-۴).



(شکل ۱۰-۴)

نشان می دهیم  $f(\gamma(t)) = 0$  به ازاء هر  $t \in [a, b]$ . مطمئناً  $\delta > 0$  را می توان چنان یافت که

$$a \leq t < a + \delta \Rightarrow \gamma(t) \in N_R(z),$$

و در نتیجه  $f(\gamma(t)) = 0$  به ازاء  $a \leq t < a + \delta$ . فرض کنیم که کوچکترین کران بالای همه آن  $x$  های متعلق به  $[a, b]$  باشد به طوری که  $f(\gamma(t)) = 0$  به ازای

$$a \leq t < x \text{ . آنگاه } a + \delta \leq s \leq b$$

بنابر پیوستگی،  $f(\gamma(s)) = 0$ . اگر  $s$  اکیداً کوچکتر از  $b$  می بود، آنگاه  $\gamma(s)$

می بایست که یک صفر نامنفرد بوده باشد، و لذا  $f$  در همسایگی ای از  $\gamma(s)$  می بایست متحد با صفر می شد و ما می توانستیم بازه ای چون  $[s, s+k]$  بیابیم که در آن  $f(\gamma(t))$  صفر است، و این با تعریف  $s$  در تناقض است. بنابراین  $s = b$  و  $f(z) = f(\gamma(b)) = 0$ ، که مطلوب ما بود.

به عنوان نتیجه ای مهم، داریم:

**قضیه ۱۰-۱۱.** (قضیه همانی)

اگر  $f$  و  $g$  در دامنه ای چون  $D$  تحلیلی و  $f(z) = g(z)$  به ازاء هر  $z \in S \subseteq D$  طوری که  $S$  یک نقطه حدی در  $D$  داشته باشد، آنگاه  $f = g$  در سراسر  $D$ .  
**برهان.** گزاره ۹-۱۰ را برای  $f-g$  به کار بگیرید.

این نکته حائز اهمیت است که نقطه حدی مربوط به  $S$  در  $D$  باشد: در غیر این صورت قضیه نادرست است. زیرا اگر

$$f(z) = \sin(1/z)$$

$$g(z) = 0$$

را در  $D = \mathbb{C} \setminus \{0\}$  در نظر بگیریم، آنگاه  $f(z) = g(z)$  به ازاء  $z = \pm 1/(n\pi)$  خواهد بود؛  $z = 0$  یک نقطه حدی  $S = \{\pm 1/(n\pi)\}$  است، ولی در  $D$  داریم  $f \neq g$ .

## ۶. تابعهای توسیعی

تابعی چون  $f: D \rightarrow \mathbb{C}$  را یک تابع توسیعی  $h: S \rightarrow \mathbb{C}$  می نامند اگر  $S \subseteq D$  و  $z \in S$  به ازاء هر  $z \in S$ .

**مثال ۱.**  $f(z) = 1/(1-z)$  بر  $D = \mathbb{C} \setminus \{1\}$  یک تابع توسیعی برای تابع  $h(z) = \sum_{n=0}^{\infty} z^n$  بر  $S = \{z \in \mathbb{C} \mid |z| < 1\}$ .

فرض کنیم  $D$  یک دامنه و  $S$  زیر مجموعه ای از  $D$  باشد طوری که یک نقطه حدی  $S$  در  $D$  است. آنگاه قضیه همانی نشان می دهد که اگر تابعی چون  $f: S \rightarrow \mathbb{C}$  دارای تابعی باشد توسیعی چون  $f: D \rightarrow \mathbb{C}$  که مشتق پذیر باشد، آنگاه این توسیع منحصر به فرد است.



به عنوان یک مورد استعمال، فرض کنید  $f: D \rightarrow C$  مشتق پذیر است و بسط تیلر  $f(z) = \sum a_n(z-z_0)^n$  حقیقی که به تابع های مختلط مشتق پذیر توسعه می یابند تابع های تحلیلی حقیقی هستند.

حتی باز هم می توانیم  $S$  را محدودتر کنیم، به شرط آنکه حداقل یک نقطه حدی در  $D$  داشته باشد.

**مثال ۴.** اگر  $f(1/n) = 1/n^2$  به ازاء هر عدد صحیح و مثبت  $n$ ، آنگاه  $f(z) = z^2$  توسعه تحلیلی منحصر به فرد  $f$  به همه صفحه مختلط است زیرا

$$S = \{n \mid \text{یک عدد صحیح مثبت است}\}$$

دارای نقطه حدی  $0 \in C$  است.

از آنجا که بسط تیلور بر قرصها برقرار است (قضیه ۱۰-۳)، و از این لحاظ می توان آن را برای تعریف تابعهای توسیعی به کار گرفت. به همین جهت به آسانی معلوم می شود که شعاع همگرایی بسط سری تیلور مربوط به تابعی چون  $f$  حول نقطه ای چون  $z_0$  برابر است با فاصله  $z_0$  از نزدیکترین نقطه ای چون  $z_1$  که در آن هیچ تابع توسیعی مشتق پذیر از  $f$  نمی توان تعریف کرد. چنین نقطه ای را یک *انفراد (نقطه منفرد)*  $f$  می نامند. و درباره نقاط منفرد در موارد آتی بیشتر بحث می کنیم. نقاط منفرد را به عنوان ره گیرهایی باید به حساب آوریم که تعیین کننده اندازه قرص همگرایی سری تیلور هستند.

### ۷. ماکسیم و می نیم موضعی

از آنجا که اعداد مختلط مرتب نیستند، نمی توانیم درباره ماکسیم و می نیم تابع مختلط  $f$  صحبت کنیم. با این وصف، می توانیم مقادیر ماکسیم و می نیم مدول  $|f|$  را بررسی کنیم.

در مورد تابع  $f: D \rightarrow C$ ، می گوئیم که  $|f|$  یک ماکسیم موضعی در  $z_0 \in D$  دارد اگر  $\varepsilon > 0$  وجود داشته باشد به قسمی که  $|f(z)| \leq |f(z_0)|$ ،  $N_\varepsilon(z_0) \subseteq D$  به ازاء هر  $z_0 \in N_\varepsilon(z_0)$ . آن را یک ماکسیم

موضعی اکید می نامند اگر

$$0 < |z - z_0| < \varepsilon \Rightarrow |f(z)| < |f(z_0)|$$

به نظر می رسد که مسأله تعیین ماکسیمم  $|f|$  در یک دامنه آسان باشد (یا غیر ممکن، و این بستگی به چگونگی نگرش شما نسبت به آن دارد: حتی یکی وجود ندارد!)

**گزاره ۱۰-۱۲.** یک تابع مشتق پذیر در یک دامنه برای مدول خود دارای ماکسیمم اکید نیست. اگر دارای یک ماکسیمم موضعی باشد، آنگاه این تابع ثابت است.

**برهان.** فرض کنیم  $N_\varepsilon(z_0) \subseteq D$ ،  $|f(z)| \leq |f(z_0)|$  به ازاء هر  $z \in N_\varepsilon(z_0)$ . به ازاء  $0 < r < \varepsilon$  دایره  $C_r(t) = z_0 + re^{it}$  ( $0 \leq t \leq 2\pi$ ) درون  $N_\varepsilon(z_0)$  قرار می گیرد، بنابراین

$|f(z_0 + re^{it})| \leq |f(z_0)|$  به ازاء هر  $t \in [0, 2\pi]$ . از فرمول انتگرال کوشی نتیجه می شود:

$$\begin{aligned} f(z_0) &= \frac{1}{2\pi i} \int_{C_r} \frac{f(z)}{z - z_0} dz \\ &= \frac{1}{2\pi i} \int_0^{2\pi} \frac{f(z_0 + re^{it})}{re^{it}} ire^{it} dt \\ &= \frac{1}{2\pi} \int_0^{2\pi} |f(z_0 + re^{it})| dt \end{aligned}$$

و بنابراین

$$|f(z_0)| \leq \frac{1}{2\pi} \int_0^{2\pi} |f(z_0 + re^{it})| dt \leq \frac{1}{2\pi} \int_0^{2\pi} |f(z_0)| dt \leq |f(z_0)|$$

نتیجه اینکه

$$|f(z_0)| = \frac{1}{2\pi} \int_0^{2\pi} |f(z_0 + re^{it})| dt \quad (2)$$

اگر قرار می‌بود که نامساوی اکید  $|f(z. + re^{it})| < |f(z.)|$  به ازاء  $t$  دلخواهی متعلق به  $[0, 2\pi]$  برقرار باشد، بنابر پیوستگی می‌بایست که در یک بازه کوچک برقرار می‌بود و از آن نامساوی اکید

$$\frac{1}{2\pi i} \int_0^{2\pi} |f(z. + re^{it})| dt < |f(z.)|$$

حاصل می‌شد که با (۲) متناقض است. این رابطه برای هر  $r$  کوچکتر از  $\varepsilon$  برقرار است، بنابراین  $|f|$  در  $N_\varepsilon(z.)$  ثابت است. بنا بر گزاره ۴-۸،  $f$  در  $N_\varepsilon(z.)$  ثابت است و قضیه همانی نشان می‌دهد که  $f$  در سراسر  $D$  ثابت است.

چنانچه ما مفهوم متمم یعنی می‌نیمم موضعی  $|f|$  را مدنظر قرار دهیم، آنگاه واضح است که آنجا که یک تابع غیر ثابت دارای یک صفر است، این صفر منفرد است و  $|f|$  در آن یک می‌نیمم موضعی دارد. با این وصف، اگر  $f$  ناصفر باشد، با به کار گرفتن گزاره ۱۰-۱۲ در مورد تابع  $1/f$ ، حاصل می‌شود.

گزاره ۱۰-۱۳. یک تابع مشتق پذیر ناصفر برای مدول خود در یک دامنه دارای یک می‌نیمم موضعی اکید نیست. اگر دارای یک می‌نیمم موضعی باشد آنگاه این تابع ثابت است.

## ۸. قضیه مدول ماکسیمم

پرسش مربوط به ماکسیمم یا می‌نیمم  $|f|$  بر یک زیر مجموعه دلخواه از دامنه آن قدری متفاوت است. می‌گوییم  $|f|$  یک ماکسیمم موضعی بر  $S \subseteq D$  در نقطه  $z. \in S$  دارد اگر

(الف)  $z.$  یک نقطه حدی  $S$  باشد.

(ب) به ازاء  $\varepsilon$  بزرگتر از ۰،  $|f(z.)| \leq |f(z)|$  هر جا که  $z \in N(z.) \cap S$ .

شرط (الف) اساسی است، زیرا در غیر این صورت همسایگی ای چون  $N_\varepsilon(z.)$  وجود دارد که شامل هیچ نقطه ای از  $S$  به استثنای  $z.$  نخواهد بود و آنگاه شرط (ii) به صورتی بی‌مایه درست است.

مثال ۱. اگر  $f(z) = e^z$  و  $S = \{z \in \mathbb{C} \mid |z| \leq 1\}$ ، آنگاه  $|f(x+iy)| = e^x$  بر  $S$  در نقطه  $z. = 1$  دارای یک ماکسیمم موضعی است.

چون گزارهٔ ۱۰-۱۲ را به کار بگیریم، ملاحظه می‌کنیم که اگر  $N_\varepsilon(z) \subseteq S$ ، آنگاه  $|f|$  نمی‌تواند در  $z$  دارای یک ماکسیمم باشد. نقطهٔ  $z$  را یک نقطهٔ مرزی  $S$  تعریف می‌کنیم به شرط آنکه هر همسایگی  $z$  هم شامل نقاطی از  $S$  باشد و هم شامل نقاطی غیر از نقاط  $S$  به استثنای خود  $z$ . به بیان دیگر یک نقطهٔ مرزی نقطه‌ای است که هم یک نقطهٔ حدی  $S$  است و هم یک نقطهٔ حدی مکمل آن  $C \setminus S$ . مرز  $S$  را مجموعهٔ نقاط مرزی آن تعریف می‌کنیم.

**مثال ۲.** مرز  $S = \{z \in \mathbb{C} \mid |z| \leq 1\}$  و متمم آن  $\{z \in \mathbb{C} \mid |z| > 1\}$  دایرهٔ  $\{z \in \mathbb{C} \mid |z| > 1\}$  است.

اکنون می‌توانیم گزارهٔ ۱۰-۱۲ را تجدید عبارت کنیم تا حاصل شود:

**قضیهٔ ۱۰-۱۴.** (قضیهٔ مدول ماکسیمم)

اگر تابعی مشتق پذیر ثابت نباشد. آنگاه مقدار ماکسیمم مدول آن بر یک مجموعهٔ دلخواه بر مرز آن مجموعه رخ می‌دهد. همچنین از گزارهٔ ۱۰-۱۳ حاصل می‌شود

**قضیهٔ ۱۰-۱۵.** (قضیهٔ مدول می‌نیمم)

اگر تابع مشتق پذیری ثابت نباشد، آنگاه مقدار می‌نیمم آن بر یک مجموعهٔ دلخواه یا در جایی رخ می‌دهد که تابع صفر است و یا بر مرز آن مجموعه.

**مثال ۳.** اگر  $f(z) = z^2$  بر مجموعهٔ  $S = \{z \in \mathbb{C} \mid |z| \leq 1\}$ . آنگاه مقدار ماکسیمم  $|f(x+iy)| = x^2 + y^2$  در طول مرز  $S$  روی می‌دهد در حالی که مقدار می‌نیمم  $|f|$  در مبداء رخ می‌دهد.

## تمرینهای ۱۰

۱. سری تیلور را در  $z=0$  برای تابع  $f(z) = \log(1+z)$  پیدا کنید، که در آن  $\log$  مقدار اصلی است. قرص همگرایی چیست؟ همین سوال را برای  $g(z) = \exp(\alpha \cdot \log(1+z))$ ، که  $\alpha \in \mathbb{C}$ ، جواب دهید.

۲. برای  $f(z) = [1 + \log(1-z)]^{-1}$  در  $z=0$  سه جمله اول بسط تیلور و شعاع همگرایی را تعیین کنید.

۳. بسط تیلور موارد زیر را حول  $z=0$ ، و همچنین شعاع همگرایی را تعیین کنید:

(الف)  $\sin^2(z)$

(ب)  $z^2(z+2)^{-2}$

(ج)  $(az+b)^{-1}$  ( $a, b \in \mathbb{C}, b \neq 0$ )

(د)  $\int_0^z e^{w^2} dw$

(ه)  $(\sin z)/z$  ( $z \neq 0$ ) ( $z=0$ )

(و)  $\int_0^z (\sin w)/w dw$

۴. اعداد  $c_n$  را با کمک سری تیلور

$$\sec(z) = \sum_{n=0}^{\infty} (-1)^n \frac{c_{2n}}{(2n)!} z^{2n}$$

تعیین کنید.

ثابت کنید

$$c_0 = 1$$

$$c_0 + c_2 \binom{2}{2} + c_4 \binom{4}{4} + \dots + c_{2n} \binom{2n}{2n} = 0$$

نشان دهید که  $c_n$  هموار گویا است. و آن را به ازاء  $n \leq 8$  محاسبه کنید.  
 ۵. فرض کنیم

$$(1 - z - z^2)^{-1} = \sum F_n z^n$$

ثابت کنید

$$F_1 = F_2 = 1, F_n = F_{n-1} + F_{n-2}$$

(این تعریف بازگشتی اعداد فیبوناچی  $1, 1, 2, 3, 5, 8, \dots$  است). با بسط  $(1 - z - z^2)^{-1}$  بر حسب کسره‌های جزئی، ثابت کنید:

$$F_n = \frac{1}{\sqrt{5}} \left[ \left( \frac{1 + \sqrt{5}}{2} \right)^{n+1} - \left( \frac{1 - \sqrt{5}}{2} \right)^{n+1} \right]$$

۶. نتایجی مشابه سوال ۵ برای بسط  $(1 - ax - bz^2)^{-1}$  با شرط  $a, b \in C$  جستجو کنید.

۷. اگر

$$\exp\left(\frac{z}{1-z}\right) = \sum a_n z^n$$

ثابت کنید

$$a_n = 1, a_n = \sum_{s=1}^n \frac{1}{s!} \binom{n-1}{s-1}.$$

۸. فرض کنیم  $f(z)$  دارای بسط تیلور  $\sum a_n z^n$  به ازاء  $|z| < R$  است. فرض می‌کنیم  $w = e^{2\pi i / 3}$  و تعریف می‌کنیم

$$g(z) = \frac{1}{3} (f(z) + f(wz) + f(w^2z))$$

نشان دهید که

$$g(z) = \sum a_{rn} z^{rn}$$

به ازاء  $|z| < R$ . عبارات مشابهی برای  $\sum a_{rn+r} z^{rn+r}$ ،  $\sum a_{rn+1} z^{rn+1}$  بیابید.

[ راهنمایی:  $1 + w + w^2 = 0$  ]

۹. سه تابع به صورتهای زیر تعریف می کنیم:

$$\alpha(z) = \sum \frac{z^{rn}}{(rn)!} \quad \beta(z) = \sum \frac{z^{rn+2}}{(rn+2)!} \quad \gamma(z) = \sum \frac{z^{rn+1}}{(rn+1)!}$$

ثابت کنید که این سری ها به ازاء همه مقادیر  $z$  همگرا هستند. با به کار گرفتن سوال ۸، موارد آتی را ثابت کنید:

(الف)  $\gamma'(z) = \alpha(z), \beta'(z) = \gamma(z), \alpha'(z) = \beta(z)$

(ب)  $\alpha(z) = \frac{1}{3} [e^z + 2e^{-z/2} \cos(z\sqrt{3}/2)]$  (عبارتهای مشابهی برای

$\beta(z)$ ،  $\gamma(z)$  بیابید).

(ج)  $\alpha(z+w) = \alpha(z)\alpha(w) + \beta(z)\gamma(w) + \gamma(z)\beta(w)$

(د)  $\alpha^2(z) + \beta^2(z) + \gamma^2(z) - 3\alpha(z)\beta(z)\gamma(z) = 1$

(ه)  $\alpha(z) = \beta(z) \Leftrightarrow z = (3n-1) \cdot 2\pi/3\sqrt{3} (n \in \mathbb{Z})$

۱۰. سوال ۸ را تعمیم دهید تا عبارتی برای  $\sum a_{pn} z^{pn} (p = 2, 3, \dots)$  به دست دهید

و (مشکل تر) برای  $\sum a_{pn+k} z^{pn+k} (p = 2, 3, \dots, k = 0, 1, \dots, p-1)$

۱۱. نشان دهید که برآورد کوشی یک تساوی است اگر و فقط اگر  $f(z) = kz^n$  به

ازاء  $K$  ای متعلق به  $C$ ،  $n = 1, 2, 3, \dots$

۱۲. فرض کنیم  $D$  یک قرص به مرکز  $z$ ، و  $f$  تابعی تحلیلی در دامنه ای که شامل

$D$  است باشد. ثابت کنید که «مقدار متوسط» برای  $f(z)$  هنگامی که  $z \in \partial D$  را

می پیماید  $\partial D$  با یک انتگرال مناسب معین می شود) برابر است با  $f(z)$ .

۱۳. فرض کنیم  $f$  در سراسر  $C$  تحلیلی باشد، و فرض کنیم که  $|f(z)| \leq K|z|^p$  به

ازاء یک ثابت حقیقی  $K$  و یک عدد صحیح مثبت  $C$  باشد. ثابت کنید که  $f$  یک تابع

بسجمله ای از درجه کوچکتر یا مساوی  $C$  است. در حالتی که  $C$  عدد صحیح

نباشد چه نظری دارید؟

۱۴. فرض کنیم که  $f$  و  $g$  بر  $\{z \in \mathbb{C} \mid -2 < \text{im } z < 2\}$  تحلیل باشند. فرض کنیم  $f(z) = g(z)$  به ازاء همه  $z$  هائی که  $|z| \leq 0.01$ . با در نظر گرفتن بسط تیلور ابتدا حول  $0$ ، بعد  $1$ ، و غیره، با استقراء ثابت کنید که در تمام این نوار  $f(z) = g(z)$ .

۱۵. فرض کنیم  $f(z) = \sum a_n (z - z_0)^n$  در یک قرص  $D$  به مرکز  $z_0$ ، به شعاع  $R$ ، اگر  $0 \leq r \leq R$ ، ثابت کنید که

$$\frac{1}{2\pi} \int_0^{2\pi} |f(z_0 + re^{i\theta})|^2 d\theta = \sum |a_n|^2 r^{2n}$$

(تساوی پاراسوال). و در نتیجه ثابت کنید:

$$\sum |a_n|^2 r^{2n} \leq M(r) = \sup_{\theta} |f(z_0 + re^{i\theta})|^2$$

با کمک همین، برهان دیگری برای قضیه مدول ماکسیمم ارائه دهید.

۱۶. اگر  $P(z)$  یک بسجمله ای از درجه  $n$  باشد، نشان دهید که به ازاء هر  $R > 0$  «منحنی تراز» برای  $|P(z)|$ ، که به صورت  $\{z \in \mathbb{C} \mid |P(z)| = R\}$  تعریف می شود، حداکثر دارای  $n$  مولفه همبند است.

۱۷. فرض کنیم  $x^2 + y^2 \leq a^2$ . ثابت کنید  $(1+x)^2 + y^2$  هنگامی مقدار ماکسیمم خود را اختیار می کند که  $x=a$ ،  $y=0$ . [راهنمایی: قضیه مدول ماکسیمم را برای  $1+z$  بر قرص  $|z| \leq a$  به کار بگیرید.]

۱۸. فرض کنید  $x^2 + y^2 \leq 1$ . ثابت کنید  $(x^2 - y^2 - 1)^2 + 4x^2 y^2$  هنگامی مقدار ماکسیمم خود را اختیار می کند که  $x=0$ ،  $y=\pm 1$ .

۱۹. اگر  $f$  در دامنه ای چون  $D$  مشتق پذیر باشد، ثابت کنید که صفرهای  $f$  یا همه از مرتبه متناهی هستند و منفردند، یا  $f$  در  $D$  متحد با صفر است.

۲۰. فرض کنیم

$$f(x) = \int_x^{\infty} t^{-1} e^{-x-t} dt$$



که در آن  $x$  حقیقی و مثبت است. با انتگرالگیری جزء به جزء به طور مکرر، نشان دهید که اگر

$$h_n(x) = (-1)^n n! x^{-(n+1)}$$

آنگاه

$$f(x) = h_0(x) + h_1(x) + \dots + h_{n-1}(x) + (-1)^n n! \int_x^\infty e^{-t} t^{-(n+1)} dt.$$

نشان دهید که سری

$$\sum_{n=0}^{\infty} h_n(x) \quad (3)$$

به ازاء همه  $x$  ها همگرا است. همچنین ثابت کنید که

$$\left| f(x) - \sum_{n=0}^N h_n(x) \right| < N! x^{-(N+1)}.$$

به طوری که به ازاء  $x$  هلی به اندازه کافی بزرگ سری (۳) تقریب خوبی برای  $f(x)$  به دست می دهد، حتی گرچه واگرا است. نکته درخور توجه این است که، هر چه تقریب بهتری مورد نظر باشد،  $x$  بزرگتری باید انتخاب شود: اگر  $N$  را به اندازه کافی بزرگ اختیار کنیم هیچ انتخاب خاصی از  $x$  منجر به یک تقریب خوب کاملاً دلخواه نمی شود. سری با چنین خاصیتی را سری مجانبی می نامند.

# فصل یازدهم

## سریهای توانی

بسط به سری تیلری در بسیاری از موارد استعمال، محدودیت فراوان دارد. تعمیم مفیدی از آن به وسیله لوان ارائه شد، که «سری های توانی» را که متضمن توانهای منفی و مثبت باشند، در نظر گرفت. در مثال زیر به فایده ای که از این کار حاصل می شود اشاره شده است. تابع  $f(z) = e^{-1/z^2}$ ، چنانچه بسط سری تیلر را در کار آوریم، بسیار بد رفتار است. قبلاً دیده ایم که اگر خود را به محور حقیقی محدود کنیم، سری تیلر آن حول مبدا  $0 + 0x + 0x^2 + \dots$  می شود که همگرا به  $f(x)$  و بر همه صفحه نیست؛ اگر چنین گفتاری دارای معنی باشد، حتی کمتر ظرفیت نمایش به وسیله سری تیلور دارد! نمایش طبیعی این سری با شروع از بسط  $e^z$  شروع می شود به این ترتیب که به جای  $z$ ،  $-1/z^2$  قرار دهیم، که حاصل می شود:

$$f(z) = 1 - z^{-2} + \frac{1}{2!} z^{-4} - \frac{1}{3!} z^{-6} + \dots$$

و این یک نوع سری «با توان منفی» است. این سری به ازاء همه  $z$  هایی که  $-1/z^2$  معین است، یعنی به ازاء  $z \neq 0$ ، همگرا است.

۱. سری هایی که متضمن توانهای منفی هستند

سری عمومی از این نوع را می توان به صورت:

$$\sum_{n=-\infty}^{\infty} a_n (z - z_0)^n,$$

نوشت که آن را باید صورت فشرده ای از

$$\left( \sum_{n=0}^{\infty} a_n (z - z_0)^n \right) + \left( \sum_{n=1}^{\infty} a_{-n} (z - z_0)^{-n} \right)$$

به حساب آورد و بنابراین همگرا است اگر و فقط اگر این دو سری محصور در پراکنشها، همگرا باشند. می دانیم که سری های توانی درون یک قرص همگرا هستند. نتیجتاً سری های توانی که فقط توانهای منفی دارند باید خارج از یک قرص همگرا باشند (مثلاً، سری مربوط به  $e^{-1/z^2}$  خارج از قرص  $|z| = 0$  همگرا است) و آنها که هم توانهای منفی دارند و هم مثبت باید در ناحیه ای بین دو دایره هم مرکز همگرا باشند. چنین ناحیه ای را یک تاج دایره می نامند: دقیقتر آنکه، اگر  $R_1, R_2$  اعداد حقیقی یا  $\infty$  باشند، با  $0 \leq R_1 < R_2 \leq \infty$ ، و اگر  $z_0 \in C$ ، آنگاه

$$\{z \in C : R_1 \leq |z - z_0| \leq R_2\}$$

یک تاج دایره است.

کارا با یک قضیه وجودی در مورد بسط سری ها از نوع بالا شروع می کنیم. **قضیه ۱۱-۱** (قضیه لوران). اگر  $f$  در تاج دایره  $R_1 \leq |z - z_0| \leq R_2$ ، که  $0 \leq R_1 < R_2 \leq \infty$ ، مشتق پذیر باشد آنگاه

$$f(z_0 + h) = \sum_{n=0}^{\infty} a_n h^n + \sum_{n=1}^{\infty} b_n h^{-n}$$

که  $\sum a_n h^n$  به ازای  $|h| < R_2$ ، و  $\sum b_n h^{-n}$  به ازای  $|h| > R_1$  همگرا است، و بخصوص هر دو سری در درون تاج دایره داده شده همگرا هستند. بعلاوه، اگر  $C_r(t) = z_0 + re^{it}$  که  $R_1 < r < R_2$ ،  $0 \leq t \leq 2\pi$ ، آنگاه

$$a_n = \frac{1}{2\pi i} \int_{C_r} \frac{f(z)}{(z - z_0)^{n+1}} dz,$$

$$b_n = \frac{1}{2\pi i} \int_{C_r} f(z)(z - z_0)^{n-1} dz,$$

{تبصره: بانمادگذاری فشرده تری، قرار می دهیم  $c_n = a_n (n \geq 0)$  و  $c_{-n} = b_n (n \geq 1)$  و آنگاه

$$f(z, +h) = \sum_{n=-\infty}^{+\infty} c_n h^n$$

که در درون تاج دایره مذکور همگرا است و در آن

$$c_n = \frac{1}{2\pi i} \int_{C_r} \frac{f(z)}{(z-z_0)^{n+1}} dz$$

به ازاء هر  $n \in \mathbb{Z}$

برهان. اگر  $R_1 < |h| < R_2$  باشد،  $r_1, r_2$  را چنان انتخاب می کنیم که

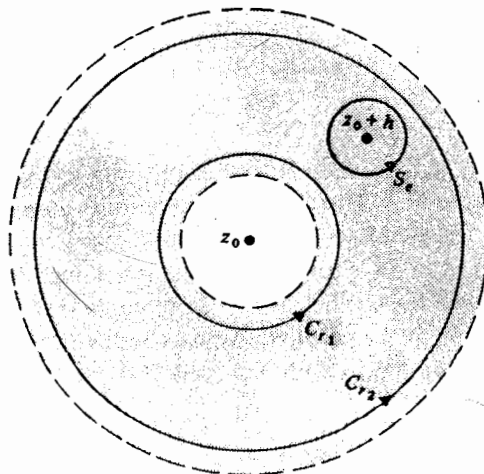
$$R_1 < r_1 < |h| < r_2 < R_2$$

شود و فرض می کنیم (شکل ۱-۱۱)

$$C_{r_1}(t) = z_0 + r_1 e^{it}$$

$$(0 \leq t \leq 2\pi)$$

$$C_{r_2}(t) = z_0 + r_2 e^{it}$$



(شکل ۱-۱۱)

ابتدا نشان می دهیم که

$$f(z, +h) = \frac{1}{2\pi i} \int_{C_{r_1}} \frac{f(z)}{z - (z, +h)} dz - \frac{1}{2\pi i} \int_{C_{r_2}} \frac{f(z)}{z - (z, +h)} dx \quad (1)$$

به این منظور،  $z, +h$  را در درون یک دایره کوچک

$$S_\varepsilon(t) = (z, +h) + \varepsilon e^{it} \quad (0 \leq t \leq 2\pi)$$

قرار دهید. آنگاه تابع

$$F(z) = \frac{f(z)}{z - (z, +h)}$$

$$S = \{z \in C : R_1 < |z - z,| < R_2, z \neq z, +h\}$$
 در

مشتق پذیر است، و کانتورهای  $S_\varepsilon, C_{r_1}, C_{r_2}$  در فرضهای قضیه ۸-۹ صدق می کنند. بنابراین

$$\int_{-C_{r_2}} F(z) dz + \int_{C_{r_1}} F(z) dz + \int_{S_\varepsilon} F(z) dz = 0$$

در نتیجه

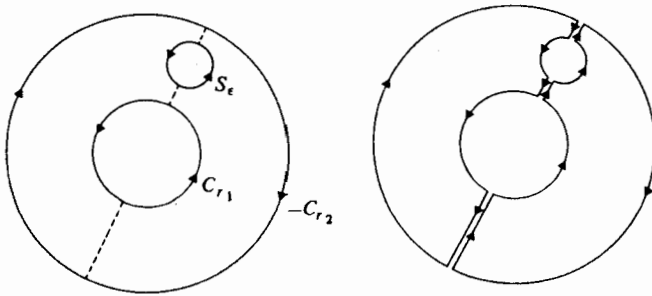
$$\int_{S_\varepsilon} F(z) dz = \int_{C_{r_2}} F(z) dz - \int_{C_{r_1}} F(z) dz$$

ولی بنابر فرمول انتگرال کوشی

$$\int_{S_\varepsilon} F(z) dz = 2\pi i \cdot f(z, +h)$$

می شود و بنابراین (۱) به دست می آید.

(به جای این کار می توانیم برشهایی بزیم و به دور هر دو نیمه، آن طور که در شکل ۱۱-۲ نشان داده ایم، انتگرال بگیریم. به هنگام انتگرال گیری آن قسمتهایی از کانتورها که در طول برشها هستند حذف می شوند.)



(شکل ۱۱-۲)

حال کاری را که باید انجام دهیم این است که دو انتگرالی را که در (۱) هستند به صورت سری توانی بیابیم، و ضرایب را حساب کنیم. متأسفانه این قسمت طولانی تر برهان است، گرچه محاسبات مربوطه وضعیت متعارف دارند. ابتدا  $\rho_2, \rho_1$  را با

$$r_1 < \rho_1 < |h| < \rho_2 < r_2$$

انتخاب می کنیم و خود این منجر به تحمیل شرایط زیر می شود:

(الف)  $|z - (z_0 + h)| > r_2 - \rho_2$  به ازای آنکه  $z$  بر  $C_{r_2}$  باشد.

(ب)  $|z - (z_0 + h)| > \rho_1 - r_1$  به ازای آنکه  $z$  بر  $C_{r_1}$  باشد.

مشابه برهان مربوط به بسط سری تیلر (لم ۱۰-۲) به ازاء  $|h| < \rho_2$  حاصل می شود:

$$\frac{1}{2\pi i} \int_{C_{r_2}} \frac{f(z)}{z - (z_0 + h)} dz = \sum_{n=0}^{\infty} a_n h_n,$$

طوری که

$$a_n = \frac{1}{2\pi i} \int_{C_{r_1}} \frac{f(z)}{(z - z_0)^{n+1}} dz.$$

بررسی و انجام دومین انتگرال به طریق مشابه است، اما به طور کامل ارائه

$$\frac{1}{h} + \frac{z-z_0}{h^2} + \dots + \frac{(z-z_0)^{n-1}}{h^n} - \frac{(z-z_0)^n}{h^n(z-z_0-h)}$$

$$= \frac{-1}{z-z_0-h}$$

(با جمع کردن یک تصاعد هندسی) داریم:

$$-\frac{1}{2\pi i} \int_{C_r} \frac{f(z)}{z-z_0-h} dz$$

$$= \frac{1}{2\pi i} \int_{C_r} f(z) \left\{ \frac{1}{h} + \dots + \frac{(z-z_0)^{n-1}}{h^n} - \frac{(z-z_0)^n}{h^n(z-z_0-h)} \right\} dz$$

$$= \sum_{m=1}^n b_m h^{-m} - B_n$$

که در آن

$$b_m = \frac{1}{2\pi i} \int_{C_r} f(z)(z-z_0)^{m-1} dz,$$

$$B_n = \frac{1}{2\pi i} \int_{C_r} \frac{f(z)(z-z_0)^n}{h^n(z-z_0-h)} dz$$

بالاخره به برآورد  $B_n$  می پردازیم. بنابر فشردگی، یک  $M > 0$  وجود دارد به قسمی که  $|f(z)| \leq M$  بر  $C_r$ ، و بنابر (ب) مذکور در فوق داریم:

$|z-z_0-h| > \rho_1 - r_1$ . همچنین  $|h| > \rho_1$ ،  $|z-z_0| \leq r_1$ . در نتیجه

$$|B_n| \leq \frac{1}{2\pi} \frac{M r_1^n}{\rho_1^n (\rho_1 - r_1)} \cdot 2\pi r_1$$

$$= \frac{M r_1}{(\rho_1 - r_1)} \left( \frac{r_1}{\rho_1} \right)^n$$

که به  $\infty$  میل می کند هنگامی که  $n \rightarrow \infty$  زیرا  $r_1/\rho_1 < 1$ . نتیجه این می شود که:

$$-\frac{1}{2\pi i} \int_{C_n} \frac{f(z)}{z - (z_0 + h)} dz = \sum_{m=1}^{\infty} b_m h^{-m}$$

برای پایان دادن به برهان، در عبارات مربوط به  $b_n, a_n$  باید  $C_r$  را جانشین  $C_{r_1}$  و  $C_{r_2}$  کنیم. چون هر سه مسیر مورد نظر در درون تاج دایره مذکور هموتوپیک هستند. یا با به کار گرفتن برشها، این مطلب بی درنگ حاصل می شود؛ و اکنون برهان قضیه کامل است.

توجه کنید که دیگر به تصریح  $a_n = f^{(n)}(z_0)/n!$  نیازی نیست زیرا لزومی ندارد که  $f(z)$  به ازاء  $|z - z_0| < R$  تحت فرضهایی که کرده ایم مشتق پذیر باشد. سری لوران  $f(z)$  حول  $z_0$  عبارت است از سری

$$\sum_{n=-\infty}^{\infty} c_n h^n$$

که در آن  $c_n, h = z - z_0$  مطابق فرمول فوق تعیین شده است. به عنوان بسط لوران  $f(z)$  هم از آن نام می بریم. بسط لوران منحصر به فرد است، زیرا فرض می کنیم سری دلخواهی چون

$$f(z) = \sum_{n=-\infty}^{\infty} d_n (z - z_0)^n$$

داشته باشیم. آنگاه

$$(z - z_0)^{-m-1} f(z) = \sum_{n=-\infty}^{\infty} d_n (z - z_0)^{n-m-1}$$

$$= f_1(z) + \frac{dm}{z - z_0} + f_2(z)$$



که در آن

$$f_l(z) = \sum_{n=-\infty}^{m-1} d_n (z-z_0)^{n-m-1}$$

$$f_r(z) = \sum_{n=m+1}^{\infty} d_n (z-z_0)^{n-m-1}$$

ولی هر یک از  $f_r, f_l$  در  $R_r < |z-z_0| < R_l$  یک ضد مشتق دارند برای بررسی این مطلب، قرار می دهیم:

$$F_l(z) = \sum_{n=-\infty}^{m-1} \frac{1}{n-m} d_n (z-z_0)^{n-m}$$

$$F_r(z) = \sum_{n=m+1}^{\infty} \frac{1}{n-m} d_n (z-z_0)^{n-m}$$

حال بررسی اینکه این سری ها به ازای  $R_l < |z-z_0| < R_r$  همگرا هستند و  $F_r'(z) = f_r(z), F_l'(z) = f_l(z)$  کاری آسان است. نتیجه اینکه

$$\int_{C_r} f(z)(z-z_0)^{-m-1} dz = \int_{C_r} \frac{dm}{z-z_0} dz = 2\pi i d_m$$

و بنابراین مطابق با تعریف فوق  $d_m = c_m$  می شود.

مثال ۱. فرض کنیم  $f(z) = e^z + e^{1/z}$  باشد. داریم:

$$e^z = \sum_{n=0}^{\infty} \frac{1}{n!} z^n \quad \text{به ازاء همه } z \text{ ها}$$

$$e^{1/z} = \sum_{n=0}^{\infty} \frac{1}{n!} z^{-n} \quad \text{به ازاء } z \neq 0$$

و بنابراین

$$f(z) = \sum_{m=-\infty}^{\infty} c_m z^m$$

که در آن

$$c_m = 1/m! \quad (m \geq 1)$$

$$c_0 = 2$$

$$c_m = 1/(-m)! \quad (m \leq -1)$$

و این بسط برای  $z \neq 0$  برقرار است.

مثال ۲.  $f(z) = \frac{1}{z} + \frac{1}{1-z}$ . به طریق مشابه داریم:  $f(z) = \sum c_m z^m$  که در آن

$$C_m = \begin{cases} 0 & (m < -1) \\ 1 & (m \geq -1) \end{cases}$$

و این سری به ازای  $0 < |z| < 1$  همگرای مطلق است.

مثال ۳.  $f(z) = \frac{1}{z-1} - \frac{1}{z-2}$ . چون آن را به صورت

$$\left[ \frac{1}{z(1-\frac{1}{z})} \right] + \left[ \frac{1}{2(1-\frac{z}{2})} \right]$$

بنویسیم بسطی به صورت  $\sum c_m z^m$  به دست می آوریم که در آن

$$c_m = \begin{cases} 1 & (m \leq -1) \\ 2^{-(m+1)} & (m \geq 0) \end{cases}$$

و این بسط در تاج دایره  $1 < |z| < 2$  (حلقوی واقعی) برقرار است.

## ۲. نقطه های منفرد مجزا

اگر  $f$  در قرص سوراخ شده

$$0 < |z - z_0| < R$$

مشق پذیر باشد گوئیم که  $z_0$  یک نقطه منفرد مجزای  $f$  است. برای مطالعه چنین

نقاط منفردی می توانیم از بسط سری لوران استفاده کنیم. یک سری لوران

$$f(z) = \sum_{n=0}^{\infty} a_n (z - z_0)^n + \sum_{n=1}^{\infty} b_n (z - z_0)^{-n}$$

که در  $0 < |z - z_0| < R$  برقرار است وجود دارد؛ و این سری به سه طریق به طور اساسی متفاوت ممکن است رفتار کند. (۱)  $b_n = 0$  به ازاء همه  $b_n$  ها. چون  $f(z_0) = a_0$  تعریف کنیم تابعی به دست می آوریم که در همه قرص  $|z - z_0| < R$  مشتق پذیر است با بسط سری تیلر

$$\sum_{n=0}^{\infty} a_n (z - z_0)^n$$

در این حالت  $z_0$  را نقطه منفرد حذف شدنی (حذف پذیر یا قابل رفع) می نامند. این حالت بیشتر محصول دامنه تعریف ما برای  $f$  است تا جنبه ذاتی دلخواهی برای  $f$  باشد.  
مثلاً

$$f(z) = \frac{\sin(z)}{z} \quad (z \neq 0)$$

را در نظر بگیرید. حول  $z_0$  داریم:

$$f(z - z_0) = 1 - \frac{z^3}{3!} + \frac{z^5}{5!} - \dots$$

(۲) فقط تعدادی بسیار و متناهی از  $b_n$  ها مخالف صفر هستند. آنگاه

$$f(z) = \frac{b_m}{(z - z_0)^m} + \dots + \frac{b_1}{z - z_0} + \sum a_n (z - z_0)^n$$

که در آن  $b_m \neq 0$  است. در این حالت می گوئیم  $f$  دارای یک قطب از مرتبه  $m$

است. مثلاً

$$f(z) = z^{-3} \sin(z) \quad (z \neq 0)$$

$$= \frac{1}{z^3} - \frac{1}{3!z} + \sum (-1)^n \frac{z^{2n+1}}{(2n+5)!}$$

در  $z = 0$  دارای یک قطب از مرتبه ۳ است.

قطبهای از مرتبه ۱، ۲، ۳، ... غالباً قطبهای ساده، دوگانه، سه گانه و ... نامیده می شوند.

(۳)  $b_n$  ها به تعداد نامتناهی ناصفرند. پس گوئیم  $z$  یک نقطه منفرد مجزای اصلی است. مثلاً

$$f(z) = \sin(1/z) (z \neq 0)$$

$$= \frac{1}{z} - \frac{1}{3!z^3} + \frac{1}{5!z^5} - \dots$$

در  $z$  دارای یک نقطه منفرد مجزای اصلی است.

بر اساس سه حالت ممکنه، به بررسی رفتار یک تابع تحلیلی در حوالی یک نقطه منفرد مجزای می پردازیم.

### ۳. رفتار در حوالی یک نقطه منفرد مجزا

نقطه های منفرد حذف شدنی، کم بها و غیر جالبند - و همین خاصیت قابل حذف بودن، اهمیت آنها را، برای شناسایی، بیشتر می کند. لم بعدی معمولاً برای این منظور کافی است.

لم ۱۱-۲. موارد زیر برای تابع مشتق پذیر  $f$  در  $0 < |z - z_0| < R$  هم ارزند.  
 (الف)  $z_0$  یک نقطه منفرد حذف شدنی است.

(ب)  $\lim_{z \rightarrow z_0} f(z)$  وجود دارد و متناهی است.

(ج)  $M > 0$ ،  $\delta > 0$  وجود دارد به طوری که  $|f(z)| < M$  به ازاء  $0 < |z - z_0| < \delta$ .

برهان. به سادگی (ج)  $\Rightarrow$  (ب)  $\Rightarrow$  (الف)، بنابر این فقط نیازمند اثبات

(الف)  $\Rightarrow$  (ج) هستیم. فرض کنیم (ج) برقرار است، و یک بسط لوران

$$f(z) = \sum a_n (z - z_0)^n + \sum_{n=1}^{\infty} b_n (z - z_0)^{-n}$$

در نظر می گیریم.

ولی

$$b_n = \frac{1}{2\pi i} \int_{C_r} f(z - z_0)^{n-1} dz$$

که در آن  $C_r(t) = z_0 + re^{it}$  ( $0 \leq t \leq 2\pi$ ) به ازاء  $0 < r < R$  است. بنابراین

$$|b_n| \leq \frac{1}{2\pi} M r^{n-1} \cdot 2\pi r = M r^n$$

اگر  $r \rightarrow 0$  نتیجه می شود که  $|b_n| = 0$  به ازاء  $n \geq 1$ . بدین سان  $z_0$  یک نقطه منفرد حذف شدنی است و (الف) برقرار است.

بی درنگ فرع مفید زیر حاصل می شود:

فرع ۱۱-۳. اگر به ازاء  $n \geq 1$  هر  $b_n$  دلخواه مخالف صفر باشد آنگاه  $f$  بر هر قرص باز به مرکز  $z_0$  بی کران است.

مثلاً اگر،

$$f(z) = z^2 / ((e^z - 1) \sin z) \quad (z \neq 0)$$

آنگاه

$$\lim_{z \rightarrow 0} f(z) = \lim_{z \rightarrow 0} \left( \frac{z}{e^z - 1} \right) \left( \frac{z}{\sin z} \right)$$

$$= \lim_{z \rightarrow 0} \left( 1 + \frac{z}{2!} + \dots \right)^{-1} \left( 1 - \frac{z^2}{3!} + \dots \right)^{-1}$$

$$= 1,$$

به طوری که  $z_0 = 0$  یک نقطه منفرد حذف شدنی است.

برای قطبها، محکی مشابه، قدری پیچیده تر، وجود دارد.  
 گزاره ۱۱-۴. اگر  $f$  در  $0 < |z - z_0| < R$  مشتق پذیر باشد، آنگاه  $f$  قطبی از مرتبه  $m$   
 در  $z_0$  دارد اگر و فقط اگر  $\lim_{z \rightarrow z_0} (z - z_0)^m f(z) = l \neq 0$ .  
 برهان. اگر  $f$  دارای قطبی از مرتبه  $m$  باشد آنگاه

$$(z - z_0)^m f(z) = b_m + \dots + b_1(z - z_0)^{m-1} + \sum_{n=0}^{\infty} a_n (z - z_0)^{m-n}$$

به طوری که

$$\lim_{z \rightarrow z_0} (z - z_0)^m f(z) = b_m \neq 0$$

به عکس اگر حد  $l \neq 0$ ، آنگاه  $g(z) = (z - z_0)^m f(z)$  بنا بر لم ۱۰-۲ یک نقطه  
 منفرد حذف شدنی در  $z_0$  دارد و در نتیجه یک سری

$$g(z) = \sum_{n=0}^{\infty} a_n (z - z_0)^n$$

که به ازاء  $|z - z_0| < R$  برقرار است و  $a_m = l \neq 0$  وجود دارد. اما در این حال،

$$f(z) = \frac{a_m}{(z - z_0)^m} + \dots + \frac{a_{m-1}}{z - z_0} + \sum_{n=0}^{\infty} a_{n+m} (z - z_0)^n$$

که در آن  $a_m \neq 0$ ؛ و لذا  $f$  دارای یک قطب از مرتبه  $m$  در  $z_0$  است.  
 مثلاً

$$f(z) = \frac{5z + 3}{(1 - z)^2 \sin^2 z} \quad (0 < |z| < 1)$$

را در نظر بگیرید. آنگاه  $\lim_{z \rightarrow 1} z^2 f(z) = 3$ ، بنا بر این یک قطب مضاعف (دو  
 گانه) در مبداء وجود دارد. همچنین،  $\lim_{z \rightarrow 1} (z - 1)^2 f(z) = -8/(\sin^2(1)) \neq 0$ ،  
 بنا بر این یک قطب سه گانه در  $z = 1$  وجود دارد.

فرع ۱۱-۵. تابع  $f(z)$  یک قطب از مرتبه  $m$  در  $z$  دارد اگر و فقط اگر  $\sqrt[m]{f(z)}$  دارای یک صفر از مرتبه  $m$  در  $z$  باشد (یا دقیقتر، اگر  $\sqrt[m]{f(z)}$  دارای یک انفراد حذف نشدنی در  $z$  باشد که، هنگامی که حذف شود، صفری از مرتبه  $m$  به دست دهد).

برهان. اگر  $f(z)$  یک قطب از مرتبه  $m$  داشته باشد آنگاه  $g(z) = (z - z_0)^m f(z)$  یک نقطه منفرد حذف شدنی در  $z$  دارد. علاوه،  $\delta > 0$  وجود دارد به طوری که به ازاء  $\delta > 0$  داریم  $0 < |z - z_0| < \delta$  بنابراین

$$\sqrt[m]{f(z)} = (z - z_0)^m / g(z)$$

$\sqrt[m]{g(z)}$  به ازاء  $\delta > 0$  مشتق پذیر است. به این دلیل است که  $\sqrt[m]{f(z)}$  دارای یک صفر از مرتبه  $m$  در  $z$  است. استنباط مطلب عکس با بحثی تقریباً یکسان به اثبات می رسد.

فرع ۱۱-۶. اگر  $f(z)$  دارای قطبی از مرتبه  $m$  در  $z$  باشد آنگاه

$$\lim_{z \rightarrow z_0} |f(z)| = +\infty$$

برهان

$$\begin{aligned} \lim_{z \rightarrow z_0} |f(z)| &= \lim_{z \rightarrow z_0} |g(z) / (z - z_0)^m| \\ &= |\lim_{z \rightarrow z_0} g(z)| \cdot \lim_{z \rightarrow z_0} \frac{1}{|(z - z_0)^m|} \\ &= +\infty \end{aligned}$$

□

بدین سان در حوالی یک قطب رفتار  $f$  به واقع کاملاً خوب است. ولی، در حوالی یک نقطه منفرد مجزای اصلی همان رفتار خیلی آشفته تر است. نتیجه زیر نتیجه ای کلاسیک است:

گزاره ۱۱-۷ (وایرشراس - کازوراتی). در هر همسایگی یک نقطه منفرد مجزای اصلی  $z_0$  تابعی مشتق پذیر چون  $f$  مقادیری اختیار می کند که به طور دلخواه نزدیک

به یک عدد مختلط مشخص شده است. صریحتر آنکه، با معلوم  $\varepsilon > 0, r > 0$ ، و  $w \in C$ ، یک  $z_1$  وجود دارد به طوری که  $0 < |z - z_1| < r$ ،  $0 < |f(z_1) - w| < \varepsilon$ .  
**برهان.** داریم  $f(z) = \sum_{n=0}^{\infty} a_n (z - z_1)^n + \sum_{n=1}^{\infty} b_n (z - z_1)^{-n}$  که در آن به تعداد نامتناهی  $b_n \neq 0$ .

اگر  $\phi(z) = f(z) - w$  تعریف کنیم آنگاه سری لوران  $\phi(z)$  با سری لوران  $f(z)$  تنها در ضریب  $a$  متفاوت است، که در  $\phi(z)$  به اندازه  $w$  از آن کاسته شده است. در نتیجه  $\phi(z)$  هم یک انفرادمجزای اصلی در  $z$  دارد، و تنها لازم است که ثابت کنیم که  $\phi(z_1)$  را در هر همسایگی دلخواه  $z$  به قدر کافی می توانیم کوچک اختیار کنیم، یعنی  $z_1$  وجود دارد به طوری که

$$0 < |z_1 - z| < r, \quad |\phi(z_1)| < \varepsilon$$

این مطلبی ساده خواهد بود اگر  $z$  یک حد برای صفرهای  $\phi$  باشد. اگر چنین حالتی نباشد،  $\rho > 0$  وجود دارد به طوری که به ازاء  $0 < |z - z_1| < \rho$  داریم  $\phi(z) \neq 0$ . یا  $z_1$  با شرایط  $0 < |z - z_1| < r$  و  $|\phi(z_1)| > 1/\varepsilon$  وجود دارد، یا در غیر این صورت  $1/\phi(z)$  به ازاء  $0 < |z - z_1| < r$  کراندار است. اگر حالت نخست روی دهد قضیه به اثبات رسیده است. در حالت بعدی،  $1/\phi(z)$  بنابر قضیه ۱۱-۲ یک نقطه منفرد در  $z$  دارد، و بنابراین طبق فرع ۱۱-۵  $\phi(z)$  در بدترین حالت یک قطب در  $z$  دارد که با اصلی بودن  $z$  متناقض است. بدین سان حالت اخیر روی نمی دهد، و این برهان را کامل می کند.

واقعیت این است که نتیجه ای مستدل تر و قانع کننده تر صحت دارد. پیکارد (۱۸۵۶-۱۹۴۱) ثابت کرد که در هر همسایگی یک انفرادمجزای اصلی یک تابع مشتق پذیر هر مقدار دلخواهی را، با حداکثر یک استثناء، اختیار می کند. مثلاً  $\sin(1/z)$  هر مقداری را در  $0 < |z| < r$  به ازاء  $r > 0$  اختیار می کند، و این به آسانی قابل اثبات است. استثناء مذکور ممکن است روی دهد: مقدار  $e^{1/z}$  را نمی گیرد ولی همه مقادیر دیگر را در  $0 < |z| < r$  به ازاء هر  $r > 0$  اختیار می کند. اما اثبات قضیه پیکارد نیاز به ابزاری (تابعهای هنگی بیضوی) دارد که به طور قابل ملاحظه ای ورای سطح این کتاب است.



#### ۴. صفحه مختلط وسعت یافته، یا کره ریمان

هم اکنون راهی برای توصیف رفتار یک تابع مختلط «در بی نهایت» در پیش می‌گیریم. بدین طریق که به صفحه مختلط  $C$  یک نقطه اضافی « $\infty$ »، بسیار شبیه به وسعت دادن خط حقیقی به وسیله ضمیمه کردن  $+\infty$  و  $-\infty$  - ضمیمه می‌کنیم. این که فقط یک نقطه مورد نیاز است نکته‌ای است که به هندسه صفحه مربوط می‌شود: تمیز بین دو «انتها»  $y$  یک خط راست به هنگامی که با تمام صفحه سر و کار داریم، مبهم است. این نظریه از ریمان است و تجسم هندسی خوبی دارد. درباره  $C$  چنین تصور می‌کنیم که در صفحه  $(x, y)$  واقع در  $R^2$  نشانده شده است، به طوری که نقطه‌ای چون  $x + iy \in C$  به وسیله  $(x, y, 0) \in R^3$  شناسایی می‌شود. فرض کنیم:

$$S^2 = \{(\xi, \eta, \zeta) \in R^3 : \xi^2 + \eta^2 + \zeta^2 = 1\}$$

«کره واحد» باشد. خطی که «قطب شمال»  $(0, 0, 1)$  را به  $(x, y, 0)$  وصل کند  $S^2$  را در نقطه منحصر به فرد  $(\xi, \eta, \zeta)$  قطع می‌کند، بنابراین تناظری یک به یک بین  $C$  و نقاط  $S^2$  به غیر از قطب شمال وجود دارد. (شکل ۱۱-۳). همانطور که خواننده به آسانی می‌تواند اثبات کند؛

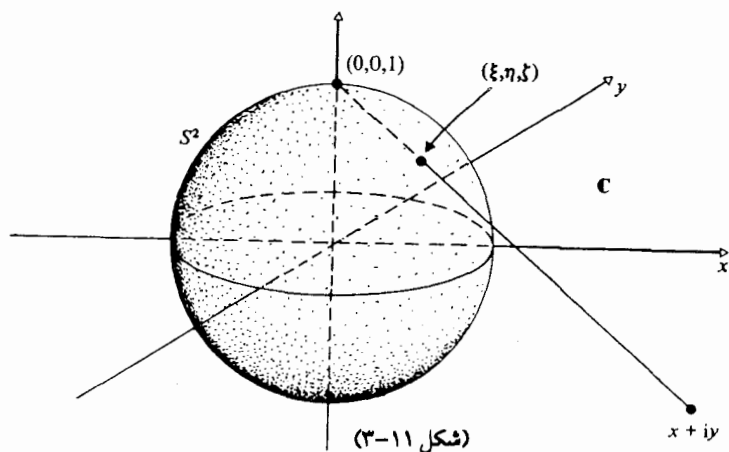
$$(\xi, \eta, \zeta) \text{ متناظر است با } \left( \frac{\xi}{1-\zeta} \right) + i \left( \frac{\eta}{1-\zeta} \right)$$

هنگامی که  $(\xi, \eta, \zeta)$  به  $(0, 0, 1)$  نزدیک می‌شود، نتیجه می‌گیریم که (همانطور که از لحاظ هندسی واضح است)  $|x + iy|$  بسیار بزرگ می‌شود: بدین سان به میان آوردن نماد

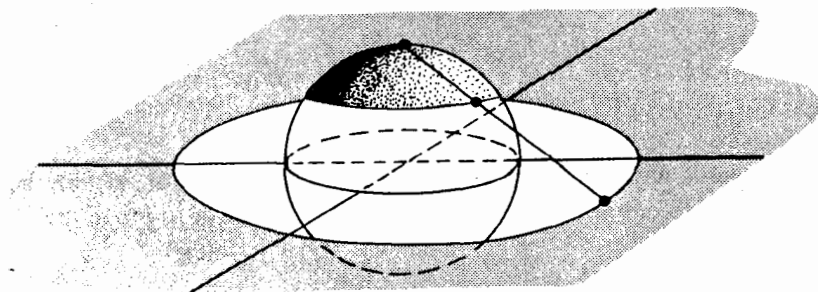
$\infty$

که نظیر نقطه  $(0, 0, 1) \in S^2$  باشد شایسته به نظر می‌رسد. آنگاه تناظری یک به یک بین  $S^2$  و  $C \cup \{\infty\}$  خواهیم داشت، که ما  $C \cup \{\infty\}$  را صفحه مختلط وسعت یافته می‌نامیم. آن را می‌توان با  $S^2$  که بعدها کره ریمان نامیده شد شناسایی کرد. اکنون می‌توانیم  $C \cup \{\infty\}$  را یا به عنوان یک صفحه همراه با یک نقطه

اضافی، یا به عنوان یک کره محسوب نمود: متناظر آ C را با یک صفحه، یا کره ای بدون قطب شمال به حساب می آوریم. هر دو دیدگاه، با در نظر گرفتن مساله ای که در دست است، ارزش خاص خود را دارد.



چون مجموعه  $\{x + iy : |x + iy| > R\}$  متناظر است با یک «عرفچین کروی» محدود بین یک خط عرضی و قطب شمال (شکل ۳-۱۱) از این لحاظ با معنی و بجا خواهد بود اگر  $\{z : |z| > R\}$  را به عنوان یک «همسایگی  $\infty$ » به حساب آوریم. این همسایگی ها هنگامی که  $R$  بزرگتر گردد کوچکتر می شود. انجام این کار به مفهومی از پیوستگی بر  $S^2$  می انجامد که با شهود هندسی تطبیق می کند. (آنها که با توپولوژی آشنایی دارند می توانند این مطلب را به طور دقیقتری بیان کنند: یک توپولوژی بر کره ریمان به دست می آوریم که با توپولوژی معمولی خودش به عنوان یک زیر فضای  $R^2$  متحد است.)



## ۵. رفتار یک تابع مشتق پذیر در $\infty$

فرض کنیم  $f(z)$  در  $\{z \in \mathbb{C} \mid |z| > R\}$  مشتق پذیر باشد. در این حال می توانیم تعریف کنیم:

$$g(z) = f(1/z) \quad (0 < |z| < 1/R)$$

چون  $g'(z) = -z^{-2} f'(1/z)$  نتیجه می گیریم که  $g(z)$  به ازای  $0 < |z| < 1/R$  مشتق پذیر است، و بنابراین در  $\infty$  یک نقطه منفرد مجزا دارد. گوئیم  $f$  یک انفراد حذف شدنی، قطب از مرتبه  $m$ ، یا انفرادی مجزای اصلی در  $\infty$  دارد اگر و فقط اگر  $g(z)$  انفرادی متناظری در  $\infty$  داشته باشد. (توجه کنید که این یک تعریف است، نه یک قضیه.)

**مثال ۱.**  $f(z) = 1/z$  ( $|z| > 0$ ). آنگاه  $g(z) = z$  ( $|z| > 0$ ) طوری که  $f$  یک انفراد حذف شدنی در  $\infty$  دارد.

**مثال ۲.**  $f(z) = z$ . آنگاه  $g(z) = 1/z$  ( $|z| > 0$ ) طوری که  $f$  یک قطب ساده در  $\infty$  دارد.

**مثال ۳.**  $f(z) = e^z$ . آنگاه  $g(z) = e^{1/z}$  ( $|z| > 0$ ) و  $f$  یک انفراد مجزای اصلی در  $\infty$  دارد.

**مثال ۴.**  $f(z) = 1/\sin(z)$  ( $z \neq n\pi, n \in \mathbb{Z}$ ). آنگاه  $g(z) = 1/\sin(1/z)$ . نمی توانیم بگوئیم که  $f$  یک انفراد مجزای اصلی در  $\infty$  دارد، زیرا  $f$  در  $\{z : |z| > R\}$  به ازاء هیچ  $R$  دلخواه بزرگتر از صفر مشتق پذیر نیست. با این وصف مطمئناً نوعی انفرادی در  $\infty$  دارد! به طور کلی اگر  $f(z)$  دنباله ای از انفرادهای  $z_1, z_2, \dots$  داشته باشد به طوری که  $z_n \rightarrow \infty$  آنگاه گوئیم  $f$  دارای یک انفراد اصلی (اما نه مجزا) در  $\infty$  است.

اگر  $f$  یک انفراد حذف شدنی در  $\infty$  داشته باشد آنگاه  $g$  یک انفراد حذف شدنی در  $\infty$  دارد، و بنابراین  $f$  به عنوان یک تابع مشتق پذیر در  $|z| < 1/R$  ممکن است در نظر گرفته شود. بدین سان می توانیم بگوئیم  $f$  در  $\infty$  مشتق پذیر (تحلیلی) است، و تعریف کنیم  $f(\infty) = g(0) = \lim_{z \rightarrow \infty} f(z)$ ، به طوری که  $f(\infty) = \lim_{z \rightarrow \infty} f(z)$ . مثلاً اگر  $f(z) = 1/z$ ، آنگاه  $g(0) = 0$  و بنابراین  $f(\infty) = 0$ .

بعلاوه، گوئیم  $f$  دارای یک صفر از مرتبه  $m$  در  $\infty$  است اگر  $g$  یک صفر از مرتبه  $m$  در  $\infty$  داشته باشد. بدین سان اگر  $f(z) = 1/z^m$  ( $|z| > 0, m \in \mathbb{Z}, m > 0$ ) آنگاه  $g(z) = z^m$  و  $f$  دارای یک صفر از مرتبه  $m$  در  $\infty$  است. به طور کلی هر گزاره‌ای درباره رفتار  $f$  در  $\infty$  را می‌توانیم به گزاره‌ای مربوط به  $g$  در  $\infty$  برگردانیم - و این همان چگونگی اثبات چنین گزاره‌ای است.

## ۶. تابع‌های مِرومورفیک

قطبها، به ناهنجاری انفرادها نیستند، و بایسته است که گردایه‌ای از تابعهایی در نظر بگیریم که از تابعهای مشتق پذیر کلی تر هستند. اگر  $f$  در همه جای دامنه‌ای چون  $S$  مشتق پذیر باشد به استثنای نقاطی که  $f$  در آنها قطب دارد، آنگاه  $f$  را مِرومورفیک می‌گویند.

مثلاً  $f(z) = 1/z$  در  $C \setminus \{0\}$  مشتق پذیر است، و بنابراین در  $C$  مِرومورفیک می‌باشد زیرا انفرادی که در  $0$  هست یک قطب است. یا  $f(z) = 1/\sin(z)$  در  $C \setminus \{n\pi : n \in \mathbb{Z}\}$  مشتق پذیر و لذا در  $C$  مِرومورفیک است.

از این هم می‌توانیم پیش تر برویم، و تابعهایی را در نظر بگیریم که در صفحه مختلط وسعت یافته مِرومورفیک هستند - که منظور ما از آن این است که انفرادهای  $f$ ، به انضمام  $\infty$  در صورت لزوم، قطبها هستند. لزومی ندارد که اصطلاح خاصی برای این قبیل تابعها به میان آوریم، زیرا معلوم است که توصیف ساده‌ای دارند. یادآوری می‌کنیم که تابع گویا تابعی است به صورت:

$$f(z) = \phi(z) / \psi(z)$$

که در آن  $\phi(z)$  و  $\psi(z)$  تابعهای بسجمله‌ای هستند. آنگاه داریم؛ گزاره ۸-۱۱. یک تابع در صفحه مختلط وسعت یافته مِرومورفیک است اگر و فقط اگر گویا باشد.

برهان. واضح است که یک تابع گویا مِرومورفیک است. بعکس فرض کنیم که  $f$  در  $C \cup \{\infty\}$  مِرومورفیک باشد چون  $f$  در  $\infty$  مشتق پذیر است یا در  $\infty$  یک قطب

دارد، لذا  $R > 0$  وجود خواهد داشت به طوری که  $f$  در

$$\{z \in \mathbb{C} : |z| > R\}$$

مشتق پذیر است. بنابراین قطبهای  $f$  به استثنای  $\infty$  در درون قرص بسته

$$\{z \in \mathbb{C} : |z| \leq R\}$$

رخ می دهند. چون قطبها انفرادهای مجزا هستند هر قطب یک همسایگی دارد که شامل هیچ قطب دیگر نیست. بدین لحاظ بنابر فشردگی این قرص بسته شامل تعداد متناهی از قطبها، مثل  $z_1, z_2, \dots, z_k$  است. فرض کنیم که مراتب این قطبها  $n_1, n_2, \dots, n_k$  باشند. تعریف می کنیم:

$$g(z) = (z - z_1)^{n_1} \dots (z - z_k)^{n_k} f(z)$$

که در سراسر  $C$  مشتق پذیر است، و در نتیجه تحلیلی، و دارای یک سری تیلر

$$g(z) = \sum_{n=0}^{\infty} a_n z^n \quad (z \in C)$$

ولی بسجمله ای

$$(z - z_1)^{n_1} \dots (z - z_k)^{n_k} = \psi(z)$$

دارای یک قطب از مرتبه  $n_1 + n_2 + \dots + n_k$  در  $\infty$  است، زیرا

$$\begin{aligned} \psi\left(\frac{1}{z}\right) &= \left(\frac{1}{z} - z_1\right)^{n_1} \dots \left(\frac{1}{z} - z_k\right)^{n_k} \\ &= 1/z^{n_1 + \dots + n_k} + \dots \end{aligned}$$

و چون  $f$  در بدترین وضعیت یک قطب از مرتبه  $N$ ، به ازاء یک  $N$ ، دارد نتیجه می شود که  $g(z)$  دارای یک قطب از مرتبه

$$M = n_1 + \dots + n_k + N$$

در  $\infty$  است. حال

$$g(1/z) = \sum_{n=0}^{\infty} a_n z^{-n} \quad (|z| > 0)$$

و چون این دارای یک قطب از مرتبه  $M$  در  $0$  است به ازاء  $n > M$  داشته باشیم  
 $a_n = 0$ . بنابراین

$$g(z) = a_0 + \dots + a_M z^M$$

که یک بسجمله است؛ در نتیجه  $f(z) = g(z)/\psi(z)$  یک تابع گویا است.  
تابعی که فقط در  $C$  مرومورفیک است لزومی ندارد که گویا باشد. مثال  
(و  $1/\sin(z)$  مؤید آن است:  $1/\sin(z)$  گویا نیست از آن جهت که به تعداد نامتناهی  
قطب دارد. ولی قبلاً متذکر شده بودیم که در  $C$  مرومورفیک است.

## تمرینهای ۱۱

۱. بسط لوران هر یک از موارد آتی را حول  $z=0$  به دست آورید:

(الف)  $(z-3)^{-1}$

(ب)  $(z-a)^{-k}$  ( $a \in \mathbb{C}, k=1,2,3,\dots$ )

(ج)  $\sqrt{z(1-z)}$

(د)  $\sqrt{(z-a)(z-b)}$  ( $a, b \in \mathbb{C}$ )

(ه)  $z^2 e^{1/z}$

(و)  $\exp(z + 1/z)$

(ز)  $\cos 1/z$

(ح)  $\exp(z^{-5})$

در هر مورد، بگویید که بسط در کدام تاج دایره برقرار است.

۲. بسط لوران هر یک از تابعهای داده شده را در تابعهای دایره مورد نظر به دست آورید:

(الف)  $(z-1)^{-2}(z-2)^{-1}$  بر  $0 < |z| < 1$

(ب)  $(z-1)^{-2}(z-2)^{-1}$  بر  $1 < |z| < 2$

(ج)  $(z-1)^{-2}(z-2)^{-1}$  بر  $2 < |z| < 3$

(د)  $\exp(-z^{-2})$  بر  $|z| > 0$

(ه)  $(1-z+z^2)^{-1}$  بر حسب توانهای  $z-1$   $0 < |z-1| < 1$

(و)  $e^z/(1+z^2)$  بر  $|z| > 1$

۳. کدام یک از تابعهای زیر دارای شاخه‌هایی با بسط لوران حول نقطه معلوم  $z$ .

هستند؟ (یعنی، بر حسب توانهایی از  $z-z$ .)

(الف)  $\sqrt{z}, z=1$

$$\sqrt{z}, z, = \bullet \quad (\text{ب})$$

$$\log z, z, = \bullet \quad (\text{ج})$$

$$\log z, z, = 3 \quad (\text{د})$$

$$\sqrt{1 + \sqrt{z}}, z, = \bullet \quad (\text{ه})$$

$$\tan^{-1}(1+z), z, = \bullet \quad (\text{و})$$

$$\sin^{-1}(z), z, = \bullet \quad (\text{ز})$$

$$\sqrt{(\pi/2) - \sin^{-1}(z)}, z, = 1 \quad (\text{ح})$$

$$z^2 \operatorname{cosec}(1/z), z, = \bullet \quad (\text{ط})$$

$$\sqrt{(\pi/4) - \sin^{-1}(z)}, z, = 1/\sqrt{2} \quad (\text{ی})$$

۴. برقراری بسط لوران را در مورد زیر ثابت کنید:

$$\frac{1}{(z-1)(z-2)} = \sum_{n=0}^{\infty} 2^{-(n+1)} z^n + \sum_{n=1}^{\infty} z^{-n}$$

۵. سری لوران را برای  $(z^2 - 1)^{-1}$ ,  $(z^2 + 1)$  بر حسب توانهای  $z - i, z + i$  به دست آورید و بگویید که این سری ها در کدام تابعهای دایره برقرارند.

۶. فرض کنیم  $a, b \in \mathbb{C}$  باشد. نشان دهید که

$$\exp(az + bz^{-1}) = \sum_{-\infty}^{\infty} a_n z^n$$

که در آن

$$a_n = \frac{1}{2\pi} \int_0^{2\pi} e^{(a+b)\cos\theta} \cos[(a-b)\sin\theta - n\theta] d\theta$$

۷. فرض کنیم  $a \in \mathbb{C}$  باشد. نشان دهید که

$$\sin(a(z + z^{-1})) = \sum_{-\infty}^{+\infty} a_n z^n$$



که در آن

$$a_n = \frac{1}{2\pi} \int_{-\pi}^{\pi} \sin(\sqrt{a} \cos \theta) \cos n\theta \, d\theta$$

۸. قطبهای این توابع را بیابید:

(الف)  $1/(z^2 + 1)$

(ب)  $1/(z^2 + 16)$

(ج)  $1/(z^2 + 2z^2 + 1)$

(د)  $1/(z^2 + z - 1)$

۹. نوع انفراد در نقطه ۰ را در هر یک از تابعهای زیر توصیف کنید.

(الف)  $\sin(1/z) \quad (z \neq 0)$

(ب)  $z^{-2} \sin^2 z$

(ج)  $z \cot z \quad (z \neq n\pi)$

(د)  $\operatorname{cosec}^2 z - z^{-2} \quad (z \neq n\pi)$

(ه)  $(\cos z - 1)/z^2$

(و)  $(\sin z - z + z^3/6)/z^5$

۱۰. فرض کنیم  $D$  یک قرص به مرکز  $z$ ، و  $f$  تابعی مشتق پذیر بر  $D$  غیر از  $z$ .

باشد، و فرض کنیم  $|f(z)|$  بر  $D \setminus \{z\}$  کراندارد باشد. آنگاه ثابت کنید  $z$  یک

انفراد حذف شدنی  $f$  است. (راهنمایی: جمله های منفی سری لوران مربوطه

هستند - چرا؟)

۱۱. همه انفرادی های تابع های زیر را بیابید، و بگویید کدام یک قطب هستند:

(الف)  $(z + z^{-1})^{-1}$

(ب)  $\frac{\cos \pi z}{1 - 4z^2}$

(ج)  $\exp(z + z^{-1})$

۱۲. بر  $CU\{\infty\}$  تابعی بسازید که فقط انفرادهای زیرین را داشته باشد:

(الف) یک قطب از مرتبه ۲ در  $\infty$

(ب) یک قطب ساده در هر یک از نقاط  $e^{i\pi k/p}$ ،  $k = 0, 1, \dots, p-1$ ، که  $p$  عدد صحیحی بزرگتر یا مساوی ۲ است.

(ج) یک قطب ساده در  $z=2$ ، و یک قطب از مرتبه ۵ در  $z = \sqrt{2}$ .

۱۳. فرض کنیم  $p(z)$  و  $q(z)$  بسجمله‌ای‌هایی به ترتیب از درجه‌های  $n, m$  باشند. رفتار در بی‌نهایت را برای هر یک از اینها توصیف کنید:

(الف)  $p(z) + q(z)$

(ب)  $p(z)q(z)$

(ج)  $p(z)/q(z)$

۱۴. همه انفرادها، رفتار در بی‌نهایت هر یک از اینها را تعیین کنید:

(الف)  $(z - z^2)^{-1}$

(ب)  $z^5 / (2 - z^2)^2$

(ج)  $(e^z - 1)^{-1} - 1/z$

(د)  $\cot 1/z$

(ه)  $(\cos z)z^{-2}$

(و)  $[(\cos z) - 1]z^{-2}$

(ز)  $\cot(1/z) - 1/z$

(ح)  $\sin(1/\cos(1/z))$

۱۵. فرض کنیم  $\Gamma$  یک دایره یا یک خط راست در صفحه مختلط باشد. آیا تصویر

آن در کره ریمان باز هم یک دایره است؟

۱۶. قطب‌ها و صفرهای  $\tan z$  را بیابید. ثابت کنید که  $\tan z$  در  $C$  مرمورفیک

است، ولی یک تابع گویا نیست.

۱۷. ثابت کنید که  $(z+1+z^{-1})^{-1}$  یک انفراد حذف پذیر در  $z=0$  دارد. بسط تیلر آن، و شعاع همگرایی این بسط را بیابید.

۱۸. در مورد تابعهای زیر قضیهٔ پیکارد را مستقیماً ثابت کنید:

(الف)  $e^z$

(ب)  $\tan^2 z$

(ج)  $z^2$

(د)  $\sin z$

(ه)  $e^{(1/z)}$

(و)  $\cos z$

(ز)  $\tan z$

(ح) تابعی به انتخاب خودتان

۱۹. فرض کنیم که  $f(z)$  یک قطب از مرتبه  $n$  در  $z = a$  باشد. جزء اصلی  $\phi(z)$  از  $f(z)$  را حاصل جمع جمله‌های با توانهای منفی در بسط سری لوران بر حسب توانهای  $z - a$  تعریف کنید. ثابت کنید که  $f(z) - \phi(z)$  در  $z = a$  مشتق پذیر است.

۲۰. نشان دهید که، در همسایگی یک قطب، یک تابع مختلط حاصل جمع یک تابع گویا و یک تابع مشتق پذیر است.

۲۱. فرض کنید که  $f$  در  $C$  به استثنای در قطبها تحلیلی باشد، و  $\infty$  یک قطب یا یک انفراد حذف پذیر  $f$  باشد. نشان دهید

(الف)  $f$  فقط به تعداد متناهی قطب دارد.

(ب)  $f$  ثابت است، که در آن قطبهای  $f$  در نقاط  $a_j$  هستند و  $P_j$  ها

اجزاء اصلی متناظر برای  $f$  هستند (سوال ۱۹)

(ج)  $f$  یک تابع گویا است، و  $\sum_j P_j$  عبارت است از تفکیک آن به «کسرهای

جزیی».

۲۲. فرض کنیم  $f: C \rightarrow C$  مشتق پذیر باشد، با این شرط که  $f(z) \neq 0$  به ازاء هر  $z \in C$ . فرض کنیم  $\lim_{z \rightarrow \infty} f(z)$  وجود داشته و ناصفر باشد. ثابت کنید که  $f$  ثابت است.

## فصل دوازدهم

### مانده‌ها

از جمله وظایف سنگین آنالیز مختلط محاسبه صریح انتگرالهای معین و به دست آوردن حاصل جمع سری‌ها است. گرچه چنین مسائلی به عنوان قسمتی از ریاضیات محض، در حال حاضر اهمیت خود را از دست داده‌اند، ولی هنوز هم در کاربردهای عملی بسیار مفیدند. بعلاوه توانایی این روش و کاربردی وسیع آن نشان دهنده ارزش اصول کلی و قضایای عمیق آن در هر کار هوشمندانه است. تکنیک‌های پیشرفته برای چنین منظوره‌های دارای موارد استعمال نظری هستند، و این را در قسمت بعدی همین فصل خواهیم دید.

ایده اصلی این است که قضیه کوشی را به کار بگیریم تا از طبیعت استثنایی جمله  $b_1/(z - z_0)$  در بسط لوران یک تابع تحلیلی استفاده کنیم.

#### ۱. قضیه مانده کوشی

اگر  $f$  دارای یک انفراد مجزا در  $z_0$  و بسط لوران

$$f(z_0 + h) = \sum_{n=0}^{\infty} a_n h^n + \sum_{n=1}^{\infty} b_n h^{-n} \quad (0 < |h| < R)$$

باشد، مانده  $f$  را در  $z$  چنین تعریف می کنیم:

$$\text{res}(f, z) = b_1$$

با کمک قضیه ۱-۱۱ بی درنگ نتیجه می گیریم که

$$\text{res}(f, z) = \frac{1}{2\pi i} \int_{C_r} f(z) dz \quad (1)$$

که در آن  $0 < r < R$  و  $C_r(t) = z + re^{it}$  ( $0 \leq t \leq \pi$ ) همین رابطه (۱) است که رابطه بین مانده ها را با انتگرالگیری نشان می دهد.

مسیر بسته ای چون  $\gamma$  را یک لوپ (حلقه، طوق) ساده می نامیم، اگر برای هر نقطه غیر واقع بر  $\gamma$  داشته باشیم  $w(\gamma, z) = 0$  یا  $w(\gamma, z) = 1$ . طبق معمول، مجموعه نقاطی که در  $w(\gamma, z) \neq 0$  صدق می کنند، که هم اکنون به معنی  $w(\gamma, z) = 1$ ، گفته می شود که درون  $\gamma$  جای دارند. در موارد استعمال ها، لوپ های ساده به کار رفته از پاره خط های راست و قسمت هایی از دوایر تشکیل می گردند (شکل ۱-۱۲). همه لوپ های ساده ای که با آنها مواجه می شویم کانتورهای ژردان خواهند بود (یعنی، آنها خود را قطع نمی کنند)، ولی برای این نظریه چنین مطلبی جنبه اساسی ندارد. (شکل ۱-۱۲) لوپ ساده ای را براساس تعریف ما نشان می دهد که یک کانتور ژردان نیست. آنچه مهم است این است که نقاط درون  $\gamma$  همه دارای خاصیت  $w(\gamma, z) = +1$  باشند.

در چنین حالت هایی، داریم:

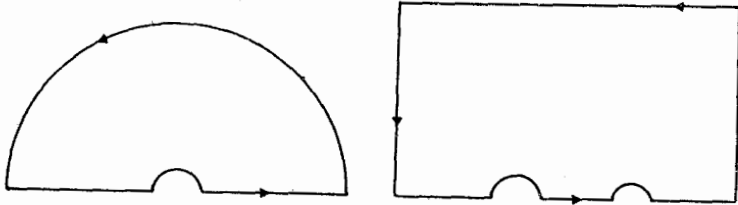
**قضیه ۱-۱۲.** (قضیه مانده کوشی)

فرض کنیم  $S$  دامنه ای شامل لوپ ساده  $\gamma$  و نقاط درون  $\gamma$  باشد. اگر  $f$  در  $S$  به استثنای تعدادی متناهی نقاط منفرد مجزای  $z_1, z_2, \dots, z_n$  که در درون  $\gamma$  هستند مشتق پذیر باشد، آنگاه

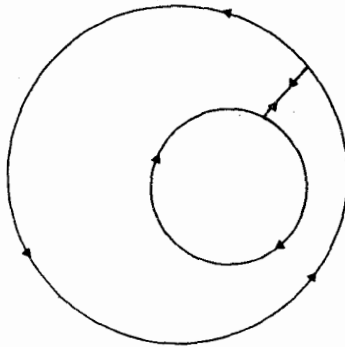
$$\int_{\gamma} f(z) dz = 2\pi i \sum_{r=1}^n \text{res}(f, z_r)$$

برهان. چون  $S$  باز است می توانیم دوایری چون  $S_r(t) = z_r + \varepsilon_r e^{it}$  ( $0 \leq t \leq 2\pi$ )

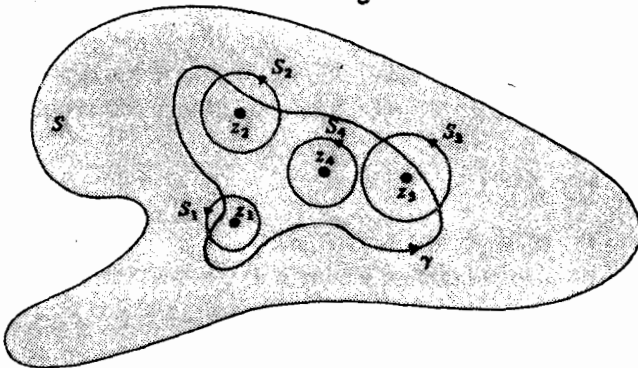
حول  $z_r (r = 1, \dots, n)$  بیابیم به طوری که  $S_r$  و نقاط درون آن در داخل  $S$  قرار گیرند، و بطوری که  $S_r$  شامل هیچ انفراد دیگری غیر از  $z_r$  نباشد (شکل ۱۲-۳)



شکل (۱۲-۱)



شکل (۱۲-۲)



شکل (۱۲-۳)

فرض کنیم

$$S' = S \setminus \{x_1, x_2, \dots, x_n\}$$

آنگاه گردایه مسیره‌های

$$-\gamma, S_1, \dots, S_n$$

در شرایط قضیه ۸-۹ صدق می‌کند. به ازاء

$$w(-\gamma, z) = w(S_r, z) = 0 \quad (z \notin S)$$

$$\omega(-\gamma, x_r) = -\omega(\gamma, x_r) = 1$$

$$w(S_m, z_r) = 0 \quad \text{اگر } m \neq r \text{ و مساوی } 1 \text{ اگر } m = r$$

بنابراین

$$w(-\gamma, z) + w(S_1, z) + \dots + w(S_m, z) = 0$$

به ازاء هر  $z \in S'$ .

در این حال بنا بر قضیه تعمیم یافته کوشی

$$\int_{-\gamma} f + \int_{S_1} f + \dots + \int_{S_n} f = 0$$

به طوری که بنا بر (۱)

$$\int_{\gamma} f = \int_{S_1} f + \dots + \int_{S_n} f$$

$$= 2\pi i \cdot \text{res}(f, z_1) + \dots + 2\pi i \cdot \text{res}(f, z_n)$$

این همان نتیجه مطلوب است.

برهانی دیگر. به جای قضیه تعمیم یافته کوشی می‌توانیم سری لوران را به کار بگیریم: این برهان آموزنده است اما ظرافت کمتری دارد. حول  $z_j$  یک بسط لوران برای  $f$  داریم، که آن را سه قسمت می‌کنیم:

$$f(z) = Q_j(z) + \frac{\text{res}(f, z_j)}{z - z_j} + P_j(z) \quad (2)$$

که در آن

$$Q_j(z) = \sum_{n=\gamma}^{\infty} b_n (z - z_j)^{-n}$$

$$P_j(z) = \sum_{n=0}^{\infty} a_n (z - z_j)^n$$

ولی  $P_j(z)$  در همسایگی ای از  $z_j$  مشتق پذیر است، و  $Q_j(z) + \text{res}(f, z_j)/(z - z_j)$  به ازاء  $z \neq z_j$  مشتق پذیر است زیرا همه  $b_n$  ها به استثنای تعدادی متناهی از آنها صفر هستند. نتیجه اینکه

$$h(z) = f(z) - \sum_{j=1}^n Q_j(z) - \sum_{j=1}^n \frac{\text{res}(f, z_j)}{z - z_j} \quad (3)$$

بر  $S$  مشتق پذیر است. به استثنای شاید در نقاط  $z_1, \dots, z_n$ ، ولی  $h(z)$ ، با توجه به (2)، در همسایگی ای از هر  $z_j$  مشتق پذیر است. حاصل اینکه  $h(z)$  در  $S$  مشتق پذیر است، بنابراین بنا بر قضیه کوشی

$$\int_{\gamma} h(z) dz = 0 \quad (4)$$

ولی  $Q_j(z) = T_j(z)$  که در آن

$$T_j(z) = \sum_{n=\gamma}^{\infty} \frac{b_n}{-n+1} (z - z_j)^{-n+1}$$

به طوری که

$$\int Q_j(z) dz = 0 \quad (5)$$

نتیجه اینکه با انتگرالگیری از (3) حول  $\gamma$  و به کار گرفتن (4) و (5) حاصل می شود:

$$0 = \int_{\gamma} f(z) dz - \dots - \sum_{j=1}^n \text{res}(f, z_j) \int_{\gamma} (z - z_j)^{-1} dz$$



$$= \int_{\gamma} f(z) dz - 2\pi i \sum_{j=1}^n \text{res}(f, z_j)$$

و این برهان اخیر را به پایان می برد.

## ۲ محاسبه مانده ها

قضیه مانده ها را می توان برای محاسبه انتگرالها به کار برد (و نه فقط انتگرالهای حول لوپ های ساده). برای استفاده بسیار از این کار باید راههایی برای محاسبه مانده ها بیابیم. دو لم آتی برای این منظور بسیار مفید هستند. لم ۱۲-۲. اگر  $z_0$  قطب ساده ای از  $f$  باشد آنگاه

$$\text{res}(f, z_0) = \lim_{z \rightarrow z_0} (z - z_0) f(z)$$

اگر  $f(z) = p(z)/q(z)$  که در آن  $p(z_0) \neq 0$ ،  $q(z_0) = 0$ ،  $q'(z_0) \neq 0$ ، آنگاه

$$\text{res}(f, z_0) = P(z_0)/q'(z_0)$$

برهان. در فصل پیش بخش اول را انجام داده ایم (گزاره ۱۱-۴) ولی به قصد مرور رؤوس مطالب داریم:

$$f(z) = \frac{b_1}{z - z_0} + \sum_{n=0}^{\infty} a_n (z - z_0)^n$$

و بنابراین

$$(z - z_0) f(z) = b_1 + \sum_{n=0}^{\infty} a_n (z - z_0)^{n+1}$$

که به  $b_1$  میل می کند چنانچه  $z \rightarrow z_0$ . در مورد قسمت دوم، توجه کنید که

$$\lim_{z \rightarrow z_0} \frac{(z - z_0) P(z)}{q(z)} = \lim_{z \rightarrow z_0} p(z) / \left( \frac{q(z) - q(z_0)}{z - z_0} \right)$$

زیرا  $q(z) = 0$ ، و این برابر است با  $p(z)/q'(z) = 0$ ، مثلاً، اگر

$$f(z) = \frac{\cos(\pi z)}{1 - z^{976}}$$

آنگاه

$$\text{res}(f, 1) = \frac{\cos(\pi)}{-976 \times 1^{975}} = \frac{1}{976}$$

لم ۱۲-۳. اگر  $z$  قطبی از مرتبه  $m$  برای  $f$  باشد آنگاه

$$\text{res}(f, z_0) = \lim_{z \rightarrow z_0} \left\{ \frac{1}{(m-1)!} \frac{d^{m-1}}{dz^{m-1}} ((z-z_0)^m f(z)) \right\}$$

برهان. داریم:

$$f(z) = \frac{b_m}{(z-z_0)^m} + \dots + \frac{b_1}{z-z_0} + \sum_{n=0}^{\infty} a_n (z-z_0)^n$$

به طوری که

$$(z-z_0)^m f(z) = b_m + \dots + b_1 (z-z_0)^{m-1} + \sum_{n=0}^{\infty} a_n (z-z_0)^{m+n}$$

و بنابراین

$$\frac{d^{m-1}}{dz^{m-1}} ((z-z_0)^m f(z)) = (m-1)! b_1 + \sum_{n=0}^{\infty} \frac{(m+n)!}{(n+1)!} a_n (z-z_0)^{n+1}$$

و نتیجه مطلوب با گرفتن حد به دست می آید:  
مثلاً،

$$f(z) = \left( \frac{z+1}{z-1} \right)^r$$

را که یک قطب سه گانه در  $z = 1$  دارد در نظر بگیرید. آنگاه

$$(z-1)^r f(z) = (z+1)^r$$

$$\frac{1}{2!} \frac{d^2}{dz^2} ((z-1)^2 f(z)) = \frac{6}{2!} (z+1)$$

که به  $6 = 2 \cdot 3$  میل می کند که هنگامی که  $z \rightarrow 1$  پس  $\text{res}(f, 1) = 6$  گاهی می توانیم تکنیک دیگری را به کار ببریم: به انجام رساندن قسمت‌های مناسب سری لوران (انجام همه قسمت‌ها. اتلاف وقت است، زیرا همه آنچه درباره مانده‌ها لازم است چیزی نیست، جز محاسبه  $b_1$ ). به عنوان مثال،

$$\begin{aligned} f(z) &= 1/(z^2 \sin(z)) \\ &= 1/\left(z^2 \left(z - \frac{z^3}{6} + \dots\right)\right) \\ &= \frac{1}{z^2} \left(1 - \frac{z^2}{6} + \dots\right)^{-1} \\ &= \frac{1}{z^2} \left(1 + \frac{z^2}{6} + \dots\right) \\ &= \frac{1}{z^2} + \frac{1}{6z} \end{aligned}$$

به طوری که  $\text{res}(f, 0) = 1/6$ .

### ۳. محاسبه انتگرال‌های معین

اکنون به ارائه چند تکنیک برای محاسبه انتگرال‌های معین گوناگون می پردازیم.

$$\int_0^{2\pi} Q(\cos(t), \sin(t)) dt$$

فرض کنیم  $(0 \leq t \leq 2\pi)$  ،  $C(t) = e^{it}$  ، همان دایره واحد. اگر

$$z = C(t) = e^{it}$$

$$\cos(t) = \frac{1}{2} \left( z + \frac{1}{z} \right)$$

$$\sin(t) = \frac{1}{2i} \left( z - \frac{1}{z} \right)$$

که از آن حاصل می شود:

$$\begin{aligned} \int_0^{2\pi} Q(\cos(t), \sin(t)) dt &= \int_C Q\left(\frac{1}{2}\left(z + \frac{1}{z}\right), \frac{1}{2i}\left(z - \frac{1}{z}\right)\right) \frac{dz}{iz} \\ &= 2\pi i \sum \end{aligned}$$

که در آن  $\sum$  حاصل جمع مانده های

$$\frac{1}{iz} Q\left(\frac{1}{2}\left(z + \frac{1}{z}\right), \frac{1}{2i}\left(z - \frac{1}{z}\right)\right)$$

در درون  $C$  است.

مثلاً

$$\int_0^{2\pi} (\cos^r(t) + \sin^r(t)) dt$$

را در نظر می گیریم. آنگاه (۶) می شود:

$$\begin{aligned} &\frac{1}{iz} \left( \frac{1}{2} \left( z + \frac{1}{z} \right)^r - \frac{1}{4} \left( z - \frac{1}{z} \right)^r \right) \\ &= \frac{1}{2i} z^r - \frac{1}{4i} z + \frac{r}{2i} + \frac{1}{2iz} + \frac{r}{2iz^3} - \frac{1}{4iz^r} + \frac{1}{iz^r} \end{aligned}$$

که فقط یک قطب درون  $C$  دارد، با مانده  $1/2i$ . بنابراین انتگرال برابر است با

$$2\pi i / 2i = \pi$$

اگر  $Q$  کلاً پیچیده باشد محاسبات ممکن است خیلی خسته کننده شود. انتگرالهای از این نوع را گاهی این طور می یابیم که قسمتهای حقیقی و موهومی انتگرالی چون

$$\int_C g(z) dz$$

را، با انتخاب مناسب  $g$ ، تعیین می کنیم. به عنوان مثال،

$$\int_C \frac{e^z}{z} = 2\pi i$$

زیرا  $e^z/z$  دارای مانده ۱ در  $z=0$  است. بنابراین

$$\int_0^{2\pi} \frac{e^{\cos(t)+i\sin(t)}}{e^{it}} ie^{it} dt = 2\pi i$$

بنابراین

$$\int_0^{2\pi} e^{\cos(t)+i\sin(t)} dt = 2\pi,$$

ولذا

$$\int_0^{2\pi} e^{\cos(t)} \cos(\sin(t)) + i \sin(\sin(t)) dt = 2\pi$$

که با مساوی قرار دادن قسمتهای حقیقی و موهومی نتیجه می شود:

$$\int_0^{2\pi} e^{\cos(t)} \cos(\sin(t)) dt = 2\pi$$

$$\int_0^{2\pi} e^{\cos(t)} \sin(\sin(t)) dt = 0$$

$$\int_{-\infty}^{+\infty} f(x) dx$$

انتگرال حقیقی

$$\int_{-\infty}^{+\infty} f(x) dx \quad (V)$$

را برابر با

$$\lim_{\substack{x_2 \rightarrow \infty \\ x_1 \rightarrow -\infty}} \int_{x_1}^{x_2} f(x) dx \quad (8)$$

تعریف می کنند به شرط آنکه این حد وجود داشته باشد. تکنیک هایی که می خواهیم در آنها به بحث پردازیم امکان محاسبه

$$\lim_{R \rightarrow \infty} \int_{-R}^R f(x) dx \quad (9)$$

را می دهند؛ که آن را به عنوان مقدار اصلی کوشی برای انتگرال مورد نظر می شناسیم، و چنین نوشته می شود:

$$P \int_{-\infty}^{+\infty} f(x) dx$$

اگر (8) وجود داشته باشد. (9) هم وجود دارد و این دو مساویند. ولی مقدار اصلی کوشی ممکن است وجود داشته باشد در حالی که (8) وجود نداشته باشد. مثلاً

$$\int_{-R}^R x dx = \left[ \frac{x^2}{2} \right]_{-R}^{+R} = 0$$

به طوری که

$$P \int_{-\infty}^{+\infty} x dx = 0$$

ولی واضح است که چنانچه  $f(x) = x$  اختیار شود (8) وجود ندارد.

از آنچه گفتیم، چنین بر می آید که هنگام استفاده از این تکنیک در مورد زیر، باید همگرا بودن (8) را مد نظر داشته باشیم. این مطلب، به جای خود، منجر به شرط (ب) می شود که در زیر می آید.

فرض کنیم (الف)  $f$  در نیم صفحه بالایی  $\text{im}(z) \geq 0$  مشتق پذیر است، مگر در تعدادی متناهی از قطبها، که هیچ یک بر محور حقیقی واقع نیستند.

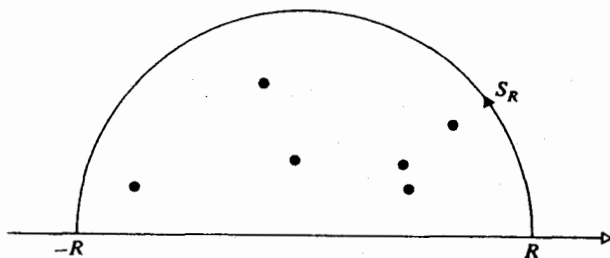
(ب) اگر  $S_R(t) = \text{Re}^{it}$  ( $0 \leq t \leq \pi$ ) باشد و پس هنگامی که  $R$  بزرگ است ثابتی چون  $A$  وجود دارد به طوری که

$$|f(z)| \leq A/R^2$$

و این هنگامی است که  $z$  بر  $S_R$  واقع باشد.  
 آنگاه

$$\int_{-\infty}^{+\infty} f(x) dx = 2\pi i \Sigma$$

که در آن  $\Sigma$  حاصل جمع مانده‌ها در قطبهای  $f$  در نیم صفحه بالایی است.  
 برهان.  $R$  را به اندازه کافی بزرگ اختیار کنید تا (ب) برآورده شود، به طوری که همه قطبها درون  $S_R + [-R, R]$  قرار گیرند (شکل ۴-۱۲).  
 آنگاه بنابر قضیه کوشی



شکل (۴-۱۲)

آنگاه بنابر قضیه کوشی

$$\int_{-R}^R f(x) dx + \int_{S_R} f(z) dz = 2\pi i \Sigma$$

که  $\Sigma$  به همان تعریف است که بیان شد. اکنون فرض کنیم  $R \rightarrow \infty$ . آنگاه

$$\left| \int_{S_R} f(z) dz \right| \leq \frac{A}{R^2} \pi R = \pi A / R$$

که به ۰ میل می کند هنگامی که  $R \rightarrow \infty$ . نتیجه اینکه

$$\lim_{R \rightarrow \infty} \int_{-R}^R f(x) dx = 2\pi i \Sigma$$

یعنی

$$P \int_{-\infty}^{\infty} f(x) dx = 2\pi i \Sigma$$

با این وصف، (ب) به ما می گوید که هنگامی که  $|x|$  بزرگ است  $|f(x)| \leq A/x^2$  می شود، و بنابراین از آنالیز حقیقی نتیجه می شود که

$$\int_{-\infty}^{\infty} f(x) dx$$

وجود دارد. بنابراین، با مقدار اصلی کوشی برابر است، یعنی برابر با  $2\pi i \Sigma$ ، و همین مورد ادعا بود.

تذکر A. شرط (ب) مسلماً برآورده است چنانچه  $f(z) = p(z)/q(z)$  که در آن p و q بسجمله هایی هستند به طوری که q صفر حقیقی ندارد و درجه q بزرگتر یا مساوی با ۲+ درجه p است. مثلاً،

$$\int_{-\infty}^{\infty} \frac{dx}{(x^2 + a^2)(x^2 + b^2)}$$

را با  $a > 0, b > 0, a \neq b$  در نظر بگیرید. بنابر تذکر A این انتگرال در شرط (ب) صدق می کند. (الف) به وضوح درست است. حال توجه می کنیم که قطبهای  $1/(z^2 + a^2)(z^2 + b^2)$  در نیم صفحه بالایی فقط قطبهای ساده ای هستند در  $ia, ib$ . مانده در  $ia$  عبارت است از:

$$\lim_{z \rightarrow ia} \frac{z - ia}{(z^2 + a^2)(z^2 + b^2)} = \frac{1}{2ia(b^2 - a^2)}$$

و به طور مشابه در  $ib$  عبارت است از:

$$\frac{1}{2ib(a^2 - b^2)}$$



در نتیجه مقدار انتگرال مورد نظر عبارت است از:

$$2\pi i \left( \frac{1}{2ia(b^r - a^r)} + \frac{1}{2ib(a^r - b^r)} \right) \\ = \frac{\pi}{ab(a+b)}$$

**تذکر B.** در این استدلال نیازی نبود که به ازاء  $z$  های روی محور حقیقی خود  $f(z)$  حقیقی باشد. به عنوان مثال فرض می کنیم:

$$f(z) = e^{iz} / (z^r + a^r)(z^r + b^r)$$

ملاحظه می شود که بر  $S_R$  داریم:  $|e^{iz}| = |e^{-y+ix}| = e^{-y} \leq 1$  به ازاء  $y \geq 0$ ، به طوری که (ب) برقرار است.

مثل گذشته، قطبهای ساده ای در  $ib, ia$  داریم؛ ولی این بار مانده ها عبارتند از:

$$e^{-b} / 2ib(a^r - b^r), \quad e^{-a} / 2ia(b^r - a^r)$$

نتیجه اینکه

$$\int_{-\infty}^{\infty} \frac{e^{ix}}{(x^r + a^r)(x^r + b^r)} dx = \pi \left( \frac{e^{-a}}{a(b^r - a^r)} + \frac{e^{-b}}{b(a^r - b^r)} \right)$$

و با مساوی قرار دادن قسمتهای حقیقی با هم و موهومی با هم نتیجه می شود:

$$\int_{-\infty}^{\infty} \frac{\cos(x)}{(x^r + a^r)(x^r + b^r)} dx = \frac{\pi}{b^r - a^r} \left( \frac{e^{-a}}{a} - \frac{e^{-b}}{b} \right)$$

$$\int_{-\infty}^{+\infty} \frac{\sin(x)}{(x^r + a^r)(x^r + b^r)} dx = 0$$

از این دو، دومی کاملاً واضح است (چرا؟)، ولی اولی نه.

سعی می‌کنیم این روش را (حداقل) به دو طریق تعمیم دهیم: با به دست آوردن برآوردی بهتر برای  $\int_{S_R} f(z) dz$ ؛ یا با امکان دادن به  $f$  که روی محور حقیقی قطبهایی داشته باشد. اولی را در (III) و دومی را در (IV) بررسی خواهیم کرد.

$$(III) \quad \int_{-\infty}^{+\infty} f(x)e^{ix} dx$$

فرض کنیم (الف)  $f$  در دامنه‌ای مشتق‌پذیر باشد که این دامنه شامل نیم صفحه بالایی، به استثنای تعدادی متناهی از قطبهاست که هیچ یک بر محور حقیقی واقع نیستند.

(ب) هنگامی که  $R$  بزرگ است ثابتی چون  $A$  وجود دارد به طوری که

$$|z| = R \text{ به ازاء } |f(z)| \leq A/R$$

آنگاه

$$\int_{-\infty}^{+\infty} f(z)e^{iz} dz = 2\pi i \Sigma'$$

که در آن  $\Sigma'$  حاصل جمع مانده‌های  $f(z)e^{iz}$  در قطبهای واقع در نیم صفحه بالایی است.

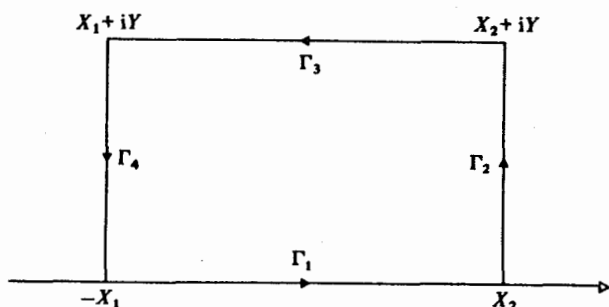
برهان. می‌توانیم همان کانتور مربوط به (II) را به کار گرفته و ثابت کنیم که

$$\lim_{R \rightarrow \infty} \int_{S_R} f(z)e^{iz} dz = 0$$

اما با این کار فقط مقدار اصلی کوشی محاسبه می‌شود؛ و مساله همگرایی که به همین مناسبت پیش آمد خیلی مشکلتر است زیرا آنچه که ما می‌دانیم این است که  $f$  به ازاء مقادیر بزرگ  $x$  مثل  $1/x$  رفتار می‌کند، که این به تنهایی باعث ایجاد؛

$$\int_{-\infty}^{+\infty} f(x)e^{ix} dx$$

نمی‌شود. با بحث‌هایی مطبوع‌تر این مانع را می‌توان از سر راه برداشت. ولی آسانتر آن است که با به کار گرفتن کانتوری متفاوت، آنطور که در شکل ۱۲-۵ نشان داده شده است. با کل این سوال به گونه دیگری برخورد کنیم.



شکل (۱۲-۵)

ثابت می‌کنیم هنگامی که  $x_1, x_2, y$  به  $\infty$  میل می‌کنند، هر یک از انتگرال‌های

$$\int_{\Gamma_r} f(z)e^{iz} dz$$

به ازاء  $r$  مساوی ۲، ۳، ۴ به صفر میل می‌کند. آنگاه همچون گذشته نتیجه می‌شود که

$$\lim_{x_1, x_2 \rightarrow \infty} \int_{-x_1}^{x_2} f(x)e^{ix} dx = 2\pi i \sum$$

و این همان است که ما می‌خواهیم.  
حال

$$\begin{aligned} \left| \int_{\Gamma_r} f(z)e^{iz} dz \right| &= \left| \int_0^y f(x_2 + it)e^{ix_2 - t} dt \right| \\ &\leq \int_0^y \frac{A}{x_2} e^{-t} dt \\ &\leq A/x_2 \end{aligned}$$

به ازاء  $Y_r$  ای که بزرگ باشد؛ و به طور مشابه

$$\left| \int_{\Gamma_r} f(z)e^{iz} dz \right| \leq A/X_1 \quad \text{به ازاء } X_1 \text{ بزرگ.}$$

همچنین

$$\begin{aligned} \left| \int_{\Gamma_r} f(z)e^{iz} dz \right| &= \left| - \int_{-X_1}^{X_1} f(t+iY)e^{it-y} dt \right| \\ &\leq \left| \int_{X_1}^{X_1} \frac{A}{Y} e^{-y} dt \right| \\ &= AY^{-1} e^{-Y} (X_1 + X_1) \end{aligned}$$

لیکن به ازاء  $X_1, X_2$  ثابت این به  $\infty$  میل می کند هنگامی که  $Y \rightarrow \infty$ . آنگاه با میل دادن  $X_1, X_2$  به  $\infty$  به نتیجه مطلوب می رسیم. به عنوان یک مثال،

$$\int_{-\infty}^{\infty} \frac{z^r e^{ix} dx}{(x^2 + a^2)(x^2 - b^2)} \quad (a, b > 0; a \neq b)$$

را در نظر می گیریم که نه در شرایط (II) بلکه در (III) صدق می کند. این انتگرال قطبهایی ساده در  $ia, ib$  واقع در نیم صفحه بالایی دارد. با محاسبه مانده ها به طریق معمول، به کار بردن نتیجه بالا، و مساوی قرار دادن قسمت های موهومی حاصل می شود:

$$\int_{-\infty}^{\infty} \frac{x^r \sin x dx}{(x^2 + a^2)(x^2 + b^2)} = \frac{\pi}{b^2 - a^2} (b^r e^{-b} - a^r e^{-a})$$

(مساوی قرار دادن قسمت های حقیقی نشان می دهد که انتگرال متناظر برای کسینوس برابر صفر است. ولی با توجه به زمینه های دیگر باز هم می توان دید که این قسمت واضح است.)

#### (IV) قطبهایی که بر محور حقیقی واقعند

اگر  $f(z)$  قطبهایی بر محور حقیقی داشته باشد در کانتور مورد نظر به «دندان سازی» می پردازیم؛ یعنی نیمدایره هایی کوچک مثل شکل ۱۲-۶ رسم

می‌کنیم. فرض کنیم این نیم‌دایره‌ها شعاع‌های  $\epsilon_1, \epsilon_2, \dots$  داشته باشند. آنگاه مطابق با رویه فوق پیش می‌رویم و در همین حال  $\epsilon_1, \epsilon_2, \dots$  را به صفر میل می‌دهیم که همزمان با آن  $\infty \rightarrow Y, X_2, X_1, R$ . اینجا هم مشکلی مشابه حالت (II) پیش می‌آید: همه آنچه را که حساب می‌کنیم یک یک مقدار اصلی کوشی

$$P \int_a^b f(x) dx = \lim_{\epsilon \rightarrow 0} \left( \int_a^{x-\epsilon} f(x) dx + \int_{x+\epsilon}^b f(x) dx \right)$$

برای یک قطب در  $x$  است. این حد باز هم ممکن است وجود داشته باشد حتی اگر

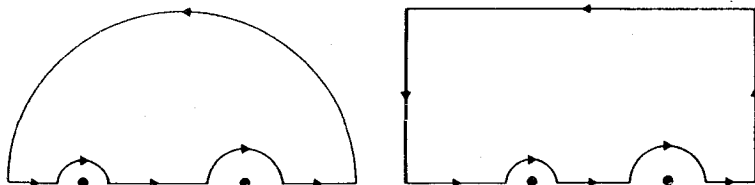
$$\int_a^b f(x) dx = \lim_{\epsilon_1 \rightarrow 0} \int_a^{x-\epsilon_1} f(x) dx + \lim_{\epsilon_2 \rightarrow 0} \int_{x+\epsilon_2}^b f(x) dx$$

وجود نداشته باشد. بدین سان

$$\int_{-1}^1 \frac{dx}{x}$$

وجود ندارد، ولی

$$P \int_{-1}^1 \frac{dx}{x} = 0$$



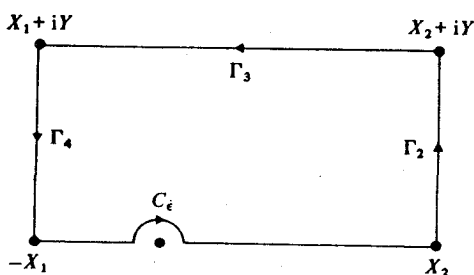
شکل (۱۲-۶)

از آنچه گفتیم برمی‌آید که یک مساله همگرایی برای بحث در پیش داریم. و این آن زمان است که مقدار اصلی کوشی به دست آمده باشد. جدای از این، فرض و

نتایج مربوط به (II) و (III) برقرار می‌مانند حتی اگر قطبها بر محور حقیقی قرار گیرند، به شرط آنکه جمع بندی  $\Sigma$  و جمع بندی  $\Sigma'$  فقط برای قطبهای غیر حقیقی ای باشند که در نیم صفحه بالایی واقعند. به جای بیان یک قضیه کلی کسالت بار، مثالی نوعی و متقاعد کننده می‌آوریم:

$$\int_{-\infty}^{+\infty} \frac{e^{ix}}{x} dx$$

یک قطب حقیقی در  $\bullet$  داریم، پس به انتخاب یک کانتور، آنچه‌ان که در شکل ۷-۱۲ مشاهده می‌شود، می‌پردازیم. همانند



شکل (۷-۱۲)

قبل، انتگرالهای در طول  $\Gamma_2, \Gamma_3, \Gamma_4$  به صفر میل می‌کنند. چون در داخل این کانتور قطبی وجود ندارد،

$$\lim_{x_1, x_2 \rightarrow \infty} \left\{ \int_{-x_1}^{-\epsilon} \frac{e^{ix}}{x} dx + \int_{\epsilon}^{x_2} \frac{e^{ix}}{x} dx + \int_{C_\epsilon} \frac{e^{iz}}{z} dz \right\} = 0$$

ولی

$$\begin{aligned} \frac{e^{iz}}{z} &= \frac{1}{z} + \sum_{n=1}^{\infty} \frac{z^{n-1}}{n!} \\ &= \frac{1}{z} + \phi(z) \end{aligned}$$

که  $\phi$  مشتق پذیر است نتیجه اینکه در یک همسایگی  $\bullet$  داریم،  $|\phi(z)| \leq M$ ، و

بنابراین

$$\begin{aligned} \lim_{\epsilon \rightarrow 0} \int_{C_\epsilon} \frac{e^{iz}}{z} dz &= \lim_{\epsilon \rightarrow 0} \int_{C_\epsilon} \left( \frac{1}{z} + \phi(z) \right) dz \\ &= \lim_{\epsilon \rightarrow 0} \left\{ - \int_{-\pi}^{\pi} \frac{1}{\epsilon e^{it}} i \epsilon e^{it} dt \right\} + \lim_{\epsilon \rightarrow 0} M \pi \epsilon \\ &= -i\pi \end{aligned}$$

بنابراین

$$P \int_{-\infty}^{+\infty} \frac{e^{ix}}{x} dx = i\pi$$

چون قسمتهای حقیقی را با هم و قسمتهای موهومی را با هم مساوی قرار دهیم؛

$$P \int_{-\infty}^{+\infty} \frac{\cos(x)}{x} dx = 0$$

$$P \int_{-\infty}^{+\infty} \frac{\sin(x)}{x} dx = \pi$$

اولین انتگرال فقط به عنوان یک مقدار اصلی وجود دارد، زیرا  $\cos(x)/x$  به ازاء مقادیر کوچک  $x$  مشابه  $1/x$  رفتار می کند. ولی در مورد دومی داریم:

$$\begin{aligned} P \int_{-\infty}^{+\infty} \frac{\sin(x)}{x} dx &= \lim_{\epsilon \rightarrow 0} \left( \int_{-\infty}^{-\epsilon} \frac{\sin(x)}{x} dx + \int_{\epsilon}^{+\infty} \frac{\sin(x)}{x} dx \right) \\ &= 2 \lim_{\epsilon \rightarrow 0} \int_{\epsilon}^{+\infty} \frac{\sin(x)}{x} dx \end{aligned}$$

و این حد وجود دارد، و در نتیجه بنابر تعریف مساوی است با:

$$2 \int_{0}^{+\infty} \frac{\sin(x)}{x} dx$$

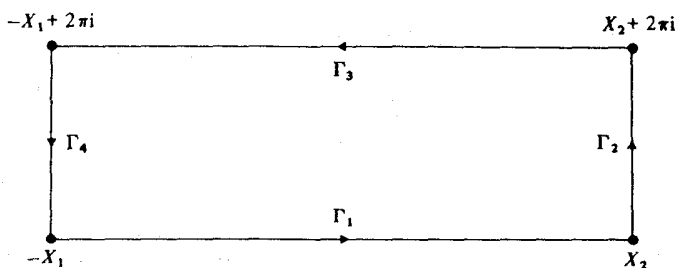
زیرا که  $\sin(x)/x \rightarrow 0$  هنگامی که  $x \rightarrow 0$ . در نتیجه می توانیم  $P$  را از

حذف کنیم و با توجه با آنچه ثابت کردیم داریم:  $P \int_{-\infty}^{\infty} \frac{\sin(x)}{x} dx$

$$\int_{-\infty}^{\infty} \frac{\sin(x)}{x} dx = \frac{\pi}{2}$$

$$\int_{-\infty}^{\infty} \frac{e^{ax}}{\phi(e^x)} dx$$

در مورد انتگرالهایی از این نوع حول کانتوری که به فرم شکل ۱۲-۸ باشد انتگرال می گیریم.



شکل (۱۲-۸)

حال اگر بر  $\Gamma_3$  قرار دهیم  $z = -t + 2\pi i$  آنگاه  $-X_2 \leq t \leq -X_1$ ، و بنابراین

$$\begin{aligned} \int_{\Gamma_3} \frac{e^{az}}{\phi(z)} dz &= \int_{-X_2}^{-X_1} \frac{e^{-at + 2\pi ia}}{\phi(e^{-t})} (-1) dt \\ &= e^{2\pi ia} \int_{X_1}^{X_2} \frac{e^{-at}}{\phi(e^{-t})} dt \end{aligned}$$

که، با قراردادن  $t = -x$ ، برابر است با:

$$-e^{2\pi ia} \int_{X_1}^{X_2} \frac{e^{ax}}{\phi(e^x)} dx$$

اگر  $\phi$  چنان باشد که هنگامی که  $X_1, X_2 \rightarrow \infty$ ،  $\int_{\Gamma_1} \frac{e^{az}}{\phi(e^z)} dz \rightarrow 0$  (به ازاء



$(z = 2, 4)$  آنگاه خواهیم داشت :

$$(1 - e^{\gamma\pi i}) \int_{-\infty}^{\infty} \frac{e^{ax}}{\phi(e^x)} dz = 2\pi i \Sigma''$$

که  $\Sigma''$  عبارت است از حاصل جمع مانده های  $\varepsilon^{az} / \phi(z)$  در قطب هایی که بین خطهای  $\text{im}(z) = 2\pi$  ،  $\text{im}(z) = 0$  هستند :  
مثلاً، در

$$\int_{-\infty}^{\infty} \frac{e^{ax}}{e^{\gamma x + 1}} \quad (0 < a < 1)$$

انفرادهای مربوط به موضوع مورد نظر، در  $2i\pi/\gamma, i\pi/\gamma$  هستند که مانده های متناظر با آنها عبارتند از :

$$-\frac{1}{\gamma} e^{\gamma i\pi a / \gamma}, -\frac{1}{\gamma} e^{i\pi a / \gamma}$$

نتیجه اینکه مقدار این انتگرال برابر است با :

$$\frac{2\pi i}{1 - e^{\gamma\pi i a}} \left( -\frac{1}{\gamma} e^{i\pi a / \gamma} - \frac{1}{\gamma} e^{\gamma i\pi a / \gamma} \right)$$

به آسانی دیده می شود که این عبارت، با اختیار  $k = e^{i\pi a / \gamma}$  برابر است با :

$$\frac{\pi}{2 \sin(\pi a / \gamma)}$$

### (VI) راههای کوتاه

غیر از آنچه در فوق بیان شد، متعلم باید به دنبال روشهایی باشد که کار را سریعاً به نتیجه می رساند. مثلاً، یکی از انتگرالهای با اهمیت بسیار در ریاضیات کاربردی

عبارت است از :

$$\int_{-\infty}^{\infty} e^{i\lambda x} e^{-x^2} dx, \lambda \in \mathbb{R}$$

تابع  $e^{-z^2}$  در سراسر  $C$  مشتق پذیر است. اگر  $\gamma$  مستطیل به رئوسهای  $-R$ ،  $R$ ،  $R - (i\lambda)/2$ ،  $-R - (i\lambda)/2$  باشد آنگاه

$$\int_{\gamma} e^{-z^2} dz = 0$$

هنگامی که  $R \rightarrow \infty$ ، انتگرالهایی که روی ضلعهای عمودی مستطیل گرفته می شوند به صفر میل می کنند؛ آن دو دیگر همگرا هستند. نتیجه اینکه

$$\begin{aligned} \int_{-\infty}^{\infty} e^{-x^2} dx &= \int_{-\infty}^{\infty} e^{-(x-(i\lambda)/2)^2} dx \\ &= \int_{-\infty}^{\infty} e^{-x^2} e^{i\lambda x} e^{\lambda^2/4} dx \end{aligned}$$

بنابراین

$$\int_{-\infty}^{\infty} e^{i\lambda x} e^{-x^2} dx = e^{-\lambda^2/4} \int_{-\infty}^{\infty} e^{-x^2} dx$$

انتگرال اخیر چیزی جز یک مقدار ثابت نیست؛ آن را، در واقع، با روشهای دیگر می توان محاسبه کرد، برابر است با:  $1/\sqrt{\pi}$ . بنابراین

$$\int_{-\infty}^{\infty} e^{i\lambda x} e^{-x^2} dx = \frac{e^{-\lambda^2/4}}{\sqrt{\pi}}$$

#### ۴. جمع بندی سری ها

فرض کنیم که  $f$  تابعی مشتق پذیر در  $z=n$  باشد که  $n$  عددی است صحیح. تابعهای  $\operatorname{cosec}(\pi z)$ ،  $\cot(\pi z)$  دارای قطبهایی ساده در  $z=n$ ،  $n \in \mathbb{Z}$ ، هستند؛ و می توان بررسی کرد که

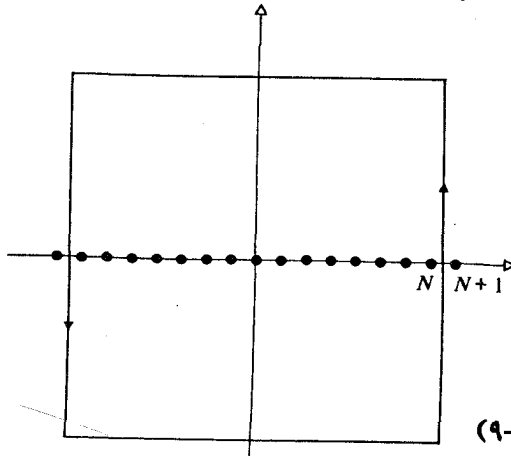
$$\operatorname{res}(f(z) \cot(\pi z), n) = \frac{f(n)}{\pi}$$

$$\operatorname{res}(f(z) \operatorname{cosec}(\pi z), n) = \frac{(-1)^n f(n)}{\pi}$$

این مطلب روشی را برای جمع بندی سریهای خاصی القاء می کند، که در زیر بیان می شود. فرض کنیم  $C_N$  مربعی باشد که راسهایش

$$\left(N + \frac{1}{2}\right)(\pm 1 \pm i)$$

طبق معمول، در جهت حرکت عقربه های ساعت آنچنان که نشان داده ایم (شکل ۹-۱۲) پارامتری شده باشد.



شکل (۹-۱۲)

ادعا می کنیم که  $\cot(\pi z)$ ,  $\operatorname{cosec}(\pi z)$  بر  $C_N$  کران دار هستند، که این کران بستگی به  $N$  ندارد. نخست توجه کنید که بر دو ضلعی که موازی با محور حقیقی هستند داریم  $z = x + iy$  که در آن  $|y| \geq 1/2$  است. در این حالت

$$\begin{aligned} |\operatorname{cosec}(\pi z)| &= \left(\frac{1}{2} |e^{i\pi z} - e^{-i\pi z}|\right)^{-1} \\ &\leq \left(\frac{1}{2} |e^{-\pi y} - e^{\pi y}|\right)^{-1} \\ &= (\sinh|\pi y|)^{-1} \\ &\leq (\sinh(\pi/2))^{-1} \end{aligned}$$

$$\begin{aligned}
 |\cot(\pi z)| &= \left| \frac{e^{i\pi z} + e^{-i\pi z}}{e^{i\pi z} - e^{-i\pi z}} \right| \\
 &\leq \left| \frac{|e^{i\pi z}| + |e^{-i\pi z}|}{|e^{i\pi z}| - |e^{-i\pi z}|} \right| \\
 &= \left| \frac{e^{-\pi y} - e^{\pi y}}{e^{-\pi y} - e^{\pi y}} \right| \\
 &= \coth|\pi y| \\
 &= \coth|\pi y|
 \end{aligned}$$

بر دو ضلع دیگر، داریم  $z = \pm N + \frac{1}{4} + it$  و بنابراین

$$\begin{aligned}
 |\operatorname{cosec}(\pi z)| &= |\sin(\pi z)|^{-1} \\
 &= |\cos(i\pi t)|^{-1} \\
 &= (\cosh|\pi t|)^{-1} \\
 &\leq 1
 \end{aligned}$$

$$\begin{aligned}
 |\cot(\pi z)| &= |\tan(it)| \\
 &= \left| \frac{1 - e^{-2t}}{1 + e^{-2t}} \right| \\
 &\leq 1
 \end{aligned}$$

نتیجه اینکه ثابتی چون  $M$  وجود دارد به طوری که  
 $|\operatorname{cosec}(\pi z)| \leq M, |\cot(\pi z)| \leq M$ ، و این به ازاء  $z$  واقع بر هر  $C_N$  است.  
 حال فرض کنیم هنگامی که  $|z|$  به اندازه کافی بزرگ است داریم:

$$|f(z)| \leq A/|z|^2$$

$$\Sigma^* = 0$$

که در آن  $\Sigma^*$  حاصل جمع مانده های  $f(z) \cot(\pi z)$  است. بنابر قضیه کوشی داریم:

$$\int_{C_N} f(z) \cot(\pi z) dz = 2\pi i \Sigma_N^*$$

که در آن  $\Sigma_N^*$  عبارت است از حاصل جمع مانده های  $f(z) \cot(\pi z)$  در درون  $C_N$ . چنانچه  $N \rightarrow \infty$ ،  $\Sigma_N^* \rightarrow \Sigma^*$ ، بنابراین کافی است ثابت کنیم که این انتگرال  $\leftarrow 0$ . ولی هنگامی که  $N$  به اندازه کافی بزرگ است. بنابر لم برآورد، داریم:

$$\left| \int_{C_N} f(z) \cot(\pi z) dz \right| \leq \frac{A}{N^2} M(\wedge N + 4)$$

هنگامی که  $N \rightarrow \infty$ ، این به 0 میل می کند. که موضوع ادعای ما بود. ولی  $\Sigma^*$  معمولاً یک سری نامتناهی تشکیل می دهد: این واقعیت که  $\Sigma^*$  صفر است به ما امکان می دهد که حاصل جمع بعضی سریهای وابسته به این نکته را به دست آوریم. این کار با ذکر یک مثال به بهترین صورت توضیح داده می شود؛ و یک مثال واضح، برای کار بر روی آن، عبارت است از:

$$f(z) = 1/z^2$$

در عدد صحیح  $n \neq 0$  تابع  $z^{-2} \cot(\pi z)$  دارای یک قطب ساده با مانده  $1/(n^2 \pi)$  است، در حالی که در مبداء دارای یک قطب سه گانه با مانده  $-\pi/3$  است. نتیجه اینکه

$$0 = \Sigma^* = -\pi/3 + \sum_{n=-\infty}^{\infty} 1/n^2$$

(که در حاصل جمع نامتناهی  $\sum_{n=-\infty}^{\infty}$  فرض بر این است که  $n \neq 0$ )

$$= -\pi/3 + \frac{2}{\pi} \sum_{n=1}^{\infty} 1/n^2$$

نتیجه اینکه

$$\sum_{n=1}^{\infty} 1/n^2 = \pi^2/6$$

و این قضیه ای است که در اصل ما به روشی متفاوت با این، به وسیله اویلر به اثبات رسید.

اگر به جای  $\cot(\pi z)$  از  $\operatorname{cosec}(\pi z)$  استفاده کنیم قضیه مشابهی در کار می آید، و به ما امکان می دهد که حاصل جمع سریهایی به صورت  $\sum (-1)^n f(n)$  را به دست آوریم. به عنوان مثال، با به کار گرفتن  $f(z) = z^{-2}$  و با بحثی خیلی مشابه آنچه بیان شد، می توانیم ثابت کنیم که

$$\sum_{n=1}^{\infty} (-1)^{n-1} / n^2 = \pi^2/12$$

## ۵. شمارش صفرها

کاربرد نسبتاً متفاوتی از مانده ها عبارت است از: محاسبه صفرهای تابعی

که درون یک لوپ ساده تابعی است تحلیلی. با قضیه زیر شروع می کنیم:

**قضیه ۱۲-۴.** فرض کنیم  $f$ ، تابعی مشتق پذیر در دامنه ای چون  $S$  باشد، که  $S$  شامل یک لوپ ساده و همه نقاط داخل آن به استثنای یک مجموعه متناهی از قطبها است. اگر  $f$  بر  $\gamma$  دارای صفرها یا قطبهایی نباشد آنگاه

$$\frac{1}{2\pi i} \int_{\gamma} \frac{f'(z)}{f(z)} dz = N - P$$

که در آن  $N$  تعداد صفرهای  $f$  است در درون  $\gamma$  و  $P$  تعداد قطبهای  $f$  در درون  $\gamma$ ، که هر یک را به دفعات شمرده ایم.

برهان. این انتگرال برابر است با حاصل جمع مانده های  $f'(z)/f(z)$  در قطبهایی که درون  $\gamma$  هستند. حال اگر  $z$  نه یک صفر و نه یک قطب از  $f$  باشد، آنگاه  $f'/f$  در  $z$  مشتق پذیر است. ثابت می کنیم که

(الف) اگر  $f$  دارای صفری از مرتبه  $k$  در  $z_1$  باشد آنگاه  $f'/f$  دارای یک قطب با مانده  $k$  است.

(ب) اگر  $f$  یک قطب از مرتبه  $m$  در  $z_1$  باشد آنگاه  $f'/f$  دارای یک قطب با مانده  $-m$  است.

برای اثبات (الف) توجه کنید که در این حالت

$$f(z) = (z - z_1)^k \phi(z)$$

که در آن  $\phi(z_1) \neq 0$  و  $\phi$  در همسایگی ای از  $z_1$  مشتق پذیر است. بنابراین

$$f'(z) = k(z - z_1)^{k-1} \phi(z) + (z - z_1)^k \phi'(z)$$

و در نتیجه

$$\frac{f'(z)}{f(z)} = \frac{k}{z - z_1} + \frac{\phi'(z)}{\phi(z)}$$

که دارای قطبی ساده با مانده  $k$  در  $z_1$  است زیرا  $\phi'/\phi$  در  $z_1$  مشتق پذیر است. این بود اثبات (الف). مشابهاً در حالت (ب)

$$f(z) = \Psi(z)/(z - z_1)^m$$

که در آن  $\Psi(z_1) \neq 0$  و  $\Psi$  در همسایگی ای از  $z_1$  مشتق پذیر است. نتیجه اینکه

$$f'(z) = \frac{-m \Psi(z)}{(z - z_1)^{m+1}} + \frac{\Psi'(z)}{(z - z_1)^m}$$

و بنابراین

$$\frac{f'(z)}{f(z)} = \frac{-m}{z - z_1} + \frac{\Psi'(z)}{\Psi(z)}$$

که دارای یک قطب ساده با مانده  $-m$  در  $z_p$  است. با جمع بندی روی همه قطبهای  $f'/f$  و با کمک (الف) و (ب) بی درنگ اثبات این قضیه به پایان می رسد.

فرض کنیم  $\gamma$  یک لوپ ساده در دامنه ای چون  $S$  باشد به طوری که همه نقاط درون  $\gamma$  در درون  $S$  باشد. اگر  $f$  در  $S$  مشتق پذیر باشد و صفری روی  $\gamma$  نداشته باشد آنگاه تعداد صفرهای  $f$  که در درون  $\gamma$  هستند عبارت است از:

$$\frac{1}{2\pi i} \int_{\gamma} f'(z)/f(z) dz$$

از این، قضیه مهم دیگری را نتیجه می گیریم:

قضیه ۱۲-۶. (قضیه روشه)

فرض کنیم  $f$  و  $g$  در دامنه ای چون  $S$  که شامل یک لوپ ساده  $\gamma$  و همه نقاط درون  $\gamma$  است مشتق پذیر باشند. اگر به ازاء هر  $z = \gamma(t) (a \leq t \leq b)$

$$|f(z) - g(z)| < |f(z)| \quad (10)$$

آنگاه  $f$  و  $g$  در درون  $\gamma$  تعداد صفرهایشان مساوی است برهان. فرض کنیم  $F(z) = g(z)/f(z)$ . بنابراین از (۱۰)، به ازاء  $a \leq t \leq b$ ، داریم:

$$|1 - F(\gamma(t))| < 1 \quad (11)$$

در درون  $S$

$g$  دارای یک صفر است  $\Leftrightarrow F$  دارای یک صفر است

$f$  دارای یک صفر است  $\Leftrightarrow F$  دارای یک قطب است

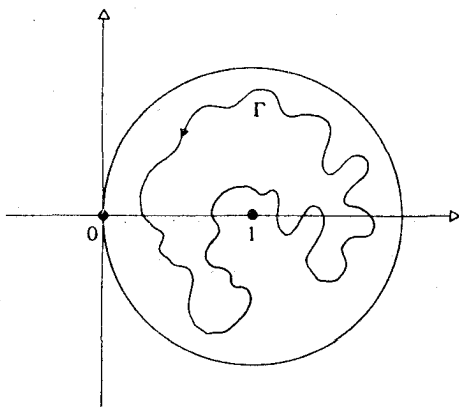
بنابراین برای این که نشان دهیم که  $f$  و  $g$  در درون  $\gamma$  تعداد صفرهایشان یکسان



است. بنابراین قضیه ۱۱-۴ کافی است که ثابت کنیم:

$$\int_{\gamma} F'(z)/F(z) dz = 0$$

فرض کنیم  $\Gamma(t) = F(\gamma(t))$ . بنابراین (۱۱) به ازاء  $a \leq t \leq b$  داریم:  
 $|\Gamma(t) - 1| < 1$ ، به طوری که  $\Gamma$  درون دایره به مرکز ۱ شعاع ۱ قرار می گیرد (شکل ۱۲-۱۰). اکنون



شکل (۱۲-۱۰)

$$\begin{aligned} \int_{\gamma} F'(z)/F(z) dz &= \int_a^b \frac{F'(\gamma(t))}{F(\gamma(t))} \gamma'(t) dt \\ &= \int_a^b \Gamma'(t)/\Gamma(t) dt \\ &= \int_{\Gamma} \frac{dz}{z} \\ &= w(\Gamma, 0) \\ &= 0 \end{aligned}$$

با کمک نموداری که مشاهده می کنید.

به عنوان مثالی از کاربرد قضیه روزه، برهان دومی برای «قضیه اساسی

جبر» (قضیه ۱۰-۷) ارائه می دهیم. فرض کنیم:

$$g(z) = z^m + a_1 z^{m-1} + \dots + a_m$$

$$f(z) = z^m$$

آنگاه

$$|f(z) - g(z)| = |a_1 z^{m-1} + \dots + a_m|$$

و به ازاء  $z \neq 0$

$$\left| \frac{1}{z^m} |f(z) - g(z)| \right| = \left| \frac{a_1}{z} + \dots + \frac{a_m}{z^m} \right|$$

چون سمت راست این رابطه هنگامی که  $|z| \rightarrow \infty$  به 0 میل می کند نتیجه می گیریم  
که  $R > 0$  وجود دارد طوری که اگر  $|z| > R$  آنگاه

$$\left| \frac{a_1}{z} + \dots + \frac{a_m}{z^m} \right| < 1$$

و آنگاه

$$|f(z) - g(z)| < |z^m| = |f(z)|$$

بنابراین بنا بر قضیهٔ ریشه تعداد صفرهای  $f$  و  $g$  در درون  $\{z \in \mathbb{C} : |z| < R\}$  یکسان است. چون  $f$  دارای  $m$  صفر است (با شمردن دفعات)،  $g$  نیز چنین است. نتیجه اینکه هر بسجمله ای از مرتبهٔ  $m$  روی  $\mathbb{C}$  دارای  $m$  صفر است. و این همان «قضیهٔ اساسی جبر» است.

## تمرینهای ۱۲

۱. مانده  $f$  را در  $z$  در حالت‌های زیر تعیین کنید:

$$f(z) = z^{-r} \sin z (z \neq 0), z = 0 \quad (\text{الف})$$

$$f(z) = e^z z^{-n-1} (z \neq 0), z = 0 \quad (\text{ب})$$

$$f(z) = \exp(1/z) (z \neq 0), z = 0 \quad (\text{ج})$$

$$f(z) = z^r (z^2 + a^2)^{-r} (z \neq \pm ia), z = ia, -ia \quad (\text{د})$$

$$f(z) = (1 + z^r + z^s)^{-1} (z \neq \exp(r\pi i / 3)), r = 1, 2, 4, 5, z = \exp(\pi i / 3) \quad (\text{ه})$$

۲. مانده تابع داده شده را در هر یک از نقاط منفرد مجزای آن به دست آورید، به انضمام بی نهایت (به شرط آنکه این بی نهایت حد یک دنباله از انفرادهای متناهی، یعنی مجزا، نباشد):

$$1/(z^r - z^s) \quad (\text{الف})$$

$$\sin(z) \sin(1/z) \quad (\text{ب})$$

$$e^z / z^r (z^2 + 5) \quad (\text{ج})$$

$$\cot^r z \quad (\text{د})$$

$$(z \cos z^{-r})^{-1} \quad (\text{خ})$$

$$(\sin z^{-1})^{-1} \quad (\text{و})$$

۳. اگر  $f$  قطبی از مرتبه ۲ در  $z$  داشته باشد، نشان دهید که مانده  $f$  در  $z$  عبارت است از  $h(z) = (z - z_0)^2 f(z)$ ، که  $h(z_0) \neq 0$ .

۴. فرض کنیم  $\gamma(t) = e^{it}$  ( $0 \leq t \leq 2\pi$ ) با کمک مانده‌ها، مطلوب است تعیین مقدار

$$\int_{\gamma} \frac{dz}{z^2 az + 1} \quad (a > 1)$$

و با استفاده از آن به محاسبه

$$\int_0^{2\pi} \frac{dt}{a - \cos t}$$

پردازید. اگر  $a < -1$  چه روی می‌دهد؟ اگر  $-1 \leq a \leq 1$ ؟  
۵. موارد زیر را ثابت کنید:

$$\int_0^{\pi} \frac{dt}{1 + b \cos^2 t} = \frac{\pi}{\sqrt{b+1}} \quad (b > -1) \quad (\text{الف})$$

$$\int_0^{\infty} \frac{dx}{1+x^2} = \pi/2\sqrt{2} \quad (\text{ب})$$

$$\int_0^{\infty} \frac{\log x}{1+x^2} dx = 0 \quad (\text{ج})$$

$$\int_{-\infty}^{\infty} \frac{x \sin(\pi x)}{1-x^2} dx = \pi \quad (\text{د})$$

$$\int_0^{\infty} \frac{(\log x)^2}{1+x^2} dx = \pi^2/8 \quad (\text{ه})$$

۶. ثابت کنید:

$$\int_{-\infty}^{+\infty} \frac{(1+x)^2}{(x^2+4)^2(z^2+9)^2} dx = \pi$$

۷. ثابت کنید:

$$\int_0^{\infty} \frac{\cos^{\Delta} x}{x^2+a^2} dx = \frac{\pi}{2a^2} e^{-\Delta a \sqrt{2}} \sin\left(\frac{\Delta a}{\sqrt{2}} + \frac{\pi}{4}\right) \quad (a > 0)$$

۸. مطلوب است محاسبه:

$$\int_0^{2\pi} \cos^r t + \sin^r t dt \quad (\text{الف})$$

$$\int_0^{2\pi} \sin^r t \cdot \cos t + \cos^r t + \sin t dt \quad (\text{ب})$$

$$\int_0^{2\pi} \gamma \cos^r t + \gamma \cos^r t dt \quad (\text{ج})$$

۹. ثابت کنید:

$$\int_0^{2\pi} \exp(\cos t) \cos(nt - \sin t) dt = 2\pi / n! (n \in \mathbb{Z}, n > 0) \quad (\text{الف})$$

$$\int_0^{2\pi} \exp(\cos t) \sin(nt - \sin t) dt = 0 \quad (\text{ب})$$

۱۰. با انتگرال گیری از تابعهای مناسب حول یک نیمدایره، حساب کنید:

$$\int_0^{\infty} \frac{dx}{\sqrt{1+x^2} + x^r} \quad (\text{الف})$$

$$\int_0^{\infty} \frac{\cos mx}{x^r + a^r} dx \quad (a, m > 0) \quad (\text{ب})$$

۱۱. ثابت کنید:

$$\int_0^{\infty} \frac{x^r}{(x^r + a^r)^r} dx = \pi / \Gamma(r) a^r \quad (a > 0)$$

۱۲. با انتگرال گیری حول یک مستطیل که راسهایش در  $R$ ،  $R+i$ ،  $-R+i$ ،  $-R$  هستند و با فرض  $R \rightarrow \infty$ ، نشان دهید که

$$\int_{-\infty}^{\infty} \frac{\cosh(cx)}{\cosh(\pi x)} dx = \sec(c/2) \quad (-\pi < c < \pi)$$

۱۳. ثابت کنید:

$$\int_0^{\infty} t^{a-1}(t+1)^{-1} dt = \frac{\pi}{\sin \pi a} \quad (0 < a < 1)$$

و این کار را با قرار دادن  $t = e^z$  و انتگرالگیری از  $e^z(e^z + 1)^{-1}$  حول مستطیلی به راسهای  $\pm R + \pm \pi i$ ، انجام دهید.

۱۴. (فرمول معکوسی برای تبدیلات لاپلاس). فرض کنیم  $F$  در  $C$  مشتق پذیر باشد به استثنای در تعدادی متناهی از قطبها، که از میان آنها  $z_1, \dots, z_n$  در شرط  $\operatorname{Re} z_r < a$  صدق می کنند. هیچ یک روی خط  $\operatorname{Re} z = a$  قرار ندارند. اگر  $c > 0, b > 0, M > 0$  وجود داشته باشند به طوری که  $|F(z)| < M/|z|^c$  به ازاء  $|z| < b$ ، ثابت کنید:

$$f(t) = \lim_{R \rightarrow \infty} \int_{a-iR}^{a+iR} e^{zt} F(z) dz = \sum_{r=1}^n \operatorname{res}(e^{zt} F(z), z_r)$$

اگر  $(\alpha > 0)$   $F(z) = (\alpha z^\alpha + \alpha^\alpha)^{-1}$ ، نشان دهید که  $f(t) = \sin \alpha t$ .

۱۵. از آنالیز حقیقی برای اثبات نامساوی ژردان استفاده کنید:  $\sin t/t \geq 2/\pi$  به شرط  $0 < t \leq \pi/2$ . و با استفاده از آن نشان دهید که اگر  $S_R(t) = \operatorname{Re} e^{it}$ ، آنگاه

$$\lim_{R \rightarrow \infty} \int_{S_R} e^{imz} / z dz = 0 \quad (m > 0)$$

با انتگرالگیری از  $e^{imz} / z$  در طول کانتورهای  $S_R, \Gamma_\pi, C_\varepsilon, \Gamma_\varepsilon$  با تعریفهای

$$\Gamma_\pi(t) = t \quad (-R \leq t \leq -\varepsilon)$$

$$C_\varepsilon(t) = e^{i(\pi-t)} \quad (0 \leq t \leq \pi)$$

$$\Gamma_\varepsilon(t) = t \quad (\varepsilon \leq t \leq R)$$

فاکتور ناپیوسته دیریکله را ثابت کنید:

$$\int_{-\infty}^{\infty} \frac{\sin mx}{x} dx = \begin{cases} \pi/2 & m > 0 \\ \cdot & m = 0 \\ -\pi/2 & m < 0 \end{cases}$$

۱۶. نشان دهید که

$$z/(e^z - 1) = 1 - \frac{z}{2} + \sum_{n=1}^{\infty} \frac{z^{2n}}{z^{2n} + 4n^2\pi^2} \quad (\text{الف})$$

$$\operatorname{cosec} z = \frac{1}{z} + \sum_{n=1}^{\infty} \frac{(-1)^n}{z^2 - n^2\pi^2} z \quad (\text{ب})$$

$$\operatorname{cosec}^2 z = \sum_{n=-\infty}^{\infty} \frac{1}{(z - n\pi)^2} \quad (\text{ج})$$

۱۷. حاصل جمع هر یک از سری های زیر را به دست آورید ،  $z \notin Z$

$$\sum_{n=-\infty}^{+\infty} (n+a)^{-r} \quad (\text{الف})$$

$$\sum_{n=-\infty}^{\infty} (n^r + a^r)^{-1} \quad (\text{ب})$$

$$\sum_{n=-\infty}^{\infty} (2n+1)^{-r} \quad (\text{ج})$$

$$\sum_{n=-\infty}^{\infty} (-1)^n (2n+1)^{-r} \quad (\text{د})$$

۱۸. با انتگرالگیری از

$$\frac{ze^{ibz}}{(a^2 - z^2)\sin(\pi z)}$$

حول یک کانتور مناسب، نشان دهید که

$$\sum_{n=1}^{\infty} (-1)^n \frac{n \sin bn}{a^2 - n^2} = \frac{\pi}{2} \cdot \frac{\sin bz}{\sin \pi a} \quad (|b| < \pi)$$

۱۹. فرض کنیم  $f(z) = 1/(z - \xi) + 1/z$ ، نشان دهید که اگر  $\xi \notin Z$ ،

$$\pi \cot \pi \xi = \frac{1}{\xi} + \sum_{n=1}^{\infty} 2\xi / (\xi^2 - n^2)$$

۲۰. با به کار گرفتن نتیجه تمرین ۱۹، از  $\pi \cot \pi z$  در طول یک کانتور مناسب انتگرال بگیرید تا ثابت کنید که

$$\log \sin \pi z = \log \pi z + \sum_{n=1}^{\infty} \log(1 - z^2/n^2)$$

که در آن  $\log$  چنان انتخاب شده است که در هر جمله  $\log(1) = 0$  باشد. با در نظر گرفتن توانی ها، بسط ضربی نامتناهی تابع سینوس یعنی

$$\sin \pi z = \pi z \prod_{n=1}^{\infty} (1 - z^2/n^2)$$

را به دست آورید (این بسط نامتناهی به عنوان حد یک حاصلضرب جزئی مناسب، در مقایسه با حاصل جمع های نامتناهی، تعریف می شود).

۲۱. اگر  $|a| > e$ ، قضیه رُوشه را به کار گرفته ثابت کنید معادله

$$e^z = az^n$$

دارای  $n$  ریشه در  $|z| < 1$  است.

۲۲. تعداد صفرهای واقع در درون دایره واحد مربوط به هر یک از بسجمله ای های زیر را بیابید:

$$z^4 - 2z^2 + z^2 - 8z - 2 \quad (\text{الف})$$



$$2z^5 - z^2 + 3z^2 - z + 8 \quad (\text{ب})$$

$$z^2 - 5z + 1 \quad (\text{ج})$$

۲۳. چند صفر بسجمله ای  $z^5 - 4z^2 + 6z^2 - 4z + 3$  درون دایره  $|z-1| < 1$  قرار دارند؟

۲۴. ثابت کنید که  $\varepsilon > 0$  هر اندازه کوچک انتخاب شود، به ازاء همه  $n$  های به اندازه کافی بزرگ همه صفرهای تابع

$$1 + z^{-1} + (2!z^2)^{-1} + (3!z^3)^{-1} + \dots + (n!z^n)^{-1}$$

درون دایره  $|z| < \varepsilon$  قرار دارند.

۲۵. فرض کنیم  $P(z)$  یک بسجمله ای از درجه  $n$  است، و فرض کنیم  $P(z_1) = P(z_2) = 0$ . ثابت کنید که صفری از  $P'(z)$  هست که درون دایره به مرکز

$$\frac{1}{2}(z_1 + z_2) \text{ و شعاع } \frac{1}{4}|z_1 - z_2| \cot(\pi/n) \text{ است.}$$

۲۶. (مانده ها به طور واژگونه). نشان دهید که مانده  $\tan^{p-1} \pi z$  در  $z = \frac{1}{4}$

عبارت است از  $(-1)^{p/2} \pi^{-1}$  که  $p$  عدد صحیحی بزرگتر از صفر است. [ راهنمایی: از آن حول مستطیلی با رئوسهای  $iR, 1+iR, 1-iR, -iR$

انتگرال بگیرید؛ با فرض  $R \rightarrow \infty$  اندازه ها را برآورد کنید. ]

۲۷. نشان دهید که

$$\int_0^{\infty} \frac{\log x}{1+x^2} dx = 0 \quad (\text{الف})$$

$$\int_0^{\infty} \frac{\log x}{(1+x^2)^2} dx = -\frac{\pi}{4} \quad (\text{ب})$$

# فصل سیزدهم

## تبدیلات همدیس

در ریاضیات، معمولاً توابعی را مورد استفاده قرار می‌دهیم که آن ساختار، بخصوصی را که مورد علاقه‌ی ماست حفظ می‌کنند. مثلاً، در هندسه‌ی اقلیدسی، حرکتهای صلب، حافظ طول و زاویه هستند؛ تغییر مقیاس، شکل (ولی نه اندازه‌ی) اشکال هندسی را تغییر می‌دهد؛ یا همومورفیسم گروهها، ضرب گروه را حفظ می‌کند. بعکس، اگر خانواده‌ای از توابع جالب توجه در دست باشد، می‌توانیم از خود پرسیم که این توابع، چه ساختاری از ریاضی را حفظ می‌نمایند؟ در این فصل، به خاصیتی می‌پردازیم که توسط تمام توابع تحلیلی (یعنی، مشتق‌پذیر) حفظ می‌شود، و آن، زاویه‌ی بین منحنی‌ها است. توابعی را که دارای این خاصیت هستند، «همدیس»<sup>۱</sup> می‌خوانند.

خاصیت همدیس بودن را در دو جهت می‌توان به کار برد. می‌توان با مطالعه‌ی توابع مشتق‌پذیر، قضایایی را درباره‌ی منحنی‌ها اثبات کرد؛ نیز می‌توان با بررسی منحنی‌ها، احکامی را درباره‌ی توابع مشتق‌پذیر نتیجه گرفت. فن اخیر در نظریه‌ی پیشرفته‌ی «هندسی» توابع مشتق‌پذیر از اهمیت زیادی برخوردار است، اما تنها رهبافت نخست در محدوده‌ی بحث ما می‌گنجد. این روش، کاربردهای جالب توجهی در نظریه‌ی پتانسیل و دینامیک شاره‌ها دارد، و ما نیز

---

1. Conformal

نقطه‌ی آغاز آنها را بیان خواهیم کرد. همچنین، چند تابع همدیس خاص و جالب را، با قدری تفصیل مورد بررسی قرار خواهیم داد؛ بخصوص «نگاشتهای مویوس» را، که واجد این خاصیت جالب توجه هستند که دایره را به دایره می‌نگارند.

### ۱. اعداد حقیقی به هنگ $2\pi$

استفاده از اعداد حقیقی برای بیان اندازه‌ی یک زاویه، یک نقطه‌ی ضعف دارد و آن این است که اعداد مختلفی به یک زاویه‌ی معین متناظر می‌شوند. با این حال، می‌دانیم که اگر  $\phi, \theta$  دو عدد حقیقی باشند که  $\pi$  دو مبین یک زاویه واحد باشند، در این صورت  $\theta - \phi$  مضرب صحیحی از  $2\pi$  است، و برعکس. بنابراین، مسأله خیلی هم پیچیده نیست. برای اجتناب از این مشکل، در بسیاری از موارد، کافی است قرارداد مناسبی را بپذیریم، از قبیل این که  $-\pi < \arg(z) \leq \pi$ . در موارد دیگر، مناسب‌تر است که زوایا را با روشی طبیعی و واضح اندازه‌گیری کنیم، اگر چه این روش کمتر از اعداد حقیقی برای ما آشنا است.

اگر  $x, y \in \mathbb{R}$ ، می‌گوییم  $y, x$  همنهشت به پیمانانه  $2\pi$  هستند، و می‌نویسیم:

$$x \equiv y \pmod{2\pi}$$

اگر عددی صحیح مانند  $n$  وجود داشته باشد به قسمی که  $x - y = 2n\pi$ . همنهشتی به پیمانانه  $2\pi$  یک رابطه‌ی هم‌ارزی است، لذا  $R$  را به رده‌های هم‌ارزی دو به دو مجزا افراز می‌کند. مجموعه‌ی تمام این رده‌های هم‌ارزی را با

$$R/2\pi$$

نشان می‌دهیم. به ازای هر  $x \in R$ ، فرض کنید  $P(x)$  آن رده هم‌ارزی‌ای باشد که  $x$  به آن تعلق دارد. بدین ترتیب تابعی مانند:

$$p : R \rightarrow R/2\pi$$

تعریف می شود و داریم:

$$p(x) = \{x + 2n\pi : n \in \mathbb{Z}\}$$

اگر اندازه‌ی زاویه‌ای مفروض با عدد حقیقی  $\theta$  بیان شده باشد، در این صورت اندازه‌ی همین زاویه را، می توان با هر عدد حقیقی به شکل  $\theta + 2n\pi (n \in \mathbb{Z})$ ، و تنها با این اعداد، به جای آنکه یکی از این اعداد را برگزینیم، می توانیم زاویه را با همه‌ی این گردآیه یعنی  $p(\theta)$  نمایش دهیم. به عبارت دیگر، اندازه‌ی طبیعی یک زاویه، نه عضوی از  $\mathbb{R}$ ، بلکه عضوی از  $\mathbb{R}/2\pi$  است.

مثلاً، اعداد حقیقی

$$\dots, -11\pi/3, -5\pi/3, \pi/3, 7\pi/3, 13\pi/3, \dots$$

همگی یک زاویه‌ی واحد را نشان می دهند، در حالی که مجموعه‌ی

$$\{ \dots, -11\pi/3, -5\pi/3, \pi/3, 7\pi/3, 13\pi/3, \dots \}$$

تنها عضو  $\mathbb{R}/2\pi$  است که با آن زاویه متناظر است.

بهترین شیء هندسی برای تجسم  $\mathbb{R}/2\pi$ ، دایره است. برای بیان واضح تر، نگاهیست

$$q: \mathbb{R} \rightarrow \mathbb{C}$$

را با

$$q(x) = e^{ix} \quad (x \in \mathbb{R})$$

تعریف می کنیم. تصویر  $q$  واحد  $S \subseteq \mathbb{C}$  است. از آنجا که  $e^{2\pi i} = 1$  است، براحتی می توان دریافت که  $q(x) = q(y)$  اگر و فقط اگر  $x \equiv y \pmod{2\pi}$ ، و لذا

$$q(x) = q(y) \Leftrightarrow p(x) = p(y) \quad (1)$$

$$j: R/2\pi \rightarrow S$$

را به این صورت تعریف کنیم: اگر  $r \in R/2\pi$ ، آنگاه به ازای  $x \in R$  در  $r = p(x)$ ، اکنون قرار می‌دهیم:

$$j(r) = q(x)$$

بنابر (۱)، این تعریف مستقل از انتخاب  $z \in R$  می‌باشد، و زدو سویی است، بدین ترتیب عناصر  $R/2\pi$  در تناظری یک به یک و طبیعی با نقاط دایره قرار می‌گیرند.

می‌گوییم تابع  $f: X \rightarrow R/2\pi$ ، که در آن  $x \subseteq C$ ، پیوسته است، اگر و فقط اگر تابع مرکب  $z \circ f: x \rightarrow S$ ، به مفهوم عادی پیوسته باشد. اگر  $R/2\pi$  را به مثابه  $y$  یک دایره در نظر بگیریم، این تعریف، با نظریهٔ شهودی پیوستگی هندسی سازگار خواهد بود. (با بیان توپولوژیک: می‌توانیم با استفاده از  $q$ ، توپولوژی معمولی را از  $S$  به  $R/2\pi$  القاء کنیم، بدین ترتیب که  $G \subseteq R/2\pi$  را باز بخوانیم، اگر و فقط اگر،  $q(G)$  در  $S$  باز باشد. پیوستگی نگاشتی چون  $f: x \rightarrow R/2\pi$  در این توپولوژی، معادل است با تعریفی که در بالا آمد.)

همچنین می‌توانیم جمع و تفریق اعضای  $R/2\pi$  را متناظر با جمع و تفریق هندسی زوایا، تعریف کنیم. فرض کنید  $r, s \in R/2\pi$ .  $x, y \in R$  را چنان انتخاب کنید که  $P(x) = r$  و  $P(y) = s$  شود. اکنون قرار دهید

$$r + s = p(x + y)$$

$$r - s = p(x - y)$$

طبق معمول، می‌توان تأیید کرد که این تعریفها به انتخاب  $x, y$  بستگی ندارند. (با بیان نظریه گروهها: مجموعه  $G = \{2n\pi : n \in Z\}$  زیر گروهی از گروه جمعی اعداد حقیقی است، بنابراین این یک زیر گروه نرمال آن است، زیرا گروه اخیر، آبدلی

است. به عنوان مقایسه، مفهوم اعداد صحیح به هنگ  $n$ ،  $z_n$  را در نظر بگیرید.  $Z_n$ ، گروه خارج قسمت  $Z/H$  است، که در آن  $H = \{kn : k \in Z\}$  می شود. در  $Z_n$  می توانیم ضرب را نیز تعریف کنیم. خواننده باید برای خود روشن کند که این کار در  $R/2\pi$  عملی نیست، زیرا  $2\pi$  عدد صحیحی نیست. اکنون می توانیم برای هر  $z \in C \setminus \{0\}$ ، گونه ای «به هنگ ۲» ای از  $\arg(z)$  را تعریف کنیم، به این ترتیب که

$$\text{arc}(z) = p(\arg(z)) \in R/2\pi$$

این نماد عمداً طوری انتخاب شده است که شبیه به «arg» باشد، و در ضمن مفهوم زاویه را به ذهن متبادر کند. «arc» از دو جنبه بر «arg» مزیت دارد. نخست آنکه هیچ ابهامی ندارد. جنبه ی دوم، و مهم تر، این که:

$$\text{arc} : C \setminus \{0\} \rightarrow R/2\pi$$

تابعی پیوسته است. این مطلب در مورد  $\arg$  درست نیست، زیرا، به دلیل این قرارداد که  $-\pi < \arg(z) \leq \pi$ ، هنگامی که  $z$  از بخش منفی محور حقیقی عبور کند،  $\arg(z)$  از نزدیکی  $\pi$  به نزدیکی  $-\pi$  می جهد. اما از آنجا که  $p(-\pi) = p(\pi)$ ، این نقص در  $\text{arc}$  دیگر وجود ندارد. در واقع، اگر  $z = re^{i\theta}$ ،  $r > 0$ ، آنگاه  $z(\text{arc}(z)) = e^{i\theta}$  چه با استفاده از این نکته، و چه به طور مستقیم می توان براحتی نشان داد که به ازای هر  $z_1, z_2 \in C \setminus \{0\}$  داریم:

$$\text{arc}(z_1 z_2) = \text{arc}(z_1) + \text{arc}(z_2) \quad (2)$$

باز، اگر به جای  $\text{arc}$ ،  $\arg$  را به کار ببریم، این تساوی تنها در حد مضارب صحیح  $2\pi$  درست خواهد بود.

بدین ترتیب، برای نشان دادن یک زاویه، دو راه مختلف وجود دارد:

یکی متناظر کردن زاویه با عضوی منحصر به فرد از  $R/2\pi$ ، یعنی رده‌ی هم ارزی اعداد حقیقی به هنگ  $2\pi$ ، و دیگری متناظر کردن آن با یک عدد حقیقی که از آن رده‌ی هم ارزی برگزیده شده است، و تنها در حد مضارب صحیح  $2\pi$  منحصر به فرد است. بهتر است که در موارد مناسب، بیان خود را از یکی از این دو روش به دیگری منتقل کنیم، چنانکه در برهان نتیجه بعدی چنین خواهیم کرد.

لم ۱۳-۱. اگر  $\gamma: [a, b] \rightarrow C$  یک مسیر، و به ازای یک  $t \in [a, b]$ ،  $\gamma'(t)$  موجود و مخالف صفر باشد، آنگاه  $\gamma$  در  $\gamma(t)$  مماسی دارد که با محور حقیقی زاویه‌ی  $\text{arccy}'(t)$  می‌سازد.

**برهان.** فرض کنید  $\gamma(t) = x(t) + iy(t)$ . در این صورت زاویه‌ی مورد بحث،  $\theta$ ، متعلق به رده‌های هم ارزی به پیمانه  $2\pi$  زاویه‌ی

$$\begin{aligned} & \tan^{-1}(y'(t)/x'(t)) \\ &= \arg(x'(t) + iy'(t)) \\ &= \arg y'(t) \end{aligned}$$

و لذا، با مراجعه به رده‌های هم ارزی، به دست می‌آید:

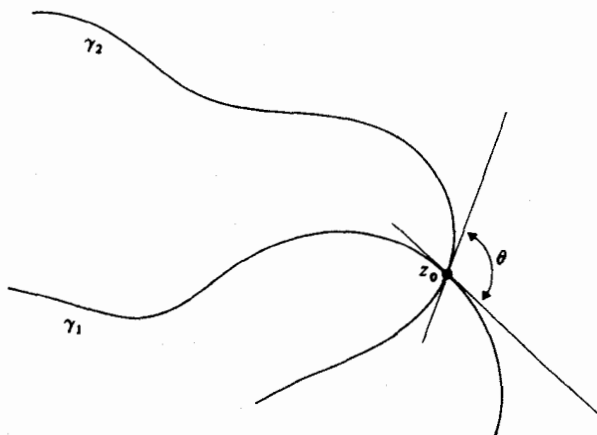
$$\theta = \text{arccy}'(t)$$

(از این پس گذار از  $R$  به  $R/2\pi$  و بالعکس را با صراحت کمتری ذکر خواهیم کرد.)

اگر  $\gamma_1, \gamma_2$  دو مسیر باشند که در  $z = \gamma_1(t_1) = \gamma_2(t_2)$  با هم برخورد می‌کنند، و  $\gamma_1(t_1) \neq \gamma_2(t_2)$ ؛  $\gamma_1(t_1) \neq \gamma_2(t_2)$  (در  $z$ ) را با عبارت

$$\theta = \text{arccy}'_2(t_2) - \text{arccy}'_1(t_1) \in R/2\pi$$

تعریف می‌کنیم (شکل ۱۳-۱).



شکل (۱-۱۳)

## ۲. تبدیلات هم‌مدیس

در این بخش توابعی مانند  $f: S \rightarrow C$  را در نظر می‌گیریم، که  $S \subseteq C$  یک حوزه است. بجا است دو نسخه‌ی  $C$  را از هم تمیز دهیم. بدین منظور  $(x, y)$  را به عنوان مختصات در  $S$ ، و  $(u, v)$  را به عنوان مختصات در فضای تصویر،  $C$ ، به کار می‌بریم. مطابق معمول قرار می‌دهیم  $z = x + iy$  و  $w = u + iv$ . در این صورت اگر  $f$  روی  $S$  دیفرانسیل پذیر باشد، داریم:

$$f(x + iy) = u(x, y) + iv(x, y)$$

که در آن  $u$  و  $v$  توابعی هستند با مقدار حقیقی از دو متغیر حقیقی  $x, y$ . بدین ترتیب،  $f$  تابعی از زیر مجموعه‌ی  $S$  صفحه‌ی  $(x, y)$ ، به نوی صفحه‌ی  $(u, v)$  تعریف می‌کند. مسیری مانند  $\gamma$  در  $S$  با ضابطه‌ی

$$\gamma(t) = x(t) + iy(t) \quad (a \leq t \leq b)$$



به وسیله ی  $f$ ، به مسیر

$$f\gamma(t) = u(x(t), y(t)) + iv(x(t), y(t)) \quad (a \leq t \leq b)$$

در صفحه ی  $(u, v)$  نگاشته می شود.

فرض کنید که به ازای مقداری چون  $t \in [a, b]$ ؛  $z = \gamma(t)$  و  $\gamma'(t) \neq 0$  باشد.

در این صورت

$$\begin{aligned} (f\gamma)'(t) &= f'(y(t))\gamma'(t) \\ &= f'(z)\gamma'(t) \end{aligned}$$

می شود و لذا بنا بر (۲)،

$$\begin{aligned} \text{arc}\left((f\gamma)'(t)\right) &= \text{arc}\left(f'(z)\gamma'(t)\right) \\ &= \text{arc}\left(f'(z)\right) + \text{arc}\left(\gamma'(t)\right) \end{aligned} \quad (۳)$$

بدین ترتیب اگر  $\gamma_1, \gamma_2$  دو مسیر باشند که از  $z$  می گذرند، مثلاً  $\gamma_1(t_1) = z = \gamma_2(t_2)$ ، معلوم می شود که  $f\gamma_1, f\gamma_2$  همان زاویه ای را با هم می سازند که  $\gamma_1, \gamma_2$ ، این حکم از لحاظ هندسی واضح است زیرا رابطه ی (۳) می گوید که هر دو خط مماس، به اندازه ای زاویه ی  $\text{arc}\left(f'(z)\right)$  گردش کرده اند. به طور تحلیلی می توان چنین محاسبه کرد:

$$\begin{aligned} &\text{arc}\left((f\gamma_1)'(t_1)\right) - \text{arc}\left((f\gamma_2)'(t_2)\right) \\ &= \text{arc}\left(f'(z)\right) + \text{arc}\left(\gamma_1'(t_1)\right) \\ &\quad - \text{arc}\left(f'(z)\right) + \text{arc}\left(\gamma_2'(t_2)\right) \\ &= \text{arc}\left(\gamma_1'(t_1)\right) - \text{arc}\left(\gamma_2'(t_2)\right) \end{aligned}$$

تابع  $f: S \rightarrow C$  را که زاویه ی بین مسیرها دو نقطه ی  $z$  را حفظ می کند،

همدیس در  $z$  می خوانیم. اگر  $f$  در تمام نقاط  $z \in S$  همدیس باشد، آن را همدیس می خوانیم. عبارات توابع همدیس، نگاشتهای همدیس و تبدیلات همدیس هر سه به یک مفهوم اشاره دارند. عبارت سوم، تاریخی، عبارت دوم، سهل، و اولی، در توافق با اصطلاحات رایج در زمان ما است. مزیت اصطلاح سوم در تأکیدی است که بر چگونگی تبدیل مسیرها و دیگر اشکال هندسی، تحت تاثیر تابع  $f$ ، می کند. ثابت کردیم که:

**قضیه ۱۳-۱.** گیریم  $f: S \rightarrow C$  دیفرانسیل پذیر باشد. در این صورت  $f$  در هر نقطه ای مانند  $z \in S$ ، که  $f'(z) \neq 0$ ، همدیس است.

اگر  $f'(z) = 0$ ، آنگاه چنین نیست که  $f$  در  $z$  همدیس باشد. مثلاً اگر  $f(z) = z^2$ ، آنگاه نیمه ی مثبت محور حقیقی، و نیمه ی «مثبت» محور موهومی (از  $0$  به  $i$  و ادامه) محور موهومی، به ترتیب به نیمه ی مثبت و نیمه ی منفی محور حقیقی تبدیل می شوند. در ابتدا، این دو مسیر با زاویه ی  $\pi/2$  به یکدیگر می رسند، اما پس از تبدیل، زاویه ی بین آنها به  $\pi$  تغییر می کند. در واقع، اگر  $z$  یک صفر مرتبه ی  $m$  برای  $f'$  باشد، آنگاه زاویه ی بین مسیرهایی که در  $z$  به هم می رسند، پس از تبدیل تحت  $f$ ، در  $m+1$  ضرب می شود.

می توانیم اندکی اطلاعات درباره ی تاثیر  $f$  بر طول نیز کسب کنیم. اگر  $z \in C$  و  $z$ ، و  $f$  در  $z$  دیفرانسیل پذیر باشد، نسبت فاصله ی بین  $f(z)$ ،  $f(z)$  و فاصله ی بین  $z$  و  $z$  عبارت است از:

$$\frac{|f(z) - f(z)|}{|z - z|} = \left| \frac{f'(z)}{z - z} \right|$$

که با  $z \rightarrow z$  به  $|f'(z)|$  میل می کند. بنابراین در نزدیکی  $z$ ، فواصل نقاط در  $|f'(z)|$  ضرب می شوند. ممکن است چند مثال خاص به روشن تر شدن تحلیل بالا کمک کند.

**مثال ۱.**  $f(z) = z^2$

داریم:

$$u(x,y) + iv(x,y) = (x + iy)^2$$

$$= (x^2 - 3xy^2) + i(3x^2y - y^3)$$

بنابراین

$$u(x, y) = x^2 - 3xy^2$$

$$v(x, y) = 3x^2y - y^3$$

مسیرهای

$$y_1(t) = 1 + it$$

$$y_2(t) = it + 1$$

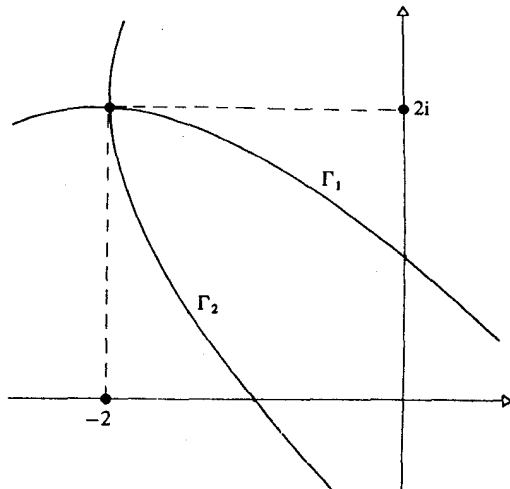
را در نظر بگیرید، که به ترتیب خطوط  $x=1$  و  $y=1$  هستند و لذا یکدیگر را با زاویه ی قائمه قطع می کنند. مسیرهای  $\Gamma_1 = f\gamma_1$ ,  $\Gamma_2 = f\gamma_2$  با ضوابط

$$\Gamma_1(t) = (1 - 3t^2) + i(3t - t^3)$$

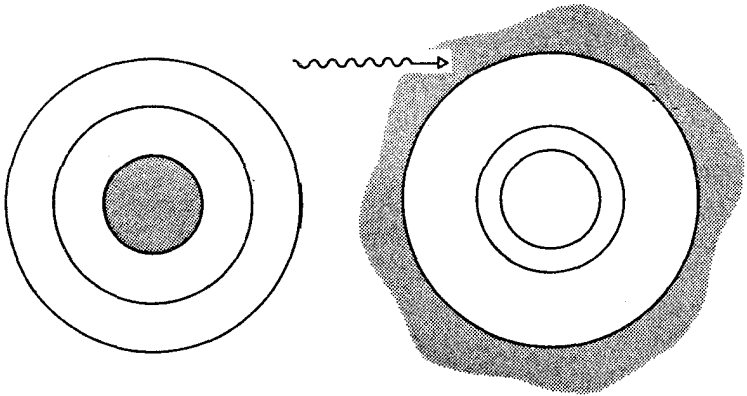
$$\Gamma_2(t) = (t^2 - 3t) + i(3t^2 - 1)$$

مشخص می شوند، اگر این دو منحنی را ترسیم کنیم، شکل ۱۳-۲ به دست می آید.

اکنون،  $\Gamma_1, \Gamma_2$  در نقطه ی  $(-z, z)$  یکدیگر را با زاویه ی قائمه قطع می کنند.



شکل (۱۳-۲)



شکل (۱۳-۳)

مثال ۲.  $f(z) = 1/z$

این بار

$$u(x,y) = x/(x^2 + y^2)$$

$$v(x,y) = -y/(x^2 + y^2)$$

اگر  $C$  مقداری حقیقی و مثبت باشد، دایره‌ی

$$y_c(t) = ce^{it} \quad (0 \leq t \leq 2\pi) \quad (۴)$$

به منحنی

$$\Gamma_c(t) = c^{-1} e^{-it} \quad (0 \leq t \leq 2\pi) \quad (۵)$$

تبدیل می‌شود. بنابراین خانواده‌ی دایره‌ی هم مرکز (۴) هنگامی که  $C$  تغییر می‌کند، به خانواده‌ی دایره‌ی هم مرکز (۵) نگاشته می‌شود. با این حال، نقاط درونی دایره (۴)، به نقاط برون دایره (۵) نگاشته می‌شوند (شکل ۱۳-۳).

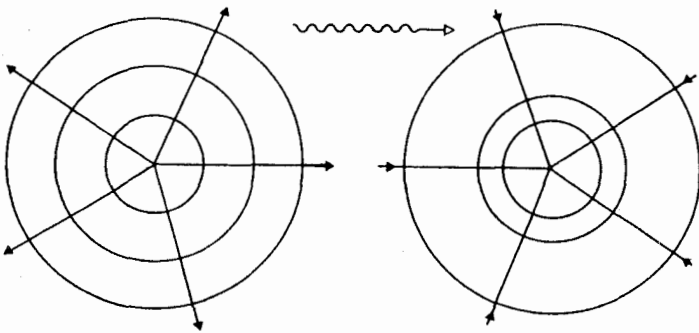
بعلاوه، خطوط  $x = ky$  ( $k \in \mathbb{R}$ ) که از مبدأ می‌گذرند، با ضابطه‌ی

$$\delta_k(t) = t + kit$$

قابل بیان هستند، و به منحنی های

$$\Delta_k(t) = (t + kit)^{-1} = \frac{1}{1+k^2} \left( \frac{1}{t} \right) + \frac{ik}{1+k^2} \left( \frac{1}{t} \right)$$

تبدیل می شوند، که باز هم نشان دهنده ی خطوطی است که از مبدأ می گذرند اکنون،  $\Delta_k, \Gamma_c$ ، و نیز  $\delta_k, \gamma_c$  یکدیگر را با زاویه ی قائمه قطع می کنند. (شکل ۴-۱۳)



شکل (۴-۱۳)

مثال ۳.  $f(z) = \sin(z)$

داریم:

$$u(x,y) = \sin(x) \cosh(y)$$

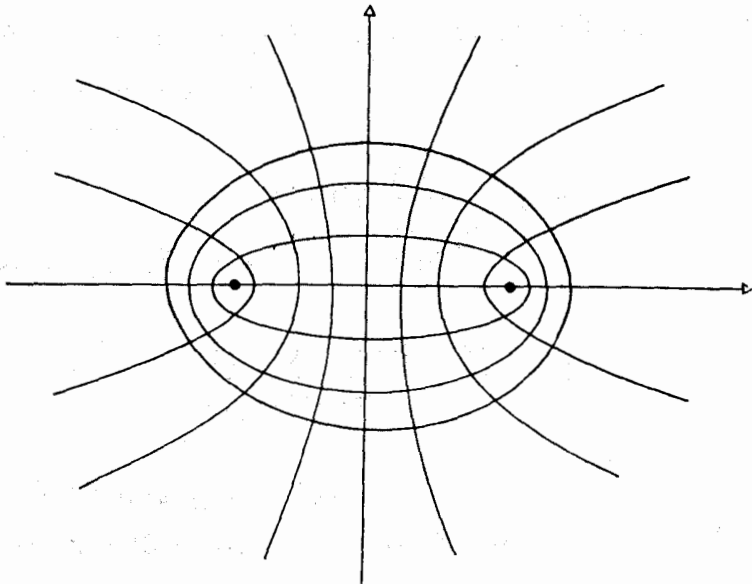
$$v(x,y) = \cos(x) \sinh(y)$$

از تبدیل خطوط  $x = c (c \in \mathbb{R})$ ، هذلولی های هم کانون

$$\frac{u^2}{\sin^2(c)} - \frac{v^2}{\cos^2(c)} = 1$$

حاصل می شوند، و از تبدیل خطوط  $y = d (d \in \mathbb{R})$ ، بیضی های هم کانون

$$\frac{u^2}{\cosh^2(d)} + \frac{v^2}{\sinh^2(d)} = 1$$



شکل (۵-۱۳)

(شکل ۵-۱۳). این دو دسته خط یکدیگر را با زاویه ی قائمه قطع می کنند، بنابراین دو دسته مقاطع مخروطی نیز چنین می کنند (مگر در نقاطی که  $f'(z) = 0$  می شود، یعنی در نقاطی که  $f(z) = \pm 1$ ).

### ۳. نگاشت های مویوس<sup>۱</sup>

اگر  $a, b, c, d \in \mathbb{C}$  اعداد ثابتی باشند و شرط  $ad - bc \neq 0$  را برآورند،

تابع

$$f(z) = \frac{az + b}{cz + d}$$

را نگاشت مویوس (دوخطی) می خوانند. این گونه نگاشتها خواص مهمی دارند، که ما برخی از آنها را ذکر می کنیم.

نخست، توجه کنید که  $f(z)$  به ازای  $z \neq -d/c$  مشتق پذیر است، و  $f'(z) = (ad - bc)/(cz + d)^2 \neq 0$  می شود. صفر نبودن مشتق، با شرط  $ad - bc \neq 0$  تضمین شده است. بنابراین،  $f$  روی حوزه ی تعریف خود، یعنی  $C \setminus \{-d/c\}$  همدیس است.

اکنون فرض کنید که

$$g(z) = \frac{Az + B}{Cz + D} \quad (AD - BC \neq 0)$$

نگاشت مویوس دیگری باشد. در این صورت تابع مرکب

$$gf(z) = \frac{(Aa + Bc)z + (Ab + Bb)}{(Ca + Dc)z + (Cb + Dd)}$$

نیز یک نگاشت مویوس است، زیرا

$$(Aa + Bc)(Cb + Dd) - (Ab + Bb)(Ca + Dc) = (AD - BC)(ad - bc) \neq 0$$

بنابراین از ترکیب دو نگاشت مویوس، نگاشت مویوس سوم حاصل می شود. یک خاصیت قابل توجه و مهم این گونه نگاشتها این است که هر دایره (با خط راست) را، به یک دایره (یا خط راست) می نگارند. اجازه دهید برای صرفه جویی در متن، توافق کنیم که در این بخش، واژه ی «دایره» هم بر دایره وهم بر خط راست دلالت کند. اکنون فرض کنید  $k \neq 0$ ،  $p \neq q$ ،  $piq \in C$ ، معادله ی

$$\frac{|z - p|}{|z - q|} = k \quad (6)$$

به ازای تمام نقاطی که نسبت فاصله ی هر یک از آنها از  $p$ ،  $k$  برابر فاصله از  $q$  است، از هندسه اقلیدسی می دانیم، و می توان به کمک مختصات این را تصدیق کرد، که اگر  $k \neq 1$ ، این نقاط بر یک دایره قرار دارند، و اگر  $k = 1$ ، بر یک خط راست.

در اینجا برهانی سریع الوصول را ارائه می کنیم. می توانیم دستگاه مختصات را چنان در صفحه بنا کنیم که  $p$  نقطه  $(0, 0)$  و  $q$   $(1, 0)$  باشد. اگر  $(x, y)$  نقطه ای باشد به فاصله  $k$  از  $p$  و به فاصله  $d$  از  $q$ ، در این صورت:

$$\sqrt{x^2 + y^2} = k\sqrt{(x-0)^2 + y^2}$$

بنابراین

$$x^2 + y^2 = k^2(x^2 + y^2 - 2x + 1)$$

که ایجاب می کند:

$$\left(x - \frac{k^2}{k^2 - 1}\right)^2 + y^2 + \frac{k^2}{k^2 - 1} - \left(\frac{k^2}{k^2 - 1}\right)^2 = 0$$

و رابطه ی اخیر، معادله ی یک دایره است.  
اگر قرار دهیم:

$$w = f(z) = \frac{az + b}{cz + d} \quad (ad - bc \neq 0)$$

بسادگی می توان ملاحظه کرد که

$$z = \frac{-dw + b}{cw + a}$$

اکنون رابطه ی (۶) به صورت

$$\left| \frac{\frac{-dw + b}{cw - a} - p}{\frac{-dw + b}{cw - a} - q} \right| = k$$

در می آید، که پس از ساده کردن، نتیجه می شود:

$$\left| \frac{w - P}{w - Q} \right| = K \quad (7)$$



$$P = (b + pa)/(d + pc)$$

$$Q = (b + qa)/(d + qc)$$

$$K = k \left| \frac{d + qc}{d + pc} \right|$$

بنابراین (۷) نیز نمایش دهنده‌ی یک دایره است. پس ثابت شد که نگاشت مویوس  $f$ ، دایره را به دایره تبدیل می‌کند.

محاسبات فوق، اگر چه ادعای مورد نظر را تأیید می‌نماید ولی به اندازه‌ی کافی آموزنده نیست. رهیافت ذیل این نقص را برطرف می‌کند. چند نوع خاص از نگاشتهای مویوس، و بخصوص انواع ساده‌ی آن را در نظر می‌گیریم، و نشان می‌دهیم که هر نگاشت مویوس دلخواهی را می‌توان از ترکیب این انواع ساده به دست آورد. این مطلب، با توجه به خاصیت ترکیب پذیری نگاشتهای مویوس، که قبلاً ذکر شد، نباید عجیب به نظر برسد. این رهیافت، شبیه به این واقعیت شناخته شده است که هر تبدیل صلب در فضای اقلیدسی (دو بُعدی) را می‌توان ترکیبی از یک انتقال، یک دوران، و یک انعکاس دانست. اکنون کار را با بررسی انواع خاص آغاز می‌کنیم.

**(الف) انتقال:**  $w = z + k (k \in \mathbb{C})$ . این تبدیل، از لحاظ هندسی معادل است با اینکه هر نقطه‌ی صفحه را به اندازه‌ی  $\operatorname{re}(k)$  به سمت راست و به اندازه‌ی  $\operatorname{im}(k)$  به طرف بالا حرکت دهیم. واضح است که تحت این تبدیل، ظاهر اشکال هندسی بلا تغییر می‌ماند.

**(ب) دوران:**  $w = e^{i\theta}z (\theta \in \mathbb{R})$ . تمام نقاط صفحه، به اندازه‌ی زاویه‌ی  $\theta$  حول مبدأ دوران می‌کنند.

**(پ) بزرگنمایی:**  $w = hz (h > 0)$ . این تبدیل موجب تغییر مقیاس می‌شود (اگر  $h < 1$  باشد، این تبدیل به جای بزرگ کردن اشکال آنها را کوچک می‌کند. اما دقت در این نکته، بی‌اهمیت است)، لذا هر شکل هندسی را به شکلی متشابه با آن می‌نگارد.

**(ت) انعکاس:**  $w = 1/z$ . طرفداران «هندسی‌ی انعکاسی»، که اکنون دیگر از مد افتاده است، این تبدیل را متناظر با «انعکاس هندسی» می‌یابند. یک خاصیت

معروف انعکاس هندسی این است که دایره را به دایره می‌نگارد. با این حال ممکن است دایره به خط، یا خط به دایره تبدیل شود. سایر خوانندگان باید این مطلب را از طریق محاسباتی، نظیر محاسبات کلی تری که قبلاً دیدیم، بیازمایند. اکنون می‌توانیم بیان کنیم که:

**قضیه ۱۳-۲.** هر نگاشت موبیوسی را می‌توان از ترکیب یک انتقال، یک انعکاس، یک بزرگنمایی، یک دوران، و یک انتقال دیگر به دست آورد (بر حسب مورد، ممکن است برخی از این تبدیلات را حذف نمود). **پرهان.** با فرض  $a, b, c, d \in \mathbb{C}$ ،  $ad - bc \neq 0$  و  $c \neq 0$ ، تعریف کنید:

$$t_1(z) = z + d/c \quad (\text{انتقال})$$

$$j(z) = 1/z \quad (\text{انعکاس})$$

$$m(z) = \left| \frac{ad - bc}{c^2} \right| z \quad (\text{بزرگنمایی})$$

$$r(z) = \frac{ad - bc |c|^2}{|ad - bc| c^2} z \quad (\text{دوران})$$

$$t_2(z) = z + a/c \quad (\text{انتقال})$$

آزمون اینکه

$$t_2 \circ m \circ j \circ t_1(z) = \frac{az + b}{cz + d}$$

سراسر است، اگر  $c = 0$ ، تعریف کنید:

$$t_1(z) = z + b/a \quad (\text{انتقال})$$

$$m(z) = \left| \frac{a}{d} \right| z \quad (\text{بزرگنمایی})$$

$$r(z) = \frac{a}{d} \left| \frac{d}{a} \right| z \quad (\text{انعکاس})$$

(با توجه به اینکه  $ad - bc \neq 0$ ، از  $c = 0$  نتیجه می شود که  $ad \neq 0$ ، لذا  $b \neq 0, c \neq 0$ .) اکنون

$$\text{rmt}_1(z) = \frac{az + b}{cz + d}$$

نتیجه ۱۳-۳. تمام نگاشتهای موبیوس، دایره را به دایره می نگارند.

برهان. هر یک از چهار نوع تبدیل خاص، بوضوح دایره را به دایره می نگارد. اکنون قضیه ی ۱۳-۲ را به کار برید.

نگاشتهای  $f: C \rightarrow C$  دیگری هم وجود دارند که دایره را به دایره می نگارند؛ مثلاً تزویج مختلط یکی از این نگاشتها است (و البته تحلیلی نیست). قضیه ای از کاراتشودوری حاکی از این است که هر چنین نگاشستی، یا یک یک نگاشت موبیوس است و یا حاصل ترکیب یک نگاشت موبیوس با تزویج مختلط، در این قضیه هیچ فرضی مبنی بر مشتق پذیری مورد نیاز نیست.

#### ۴. نظریه ی پتانسیل

معادله ی لاپلاس دو بُعدی

$$\frac{\partial^2 \phi}{\partial x^2} + \frac{\partial^2 \phi}{\partial y^2} = 0$$

با تابع مجهول  $\phi(x, y)$  در نظریه پتانسیل اهمیت دارد. نظریه ی پتانسیل، بخصوص در دینامیک شاره ها کاربرد دارد. همانطور که ذیلاً روشن خواهد شد، این معادله ارتباط تنگاتنگی با نظریه ی توابع مختلط دارد. فرض کنید  $f: S \rightarrow C$  مشتق پذیر باشد، و  $z = x + iy$

$$f(z) = u(x, y) + iv(x, y)$$

در این صورت، همانطور که در بخش ۲.۴ دیدیم:

$$f'(z) = \frac{\partial u}{\partial x} + i \frac{\partial v}{\partial x} = \frac{\partial v}{\partial y} - i \frac{\partial u}{\partial y}$$

بنابر قضیه ۱۰-۳،  $f''$  روی تمامی  $S$  وجود دارد. اگر قرار دهیم  $f'(z) = U + iV$ ، معادلات کوشی ریمان (بخش ۲.۴) نشان می دهند که

$$\frac{\partial U}{\partial x} = \frac{\partial V}{\partial y}, \frac{\partial V}{\partial x} = -\frac{\partial U}{\partial y}$$

از طرفی

$$U = \frac{\partial u}{\partial x} = \frac{\partial v}{\partial y}, V = \frac{\partial v}{\partial x} = -\frac{\partial u}{\partial y}$$

و نتیجه می گیریم:

$$\frac{\partial^2 u}{\partial x^2} = \frac{\partial}{\partial x} \left( \frac{\partial u}{\partial x} \right) = \frac{\partial U}{\partial x} = \frac{\partial V}{\partial y} = -\frac{\partial}{\partial y} \left( \frac{\partial u}{\partial y} \right) = -\frac{\partial^2 u}{\partial y^2}$$

بدین ترتیب،  $u(x, y)$  در معادله ی لاپلاس صدق می کند. به طور مشابه،  $v(x, y)$  نیز چنین می کند.

برای مثال، تابع  $f(z) = ze^z$  را در نظر بگیرید. در اینجا

$$u(x, y) = xe^x \cos(y) - ye^x \sin(y)$$

$$v(x, y) = ye^x \cos(y) + xe^x \sin(y)$$

و می توان مستقیماً امتحان کرد که این دو تابع، معادله ی لاپلاس را بر می آورند. هر جواب معادله ی لاپلاس را یک تابع همساز یا پتانسیل می خوانند. یک جفت تابع مانند  $u$  و  $v$ ، که همانند بالا از یک تابع مشتق پذیر  $f$  به دست آیند، مزدوج همساز نامیده می شوند.

اکنون خطوط  $u = \text{constant}$  و  $v = \text{constant}$  در صفحه ی  $(u, v)$

متعامد (دو به دو عمود بر هم) هستند. و لذا بنابر همدیس بودن  $f$ ، خطوط

$$u(x, y) = \text{constant}$$

$$v(x, y) = \text{constant}$$

نیز در صفحه ی  $(x, y)$  متعامداند. در نظریه ی پتانسیل، اگر  $u$  تابعی همساز باشد، خطوط  $u(x, y) = \text{constant}$ ، خطوط هم پتانسیل، و مجموعه ی منحنی های متعامد  $v(x, y) = \text{constant}$ ، خطوط جریان خوانده می شوند. در صورتی که شار یک شار را با معادله ی لاپلاس توصیف کرده باشیم، خطوط جریان، مسیرهایی را نشان می دهند که شار در طول آنها جریان می یابد. اگر  $u$  در حوزه ای مثل  $S$  برای ما معلوم باشد و بخواهیم خطوط جریان را با یافتن  $v$  بشناسیم، معمولاً می توانیم از انتگرال گیری مختلط استفاده کنیم. به ازای نقطه ی ثابت  $z_1 \in S$ ، و نقطه ی دلخواه  $z \in S$  داریم:

$$\begin{aligned} f(z_1) &= \int_{z_1}^{z_1} f'(z) dz \\ &= \int_{z_1}^{z_1} \left( \frac{\partial u}{\partial x} - i \frac{\partial u}{\partial y} \right) dz \end{aligned}$$

مثلاً فرض کنید  $u(x, y) = x^2 - y^2$ ، که تابعی همساز است. با انتخاب  $z_1 = 0$  برای سادگی، خواهیم داشت:

$$\begin{aligned} f(z_1) &= \int_0^{z_1} (2x + 2iy) dz \\ &= \int_0^{z_1} 2z dz \\ &= z_1^2 \end{aligned}$$

بنابراین  $f(x + iy) = (x + iy)^2$ ، و لذا  $f(x + iy) = 2xy$ ،  $v(x, y) = \text{im}(f(x + iy)) = 2xy$ . پس معادله ی خطوط جریان عبارت است از:  $2xy = \text{constant}$ ، یا به طور معادل

$$xy = \text{constant}$$

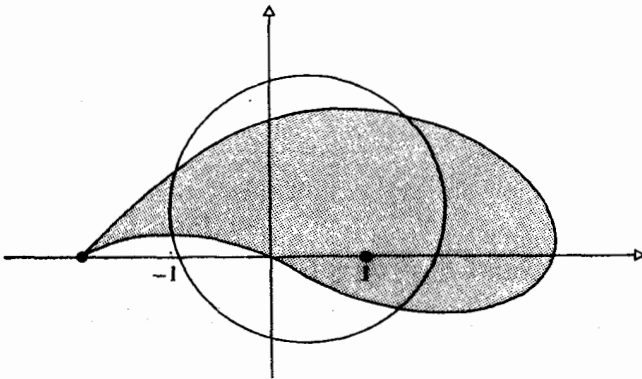
در غالب موارد، مثل همین مثال، می توان حدس زد که  $v(x, y)$  چه ضابطه ای باید داشته باشد - فرآیندی که معمولاً با اصطلاح «تفتیش» به آن اشاره می شود.

نگاشتهای همدیس و نظریه ی توابع مختلط، در نخستین روزهای دوران هوانوردی، برای طراحی بخشی از هواپیما مورد استفاده قرار گرفت (و به نحوی

پیچیده تر، هنوز هم به کار می رود). بخصوص، تبدیلی از صفحه ی  $Z$  به صفحه ی  $w$  با ضابطه ی

$$\frac{w-2}{w+2} = \left( \frac{z-1}{z+1} \right)^2$$

دایره ای در صفحه ی  $Z$  را که از نقطه ی  $-1$  بگذرد و نقطه ی  $+1$  درون آن واقع باشد، به یک شکل دوکی مایل (شکل ۱۳-۶) می نگارد. شکل حاصل، به مقطع بال هواپیما شباهت دارد، و به افتخار کاشف این تبدیل به ایروفویل یوکوفسکی معروف است. این تبدیل به نحو ذیل به کار می رود. حل معادله ی لاپلاس و یافتن خطوط جریان یک شاره در اطراف دیسک مدور بسیار آسان است. اکنون تبدیلات یوکوفسکی را به کار ببرید: دیسک به یک ایروفویل تبدیل می گردد.



شکل (۶-۱۳)

و خطوط جریان اطراف دیسک، به خطوط جریان در اطراف ایروفویل نگاشته می شوند. بدین طریق می توان خواص جریان و بخصوص مقدار «نیروی بالابر»<sup>۲</sup> را که بر هواپیما اثر می کند، محاسبه کرد. تبدیلات ظریفتر، اطلاعات دقیق تری به دست می دهند.

1. Joukowski aerofoil

2. lift

## تمرینهای فصل ۱۳

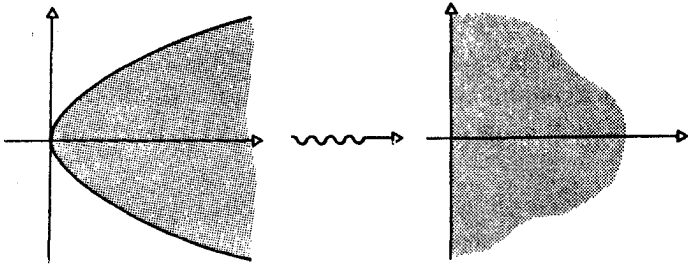
۱. تصویر مجموعه‌ی  $D = \{z \in \mathbb{C} \mid \operatorname{Re} z > 0, \operatorname{Im} z > 0, |z| < 1\}$  را تحت نگاشت همدیس  $z \rightarrow 1/z$  بررسی کنید. تصویر خطوط واقع در  $D$  و موازی با محورهای مختصات را رسم نمایید.
۲. نشان دهید که نگاشت

$$f(z) = \frac{\sqrt{1+k^2}}{b} e^{-i((\pi)/2 + \tan^{-1} k)} z$$

- نوار مابین خطوط  $y=kx$  و  $y=kx+b$  را به نوار مابین  $x=0$  و  $x=1$  تبدیل می‌کند.
۳. یک نگاشت همدیس مانند  $f$  از طوق  $4 < |z| < 5$  به روی طوق  $10 < |z| < 4$  بیابید، به طوری که  $f(-5) = 10$ .
- نگاشتی دیگر بیابید به طوری که  $f(5) = -4$ .
۴. با انتخاب مناسب تابع ریشه‌ی دوم، نشان دهید که

$$f(z) = \sqrt{z-p} - i\sqrt{p}$$

- حوزه‌ی خارج سهمی  $y^2 = 4px$  ( $p > 0$ ) را بر نیم صفحه‌ی راست،  $x > 0$  می‌نگارد. (شکل ۱۳.۷)



شکل (۷-۱۳)

۵. یک نگاشت همدیس بیابید که حوزه‌ی درون شاخه‌ی سمت راستی هذلولی

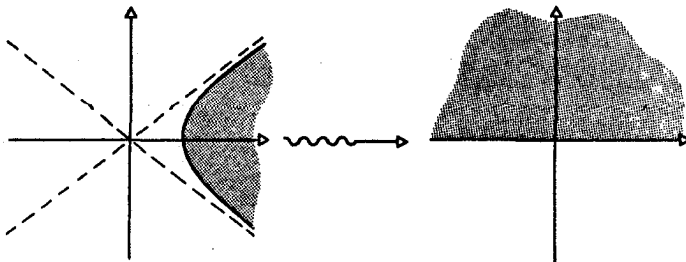
$$x^2 - y^2 = \lambda^2$$

را بز نیم صفحه‌ی بالایی،  $y > 0$  بنگارد. (شکل ۱۳-۸) (راهنمایی:  $\operatorname{re}(z')$  چیست؟)

۶. نشان دهید که نیم دایره‌ی  $|z| < 1, \operatorname{re}(z) > 0$ ، با تبدیل

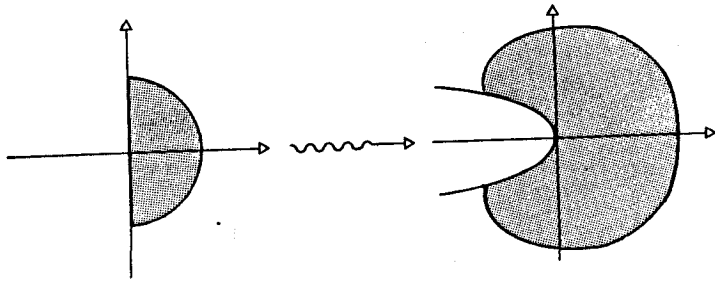
$$f(z) = z^2 + z$$

بر ناحیه‌ای که به سهمی  $x = -y^2$  و منحنی (در مختصات قطبی)  $r = 2 \cos(\theta/3), |\theta| \leq 3\pi/4$  محدود است نگاشته می‌شود. (شکل ۱۳-۹)



شکل (۵-۱۳)



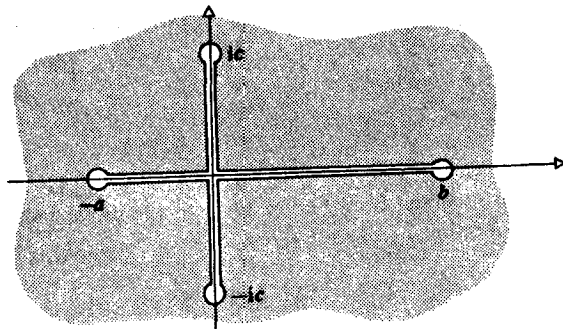


شکل (۹-۱۳)

۷. نشان دهید که (با تعریف مناسب ریشه‌ی دوم)، و با فرض  $a, b, c > 0$ ، تابع

$$f(z) = \sqrt{\frac{\sqrt{z^2 + c^2} + \sqrt{a^2 + c^2}}{\sqrt{b^2 + c^2} - \sqrt{z^2 + c^2}}}$$

صفحه‌ی مختلط، که پاره خط مابین  $-a$  و  $b$  و مابین  $-ic$  و  $ic$  از آن حذف شده است را بر نیم صفحه‌ی بالایی می‌نگارد. (شکل ۱۰-۱۳)

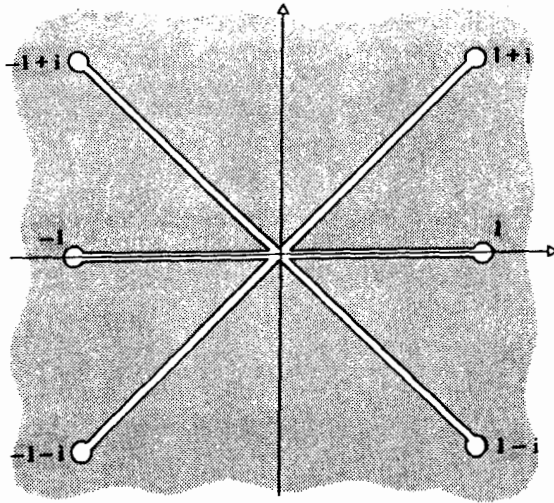


شکل ۱۰-۱۳

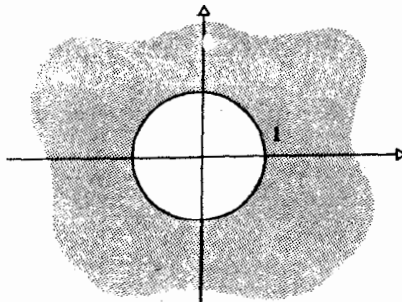
۸. نشان دهید که تابع

$$f(z) = \frac{1}{\sqrt{2+\sqrt{5}}} \left( \sqrt{(\sqrt{z^2+4}+2)} + \sqrt{(\sqrt{z^2+4}-\sqrt{5})} \right)$$

شکل ۱۱-۱۳ را بر خارج دایره‌ی واحد، شکل ۱۲-۱۳، می‌نگارد.



شکل (۱۱-۱۳)



شکل (۱۲-۱۳)

۹. یک نگاشت هم‌دیس، از شکل ۱۳-۱۳ به نیم صفحه‌ی بالایی بیابید. (راهنمایی: با معادله‌ی ۷ مقایسه کنید.)
۱۰. نشان دهید که تابع

$$f(z) = \sqrt{\frac{\cos \pi z - \cos \pi h}{1 + \cos \pi z}}$$

- شکل ۱۳-۱۴ را بر نیم صفحه‌ی بالایی می‌نگارد.
۱۱. یک نگاشت هم‌دیس بیابید که شکل ۱۳-۱۵ را بر نیم صفحه‌ی بالایی بنگارد.

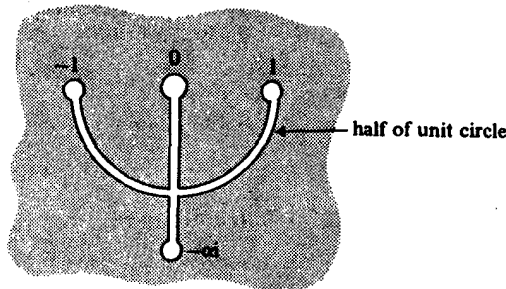
۱۲. تبدیل موبیوسی را بیابید که سه نقطه‌ی  $-1$ ،  $\infty$  و  $0$  را به ترتیب بر

(الف)  $1+i, i$

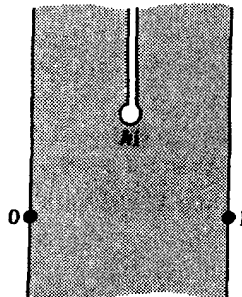
(ب)  $1, \infty$

(ج)  $1, \infty, 0$

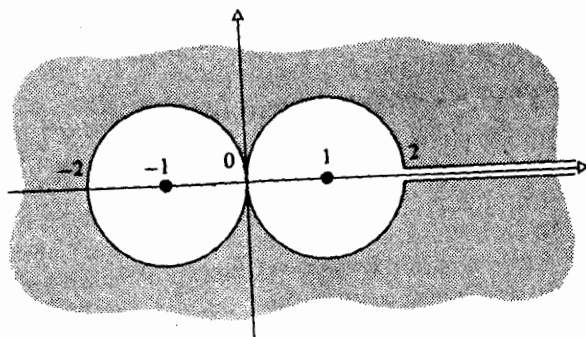
بنگارد.



شکل (۱۳-۱۳)



شکل (۱۴-۱۳)



شکل (۱۳-۱۵)

۱۳. شکل کلی تبدیل مویبوسی را بیابید که:

- (الف) نیم صفحه‌ی بالایی را بر خودش بنگارد.
- (ب) نیم صفحه‌ی بالایی را بر نیم صفحه‌ی پایینی بنگارد.
- (ج) نیم صفحه‌ی بالایی را بر نیم صفحه‌ی راست بنگارد.
- (د) دایره‌ی واحد را بر خودش بنگارد.
- (ه) محورهای مختصات را بر خودشان بنگارد.
- (و) نیم صفحه‌ی بالایی را به درون دایره‌ی واحد بفرستد.

۱۴. فرض می‌کنیم  $f$  یک تبدیل مویبوس باشد. یک نقطه‌ی ثابت  $f$  نقطه‌ی  $z$  است چون  $z$  به طوری که  $f(z) = z$ . اگر  $f$  درست یک نقطه‌ی ثابت (از جمله  $\infty$ ) داشته باشد، آن را سهموی می‌خوانند، نشان دهید چنین تبدیلی را می‌توان به شکل

$$\frac{1}{f(z) - z} = \frac{1}{z - z_0} + h \quad (z \neq \infty)$$

یا

$$f(z) = z + h \quad (\text{انتقال})$$

نوشت.

اگر  $f$  دو نقطه‌ی ثابت متمایز داشته باشد، نشان دهید می‌توان آن را به شکل

$$\frac{f(z) - z_1}{f(z) - z_2} = k \frac{z - z_1}{z - z_2} \quad (z_1, z_2 \neq \infty)$$

یا

$$f(z) - z_1 = k(z - z_1) \quad (z_2 = \infty)$$

نوشت. می‌گوییم چنین نگاشتی هذلولی است، اگر  $k > 0$ ، بیضوی است، اگر  $k = e^{i\alpha}$  ( $\alpha \neq 0$ )، و مارپیچ ثابت-زاویه است، اگر  $k = ae^{i\alpha}$  که در آن  $a \neq 1$  حقیقی است، و  $\alpha \neq 0$ .

۱۵. با تعاریف سؤال ۱۴ گزاره‌های زیر را ثابت کنید.

(الف) هر تبدیل موبیوسی مانند  $(cz + d)/(az + b)$  برابر است با تبدیلی موبیوس با این خاصیت که  $ad - bc = 1$ .

(ب) پس از به کار بردن گزاره‌ی (الف)، در صورتی که  $a+d$  حقیقی باشد، آنگاه تبدیل بیضوی است اگر  $|a+d| < 2$ ، هذلولی است اگر

$$|a+d| > 2 \quad \text{و سهموی است اگر } |a+d| = 2.$$

(ج) اگر  $a+d$  حقیقی نباشد، آنگاه تبدیل، مارپیچ ثابت - زاویه است.

۱۶. نشان دهید تابع

$$u(x, y) = x^2 - 3xy^2$$

همساز است، تابع همسازی مانند  $U: \mathbb{R}^2 \rightarrow \mathbb{R}$  بیابید به طوری که

$$f(x + iy) = u(x, y) + iv(x, y)$$

یک تابع مختلط تحلیلی باشد. ثابت کنید که  $v$  در حد افزایش یک مقدار ثابت، منحصر به فرد است.

۱۷. تابع  $f(z) = 1/z$  را به شکل  $f(z) = u(x, y) + iv(x, y)$  بنویسید.

منحنی‌های تراز  $u(x, y) = \text{constant}$  و  $v(x, y) = \text{constant}$  را رسم کنید. اگر

دو منحنی تراز  $u$  و  $v$  یکدیگر را قطع کنند، زاویه‌ی بین آنها چه اندازه است؟ آیا راه آسانی برای دریافتن این مطلب وجود دارد؟

۱۸. کلی‌ترین شکل سه جمله‌ای  $u(x, y) = ax^2 + bx^2y + cxy^2 + dy^3$   $d, c, b, a$  حقیقی هستند) را که همساز باشد تعیین کنید. یک تابع تحلیلی از  $z$  بیابید که  $u$  قسمت حقیقی آن باشد.

۱۹. امتحان کنید که تبدیل یوکوفسکی، همچنان که ادعا شد، یک ایروفویل به دست می‌دهد. به صفحات ۴-۱۳۱ اثر کایرال<sup>۱</sup> به نام توابع کاربردی از یک متغیر مختلط مراجعه کنید، و ببینید چگونه خطوط جریان در اطراف ایروفویل محاسبه شده‌اند.

---

1. A. Kyrala, Applied Functions of a Complex Variable, Wiley-Interscience, New York 1972

# فصل چهاردهم

## توسیع تحلیلی

هنگامی که ویرشتراس برنامه خود را برای تدقیق آنالیز شروع نمود آن را بر مبنای سریهای توان بنا نهاد. زیرا اینها در تقارب، دارای خواص خوش رفتار هستند و می توان از آنها جمله به جمله مشتق گرفت و یا انتگرال گیری کرد. آنها وسیله بزرگی از لحاظ تکنیک مقادیر فراهم می سازند. به هر حال این وسیله دارای محدودیتی است که در بخش اول آن را توضیح خواهیم داد.

بسیاری از توابع مهم را نمی توان به وسیله یک سری توان منحصر به فرد بسط داد. این محدودیت را می توان به روش توسیع توابع تحلیلی جبران کرد، که به ما اجازه می دهد که تحت شرایط صحیح دامنه تعریف یک تابع مختلط را وسعت دهیم. گاهی اتفاق می افتد که چنین توسیعی منحصر به فرد نباشد و مسأله توضیح امکانات مختلف و روابط بین آنها ما را هدایت می کند به یک مفهوم قابل توجه هندسی که بعداً به نام مخترع آن رویه ریمانی شناخته شد. در این فصل ما درباره آنها و مباحث مربوط به آنها بحث خواهیم کرد.

در اینجا ما عبارت تحلیلی بودن را بر دیفرانسیل پذیر بودن ترجیح می دهیم، زیرا با سریهای توان سر و کار داریم.

### ۱. محدودیتهای سری توان

موضوع را با بررسی تابع  $f(z) = 1/(1-z^2)$  تشریح می کنیم. (می توانستیم با مثال ساده تری شروع کنیم. مانند  $1/z$ ، لیکن تابع  $f$  مناسبتر است.)

این تابع روی  $C/\{-1, 1\}$  تحلیلی است و دارای قطبهای ساده  $1$  و  $-1$  می باشد، و بسط سری توانی آن حول  $z=0$  عبارت است از:

$$1 + z^2 + z^4 + z^6 + \dots \quad (1)$$

که بازای  $|z| < 1$  همگرا است. بنابراین اگر بخواهیم که تابع روی دامنه اش تعریف شود. سری (1) بهترین نمایش برای  $f(z)$  روی دیسک یکه باز

$$S = \{z \in C : |z| < 1\}$$

خواهد بود. معذالک (1) فقط معرف جزئی کوچک از  $f$  است.

می توانیم نقطه دیگری مانند  $z = i$  را انتخاب کنیم. برای یافتن بسط تیلور  $f(z)$  حول  $z = i$  رابطه زیر را در نظر می گیریم:

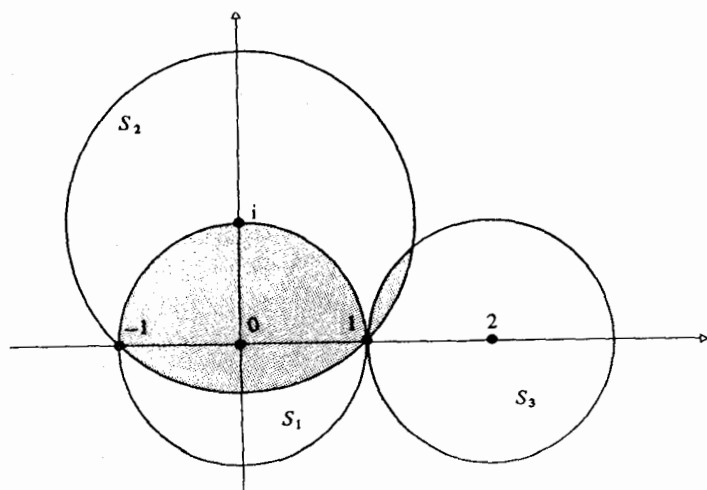
$$f(z) = \frac{1}{1-z^2} = \frac{1}{2} \left( \frac{1}{1+z} + \frac{1}{1-z} \right)$$

فرض کنیم  $w = z - i$ ، در نتیجه  $z = w + i$ . آنگاه:

$$\begin{aligned} f(z) &= \frac{1}{2} \left( \frac{1}{1+w+i} + \frac{1}{1-w-i} \right) \\ &= \frac{1}{2} \left\{ \frac{1}{1+i} \left( 1 + \frac{w}{1+i} \right)^{-1} + \frac{1}{1-i} \left( 1 - \frac{w}{1-i} \right)^{-1} \right\} \\ &= \frac{1}{2(1+i)} \sum_{n=0}^{\infty} (-1)^n \left( \frac{w}{1+i} \right)^n + \frac{1}{2(1-i)} \sum_{n=0}^{\infty} \left( \frac{w}{1-i} \right)^n \\ &= \sum_{n=0}^{\infty} \frac{1}{2} \left\{ \frac{1}{1+i} \left( \frac{-1}{1+i} \right)^n + \frac{1}{1-i} \left( \frac{1}{1-i} \right)^n \right\} (z-i)^n \quad (2) \end{aligned}$$



شعاع همگرایی سری (۲)،  $\sqrt{2}$  است، زیرا فاصله  $z = i$  تا نزدیکترین قطب آن  $\sqrt{2}$  است. بنابراین (۲) روی  $S_2 = \{z \in \mathbb{C} : |z - i| < \sqrt{2}\}$  همگراست. در شکل ۱-۱۴ مشاهده می شود که (۲) بازای بعضی از مقادیر که (۱) واگراست، همگرا می باشد. (۱) یا (۲) هر یک معرف بخش کوچکی از  $f$  (یعنی تجدید  $f$  به  $S_1$  و  $S_2$ )، لیکن بخشهایی متمایز، می باشند.



شکل (۱-۱۴)

به طور مشابه اگر  $z = 2$  را در نظر بگیریم سری دیگری به دست می آید:

$$f(z) = \sum_{n=0}^{\infty} \left\{ -\frac{1}{2}(-1)^n + \frac{1}{6}\left(-\frac{1}{3}\right)^n \right\} (z-2)^n \quad (3)$$

که روی دیسک  $S_3 = \{z \in \mathbb{C} : |z-2| < 1\}$  همگراست و معرف بخش دیگری از  $f$  است. برای انتخابهای دیگر از  $z$  انتظار چیزی از همین نوع را خواهیم داشت: بنا به قضیه  $3-10$  سری تیلور

$$f(z) = \sum_{n=0}^{\infty} a_n (z-z_0)^n \quad (4)$$

بازای  $z$  هایی که  $|z - z_0| < k = \min(|z_0 - 1|, |z_0 + 1|)$  همگراست .  
 در هر حال سری به دست آمده از انتخاب یک  $z$  ، بسط  $f(z)$  روی تمامی  
 مجموعه

$$z \in C \setminus \{-1, 1\}$$

حتی با فرض تحلیلی بودن  $f$  روی مجموعه فوق ، نخواهد بود . (خواننده می تواند  
 نشان دهد که سری لورنت نیز نمی تواند جایگزینی ، بهتر باشد .) این نقص بیشتر  
 ناشی از طبیعت محدود این ابزار - سریهای توانی - می باشد ، نه از توابع تحلیلی .  
 عیب از  $f$  نیست که تلاش ناشیانه ما در جهت توصیف آن به عنوان یک سری توانی  
 ظاهراً به شکست انجامیده است . این نکته که سریهای روی دیسکها همگرایند  
 مواجهه با توابعی که روی مجموعه هایی متمایز تعریف شده اند ، ایجاد  
 اشکال می کند . می توانستیم با چشم پوشیدن از سریهای توانی از این معضل  
 برهیم ، لیکن عملی نامطبوع خواهد بود : در ریاضیات اصلی اساسی است که  
 نظریات خوب را فقط دلیل خوب عمل کردنشان ، کنار نگذاریم . اگر یک سری  
 توانی کارآمد نیست ، چرا از گردایه ای کامل از سریهای توانی سوزنجوئیم ؟  
 این بخشی از مساله را حل می کند . یقیناً بازای هر  $z \in C \setminus \{-1, 1\}$  خواهیم  
 توانست سری توانی (۴) حول  $z$  را به دست آوریم که بازای  $z = z_0$  به  $f(z_0)$   
 همگرا باشد . بنابراین استفاده از سریهای توانی متعدد اطلاعاتی در مورد کل  $f$  به ما  
 خواهند داد .

اما از این ، مساله جدی تری ناشی می شود . در این بحث با  $f$  شروع کردیم و سری  
 توانی آن را به دست آوردیم . و ایراشتراوس نیازمند روش دیگری بود : به کار بردن  
 سریهای توانی برای تعریف  $f$  در مثال بالا می دانستیم که سریهای (۱) و (۲) و (۳)  
 نمایش تابع تحلیلی  $f$  هستند زیرا از روی  $f$  آنها را ساخته بودیم . اگر دو بسط برای  
 تابع  $f$  در نقاط متمایز داشته باشیم چگونه می توانیم بدون اطلاع قبلی تشخیص  
 دهیم که سریهای فوق بسط توانی  $f$  هستند . در واقع مساله مرکزی کار و ایراشتراوس  
 همین نکته بود .

## ۲. مقایسه سریها

مایلیم دو سری توانی

$$p(z) = \sum_{n=0}^{\infty} P_n (z - z_0)^n$$

$$q(z) = \sum_{n=0}^{\infty} q_n (z - z_0)^n$$

را که به ترتیب حول  $z_0, z_1$  بسط داده شده‌اند و روی دیسکهای باز  $Q, P$  همگرایند را مقایسه کنید. در هر حال اگر  $Q, P$  متقاطع باشند (یعنی  $P \cap Q \neq \emptyset$ )، مثلاً در حالت (۱) و (۲) و (۳) از مثال بالا (شکل ۱۴-۲). فرض کنیم بازای هر  $z \in P \cap Q$  داشته باشیم  $p(z) = q(z)$  و  $f$  و  $g$  توابعی باشند که روی دامنه  $S$  شامل  $P \cap Q$  چنان تعریف شده باشند که بازای هر  $z \in P$ ،  $f(z) = p(z)$  و بازای هر  $z \in Q$ ،  $g(z) = q(z)$ ، آنگاه بازای  $z$  متعلق به مجموعه ناتهی  $P \cap Q$  داریم:

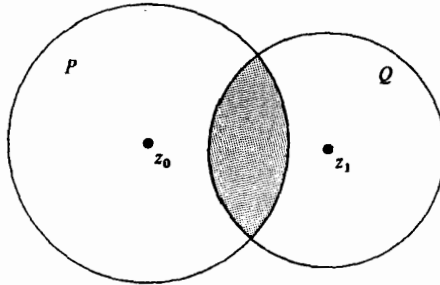
$$f(z) = p(z) = q(z) = g(z)$$

لذا بنا به قضیه ۱۱، ۱۰ بازای هر  $z \in S$  خواهیم داشت  $f(z) = g(z)$ . در این حالت  $p$  و  $q$  نمایش تحلیلی یک تابع هستند بوضوح عکس آن نیز درست است: اگر  $p$  و  $q$  نمایش یک تابع تحلیلی باشند آنگاه روی تقاطع دامنه هایشان بر هم منطبق خواهند بود.

متقاطع بودن دامنه‌ها امکان مقایسه مستقیم سریها را فراهم می‌آورد: همه کاری که باید انجام شود مقایسه مقادیر دو سری است. در حالت کلی برای مقایسه سریهای توانی که دامنه هایشان اشتراک ندارند (مانند: (۱) و (۳) در بالا). بایستی دنباله‌ای از سریها روی دیسکهای متقاطع بسازیم که همگرا بوده و روی تقاطع دیسکها بر هم منطبق باشند. مثلاً  $S_1, S_2$  متقاطعند و (۱) و (۲) روی  $S_1 \cap S_2$  بر هم منطبقند یا  $S_2, S_3$  متقاطعند و (۲) و (۳) روی  $S_2 \cap S_3$  بر هم منطبقند.

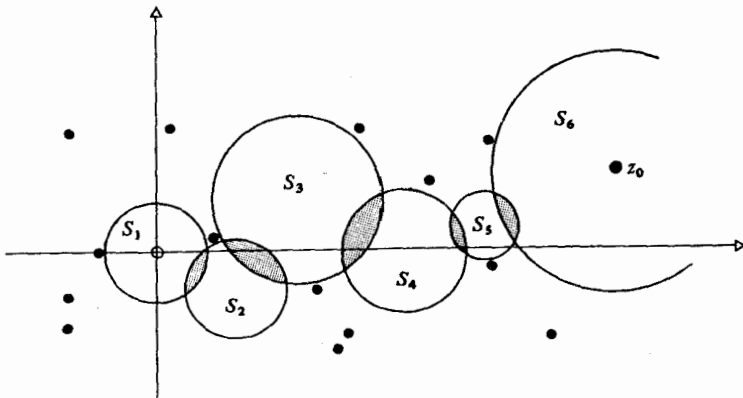
واضح است که برای  $f(z)$  مثال بالا می‌توانیم از  $S_1$  به هر نقطه  $z \neq \pm 1$  توسط دنباله‌ای از حداکثر سه دیسک برسیم (مگر اینکه  $z$  حقیقی بوده و  $|z| > 1$  باشد).

برای تابعی پیچیده با قطبهای بیشتر (یا تکنیگیهای دیگر) به دیسکهای بیشتری بیشتری نیاز خواهیم داشت (شکل ۱۴-۳) زیرا دیسکها بین تکنیگی های تابع فشرده شده اند.



شکل (۲-۱۴)

این وضعیت محدودیتی برای سریهای توانی است. قرصها برای نفوذ به قلمروهای دست نخورده ماوراء تکنیگی ها ابزارهای کارآمدی نیستند.

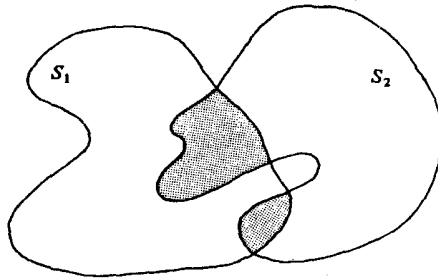


شکل (۳-۱۴)

با بررسی جدی تر این نظریه به این نتیجه می‌رسیم که محدود شدن به سربهای توانی و قرصها ضرورتی ندارد. در ریاضیات اغلب پیش می‌آید که حل مسأله ای خاص در دستگاهی کلی تر کاربرد می‌یابد.

### ۳. ادامه تحلیلی

اگر  $f_1$  روی  $S_1$  و  $f_2$  روی دامنه  $S_2$  تحلیلی باشد و  $S_1 \cap S_2 \neq \emptyset$  و بازای هر  $z \in S_1 \cap S_2$  ،  $f_1(z) = f_2(z)$  (شکل ۱۴-۴) باشد آنگاه  $f_2$  را ادامه تحلیلی  $f_1$  در دامنه  $S_2$  گوئیم. همانگونه که قبلاً خاطر نشان کردیم  $f_2$  منحصر به فرد است زیرا اگر  $g$  نیز روی  $S_2$  تحلیلی باشد و بازای همه  $z \in S_1 \cap S_2$  داشته باشیم  $f_1(z) = g(z)$  آنگاه به ازای همه  $z \in S_1 \cap S_2$   $g(z) = f_2(z)$  لذا بنا به قضیه ۱۰-۱ بازای هر  $z \in S_2$  داریم:  $g(z) = f_2(z)$ .



شکل (۴-۱۴)

بعنوان یک مثال ساده برای بخش قبلی فرض کنیم

$$f_1(z) = \sum_{n=0}^{\infty} z^n \quad |z| < 1$$

$$f_2(z) = 1/(1-z) \quad z \in \mathbb{C} \setminus \{1\}$$

آنگاه  $f_p$  ادامهٔ تحلیلی مستقیم  $f_1$  است. در حالی که  $f_1$  روی قرص یکه باز تعریف شده است ولی  $f_p$  روی همه  $C \setminus \{1\}$ .

پیش از بررسی حالت کلی متناظر با دو سری با دامنه های مشترک پدیدهٔ مهم دیگری را بررسی می کنیم. گاهی از اوقات  $S_1$  به گونه ایست که  $f_1$  دارای هیچ ادامه تحلیلی روی  $S_2$  که مشمول در  $S_1$  نباشد نیست. در این حالت مرز  $S_1$  را مرز طبیعی  $f$  گویند.

محدودیت پدید آمده ناشی از وسیلهٔ انتخابی ما نیست بلکه ناشی از خواص ذاتی  $f_1$  است. این وضعیت وقتی پیش می آید که  $S_2$  بزرگترین مجموعه ای باشد که ادامهٔ تحلیلی  $f_1$  روی آن حائز اهمیت است.

$$f(z) = \sum_{n=0}^{\infty} z^n \quad \text{مثال استاندارد از این وضعیت عبارت است از:}$$

که برای  $|z| < 1$  همگرا و در نتیجه تحلیلی است. باید نشان دهیم که محیط دایرهٔ یکه مرز طبیعی  $f$  است.

اگر  $z = e^{2\pi i p/q}$ ،  $p, q \in \mathbb{Z}$ ،  $q \geq 1$  آنگاه  $z^n = 1$  برای هر  $n \geq q$ . ابتدا نشان می دهیم که از  $z \rightarrow z$  رابطه  $f(z) \rightarrow \infty$  نتیجه می شود. فرض کنیم  $z = rz$  که در آن  $0 < r < 1$  آنگاه

$$\begin{aligned} f(z) &= \sum_{n=0}^{\infty} (rz)^n \\ &= 1 + rz + \dots + r^{(q-1)}z^{(q-1)} + \sum_{n=q}^{\infty} r^n \\ &= g(r) + h(r) \end{aligned}$$

توجه داریم که  $h(r)$  به صورت بالاست زیرا برای هر  $n \geq q$  داریم  $z^n = 1$ . حال برای هر عدد صحیح ثابت  $N \geq 0$ ،

$$\sum_{n=q}^{q+N} r^n \rightarrow N+1 \quad \text{وقتی که } r \rightarrow 1 \text{ داریم:}$$

لذا برای بعضی  $\varepsilon > 0$ ، اگر  $1 - \varepsilon < r < 1$  آنگاه

$$\sum_{n=q}^{q+N} r^{n!} \geq \frac{1}{4} N$$

آنگاه

$$h(r) = \sum_{n=q}^{\infty} r^{n!} \geq \sum_{n=q}^{q+N} r^{n!} \geq \frac{1}{4} N$$

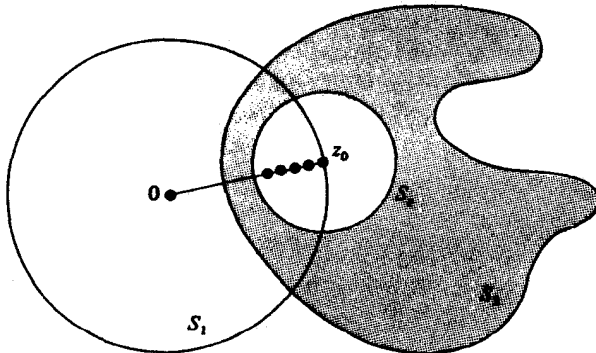
بنابراین وقتی که  $r \rightarrow 1$ ،  $h(r) \rightarrow \infty$ ، لذا اگر  $z \rightarrow z_0$  آنگاه  $h(r) \rightarrow \infty$ .

از طرفی وقتی  $z \rightarrow z_0$  آنگاه  $g(z) \rightarrow 1 + z_0 + \dots + z_0^{(n-1)!}$

بنابراین

$$\lim_{z \rightarrow z_0} f(z) = \infty \quad (5)$$

حال فرض کنیم که  $F$  ادامه تحلیلی  $f$  روی دامنه  $S_2$  باشد که مشمول در  $S_1 = \{z \in \mathbb{C} : |z| < 1\}$  نباشد. آنگاه  $\partial S_1 \cap S_2$  در  $\partial S_1$  باز است، لذا شامل نقطه ای مانند  $z_0 = e^{2\pi i p/q}$  است که در آن  $p, q \in \mathbb{Z}$ ،  $q > 0$ ، زیرا مجموعه نقاط فوق در دایره یکه چگالند. قرص کوچک  $S_3$  حول  $z_0$  چنان وجود دارد که  $S_3 \subseteq S_2$ .



شکل (۱۳-۵)

حال برای  $1 - \varepsilon < r < 1$  داریم  $rZ, \varepsilon S_r$  به قسمی که

$$F(rz.) = f(rz.)$$

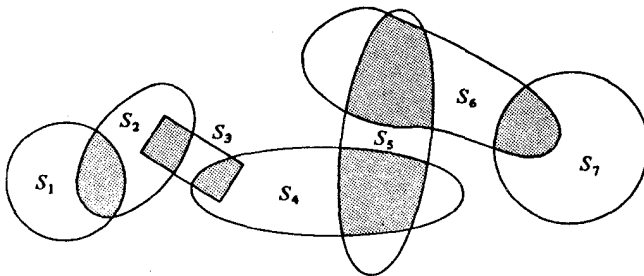
بنا به (۵) وقتی  $r \rightarrow 1$  خواهیم داشت:

$$F(rz.) \rightarrow \infty$$

اما  $F$  در  $S_r$  تحلیلی است، پس بنا به پیوستگی  $F$ ، وقتی  $r \rightarrow 1$  داریم:

$$F(rz.) \rightarrow F(z.)$$

که این تناقض است و نشان می‌دهد که هیچ ادامه تحلیلی برای  $f$  بیرون  $S_1$  وجود ندارد. (به عبارتی نه چندان دقیق: تکینگی‌های  $e^{\pi p/q}$  چنان تنگاتنگ هم قرار گرفته‌اند که نمی‌توان قرصی را جهت ادامه تحلیلی  $f$  بین آنها قرار داد.)  
 حال به موضوع دنباله ادامه تحلیلی گام به گام باز می‌گردیم. فرض کنیم  $S_n, \dots, S_1$  دامنه‌هایی باشند (شکل ۱۴-۶) که  $S_r \cap S_{r+1} \neq \emptyset$  ( $r = 1, \dots, n-1$ ).



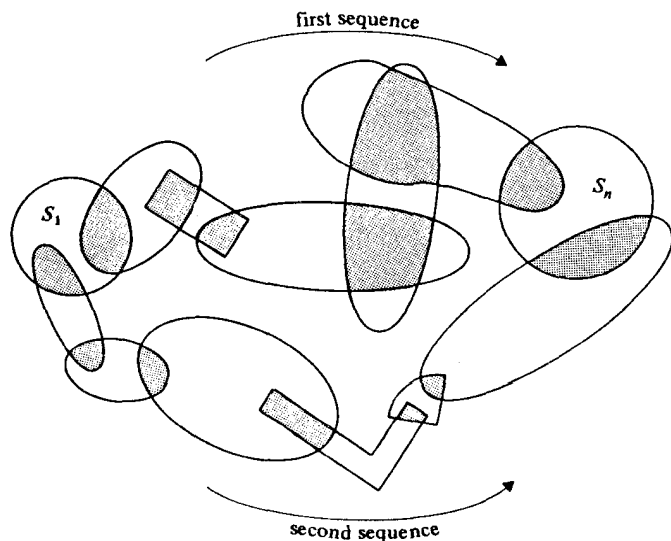
شکل (۱۴-۶)

اگر دنباله‌ای از توابع تحلیلی  $f_r$  تعریف شده روی  $S_r$  وجود داشته باشند که  $f_{r+1}$  ادامه تحلیلی  $f_r$  روی  $S_{r+1}$  باشد ( $r = 1, \dots, n-1$ ) آنگاه  $f_n$  را ادامه تحلیلی  $f_1$  از  $S_1$  به  $S_n$  گوئیم.

هر ادامه تحلیلی که مستقیم نباشد، ادامه تحلیلی غیر مستقیم گوئیم.



در این حالت، بر خلاف حالت مستقیم، با انتخاب دنباله‌های متفاوت می‌توان نتایج متفاوتی به دست آورد. (شکل ۱۴-۷) در واقع می‌توان با انتخاب دنباله‌ای از دامنه‌ها با تابع نهایی متفاوتی به نقطه آغازین بازگشت که در آن  $S_1 = S_n$  ولی  $f_1 \neq f_n$ . این وضعیت را با مثالی در بخش بعدی روشن خواهیم کرد. اما ابتدا نظریه بالا را جهت تعریف مفهومی کلی‌تر از یک تابع تحلیلی به کار می‌گیریم.



شکل (۷-۱۴)

اگر  $f$  در دامنه  $S$  تحلیلی باشد زوج مرتب  $(f, S)$  را عنصر تابعی گویند رابطه هم ارزی  $\sim$  را روی مجموعه عناصر تابعی به صورت زیر تعریف می‌کنیم:

$$(f_1, S_1) \sim (f_2, S_2)$$

اگر  $f_2$  ادامه تحلیلی  $f_1$  از  $S_1$  به  $S_2$  باشد. بنا به تعریف ادامه تحلیلی غیر مستقیم به آسانی می‌توان نشان داد که  $\sim$  یک رابطه هم ارزی است. تابع تحلیلی مختلط عبارت است از: یک کلاس هم ارزی (تحت  $\sim$ ) از عناصر تابعی. به عبارت

دیگر، تابع تحلیلی تام بنا به این عبارت از تابعی تحلیلی در معنای قبلی، با انضمام همهٔ ادامه‌های تحلیلی اش؛ است.

اگر عناصر تابعی  $(f_1, S_1), (f_2, S_2)$  از تابع تحلیلی تام  $F$  وجود داشته باشند به طوری که بازای بعضی  $z$  های متعلق به  $S_1 \cap S_2$  داشته باشیم  $f_1(z) \neq f_2(z)$  آنگاه  $F$  را چند شکلی گوئیم و در غیر این صورت  $F$  را یک شکل گوئیم. همهٔ مثالهایی که در این بخش آورده‌ایم یک شکل هستند و مثالهایی از توابع چند شکلی را در بخش بعدی خواهیم آورد یک تابع چند شکلی در اصل نسخه‌ای از یک تابع چند مقداری است که به قطعاتی تقسیم شده باشد با این مزیت که روی هر یک از آنها دقیقاً یک تابع یک مقداری است. چند شکلی بودن حاصل روشی است که در آن قطعات با یکدیگر متناسب باشند. نگرشی هندسی بر این موضوع ما را به نظریهٔ رویه‌های ریمانی نزدیک می‌سازد که می‌توان توصیفی از آن را در بخش ۵ دید.

#### ۴. توابع چند شکلی

مثال ساده‌ای از تابعی چند شکلی عبارت است از:

$$f(z) = \sqrt{z}$$

اگر  $z = re^{i\theta}$  آنگاه می‌توان هر یک از دو مقدار  $\sqrt{r}e^{i\theta/2}$  یا  $\sqrt{r}e^{i(\theta/2+\pi)}$  به جای  $\sqrt{z}$  برگزید. (که در آن  $\sqrt{r}$  حقیقی و مثبت است.) با نظریهٔ قدیمی تابع تحلیلی مجاز بودیم که به طور دلخواه یکی از تصاویر فوق را انتخاب کنیم و  $f(z)$  تحلیلی بود اگر برشی از صفحهٔ مختلط را در نظر می‌گرفتیم. از دیدگاه تازه می‌توان بهتر عمل نمود. چهار دامنه زیر را در نظر می‌گیریم:

$$H_1 = \{z \in \mathbb{C} : \operatorname{re}(z) > 0\}$$

$$H_2 = \{z \in \mathbb{C} : \operatorname{im}(z) > 0\}$$

$$H_3 = \{z \in \mathbb{C} : \operatorname{re}(z) < 0\}$$

$$H_4 = \{z \in \mathbb{C} : \operatorname{im}(z) < 0\}$$

که هر یک نیم صفحه‌ای باز در راست، چپ، بالا و پایین صفحه مختلط است  
فرض کنیم  $z = re^{i\theta}$  که در آن  $r > 0$  و  $-\pi < \theta \leq \pi$  تعریف می‌کنیم.

$$\begin{aligned}
 f_1(z) &= \sqrt{r}e^{i\theta/2} && \text{for } z \in S_1 = H_1 \\
 f_2(z) &= \sqrt{r}e^{i\theta/2} && \text{for } z \in S_2 = H_2 \\
 f_3(z) &= \begin{cases} \sqrt{r}e^{i\theta/2} & \text{for } z \in S_3 = H_3, \text{im}(z) \geq 0 \\ \sqrt{r}e^{i(\theta/2+\pi)} & \text{for } z \in S_3 = H_3, \text{im}(z) < 0 \end{cases} \\
 f_4(z) &= \sqrt{r}e^{i(\theta/2+\pi)} && \text{for } z \in S_4 = H_4 \\
 f_5(z) &= \sqrt{r}e^{i(\theta/2+\pi)} && \text{for } z \in S_5 = H_5 \\
 f_6(z) &= \sqrt{r}e^{i(\theta/2+\pi)} && \text{for } z \in S_6 = H_6 \\
 f_7(z) &= \begin{cases} \sqrt{r}e^{i(\theta/2+\pi)} & \text{for } z \in S_7 = H_7, \text{im}(z) \geq 0 \\ \sqrt{r}e^{i\theta/2} & \text{for } z \in S_7 = H_7, \text{im}(z) < 0 \end{cases} \\
 f_8(z) &= \sqrt{r}e^{i\theta/2} && \text{for } z \in S_8 = H_8
 \end{aligned}$$

هر یک از این هشت تابع روی دامنه‌شان تحلیلی اند: در  $f_7, f_8$  مجبور بودیم که هنگام برخورد با محور موهومی مقدار  $\sqrt{2}$  را تغییر دهیم زیرا با انتخاب ما از  $-\pi < \theta \leq \pi$  انتخابهای دیگر موجب ناپیوستگی میشدند. علاوه بر آن  $f_{r+1}$  ادامه تحلیلی  $f_r$  ( $r = 1, \dots, 7$ ) و ادامه تحلیلی مستقیم  $f_8$  می‌باشد. برای هر  $z \in \mathbb{C} \setminus \{0\}$  مقادیر  $f_r(z)$ ، تعریف شده در فوق یکی از دو مقدار ممکن اندیشه‌های  $z$  خواهد بود. بعلاوه برای هر  $r$ ،  $f_r(z)$  یکی از دو مقدار ممکن  $f_{r+4}(z)$  مقدار دیگر را اختیار خواهد کرد (که در آن  $r+4$  به هیچ ۸ در نظر گرفته شده است).

بنابراین تابعی چند شکلی داریم که در هر نقطه  $z \neq 0$  دو مقدار اختیار می‌کند. با رفتن از  $S_1$  به  $S_2$  به  $S_3$  به  $S_4$  به  $S_5$  به  $S_6$  به  $S_7$  به  $S_8$  در نزدیکی مبدا مقادیر متفاوت از مقدار اصلی برای  $f(z)$  به دست می‌آید. به هر حال در این وضعیت با ادامه حرکت به دور مبدا در دور دوم دوباره به مقدار اصلی باز می‌گردیم. این نقص ویژگی خاص از  $\sqrt{z}$  است که در مثال بعدی نشان خواهیم داد.

یک تابع چند شکل فوق العاده مهم عبارت است از:

$$f(z) = \log(z)$$

چند شکلی بودن  $f$  کشف بزرگ اویلر حاصل از مباحثات برنولی-لایب نیتس است که در بخش ۵ به آن اشاره شد. بر حسب مباحثات فعلی دامنه های زیر را طرح می کنیم:

$$S_{r, k+1} = H_r \quad (k \in \mathbb{Z}, r = 1, 2, 3, 4)$$

جهت اجتناب از نوع تعاریف در ضابطه ای که در  $f_r$  و  $f_v$  مثال قبلی پیش آمد به صورت زیر عمل می کنیم: برای  $z \in S_n$  و  $z = re^{i\theta}$  که در آن

$$\frac{n-2}{2}\pi < \theta \leq \frac{n\pi}{2}$$

تعریف می کنیم:

$$f_n(z) = \log(r) + i\theta$$

آنگاه  $f_n$  روی  $S_n$  تحلیلی است. روی  $S_1$  مقادیر اصلی را خواهیم داشت:

$$f_1(z) = \log(z)$$

$$f_2(z) = \log(z) + 2\pi i \quad \text{روی } S_2$$

$$f_{r, k+1}(z) = \log(z) + 2k\pi i \quad \text{روی } S_{r, k+1}$$

بررسی این نکته که بازای هر  $s \in \mathbb{Z}$ ،  $f_{s+1}$  ادامه تحلیلی  $f_s$  بتوی  $S_{s+1}$  است، کار دشواری نخواهد بود. بازای  $r = 1, 2, 3, 4$  و  $k \in \mathbb{Z}$  مقادیر  $f_{r, k+1}(z)$  ( $z \in H_r$ )

$$\log|z| + (2k\pi + \arg(z))i$$

همه مقادیر ممکن لگاریتم را به طور نامتناهی به دست می دهد.

اکنون می‌توانیم تعریفی کلی از تکینگی را ارائه دهیم. اگر نتوان ادامه تحلیلی از  $f$  در نقطه  $z$  تعریف کنیم آنگاه  $z$  را نقطه تکین تابع تحلیلی نام متناظر  $f$  گوئیم. قبلاً با تکینگیهای رفع شدنی مواجه شده ایم: قطبها، نقاط تنهای تکینگی اساسی. مطابق تعریف جدید تکینگیهای رفع شدنی در واقع تکینگی نیستند. برای  $\Sigma z^n$  هر نقطه  $|z| \geq 1$  یک تکینگی است. برای  $\sqrt{z}$  و  $\log(z)$  بانوع تازه‌ای از تکینگی به نام نقاط شاخه‌ای مواجه می‌شویم. ادامه تحلیلی چون این گونه نقاط مقادیر متمایزی به دست می‌دهد. توجه داریم که برای  $\sqrt{z}$  حتی تعریفی طبیعی از  $f(z)$  در نقطه شاخه‌ای یعنی  $z = 0$  وجود دارد در حالی که  $f$  در آن تحلیلی نیست.

توابع چند شکلی در انتگرالگیری مسیری، وقتی که مسیرهای متفاوتی از  $z_1$  به  $z_2$  انتخاب شوند، مقادیر متمایزی از انتگرال

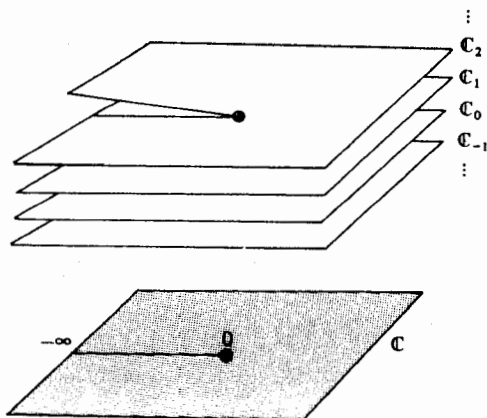
$$F(z_2) = \int_{z_1}^{z_2} f(z) dz$$

را به دست می‌دهند. (به عنوان مثال: اگر  $f$  بین دو مسیر قطبی داشته باشد.) بنابراین وجود تکینگیهای کاملاً مناسب  $f$ ، مثلاً قطبها، تکینگیهای بسیار نامطلوب  $F$ ، یعنی نقاط شاخه‌ای، را نتیجه می‌دهند. اگر  $f$  یک شکل نیز باشد احتمال پیش آمدن این وضعیت وجود دارد: مثلاً،  $1/z$  یک شکل است در حالی که انتگرال آن  $\log z$  چند شکلی است؛ و قطب  $f$  در صفر نقطه شاخه‌ای از  $F$  می‌باشد.

## ۵. رویه‌ی ریمان

ریمان برای بررسی توابع چند قُرمی یک روش هندسی ابداع کرد. این روش از لحاظ شهودی خیلی جذاب تر از روش رده‌های هم‌ارزی اجزاء تابع است، و در آن،  $C$  با یک فضای پیچیده تر به نام «رویه‌ی ریمان» جایگزین می‌شود. در مورد تابع لگاریتمی، می‌توان این روش را به طریق غیر صعودی زیر توصیف کرد. اما این توصیف را بنا به تحلیلی دقیق به حساب آورد. در اینجا ما به دنبال یک تعریف دقیق نیستیم: این توصیف غیر صعودی، اگر چه ممکن است محیلانه به نظر برسد، تعبیری دقیق از این روش ارائه می‌دهد.

گردآیه ای از نسخه های  $C$  به نام  $C_k$  را در نظر بگیرید، که هر یک از آنها متناظر با یک  $k \in \mathbb{Z}$  است. هر  $C_k$  را از محور حقیقی و از  $0$  تا  $-\infty$  بپسیند. به ازای هر  $k$ ، ربع بالا - چپ  $C_k$  را به ربع پایین چپ  $C_{k+1}$  در طول برش، پیوند بزنید. رویه ای که حاصل می شود (شکل ۱۴-۸) به شکل یک پلکان مارپیچ است. صفحه های  $C_k$  با ترتیب  $k$  در بالای یکدیگر ردیف شده اند. از هر  $C_k$  به هر  $C_{k+1}$  دیگری، مسیری پیوسته و مارپیچ وجود دارد. این مسیر پیوسته، با عبور از محل هر بریدگی، یک «پله» بالا می رود. صفحات  $C_k$ ، برگه های این رویه ی ریمانی هستند، شایسته است که تصور کنیم تمام این گردآیه، همان طور که در تصویر نشان داده شده است، بر فراز  $C$  قرار گرفته است.



شکل (۱۴-۸)

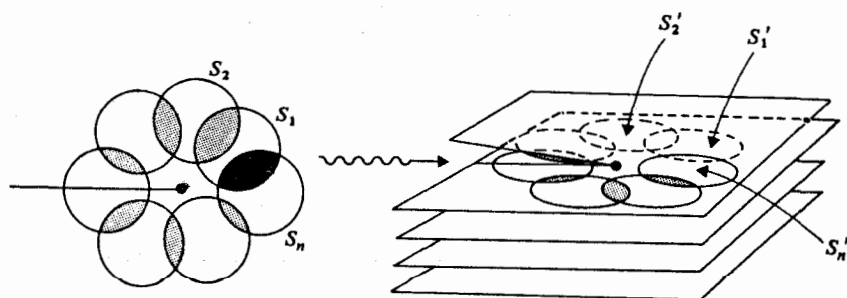
تابع لگاریتم را در نقاط واقع بر رویه ی ریمانی با

$$\log(\bar{z}) = \log|z| + i(\arg(z) + 2k\pi)$$

تعریف می کنیم، که در آن  $\bar{z}$  نقطه ای از  $C_k$  است که درست بالای نقطه ی  $z \in C$  قرار دارد. آنچه که تعریف کردیم، یک تابع تک مقدار بر رویه ی ریمانی است،

این تابع پیوسته است، به این معنی که مقادیر تابع در دو طرف بریدگی ها، به نحو مطلوبی به یکدیگر می رسند. (به همین ترتیب، حتی می توانیم بگوییم که این تابع، دیفرانسیل پذیر است، زیرا مقادیر مشتق نیز به نحو مطلوب به یکدیگر می پیوندند.

اکنون خواهیم دید که چگونه فرآیند امتداد تحلیلی یک تابع روی  $C$ ، به عملی مشابه با آن روی رویه ی ریمانی مربوط می شود. متناظر با حوزه های  $S_1, \dots, S_n \subseteq C$ ، حوزه های  $S'_1, \dots, S'_n$  را روی رویه داریم. در  $C$ ، مقادیر توابع  $f_1, \dots, f_n$  در محل تقاطع مناسب حوزه ها، یعنی  $S_1 \cap S_2, \dots, S_{n-1} \cap S_n$  با هم سازگار هستند، اما به خاطر چند فرمی بودن تابع، مقادیر روی  $S_n, S_1$  سازگار نیستند. روی رویه ی ریمانی، اگر  $S'_1, S'_n$  را، و به همین ترتیب، می بینیم که هنگامی که به  $S'_n$  می رسم، این حوزه یک طبقه بالاتر از  $S_1$  قرار می گیرد. (شکل ۱۴-۹) بدین ترتیب  $S'_1$  و  $S'_n$  اساساً متقاطع نیستند، و اینکه  $f_n, f_1$  مقادیر متخالف داشته باشند، کاملاً قابل قبول است. طبیعت چندچنداری بودن ادامه ی تحلیلی، خود به خود با چند لایه بودن رویه ی ریمانی تأمین می شود. حتی حضور تکینگی در نقطه ی  $\bullet$  نیز از طبیعت هندسی این رویه ی ریمانی آشکار می شود، چرا که در این نقطه، تمام برگه ها به هم می رسند.



شکل (۱۴-۹)



شکل (۱۴-۱۰)

به طور مشابه برای تابع  $\sqrt{z}$  نیز می‌توانیم یک رویه‌ی ریمانی بسازیم. برای این کار، دو نسخه از  $C$  به نام  $C_1$  و  $C_2$  اختیار می‌کنیم، هر یک از آنها را از  $0$  تا  $\infty$  می‌بریم، ربع بالا - چپ  $C_1$  را به ربع پایین - چپ  $C_2$ ، و ربع بالا - چپ  $C_2$  را به ربع پایین - چپ  $C_1$  پیوند می‌زنیم. برای انجام این کار در فضای سه بعدی، باید بگذاریم رویه خودش را قطع کند، ولی به لحاظ مفهومی هیچ مشکلی پیش نمی‌آید. (شکل ۱۴-۱۰) در اینجا هم پدیده‌هایی که در بالا ذکر شد، از طبیعت هندسی رویه‌ای ریمانی‌ای که ساخته ایم واضح است؛ مقادیر دوتایی،  $f(z)$ ، این واقعیت که با یک دور چرخش، مقدار تابع تغییر می‌کند، ولی با دو دور چرخش، ثابت می‌ماند، و بالاخره حضور نقطه‌ی شاخه در  $0$ .

بدیهی است که در حالت کلی برای ساختن رویه ریمان نمی‌توان به این روش (ad hoc) ادهو متوسل شد. بلکه به همان روش مثال لگاریتمی می‌توان به روش عمومی دست یافت اما با ساختن رویه به طریقی متفاوت با آنچه گفته شد. دنباله نیم صفحه‌ای‌های  $S_n$  و توابع  $f_s$  که در فوق برای توسیع توابع تحلیلی به کار رفت مورد بررسی قرار می‌دهیم.

فرض کنیم نیم صفحه‌ای‌های  $S_s$  ها را متناظر با  $S_s$  ها قرار داده باشیم، به قسمی که دو به دو از هم جدا باشند. ( $S_s$  ها طوری نیستند که مثلاً  $S_1 = S_0$  و یا نظایر آن باشد). فرض کنیم  $S_s$  ها را به طریق زیر به هم چسبانده باشیم، به نحوی که  $S_s$  و  $S_{s+1}$  در ربع صفحه‌ای همپوش باشند که روی آن  $f_k = f_{k+1}$ ، و ربع صفحه‌های متناظر  $S_{s+1}, S_s$  را به هم می‌چسبانیم. از این رو  $S_k$  بالای ربع سمت راست  $S_i$



چسبانده می شود،  $S_7$  بالای سمت  $S_6$  چسبانده می شود و  $S_7$  به ته سمت چپ  $S_7$  می چسبد،  $S_8$  به سمت راست تحتانی  $S_7$  چسبانده می شود. از این نقطه نظر  $S_8$  مستقیماً روی  $S_7$  قرار می گیرد، اما ما آنها را به هم نمی چسبانیم زیرا  $f_8, f_7$  متفاوت می باشند (شکل ۱۴-۱۱) با ادامه به وسیله  $S_9, S_{10}, \dots$  (و در جهت مخالف و  $S_9, S_{10}, S_{11}, \dots$ ). مجدداً رویه ریمان ساخته می شود. روش کلی ساختمان یک رویه ریمان از یک تابع کاملاً تحلیلی همین خط و مسیر دنبال می شود. یادآور می شویم که  $F$  یک دسته هم ارز از زوجهای  $(f, S)$  است که در آن  $f$  یک تابع تحلیلی روی میدان  $S$  می باشد، و  $(f_7, S_7) \approx (f_8, S_8)$  در صورتی که روی مجموعه غیر تهی  $S_7 \cap S_8$  داشته باشیم  $f_7 = f_8$ . گیریم  $S_\lambda$  نسخه های جدا از هم از میدانهای  $S_\lambda$  متناظر با میدانهای  $S_\lambda$  در  $(f_\lambda, S_\lambda)$  متعلق به  $F$  را باشد. اگر  $S_\lambda \cap S_\mu \neq \emptyset$  و روی آن  $f_\lambda = f_\mu$ ، در این صورت  $S_\mu, S_\lambda$  را در نقاط همپوش  $S_\lambda \cap S_\mu$  به هم می چسبانیم.

اجازه دهید مطلب را روشن تر سازیم. ابتدا، سؤال از «نسخه های»  $S_\lambda$  از  $S_\lambda$ . یک راه توضیح این مطلب، یافتن این است که:

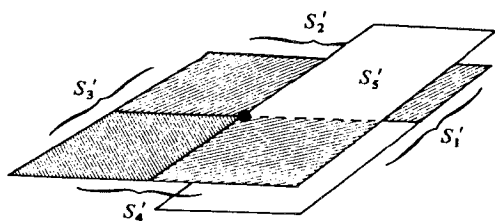
$$S_\lambda = S_\lambda \times \{\lambda\}$$

در این صورت اگر  $\lambda \neq \mu$  باشد، بدیهی است که  $S_\lambda \cap S_\mu = \emptyset$ ، و بنابراین یک تابع یک به یک طبیعی:

$$j_\lambda: S_\lambda \rightarrow S_\lambda$$

حاصل می شود که با:

$$j_\lambda(s) = (s, \lambda) \quad (s \in S)$$



شکل (۱۱-۱۴)

(به عنوان یک تمرین عملی سعی کنید که با قطعات حقیقی کاغذ و چسباندن واقعی آنها رویه ریمان را بسازید: در نتیجه، تصور روشن تری از مطلب عاید شما می شود تا یک توضیح کتبی.)

پس از این چسباندن، مطلب با یک حيله ساده به اتمام می رسد؛ نسبت هم ارزی دیگری به کار می بریم که یک حيله معین را اقتضاء می کند که از نظر خواننده خوشحال کننده است.

فرض کنیم:

$$(z_\lambda, \lambda) \approx (z_\mu, \mu)$$

بازاء  $z_\mu \in S_\mu$  و  $z_\lambda \in S_\lambda$  اگر

$$z_\lambda = z_\mu \quad (I)$$

$$f_\lambda(z_\lambda) = f_\mu(z_\mu) \quad (II)$$

در این صورت مجموعه ی دسته های هم ارز (تحت نسبت  $\approx$ ) نقاط در اتحاد تمام  $S_\lambda$  معرف رویه ریمان مربوط به  $F$  است. نسبت هم ارزی  $\approx$  به عنوان همان چسباندن عمل می کند. تعریف کاملاً ظریف می باشد، اما نه از آن قبیل چیزهایی که در اولین نگاه به ذهن برسد.

برتری این ساختار ظاهراً رمزی و غیر عادی، این است که شخص می تواند درباره یک تابع تحلیلی به عنوان یک تابع واقعی، که روی رویه ریمان تعریف شده است، بیاندیشد. و مقادیر مختلط را نه به عنوان یک دسته هم ارز از اعضاء توابع اختیار کند. ما هنوز به طور، رضایتبخش با توابع چند فرمی سر و کار داریم و دیدی فراگیر از تابع به دست می آوریم تا دیدی قطعه ای. چند بخش آخر این کتاب به جستجوی انواع بینشهایی می پردازد که ممکن است در این راه، در ارتباط با مطلبی که قبلاً مورد بحث واقع شد سودمند باشد.

### ۶. توانهای مختلط

تاکنون  $z^a$  توانهای گویای  $\alpha$  از اعداد مختلط  $z$ ، را که در آن  $z^{p/q}$  ریشه  $z^p$ ،  $m, q$  است را بررسی کرده ایم. اکنون باید توانهای دلخواه  $a \in \mathbb{C}$  را تعریف کنیم. مایلیم که تعریف به گونه ای باشد که قوانین،  $z^{a+b} = z^a \cdot z^b$  و  $(z^a)^b = z^{ab}$  و  $(zw)^a = z^a \cdot w^a$  و همچنان برقرار بمانند. نتیجه مطلوب وقتی به دست می آید که تقریباً چنین عمل کنیم:  $z^a$  اصولاً چند شکلی است. و فرمولها فقط وقتی برقرار خواهند بود که تصاویر  $z^a$  بنحوی مناسب انتخاب شوند. طبیعتاً به صورت زیر عمل می کنیم:

$$z = re^{i\theta} = e^{\log r + i\theta}$$

که در آن  $\log r \in \mathbb{R}$  و فرض می کنیم

$$a = \alpha + \beta i$$

سپس به فرض اینکه قوانین بالا برقرارند، خواهیم داشت:

(۷)

$$\begin{aligned} z^a &= (re^{i\theta})^a \\ &= e^{a(\log r + i\theta)} \\ &= e^{(\alpha + i\beta)(\log r + i\theta)} \\ &= e^{\alpha \log r - \beta\theta} e^{i(\beta \log r + \alpha\theta)} \end{aligned}$$

بنابراین  $z^a$  را توسط (۷) تعریف می‌کنیم، که بازای هر  $z \neq 0$  و  $a \in \mathbb{C}$  با معنی است. و این مستلزم برقراری رابطه

$$z^\alpha = e^{a \log z} \quad (8)$$

است که رابطه‌ای طبیعی برای تعریف  $z^a$  است. لذا در هر دامنه‌ای که برای آن بتوان شاخه‌ای یکتا از لگاریتم را (مانند برش صفحه  $C_p$  بازای هر  $p$ ) تعریف نمود،  $z^a$  را می‌توان به عنوان تابعی دیفرانسیل پذیر و تک مقداری تعریف نمود. در حالت کلی بنا به چند شکلی بودن  $\log$ ،  $z^a$  نیز چند شکلی است. به جهت وضوح مطلب، مقدار خاصی برای  $\theta$  مانند  $\theta$  را در نظر می‌گیریم. (بدیهی‌ترین انتخاب عبارت است از: مقدار اصلی  $\arg z$ ). آنگاه  $\theta$  هایی که در رابطه ۱ صدق می‌کنند به صورت زیر است:

$$\theta = \theta_0 + 2n\pi \quad (n \in \mathbb{Z}) \quad (9)$$

و می‌نویسیم:

$$(z^a)_n = e^{a(\log r + i(\theta_0 + 2n\pi))}$$

که عبارتست از شاخه  $n$ ام،  $z^a$  که با جاگذاری  $\theta$  هایی که در (۹) تعریف شد، در رابطه (۷) به دست می‌آید. حال این پرسش مطرح می‌شود که بستگی  $(z^a)_n$  به  $n$  چگونه است؟  
با توجه به (۷) داریم:

$$(z^a)_n = (e^{-2n\pi\beta} e^{2n\pi i\alpha})(z^a). \quad (10)$$

که در آن  $(z^a)$  "شاخه صفر"م است. با توجه به (۱۰) می‌توانیم به سؤال فوق جواب دهیم: سه حالت وجود دارد:

الف) اگر  $\beta \neq 0$  آنگاه بازای هر  $z^a$  یک مقدار می‌پذیرد. به عنوان مثال:

$$|(z^a)_n / (z^a)| = (e^{-2n\pi\alpha})^n$$

که بازای  $n$  های متمایز مقادیر متمایزی اختیار می کند. در این حالت رویه های ریمانی  $z^a$  همان رویه های لگاریتم است: پلکانی نامتناهی که طبقه  $m$  آن تابعی است که از  $(z^a)_n$  به دست می آید.

(ب) اگر  $\beta = 0$  آنگاه  $a = \alpha \in \mathbb{R}$  و اگر  $\alpha$  گنگ باشد،  $z^a = z^\alpha$ ، بازای هر  $n$  مقداری متمایز اختیار می کند. به عنوان مثال اگر

$$(z^a)_m = (z^a)_n$$

آنگاه

$$e^{ym\pi i \alpha} = e^{yn\pi i \alpha}$$

لذا

$$e^{y(m-n)\pi i \alpha} = 1$$

که نتیجه می دهد:

$$(m-n)\alpha \in \mathbb{Z} \quad \text{بخش ۵-۶}$$

که نتیجه می دهد:  $m=n$  است، زیرا که  $\alpha$  عددی گنگ است.

رویه های ریمان از نوع اول هستند. اما بر خلاف حالت اول، مدول شاخه های متمایز آن برابرند: فقط آرگومان آن فرق می کند.

(پ) فرض کنیم  $\alpha, \beta = 0$  گویا باشد.  $\alpha$  را به صورت  $p/q$ ،  $\alpha = p/q$ ،

$p, q \in \mathbb{Z}$  بازای کمترین مقادیر  $p, q$ ، در نظر می گیریم. آنگاه  $z^a = \sqrt[q]{(z^p)}$ .

با توجه به مطالب (ب)، دو شاخه مقادیر برابر دارند اگر و فقط اگر

$(m-n)p/q \in \mathbb{Z}$  و رابطه فوق برقرار است اگر و فقط اگر  $m-n$  را عا د کند.

برای بررسی این موضوع فرض کنیم  $m-n = qd+k$  و  $0 \leq k < q$ ، آنگاه

$(m-n)p/q = pd + kp/q$ ، لذا  $kp/q \in \mathbb{Z}$ . اگر  $k \neq 0$  آنگاه

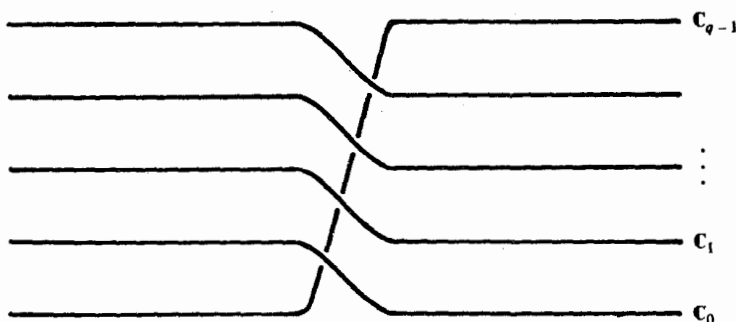
$kp/q = L \in \mathbb{Z}$ ، لذا  $p/q = L/k$  که با فرض ساده بودن کسر  $p/q$  در تناقض

است.

در نتیجه مقادیر  $(z^\alpha)_n$  فقط مربوط به  $n$  با هنج  $q$  است. شاخه های

$$(z^\alpha), (z^\alpha)_1, \dots, (z^\alpha)_{q-1}$$

متمایزند، اما شاخه  $q$ ام تکرار می شود.  $(z^q)_q = (z^q)$  و بعد از آن نیز تکرار ادامه می یابد. البته رویه ریمانی، یک  $-q$  صفحه مارپیچ است، که ابتدا و انتهای آن یکی گرفته می شود (مانند توصیفمان از  $(z^{1/2})$ ). برای حالت  $q=5$ . شکل ۱۲-۱۴ را ملاحظه کنید.



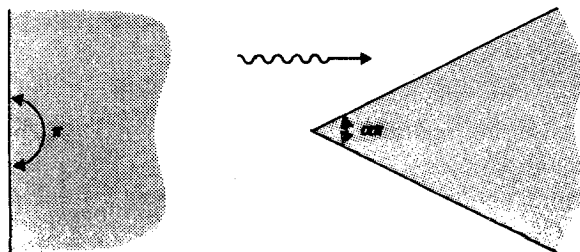
شکل (۱۲-۱۴)

### ۷. نگاهت همدیس توابع چند شکلی

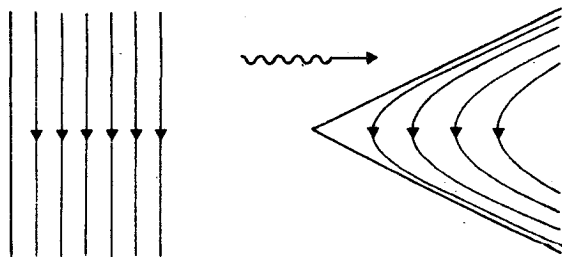
نگاشت همدیس با توابع چند شکلی وقتی که مقادیر آن معین شده باشد، نیازمند توجه و بررسی دقیقی است. اینجا نیز ساده ترین روش بررسی همه چیز در یک رویه ریمانی است. برای اجتناب از این پیامد فقط حالت مهم و کاربردی (نگاشت  $z \rightarrow z^n$ ) را بررسی می کنیم. بعلاوه فرض کنیم که دامنه آن برش - صفحه  $C_n$  باشد که روی آن نگاهت فوق تک مقداری است.

بزرگترین ویژگی نگاهت فوق این است که نیم صفحه را به یک گوه، شکل ۱۳-۱۴ اما تبدیل می کند، که زاویه راس آن عبارت است از  $\alpha\pi$ ، لذا می توانیم برای ممانعت از خود قطعی تصویر فرض کنیم که  $\alpha < 2$  است. که نتیجه همه جا مگر مبداء برقرار است.

به عنوان مثال فلوی یک شکل به دست آمده از ثابت  $\text{re}(z) = \alpha$  به فلوی حول یک کنج با زاویه رأس  $\alpha$  تبدیل می گردد (مانند شکل ۱۴-۱۴).  
 اگر  $\alpha = 1/2$  اختیار شود، کنج راست گرد می شود. سپس  $z = w^2$  لذا  
 $x = U^2 - V^2$  ،  $y = 2UV$ ؛ لذا خطوط فلوی به  $-w$  صفحه های به دست آمده از  
 ثابت  $u^2 - v^2 = \text{ثابت}$  تبدیل می گردند؛ که عبارتند از: شاخه های هذلولی قائم.  
 نگاهت  $z^a$  در ترتیب با نگاهت همدیس استاندارد ابزار بسیار مفیدی در  
 ریاضیات کاربردی را نتیجه می دهد.



شکل ۱۴-۱۴



شکل ۱۴-۱۴

## ۸. انتگرال مسیری از توابع چند شکلی

مرسوم است که انتگرال مسیری  $\int_{\gamma} f$  از تابع چند شکلی  $f$  را با انتخاب تصاویری از  $f(z)$  که  $z$  بطور پیوسته طول مسیر را پیماید، معرفی می نمایند. (معدالک، انتخاب نقطه آغازین، که باید معین گردد، را به طور دلخواه ممکن می سازد). یکی از راههای متداول، تبدیل مسیر  $\gamma$  به حاصل جمع مسیرها است،  $\gamma = \gamma_1 + \dots + \gamma_n$  به طوری که

الف) هر  $\gamma_j$  در دامنه  $D_j$  ی واقع شده باشد که  $f$  روی آن تابعی تک مقداری باشد.

ب) روی هر  $D_j$  شاخه هایی از  $f$  انتخاب می گردند که مقادیر  $f$  روی نقاط تقاطع  $\gamma_{j+1}$  و  $\gamma_j$  بر هم منطبق باشند.

فرایند فوق را می توان به عنوان تعریف انتگرال مسیری، (اگر که مسیری روی سطح ریمانی واقع باشد) در رویه های ریمانی تعبیر نمود. بالا و پایین رفتن مسیر روی ماریچ طبعاً در مورد انتخاب مقادیر تابع حساسیت ایجاد می نماید (شکل ۱۴-۱۰). عملاً این سراسرست ترین حالت ممکن است و محاسبه دشوارتر از حالت یک شکل نخواهد بود.

مثال ۱. فرض کنیم  $\gamma$  مسیر زیر باشد:

$$\gamma(t) = (1+t)e^{it} \quad 0 \leq t \leq 6\pi$$

حال  $\int_{\gamma} z^{1/5} dz$  را بیابید:

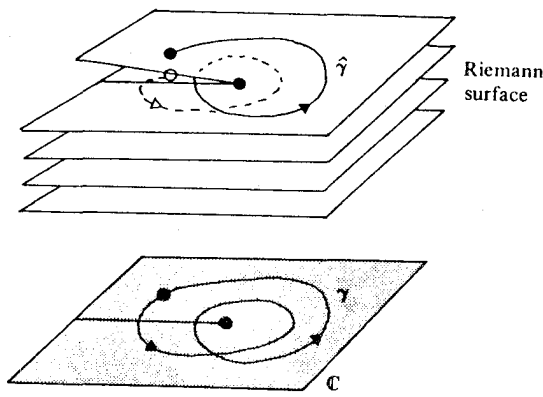
روش اول (کند) با تعریف  $z^{1/5}$  به صورت

$$\left(\gamma(t)\right)^{1/5} = (1+t)^{1/5} e^{it/5}$$

$z^{1/5}$  تابع پیوسته ای از  $t$  می شود بنا به قضیه ۶-۴ داریم:

$$\begin{aligned} \int_{\gamma} f(z) dz &= \int_0^{6\pi} f(\gamma(t)) \gamma'(t) dt \\ &= \int_0^{6\pi} (1+t)^{1/5} e^{it/5} (ie^{it} + te^{it} + e^{it}) dt \end{aligned}$$





شکل (۱۴-۱۵)

که حساب کننده امیدوار را به روش فرعی و جالب استفاده از انتگرالی به صورت

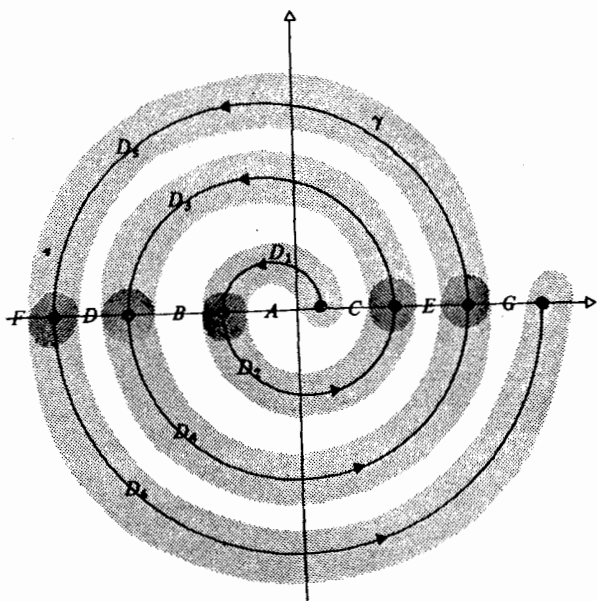
$$\int_0^{\pi} t(1+t)^{1/5} \text{Cos}(6t/5) dt$$

رهنمون می گردد.

روش دوم (دقیق اما بی روح).  $\gamma$  را توسط دامنه هایی که روی هر یک بتوان  $z^{1/5}$  را بازای هر  $z$  در آنها به صورت تابعی یک مقداری و دیفرانسیل پذیر در نظر گرفت، می پوشانیم. به عنوان مثال فواصل  $AB, BC, CD, DE, EF, FG$  (شکل ۱۴-۱۶) می توانیم شش دامنه  $D_1, \dots, D_6$  در نظر بگیریم. برای مطابقت مقادیر  $z^{1/5}$  روی اشتراك دامنه ها، تعریف زیر را در نظر می گیریم.  $z$  را به صورت  $re^{i\theta}$  می نویسیم که در آن  $\theta$  از روی جدول زیر به دست می آید:

Domain	$\theta$ chosen interval
$D_1$	$[-\pi/4, 5\pi/4]$
$D_2$	$[3\pi/4, 9\pi/4]$
$D_3$	$[7\pi/4, 13\pi/4]$
$D_4$	$[11\pi/4, 17\pi/4]$
$D_5$	$[15\pi/4, 21\pi/4]$
$D_6$	$[19\pi/4, 25\pi/4]$

روی هر یک از دامنه‌ها شاخه  $r^{1/5} e^{i\theta/5}$  از  $z^{1/5}$  را انتخاب می‌کنیم. انتخاب مناسب  $\theta$  روی اشتراکها مقادیر را بر هم منطبق می‌سازد.



شکل (۱۴-۱۶)

انتگرال را به صورت زیر می‌شکنیم:

$$\int_{\gamma} = \int_{AB} + \int_{BC} + \int_{CD} + \int_{DE} + \int_{EF} + \int_{FG}$$

تابع  $z^{1/5}$  روی هر یک از دامنه‌های  $D_i$  دارای ضد مشتق  $z^{6/5} (\frac{5}{6})$  است که از شاخه متناظر آن

$$z^{6/5} = r^{6/5} e^{6i\theta/5}$$

به دست آمده است. بنا به قضیه ۶.۷، اگر  $PQ$  هر یک از کمانهای  $AB$  و  $BC$  و الی آخر باشد آنگاه خواهیم داشت:

$$\int_{PQ} z^{1/5} dz = \frac{5}{6} Q^{6/5} - \frac{5}{6} P^{6/5}$$

اگر شش مقدار به دست آمده را با هم جمع کنیم، همه مقادیر به جز دو مقدار

حذف می شوند و مقدار انتگرال برابر است با:

$$(\frac{5}{6})G^{6/5} - (\frac{5}{6})A^{6/5}$$

که در آن  $A = \gamma(0) = 1$  و  $G = \gamma(6\pi) = 1 + 6\pi$ . مطابق نتیجه به دست آمده باید توان  $6/5$  را معین کنیم: می توان نشان داد.

$$A^{6/5} = (1.e^{i0})^{6/5} = 1$$

$$\begin{aligned} G^{6/5} &= (1 + 6\pi)e^{i6\pi} = (1 + 6\pi)^{6/5} e^{i6\pi \cdot 6/5} \\ &= (1 + 6\pi)^{6/5} e^{i7\pi/5} \end{aligned}$$

در نتیجه انتگرال برابر است با:

$$-(\frac{5}{6})((1 + 6\pi)^{6/5} e^{i7\pi/5} + 1)$$

روش سوم (سریع). می توان شاخه لازم از  $z^{1/5}$  را بر حسب پارامتر  $t$  بنحوی تعریف کرد که اگر قرار دهیم:

$$z^{1/5} = (\gamma(t))^{1/5} = (1+t)^{1/5} e^{it/5}$$

تغییرات آن در مسیر  $\gamma$  پیوسته باشد.

اگر شاخه ای را انتخاب کنیم که داشته باشیم:

$$(\gamma(t))^{6/5} = (1+t)^{6/5} e^{6it/5}$$

ضد مشتق موضعی

$$\frac{5}{6} z^{6/5}$$

موجود بوده و به طور پیوسته در امتداد مسیر  $\gamma$  تغییر می نماید.

حال  $\gamma$  را با مقداری متناهی از دامنه‌هایی می‌پوشانیم که روی هر یک از آنها  $z^{1/5}$  تک مقداری باشد و شاخه‌ها را مطابق انتخاب پیشین روی مسیر در نظر می‌گیریم. اگر فاصله‌ای را که  $t$  در آن تغییر می‌کند به وسیله  $t_j$ ‌ها افزای نماییم انتگرال را مانند بالا، می‌توان به عنوان حاصلجمع عبارات به شکل زیر نوشت:

$$\frac{5}{6} \left( (1+t_{j+1})^{6/5} e^{6it_{j+1}/5} - (1+t_j)^{6/5} e^{6it/5} \right)$$

همه جملات به جز رو عبارت حذف می‌شوند در نتیجه مانند قبل جواب

$$\frac{5}{6} \left( (1+6\pi)^{6/5} e^{36\pi i/5} - 1 \right)$$

مزیت این روش این است که با انتخاب شاخه‌هایی برای  $\gamma(t)$  بطور طبیعی می‌توانیم دامنه‌هایی روی آن با شاخه‌های مناسب قرار دهیم. روش چهارم (داهیانه). فرض کنیم که بر رویه‌های ریمانی کار می‌کنیم. تجزیه و تحلیل فوق به آسانی تعمیم داده می‌شود تا تعبیری از قضیه ۶-۷ برای انتگرال گیری از توابع چند شکلی روی مسیری واقع بر رویه ریمانی به دست آید. با در اختیار داشتن یک ضد مشتق فراگیر برای  $f$  روی رویه ریمانی رابطه زیر را خواهیم داشت:

$$\int_{\gamma} f = F(z_1) - F(z_2)$$

که در آن  $z_2$  نقطه آغازین و  $z_1$  نقطه پایانی و شاخه طوری انتخاب شده‌اند که به نقاط پایانی  $\gamma$  بر رویه باز می‌گردند (شکل ۱۵-۱۴). از مطالب فوق بالادرنگ نتیجه می‌شود که  $\gamma$  سه دور بر خلاف عقربه‌های ساعت می‌چرخد، لذا توان  $5/6$  آن باز می‌چرخد، اگر برای  $z$  آرگومان  $0$  را انتخاب کنیم، آنگاه  $F(z_1)$  دارای آرگومان  $36\pi/5 = 2\pi \times 18/5$  خواهد بود.

بیان و اثبات و تعمیم قضیه کوشی برای انتگرال گیری از یک تابع چند شکلی در امتداد مسیری واقع بر رویه ریمان را به عنوان تمرین به خواننده واگذار

می کنیم برای کسانی که ترجیح نمی دهند از بینش ناشی از بکار بردن رویه های ریمانی استفاده کننده روش سوم را بعنوان روش نسبتاً ساده و سرراست توصیه می کنیم. البته مثال بالا تا حدودی ساختگی بود و هدف اصلی آن مسائل آموزشی بود. بیشتر انتگرالهایی که در کاربرد با آن مواجه می شویم احتمالاً از نوع زیر خواهند بود.

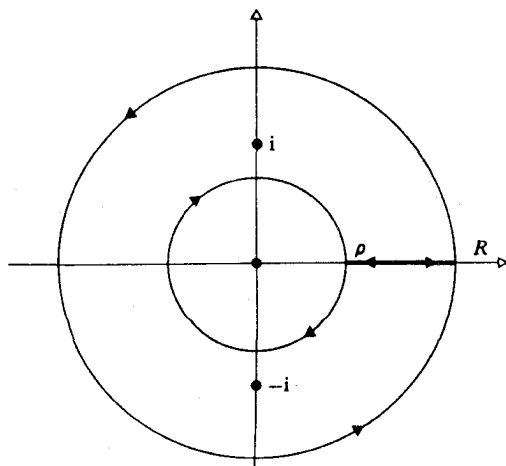
مثال ۲. فرض کنیم که  $a$  عددی حقیقی باشد و  $۱ < a < ۲$ . انتگرال زیر را محاسبه کنید:

$$\int_0^{\infty} \frac{x^a}{1+x^2} dx$$

ابتدا نشان می دهیم که محدود کردن  $a$  به طریق فوق موجب همگرایی انتگرال می شود تا سوال فوق معنی داشته باشد. با تابع مختلط

$$f(z) = z^a (1+z^2)^{-1}$$

شروع می کنیم که بازای هر  $i, -i, z \neq 0$  دیفرانسیل پذیر و چند شکلی است. برشی در امتداد مثبت محور اعداد ایجاد نموده و روی برش صفحه  $C$  کار می کنیم (با نمادهای بخش ۷.۲). روی این دامنه  $z^a$  تک مقداری خواهد بود: مجموعه  $(re^{i\theta})^a = r^a e^{ai\theta}$  که در آن  $0 \leq \theta \leq 2\pi$  را خواهیم داشت.



شکل (۱۴-۱۷)

حال از  $f(z)$  در امتداد مسیر نشان داده شده در شکل ۱۷-۱۴ انتگرال می گیریم. این مسیر از نقطه حقیقی  $\rho$  شروع و به نقطه حقیقی  $R$ ، سپس یک دور بر خلاف عقربه های ساعت حول دایره به شعاع  $R$  و سپس به نقطه حقیقی  $\rho$  و سرانجام یک دور حول دایره به شعاع  $\rho$  را می پیماید. با توجه به تعبیر باقیمانده قضیه کوشی خواهیم داشت:

$$\int_{\gamma} f = 2\pi i (\sum \gamma \text{ باقیمانده درونی})$$

مایلیم که فرض کنیم  $\rho \rightarrow 0$  و  $R \rightarrow \infty$ ، لذا می توانیم فرض کنیم  $R > 1, P < 1$  باشد. آنگاه تکنیکی های درون  $\gamma$  عبارتند از:  $z = \pm i$  باقیمانده حول این نقاط به طریق زیر به دست می آید: در  $z=i$  مقدار باقیمانده عبارتست از:

$$\lim_{z \rightarrow i} z^a / (z+i) = 1/2ie^{ia\pi/2} = \alpha$$

در  $z=-i$  مقدار باقیمانده عبارت است از:

$$\lim_{z \rightarrow -i} z^a / (z+i) = -1/2ie^{ia\pi/2} = \beta$$

فرض کنید دایره به شعاع  $R$ ،  $\gamma_1$  و دایره به شعاع  $\rho$ ،  $\gamma_2$  باشد، آنگاه

$$\int_{\rho}^R \frac{x^a}{1+x^2} dx + \int_{\gamma_1} \frac{z^a}{1+z^2} dz + \int_R^{\rho} \frac{(xe^{2\pi i})}{1+x^2} dx + \int_{\gamma_2} \frac{z^a}{1+z^2} = 2\pi i(\alpha + \beta)$$

توجه دارید که در انتگرال سومی شاخه ای از  $z^a$  متناظر با آرگومان  $2\pi$  انتخاب شده است. زیرا بایستی پیوستگی حفظ شود. حال فرض کنیم  $\rho$  و  $R$  به ترتیب به سمت  $0$  و  $\infty$  میل کنند. برآوردی ساده نشان می دهد که انتگرال اولی و سومی به صفر همگراست. اولی همگراست به:

$$\int_0^{\infty} x^a / (1+x^2) dx$$

و سومی به:

$$-e^{\gamma\pi ia} \int_{-\infty}^{\infty} \frac{x^a}{1+x^\gamma} dx$$

لذا خواهیم داشت:

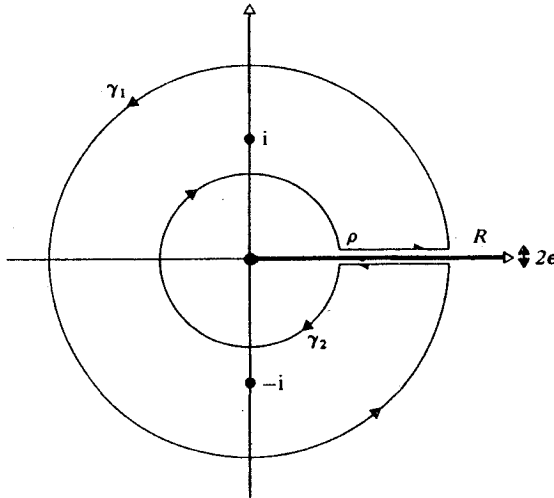
$$(1 - e^{\gamma\pi ia}) \int_{-\infty}^{\infty} \frac{x^a}{1+x^\gamma} dx = \gamma\pi i \left( \frac{1}{\gamma i} e^{ia\pi/\gamma} - \frac{1}{\gamma i} e^{ia\pi\gamma/\gamma} \right)$$

که پس از کمی دست کاری نتیجه زیر به دست می آید:

$$\int_{-\infty}^{\infty} \frac{x^a}{1+x^\gamma} dx = \pi / (\gamma \cos(a/\gamma))$$

مسیر انتخابی ممکن است واقعاً در  $C$  قرار نداشته باشد. لیکن پاسخ به دست آمده درست است. راههای متفاوتی برای توجیه این معضل وجود دارد، مثلاً  $R + i\varepsilon$ ، و به طور افقی به سمت  $R$  و از  $R + i\varepsilon$  دایره  $\gamma_1$  را تا پایین  $R - i\varepsilon$  سپس به پایین  $\rho$ ،  $\rho - i\varepsilon$  پس روی دایره  $\gamma_2$  به نقطه آغازش باز می گردد. (شکل

(۱۸-۱۴)

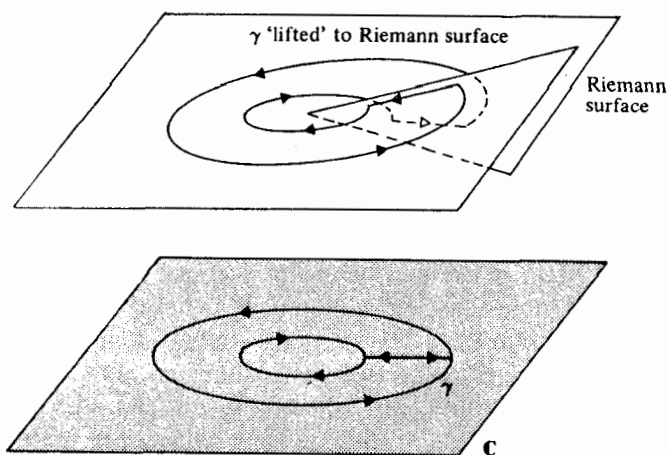


شکل (۱۸-۱۴)

حال وقتی که  $R, \rho$  به سمت  $\infty$  میل کنند، بنا به پیوستگی، عرض کانال ( $2\varepsilon$ ) به صفر میل می کند.

(۲) هنگام کار با دو دامنه متقاطع، قبلاً  $C_{\pi/4}, C_{-\pi/4}$  و گذر از یکی به دیگری و هنگام تعریف انتگرال از  $R$  تا  $\rho$  (و اجزاء  $\int_{\gamma_1}, \int_{\gamma_2}$ ) انتخاب  $C$  دشواری ایجاد می کرد، در نتیجه آنرا انتخاب نکردیم.

(۳) همه چیز را روی یک رویه ریمانی قرار دهیم. مسیر  $\gamma$  پله را دور می زند و یک پله بالا می رود، سپس به عقب چرخیده پله ای پایین تر به محل شروع باز می گردد. و از آنجایی که این گونه مسیرها بوضوح مرز مستطیلهای روی رویه های ریمانی اند، شکل (۱۴-۱۹)، همه چیز را می توان تعمیم داد. اینها معضلات توجیه روشها محاسبه فوق هستند. در واقع استفاده از این روش، البته اگر بدانیم که چه چیزی رخ خواهد داد، هر بار نیازمند توجیه نیست. در واقع همه چیز بسیار خوب عمل خواهند کرد. در صورتی که بتوانیم تابع چند شکلی را به طور پیوسته در امتداد مسیر تعریف کنیم.



شکل (۱۴-۱۹)

## ۹. حکایت همچنان باقی است...

ما به پایان کتاب نزدیک شده ایم، ولی هیچ نهایی برای آنالیز مختلط وجود ندارد. این مبحث همچنان یکی از مقولات مهم و در حال رشد جریان اصلی ریاضیات است.



مفهوم رویه‌ی ریمانی با دستیابی به ساختار اساسی تابع مختلط در یک تک شیء هندسی، به تنهایی افقهای تازه‌ای را پیش روی ما گسترده است. همه گونه اطلاعات، از قبیل حضور نقاط شاخه و تکینگی‌های را می‌توان از آن دریافت؛ و «صلبیت» یک تابع تحلیلی به این معنی است که خصوصیات اساسی آن را می‌توان از محل و طبیعت تکینگی‌هایش شناخت. بسیاری از پرسشهایی که بدون کمک رویه‌ی ریمانی، غامض هستند با استفاده از این ابزار هندسی روشن می‌شوند.

گسترش نظریهٔ توابع متناوب (مانند exp) منجر به مفهوم توابع متناوب مضاعف می‌شود؛ به توابعی که در شرط  $f(z) + f(z+p) = f(z+q)$ ، به ازای دو عدد مختلف متمایز (و در نسبت مستقل)  $p$  و  $q$  صدق می‌کنند. با تعمیم بیشتر، به مفهوم تابع اتومورفیک می‌رسیم که در حوالی مرز سده‌های نوزده و بیست، تعداد بسیار زیادی از ریاضی دانان را به خود جلب کرد، و حاصل آن گرد آمدن شاخه‌های مختلفی مانند نظریه‌ی گروه‌ها، معادلات دیفرانسیل، نظریه‌ی جبری توابع، توپولوژی، و آنالیز مختلط، در یک مبحث واحد بود. این مقوله، هنوز حوزه‌ی مهمی در تحقیق به شمار می‌رود.

همچنین می‌توان توابع با چند متغیر مختلط را نیز مورد مطالعه قرار داد. معلوم می‌شود که رفتار این توابع خیلی پر حيله تر از آن است که به نظر می‌رسد، و پدیده‌های کاملاً بدیعی در آن رخ می‌نمایند. از تلفیق ایده‌هایی از رویه‌ی ریمانی، و توابع با چند متغیر مختلط، مفهوم منفیلمد مختلط حاصل می‌شود. بخش اعظم این نظریه، تا همین اواخر، از نظر غیر ریاضی دانان (ی که از وجود آن باخبر بودند)، صرفاً به عنوان تعمیمی از مفاهیم تلقی می‌شد: تعمیمی زیبا و بسیار هوشمندانه، ولی همچنین بسیار انتزاعی تر از آن که هرگز بتواند کاربرد ملموسی در خارج از عرصه‌ی ریاضیات محض بیاید. چنین قضاوت‌هایی، هنگامی که درباره‌ی جریان اصلی ریاضیات صورت گیرند، معمولاً سطحی و نابجا هستند. در این مورد نیز همین مطلب ثابت شده است. برای مثال، اخیراً معلوم شد که منفیلمدهای مختلط و توابع اتومورفیک در نظریه‌ی کوانتومی میدان، در مطالعه‌ی «میدانهای پیمانه‌ای»<sup>۱</sup> دارای اهمیت است.

آنالیز مختلط، در نخستین روزهای تولدش (تقریباً) شاخه‌ای از فیزیک به شمار می‌رفت: مثلاً، ارتباط آن با نظریه‌ی پتانسیل و مکانیک شاره‌ها به طور وسیعی به کار گرفته می‌شد. در اواخر قرن نوزدهم، فلیکس کلاین «برهانی» برای یک قضیه را با این عبارت آغاز کرد: تصور کنید که رویه‌ی ریمانی مورد بحث از لایه‌ی نازک فلز تشکیل شده است، و جریان الکتریکی از آن عبور می‌کند. امروزه، این نحوه‌ی اثبات، از لحاظ منطقی موجه محسوب نمی‌شود، اما در عین حال، شهود فیزیکی موجب آشکار شدن بسیاری از نظریات مهم ریاضی شده است. امروزه ما شاهد فرآیندی معکوس هستیم؛ فرآیندی که در آن از طریق شهود ریاضی، مفاهیم مهمی در فیزیک عرضه می‌شود. این تبادل مفاهیم، دو جانبه است؛ و گذشته از زیبایی ذاتی آن، حفظ و بقای این تبادل، برای سلامت ریاضیات و دانش بشری، حیاتی است.

## تمرینهای فصل ۱۴

۱. سه سری توان به طریق زیر تعریف شده اند:

$$a(z) = 1 + z + z^2 + z^3 + \dots = \sum_{n=0}^{\infty} z^n$$

$$b(z) = i - (z - i - 1) - i(z - i - 1)^2 + (z - i - 1)^3 - \dots = \sum_{n=0}^{\infty} i^{n+1} (z - i - 1)^n$$

$$c(z) = -1 + (z - 2) - (z - 2)^2 + \dots = \sum_{n=0}^{\infty} (-1)^{n+1} (z - 2)^n$$

دیسک تقارب آنها را یافته، و آنها را رسم کنید. ثابت کنید که در قسمت همپوش

دیسک های تقارب مربوط  $a(z) = b(z)$ ،  $b(z) = c(z)$ ، آیا دیسک تقارب  $a(z)$

و  $c(z)$  همدیگر را قطع خواهند کرد؟

۲. فرض کنیم

$$g(z) = \sum_{n=0}^{\infty} b_n (z - z_n)^n, f(z) = \sum_{n=0}^{\infty} a_n (z - z_1)^n$$

دو سری توان باشند و فرض کنیم که مقطع دیسک تقارب آنها غیر تهی باشد. ثابت

کنید که  $g$  یک توسعه تحلیلی مستقیم از  $f$  است فقط و فقط وقتی که  $z$  متعلق به

دیسک تقارب هر دو وجود داشته باشد به قسمی که بازاء  $m = 0, 1, 2, 3, \dots$  در رابطه

زیر صدق کند

$$\sum_{n=0}^{\infty} n(n-1)\dots(n-m) \left[ a_n (z - z_1)^{n-m} - b_n (z - z_n)^{n-m} \right] = 0$$

۳. یک تابع مشخص مفروض است. این تابع دقیقاً در نقاطی  $z$  است که  $\operatorname{re}(z)$  و  $\operatorname{im}(z)$  اعداد صحیح باشند. آنرا در نزدیکی نقطه  $\frac{1}{4} + \frac{1}{4}i$  به صورت سری تیلور بسط می دهیم، کمترین مرحله مورد نیاز جهت توسعه تحلیلی غیر مستقیم، با سری توان، آن به میدانی که شامل  $\frac{7}{4} + \frac{5}{4}i$  باشد چیست؟

۴. نشان دهید که توابع تعریف شده زیر در  $|z|=1$  دارای بند طبیعی می باشند.

$$f(z) = 1 + z^2 + z^4 + z^8 + \dots + z^{2^n} + \dots$$

$$g(z) = 1 + z^2 + z^4 + z^{2^4} + \dots + z^{2^n} + \dots$$

۵. فرض کنیم  $f(z) = \sum a_n z^n$  دارای شعاع تقارب واحد باشد.

$$z = w/1 + w = (w - w^2 + w^2 - w^4 + \dots) \quad (\text{الف})$$

قرار دهید و  $f(z)$  بر حسب  $w$  به صورت سری توان تبدیل کنید. مثلاً

$$\sum b_n w^n = f(w)$$

ثابت کنید که این سری اخیر دارای شعاع تقاربی  $\frac{1}{4} \leq$  است، و اگر  $1 -$  یک نقطه تکین  $f$  شعاع تقارب دقیقاً  $\frac{1}{4}$  است.

اگر این شعاع مؤکداً بین  $\frac{1}{4}$  و  $1$  باشد، نشان دهید که معادله  $f(z) = F(z/1-z)$  یک توسعه تحلیلی از  $f$  ماوراء دیسک  $|z| \leq 1$  تعریف می کند.

۶. نشان دهید که سری

$$\sum_{n=1}^{\infty} \left( (1-z^{n+1})^{-1} - (1-z^n)^{-1} \right)$$

بازاء  $|z| < 1$  یا  $|z| > 1$  متقارب است. اما دو تابعی که بدین طریق تعریف می شوند توسعه تحلیلی یکدیگر نیستند.

۷. فرض کنیم  $f$  و  $g$  تعریف شده باشند و در تمام  $C$  هیچ نقطه تکیه نداشته باشند  
تعریف می کنیم:

$$\phi(z) = \sum_{n=1}^{\infty} \left( \frac{1-z^n}{1+z^n} - \frac{1-z^{n-1}}{1+z^{n-1}} \right)$$

نشان دهید که:

$$\frac{1}{2}(f(z) + g(z)) + \frac{1}{2}\phi(z)(f(z) - g(z))$$

برابر است با:

$$|z| < 1 \text{ وقتی } f(z)$$

$$|z| > 1 \text{ وقتی } g(z)$$

۸. فرض کنیم  $f(z)$  تابع چند فرمی  $z\sqrt{z}$  باشد. نشان دهید که در  $z=0$  یک اولین مشتقی وجود دارد که برای تمام شاخه‌ها یکسان است. اما یک دومین مشتق متناهی وجود ندارد. در مورد  $z^{\frac{1}{2}} \log z$  چطور؟

۹. رویه‌های ریمان را برای چند فرمی زیر شرح دهید:

$$\sqrt[3]{z+4} \quad (\text{الف})$$

$$\sqrt{1-z^2} \quad (\text{ب})$$

$$\cos^{-1}(z) \quad (\text{ج})$$

$$\tan^{-1}(z) \quad (\text{د})$$

۱۰. رویه ریمانی مربوط به

$$\left( (z-1)(z-2)^{-2} \right)^{1/2} + (z-3)^{1/2}$$

را شرح دهید.

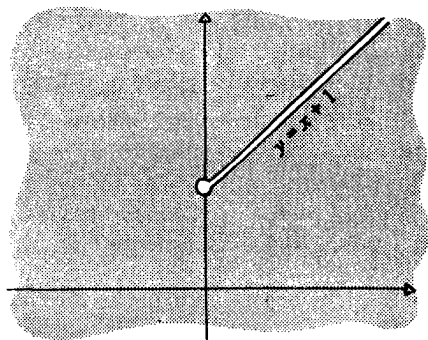
۱۱. فرض کنیم  $\omega = C$  مقادیر  $1^{\circ}$  تشکیل یک زیر گروه  $U_{\infty}$  از گروه ضربی اعداد مختلط غیر صفر می دهد. نشان دهید که  $U_{\infty}$  دوره‌ای از مرتبه  $q$  است. به

شرطی که  $\omega$  یک عدد منطبق تحویل ناپذیر  $\frac{p}{q}$  باشد؛ در غیر این صورت  $U_\omega$  دوره ای نامتناهی است. نشان دهید که  $U_\omega$  زیر مجموعه ای از دایره واحد است فقط و فقط اگر  $\omega$  حقیقی باشد روی محور حقیقی مثبت واقع می شود فقط و فقط وقتی که  $\operatorname{re}(\omega)$  یک عدد صحیح باشد؛ و در غیر این صورت واقع بر یک هرم ارشمیدس قرار می گیرد که با  $t \in \mathbb{R}$  پارامتر شده است و به صورت  $e^{\alpha t}$  ( $\alpha \in \mathbb{C}$  یک عدد ثابت است) می باشد. همچنین نشان دهید که بازا هر  $z \neq 0$  مقادیر  $z^\omega$  تشکیل یک  $\cos t$  از  $U_\omega$  در  $\mathbb{C} \setminus \{0\}$  می دهد.

۱۲. نشان دهید که تابع

$$f(z) = e^{-\pi i / \sqrt{z-i}}$$

معرف یک نقش هم شکل از میدان شکل ۱۴-۲۰ به نیم صفحه ای بالا است.

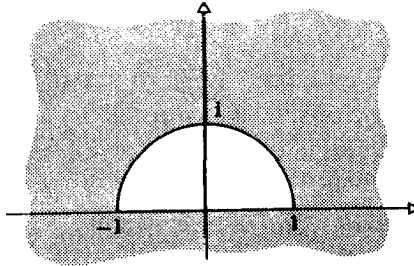


شکل (۱۴-۲۰)

۱۳. نشان دهید که تابع

$$f(z) = e^{i\pi/2} \left( \frac{z+1}{z-1} \right)^{2/3}$$

یک نقش هم شکل از میدان واقع در شکل ۱۴-۲۱ را به روی نیم صفحه ای بالا تعریف می کند.

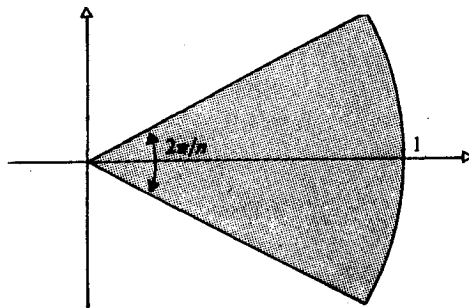


شکل (۲۱-۱۴)

۱۴. مطلوبست تصویر قطاع  $-\pi/n < \arg z < \pi/n, |z| < 1$  (شکل ۱۴.۲۲) تحت تبدیل هم شکل

$$f(z) = z(1+z^n)^{1/n}$$

در صورتی که  $n$  یک عدد صحیح مثبت باشد.

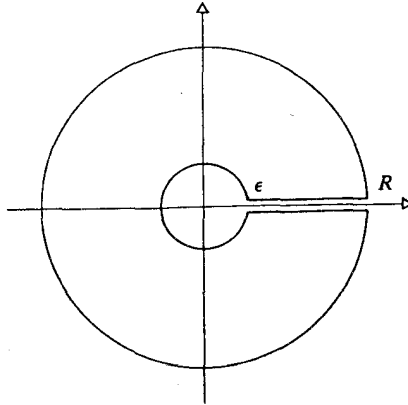


شکل (۲۲-۱۴)

۱۵. فرض کنیم  $\gamma(t) = e^{it}, 0 \leq t \leq 4\pi$  مطلوبست محاسبه  $\int_{\gamma} \sqrt{z} dz$  در صورتی که در  $t=0$  داشته باشیم  $\sqrt{1} = 1$ .

۱۶. با استفاده از طرح بیان شده در شکل ۱۴-۲۳ نشان دهید که:

$$\int_{\gamma} x^{-k}(1+x)^{-1} dx = \pi \operatorname{cosec}(k\pi) \quad (0 < k < 1)$$



شکل ۱۴-۲۳

۱۷. به وسیله مسیر انتگرال گیری نشان دهید که

$$\int_0^1 \frac{dx}{(1+ax^2)\sqrt{1-x^2}} = \frac{\pi}{2\sqrt{1+a}} \quad (a > 0)$$

۱۸. با استفاده از مسیر انتگرال گیری سؤال ۱۶، نشان دهید که

$$\int_0^{\infty} x^a (1+x^2)^{-2} dx = \frac{\pi(1-a)}{4 \cos \frac{1}{2} \pi a} \quad \text{اگر } -1 < a < 3$$

۱۹. فرض کنیم، وقتی که  $0 \leq t \leq 2\pi$  داشته باشیم،

$$\gamma(t) = \left( 1 + \frac{1}{2} \cos t + i \sin t \right)^5$$

مطلوبست:



$$\int_{\gamma} z^{1/4} \log(z) - \sqrt{z} + (z - \frac{1}{4})^{5/14} dz$$

۲۰. رویه ریمانی تابع  $f(z) = \sqrt{z+z^2+z^3+\dots+z^n+\dots}$  را بیان کنید.

۲۱. (اصل انعکاس شوارتز) فرض کنیم میدانی در  $C$  باشد که محور حقیقی محور تقارن آن باشد (یعنی اگر  $z \in U$  آنگاه  $\bar{z} \in U$ ). فرض کنیم

$$U^+ = \{z \in U \mid \text{Im}z > 0\} \text{ و } U^- = \{z \in U \mid \text{Im}z < 0\} \text{ و } U^0 = \{z \in U \mid \text{Im}z = 0\}$$

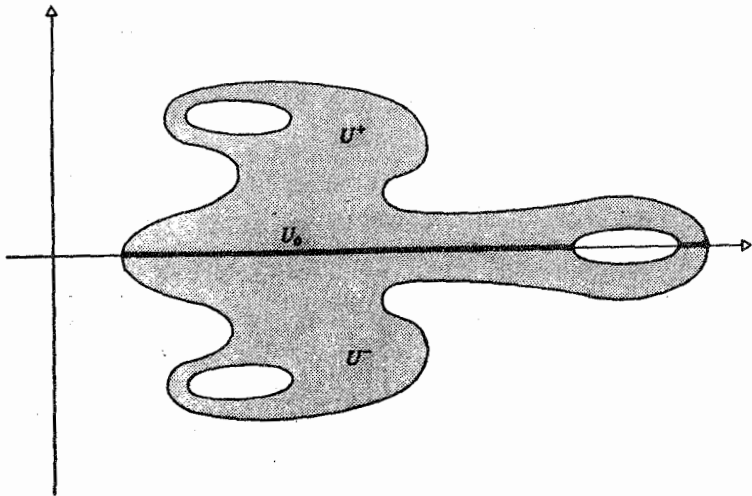
(شکل ۱۴-۲۴) بگیریم  $f: U^+ \cup U^0 \cup U^- \rightarrow C$  متصل باشد و روی  $U^+$  تحلیلی و بازاء

هر  $z \in U^-$  مقدار آن حقیقی باشد.

در این صورت یک تابع تحلیلی  $F: U \rightarrow C$  وجود دارد به قسمی که بازاء هر

$z \in U^+ \cup U^0$  داریم:  $F(z) = f(z)$ .

راهنمایی: بازاء  $z \in U^-$ ،  $F(z) = \overline{f(\bar{z})}$ ،  $F(z)$  تعریف می‌کنیم و قضیه موراً را مورد استفاده قرار می‌دهیم.



# فهرست موضوعی

صفحه

عنوان

(الف)

۹۳	اخطار
۴۰۹-۴۱۲-۴۱۳	ادامه تحلیلی
۴۱۲	ادامه تحلیلی غیر مستقیم
۴۱۲	ادامه تحلیلی مستقیم
۲	آرس ماگانا
۶-۱۰	آرگانند
۳۹-۲۰۵	آرگومان
۲۰۵	آرگومان یک عدد مختلط
۹۶	آزمون مقایسه ای
۴۴۵	اصل انعکاس شوارتز
۸۹	اصل کلی همگرایی
۳۰۴	اعداد فیبوناچی
۳۰	اعداد مختلط
۵-۷-۱۰-۳۲-۴۱۶	اُمر
۲۱۱	انتخاب پیوسته آرگومان
۳۸۸	انتقال
۲۰۴	اندازه زاویه بر حسب رادیان
۱۶۶	انتگرال ریمان

۱۶۸	انتگرال ریمان - استیلز
۱۷۱	انتگرال مختلط
۴۲۸	انتگرال مسیری از توابع چند شکلی
۱۶۵	انتگرالگیری
۲۰۱	انتگرالگیری جزء به جزء
۸-۱۸۱	انتگرال کانتوری (مسیری)
۳۸۸	انعکاس
۲۳۶	ای . اچ . مور
۳۹۳	ایروفویل یوکوفسکی (تبدیلات)

(ب)

۲۹۰	برآورد کوشی
۴-۷-۴۱۶	برنولی
۲۹۰	بروک تیلر
۳۸۸	بزرگنمایی
۳۷۱	بسط ضربی نامتناهی تابع سینوس
۳۱۵	بسط لوران
۷	بسل
۳-۱۰	بمبلی
۷	بولی ای
۲۵۴	بیرون مسیر (کانتور) بسته

(پ)

۲۲۷	پارادوکس برنولی
۳۲۳	پیکارد
۴۷-۵۷-۵۸-۵۹	پیوستگی

(ت)

۱۰۹	تابع بسل
۳۹۱	تابع پتانسیل
۵۸	تابع پیوسته
۲۹۱	تابع تحلیلی
۴۱۴	تابع تحلیلی تام
۱۴۳-۱۴۴	تابع توانی
۴۱۴-۴۲۶	تابع چند شکل
۳۲۷	تابع گویا
۱۵۴	تابع متناوب
۳۲۷	تابع مرومورفیک
۱۱۴	تابع مشتق پذیر
۳۹۱	تابع هارمونیک
۳۹۱	تابع همساز
۲۹۸	تابعهای توسیعی
۱۴۷	تابعهای مثلثاتی
۱۲۵	تابعهای هیبرید
۱۵۷	تابعهای هیپربولیک
۳۱۰	تاج دایره
۳	تار تاگلیا
۳۷۳	تبدیلات همدیس
۴۰۰	تبدیل بیضوی
۳۹۹	تبدیل سهموی
۴۰۰	تبدیل ماریچ ثابت زاویه
۴۱۴	تحلیلی چند شکلی
۴۰	ترتیب
۳۰۶	تساوی پارسوال
۳۴	تعبیری هندسی
۴۳۷	توابع متناوب مضاعف

۳۸۱	توابع همدیس
۴۲۳	توانهای مختلط
۴۰۳	توسیع تحلیلی
۲۹۰-۱۳۱-۲۸۳-۲۸۶-۲۸۹	تیلور

(ج)

۳-۱۰	جان والیس
۳۵۷	جمع بندی سری ها

(ح)

۴۷	حد
۸۷	حد دنباله
۹۲	حد سری
۵۲	حدود تابعها
۳۱۸	حذف شدنی

(خ)

۳۹۲	خطوط جریان
۳۹۲	خطوط هم پتانسیل

(د)

۷-۱۲۰	دالامبر
۷۹-۴۷	دامنه
۲۳۴	دامنه ستاره ای
۲۵۵	دامنه های همبند ساده
۲۵۴	درون مسیر (کانتور) بسته
۳	دکارت

۸۶	دنباله ها
۸۷	دنباله همگرا (متقارب)
۳۸۸	دوران
۳۵	دیاگرام آرگانند

و

۳۲۴	رفتار یک تابع مختلط در بی نهایت
۲۷۵	رودیارد کیپلینگ
۹-۴۱۷-۴۰۳	رویۀ ریمان
۲۲۷	ریشه n - ام واحد
۱۶۸	ریمان - استیلجس

ز

۳۷۸	زاویۀ بین دو مسیر
-----	-------------------

س

۳۰	ساختمان اعداد مختلط
۱۳۱-۲۸۳-۲۸۶-۲۸۹	سری تیلور
۱۶۴	سری گریگوری
۹-۳۰۹-۳۱۵	سری لوران
۹۵	سری مطلقاً همگرا
۹۲	سری واگرا
۹۱	سری ها
۸۵-۹۷-۱۲۷	سری های توانی
۹۲	سری های همگرا
۹۲	سری همگرا

(ش)

۹۹

شعاع همگرائی

(ص)

۲۰۶

صفحه بریده

۳۲۴

صفحه ریمان

۳۵

صفحه گوس

۳۵

صفحه مختلط

۳۲۴

صفحه مختلط وسعت یافته

۲۹۵

صفر مرتبه  $m-1$

۲۹۵-۲۹۷

صفرها

۲۷۳

صفر هموتوپیک

(ض)

۲۴۵

ضد مشتق موضعی

(ط)

۱۴۷

طبیعی

۱۷۳

طول یک مسیر هموار

(ع)

۲۰۳-۲۱۱

عدد پیچش

۲۱۷

عدد پیچش به عنوان یک انتگرال

۲۱۸

عدد پیچش حول یک نقطه دلخواه

(غ)

۱۴۲

غول فرنکشتاین

(ف)

۳۶۹	فاکتور ناپیوسته دیریکله
۲۸۴	فرمول انتگرال کوشی
۱۴۸	فرمول اویلر
۴۵-۴۶-۱۴۸	فرمول (قضیه) موآور
۳۶۹	فرمول معکوس برای تبدیلات لاپلاس

(ق)

۱۱۷	قاعده زنجیره ای
۱۶۰	قانون اُسبِرِن
۹۹	قرص همگرایی
۱۸۵	قضیه اساسی انتگرالگیری مسیری
۲۹۴-۳۶۴	قضیه اساسی جبر
۳۶۳	قضیه روشه
۲۵۵	قضیه کانتور (مسیر) جردن
۸-۲۳۳-۲۴۵	قضیه کوشی
۲۶۲-۲۶۵	قضیه کوشی برای یک مرز
۲۳۶	قضیه کوشی در مورد یک مثلث
۳۱۰	قضیه لوران
۲۹۳	قضیه لیوویل
۳۳۶	قضیه مانده کوشی
۳۰۱	قضیه مدول ماکسیمم
۳۰۲	قضیه مدول می نیمم
۳۲۲	قضیه وایر شتراس کارسوراتی
۲۹۱	قضیه موررا
۲۹۸	قضیه همانی
۳۱۹	قطب



۳۱۹	قطب ساده
۳۱۹	قطب مرتبه دوم
۳۱۹	قطب مرتبه ۳-۴م

(ک)

۲	کاردان
۳۲۴	کره ریمان
۱۰-۴۳۸	کلاین
۳۷۷	کمان
۸-۱۲۰-۲۳۳-۲۹۰	کوشی

(گ)

۲۸۰	گروه اساسی
۷-۱۰-۳۲-۲۳۳	گوس
۲۹۰	گریگوری

(ل)

۲۹۰	لاگرانژ
۴-۷-۲۹-۴۱۶	لایبتیز
۴-۱۳-۲۰۳-۲۰۹	لگاریتم
۱۴۶	لگاریتم طبیعی
۱۸۹	لم برآورد
۴۷-۶۹-۷۱	لم فرش کردن
۳۳۶	لوپ (حلقه، طوق)
۹-۳۰۹	لورنت

(م)

۲۹۹	ماکزیمم موضعی
-----	---------------

۳۳۵	مانده
۹۱	مجموعه‌های جزئی
۴۹	مجموعه‌باز
۵۸	مجموعه‌باز نسبی
۴۹	مجموعه‌بسته
۷۹	مجموعه‌فشرده
۴۷	مجموعه‌همبند
۷۶	مجموعه‌همبند پله‌ای
۸۲	مجموعه‌همبند مسیری
۲۲۰	محاسبه‌عدد پیچش با یک چشم
۳۴۰	محاسبه‌مانده‌ها
۳۵	محور حقیقی
۳۵	محور موهومی
۳۹	مختصات کارتیزین
۳۷	مختلط
۳۵	مدول
۱۰	مرآور
۲۹۵	مرتبه‌صفر
۳۱۹	مرتبه‌قطب
۲۶۲-۸۳-۳۰۲	مرز
۴۱۰	مرز طبیعی
۲۴۰	مرکز ستاره‌ای
۳۷	مزدوج
۳۷	مزدوج مختلط
۳۹۱	مزدوج همساز
۲۰۰	مساحت علامتدار
۲۴۷	مستطیلهای مربوط
۱۸۱	مسیر

۱۸۱	مسیر انتگرالگیری
۴۸	مسیر پله ای
۶۵	مسیر جزئی
۶۹	مسیر در S
۶۸	مسیر مخالف
۶۳	مسیرها
۱۶۹	مسیر هموار
۱۱۴	مشتق
۱۱۳	مشتق گیری
۸-۱۱۸-۱۲۰-۱۲۲	معادلات کوشی - ریمان
۸-۱۲۰	معادله کوشی ریمان (کوشی)
۳۹۱	معادله لاپلاس
۲۷۵	مقایسه قضیه های کوشی
۴۰-۲۰۶	مقدار اصلی آرگومان
۳۴۵-۳۵۲	مقدار اصلی کوشی
۲۷۹	مقدار انتگرال
۴۳۷	مینفلد مختلط
۷۷-۸۲	مؤلفه های همبند
۳۰	میدان اعداد مختلط
۲۹۹	می نیمم موضعی

## (ن)

۳۶۹	نامساوی ژردان
۳۶	نامساوی مثلثی
۳۹۰	نظریه پتانسیل
۳۱۸	نقاط مجزای منفرد
۵۱	نقاط منفرد
۶۳	نقطه ابتدا

۶۳	نقطه انتها
۲۹۹-۴۱۷	نقطه انفراد
۳۲۶	نقطه انفرادی مجزای اصلی در بی نهایت
۳۹۹	نقطه ثابت
۵۰	نقطه حدی
۸۳-۳۰۲	نقطه مرزی
۳۱۸	نقطه منفرد حذف شده
۳۱۹	نقطه منفرد مجزای اصلی
۳۱۷	نقطه های منفرد، مجزا
۳۸۶	نگاشت (موبیوس) دو خطی
۳۷۴-۳۸۵	نگاشتهای موبیوس
۲۵۲	نوع تعمیم یافته قضیه کوشی
۲۹۰	نیوتن

(۶)

۱۰	واندر موند
۴۰۶	وایر شتراس
۲۳۴-۲۴۰	وجود یک ضد مشتق در یک دامنه ستاره ای
۶-۱۰	وسل

(۷)

۳۹۱	هارمونیک
۷-۱۱	هامیلتون
۷۴	همبند مسیری
۷۴	همبندی
۴۹	همسایگی
۲۵۹-۲۶۷	همگرا
۲۵۹-۲۶۷	هموتوپی

۲۷۱	هموتویک از طریق مسیرهای بسته
۲۶۹	هموتویی نقطه پایانی ثابت
۲۷۷	همولوژی

(ی)

۲۶۰	یک انتگرال در طول مسیر دلخواه
۲۵۳	یک کانتور (مسیر) بسته جردن

# لغت نامه

## انگلیسی به فارسی

### A

absolute	مطلق
aerofoil	ایرو فویل
algebra	جبر
analytic	تحلیلی
angle	زاویه
angle modulo	زاویه مدول
annulus	تاج دایره
anti- derivative	ضد مشتق
arc	کمان
argument	آرگومان
axis	محور

### B

bilinear mapping	نگاشت دوخطی
boundary	مرز
boundary point	نقطه مرزی

## C

calculation	محاسبه
chain rules	قاعده زنجیره ای
closed	بسته
complet	تام
complex	مختلط
complex plane	صفحه مختلط
compact	فشرده
comparison	مقایسه ای
component	مؤلفه
conformal	همدیس
conjugate	مزدوج
connected	همبند
construction	ساختمان
continuation	ادامه - توسیع
continuity	اتصال
contour	مرز - مسیر (کانتور)
contour inside	درون مسیر
contour intergal	انتگرال مسیری
contour outside	بیرون مسیر
convergence	همگرایی
convergence radius	شعاع تقارب (همگرایی)
convergent	همگرا
convergent series	سری متقارب (همگرا)
convergent sequence	دنباله همگرا
coordinate	مختصات

## D

derivative	مشتق
diagram	دیاگرام
differentiable	مشتق پذیر
differentiation	مشتق گیری
direct	مستقیم
disc	قرص
disc of convergence	قرص همگرایی
dis continuous	ناپیوسته
divergent	واگرا
double pole	قطب مرتبه دوم
doubly	مضاعف
doubly periodic function	توابع متناوب مضاعف
domain	دامنه

## E

elliptic	بیضوی
endpoint	نقطه انتهائی
equation	معادله
equipotential	هم پتانسیل
equipotential line	خطوط هم پتانسیل
estimate	برآورد
estimation lemma	لم برآورد
expansion	بسط
exponential (function)	(تابع) توانی
extended plane	صفحه توسعه یافته



existence	وجود
extention	توسیع

## F

factor	فاکتور
field	میدان
final	انتها
furmula	فرمول
fundamental	اساسی
function	تابع

## G

generalized	تعمیم یافته
geometry	هندسه
group	گروه

## H

'harmonic	هارمونیک (همساز)
harmonic conjugate	مزدوج هارمونیک (همساز)
harmonic function	تابع همساز
homology	همولوژی
homotopic	هموتوپیک
hybrid function	تابع هیبرید
hyperbolic	سهموی - هیپربولیک

# I

imaginary	موهومی
inequality	نامساوی
infinite	نامتناهی
initial	ابتدا
integral	انتگرال
integration	انتگرالگیری
integration by parts	انتگرالگیری جزء به جزء
integration contour	انتگرالگیری مسیری (مرزی)
inversion	انعکاس
isolated	مجزا
isolated singularity	مجزای منفرد

# L

lemma	لم
limit	حد
local	موضعی
local antiderivative	ضد مشتق موضعی
local maximum	ماکزیم موضعی
local minimum	می نیم موضعی
logarithm	لگاریتم
loop	حلقه (طوق)
loxodromic	مارپیچ ثابت زاویه

## M

manifold	منیفلد
magnification	بزرگنمایی
mapping	نگاشت
maximum	ماکزیمم
measure	اندازه
meromorphic	مروفورفیک
minimum	می نیمم
modulus	مدول
monster	غول
multiform	چند شکلی

## N

natural	طبیعی
number	عدد

## O

paradox	معما
partial sum	حاصل جمع جزئی
paving	فرش کردن
paving lemma	لم فرش کردن
path	مسیر
path connected	همبند مسیری
path length	طول مسیر
path oposite	مسیر مخالف
path step	مسیر پله ای

path sub	مسیر جزئی
paving	فرش کردن
paving lemma	لم فرش کردن
period	تناوب
periodic	متناوب
plane	صفحه
pole	قطب
potential	پتانسیل
power	توان
principle	اصل
product	حاصلضرب

## R

radian	رادیان
radius	شعاع
radius of convergence	شعاع همگرایی (تقارب)
ratio	خارج قسمت
rational	گویا
ratio test	آزمون خارج قسمت
real	حقیقی
rectangle	مستطیل
reflex	انعکاس
relatively	(بطور) نسبی
relative open	باز نسبی
relevant	مربوط
removable	حذف شدنی
residue	مانده

root	ریشه
rotation	دوران
rule	قاعده

## S

series	سری
sequence	دنباله
signed (area)	مساحت (محوطه) علامتدار
simply	(بطور) ساده
simple pole	قطب مرتبه اول
singularity	منفرد - مجزا
singularity point	نقطه منفرد
smooth	هموار
sphere	کره
star	ستاره ای
star centre	مرکز ستاره ای
star domain	دامنه ستاره ای (شکل)
stream	جریان
stream lines	خطوط جریان
sum	حاصل جمع
summation	جمع بندی

## T

test	آزمون
theorem	قضیه
transform	تبدیل کردن

transformation	تبدیل
translation	انتقال
triangle	مثلث
trigonometric	مثلثاتی

## U

uniform	یک شکل
unity	واحد

## V

value	مقدار
version	نوع

## W

winding	پیچش
winding number	عدد پیچش

## Z

zero	صفر
------	-----

# لغت نامه

## فارسی به انگلیسی

### ۱

initial	ابتدا
continuity	اتصال
continuation	ادامه (توسیع)
argument	آرگومان
test	آزمون
ratio test	آزمون خارج قسمت
fundamental	اساسی
principle	اصل
integral	انتگرال
integration	انتگرالگیری
integration by parts	انتگرالگیری جزء به جزء
contour integral	انتگرال مسیری
measure	اندازه
inversion	برگردان - منعکس کردن
reflex	انعکاس
translation	انتقال
final	انتها
aerofoil	ایروفویل

## ب

relative open	باز نسبی
estimate	برآورد
magnification	بزرگنمایی
closed	بسته
expansion	بسط
relatively	بطور نسبی
contour outside	بیرون مسیر
elliptic	بیضوی

## پ

potential	پتانسیل
winding	پیچش

## ت

complet	تام
function	تابع
exponential function	تابع توانی
harmonic function	تابع همساز
hybrid function	تابع هیبرید
annulus	تاج دایره
transformation	تبدیل
transform	تبدیل کردن
analytic	تحلیلی
generalized	تعمیم یافته
period	تناوب



power  
doubly periodic function  
extention

توان  
تابع متناوب مضاعف  
توسیع

## ج

algebra  
stream  
summation

جبر  
جریان  
جمع بندی

## چ

multiform

چند شکلی

## ح

sum  
partial sum  
product  
limit  
removable  
real  
loop

حاصل جمع  
حاصل جمع های جزئی  
حاصل ضرب  
حد  
حذف شدنی  
حقیقی  
حلقه (طوق)

## خ

ratio  
stream lines

خارج قسمت  
خطوط جریان

equipotential line

خطوط هم پتانسیل

د

domain

دامنه

star domain

دامنه ستاره ای (شکل)

contour inside

درون مسیر (درون مرز)

sequence

دنباله

rotation

دوران

diagram

دیاگرام

ر

radian

رادیان

root

ریشه

angle

زاویه

angle modulo

زاویه مدول

س

construction

ساختمان - ساختار

simply

ساده (بطور)

star

ستاره ای

series

سری

convergent series

سری متقارب (همگرا)

hyperbolic

سهموی

ش

radius  
radius of convergence

شعاع  
شعاع همگرایی (تقارب)

### ص

plane  
extended plane  
complex plane  
zero

صفحه  
صفحه توسعه یافته  
صفحه مختلط  
صفر

### ض

anti - derivative  
local antiderivative

ضد مشتق  
ضد مشتق موضعی

### ط

natural  
path length

طبیعی  
طول مسیر

### ع

number  
winding number

عدد  
عدد پیچش

## غ

monster

غول (شیطان)   
 غول (شیطان)   
 غول (شیطان)

## ف

factor

فاکتور

paving

فرش کردن

formula

فرمول

compact

فشرده

## ق

rule

قاعده

chain rules

قاعده زنجیره ای

disc

قرص

disc of convergence

قرص همگرایی

theorem

قضیه

pole

قطب

simple pole

قطب ساده

double pole

قطب مرتبه دوم

## ك

sphere

کره

arc

کمان

## گ

group	گروه
rational	گویا

## ل

logarithm	لگاریتم
lemma	لم
estimation lemma	لم برآورد
paving lemma	لم فرش کردن

## م

loxodromic	مارپیچ ثابت زاویه
maximum	ماکزیمم
local maximum	ماکریمم موضعی
residue	مانره
periodic	متناوب
triangle	مثلث
trigonometric	مثلثاتی
isolated	مجزا
isolated singularity	مجزای منفرد
calculation	محاسبه
axis	محور
coordinate	مختصات
complex	مختلط
modulus	مدول
relevant	مربوط

boundary	مرز
star centre	مرکز ستاره ای
meromorphic	مرومورفیک
conjugate	مزدوج
harmonic conjugate	مزدوج هارمونیک (همساز)
signed area	مساحت (محوطه) علامتدار
rectangle	مستطیل
direct	مستقیم
contour	مسیر (کانتور)
integration contour	مسیر انتگرالگیری
path step	مسیر پله ای
sub path	مسیر جزئی
opposite path	مسیر مخالف
derivative	مشتق
differentiable	مشتق پذیر
differentiation	مشتق گیری
doubly	مضاعف
absolute	مطلق
equation	معادله
paradox	معما
comparison	مقایسه ای
value	مقدار
singularity	منفرد - مجزا
manifold	منفیلد
local	موضعی
component	مؤلفه
imaginary	موهومی
field	میدان

minimum

می نیمم

local minimum

می نیمم موضعی

## ن

dis continuous

ناپیوسته

infinite

نامتناهی

inequality

نامساوی

end point

نقطه انتهائی

boundary point

نقطه مرزی

singularity point

نقطه منفرد

bilinear mapping

نگاشت دو خطی

mapping

نگاشت

version

نوع

## و

unity

واحد

divergent

واگرا

existence

وجود

## ه

harmonic

هارمونیک (همساز)

connected

همبند

path connected

همبند مسیری

equipotential

هم پتانسیل

conformal

همدیس

convergent  
convergence  
geometry  
smooth  
homotopic  
homology  
hyperbolic

همگرا  
همگرایی  
هندسه  
هموار  
هموتوپیک  
همولوژی  
هیپر بولیک

ی

uniform

یک شکل